



OFICINA ESPAÑOLA DE PATENTES Y MARCAS

ESPAÑA



①Número de publicación: 2 793 174

61 Int. Cl.:

C07K 16/12 (2006.01) A61K 39/00 (2006.01)

(12)

TRADUCCIÓN DE PATENTE EUROPEA

T3

(86) Fecha de presentación y número de la solicitud internacional: 30.05.2014 PCT/US2014/040324

(87) Fecha y número de publicación internacional: 04.12.2014 WO14194247

Fecha de presentación y número de la solicitud europea: 30.05.2014 E 14732800 (9)

(97) Fecha y número de publicación de la concesión europea: 11.03.2020 EP 3004162

(54) Título: Anticuerpos antiteicoicos de pared y conjugados

(30) Prioridad:

31.05.2013 US 201361829461 P 31.05.2013 US 201361829466 P 22.05.2014 US 201414284609 22.05.2014 WO PCT/US2014/039113

(45) Fecha de publicación y mención en BOPI de la traducción de la patente: 13.11.2020 (73) Titular/es:

GENENTECH, INC. (100.0%) 1 DNA Way South San Francisco, CA 94080, US

(72) Inventor/es:

BROWN, ERIC;
DARWISH, MARTINE;
FLYGARE, JOHN;
HAZENBOS, WOUTER;
LEE, BYOUNG-CHUL;
LEHAR, SOPHIE, M.;
MARIATHASAN, SANJEEV;
MORISAKI, JOHN, HIROSHI;
PILLOW, THOMAS, H.;
STABEN, LEANNA;
VANDLEN, RICHARD;
KOEFOED, KLAUS;
STRANDH, MAGNUS Y
ANDERSEN, PETER, S.

(74) Agente/Representante:

VALLEJO LÓPEZ, Juan Pedro

DESCRIPCIÓN

Anticuerpos antiteicoicos de pared y conjugados

Referencia cruzada a solicitudes relacionadas

La presente solicitud reivindica los derechos de prioridad respecto a la solicitud de EE.UU. n.º de serie 14/284.609, presentada el 22 de mayo de 2014, que es una solicitud no provisional presentada bajo 37 CFR §1.53 (b), reclama el derecho bajo 35 USC §119 (e) de la Solicitud Provisional de EE.UU. N.º de Serie 61/829.461 presentada el 31 de mayo de 2013,

PRESENTACIÓN DEL LISTADO DE SECUENCIAS EN EL ARCHIVO DE TEXTO ASCII

El contenido de la siguiente presentación en el archivo de texto ASCII se incorpora en el presente documento como referencia en su totalidad: un formulario legible por ordenador (CRF, por sus siglas en inglés) del Listado de secuencias (nombre de archivo: P4960R2WO_PCTSequenceListing.txt, fecha de registro: 30 de mayo de 2014, tamaño: 195.240 bytes).

Campo de la invención

20

30

35

40

45

10

La invención se refiere a anticuerpos anti-ácidos teicoicos de pared ("anti-WTA", por sus siglas en inglés) conjugados con antibióticos de tipo rifamicina y al uso de los conjugados anticuerpo-antibiótico resultantes en el tratamiento de enfermedades infecciosas.

25 Antecedentes de la invención

Las bacterias patógenas son una causa importante de enfermedad y muerte tanto en seres humanos como en animales. Entre ellas destaca *Staphylococcus aureus* (*S. aureus*; SA), que es la principal causa de infecciones bacterianas en seres humanos en todo el mundo. *S. aureus* puede causar varias enfermedades, desde infecciones leves de la piel hasta enfermedades potencialmente mortales tales como la neumonía, meningitis, osteomielitis, endocarditis, síndrome de shock tóxico (TSS, por sus siglas en inglés), bacteriemia y sepsis. Su incidencia varía desde infecciones de la piel, de tejidos blandos, respiratorias, de huesos, de articulaciones, endovasculares hasta de heridas. Todavía es una de las cinco causas más comunes de infecciones nosocomiales y, con frecuencia, es la causa de infecciones de heridas posquirúrgicas. Cada año, unos 500.000 pacientes en hospitales estadounidenses contraen una infección por estafilococos.

En las últimas décadas, la infección por S. aureus se está volviendo cada vez más difícil de tratar en gran medida debido a la aparición de S. aureus resistente a meticilina (MRSA, por sus siglas en inglés) que es resistente a todos los antibióticos betalactámicos conocidos (Boucher, HW et al. Bad bugs, no drugs: no ESKAPE! An update from the Infectious Diseases Society of America. Clinical infectious diseases: an official publication of the Infectious Diseases Society of America 48, 1-12 (2009)). Las circunstancias son tan graves, que en 2005, se indicó que la infección con MRSA era la principal causa de muerte debido a un solo agente infeccioso, responsable de más de 15.000 muertes en los Estados Unidos (DeLeo, F.R. & Chambers, H.F. Reemergence of antibioticresistant Staphylococcus aureus in the genomics era. The Journal of Clinical Investigation 119:2464-2474 (2009)). La Vancomicina, linezolid y daptomicina se han convertido en los antibióticos de elección para el tratamiento de infecciones invasivas por MRSA (Boucher, H., Miller, L.G. & Razonable, R.R. Serious infections caused by methicillin-resistant Staphylococcus aureus. Clinical infectious diseases: an official publication of the Infectious Diseases Society of America 51 Suppl 2, S183-197 (2010)). Sin embargo, también se ha informado una susceptibilidad reducida a la vancomicina y resistencia cruzada a linezolid y daptomicina en cepas clínicas de MRSA (Nannini, E., Murray, B.E. & Arias, C.A. Resistance or decreased susceptibility to glycopeptides, daptomycin, and linezolid in methicillin-resistant Staphylococcus aureus. Current opinion in pharmacology 10, 516-521 (2010)). A lo largo del tiempo, la dosis de vancomicina necesaria para superar la resistencia se ha elevado a niveles en los que se produce nefrotoxicidad. Por lo tanto, la mortalidad y morbilidad por infecciones invasivas por MRSA siguen siendo altas a pesar de estos antibióticos.

55

60

65

50

Aunque generalmente se cree que SA es un patógeno extracelular, las investigaciones que se remontan al menos 50 años han revelado su capacidad de infectar y sobrevivir en diferentes tipos de células hospedadoras, tanto en fagocitos profesionales como en células no fagocíticas (Gresham, H.D. et al. Survival of Staphylococcus aureus inside neutrophils contributes to infection. J Immunol 164, 3713-3722 (2000); Anwar, S., Prince, L.R., Foster, S.J., Whyte, M.K. & Sabroe, I. The rise and rise of Staphylococcus aureus: laughing in the face of granulocytes. Clinical and Experimental Immunology 157, 216-224 (2009); Fraunholz, M. & Sinha, B. Intracellular staphylococcus aureus: Live-in and let die. Frontiers in cellular and infection microbiology 2, 43 (2012); Garzoni, C. & Kelley, W.L. Return of the Trojan horse: intracellular phenotype switching and immune evasion by Staphylococcus aureus. EMBO molecular medicine 3:115-117 (2011)). Esta persistencia intracelular facultativa permite la evasión inmunitaria del hospedador, la colonización a largo plazo del hospedador, el mantenimiento de un estado infectado de forma crónica y es probablemente una causa de los fracasos clínicos de la terapia antibiótica convencional y de las recaídas

posteriores. Además, la exposición de bacterias intracelulares a concentraciones de antibióticos subóptimas puede favorecer la aparición de cepas resistentes a antibióticos, haciendo así, que este problema clínico sea más grave. De acuerdo con estas observaciones, el tratamiento de pacientes con infecciones invasivas por MRSA, tales como bacteriemia o endocarditis con vancomicina o daptomicina, se asoció con tasas de fracaso superiores al 50 % (Kullar, R., Davis, S.L., Levine, D.P. & Rybak, M.J. Impact of vancomycin exposure on outcomes in patients with methicillin-resistant Staphylococcus aureus bacteremia: support for consensus guidelines suggested targets. Clinical infectious diseases: an official publication of the Infectious Diseases Society of America 52, 975-981 (2011); Fowler, V.G., Jr. et al. Daptomycin versus standard therapy for bacteremia and endocarditis caused by Staphylococcus aureus. The New England journal of medicine 355, 653-665 (2006); Yoon, Y.K., Kim, J.Y., Park, D.W., Sohn, J.W. & Kim, M.J. Predictors of persistent methicillin-resistant Staphylococcus aureus bacteraemia in patients treated with vancomycin. The Journal of antimicrobial chemotherapy 65:1015-1018 (2010)). Por lo tanto, una terapia antiestafilocócica más exitosa debe incluir la eliminación de las bacterias intracelulares.

10

40

45

- La mayoría de los agentes antibacterianos de hoy en día, químicamente, son modificaciones semisintéticas de diferentes compuestos naturales. Estos incluyen, por ejemplo, los agentes antibacterianos betalactámicos, que incluyen las penicilinas (producidas por hongos en el género *Penicillium*), las cefalosporinas y los carbapenémicos. Los compuestos antimicrobianos que todavía están aislados de organismos vivos incluyen los aminoglucósidos, mientras que otros agentes antibacterianos, por ejemplo, las sulfonamidas, las quinolonas y las oxazolidinonas, están producidos únicamente por síntesis química. De acuerdo con esto, muchos compuestos antibacterianos se clasifican en función del origen químico/biosintético en natural, semisintético y sintético. Otro sistema de clasificación se basa en la actividad biológica; en esta clasificación, los agentes antibacterianos se dividen en dos grandes grupos de acuerdo con su efecto biológico sobre los microorganismos: los agentes bactericidas destruyen bacterias y los agentes bacteriostáticos ralentizan o detienen el crecimiento bacteriano.
- Las ansamicinas son una clase de antibióticos, incluyendo rifamicina, rifampina, rifampicina, rifabutina, rifapentina, rifalazil, ABI-1657 y análogos de los mismos, que inhiben la ARN polimerasa bacteriana y tienen una potencia excepcional contra bacterias grampositivas y gramnegativas selectivas (Rothstein, D.M., et al (2003) Expert Opin. Invest. Drugs 12(2):255-271; documentos US 7342011; US 7271165).
- Se han informado inmunoterapias para prevenir y tratar infecciones por S. aureus (incluyendo MRSA). El documento US2011/0262477 se refiere a los usos de las proteínas de adhesión bacteriana Eap, Emp y AdsA como vacunas para estimular la respuesta inmunitaria contra MRSA. El documento WO2000071585 describe anticuerpos monoclonales aislados reactivos a aislados específicos de cepas de S. aureus. El documento US20110059085A1 sugiere una estrategia basada en Ac que utiliza Ac IgM específicos para uno o más antígenos capsulares de SA, aunque no se describieron anticuerpos reales.
 - Los ácidos teicoicos (TA, por sus siglas en inglés) son polisacáridos bacterianos que se encuentran dentro de la pared celular de las bacterias Gram positivas, incluyendo SA. Los ácidos teicoicos de pared (WTA, por sus siglas en inglés) son aquellos enlazados covalentemente a la capa de peptidoglicano (PDG) de la pared celular; mientras que los ácidos lipoteicoicos (LTA, por sus siglas en inglés) son aquellos enlazados covalentemente a los lípidos de la membrana citoplasmática. Xia et al. (2010) Intl. J. Med. Microbiol. 300:148-54. Estos glicopolímeros desempeñan papeles cruciales en la supervivencia bacteriana en condiciones desfavorables y en otros procesos celulares básicos. Las estructuras de WTA conocidas varían ampliamente entre especies bacterianas. Los TA de S aureus están compuestos por subunidades repetitivas de poliol fosfato tales como ribitol fosfato o glicerol fosfato. Dada su diversidad y variabilidad estructural, los WTA se consideran dianas atractivas para anticuerpos y como vacunas, *ibid*.
- Los conjugados anticuerpo-fármaco (ADC, por sus siglas en inglés), también conocidos como inmunoconjugados, son moléculas quimioterapéuticas dirigidas que combinan las propiedades ideales tanto de los anticuerpos como de los fármacos citotóxicos dirigiendo los potentes fármacos citotóxicos a células tumorales que expresan antígenos 50 (Teicher, B.A. (2009) Curr. Cancer Drug Targets 9:982-1004), potenciando, de este modo, el índice terapéutico al maximizar la eficacia y minimizar la toxicidad inespecífica (Carter, PJ y Senter P.D. (2008) The Cancer J.. 14(3):154-169; Chari, R.V. (2008) Acc. Chem. Res. 41:98-107. El ADC comprende un anticuerpo dirigido fijado covalentemente a través de una unidad enlazadora a un resto de fármaco citotóxico. Los inmunoconjugados permiten el suministro dirigido de un resto de fármaco a un tumor y la acumulación intracelular en el mismo, donde la administración 55 sistémica de fármacos no conjugados puede dar como resultado niveles inaceptables de toxicidad para las células normales, así como para las células tumorales que se busca eliminar (Polakis P. (2005) Curr. Opin. Pharmacol. 5:382-387). El desarrollo eficaz de ADC para un antígeno diana determinado depende de la optimización de parámetros tales como los niveles de expresión del antígeno diana, la accesibilidad tumoral (Kovtun, Y.V. and Goldmacher V.S. (2007) Cancer Lett. 255:232-240), la selección de anticuerpos (documento US 7964566), la estabilidad del enlazador (Erickson et al (2006) Cancer Res. 66(8):4426-4433; Doronina et al (2006) Bioconjugate 60 Chem. 17:114-124; Alley et al (2008) Bioconjugate Chem. 19:759-765), el mecanismo de acción y potencia de los fármacos citotóxicos, la carga de fármacos (Hamblett et al (2004) Clin. Cancer Res. 10:7063-7070) y el modo de conjugación enlazador-fármaco con el anticuerpo (Lyon, R. et al (2012) Methods in Enzym. 502:123-138; Xie et al (2006) Expert. Opin. Biol. Ther. 6(3):281-291; Kovtun et al (2006) Cancer Res. 66(6):3214-3121; Law et al (2006) Cancer Res. 66(4):2328-2337; Wu et al (2005) Nature Biotech. 23(9):1137-1145; Lambert J. (2005) Current Opin. in Pharmacol. 5:543-549; Hamann P. (2005) Expert Opin. Ther. Patentes 15(9):1087-1103; Payne, G. (2003) Cancer

Cell 3:207-212; Trail et al (2003) Cancer Immunol. Immunother. 52:328-337; Syrigos y Epenetos (1999) Anticancer Res. 19:605-614).

El concepto de ADC en la terapia contra el cáncer también se ha ampliado a la terapia antibacteriana, en este caso, la parte de fármaco es un antibiótico, dando como resultado conjugado anticuerpo-antibiótico (AAC, por sus siglas en inglés). Los documentos US 5545721 y US 6660267 describen la síntesis de un conjugado inmunoglobulina-antibiótico no específico que se une a la superficie de bacterias diana a través del antibiótico y los usos del mismo para tratar sepsis. El documento US 7569677 y patentes relacionadas sugieren anticuerpos proféticamente conjugados con antibióticos que tienen una parte de unión a antígeno específica para un antígeno bacteriano (tal como el polisacárido capsular de SA), pero carece de una región constante que reaccione con una proteína bacteriana de unión a Fc (por ejemplo, proteína A estafilocócica).

El documento WO 2004/050846 describe el uso de composiciones que comprenden anticuerpos anti-WTA para su uso como vacunas para tratar infecciones por estafilococos mediante la unión a S. *aureus* para bloquear la infección.

El documento US 6.322.788 describe anticuerpos capaces de unirse a un antígeno bacteriano que carece de la capacidad de unirse a proteínas bacterianas de unión a Fc.

El documento WO 2006/081711 describe conjugados anticuerpo-fármaco usando péptidos de auristatina, incluyendo MeVal-Val-Dil-Dap-Norefedrina (MMAE) y MeVal-Val-Dil-Dap-Phe (MMAF).

Sumario de la invención

10

15

25

35

55

65

La invención se define en las reivindicaciones adjuntas.

Cualquier ejemplo de acuerdo con la invención como se define en las reivindicaciones forma una realización de la invención.

La invención proporciona composiciones denominadas "conjugados anticuerpo-antibiótico" o "AAC", por sus siglas en inglés) que comprenden un anticuerpo conjugado por una unión covalente a uno o más restos antibióticos de tipo rifamicina como se establece en las reivindicaciones.

Los conjugados anticuerpo-antibiótico de la invención pueden emplear un anticuerpo monoclonal anti-WTA, que comprende una cadena ligera y una cadena H, comprendiendo, la cadena L, CDR L1, CDR L2 y CDR L3 y comprendiendo la cadena H, CDR H1, CDR H2 y CDR H3, en donde la CDR L1, CDR L2, y CDR L3 y CDR H1, CDR H2 y CDR H3 comprenden las secuencias de aminoácidos de las CDR de cada uno de los Ac 4461 (SEQ ID NO: 1-6), 4624 (SEQ ID NO: 7-12), 4399 (SEQ ID NO: 13-18) y 6267 (SEQ ID NO: 19-24) respectivamente, como se muestra en las Tablas 6A y 6B.

En un ejemplo, el anticuerpo monoclonal anti-WTA aislado comprende una región variable de cadena pesada que comprende una región variable de cadena pesada (VH), en donde la VH comprende al menos un 95 % de identidad de secuencia a lo largo de la región VH seleccionada de la secuencia de VH de SEQ ID NO: 26, SEQ ID NO: 28, SEQ ID NO: 30, SEQ ID NO: 32 de los anticuerpos 4461, 4624, 4399 y 6267, respectivamente. En un ejemplo, este anticuerpo comprende además una región variable de cadena L (VL) en donde la VL comprende al menos un 95 % de identidad de secuencia a lo largo de la región VL seleccionada de la secuencia de VL de SEQ ID NO: 25, SEQ ID NO: 27, SEQ ID NO: 29, SEQ ID NO: 31 de los anticuerpos 4461, 4624, 4399 y 6267, respectivamente. En otro ejemplo, el anticuerpo monoclonal anti-WTA aislado comprende una región variable de cadena L (VL) en donde la VL comprende al menos un 95 % de identidad de secuencia a lo largo de la región VL seleccionada de la secuencia de VL de SEQ ID NO: 25, SEQ ID NO: 27, SEQ ID NO: 29, SEQ ID NO: 31 de los anticuerpos 4461, 4624, 4399 y 6267, respectivamente. En cualquiera de los ejemplos anteriores, la identidad de secuencia puede ser del 96 %, 97 %, 98 %, 99 % o 100 %.

En ejemplos más específicos, el anticuerpo comprende:

- (i) VL de SEQ ID NO: 25 y VH de SEQ ID NO: 26;
- (ii) VL de SEQ ID NO: 27 y VH de SEQ ID NO: 28;
- (iii) VL de SEQ ID NO: 29 y VH de SEQ ID NO: 30; o
- (iv) VL de SEQ ID NO: 31 y VH de SEQ ID NO: 32.
- 60 En algunos ejemplos, el anticuerpo monoclonal anti-WTA (ácido teicoico de pared) aislado comprende una cadena ligera (L) y una cadena pesada (H), en donde:
 - (a) la cadena L comprende CDR L1 que comprende la secuencia de KSSQSVLSRANNNYYVA (SEQ ID NO: 1), CDR L2 que comprende la secuencia de WASTREF (SEQ ID NO: 2) y CDR L3 que comprende la secuencia de QQYYTSRRT (SEQ ID NO: 3); y la cadena H comprende CDR H1 que comprende la secuencia de DYYMH (SEQ ID NO: 4), CDR H2 que comprende la secuencia de WINPKSGGTNYAQRFQG (SEQ ID NO: 5) y CDR H3

que comprende la secuencia de DCGSGGLRDF (SEQ ID NO: 6);

5

10

15

20

25

30

45

50

55

(b) la cadena L comprende CDR L1 que comprende la secuencia de RSNQNLLSSSNNNYLA (SEQ ID NO: 7), CDR L2 que comprende la secuencia de WASTRES (SEQ ID NO: 8) y CDR L3 que comprende la secuencia de QQYYANPRT (SEQ ID NO: 9); y la cadena H comprende CDR H1 que comprende la secuencia de DYYIH (SEQ ID NO: 10), CDR H2 que comprende la secuencia de WINPNTGGTYYAQKFRD (SEQ ID NO: 11) y CDR H3 que comprende la secuencia de DCGRGGLRDI (SEQ ID NO: 12);

(c) la cadena L comprende CDR L1 que comprende la secuencia de KSNQNVLASSNDKNYLA (SEQ ID NO: 13), CDR L2 que comprende la secuencia de WASIRES (SEQ ID NO: 14) y CDR L3 que comprende la secuencia de QQYYTNPRT (SEQ ID NO: 15); y la cadena H comprende CDR H1 que comprende la secuencia de DYYIH (SEQ ID NO: 16), CDR H2 que comprende la secuencia de WINPNTGGTNYAQKFQG (SEQ ID NO: 17) y CDR H3 que comprende la secuencia de DCGNAGLRDI (SEQ ID NO: 18); o

(d) la cadena L comprende CDR L1 que comprende la secuencia de KSSQNVLYSSNNKNYLA (SEQ ID NO: 19), CDR L2 que comprende la secuencia de WASTRES (SEQ ID NO: 20) y CDR L3 que comprende la secuencia de QQYYTSPPYT (SEQ ID NO: 21); y la cadena H comprende CDR H1 que comprende la secuencia de SYWIG (SEQ ID NO: 22), CDR H2 que comprende la secuencia de IIHPGDSKTRYSPSFQG (SEQ ID NO: 23) y CDR H3 que comprende la secuencia de LYCSGGSCYSDRAFSSLGAGGYYYYGMGV (SEQ ID NO: 24).

En una cualquiera de las realizaciones anteriores, el anticuerpo puede ser un fragmento de unión a antígeno que carece de una región Fc. En algunas realizaciones, el anticuerpo es un F(ab) o F(ab')₂. En algunas realizaciones, el anticuerpo comprende además una región constante de cadena pesada y/o una región constante de cadena ligera, en donde la región constante de cadena pesada y/o la región constante de cadena ligera comprenden uno o más aminoácidos que están sustitución de aminoácidos A118C y/o S400C, y/o la región constante de cadena ligera comprende la sustitución de aminoácidos V205C, en donde la numeración está de acuerdo con la numeración EU. En algunos ejemplos, la región constante de cadena pesada comprende la secuencia de aminoácidos de SEQ ID NO: 149 y/o la región constante de cadena ligera comprende la secuencia de aminoácidos de SEQ ID NO: 149 y la región constante de cadena pesada comprende la secuencia de aminoácidos de SEQ ID NO: 149 y la región constante de cadena ligera comprende la secuencia de aminoácidos de SEQ ID NO: 150. En algunos ejemplos, la región constante de cadena pesada comprende la secuencia de aminoácidos de SEQ ID NO: 150. En algunos ejemplos, la región constante de cadena pesada comprende la secuencia de aminoácidos de SEQ ID NO: 148 y la región constante de cadena ligera comprende la secuencia de aminoácidos de SEQ ID NO: 148 y la región constante de cadena ligera comprende la secuencia de aminoácidos de SEQ ID NO: 148 y la región constante de cadena ligera comprende la secuencia de aminoácidos de SEQ ID NO: 148 y la región constante de cadena ligera comprende la secuencia de aminoácidos de SEQ ID NO: 148 y la región constante de cadena ligera comprende la secuencia de aminoácidos de SEQ ID NO: 151.

En un aspecto, el Ac de una cualquiera de las realizaciones anteriores se une a WTA alfa.

En otro aspecto, la invención emplea un anticuerpo monoclonal anti-WTA aislado que comprende una cadena ligera y una cadena H, comprendiendo, la cadena L, CDR L1, CDR L2 y CDR L3 y/o comprendiendo, la cadena H, CDR H1, CDR H2 y CDR H3, en donde la CDR L1, CDR L2, y CDR L3 y CDR H1, CDR H2 y CDR H3 comprenden las secuencias de aminoácidos de las CDR correspondientes de cada uno de los Ac mostrados en la Figura 14 (SEQ ID NO: 33-110). En otro aspecto, la invención proporciona un anticuerpo monoclonal anti-WTA aislado que comprende una cadena ligera y una cadena H, comprendiendo, la cadena L, CDR L1, CDR L2 y CDR L3 y/o comprendiendo, la cadena H, CDR H1, CDR H2 y CDR H3, en donde la CDR L1, CDR L2, y CDR L3 y CDR H1, CDR H2 y CDR H3 comprenden las secuencias de aminoácidos de las CDR correspondientes de cada uno de los Ac mostrados en la Figura 15A, 15B, 16A y 16B (anticuerpos 6078, 6078.v2HC-Cys, 6078.v2HC-Cys, 6078.v3HC-Cys, 6078.v3HC-Cys, 6078.v4HC-Cys, 6078.v4HCLC-Cys, 6078.v4HCLC-Cys, 4497.v8HC-Cys, 4497.v8HC-Cys, 4497.v8HC-Cys y 4497.v8HCLC-Cys). En una realización específica, estos Ac se unen a WTA beta.

En otro aspecto, la invención emplea un anticuerpo monoclonal anti-WTA aislado, específicamente el anticuerpo monoclonal anti-WTA beta que comprende una región variable de cadena L (VL) en donde la VL comprende al menos un 95 % de identidad de secuencia a lo largo de la región VL seleccionada de la secuencia de VL correspondiente a cada uno de los anticuerpos 6078, 6263, 4450, 6297, 6239, 6232, 6259, 6292, 4462, 6265, 6253, 4497 y 4487 respectivamente, tal como se muestra en las Figuras 17A-1 a 17A-2 en las posiciones Kabat 1-107. En ejemplos adicionales, el anticuerpo además comprende una región variable de cadena pesada que comprende una región variable de cadena pesada (VH), en donde la VH comprende al menos un 95 % de identidad de secuencia a lo largo de la región VH seleccionada de las secuencias de VH correspondientes a cada uno de los anticuerpos 6078, 6263, 4450, 6297, 6239, 6232, 6259, 6292, 4462, 6265, 6253, 4497 y 4487 respectivamente, tal como se muestra en las Figuras 17B-1 a 17B-2 en las posiciones Kabat 1-113. En cualquiera de las realizaciones anteriores, la identidad de secuencia puede ser del 96 %, 97 %, 98 %, 99 % o 100 %. En un ejemplo más específico del anticuerpo, la VH comprende la secuencia de SEQ ID NO: 112 y la VL comprende la SEQ ID NO: 111.

En otro aspecto, la invención emplea un anticuerpo monoclonal anti-WTA aislado, específicamente el anticuerpo monoclonal anti-WTA beta que comprende una región variable de cadena L (VL) en donde la VL comprende al menos un 95 % de identidad de secuencia a lo largo de la región VL seleccionada de la secuencia de VL correspondiente a cada uno de los anticuerpos como se muestra en las Figuras 15A o 16A (anticuerpos 6078, 6078.v2HC-Cys, 6078.v3HC-Cys, 6078.v3HC-Cys, 6078.v4HC-Cys, 6078.v4HC-Cys, 6078.v4HC-Cys, 6078.v4HC-Cys, 4497.v8HC-Cys, 4497.v8HC-Cys, 4497.v8HC-Cys y 4497.v8HCLC-Cys) en las posiciones Kabat 1-107. En ejemplos adicionales, el anticuerpo además comprende una región variable de cadena pesada que comprende una región variable de cadena pesada (VH), en donde la VH comprende al menos un 95 % de identidad de secuencia a lo largo

de la región VH seleccionada de las secuencias de VH correspondientes a cada uno de los anticuerpos como se muestra en las Figuras 15B y 16B (anticuerpos 6078, 6078.v2HC-Cys, 6078.v2LC-Cys, 6078.v3HC-Cys, 6078.v4HC-Cys, 6078.v4HC-Cys, 6078.v4HC-Cys, 6078.v4HCLC-Cys, 4497.v8HC-Cys, 4497.v8HC-Cys y 4497.v8HC-Cys y 4497.v8HC-Cys) en las posiciones Kabat 1-113. En cualquiera de las realizaciones anteriores, la identidad de secuencia puede ser del 96 %, 97 %, 98 %, 99 % o 100 %. En una realización adicional, este anticuerpo comprende además, una VL que tiene al menos un 95 % de identidad de secuencia con la SEQ ID NO: 119.

Las variantes de cadena H y L modificadas por ingeniería con Cys de anti-WTA beta pueden emparejarse en cualquiera de las siguientes combinaciones para formar Ac completos para conjugarse con productos intermedios enlazador-Abx para generar los AAC anti-WTA de la invención. En una realización, la cadena L comprende la secuencia de SEQ ID NO: 121 y la cadena H comprende la secuencia de SEQ ID NO: 124. En otra realización, el anticuerpo aislado comprende una cadena L de SEQ ID NO: 123 y una cadena H que comprende una secuencia de SEQ ID NO: 124 o SEQ ID NO: 157. En una realización particular, el anticuerpo anti-WTA beta así como el AAC anti-WTA beta de la invención comprende una cadena L de SEQ ID NO: 123.

Otro ejemplo más es un anticuerpo que se une al mismo epítopo que cada uno de los Ac anti-WTA alfa de la Figura 13A y la Figura 13B. También se proporciona un anticuerpo que se une al mismo epítopo que cada uno de los Ac anti-WTA beta de la Figura 14, Figuras 15A y 15B, Figuras 16A y 16B, y Figuras 17A y 17B.

20 En una realización adicional, los anticuerpos anti-WTA beta y anti-WTA alfa de la presente invención son fragmentos de unión a antígeno que carecen de región Fc, preferentemente F(ab')₂ o F(ab). Por lo tanto, la presente invención proporciona conjugados anticuerpo-antibiótico en donde el anticuerpo de WTA es un F(ab')₂ o F(ab).

En otro aspecto, la invención emplea un anticuerpo monoclonal anti-WTA que se une a WTA beta.

10

15

25

35

50

55

60

65

En algunos ejemplos, el anticuerpo monoclonal anti-WTA (ácido teicoico de pared) aislado comprende una cadena ligera (L) y una cadena pesada (H), en donde:

(a) la cadena L comprende CDR L1 que comprende la secuencia de KSSQSIFRTSRNKNLLN (SEQ ID NO: 99),
 30 CDR L2 que comprende la secuencia de WASTRKS (SEQ ID NO: 100) y CDR L3 que comprende la secuencia de QQYFSPPYT (SEQ ID NO: 101); y la cadena H comprende CDR H1 que comprende la secuencia de SFWMH (SEQ ID NO: 102), CDR H2 que comprende la secuencia de FTNNEGTTTAYADSVRG (SEQ ID NO: 103), y CDR H3 que comprende la secuencia de GDGGLDD (SEQ ID NO: 104); o

(b) la cadena L comprende CDR L1 que comprende la secuencia de KSSQSIFRTSRNKNLLN (SEQ ID NO: 99), CDR L2 que comprende la secuencia de WASTRKS (SEQ ID NO: 100) y CDR L3 que comprende la secuencia de QQYFSPPYT (SEQ ID NO: 101); y la cadena H comprende CDR H1 que comprende la secuencia de SFWMH (SEQ ID NO: 102), CDR H2 que comprende la secuencia de FTNNEGTTTAYADSVRG (SEQ ID NO: 103), y CDR H3 que comprende la secuencia de GEGGLDD (SEQ ID NO: 118).

En algunas realizaciones, el anticuerpo monoclonal anti-WTA aislado comprende una región variable de cadena pesada (VH), en donde la VH comprende una secuencia de aminoácidos que tiene al menos un 95 % de identidad de secuencia a lo largo de la secuencia de VH SEQ ID NO: 120 o SEQ ID NO: 156. En algunas realizaciones, el anticuerpo comprende además una región variable de cadena ligera (VL), en donde la VL comprende una secuencia de aminoácidos que tiene al menos un 95 % de identidad de secuencia a lo largo de la secuencia de VL SEQ ID NO: 119. En algunas realizaciones, el anticuerpo monoclonal anti-WTA aislado comprende una región variable de cadena

ligera (VL), en donde la VL comprende una secuencia de aminoácidos que tiene al menos un 95 % de identidad de secuencia a lo largo de la secuencia de VL SEQ ID NO: 119. En cualquiera de las realizaciones anteriores, la identidad de secuencia puede ser del 96 %, 97 %, 98 %, 99 % o 100 %. En algunas realizaciones, el anticuerpo monoclonal anti-WTA aislado comprende una región variable de cadena ligera (VL) y una región variable de cadena pesada (VH), en donde la VL comprende la secuencia de SEQ ID NO: 119 y la VH comprende la secuencia de SEQ ID NO: 120 o SEQ ID NO: 156.

En algunas realizaciones descritas anteriormente, el anticuerpo es un fragmento de unión a antígeno que carece de una región Fc. En algunas realizaciones, el anticuerpo es un F(ab) o F(ab')₂. En algunas realizaciones, el anticuerpo comprende además una región constante de cadena pesada y/o una región constante de cadena ligera, en donde la región constante de cadena pesada y/o la región constante de cadena ligera comprenden uno o más aminoácidos que están sustituidos con restos de cisteína. En algunas realizaciones, la región constante de cadena pesada comprende la sustitución de aminoácidos A118C o S400C, y/o la región constante de cadena ligera comprende la sustitución de aminoácidos V205C, en donde la numeración está de acuerdo con la numeración EU. En algunas realizaciones, la región constante de cadena pesada comprende la secuencia de aminoácidos de SEQ ID NO: 149 y/o la región constante de cadena ligera comprende la secuencia de aminoácidos de SEQ ID NO: 149 y la región constante de cadena ligera comprende la secuencia de aminoácidos de SEQ ID NO: 150. En algunas realizaciones, la región constante de cadena pesada comprende la secuencia de aminoácidos de SEQ ID NO: 150. En algunas realizaciones, la región constante de cadena pesada comprende la secuencia de aminoácidos de SEQ ID NO: 148 y la región constante de cadena ligera comprende la secuencia de aminoácidos de SEQ ID NO: 148 y la región constante de cadena ligera comprende la secuencia de aminoácidos de SEQ ID NO: 148 y la región constante de cadena ligera comprende la secuencia de aminoácidos de SEQ ID NO: 151.

En algunas realizaciones, el anticuerpo monoclonal anti-WTA aislado comprende una cadena pesada y una cadena ligera, en donde la cadena pesada comprende la secuencia de SEQ ID NO: 146, SEQ ID NO: 147, SEQ ID NO: 157 o SEQ ID NO: 124 y la cadena ligera comprende la secuencia de SEQ ID NO: 121. En algunas realizaciones, el anticuerpo monoclonal anti-WTA aislado comprende una cadena pesada y una cadena ligera, en donde la cadena pesada comprende la secuencia de SEQ ID NO: 146, SEQ ID NO: 147, SEQ ID NO: 157 o SEQ ID NO: 124, y la cadena ligera comprende la secuencia de SEQ ID NO: 123. En algunas realizaciones, el anticuerpo monoclonal anti-WTA aislado comprende una cadena pesada y una cadena ligera, en donde la cadena pesada comprende la secuencia de SEQ ID NO: 146, SEQ ID NO: 147, SEQ ID NO: 157 o SEQ ID NO: 124 y la cadena ligera comprende la secuencia de SEQ ID NO: 145.

10

15

En algunas realizaciones de cualquiera de los anticuerpos descritos anteriormente, el anticuerpo no es un isotipo IgM. En algunas realizaciones de cualquiera de los anticuerpos descritos anteriormente, el anticuerpo es un isotipo IgG (por ejemplo, IgG1, IgG2, IgG3, IgG4), IgE, IgD o IgA (por ejemplo, IgA1 o IgA2). En algunas realizaciones de cualquiera de los anticuerpos descritos anteriormente, el anticuerpo es producido por una célula hospedadora en cultivo celular. En algunas realizaciones, la célula hospedadora es una célula no humana. En algunas realizaciones, la célula hospedadora es una célula de mamífero (por ejemplo, una célula humana o de mamífero no humano). En algunas realizaciones, la célula hospedadora es una célula CHO.

- También se describe un ácido nucleico aislado que codifica cualquiera de los anticuerpos divulgados en el presente documento. También se describe un vector que comprende un ácido nucleico que codifica cualquiera de los anticuerpos divulgados en el presente documento. El vector de expresión puede ser un vector de expresión.
- También se describe una célula hospedadora que comprende un ácido nucleico que codifica cualquiera de los anticuerpos divulgados en el presente documento. La célula hospedadora puede ser procariota o eucariota. La célula hospedadora puede ser una célula de mamífero (por ejemplo, una célula humana o de mamífero no humano). En algunas realizaciones, la célula hospedadora es una célula CHO.
- También se describe un método para producir un anticuerpo que comprende cultivar una célula hospedadora que comprende un ácido nucleico que codifica cualquiera de los anticuerpos divulgados en el presente documento en condiciones adecuadas para la expresión del ácido nucleico; y recuperar el anticuerpo producido por la célula. El método puede comprender además purificar el anticuerpo.
- Otro aspecto de la invención es un compuesto conjugado anticuerpo-antibiótico (AAC) que comprende un anticuerpo anti-ácidos teicoicos de pared (WTA) de la invención, fijado covalentemente por un enlazador peptídico a un antibiótico de tipo rifamicina como se establece en las reivindicaciones. En algunas realizaciones, el anticuerpo anti-ácidos teicoicos de pared (WTA) se une a *Staphylococcus aureus*. En algunas realizaciones, el anticuerpo anti-ácidos teicoicos de pared se une a *Staphylococcus aureus* resistente a meticilina (MRSA).
- En algunos ejemplos de los conjugados anticuerpo-antibiótico divulgados en el presente documento, el anticuerpo comprende: i) CDR de cadena L y cadena H de SEQ ID NO: 99-104 o ii) la VL de SEQ ID NO: 119 o SEQ ID NO: 123 emparejada con la VH de SEQ ID NO: 120 o SEQ ID NO: 156; o iii) la VL de SEQ ID NO: 111 emparejada con la VH de SEQ ID NO: 112.
- En algunos ejemplos, El antibiótico de tipo rifamicina es un antibiótico de tipo rifalazil. En algunas realizaciones, el antibiótico de tipo rifamicina comprende una amina cuaternaria fijada al enlazador peptídico. En algunas realizaciones, el antibiótico está fijado al anticuerpo a través de un enlazador peptídico que está fijado a una cisteína modificada por ingeniería del anticuerpo anti-WTA. La cisteína modificada por ingeniería puede estar en la cadena L o H del anticuerpo modificado. En algunas realizaciones, el resto de cisteína está en la cadena L. En algunas realizaciones, el resto de cisteína está en la cadena H.

Los compuestos conjugados anticuerpo-antibiótico de la invención pueden comprender un enlazador peptídico que es un enlazador escindible por cisteína proteasa de S. *aureus*; tales enlazadores incluyen un enlazador escindible por estafopaína B o por estafopaína A. En una realización, la proteasa de S. *aureus* es una endopeptidasa. En otra realización, el enlazador es un enlazador escindible por proteasas del hospedador preferentemente un enlazador escindible por la proteasa catepsina B humana (por ejemplo, un enlazador de dipéptido val-cit).

Una realización a modo de ejemplo de un compuesto conjugado anticuerpo-antibiótico tiene la fórmula:

60

65

55

Ac-(L-abx)_p

en donde:

Ac es el anticuerpo anti-ácidos teicoicos de pared; L es el enlazador peptídico que tiene la fórmula:

-Str-Pep-Y-

donde Str es una unidad extensora; Pep es un péptido de dos a doce restos de aminoácidos e Y es una unidad espaciadora;

abx es el antibiótico de tipo rifamicina; y p es un número entero de 1 a 8.

En una realización, los compuestos conjugados anticuerpo-antibiótico de cualquiera de los anteriores comprenden una relación antibiótico anticuerpo (AAR, por sus siglas en inglés) de 2 o 4.

En algunas realizaciones, el compuesto conjugado anticuerpo-antibiótico es de la fórmula I:

15 en donde:

25

5

10

las líneas discontinuas indican un enlace opcional;

R es H, alquilo C_1 - C_{12} o $C(O)CH_3$;

R¹ es OH;

20 R^2 es CH=N-(heterociclilo), en donde el heterociclilo está opcionalmente sustituido con uno o más grupos seleccionados independientemente de C(O)CH₃, alquilo C₁-C₁₂-, heteroarilo C₁-C₁₂, heterociclilo C₂-C₂₀, arilo C₆ - C₂₀ y carbociclilo C₃-C₁₂;

o R^1 y R^2 forman un heteroarilo o heterociclilo de cinco o seis miembros fusionado y formando, opcionalmente, un anillo de heteroarilo, heterociclilo, arilo, o carbociclilo de seis miembros espiro o fusionado, en donde el anillo de heteroarilo, heterociclilo, arilo, o carbociclilo de seis miembros espiro o fusionado se sustituye opcionalmente por H, F, Cl, Br, I, alquilo C_1 - C_{12} u OH; L es el enlazador peptídico fijado a R^2 o al heteroarilo o heterociclilo fusionado formado por R^1 y R^2 ; y

L es el enlazador peptídico fijado a R² o al heteroarilo o heterociclilo fusionado formado por R' y R²; y Ac es el anticuerpo anti-ácidos teicoicos de pared (WTA).

30 En algunas de estas realizaciones, el compuesto conjugado anticuerpo-antibiótico de fórmula I es de la fórmula:

En algunas de estas realizaciones, el compuesto conjugado anticuerpo-antibiótico de fórmula I es de la fórmula:

35

en donde R⁵ se selecciona independientemente de H y alquilo C₁-C₁₂; y n es 0 o 1.

En algunas de estas realizaciones, el compuesto conjugado anticuerpo-antibiótico de fórmula I es de la fórmula:

en donde R³ se selecciona independientemente de H y alquilo C₁-C₁₂; y n es 1 o 2.

En algunas realizaciones particulares, el compuesto conjugado anticuerpo-antibiótico de fórmula I es de la fórmula:

10

20

5

En algunas realizaciones, se proporciona un compuesto conjugado anticuerpo-antibiótico (AAC) que comprende un anticuerpo anti-ácidos teicoicos de pared (WTA) de la invención, fijado covalentemente por un enlazador peptídico a un antibiótico de tipo rifamicina, donde el enlazador peptídico tiene la fórmula:

15

-Str-Pep-Y-

donde Str es una unidad extensora unida covalentemente al anticuerpo anti-ácidos teicoicos de pared (WTA); Pep es un péptido de dos a doce restos de aminoácidos e Y es una unidad espaciadora fijada covalentemente al antibiótico de tipo rifamicina. En algunas de estas realizaciones, Str tiene la fórmula:

$$N-R^6-C(O)$$

25

en donde R^6 se selecciona del grupo que consiste en -alquilleno C_1 - C_{10} , -carbociclo C_3 - C_8 , -O-(alquilo C_1 - C_8), -arilleno-, -alquilleno-arilleno C_1 - C_{10} , -arilleno-arilleno C_1 - C_{10} , -alquilleno C_1 - C_{10} -(carbociclo C_3 - C_8)-alquilleno C_1 - C_{10} -, -heterociclo C_3 - C_8)-alquilleno C_1 - C_{10} -, -heterociclo C_3 - C_8)-alquilleno C_1 - C_{10} -, -(C_1 - C_1

independientemente de glicina, alanina, fenilalanina, lisina, arginina, valina y citrulina. En una variación, Pep se selecciona de valina-citrulina (val-cit, vc); fenilalanina-lisina (fk); GGAFAGGG (SEQ ID NO: 126); tpm-cit; GPImeLFF (SEQ ID NO: 129); valina-citrulina-fenilalanina (val-cit-phe); GGAFA (SEQ ID NO: 131); y LAFG (SEQ ID NO: 128). En algunas de estas realizaciones, Y comprende paraaminobencilo o paraaminobenciloxicarbonilo.

En algunas realizaciones, el compuesto conjugado anticuerpo-antibiótico tiene la fórmula:

$$Ac - Str - N + O + AA2$$

$$Ac - AA2 + AA2 + AA2$$

donde Ac, Str, Y y abx son como se definen en el presente documento, y AA1 y AA2 se seleccionan independientemente de una cadena lateral de aminoácidos. En algunas de estas realizaciones, la cadena lateral de aminoácidos se selecciona independientemente de H, -CH₃, -CH₂(C₆H₅), -CH₂CH₂CH₂CH₂NH₂, -CH₂CH₂CH₂NHC(NH)NH₂, -CHCH(CH₃)CH₃ y -CH₂CH₂CH₂CH₂NHC(O)NH₂. En algunas de estas realizaciones, el compuesto conjugado anticuerpo-antibiótico tiene la fórmula:

5

$$Ac \xrightarrow{O} \xrightarrow{N} \xrightarrow{AA1} \xrightarrow{H} \xrightarrow{O} \xrightarrow{AA2} \xrightarrow{Abx}$$

0

5

10

En algunas de estas realizaciones, el compuesto conjugado anticuerpo-antibiótico tiene la fórmula:

$$Ac \xrightarrow{O} \underset{H}{\overset{O}{\bigvee}} \underset{O}{\overset{AA1}{\bigvee}} \underset{H}{\overset{H}{\bigvee}} \underset{O}{\overset{O}{\bigvee}} \underset{AA2}{\overset{R^7}{\bigvee}} \underset{H}{\overset{R^7}{\bigvee}} \underset{R^7}{\overset{R^7}{\bigvee}} \underset{O}{\overset{abx}{\bigvee}} \underbrace{$$

donde R⁷ se selecciona independientemente de H y alquilo C₁-C₁₂. En algunas de estas realizaciones, el compuesto

conjugado anticuerpo-antibiótico tiene la fórmula:

Otro aspecto de la invención es una composición farmacéutica que comprende un compuesto conjugado anticuerpoantibiótico de la invención.

En un aspecto, la presente invención proporciona un conjugado anticuerpo-antibiótico como se establece en las reivindicaciones para su uso en un método de tratamiento de una infección bacteriana en un paciente, en donde la infección bacteriana es una infección por *Staphylococcus aureus*. En algunas realizaciones, el paciente ha sido diagnosticado con una infección por *Staphylococcus aureus*. En algunas realizaciones, tratar la infección bacteriana comprende reducir la carga bacteriana.

En un aspecto, la presente invención proporciona un conjugado anticuerpo-antibiótico como se establece en las reivindicaciones para su uso en un método de reducción del número de células bacterianas intracelulares de *Staphylococcus aureus* en las células hospedadoras de un paciente infectado por *Staphylococcus aureus* sin reducir el número de células hospedadoras. Este uso puede comprender destruir las células bacterianas persistentes (por ejemplo, estafilococo A) *in vivo* poniendo en contacto las bacterias persistentes con un AAC de cualquiera de las realizaciones anteriores.

En otra realización, el uso médico comprende además administrar un segundo agente terapéutico. En una realización adicional, el segundo agente terapéutico es un antibiótico que incluye un antibiótico contra Staphylococcus aureus en general o contra MRSA en particular.

En una realización, el segundo antibiótico administrado en combinación con el compuesto conjugado anticuerpoantibiótico de la invención se selecciona de las clases estructurales: (i) aminoglucósidos; (ii) betalactámicos; (iii) macrólidos/péptidos cíclicos; (iv) tetraciclinas; (v) fluoroquinolinas/fluoroquinolonas; (vi) y oxazolidinonas.

En una realización, el segundo antibiótico administrado en combinación con el compuesto conjugado anticuerpoantibiótico de la invención se selecciona de clindamicina, novobiocina, retapamulina, daptomicina, GSK-2140944, CG-400549, sitafloxacino, teicoplanina, triclosán, naftiridona, radezolida, doxorrubicina, ampicilina, vancomicina, imipenem, doripenem, gemcitabina, dalbavancina y azitromicina.

30 En algunas realizaciones en el presente documento, la carga bacteriana en el sujeto se ha reducido a un nivel indetectable después del tratamiento. En una realización, el hemocultivo del paciente es negativo después del tratamiento en comparación con un hemocultivo positivo antes del tratamiento. En algunas realizaciones en el presente documento, la resistencia bacteriana en el sujeto es indetectable o baja. En algunas realizaciones en el presente documento, el sujeto no responde al tratamiento con meticilina o vancomicina.

Otro aspecto de la invención es un proceso para preparar un anticuerpo o un compuesto conjugado anticuerpoantibiótico de la invención que comprende conjugar un antibiótico de tipo rifamicina con un anticuerpo anti-ácidos teicoicos de pared (WTA) como se establece en las reivindicaciones.

40 Otro aspecto de la invención es un kit para tratar una infección bacteriana que comprende una composición farmacéutica de la invención e instrucciones para su uso como se establece en las reivindicaciones.

También se describe un producto intermedio enlazador-antibiótico que tiene la Fórmula II:

en donde:

las líneas discontinuas indican un enlace opcional;

R es H, alquilo C_1 - C_{12} o $C(O)CH_3$;

R₂ es OH;

R² es CH=N-(heterociclilo), en donde el heterociclilo está opcionalmente sustituido con uno o más grupos

Π

13

45

50

20

35

seleccionados independientemente de $C(O)CH_3$, alquilo C_1 - C_{12} -, heteroarilo C_1 - C_{12} , heterociclilo C_2 - C_{20} , arilo C_6 - C_{20} y carbociclilo C_3 - C_{12} ; o R^1 y R^2 forman un heteroarilo o heterociclilo de cinco o seis miembros fusionado y formando, opcionalmente,

o R^1 y R^2 forman un heteroarilo o heterociclilo de cinco o seis miembros fusionado y formando, opcionalmente, un anillo de heteroarilo, heterociclilo, arilo, o carbociclilo de seis miembros espiro o fusionado, en donde el anillo de heteroarilo, heterociclilo, arilo, o carbociclilo de seis miembros espiro o fusionado se sustituye opcionalmente por H, F, Cl, Br, I, alquilo C_1 - C_{12} u OH;

por H, F, Cl, Br, I, alquilo C₁-C₁₂ u OH; L es un enlazador peptídico fijado a R² o al heteroarilo o heterociclilo fusionado formado por R¹ y R²; y que tiene la fórmula:

10 -Str-Pep-Y-

donde Str es una unidad extensora; Pep es un péptido de dos a doce restos de aminoácidos e Y es una unidad espaciadora; y

X es un grupo funcional reactivo seleccionado de maleimida, tiol, amino, bromuro, bromoacetamido, yodoacetamido, p-toluenosulfonato, yoduro, hidroxilo, carboxilo, piridil disulfuro y N-hidroxisuccinimida.

En algunos de los intermedios enlazador-antibiótico de Fórmula II, X es

20

5

15

El producto intermedio enlazador-antibiótico de Fórmula II puede tener la fórmula:

25 en donde

30

 R^3 se selecciona independientemente de H y alquilo C_1 - C_{12} ; n.es 1 o 2:

 R^4 se selecciona de H, F, Cl, Br, I, alquilo C_1 - C_{12} y OH; y Z se selecciona de NH, N(alquilo C_1 - C_{12}), O y S.

El producto intermedio enlazador-antibiótico de Fórmula II puede tener la fórmula:

OH OHOMAN OAC

NHOMAN OH

NHOMAN

También se proporciona un método para destruir *Staphylococcus aureus* intracelular en las células hospedadoras de un paciente infectado *Staphylococcus aureus* sin destruir las células hospedadoras que comprende administrar un conjugado anti-WTA-antibiótico detallado en el presente documento.

Debe entenderse que una, algunas, o todas las propiedades de las diferentes realizaciones descritas en el presente documento pueden combinarse para formar otras realizaciones de la presente invención. Estos y otros aspectos de la invención serán evidentes para un experto en la materia.

Breve descripción de los dibujos

5

15

20

25

30

La Figura 1 muestra que la exposición a vancomicina o rifampicina destruye el MRSA gradualmente. La vancomicina se probó a 2 μ g/ml (cuadrado abierto) y 20 μ g/ml (cuadrado cerrado). La rifampicina se probó a 0,02 μ g/ml (triángulo abierto) y 0,2 μ g/ml (triángulo cerrado).

La Figura 2 muestra que las células peritoneales infectadas fueron capaces de transferir la infección a los osteoblastos en presencia de vancomicina.

La Figura 3 muestra la pared celular de bacterias Gram positivas, tal como *S. aureus* con una representación en dibujo de los ácidos teicoicos de la pared (WTA), del ácido lipoteicoico (LTA) y de las vainas de Peptidoglicano (PGN) que estabilizan la membrana celular y proporcionan sitios de unión.

La Figura 4 muestra la estructura química y las modificaciones de glucosilo del Ácido Teicoico de Pared (WTA), descrito en detalle en Definiciones.

La Figura 5 muestra un posible mecanismo de activación del fármaco para conjugados anticuerpo-antibiótico (AAC). El antibiótico activo (Abx) se libera después de la internalización del AAC dentro de las células de mamíferos.

Las Figuras 6A y 6B resumen las características de los Ac de la exploración primaria de una biblioteca de Acm que muestran una unión ELISA positiva a las preparaciones de la pared celular de las cepas de S. *aureus*, cepa USA300 o Wood46, tal se describe en el ejemplo 21. De los Ac que se unen a WTA, 4 son específicos de WTA alfa y 13 se unen específicamente a WTA beta.

La figura 7A muestra un ensayo de macrófagos in vitro que demuestra que AAC destruye MRSA intracelular.

- La Figura 7B muestra la destrucción intracelular de MRSA (cepa USA300) con 50 μg/ml del AAC **102**tio-S4497-HC-A118C-pipBOR en macrófagos, osteoblastos (MG63), células epiteliales de las vías respiratorias (A549) y células endoteliales de la vena umbilical humana (HUVEC) en comparación con el anticuerpo anti-WTA S4497, no marcado, sin conjugar. La línea discontinua indica el límite de detección para el ensayo.
- La Figura 7C muestra la comparación de AAC realizados con los productos intermedios enlazador- antibiótico LA-**51** y LA-**54** (Tabla 2). MRSA se opsonizó con el anticuerpo S4497 solo o con AAC: AAC-**102** o AAC-**105** (Tabla 3) a diversas concentraciones que varían de 10 μg/ml a 0,003 μg/ml.
 - La Figura 7D muestra que AAC destruye las bacterias intracelulares sin dañar los macrófagos.
- La Figura 7E muestra la recuperación de USA300 vivas del interior de macrófagos a partir de la lisis de células de macrófagos anterior. Se recuperaron pocos (10.000 veces menos) *S. aureus* vivos de macrófagos infectados con bacterias opsonizadas con S-4497-AAC en comparación con los controles tratados con anticuerpos no marcados.
- La figura 8A muestra la eficacia *in vivo* de AAC **102**tio-S4497-HC-A118C-MC-vc-PAB-pipBOR en un modelo de infección intraperitoneal en ratones A/J. Los ratones se infectaron con MRSA mediante inyección intraperitoneal y se trataron con 50 mg/kg de anticuerpo S4497 solo o con 50 mg/kg de AAC **102** (HC-A114C Kabat = HC-A118C EU) por inyección intraperitoneal. Los ratones se sacrificaron 2 días después de la infección y se evaluó la carga bacteriana total en el sobrenadante peritoneal (bacterias extracelulares), en las células peritoneales (bacterias intracelulares) o en el riñón.
- La Figura 8B muestra un modelo de infección intravenosa, *in vivo*, en ratones A/J. Los ratones se infectaron con MRSA por inyección intravenosa y se trataron con 50 mg/Kg de anticuerpo S4497, 50 mg/Kg de AAC **102** tio-S4497-HC-A118C-MC-vc-PAB-pipBOR o con una mezcla simple de 50 mg/Kg de anticuerpo S4497 + 0,5 mg/Kg de rifamicina libre. La línea discontinua gris indica el límite de detección para cada órgano.
 - La Figura 9A muestra la eficacia de AAC **102** tio-S4497-HC-A118C-MC-vc-PAB-pipBOR en un modelo de infección intravenosa por titulación del AAC S4497-pipBOR.
- La Figura 9B muestra que AAC 105 tio-S4497-HC-A118C-MC-vc-PAB-dimetilpipBOR es más eficaz que AAC 102 tio-S4497-HC-A118C-MC-vc-PAB-pipBOR, en un modelo de infección intravenosa por titulación. Los tratamientos con el anticuerpo S4497, AAC 102 o AAC 112 tio-S4497-HC-A118C-MC-vc-PAB-dimetil-pipBOR se administraron a las dosis indicadas 30 minutos después de la infección. Los ratones se sacrificaron 4 días después de la infección y se determinó el número total de bacterias supervivientes por ratón (2 riñones agrupados) mediante siembra en placas.
 - La Figura 9C muestra que AAC 105 tio-S4497-HC-A118C-MC-vc-PAB-dimetilpipBOR es más eficaz que el anticuerpo S4497 o antibiótico dimetilpipBOR 7 solo en un modelo de infección intravenosa. Ratones CB17.SCID ratones infectados con 2x10⁷ UFC de MRSA por inyección intravenosa. Un día después de la infección, los ratones se trataron con 50 mg/Kg de anticuerpo S4497, 50 mg/Kg de AAC 105 o con 0,5 mg/Kg de dimetilpipBOR 7, la dosis equivalente de antibiótico contenida en 50 mg/Kg de AAC). Los ratones se sacrificaron 4 días después de la infección y se determinó el número total de bacterias supervivientes por ratón (2 riñones
- La Figura 10A muestra la prevalencia de anticuerpos anti-S. aureus en suero humano. Los pacientes infectados por S. aureus o los controles normales contienen altas cantidades de anticuerpo sérico específico de WTA con la misma especificidad que S4497 anti-WTA. Se examinó la unión de varias muestras de suero de tipo silvestre (WT, por sus siglas en inglés) a MRSA que expresaban el antígeno de S4497 frente a la unión a un mutante de la cepa de MRSA TarM/TarS DKO (doble nuligénica) que carece de las modificaciones de azúcares que reconoce el anticuerpo S4497.

35

agrupados) mediante siembra en placas.

- La Figura 10B muestra que un AAC es eficaz en presencia de niveles fisiológicos de IgG humana (10 mg/ml) en un ensayo de macrófagos *in vitro* con la cepa USA300 de MRSA. El 105 tio-S4497-HC-A118C-MC-vc-PAB-dimetilpipBOR es eficaz en presencia de 10 mg/ml de IgG humana. La cepa USA300 de MRSA se opsonizó con AAC solo o con AAC diluido en 10 mg/ml de IgG humana. El número total de bacterias intracelulares supervivientes se evaluó 2 días después de la infección.
- La figura 10C muestra un modelo de infección *in vivo* que demuestra que AAC es eficaz en presencia de niveles fisiológicos de IgG humana. Los datos combinados son de 3 experimentos independientes que usan dos preparaciones por separado de AAC **105** u **112** tio-S4497-HC-A118C-MC-vc-PAB-dimetilpipBOR. Los ratones tratados con el AAC tuvieron una reducción mayor de 4 en escala logarítmica en las cargas bacterianas (Prueba t de Student p = .0005).
- La figura 11A muestra el modelo de infección *in vivo* que demuestra que los AAC son más eficaces que el antibiótico vancomicina de tratamiento de referencia (SOC, por sus siglas en inglés) actual en ratones que se reconstituyen con niveles normales de IgG humana. Los ratones se trataron con anticuerpo S4497 (50 mg/Kg), vancomicina (100 mg/Kg), AAC **105** tio-S4497-HC-A118C-MC-vc-PAB-dimetilpipBOR (50 mg/Kg) o con un AAC preparado con un anticuerpo de control de isotipo que no reconoce MRSA, AAC **110** tio-hu-anti gD 5B5-HC-A118C-MC-vc-PAB-dimetilpipBOR (50 mg/Kg).
- La figura 11B muestra la unión relativa de anticuerpos anti-Staphylococcus aureus anticuerpos a la cepa USA300 aislada de riñones en un modelo de infección *in vivo*, tal como se determina por FACS. El anticuerpo S4497 reconoce una modificación de N-acetilglucosamina que está enlazada al ácido teicoico de la pared (WTA) a través de un enlace beta-anomérico en la pared celular de S. aureus. El anticuerpo S7578 se une a una modificación similar de N-acetilglucosamina que se une a WTA a través de un enlace alfa-anomérico. El anticuerpo rF1 es un anticuerpo anti-MRSA de control positivo que reconoce las modificaciones de azúcares encontradas en una familia de proteínas ancladas a la pared celular que contienen repetición de SDR. El

anticuerpo gD es una IgG₁ humana de control negativo que no reconoce S. aureus.

5

10

mediante ELISA.

La figura 11C muestra el modelo de infección *in vivo* que demuestra que el AAC, **129** tio-S6078-HC A1 14C-LCWT-MC-vc-PAB-dimetilpipBOR es más eficaz que el anticuerpo S4497 anti-WTA no marcado, de acuerdo con el mismo régimen que la Figura 11A, en ratones que se reconstituyen con niveles normales de IgG humana. Los ratones se trataron con anticuerpo S4497 (50 mg/Kg) o con AAC **129** tio-S6078-HC A114C-LCWT-MC-vc-PAB-dimetilpipBOR (50 mg/Kg).

La Figura 12 muestra un ensayo de inhibición del crecimiento que demuestra que los AAC no son tóxicos para S. aureus a menos que el enlazador se escinda por la catepsina B. A la izquierda se muestra un ensayo esquemático de liberación de catepsina (Ejemplo 20). El AAC se trata con catepsina B para liberar antibiótico libre. La cantidad total de actividad antibiótica en el AAC intacto frente al tratado con catepsina B se determina preparando diluciones en serie de la reacción resultante y determinando la dosis mínima de AAC que puede inhibir el crecimiento de S. aureus. El gráfico superior derecho muestra el ensayo de liberación de catepsina para 102 tio-S4497-HC-A118C-MC-vc-PAB-pipBOR y el gráfico inferior derecho muestra el ensayo de liberación de catepsina para 105 tio-S4497-HC-A118C-MC-vc-PAB-dimetilpipBOR.

- La Figura 13A muestra una alineación de secuencias de aminoácidos de las regiones variables de cadena ligera (VL) de cuatro anticuerpos anti-WTA alfa humanos (SEQ ID NO: 25, 27, 29 y 31, respectivamente, en orden de aparición). Las secuencias CDR, CDRL1, L2 y L3 de acuerdo con la numeración de Kabat están subrayadas. La Figura 13B muestra una alineación de las secuencias de aminoácidos de las regiones variables de cadena pesada (VH) de los cuatro anticuerpos anti-WTA alfa humanos de la Figura 13A. Las secuencias CDR, CDR H1, H2 y H3 según la numeración de Kabat están subrayadas (SEQ ID NO: 26, 28, 30 y 32, respectivamente, en
 - orden de aparición).
 - La Figura 14 muestra las secuencias CDR de las cadenas L y H de 13 anticuerpos anti-WTA beta humanos (SEQ ID NO: 33-110).
- Las Figuras 15A-1 y 15A-2 muestran una alineación de la cadena L de longitud completa (cadena ligera) del Ac 6078 anti-WTA beta (sin modificar) y sus variantes, v2, v3, v4 (SEQ ID NO: 113, 113, 115, 113, 115, 113, 115 y 115, respectivamente, en orden de aparición). Las secuencias CDR, CDRL1, L2 y L3 de acuerdo con la numeración de Kabat están subrayadas. Los recuadros muestran los restos de contacto y los restos de las CDR de acuerdo con Kabat y Chothia. Las variantes de la cadena L que contienen una Cys modificada por ingeniería se indican mediante la C en el cuadro negro al final de la región constante (en el resto EU n.º 205 en este caso).

 La designación variante, por ejemplo, v2LC-Cys significa la variante 2 que contiene una Cys modificada por ingeniería en la cadena L. HCI C-Cys significa que cada una de las cadenas H. y L. contiene una Cys modificada
- ingeniería en la cadena L. HCLC-Cys significa que cada una de las cadenas H y L contiene una Cys modificada por ingeniería. Las variantes 2, 3 y 4 tienen cambios en el inicio de la cadena H como se muestra en las Figuras 15B.
- Las Figuras 15B-1, 15B-2, 15B-3, 15B-4 muestran una alineación de la cadena H de longitud completa (cadena pesada) del Ac 6078 anti-WTA beta (sin modificar) y sus variantes, v2, v3, v4 (SEQ ID NO: 114, 139-144 y 143, respectivamente, en orden de aparición) que tienen cambios en el inicio de la cadena H. Las variantes de la cadena H que contienen una Cys modificada por ingeniería se indican mediante la C en el cuadro negro al final de la región constante (en el resto EU n.º 118 en este caso).
- Las Figuras 16A-1 y 16A-2 muestran una alineación de la cadena L de longitud completa del Ac 4497 anti-WTA beta (sin modificar) y las cadenas L modificadas por ingeniería con Cys (SEQ ID NO: 121, 123, 145 y 145, respectivamente, en orden de aparición). Las secuencias CDR, CDRL1, L2 y L3 de acuerdo con la numeración de Kabat están subrayadas. Los recuadros muestran los restos de contacto y los restos de las CDR de acuerdo con Kabat y Chothia. Las variantes de la cadena L que contienen una Cys modificada por ingeniería se indican mediante la C en el cuadro punteado al final de la región constante (en el resto EU n.º 205 en este caso).
- Las Figuras 16B-1, 16B-2, 16B-3 muestran una alineación de la cadena H de longitud completa del Ac anti-WTA beta 4497 (sin modificar) y su variante v8 con D alterada a E en la posición 96 de CDR H3, con o sin la Cys modificada por ingeniería (SEQ ID NO: 146-147, 157 y 147, respectivamente, en orden de aparición). Las variantes de la cadena H que contienen una Cys modificada por ingeniería se indican mediante la C en el cuadro negro al final de la región constante (en el resto EU n.º 118 en este caso).
- Las Figuras 17A-1, 17A-2, 17A-3 muestran una alineación de las secuencias de aminoácidos de la cadena ligera de longitud total de los trece anticuerpos anti-WTA beta humanos (SEQ ID NO: 113, 158-167, 121 y 168, respectivamente, en orden de aparición). La región variable (VL) abarca las posiciones de aminoácidos de Kabat 1 a 107. Las secuencias CDR, CDRL1, L2 y L3 de acuerdo con la numeración de Kabat están subrayadas.
- Las Figuras 17B-1 a 17B-6 muestran una alineación de las secuencias de aminoácidos de la cadena pesada de longitud completa de los trece anticuerpos anti-WTA beta humanos de las Figuras 17A-1, 17A-2, 17A-3 (SEQ ID NO: 114, 169- 176, 133-134, 138 y 127, respectivamente, en orden de aparición). La región variable (VH) abarca las posiciones de aminoácidos de Kabat 1-113. Las secuencias CDR, CDR H1, H2 y H3 de acuerdo con la numeración de Kabat están subrayadas. La posición Eu 118 de la cadena H marcada con un asterisco se puede cambiar a Cys para la conjugación de fármacos. Los restos resaltados en negro se pueden reemplazar con otros restos que no afectan la unión del antígeno para evitar la desamidación, isomerización del ácido aspártico,
- oxidación o glicosilación ligada a N.

 La Figura 18A muestra la unión de mutantes de Ac 4497 a la pared celular de S. aureus según se analiza
- La Figura 18B muestra una comparación de Ac 4497 y sus mutantes (SEQ ID NO: 177, 177, 177-178, 178-179, 179-180, 180 y 180, respectivamente, en orden de aparición) en las posiciones destacadas de aminoácidos y su fuerza de unión a antígeno relativa según se prueba por ELISA.

La Figura 19 muestra los resultados del análisis FACS de Ac 6078 de tipo silvestre (WT) y mutantes que se unen a la cepa deficiente de proteína A de USA300 (USA300-SPA), tal se describe en el ejemplo 23. Los mutantes mostraron una unión intacta a S. aureus.

La Figura 20 muestra que el tratamiento previo con 50 mg/kg de anticuerpos libres no es eficaz en un modelo de infección intravenosa. Los ratones Balb/c recibieron una dosis única de vehículo control (PBS) o 50 mg/kg de anticuerpos por inyección intravenosa 30 minutos antes de la infección con 2x10⁷ UFC de USA300. Los grupos de tratamiento incluyeron un anticuerpo de control de isotipo que no se une a S. aureus (gD), un anticuerpo dirigido contra la modificación beta del ácido teicoico de la pared (4497) o un anticuerpo dirigido contra la modificación alfa del ácido teicoico de la pared (7578). Los ratones control recibieron tratamientos dos veces al día con 110 mg/kg de vancomicina mediante inyección intraperitoneal (Vanco).

5

10

15

- La Figura 21 y la Figura 22 muestran que los AAC dirigidos contra la modificación beta del ácido teicoico de la pared o contra la modificación alfa del ácido teicoico de la pared son eficaces en un modelo de infección intravenosa que usa ratones reconstituidos con niveles normales de IgG humana. Los ratones CB17.SCID se reconstituyeron con IgG humana usando una pauta posológica optimizada para producir niveles constantes de al menos 10 mg/ml de IgG humana en suero y se infectaron con 2x10⁷ UFC de USA300 por inyección intravenosa. El tratamiento se inició 1 día después de la infección con control de solo tampón (PBS), 60 mg/Kg de AAC de WTA-beta (AAC 136) o 60 mg/Kg de AAC de WTA-alfa (AAC 155).
 - La Figura 23A y la Figura 23B muestran la síntesis del producto intermedio enlazador-antibiótico 51 a partir de 2-nitrobenceno-1,3-diol 1.
- La Figura 24 muestra la síntesis del producto intermedio enlazador-antibiótico, MC-vc-PAB-dimetilpipBOR 54 a partir de benzoxazina rifamicina **4** protegida con TBS.
 - La Figura 25A y la Figura 25B muestran la síntesis de dimetil pipBOR 7 a partir de (5-fluoro-2-nitro-1,3-fenilen)bis(oxi)bis(metilen)dibenceno **9**.
- La Figura 26 muestra la estructura de un sustrato peptídico de FRET para la validación de la escisión, mal-K(TAMRA)GGAFAGGGK(fluoresceína) (SEQ ID NO: 125) que contiene los restos más abundantes en PI, P2 y P3 a partir de la exploración REPLi de la actividad proteasa. Se conservaron los restos de Gly flanqueantes de la estructura REPLi del péptido de FRET. Un grupo de maleimida reactivo con tiol en el extremo N permitió la conjugación de los anticuerpos con cisteínas reactivas. Tras la escisión del péptido de FRET, se pierde el efecto desactivador y se observa un aumento en la fluorescencia.
- La Figura 27 muestra la estructura de tioFAB S4497-MC-GGAFAGGG-(pipBOR) ("péptido del núcleo" divulgado como SEQ ID NO: 126), un compuesto instrumental utilizado para identificar fracciones activas que contienen la proteasa de interés. Mal-GGAFAGGGDNA31 ("péptido del núcleo" divulgado como SEQ ID NO: 126) se conjugó con THIOFAB 4497. Los THIOFAB contienen una cisteína reactiva. La proteasa de S. aureus escindió el enlazador C-terminal a Ala, liberando Gly-Gly-(pipBOR).
- La Figura 28 y la Figura 29 muestran AAC Mal-K(tamra)GGAFAGGGK(fluoresceína) (SEQ ID NO: 125) que se escinden en Wood46 (Figura 28) y USA300 (Figura 29) cuando se conjugan con un anticuerpo que se une a S. aureus (tio-S4497) y no cuando se conjugan con un anticuerpo que no se une a S. aureus (tio-trastuzumab). Intensidad de fluorescencia medida a lo largo del tiempo de tioMAB 4497 mal-K(tamra)GGAFAGGGK (fluoresceína) (SEQ ID NO: 125) incubado con cultivos en fase logarítmica de MRSA Wood46 y USA300. Los
- conjugados tioMAB 4497 péptido de FRET preparados a partir de malK(TAMRA)GGAFAGGGK(fluoresceína) (SEQ ID NO: 125) de la Figura 26 muestran un aumento en la fluorescencia en ambas cepas, indicando que el enlazador experimental se escinde por una proteasa de S. aureus y que la proteasa está presente en la cepa clínicamente relevante de MRSA, USA300 (Figura 29). La densidad celular afecta la tasa de escisión, produciéndose la escisión antes en cultivos de mayor densidad celular (10⁸ células/ml). El conjugado de control de isotipo (tio-trastuzumab) no mostró un aumento de la fluorescencia en ninguna condición.
 - La Figura 30 muestra dos enlazadores optimizados para la escisión por estafopaína B en AAC. Enlazadores optimizados para escisión por estafopaína B, incluyendo las preferencias de restos para P4 y P1 '. Los enlazadores se diseñaron usando datos de la exploración REPLi. QSY7 se añadió al extremo C de cada enlazador para actuar como un sustituto de antibiótico.
- La Figura 31 muestra los resultados del ensayo de macrófagos, demostrando que el AAC escindible por estafopaína es capaz de destruir bacterias intracelulares. La cepa USA300 de S. *aureus* se incubó con diferentes dosis (100 μg/ml, 10 μg/ml, 1 μg/ml o 0,1 ug/ml) de anticuerpo S4497 solo, AAC-192 tio-S4497 HC WT (v8), LC V205C-MC-vc-PAB-(dimetilpipBOR) o AAC-193 tio-S4497 HC v1-MP-LAFG-PABC-(piperazinoBOR) ("péptido del núcleo" divulgado como SEQ ID NO: 128) para permitir la unión de los AAC a la bacteria (Figura 31). Después de
- 1 hora de incubación, las bacterias opsonizadas se proporcionaron a macrófagos murinos y se incubaron a 37 °C durante 2 horas para permitir la fagocitosis. Después de completar la fagocitosis, la mezcla de infección se reemplazó con medio de crecimiento normal complementado con 50 ug/ml de gentamicina para destruir cualquier bacteria extracelular restante y se determinó el número total de bacterias intracelulares supervivientes 2 días después sembrando en placa diluciones en serie de los lisados de macrófagos sobre placas de Agar de Soja
- Tríptico. El AAC escindible por estafopaína fue capaz de destruir las USA300 intracelular con una potencia similar en comparación con el AAC escindible por catepsina B. La línea discontinua gris indica el límite de detección para el ensayo (10 UFC/pocillo).
 - La Figura 32 muestra los resultados del ensayo de macrófagos, demostrando que el AAC escindible por estafopaína es capaz de destruir bacterias intracelulares. Los AAC dirigen la destrucción por antibiótico de S. aureus a través de la unión del anticuerpo específica de antígeno. Se eligió la cepa Wood46 de S. aureus para
- aureus a través de la unión del anticuerpo específica de antígeno. Se eligió la cepa Wood46 de S. aureus para este experimento porque no expresa la proteína A, una molécula que se une a la región Fc de los anticuerpos

- IgG. La cepa Wood46 de *S. aureus* se incubó con 10 μg/ml o 0,5 μg/ml de anticuerpo S4497, AAC de control de isotipo que contiene un enlazador escindible por catepsina B, AAC-101 tio-trastuzumab HC A118C-MCvc-PAB-(dimetil-pipBOR), AAC-192 tio-S4497 HC WT (v8), LC V205C-MC-vc-PAB-(dimetilpipBOR), AAC de control de isotipo que contiene un enlazador escindible por estafopaína, tio-trastuzumab HC A118C-MP-LAFG-PABC-(piperazinoBOR) ("péptido del núcleo" divulgado como SEQ ID NO: 128), o AAC-193 tio-S4497 HC v1-MP-LAFG-PABC-(piperazinoBOR) ("péptido del núcleo" divulgado como SEQ ID NO: 128) durante 1 hora para permitir la unión de los AAC a las bacterias. Para limitar la unión no específica de los AAC, las bacterias opsonizadas se centrifugaron, se lavaron una vez y se resuspendieron en tampón antes de que se proporcionaran a los macrófagos murinos. Después de completar la fagocitosis, la mezcla de infección se reemplazó con medio de crecimiento normal complementado con 50 μg/ml de gentamicina para destruir cualquier bacteria extracelular restante y se determinó el número total de bacterias intracelulares supervivientes 2 días después sembrando en placa diluciones en serie de los lisados de macrófagos sobre placas de Agar de Soja Tríptico. El 4497-AAC que contiene un enlazador escindible por estafopaína fue capaz de destruir todas las bacterias intracelulares detectables, mientras que el AAC de control de isotipo no mostró actividad.
- Las Figuras 33 y 34 muestran que AAC escindible por estafopaína está activo *in vivo* en un modelo murino de infección intravenosa. Los ratones CB17.SCID se reconstituyeron con IgG humana usando una pauta posológica optimizada para producir niveles constantes de al menos 10 mg/ml de IgG humana en suero. Los ratones fueron tratados con anticuerpo 4497(50 mg/kg), AAC-215 con enlazador escindible por estafopaína (50 mg/kg) o un control de isotipo, AAC anti-gD que contiene un enlazador escindible por estafopaína (50 mg/kg). Los ratones recibieron una dosis única de AAC-215 el día 1 después de la infección por inyección intravenosa. El número total de bacterias supervivientes en 2 riñones (Figura 33) o en el corazón (Figura 34) se determinó mediante siembra en placas.
- Las Figuras 35 y 36 muestran los resultados del Ensayo de macrófagos *in vitro* para AAC tio-S6078. En la figura 35, el AAC tio-S6078.v4.HC-WT, LC-Cys-MC-vc-PAB-(dimetilpipBOR) fue eficaz para destruir bacterias intracelulares a dosis iguales o superiores a 0,5 μg/ml con una carga antibiótica de 2,0 (AAC-173) o 3,9 (AAC-171) de antibióticos dimetilpipBOR (LA-54) por anticuerpo tio-S6078. En la figura 36, tio-S6078.v4.HC-WT, LC-Cys-MC-vc-PAB-(piperazBOR) fue eficaz para destruir bacterias intracelulares a dosis iguales o superiores a 0,5 μg/ml con una carga antibiótica de antibióticos piperazBOR (LA-65) de 1,8 (AAC-174) o 3,9 (AAC-172) por anticuerpo tio-S6078.
- Las Figuras 37 y 38 muestran resultados de la eficacia *in vivo* de AAC tio-S6078 en un modelo murino de infección intravenosa. Los ratones CB17.SCID se reconstituyeron con IgG humana usando una pauta posológica optimizada para producir niveles constantes de al menos 10 mg/ml de IgG humana en suero. Los ratones fueron infectados con USA300 y tratados con vehículo control (PBS), AAC tio-S6078.v4.HC-WT, LC-Cys-MC-vc-PAB-(dimetilpipBOR) con una carga antibiótica de 2,0 (AAC-173) o 3,9 (AAC-171) de antibióticos dimetilpipBOR (LA-54) por anticuerpo tio-S6078 (Figura 37) y tio -S6078.v4.HC-WT, LC-Cys-MC-vc-PAB-(piperazBOR) con una carga antibiótica de 1,8 (AAC-174) o 3,9 (AAC-172) de antibióticos piperazBOR (LA-65) por anticuerpo tio-S6078 (Figura 38). Los ratones recibieron una dosis única de AAC el día 1 después de la infección mediante inyección intravenosa y se sacrificaron el día 4 después de la infección. El número total de bacterias supervivientes en 2 riñones se determinó mediante siembra en placas. El tratamiento con AAC que contenían una carga antibiótica más baja redujo las cargas bacterianas en aproximadamente 1.000 veces y el tratamiento con AAC que contenían una carga antibiótica más alta redujo las cargas bacterianas en más de 10.000 veces.

Descripción detallada de las realizaciones de la invención

A continuación, se hará referencia con detalle a determinadas realizaciones de la invención, ejemplos de las cuales se ilustran en las estructuras y fórmulas adjuntas. Aunque la invención se describirá junto con las realizaciones enumeradas, incluyendo métodos, materiales y ejemplos, dicha descripción no es limitante y la invención está destinada a abarcar todas las alternativas, modificaciones y equivalentes, si son generalmente conocidos o incorporados en el presente documento. En el caso de que uno o más de la bibliografía, patentes y materiales similares incorporados difieran o contradigan la presente solicitud, incluyendo, pero sin limitación los términos definidos, el uso de los términos, las técnicas descritas o similares, la presente solicitud será la determinante. A menos que se defina de otra manera, todos los términos técnicos y científicos usados en el presente documento tienen el mismo significado que el que entiende comúnmente un experto en la materia a la que pertenece la presente invención. Un experto en la materia reconocerá muchos métodos y materiales similares o equivalentes a los descritos en el presente documento, que podrían utilizarse en la práctica de la presente invención. La presente invención no se limita en modo alguno a los métodos y materiales descritos.

I. TÉCNICAS GENERALES

5

10

Las técnicas y procedimientos descritos o referenciados en el presente documento generalmente se comprenden bien y se emplean comúnmente usando metodología convencional por los expertos en la materia, tal como, por ejemplo, las metodologías ampliamente utilizadas descritas en Sambrook et al., Molecular Cloning: A Laboratory Manual 3ª Edición (2001), Cold Spring Harbor Laboratory Press, Cold Spring Harbor, N.Y.; Current Protocols in Molecular Biology (F.M. Ausubel, et al. eds., (2003)); la serie Methods in Enzymology (Academic Press, Inc.): PCR 2:
 A Practical Approach (M.J. MacPherson, B.D. Hames y G.R. Taylor eds. (1995)), Harlow y Lane, eds. (1988) Antibodies, A Laboratory Manual, and Animal Cell Culture (R.I. Freshney, ed. (1987)); Oligonucleotide Synthesis

(M.J. Gait, ed., 1984); Methods in Molecular Biology, Humana Press; Cell Biology: A Laboratory Notebook (J.E. Cellis, ed., 1998) Academic Press; Animal Cell Culture (R.I. Freshney), ed., 1987); Introduction to Cell and Tissue Culture (J.P. Mather and P.E. Roberts, 1998) Plenum Press; Cell and Tissue Culture: Laboratory Procedures (A. Doyle, J.B. Griffiths y D.G. Newell, eds., 1993-8) J. Wiley and Sons; Handbook of Experimental Immunology (D.M. Weir y C.C. Blackwell, eds.); Gene Transfer Vectors for Mammalian Cells (J.M. Miller y M.P. Calos, eds., 1987); PCR: The Polymerase Chain Reaction, (Mullis et al., eds., 1994); Current Protocols in Immunology (J.E. Coligan et al., eds., 1991); Short Protocols in Molecular Biology (Wiley and Sons, 1999); Immunobiology (C.A. Janeway y P. Travers, 1997); Antibodies (P. Finch, 1997); Antibodies: A Practical Approach (D. Catty., ed., IRL Press, 1988-1989); Monoclonal Antibodies: A Practical Approach (P. Shepherd y C. Dean, eds., Oxford University Press, 2000); Using Antibodies: A Laboratory Manual (E. Harlow y D. Lane (Cold Spring Harbor Laboratory Press, 1999); The Antibodies (M. Zanetti y J. D. Capra, eds., Harwood Academic Publishers, 1995); and Cancer: Principles and Practice of Oncology (V.T. DeVita et al., eds., J.B. Lippincott Company, 1993).

La nomenclatura usada en esta solicitud se basa en la nomenclatura sistemática de la IUPAC, a menos que se indique lo contrario. A menos que se definan de otra manera, los términos técnicos y científicos utilizados en el presente documento tienen el mismo significado que el que entiende comúnmente un experto habitual en la materia a la que pertenece la presente invención y son coherentes con: Singleton et al (1994) Dictionary of Microbiology and Molecular Biology, 2.ª Ed., J. Wiley & Sons, Nueva York, NY; y Janeway, C., Travers, P., Walport, M., Shlomchik (2001) Immunobiology, 5ª ed., Garland Publishing, Nueva York.

II. DEFINICIONES

10

15

20

25

30

45

50

55

Cuando se indica el número de sustituyentes, la expresión "uno o más" se refiere al intervalo desde un sustituyente hasta el mayor número de sustitución posible, es decir, reemplazo de un hidrógeno hasta el reemplazo de todos los hidrógenos por los sustituyentes. El término "sustituyente" indica un átomo o un grupo de átomos que reemplaza un átomo de hidrógeno en la molécula precursora. El término "sustituido" indica que un grupo específico lleva uno o más sustituyentes. Cuando cualquier grupo pueda portar múltiples sustituyentes y se proporcione varios posibles sustituyentes, los sustituyentes se seleccionan de manera independiente y no necesitan ser los mismos. La expresión "sin sustituir" significa que el grupo especificado no lleva sustituyentes. La expresión "opcionalmente sustituido" significa que el grupo especificado no está sustituido o está sustituido por uno o más sustituyentes, elegido independientemente del grupo de posibles sustituyentes. Cuando se indica el número de sustituyentes, la expresión "uno o más" significa desde un sustituyente hasta el mayor número de sustitución posible, es decir, reemplazo de un hidrógeno hasta el reemplazo de todos los hidrógenos por los sustituyentes.

La expresión "ácido teicoico de pared" (WTA) significa glicopolímeros aniónicos que están fijados covalentemente al peptidoglicano a través de enlace fosfodiéster al hidroxilo C6 de los azúcares del ácido N-acetil-murámico. Si bien la estructura química precisa puede variar entre organismos, en una realización, el WTA es un ácido teicoico de ribitol con unidades repetitivas de enlaces 1,5-fosfodiéster de D-ribitol y D-alanil éster en la posición 2 y sustituyentes de glicosilo en la posición 4. Los grupos glicosilo pueden ser N-acetilglucosaminil α (alfa) o β (beta) como están presentes en S. Aureus. Los hidroxilos en las repeticiones de alditol/alcohol de azúcar fosfato se sustituyen con ésteres catiónicos de D-alanina y monosacáridos, tales como N-acetilglucosamina. En un aspecto, los sustituyentes hidroxilo incluyen D-alanilo y alfa (α) o beta (β) GlcNHAc. En un aspecto específico, WTA comprende un compuesto de la fórmula:

donde las líneas onduladas indican unidades de repetición de enlace o los sitios de fijación de polialditol-P o el peptidoglicano, donde X es D-alanilo o -H; e Y es α (alfa)-GlcNHAc o β (beta)-GlcNHAc.

En S. aureus, el WTA se une covalentemente al 6-OH del ácido N-acetil-murámico (MurNAc) a través de un disacárido compuesto por N-acetilglucosamina (GlcNAc)-1-P y N-acetilmanosamina (ManNAc), que está seguido por dos o tres unidades de glicerol-fosfato. El polímero WTA real se compone entonces de 11-40 unidades de repetición de ribitol-fosfato (Rbo-P). La síntesis gradual de WTA se inicia primero por la enzima llamada TagO y las cepas de

S. aureus que carecen del gen TagO (por eliminación artificial del gen) no producen ningún WTA. Las unidades de repetición pueden adaptarse adicionalmente con D-alanina (D-Ala) en C2-OH y/o con N-acetilglucosamina (GlcNAc) en la posición C4-OH a través de enlaces glucosídicos α -(alfa) o β -(beta). Dependiendo de la cepa de S. aureus o de la fase de crecimiento de la bacteria, los enlaces glucosídicos podrían ser α -, β -, o una mezcla de los dos anómeros.

5

10

15

20

25

30

35

40

45

50

55

60

65

El término "antibiótico" (abx o Abx) incluye cualquier molécula que inhibe específicamente el crecimiento de o destruye los microorganismos, tales como bacterias, pero no es letal para el hospedador a la concentración e intervalo de dosificación administrados. En un aspecto específico, un antibiótico no es tóxico para el hospedador a la concentración e intervalos de dosificación administrados. Los antibióticos eficaces contra las bacterias pueden clasificarse ampliamente como bactericidas (es decir, destruye directamente) o bacteriostáticos (es decir, evita la división). Los antibióticos antibactericidas se pueden subclasificar adicionalmente como de espectro reducido o de amplio espectro. Un antibiótico de amplio espectro es eficaz contra una amplia gama de bacterias, incluidas las bacterias tanto Gram positivas como Gram-negativas, a diferencia de un antibiótico de espectro reducido, que es eficaz contra una gama más pequeña o familias específicas de bacterias. Ejemplos de antibióticos incluyen: (i) aminoglucósidos, por ejemplo, amikacina, gentamicina, kanamicina, neomicina, netilmicina, estreptomicina, tobramicina, paromicina, (iii) ansamicinas, por ejemplo, geldanamicina, herbimicina, (iii) carbacefémicos, por ejemplo, loracarbef, (iv), carbapenémicos, por ejemplo, ertapenem, doripenem, imipenem/cilastatina, meropenem, (v) cefalosporinas (primera generación), por ejemplo, cefadroxilo, cefazolina, cefalotina, cefalexina, (vi) cefalosporinas (segunda generación), por ejemplo, ceflaclor, cefamandol, cefoxitina, cefprozilo, cefuroxima, (vi) cefalosporinas (tercera generación), por ejemplo, cefixima, cefdinir, cefditoreno, cefoperazona, cefotaxima, cefpodoxima, ceftazidima, ceftibuteno, ceftizoxima, ceftriaxona, (vii) cefalosporinas (cuarta generación), por ejemplo, cefepima, (viii), cefalosporinas (quinta generación), por ejemplo, ceftobiprol, (ix) glucopéptidos, por ejemplo, teicoplanina, vancomicina, (x) macrólidos, por ejemplo, axitromicina, claritromicina, diritromicina, eritromicina, roxitromicina, troleandomicina, telitromicina, espectinomicina, (xi) monobactamas, por ejemplo, axtreonam, (xii) penicilinas, por ejemplo, amoxicilina, ampicilina, axlocilina, carbenicilina, cloxacilina, dicloxacilina, flucloxacilina, mezlocilina, meticilina, nafcilina, oxacilina, penicilina, peperacilina, ticarcilina, (xiii) polipéptidos antibióticos, por ejemplo, bacitracina, colistina, polimixina B, (xiv) quinolonas, por ejemplo, ciprofloxacino, enoxacino, gatifloxacino, levofloxacino, lomefloxacina, moxifloxacino, norfloxacino, orfloxacina, trovafloxacino, (xv) sulfonamidas, por ejemplo, mafenida, prontosil, sulfacetamida, sulfametizol, sulfanilamida, sulfasalazina, sulfisoxazol, trimetoprim, trimetoprimsulfametoxazol (TMP-SMX), (xvi) tetraciclinas, por ejemplo, desmeclociclina, doxiciclina, minociclina, oxitetraciclina, tetraciclina y (xvii) otros tales como arspenamina, cloranfenicol, clindamicina, lincomicina, etambutol, fosfomicina, ácido fusídico, furazolidona, isoniazid, linezolida, metronidazol, mupirocina, nitrofurantoína, platensimicina, pirazinamida, quinupristina/dalfopristina, rifampina/rifampicina o tinidazol.

Tal como se usa en el presente documento, la expresión "anticuerpo de WTA" se refiere a cualquier anticuerpo que se una a WTA, ya sea WTA alfa o WTA beta. Las expresiones "anticuerpo anti-ácidos teicoicos de pared alfa " o "anticuerpo anti-WTA alfa" o "anticuerpo anti-aWTA" o "anticuerpo anti-WTA aGlcNac" se usan indistintamente para referirse a un anticuerpo que se une específicamente a ácidos teicoicos de pared (WTA) alfa. De manera análoga, las expresiones "anticuerpo anti-ácidos teicoicos de pared beta " o "anticuerpo anti-WTA beta " o "anticuerpo antiβWTA" o "anticuerpo anti-WTA βGlcNac" se usan indistintamente para referirse a un anticuerpo que se une específicamente a ácidos teicoicos de pared (WTA) beta. Las expresiones "anticuerpo antiestafilococo" y "un anticuerpo que se une a estafilococo" se refieren a un anticuerpo que es capaz de unirse a un antígeno en Staphylococcus aureus ("estafilococo" o "S. aureus") con suficiente afinidad de manera que el anticuerpo sea útil como agente de diagnóstico y/o terapéutico actuando de forma selectiva contra estafilococo. En una realización, el alcance de la unión de un anticuerpo antiestafilococo a una proteína no relacionada, proteína no de estafilococos menor de aproximadamente el 10 % de la unión del anticuerpo a MRSA como se mide, por ejemplo, mediante radioinmunoensayo (RIA). En determinadas realizaciones, un anticuerpo que se une a estafilococo tiene una constante de disociación (Kd) de $\leq 1~\mu\text{M}$, $\leq 100~\text{nM}$, $\leq 10~\text{nM}$, $\leq 5~\text{Nm}$, $\leq 4~\text{nM}$, $\leq 3~\text{nM}$, $\leq 2~\text{nM}$, $\leq 1~\text{nM}$, $\leq 0.1~\text{nM}$, $\leq 0.01~\text{nM}$ (por ejemplo, $10^{-8}~\text{M}$ o menor, por ejemplo, de $10^{-8}~\text{M}$ a $10^{-13}~\text{M}$, por ejemplo, de $10^{-9}~\text{M}$ a $10^{-13}~\text{M}$ ¹³ M). En determinadas realizaciones, un anticuerpo antiestafilococo se une a un epítopo de estafilococo que se conserva entre estafilococos de diferentes especies.

La expresión "Staphylococcus aureus resistente a meticilina" (MRSA), conocido de manera alternativa como Staphylococcus aureus resistente a múltiples fármacos o Staphylococcus aureus resistente a oxacilina (ORSA, por sus siglas en inglés), se refiere a cualquier cepa de Staphylococcus aureus que es resistente a antibióticos betalactámicos, que incluyen las penicilinas (por ejemplo, meticilina, dicloxacilina, nafcilina, oxacilina, etc.) y las cefalosporinas. "Staphylococcus aureus sensible a meticilina" (MSS por sus siglas en inglés) se refiere a cualquier cepa de Staphylococcus aureus que es sensible a los antibióticos betalactámicos.

La expresión "concentración inhibidora mínima" ("MIC, por sus siglas en inglés") se refiere a la concentración más baja de un agente antimicrobiano que inhibirá el crecimiento visible de un microorganismo después de la incubación durante la noche. Se conocen ensayos para determinar la MIC. Un método es como se describe en el Ejemplo 18 a continuación.

El término "anticuerpo" se usa en el presente documento en el sentido más amplio y específicamente abarca

anticuerpos monoclonales, anticuerpos policionales, dímeros, multímeros, anticuerpos multiespecíficos (por ejemplo, anticuerpos biespecíficos) y fragmentos de anticuerpos de unión a antígeno de los mismos, (Miller et al (2003) J. of Immunology 170:4854-4861). Los anticuerpos pueden ser murinos, humanos, humanizados, quiméricos o derivados de otras especies. Un anticuerpo es una proteína generada por el sistema inmunitario que es capaz de reconocer y unirse a un antígeno específico (Janeway, C., Travers, P., Walport, M., Shlomchik (2001) Immuno Biology, 5ª ed., Garland Publishing, Nueva York). Un antígeno diana tiene generalmente numerosos sitios de unión, también denominados epítopos, reconocidos por las CDR en múltiples anticuerpos. Cada anticuerpo que se une específicamente a un epítopo diferente tiene una estructura diferente. Por lo tanto, un antígeno puede ser reconocido y estar unido por más de un anticuerpo correspondiente. Un anticuerpo incluye una molécula de 10 inmunoglobulina de longitud completa o una parte inmunitariamente activa de una molécula de inmunoglobulina de longitud completa, es decir, una molécula que contiene un sitio de unión a antígeno que se une de forma inmunoespecífica a un antígeno de una diana de interés o parte de la misma, incluyendo dichas dianas, pero sin limitación, célula o células cancerosas que producen anticuerpos autoinmunitarios asociados con una enfermedad autoinmunitaria, una célula infectada o un microorganismo tal como una bacteria. La inmunoglobulina (la) divulgada 15 en el presente documento puede ser de cualquier isotipo excepto IgM (por ejemplo, IgG, IgE, IgD e IgA) y subclase (por ejemplo, IgG1, IgG2, IgG3, IgG4, IgA1 y IgA2. Las inmunoglobulinas pueden derivar de cualquier especie. En un aspecto, la lg es de origen humano, murino o de conejo. En una realización específica, la lg es de origen humano.

- 20 La "clase" de un anticuerpo se refiere al tipo de dominio constante o región constante que posee su cadena pesada. Hay cinco clases principales de anticuerpos: IgA, IgD, IgE, IgG e IgM, y varias de éstas pueden además dividirse en subclases (isotipos), por ejemplo, IgG₁, IgG₂, IgG₃, IgG₄, IgA₁e IgA₂. Los dominios constantes de cadena pesada que corresponden a las diferentes clases de inmunoglobulinas se denominan α, δ, ε, γ y μ, respectivamente.
- "Anticuerpos naturales" se refieren a moléculas de inmunoglobulina de origen natural con diversas estructuras. Por ejemplo, los anticuerpos IgG naturales son glucoproteínas heterotetraméricas de aproximadamente 150.000 daltons, compuestas por dos cadenas ligeras indénticas y dos cadenas pesadas indénticas que están unidas por enlaces disulfuro. Del extremo N al extremo C, cada cadena pesada tiene una región variable (VH), también denominada dominio pesado variable o dominio variable de cadena pesada, seguido de tres dominios constantes (CHI, CH2 y
 CH3). De manera análoga, del extremo N al extremo C, cada cadena ligera tiene una región variable (VL), también denominada dominio variable ligero o dominio variable de cadena ligera, seguido de un dominio variable constante (CL). La cadena ligera de un anticuerpo puede asignarse a uno de dos tipos, denominados kappa (κ) y lambda (λ), basándose en la secuencia de aminoácidos de su dominio constante.
- 35 Las expresiones "anticuerpo de longitud completa", "anticuerpo intacto", y "anticuerpo completo" se usan indistintamente en el presente documento para referirse a un anticuerpo que tiene una estructura sustancialmente similar a una estructura de anticuerpo natural o que tiene cadenas pesadas que contienen una región Fc como se define en el presente documento.
- Un "fragmento de unión a antígeno" se refiere a una molécula distinta de un anticuerpo intacto que comprende una parte de un anticuerpo intacto que se une al antígeno al que se une el anticuerpo intacto. Ejemplos de fragmentos de anticuerpos incluyen, pero sin limitación, Fv, Fab, Fab', Fab'-SH, F(ab')₂; diacuerpos; anticuerpos lineales; moléculas de anticuerpo de cadena sencilla (por ejemplo, scFv); y anticuerpos multiespecíficos formados a partir de fragmentos de anticuerpos.
- La expresión "anticuerpo monoclonal" tal como se usa en el presente documento, se refiere a un anticuerpo obtenido a partir de una población de anticuerpos sustancialmente homogéneos, es decir, los anticuerpos individuales que comprenden la población son idénticos y/o se unen al mismo epítopo, salvo por posibles variantes de anticuerpos, por ejemplo, que contienen mutaciones de origen natural o que surgen durante la producción de una preparación de 50 anticuerpos monoclonales (por ejemplo, variación natural en la glucosilación), estando presentes dichas variantes generalmente en cantidades menores. Una de estas posibles variantes para los anticuerpos IgG1 es la escisión de la lisina (K) C-terminal de la región constante de cadena pesada. A diferencia de las preparaciones de anticuerpos policionales, que incluyen generalmente diferentes anticuerpos dirigidos contra diferentes determinantes (epítopos), cada anticuerpo monoclonal de una preparación de anticuerpos monoclonales está dirigido contra un solo determinante en un antígeno. Por lo tanto, el modificador "monoclonal" indica el carácter del anticuerpo que se ha 55 obtenido de una población de anticuerpos sustancialmente homogénea y no debe interpretarse como que requiera la producción del anticuerpo por ningún método en particular. Por ejemplo, los anticuerpos monoclonales para su uso de acuerdo con la presente invención pueden producirse mediante diversas técnicas, incluyendo pero, sin limitación, el método de hibridoma, métodos de ADN recombinante, métodos de presentación en fagos y métodos que utilizan 60 animales transgénicos que contienen la totalidad o parte de los loci de inmunoglobulinas humanas, siendo descritos tales métodos y otros métodos a modo de ejemplo para hacer anticuerpos monoclonales en el presente documento. Además de su especificidad, los anticuerpos monoclonales son ventajosos porque pueden sintetizarse sin estar contaminados por otros anticuerpos.
- 65 La expresión "anticuerpo quimérico" se refiere a un anticuerpo en el que una parte de la cadena pesada y/o ligera deriva de una fuente o especie particular, mientras que el resto de la cadena pesada y/o ligera deriva de una fuente

o especie diferente.

Un "anticuerpo humano" es uno que posee una secuencia de aminoácidos que se corresponde con la de un anticuerpo producido por un ser humano o una célula humana o que deriva de una fuente no humana que utiliza repertorios de anticuerpo humanos u otras secuencias codificantes de anticuerpo humanas. Esta definición de un anticuerpo humano excluye específicamente un anticuerpo humanizado que comprenda restos de unión a antígeno no humanos.

Un "anticuerpo humanizado" se refiere a un anticuerpo quimérico que comprende restos de aminoácidos de HVR no humanas y restos de aminoácidos de FR humanas. En determinadas realizaciones, un anticuerpo humanizado comprenderá sustancialmente la totalidad de al menos uno, y generalmente dos, dominios variables, en los que la totalidad o sustancialmente todas las HVR (por ejemplo, CDR) corresponden a aquellas de un anticuerpo no humano y la totalidad o sustancialmente todas las FR corresponden a aquellas de un anticuerpo humano. Un anticuerpo humanizado puede comprender opcionalmente al menos una parte de una región constante de anticuerpo derivada de un anticuerpo humano. Una "forma humanizada" de un anticuerpo, por ejemplo, un anticuerpo no humano, se refiere a un anticuerpo que se ha sometido a humanización.

La expresión "región variable" o "dominio variable" se refiere al dominio de una cadena pesada o ligera de anticuerpo que está implicada en la unión del anticuerpo al antígeno. Los dominios variables de la cadena pesada y la cadena ligera (VH y VL, respectivamente) de un anticuerpo natural tienen generalmente estructuras similares, comprendiendo cada dominio cuatro regiones marco conservadas (FR, por sus siglas en inglés) y tres regiones hipervariables (HVR, por sus siglas en inglés). (Véase, por ejemplo, Kindt et al. Kuby Immunology, 6ª ed., W.H. Freeman and Co., página 91 (2007).) Un solo dominio VH o VL puede ser suficiente para conferir especificidad de unión a antígeno. Además, los anticuerpos que se unen a un antígeno particular pueden aislarse usando un dominio VH o VL de un anticuerpo que se une al antígeno para explorar una biblioteca de dominios VL o VH complementarios, respectivamente. Véase, por ejemplo, Portolano et al., J. Immunol. 150:880-887 (1993); Clarkson et al., Nature 352:624-628 (1991).

La expresión "región hipervariable", "HVR", o "HV" cuando se usa en el presente documento se refiere a las regiones de un dominio variable de anticuerpo que son hipervariables en su secuencia ("regiones determinantes de complementariedad" o "CDR") y/o forman bucles definidos estructuralmente y/o contienen los restos que entran en contacto con el antígeno ("contactos de antígeno"). En general, los anticuerpos comprenden seis HVR; tres en la VH (HI, H2, H3) y tres en la VL (LI, L2, L3). En anticuerpos naturales, H3 y L3 presentan la mayor diversidad de las seis CDR, y se cree que H3 en particular desempeña un papel único en conferir una especificidad delicada a los anticuerpos. Véase, por ejemplo, Xu et al., Immunity 13:37-45 (2000); Johnson y Wu, en Methods in Molecular Biology 248:1-25 (Lo, ed., Human Press, Totowa, NJ, 2003). De hecho, los anticuerpos de camélidos de origen natural que consisten en una cadena pesada únicamente son funcionales y estables en ausencia de cadena ligera (Hamers-Casterman et al., (1993) Nature 363:446-448; Sheriff et al., (1996) Nature Struct. Biol. 3:733-736).

Están en uso varias delimitaciones de HVR y se abarcan en el presente documento. Las Regiones Determinantes de la Complementariedad de Kabat (CDR) se basan en la variabilidad de secuencia y son las más utilizadas habitualmente (Kabat et al., Sequences of Proteins of Immunological Interest, 5ª Ed. Public Health Service, National Institutes of Health, Bethesda, MD. (1991)). Chothia se refiere, en cambio, a la ubicación de los bucles estructurales (Chothia and Lesk, (1987) J. Mol. Biol. 196:901-917). Para contactos de antígeno, consúltese MacCallum et al. J.
 Mol. Biol. 262: 732-745 (1996). Las HVR de AbM representan un compromiso entre las CDR de Kabat y los bucles estructurales de Chothia y se usan por el programa informático de modelado de anticuerpos AbM de Oxford Molecular. Las HVR "de contacto" se basan en un análisis de las estructuras cristalinas complejas disponibles. Los restos de cada una de estas HVR se indican a continuación.

Bucle	Kabat	AbM	Chothia	Contacto
L1	L24-L34	L24-L34	L26-L32	L30-L36
L2	L50-L56	L50-L56	L50-L52	L46-L55
L3	L89-L97	L89-L97	L91-L96	L89-L96
H1	H31-H35B	H26-H35B	H26-H32	H30-H35B (numeración Kabat)
H1	H31-H35	H26-H35	H26-H32	H30-H35 (numeración Chothia)
H2	H50-H65	H50-H58	H53-H55	H47-H58
H3	H95-H102	H95-H102	H96-H101	H93-H101

50

30

35

Las HVR pueden comprender "HVR extendidas" como sigue: 24-36 o 24-34 (LI), 46-56 o 50-56 (L2) y 89-97 u 89-96 (L3) en la VL y 26-35 (HI), 50-65 o 49-65 (H2) y 93-102, 94-102 o 95-102 (H3) en la VH. A menos que se indique lo contrario, los restos de HVR, los restos de CDR y otros restos en el dominio variable (por ejemplo, restos de FR) se numeran en el presente documento de acuerdo con Kabat et al., *supra*.

55

La expresión "numeración de restos de dominio variable como en Kabat" o "numeración de posición de aminoácidos

como en Kabat" y variaciones de los mismos, se refiere al sistema de numeración usado para los dominios variables de cadena pesada o los dominios variables de cadena ligera de la compilación de anticuerpos en Kabat et al., supra. Utilizando este sistema de numeración, la secuencia de aminoácidos lineal real puede contener menos aminoácidos o aminoácidos adicionales correspondientes a un acortamiento de o inserción en, una FR o HVR del dominio variable. Por ejemplo, un dominio variable de cadena pesada puede incluir una única inserción de aminoácido (resto 52a de acuerdo con Kabat) después del resto 52 de H2 y restos insertados (por ejemplo, restos 82a, 82b y 82c, etc. de acuerdo con Kabat) después del resto 82 de la FR de cadena pesada. La numeración de Kabat de los restos puede determinarse para un anticuerpo dado por alineación en las regiones de homología de la secuencia del anticuerpo con una secuencia numerada de Kabat "patrón".

10

"Marco" o "FR" se refiere a restos de dominio variable distintos de restos de la región hipervariable (HVR). La FR de un dominio variable consiste de cuatro dominios FR: FR1, FR2, FR3 y FR4. Por consiguiente, las secuencias de HVR y FR aparecen generalmente en la siguiente secuencia en VH (o VL): FR1-H1(L1)-FR2-H2(L2)-FR3-H3(L3)-FR4.

15

Un "marco aceptor humano", para los fines del presente documento, es un marco que comprende la secuencia de aminoácidos de un marco de dominio variable de cadena ligera (VL) o un marco de dominio variable de cadena pesada (VH) derivado de un marco de inmunoglobulina humana o un marco consenso humano, como se define a continuación. Un marco aceptor humano "derivado de" un marco de inmunoglobulina humana o de un marco consenso humano pueden comprender la misma secuencia de aminoácidos del mismo, o puede contener cambios en la secuencia de aminoácidos. En algunas realizaciones, el número de cambios de aminoácidos es 10 o menos, 9 o menos, 8 o menos, 7 o menos, 6 o menos, 5 o menos, 4 o menos, 3 o menos o 2 o menos. En algunas realizaciones, el marco humano aceptor de VL es idéntico en secuencia a la secuencia marco de inmunoglobulina humana o a la secuencia marco conservada de consenso humana VL.

25

20

Un "marco de consenso humano" es un marco que representa los restos de aminoácidos más comunes en una selección de secuencias marco VL o VH de inmunoglobulina humana. En general, la selección de las secuencias de VL o VH de inmunoglobulina humana es a partir de un subgrupo de secuencias de dominio variable. En general, el subgrupo de secuencias es un subgrupo como en Kabat et al., Sequences of Proteins of Immunological Interest, Quinta edición, NIH Publicación 91-3242, Bethesda MD (1991), vols. 1-3. En una realización, para la VL, el subgrupo es el subgrupo kappa I como en Kabat et al., supra. En una realización, para la VH, el subgrupo es el subgrupo en Kabat et al., supra.

35

30

"Afinidad " se refiere a la fuerza de la suma total de interacciones no covalentes entre un solo sitio de unión de una molécula (por ejemplo, un anticuerpo) y su compañero de unión (por ejemplo, un antígeno). A menos que se indique lo contrario, tal como se usa en el presente documento, "afinidad de unión" se refiere a la afinidad de unión intrínseca que refleja una interacción 1:1 entre miembros de un par de unión (por ejemplo, anticuerpo y antígeno). La afinidad de una molécula X por su compañero Y puede estar representada en general por la constante de disociación (Kd). La afinidad puede medirse mediante métodos comunes conocidos en la técnica, incluyendo los descritos en el presente documento.

40

Un anticuerpo "madurado por afinidad" se refiere a un anticuerpo con una o más alteraciones en una o más de las regiones hipervariables (HVR), en comparación con un anticuerpo precursor que no posee dichas alteraciones, dando como resultado dichas alteraciones una mejora en la afinidad del anticuerpo por el antígeno.

45

El término "epítopo" se refiere al sitio particular en una molécula de antígeno al que se une un anticuerpo.

50

Un "anticuerpo que se une al mismo epítopo" que un anticuerpo de referencia se refiere a un anticuerpo que bloquea la unión del anticuerpo de referencia a su antígeno en un ensayo de competencia en un 50 % o más y, por el contrario, el anticuerpo de referencia bloquea la unión del anticuerpo a su antígeno en un ensayo de competencia en un 50 % o más. En el presente documento, se proporciona un ensayo de competencia a modo de ejemplo.

__

Un "anticuerpo no marcado" se refiere a un anticuerpo que no está conjugado con un resto heterólogo (por ejemplo, un resto citotóxico) o radiomarcador. El anticuerpo no marcado puede estar presente en una formulación farmacéutica.

55

60

La expresión "funciones efectoras" se refiere a aquellas actividades biológicas atribuibles a la región Fc de un anticuerpo, que varían con el isotipo de anticuerpo. Ejemplos de funciones efectoras de anticuerpo incluyen: unión a C1q y citotoxicidad dependiente del complemento (CDC, por sus siglas en inglés); unión al receptor Fc; citotoxicidad mediada por células dependiente de anticuerpo (ADCC, por sus siglas en inglés); fagocitosis; regulación negativa de los receptores de la superficie celular (por ejemplo, receptor de linfocitos B; y activación de linfocitos B.

65

La "citotoxicidad mediada por células dependiente de anticuerpo" o "ADCC" se refiere a una forma de citotoxicidad en donde la Ig secretada unida a receptores Fc (FcR) presentes en determinadas células citotóxicas (por ejemplo, linfocitos citolíticos naturales (NK), neutrófilos y macrófagos) permite que estas células efectoras citotóxicas se unan de manera específica a una célula diana portadora del antígeno y posteriormente destruyan a la célula diana con

citotoxinas. Los anticuerpos "arman" a las células citotóxicas y son necesarios para destruir la célula diana por este mecanismo. Las células primarias para mediar en la ADCC, los linfocitos NK, expresan solo Fcy(gamma)RIII, mientras que los monocitos expresan Fcy(gamma)RI, Fcy(gamma)RII y Fcy(gamma)RIII. La expresión Fc en células hematopoyéticas se resume en la Tabla 3 en la página 464 de Ravetch y Kinet, Annu. Rev. Immunol. 9: 457-92 (1991). Para evaluar la actividad de ADCC de una molécula de interés, puede realizarse un ensayo de ADCC *in vitro*, tal como se describe en los documentos US 5.500.362 o US 5.821.337. Las células efectoras útiles para dichos ensayos incluyen células mononucleares de sangre periférica (PBMC, por sus siglas en inglés) y linfocitos citolíticos naturales (NK). Como alternativa o adicionalmente, la actividad de ADCC de la molécula de interés puede evaluarse *in vivo*, por ejemplo, en un modelo animal tal como el divulgado en Clynes et al., PNAS USA 95:652-656 (1998).

10

15

20

25

"Fagocitosis" se refiere a un proceso por el cual un patógeno es engullido o internalizado por una célula hospedadora (por ejemplo, macrófago o neutrófilo). Los fagocitos median la fagocitosis por tres vías: (i) receptores directos de la superficie celular (por ejemplo, lectinas, integrinas y receptores eliminadores) (ii) complemento potenciado- usando receptores del complemento (incluyendo CRI, receptor para C3b, CR3 y CR4) para unir e ingerir patógenos opsonizados del complemento y (iii) anticuerpos potenciados, utilizando receptores Fc (incluidos FcygammaRI, FcygammaRIIA) para unir partículas opsonizadas de anticuerpos que después se internalizan y se fusionan con los lisosomas para convertirse en fagolisososomas. En la presente invención, se cree que la vía (iii) desempeña un papel importante en la administración de agentes terapéuticos AAC anti-MRSA a leucocitos infectados, por ejemplo, neutrófilos y macrófagos (Phagocytosis of Microbes: complexity in Action by D. Underhill and A Ozinsky. (2002) Annual Review of Immunology, Vol 20:825).

"Citotoxicidad dependiente del complemento" o "CDC" se refiere a la lisis de una célula diana en presencia del complemento. La activación de la vía clásica del complemento se inicia por la unión del primer componente del sistema del complemento (C1q) a anticuerpos (de la subclase apropiada) que están unidos a su antígeno afín. Para evaluar la activación del complemento, puede realizarse un ensayo CDC, por ejemplo, tal como se describe en Gazzano-Santoro et al., J. Immunol. Methods 202: 163 (1996).

La expresión "región Fc" en el presente documento se usa para definir una región C-terminal de una cadena pesada de inmunoglobulina. La expresión incluye regiones Fc de secuencia natural y regiones Fc variantes. Aunque los 30 límites de la región Fc de una cadena pesada de inmunoglobulina pueden variar, la región Fc de cadena pesada de IgG humana habitualmente se define que se extiende desde un resto de aminoácido en la posición Cys226 o desde Pro230, al extremo carboxilo de la misma. La lisina C-terminal (resto 447 según el sistema de numeración EU, también llamado índice EU. tal como se describe en Kabat et al.. Seguences of Proteins of Immunological Interest. 5ª Ed. Public Health Service, National Institutes of Health, Bethesda, MD, 1991) de la región Fc puede eliminarse, por 35 ejemplo, durante la producción o purificación del anticuerpo, o mediante ingeniería recombinante del ácido nucleico que codifica una cadena pesada del anticuerpo. Por consiguiente, una composición de anticuerpos intactos puede comprender poblaciones de anticuerpos con todos los restos de K447 eliminados, poblaciones sin restos de K447 eliminador y poblaciones de anticuerpos que tienen una mezcla de anticuerpos con y sin resto K447. La expresión "receptor Fc" o "FcR" también incluye el receptor neonatal, FcRn, que es responsable de la transferencia de IgG 40 maternas al feto. Guyer et al., J. Immunol. 117: 587 (1976) y Kim et al., J. Immunol. 24: 249 (1994). Se conocen métodos para medir la unión a FcRn (véase, por ejemplo, Ghetie y Ward, Immunol. Today 18: (12): 592-8 (1997); Ghetie et al., Nature Biotechnology 15 (7): 637-40 (1997); Hinton et al., J. Biol. Chem. 279(8): 6213-6 (2004); documento WO 2004/92219 (Hinton et al.). La unión a FcRn in vivo y la semivida en suero de polipéptidos de unión a alta afinidad de FcRn humano puede analizarse, por ejemplo, en ratones transgénicos o líneas celulares humanas 45 transfectadas que expresan FcRn humano, o en primates a los que se administran los polipéptidos que tienen una región Fc variante. El documento WO 2004/42072 (Presta) describe variantes de anticuerpos que mejoran o

disminuyen la unión a los FcR. Véase también, por ejemplo, Shields et al., J. Biol. Chem. 9(2):6591-6604 (2001).

50 m

55

60

65

El hidrato de carbono fijado a la región Fc puede alterarse. Los anticuerpos naturales producidos por células de mamífero comprenden generalmente un oligosacárido biantenario, ramificado que está fijado generalmente mediante un enlace N a Asn297 del dominio CH2 de la región Fc. Véase, por ejemplo, Wright et al. (1997) TIBTECH 15:26-32. El oligosacárido puede incluir diversos hidratos de carbono, por ejemplo, manosa, N-acetil glucosamina (GlcNAc), galactosa y ácido siálico, así como una fucosa fijada a un GlcNAc en el "tallo" de la estructura del oligosacárido biantenário. En algunas realizaciones, se pueden realizar modificaciones del oligosacárido en una IgG para preparar IgG con determinadas propiedades mejoradas adicionalmente. Por ejemplo, se proporcionan modificaciones de anticuerpos que tienen una estructura de hidrato de carbono que carece de fucosa fijada (directa o indirectamente) a una región Fc. Dichas modificaciones pueden haber mejorado la función de ADCC. Véase, por ejemplo, el documento US 2003/0157108 (Presta, L.); el documento US 2004/0093621 (Kyowa Hakko Kogyo Co., Ltd). Ejemplos de publicaciones relacionadas con modificaciones de anticuerpos "defucosilados" o "deficientes en fucosa^{fi} incluyen: el documento US 2003/0157108; el documento WO 2000/61739; el documento WO 2001/29246; el documento US 2003/0115614; el documento US 2002/0164328; el documento US 2004/0093621; el documento US 2004/0132140; el documento US 2004/0110704; el documento US 2004/0110282; el documento US 2004/0109865; el documento WO 2003/085119; el documento WO 2003/084570; el documento WO 2005/035586; el documento WO 2005/035778; el documento WO2005/053742; el documento WO2002/031140; Okazaki et al., J. Mol. Biol. 336: 1239-1249 (2004); Yamane-Ohnuki et al. Biotech. Bioeng. 87: 614 (2004). Ejemplos de líneas celulares capaces de producir anticuerpos defucosilados incluyen células Lee 13 CHO deficientes en fucosilación de proteínas (Ripka et al. Arch. Biochem. Biophys. 249:533-545 (1986); Publicación de Solicitud de Patente de EE.UU. N.º 2003/0157108 A1, Presta, L; y el documento WO 2004/056312 A1, Adams et al., especialmente en el Ejemplo 11) y estirpes celulares desactivadas, tales como el gen de la alfa-1,6-fucosiltransferasa, FUT8, células CHO desactivadas (véanse, por ejemplo, Yamane-Ohnuki et al., Biotech. Bioeng. 87: 614 (2004); Kanda, Y. et al, Biotechnol. Bioeng., 94(4):680-688 (2006); y el documento WO2003/085107).

Un "anticuerpo aislado" es uno que se ha separado de un componente de su entorno natural. En algunas realizaciones, un anticuerpo se purifica a más de un 95 % o 99 % de pureza como se determina por, por ejemplo, medios electroforéticos (por ejemplo, SDS-PAGE, enfoque isoeléctrico (IEF), electroforesis capilar) o cromatográficos (por ejemplo, intercambio iónico o HPLC de fase inversa). Para revisar los métodos de evaluación de la pureza de anticuerpos, véase, por ejemplo, Flatman et al., J. Chromatogr. B 848:79-87 (2007).

10

15

20

25

50

55

60

Un "ácido nucleico aislado" se refiere a una molécula de ácido nucleico que se ha separado de un componente de su entorno natural. Un ácido nucleico aislado incluye una molécula de ácido nucleico incluido en células que normalmente contienen la molécula de ácido nucleico, pero la molécula de ácido nucleico está presente extracromosómicamente o en una ubicación cromosómica que es diferente a su ubicación cromosómica natural.

"Ácido nucleico aislado que codifica un anticuerpo anti-WTA beta" se refiere a una o más moléculas de ácido nucleico que codifican cadenas pesadas y ligeras de anticuerpos, incluyendo dichas moléculas de ácido nucleico en un solo vector o vectores separados, y dichas moléculas de ácido nucleico presentes en una o más ubicaciones de una célula hospedadora.

Como se usa en el presente documento, la expresión "se une específicamente a" o es "específico para" se refiere a interacciones medibles y reproducibles, tales como la unión entre un diana y un anticuerpo, que es determinante de la presencia del diana en presencia de una población heterogénea de moléculas que incluyen moléculas biológicas. Por ejemplo, un anticuerpo que se une específicamente a un diana (que puede ser un epítopo) es un anticuerpo que se une a este diana con mayor afinidad, avidez, más fácilmente y/o con mayor duración de la que se une a otras dianas. En una realización, el grado de unión de un anticuerpo a un diana no relacionada con WTA-beta es menor que aproximadamente el 10 % de la unión del anticuerpo a la diana como se mide, por ejemplo, mediante radioinmunoensayo (RIA). En determinadas realizaciones, un anticuerpo que se une específicamente a WTA beta tiene una constante de disociación (Kd) de ≤1 μM, ≤ 100 nM, ≤ 10 nM, ≤ 1 nM o ≤ 0,1 nM. En determinadas realizaciones, un anticuerpo se une específicamente a un epítopo que se conserva de diferentes especies. En otra realización, se puede incluir la unión específica, pero no requiere unión exclusiva.

"Afinidad de unión" se refiere generalmente a la fuerza de la suma total de interacciones no covalentes entre un solo sitio de unión de una molécula (por ejemplo, un anticuerpo) y su compañero de unión (por ejemplo, un antigeno). A menos que se indique lo contrario, tal como se usa en el presente documento, la "afinidad de unión" se refiere a la afinidad de unión intrínseca que refleja una interacción 1:1 entre miembros de un par de unión (por ejemplo, anticuerpo y antígeno). La afinidad de una molécula X por su compañero Y puede estar representada en general por la constante de disociación (Kd). La afinidad puede medirse mediante métodos comunes conocidos en la técnica, incluyendo los descritos en el presente documento. Los anticuerpos de baja afinidad generalmente se unen al antígeno lentamente y tienden a disociarse fácilmente, mientras que los anticuerpos de alta afinidad generalmente se unen al antígeno más rápido y tienden a permanecer unidos durante más tiempo. Se conoce diversos métodos de medición de la afinidad de unión en la técnica, cualquiera de los cuales puede usarse para los fines de la presente invención. A continuación se describen realizaciones específicas ilustrativas y a modo de ejemplo para medir la afinidad de unión.

En una realización, la "Kd" o "valor Kd" de acuerdo con esta invención se mide mediante un ensayo de unión a antígeno radiomarcado (RIA) realizado con la versión Fab de un anticuerpo de interés y su antígeno como se describe mediante el siguiente ensayo. La afinidad de unión a la solución de Fab por el antígeno se mide equilibrando Fab con una concentración mínima de antígeno marcado con (125 l) en presencia de una serie de titulación de antígeno no marcado, capturando después el antígeno unido con una placa recubierta con anticuerpo anti-Fab (véase, por ejemplo, Chen et al., (1999) J. Mol. Biol. 293:865-881). Para establecer las condiciones para el ensayo, las placas de microtitulación (DYNEX Technologies, Inc.) se recubren durante la noche con 5 µg/ml de un anticuerpo anti-Fab de captura (Cappel Labs) en carbonato sódico 50 mM (pH 9,6) y posteriormente se bloquean con albúmina de suero bovino al 2 % (p/v) en PBS durante de dos a cinco horas a temperatura ambiente (aproximadamente 23 °C). En una placa no adsorbente (Nunc n.º 269620), se mezclan antígeno [125] 100 pM o 26 pM con diluciones en serie de un Fab de interés (por ejemplo, consistente con la evaluación del anticuerpo anti-VEGF, Fab-12, en Presta et al., Cancer Res. 57:4593-4599 (1997)). Después, el Fab de interés se incuba durante la noche; sin embargo, la incubación puede continuar durante un período más largo (por ejemplo, aproximadamente 65 horas) para garantizar que se alcanza el equilibrio. A partir de entonces, las mezclas se transfieren a la placa de captura para la incubación a temperatura ambiente (por ejemplo, durante una hora). La solución se retira después y la placa se lava ocho veces con tensioactivo TWEEN-20™ al 0,1 % en PBS. Cuando las placas se han secado, se añaden 150 µl/pocillo de centelleador (MICROSCINT-20™; Packard) y las placas se cuentan en un contador gamma TOPCOUNT™ (Packard) durante diez minutos. Se eligen las concentraciones de cada Fab que proporcionan menos o igual al 20 % de la unión máxima para su uso en ensayos de unión competitiva.

De acuerdo con otra realización, la Kd se mide utilizando ensayos de resonancia de plasmón superficial utilizando un instrumento BIACORE®-2000 o BIACORE®-3000 (BIAcore, Inc., Piscataway, NJ) a 25 °C con chips CM5 de antígeno inmovilizados en ~ 10 unidades de respuesta (UR). Brevemente, se activan los chips de biosensor de dextrano carboximetilado (CM5, BIAcore Inc.) con hidrocloruro de N-etil-N'-(3-dimetilaminopropil)-carbodiimida (EDC) y N-hidroxisuccinimida (NHS) de acuerdo con las instrucciones del proveedor. El antígeno se diluye con acetato de sodio 10 mM, pH 4,8, a 5 μg/ml (~0,2 μM) antes de la inyección a un caudal de 5 μl/min para alcanzar aproximadamente 10 unidades de respuesta (UR) de la proteína acoplada. Después de la inyección del antígeno, se inyecta etanolamina 1 M para bloquear los grupos que no han reaccionado. Para las mediciones de cinética, se inyectan diluciones en serie de Fab (0,78 nM a 500 nM) en PBS con tensioactivo TWEEN 20™ al 0,05 % (PBST) a 25 °C a un caudal de aproximadamente 25 μl/min. Las tasas de asociación (k_{on}) y las tasas de disociación (k_{off}) se calculan usando un modelo de unión Langmuir simple uno a uno (Programa informático de evaluación BIACORE® versión 3.2) ajustando simultáneamente los sensorgramas de asociación y disociación. La constante de disociación en el equilibrio (K_d) se calcula como la relación k_{off}/k_{on} . Véase, por ejemplo, Chen et al., J. Mol. Biol. 293:865-881 (1999). Si la constante de asociación supera $10^6~M^{-1}~s^{-1}$ mediante el ensayo de resonancia de plasmón superficial anterior, la constante de asociación puede determinarse utilizando una técnica de inactivación fluorescente que mide el aumento o disminución de la intensidad de emisión de fluorescencia (excitación = 295 nm; emisión = 340 nm, paso de banda de 16 nm) a 25 °C de un anticuerpo anti-antígeno 20 nM (forma Fab) en PBS, pH 7,2, en presencia de concentraciones crecientes de antígeno medidas como se mide en un espectrómetro, tal como un espectrofotómetro equipado con flujo de parada (Aviv Instruments) o un espectrofotómetro SLM-AMINCO™ serie 8000 (ThermoSpectronic) con una cubeta agitada.

10

15

20

25

30

40

45

50

55

60

65

Una "constante de asociación", "tasa de asociación", "velocidad de asociación", o "k_{on}"de acuerdo con esta invención también se puede determinar como se describe anteriormente usando un sistema BIACORE®-2000 o BIACORE®-3000 (BIAcore, Inc., Piscataway, NJ).

Las expresiones "célula hospedadora", "línea celular hospedadora", y "cultivo de células hospedadoras" se usan indistintamente y se refiere a células en las cuales se ha introducido ácido nucleico exógeno, incluyendo la descendencia de dichas células. Las células hospedadoras incluyen "transformantes" y "células transformadas", que incluyen la célula primaria transformada y la progenie derivada de esta independientemente del número de pases. La descendencia puede no ser completamente idéntica en contenido de ácido nucleico a una célula precursora, pero puede contener mutaciones. Se incluye en el presente documento la descendencia mutante que tiene la misma función o actividad biológica explorada o seleccionada en la célula transformada originalmente.

35 El término "vector", tal como se usa en el presente documento, se refiere a una molécula de ácido nucleico capaz de transportar otro ácido nucleico al que se ha enlazado. El término incluye el vector en forma de una estructura de ácido nucleico autorreplicante, así como el vector incorporado en el genoma de una célula hospedadora en donde se ha introducido. Determinados vectores son capaces de dirigir la expresión de ácidos nucleicos a los que están enlazados operativamente. En el presente documento dichos vectores se denominan "vectores de expresión".

El "porcentaje (%) de identidad de secuencia de aminoácidos" respecto de la secuencia de un polipéptido de referencia se define como el porcentaje de restos de aminoácidos en una secuencia candidata que son idénticos a los restos de aminoácidos en la secuencia de polipéptido de referencia, después de alinear las secuencias e introducir huecos, si es necesario, para lograr el porcentaje máximo de identidad de secuencia y sin tener en cuenta ninguna sustitución conservativa como parte de la identidad de secuencia. La alineación con el fin de determinar el porcentaje de identidad de secuencia de aminoácidos puede lograrse de varias maneras que se encuentran dentro de las capacidades de la técnica, por ejemplo, usando programas informáticos disponibles de manera pública, tales como los programas BLAST, BLAST-2, ALIGN o Megalign (DNASTAR). Los expertos en la materia pueden determinar los parámetros necesarios para alinear secuencias, incluyendo cualquier algoritmo necesario para lograr una alineación máxima a lo largo de la longitud completa de las secuencias que se estén comparando. A efectos del presente documento, sin embargo, los valores de % de identidad de secuencia de aminoácidos se generan usando el programa informático de comparación de secuencias ALIGN-2. El programa informático de comparación de secuencias ALIGN-2 fue programado por Genentech, Inc., y el código fuente, junto con la documentación para usuarios, se han depositado en la Oficina de Derechos de Autor de los Estados Unidos (U.S. Copyright Office), Washington D.C., 20559, donde está registrada con el n.º de Registro de Derechos de Autor de los Estados Unidos TXU510087. El programa ALIGN-2 está disponible al público a través de Genentech, Inc., Sur de San Francisco, California o puede compilarse a partir de su código fuente. El programa ALIGN-2 debe compilarse para su uso en un sistema operativo UNIX, incluyendo UNIX V4.0D digital. Todos los parámetros de comparación de secuencia se establecen por el programa ALIGN-2 y no varían.

En las situaciones donde se emplea ALIGN-2 para comparaciones de secuencias de aminoácidos, el % de identidad de secuencia de aminoácidos de una secuencia de aminoácidos dada A para, con o contra una secuencia de aminoácidos dada B (que puede, como alternativa, citarse como una secuencia de aminoácidos A que tiene o comprende un % determinado de identidad de secuencia de aminoácidos para, con o frente a una secuencia de aminoácidos B) se calcula del modo siguiente: 100 veces la fracción X/Y, donde X es el número de restos de aminoácidos puntuados como coincidencias idénticas por el programa de alineación de secuencias ALIGN-2 en la

alineación del programa de A y B y donde Y es el número total de restos de aminoácidos en B. Se apreciará que cuando la longitud de la secuencia de aminoácidos A no es igual a la longitud de la secuencia de aminoácidos B, el % de identidad de secuencia de A respecto de B no será igual al % de identidad de secuencia de aminoácidos de B respecto de A. A menos que se afirme específicamente lo contrario, todos los valores de % de identidad de secuencia de aminoácidos usados en el presente documento se obtienen como se describe.

La expresión "antibiótico de tipo rifamicina" significa la clase o grupo de antibióticos que tienen la estructura de, o estructura similar a, rifamicina.

10 La expresión "antibiótico de tipo rifalazil" significa la clase o grupo de antibióticos que tienen la estructura de, o estructura similar a, rifalazil.

Cuando se indica el número de sustituyentes, la expresión "uno o más" se refiere al intervalo desde un sustituyente hasta el mayor número de sustitución posible, es decir, reemplazo de un hidrógeno hasta el reemplazo de todos los 15 hidrógenos por los sustituyentes. El término "sustituyente" indica un átomo o un grupo de átomos que reemplaza un átomo de hidrógeno en la molécula precursora. El término "sustituido" indica que un grupo específico lleva uno o más sustituyentes. Cuando cualquier grupo pueda portar múltiples sustituyentes y se proporcione varios posibles sustituyentes, los sustituyentes se seleccionan de manera independiente y no necesitan ser los mismos. La expresión "no sustituido" significa que el grupo especificado no lleva sustituyentes. La expresión "opcionalmente sustituido" significa que el grupo especificado no está sustituido o está sustituido por uno o más sustituyentes, elegido independientemente del grupo de posibles sustituyentes. Cuando se indica el número de sustituyentes, la expresión "uno o más" significa desde un sustituyente hasta el mayor número de sustitución posible, es decir, reemplazo de un hidrógeno hasta el reemplazo de todos los hidrógenos por los sustituyentes.

20

50

65

- 25 El término "alquilo" como se usa en el presente documento se refiere a un radical hidrocarbonado monovalente de cadena lineal o ramificada saturado de uno a doce átomos de carbono (C1-C12), en donde el radical alquilo puede estar opcionalmente sustituido independientemente con uno o más sustituyentes descritos a continuación. En otra realización, un radical alquilo es de uno a ocho átomos de carbono (C₁-C₈), o de uno a seis átomos de carbono (C₁-C₆). Ejemplos de grupos alquilo incluyen, pero sin limitación, metilo (Me, -CH₃), etilo (Et, -CH₂CH₃), 1-propilo (n-Pr, n-30 propilo, -CH₂CH₂CH₃), 2-propilo (i-Pr, i-propilo, -CH(CH₃)₂), 1-butilo (n-Bu, n-butilo, -CH₂CH₂CH₃), 2-metil-1propilo (i-Bu, i-butilo, -CH₂CH(CH₃)₂), 2-butilo (s-Bu, s-butilo, -CH(CH₃)CH₂CH₃), 2-metil-2-propilo (t-Bu, t-butilo, -C(CH₃)₃), 1-pentilo (n-pentilo, -CH₂CH₂CH₂CH₂CH₃), 2-pentilo (-CH(CH₃)CH₂CH₂CH₃), 3-pentilo (-CH(CH₂CH₃)₂), 2-CH(CH₂CH₃)(CH₂CH₂CH₃)), 2-metil-2-pentilo (-C(CH₃)₂CH₂CH₂CH₃), 3-metil-2-pentilo (-CH(CH₃)CH(CH₃)), 35 octilo y similares.
- 40 El término "alquileno", como se usa en el presente documento, se refiere a un radical hidrocarbonado divalente de cadena lineal o ramificada saturado de uno a doce átomos de carbono (C1-C12), en donde el radical alquileno puede estar opcionalmente sustituido independientemente con uno o más sustituyentes descritos a continuación. En otra realización, un radical alquileno tiene de uno a ocho átomos de carbono (C₁-C₈), o de uno a seis átomos de carbono (C₁-C₆). Ejemplos de grupos alquileno incluyen, pero sin limitación, metileno (-CH₂-), etileno (-CH₂-CH₂-), propileno (-45 CH₂CH₂CH₂-) y similares.

El término "alquenilo" se refiere a un radical hidrocarbonado monovalente de cadena lineal o ramificada de dos a ocho átomos de carbono (C2-C8) con al menos un sitio de insaturación, es decir, un doble enlace sp² carbonocarbono, en donde el radical alquenilo puede estar opcionalmente sustituido independientemente con uno o más de los sustituyentes descritos en el presente documento e incluye radicales que tienen orientaciones "cis" y "trans" o, como alternativa, orientaciones "E" y "Z". Los ejemplos incluyen, pero sin limitación, etilenilo o vinilo (-CH=CH2), alilo (-CH₂CH=CH₂) y similares.

El término "alquenileno" se refiere a un radical hidrocarbonado divalente de cadena lineal o ramificada de dos a ocho átomos de carbono (C2-C8) con al menos un sitio de insaturación, es decir, un doble enlace sp² carbono-carbono. 55 donde el radical alquenileno puede estar opcionalmente sustituido independientemente con uno o más de los sustituyentes descritos en el presente documento e incluye radicales que tienen orientaciones "cis" y "trans" o, como alternativa, orientaciones "E" y "Z". Los ejemplos incluyen, pero sin limitación, etilenileno o vinileno (-CH=CH-), alilo (-CH₂CH=CH-) y similares. 60

El término "alquinilo" se refiere a un radical hidrocarbonado monovalente lineal o ramificado de dos a ocho átomos de carbono (C2-C8) con al menos un sitio de insaturación, es decir, un triple enlace sp carbono-carbono, en donde el radical alquinilo puede estar opcionalmente sustituido independientemente con uno o más sustituyentes descritos en el presente documento. Los ejemplos incluyen, pero sin limitación, etinilo (-C=CH), propinilo (propargilo, -CH₂C=CH), y similares.

El término "alquinileno" se refiere a un radical hidrocarbonado divalente lineal o ramificado de dos a ocho átomos de carbono (C₂-C₀) con al menos un sitio de insaturación, es decir, un triple enlace sp carbono-carbono, en donde el radical alquinileno puede estar opcionalmente sustituido independientemente con uno o más sustituyentes descritos en el presente documento. Los ejemplos incluyen, pero sin limitación, etinileno (-C≡C-), propinileno (propargileno, -CH₂C≡C-), y similares.

Los términos "carbociclo", "carbociclio", "anillo carbocíclico" y "cicloalquilo" se refieren a un anillo monovalente no aromático, saturado o parcialmente insaturado que tiene de 3 a 12 átomos de carbono (C_3 - C_{12}) como un anillo monocíclico o de 7 a 12 átomos de carbono como un anillo bicíclico. Los carbociclos bicíclicos que tienen de 7 a 12 átomos se pueden disponer, por ejemplo, como un sistema biciclo [4,5], [5,5], [5,6] o [6,6] y los carbociclos bicíclicos que tienen 9 o 10 átomos en el anillo se pueden disponer como un sistema biciclo [5,6] o [6,6], o como sistemas puente tal como biciclo [2.2.1] heptano, biciclo [2.2.2] octano y biciclo [3.2.2] nonano. También se incluyen restos espiro dentro del alcance de esta definición. Ejemplos de carbociclos monocíclicos incluyen, pero sin limitación, ciclopropilo, ciclobutilo, ciclopentilo, 1-ciclopent-1-enilo, 1-ciclopent-3-enilo, 1-ciclopent-3-enilo, ciclohex-1-enilo, 1-ciclohex-2-enilo, 1-ciclohex-3-enilo, ciclohexadienilo, cicloheptilo, ciclooctilo, ciclononilo, ciclodecilo, cicloundecilo, ciclododecilo y similares. Los grupos carbociclilo están opcionalmente sustituidos independientemente con uno o más sustituyentes descritos en el presente documento.

10

15

30

35

65

"Arilo" significa un radical hidrocarbonado aromático monovalente de 6-20 átomos de carbono (C₆-C₂₀) obtenido por la eliminación de un átomo de hidrógeno de un solo átomo de carbono de un sistema de anillo aromático precursor. Algunos grupos arilo se representan en las estructuras a modo de ejemplo como "Ar". Arilo incluye radicales bicíclicos que comprenden un anillo aromático fusionado a un anillo saturado, parcialmente insaturado o a un anillo carbocíclico aromático. Los grupos arilo típicos incluyen, pero sin limitación, radicales derivados de benceno (por ejemplo, fenilo), bencenos sustituidos, naftaleno, antraceno, bifenilo, indenilo, indanilo, 1,2-dihidronaftaleno, 1,2,3,4-tetrahidronaftilo y similares. Los grupos arilo están opcionalmente sustituidos independientemente con uno o más sustituyentes descritos en el presente documento.

"Arileno" significa un radical hidrocarbonado aromático divalente de 6-20 átomos de carbono (C_6 - C_{20}) obtenido por la eliminación de dos átomos de hidrógeno de dos átomos de carbono de un sistema de anillo aromático precursor. Algunos grupos arileno se representan en las estructuras a modo de ejemplo como "Ar". Arileno incluye radicales bicíclicos que comprenden un anillo aromático fusionado a un anillo saturado, parcialmente insaturado o a un anillo carbocíclico aromático. Los grupos arileno típicos incluyen, pero sin limitación, radicales derivados de benceno (fenileno), bencenos sustituidos, naftaleno, antraceno, bifenileno, indenileno, indanileno, 1,2-dihidronaftaleno, 1,2,3,4-tetrahidronaftilo y similares. Los grupos arileno están opcionalmente sustituidos con uno o más sustituyentes descritos en el presente documento.

Los términos "heterociclo", "heterociclilo" y "anillo heterocíclico" se usan indistintamente en el presente documento y se refieren a un radical carbocíclico saturado o parcialmente insaturado (es decir, que tiene uno o más enlaces dobles y/o triples dentro del anillo) de 3 a aproximadamente 20 átomos en el anillo en el que al menos un átomo en 40 el anillo es un heteroátomo seleccionado de nitrógeno, oxígeno, fósforo y azufre, siendo el resto de los átomos en el anillo C, donde uno o más átomos en el anillo están opcionalmente sustituidos independientemente con uno o más sustituyentes descritos a continuación. Un heterociclo puede ser un monociclo que tenga de 3 a 7 miembros en el anillo (de 2 a 6 átomos de carbono y de 1 a 4 heteroátomos seleccionados de N, O, P y S) o un biciclo que tenga de 7 a 10 miembros en el anillo (de 4 a 9 átomos de carbono y de 1 a 6 heteroátomos seleccionados de N, O, P y S), 45 por ejemplo: un sistema biciclo [4,5], [5,5], [5,6] o [6,6]. Se describen heterociclos en Paquette, Leo A.; "Principles of Modern Heterocyclic Chemistry" (W.A. Benjamin, Nueva York, 1968), en particular los Capítulos 1, 3, 4, 6, 7 y 9; The Chemistry of Heterociclic Compounds, A series of Monographs" (John Wiley & Sons, Nueva York, 1950 hasta la actualidad), en particular los Volúmenes 13, 14, 16, 19 y 28; and J. Am. Chem. Soc. (1960) 82:5566. "Heterociclilo" también incluye radicales donde los radicales heterociclo están fusionados con un anillo saturado, parcialmente insaturado, o anillo carbocíclico o heterocíclico aromático. Ejemplos de anillos heterocíclicos incluyen, pero sin 50 limitación, morfolin-4-ilo, piperidin-1-ilo, piperazinilo, piperazina-4-il-2-ona, piperazina-4-il-3-ona, pirrolidin-1-ilo, tiomorfolin-4-ilo, S-dioxotiomorfolin-4-ilo, azocan-1-ilo, azetidin-1-ilo, octahidropirido[1,2-a] pirazin-2-ilo, [1,4] diazepan-1-ilo, pirrolidinilo, tetrahidrofuranilo, dihidrofuranilo, tetrahidrotienilo, tetrahidropiranilo, dihidropiranilo, tetrahidrotiopiranilo, piperidino, morfolino, tiomorfolino, tioxanilo, piperazinilo, homopiperazinilo, azetidinilo, oxetanilo, 55 tietanilo, homopiperidinilo, oxepanilo, tiepanilo, oxazepinilo, diazepinilo, tiazepinilo, 2-pirrolinilo, 3-pirrolinilo, indolinilo, 2H-piranilo, 4H-piranilo, dioxanilo, 1,3-dioxolanilo, pirazolinilo, ditianilo, ditiolanilo, dihidropiranilo, dihidrotienilo, dihidrofuranilo, pirazolidinilimidazolinilo, imidazolidinilo, 3-azabiciclo[3.1.0]hexanilo, 3-azabiciclo[4.1.0]heptanilo, azabiciclo[2.2.2]hexanilo, 3H-indolil quinolizinilo y N-piridilureas. También se incluyen restos espiro dentro del alcance de esta definición. Ejemplos de un grupo heterocíclico en donde 2 átomos de carbono en el anillo están sustituidos con restos oxo (=O) son pirimidindionilo y 1,1-dioxotiomorfolinilo. Los grupos heterociclo del presente 60 documento están opcionalmente sustituidos independientemente con uno o más sustituyentes descritos en el presente documento.

El término "heteroarilo" se refiere a un radical aromático monovalente de anillos de 5, 6 o 7 miembros, e incluye sistemas de anillos fusionados (al menos uno de los cuales es aromático) de 5-20 átomos, que contiene uno o más heteroátomos seleccionados independientemente de nitrógeno, oxígeno y azufre. Ejemplos de grupos heteroarilo

son piridinilo (que incluye, por ejemplo, 2-hidroxipiridinilo), imidazolilo, imidazopiridinilo, pirimidinilo (incluyendo, por ejemplo, 4-hidroxipirimidinilo), pirazolilo, triazolilo, pirazinilo, tetrazolilo, furilo, tienilo, isoxazolilo, tiazolilo, oxadiazolilo, oxazolilo, isotiazolilo, pirrolilo, quinolinilo, isoquinolinilo, tetrahidroisoquinolinilo, indolilo, benzoimidazolilo, benzofuranilo, cinnolinilo, indazolilo, indolizinilo, ftalazinilo, piridazinilo, triazinilo, isoindolilo, pteridinilo, purinilo, oxadiazolilo, triazolilo, tiadiazolilo, tiadiazolilo, furazanilo, benzofurazanilo, benzotiofenilo, benzotiazolilo, quinazolinilo, quinoxalinilo, naftiridinilo y furopiridinilo. Los grupos heteroarilo están opcionalmente sustituidos independientemente con uno o más sustituyentes descritos en el presente documento.

Los grupos heterociclo o heteroarilo pueden estar unidos a carbono (enlazado a carbono) o a nitrógeno (enlazado a nitrógeno) cuando sea posible. A modo de ejemplo y no de limitación, los heterociclos unidos a carbono están unidos en la posición 2, 3, 4, 5, o 6 de una piridina, posición 3, 4, 5, o 6 de una pirimidina, posición 2, 3, 5, o 6 de una pirazina, posición 2, 3, 4, o 5 de un furano, tetrahidrofurano, tiofurano, pirrol o tetrahidropirrol, posición 2, 4, o 5 de un oxazol, imidazol o tiazol, posición 3, 4, o 5 de un isoxazol, pirazol, o isotiazol, posición 2 o 3 de una aziridina, posición 2, 3, o 4 de una azetidina, posición 2, 3, 4, 5, 6, 7, u 8 de una quinolina o posición 1, 3, 4, 5, 6, 7, u 8 de una isoquinolina.

A modo de ejemplo y no de limitación, heterociclos o heteroarilos unidos a nitrógeno están unidos en la posición 1 de una aziridina, azetidina, pirrol, pirrolidina, 2-pirrolina, 3-pirrolina, imidazol, imidazolidina, 2-imidazolina, 3-imidazolina, pirazol, pirazolina, 2-pirazolina, 3-pirazolina, piperidina, piperazina, indol, indolina, 1H-indazol, posición 2 de un isoindol o isoindolina, posición 4 de una morfolina y posición 9 de un carbazol o β-carbolina.

Un "metabolito" es un producto producido a través del metabolismo, en el cuerpo, de un compuesto específico o una sal del mismo. Los metabolitos de un compuesto pueden identificarse usando técnicas habituales conocidas en la técnica y se determinan sus actividades usando ensayos como los descritos en el presente documento. Dichos productos pueden ser el resultado, por ejemplo, de la oxidación, reducción, hidrólisis, amidación, desamidación, esterificación, desesterificación, escisión enzimática y similares, del compuesto administrado. Por consiguiente, la invención incluye metabolitos de compuestos de la invención, incluyendo los compuestos producidos mediante un proceso que comprende poner en contacto un compuesto de Fórmula I de la presente invención, con un mamífero durante un periodo de tiempo suficiente para producir un producto metabólico del mismo.

La expresión "formulación farmacéutica" se refiere a una preparación que se encuentra en una forma tal que permite que sea eficaz la actividad biológica de un principio activo contenido en la misma y que no contiene componentes adicionales que sean inaceptablemente tóxicos para un sujeto al que se administraría la formulación.

35 Una formulación "estéril" es aséptica o libre de todos los microorganismos vivos y sus esporas.

20

25

30

40

45

50

55

Una formulación "estable" es aquella en donde la proteína en la misma conserva de forma esencial su estabilidad e integridad física y química tras el almacenamiento. Están disponibles en la técnica, diferentes técnicas analíticas para medir la estabilidad de las proteínas y se revisan en Peptide and Protein Drug Delivery, 247-301, Vincent Lee Ed., Marcel Dekker, Inc., Nueva York, Nueva York, Pubs. (1991) y Jones, A. Adv. Drug Delivery Rev. 10: 29-90 (1993). La estabilidad se puede medir a una temperatura seleccionada durante un período de tiempo seleccionado. Para la exploración rápida, la formulación puede mantenerse a 40 °C durante 2 semanas a 1 mes, momento en el que se mide la estabilidad. Cuando la formulación debe almacenarse a 2-8 °C, generalmente la formulación debe ser estable a 30 °C o 40 °C durante al menos 1 mes y/o estable a 2-8 °C durante al menos 2 años. Cuando la formulación se almacene a 30 °C, generalmente la formulación debe ser estable durante al menos 2 años a 30 °C y/o estable a 40 °C durante al menos 6 meses. Por ejemplo, el grado de agregación durante el almacenamiento puede usarse como un indicador de la estabilidad de la proteína. Por lo tanto, una formulación "estable" puede ser aquella en donde menos del 10 % y preferentemente menos del 5 % de la proteína están presentes como un agregado en la formulación. En otras realizaciones, se puede determinar cualquier aumento en la formación de agregados durante el almacenamiento de la formulación.

Una formulación "isotónica" es aquella que tiene esencialmente la misma presión osmótica que la sangre humana. Las formulaciones isotónicas generalmente tendrán una presión osmótica de aproximadamente 250 a 350 mOsm. El término "hipotónica" describe una formulación con una presión osmótica inferior a la de la sangre humana. De manera correspondiente, el término "hipertónica" se utiliza para describir una formulación con una presión osmótica superior a la de la sangre humana. La isotonicidad se puede medir usando un osmómetro de presión de vapor o de congelación en hielo, por ejemplo. Las formulaciones de la presente invención son hipertónicas como resultado de la adición de sal y/o tampón.

Los "vehículos" tal como se usan en el presente documento incluyen vehículos, excipientes, o estabilizantes farmacéuticamente aceptables que no son tóxicos para la célula o el mamífero expuesto a los mismos a las dosis y concentraciones empleadas. Con frecuencia, el vehículo fisiológicamente aceptable es una solución acuosa a pH tamponado. Los ejemplos de vehículos fisiológicamente aceptables incluyen tampones tales como fosfato, citrato y otros ácidos orgánicos; antioxidantes, incluyendo ácido ascórbico; polipéptidos de bajo peso molecular (de menos de aproximadamente 10 restos); proteínas, tales como seroalbúmina, gelatina o inmunoglobulinas; polímeros hidrófilos tales como polivinilpirrolidona; aminoácidos tales como glicina, glutamina, asparagina, arginina o lisina;

monosacáridos, disacáridos y otros hidratos de carbono incluyendo glucosa, manosa o dextrinas; agentes quelantes tales como EDTA; alcoholes de azúcar, tales como manitol o sorbitol; contra iones formadores de sal tales como sodio; y/o tensioactivos no iónicos, tales como TWEEN®, polietilenglicol (PEG) y PLURONICS™.

Un "vehículo farmacéuticamente aceptable" se refiere a un ingrediente en una formulación farmacéutica, distinto del principio activo, que no es tóxico para un sujeto. Un vehículo farmacéuticamente aceptable incluye, pero sin limitación, un tampón, excipiente, estabilizante o conservante. Un "ácido farmacéuticamente aceptable" incluye ácidos inorgánicos y orgánicos que no son tóxicos a la concentración y la forma en que se formulan. Por ejemplo, ácidos inorgánicos adecuados incluyen clorhídrico, perclórico, bromhídrico, yodhídrico, nítrico, sulfúrico, sulfónico, 10 sulfínico, sulfanílico, fosfórico, carbónico, etc. Los ácidos orgánicos adecuados incluyen alquilos de cadena lineal y ramificada, aromáticos, cíclicos, cicloalifáticos, arilalifáticos, heterocíclicos, saturados, insaturados, mono, di y tricarboxílicos, incluyendo, por ejemplo, fórmico, acético, 2-hidroxiacético, trifluoroacético, fenilacético, trimetilacético, t-butil acético, antranílico, propanoico, 2-hidroxipropanoico, 2-oxopropanoico, propanodioico, ciclopentanopropiónico, ciclopentano propiónico, 3-fenilpropiónico, butanoico, butandioico, benzoico, 3-(4-hidroxibenzoil)benzoico, 2-15 acetoxibenzoico, ascórbico, cinámico, laurilsulfúrico, esteárico, mucónico, mandélico, succínico, embónico, fumárico, málico, maleico, hidroximaleico, malónico, láctico, cítrico, tartárico, glicólico, glucónico, glucónico, pirúvico, glioxálico, oxálico, mesílico, succínico, salicílico, ftálico, palmoico, palmeico, tiociánico, metanosulfónico, etanosulfónico, 1,2etanodisulfónico, 2-hidroxietanosulfónico, bencenosulfónico, 4-clorobencenosulfónico, naftaleno-2-sulfónico, toluenosulfónico, canforsulfónico, 4-metilbiciclo[2.2.2]-oct-2-eno-1-carboxílico, glucoheptónico, 4,4'-metilenbis-3-20 (ácido hidroxi-2-eno-1-carboxílico), hidroxinaftoico.

Las "bases farmacéuticamente aceptables" incluyen bases inorgánicas y orgánicas que no son tóxicas a la concentración y de la forma en que se formulan. Por ejemplo, bases adecuadas incluyen aquellas formadas a partir de metales que forman bases inorgánicas tales como litio, sodio, potasio, magnesio, calcio, amonio, hierro, cinc, cobre, manganeso, aluminio, N-metilglucamina, morfolina, piperidina y bases orgánicas no tóxicas que incluyen, aminas primarias, secundarias y terciarias, aminas sustituidas, aminas cíclicas y resinas de intercambio iónico básicas, [por ejemplo, N(R ')₄⁺ (donde R' es independientemente H o alquilo C₁₋₄, por ejemplo, amonio, Tris)], por ejemplo, isopropilamina, trimetilamina, dietilamina, trietilamina, tripropilamina, etanolamina, 2-dietilaminoetanol, trimetamina, diciclohexilamina, lisina, arginina, histidina, cafeína, procaína, hidrabamina, colina, betaína, etilendiamina, glucosamina, metilglucamina, teobromina, purinas, piperazina, piperidina, N-etilpiperidina, resinas de poliamina y similares. Son bases orgánicas no tóxicas particularmente preferidas isopropilamina, dietilamina, etanolamina, trimetamina, diciclohexilamina, colina y cafeína.

25

30

40

45

50

55

60

65

Los ácidos y bases farmacéuticamente aceptables adicionales que se pueden usar con la presente invención incluyen aquellos derivados de los aminoácidos, por ejemplo, histidina, glicina, fenilalanina, ácido aspártico, ácido glutámico, lisina y asparagina.

Los tampones y sales "farmacéuticamente aceptables" incluyen aquellos derivados de las sales de adición tanto de ácido como de base de los ácidos y bases indicados anteriormente. Los tampones y/o sales específicos incluyen histidina, succinato y acetato.

Un "azúcar farmacéuticamente aceptable" es una molécula que, cuando se combina con una proteína de interés, previene o reduce significativamente la inestabilidad química y/o física de la proteína durante el almacenamiento. Cuando la formulación se pretende liofilizar y después reconstituir, los "azúcares farmacéuticamente aceptables" también pueden conocerse como un "lioprotector". Azúcares a modo de ejemplo y sus correspondientes alcoholes de azúcar incluyen: un aminoácido tal como glutamato monosódico o histidina; una metilamina tal como betaína; una sal liotrópica tal como sulfato de magnesio; un poliol tal como alcoholes de azúcar trihídricos o de peso molecular superior, por ejemplo, glicerina, dextrano, eritritol, glicerol, arabitol, xilitol, sorbitol y manitol; propilenglicol; polietilenglicol; PLURONICS®; y combinaciones de los mismos. Lioprotectores adicionales a modo de ejemplo incluyen glicerina y gelatina, y los azúcares melibiosa, melecitosa, rafinosa, manotriosa y estaquiosa. Ejemplos de azúcares reductores incluyen glucosa, maltosa, lactosa, maltulosa, isomaltulosa y lactulosa. Ejemplos de azúcares no reductores incluyen glucósidos no reductores de compuestos polihidroxilados seleccionados de alcoholes de azúcar y otros polialcoholes de cadena lineal. Los alcoholes de azúcar preferidos son los monoglucósidos, especialmente aquellos compuestos obtenidos por reducción de disacáridos tales como lactosa, maltosa, lactulosa y maltulosa. El grupo lateral glicosídico puede ser glucosídico o galactosídico. Ejemplos adicionales de alcoholes de azúcar son glucitol, maltitol, lactitol e isomaltulosa. Los azúcares farmacéuticamente aceptables preferidos son los azúcares no reductores trehalosa o sacarosa. Los azúcares farmacéuticamente aceptables se añaden a la formulación en una "cantidad protectora" (por ejemplo, previo a la liofilización), lo que significa que la proteína esencialmente conserva su estabilidad e integridad física y química durante el almacenamiento (por ejemplo, después de la reconstitución y el almacenamiento).

El "diluyente" de interés en el presente documento es aquel que es farmacéuticamente aceptable (seguro y no tóxico para la administración a un ser humano) y es útil para la preparación de una formulación líquida, tal como una formulación reconstituida después de la liofilización. Diluyentes a modo de ejemplo incluyen agua estéril, agua bacteriostática para inyección (BWFI por sus siglas en inglés), solución a pH tamponado (por ejemplo, solución salina tamponada con fosfato), solución salina estéril, solución de Ringer y solución de dextrosa. En una realización

alternativa, los diluyentes pueden incluir soluciones acuosas de sales y/o tampones.

10

15

20

25

30

35

40

45

50

55

60

Un "conservante" es un compuesto que se puede añadir a las formulaciones en el presente documento para reducir la actividad bacteriana. La adición de un conservante puede, por ejemplo, facilitar la producción de una formulación de usos múltiples (dosis múltiples). Ejemplos de posibles conservantes incluyen cloruro de octadecildimetilbencilamonio, cloruro de hexametonio, cloruro de benzalconio (una mezcla de cloruros de alquilbencildimetilamonio) en los que los grupos alquilo son compuestos de cadena larga) y cloruro de bencetonio. Otros tipos de conservantes incluyen alcoholes aromáticos tales como fenol, alcohol butílico y bencílico, alquilparabenos tales como metil o propilparabeno, catecol, resorcinol, ciclohexanol, 3-pentanol y m-cresol. El conservante más preferido en el presente documento es el alcohol bencílico.

Un "individuo" o "sujeto" o "paciente" es un mamífero. Los mamíferos incluyen, pero sin limitación, animales domesticados (por ejemplo, vacas, ovejas, gatos, perros y caballos), primates (por ejemplo, seres humanos y primates no humanos tal como monos), conejos y roedores (por ejemplo, ratones y ratas). En determinadas realizaciones, el individuo o sujeto es un ser humano.

Tal como se usa en el presente documento, "tratamiento" (y las variaciones gramaticales del mismo, como "tratar" o "que trata") se refiere a la intervención clínica diseñada para alterar el curso natural del individuo, tejido o célula a tratar durante el curso de la patología clínica. Los efectos deseables del tratamiento incluyen, pero sin limitación, disminuir la velocidad de progresión de la enfermedad, mejorar o paliar la patología y remisión o pronóstico mejorado, todo medible por un experto en la materia, como un médico. En una realización, el tratamiento puede significar alivio de los síntomas, disminución de cualesquiera consecuencias patológicas directas o indirectas de la enfermedad, disminución de la velocidad de progresión de la enfermedad infecciosa, mejora o paliación de la patología y remisión o pronóstico mejorado. En algunas realizaciones, los anticuerpos de la invención se usan para retrasar el desarrollo de una enfermedad o para frenar la progresión de una enfermedad infecciosa.

Tal como se usa en el presente documento, "junto con" se refiere a la administración de una modalidad de tratamiento además de otra modalidad de tratamiento. Como tal, "junto con" se refiere a la administración de una modalidad de tratamiento antes, durante o después de la administración de la otra modalidad de tratamiento al individuo.

El término "fagosoma" se refiere a un depósito endocítico cerrado por una membrana internalizada de una célula fagocítica. Puede ser iniciado por fagocitosis directa, potenciada por anticuerpos o complemento. El término "fagolisosoma" se refiere a un depósito celular internalizado que se ha fusionado con uno o más lisosomas.

Las bacterias se dividen tradicionalmente en dos grupos principales, Gram positivas (Gm +) y Gram negativas (Gm-), basándose en su retención de la tinción de Gram. Las bacterias Gram positivas están limitadas por una membrana lipídica de una sola unidad y, generalmente, contienen una capa gruesa (20-80 nm) de peptidoglicano responsable de retener la tinción de Gram. Las bacterias Gram positivas son aquellas que se tiñen de azul oscuro o violeta por la tinción de Gram. Por el contrario, las bacterias Gram negativas no pueden retener la tinción de cristal violeta, en su lugar, captan la contratinción (safranina o fucsina) y que aparece de color rojo o rosa. Las paredes celulares Gram positivas generalmente carecen de la membrana externa que se encuentra en las bacterias Gram negativas.

El término "bacteriemia" se refiere a la presencia de bacterias en el torrente sanguíneo que se detecta con mayor frecuencia a través de un cultivo de sangre. Las bacterias pueden ingresar al torrente sanguíneo como una complicación grave de las infecciones (como neumonía o meningitis), durante la cirugía (especialmente cuando implica membranas mucosas como el tracto gastrointestinal), o debido a catéteres y otros cuerpos extraños que ingresan a las arterias o venas. La bacteriemia puede tener varias consecuencias. La respuesta inmunitaria a la bacteria puede causar sepsis y shock séptico, que tiene una tasa de mortalidad relativamente alta. Las bacterias también pueden usar la sangre para propagarse a otras partes del cuerpo, causando infecciones lejos del sitio original de infección. Los ejemplos incluyen endocarditis u osteomielitis.

Una "cantidad terapéuticamente eficaz" es la concentración mínima necesaria para lograr una mejora medible de un trastorno particular. Una cantidad terapéuticamente eficaz, en el presente documento, puede variar de acuerdo con factores tales como la patología, edad, sexo y peso del paciente y de la capacidad del anticuerpo para desencadenar una respuesta deseada en el individuo. Una cantidad terapéuticamente eficaz también es aquella en la que los efectos tóxicos o perjudiciales del anticuerpo se ven superados por los efectos terapéuticamente beneficiosos. En una realización, una cantidad terapéuticamente eficaz es una cantidad eficaz para reducir la bacteriemia en una infección *in vivo*. En un aspecto, una "cantidad terapéuticamente eficaz" es al menos la cantidad eficaz para reducir la carga bacteriana o las unidades formadoras de colonias (UFC) aisladas de una muestra de paciente, tal como sangre, en al menos uno en escala logarítmica con respecto a antes de la administración del fármaco. En un aspecto más específico, la reducción es de al menos 2 en escala logarítmica. En otro aspecto, la reducción es de 3, 4, 5 en escala logarítmica. En otro aspecto más, la reducción es inferior a niveles detectables. En otra realización, una cantidad terapéuticamente eficaz es la cantidad de un AAC en una o más dosis administradas durante el curso del período de tratamiento, que logra un hemocultivo negativo (es decir, no permite el crecimiento de la bacteria que es la diana del AAC) en comparación con el hemocultivo positivo antes o al comienzo del

tratamiento del paciente infectado.

Una "cantidad profilácticamente eficaz" se refiere a una cantidad que es eficaz, a las dosificaciones y durante los periodos de tiempo necesarios, para lograr el resultado profiláctico deseado. Generalmente, pero no necesariamente, debido a que se usa una dosis profiláctica en sujetos antes de, en la etapa temprana de la enfermedad, o incluso antes de la exposición a condiciones en las que el riesgo de infección es elevado, la cantidad profilácticamente eficaz puede ser menor que la cantidad terapéuticamente eficaz. En una realización, una cantidad profilácticamente eficaz es al menos una cantidad eficaz para reducir, prevenir la aparición de o la propagación de la infección de una célula a otra.

10

La administración "crónica" se refiere a la administración de uno o más medicamentos en un modo continuo en oposición a un modo de corta duración, a fin de mantener el efecto (actividad) terapéutico inicial durante un período prolongado de tiempo. La administración "intermitente" es un tratamiento que no se realiza de manera consecutiva sin interrupción, sino que es de naturaleza cíclica.

15

30

actividad óptica.

- El término "prospecto" se usa para referirse a instrucciones habitualmente incluidas en los envases comerciales de productos terapéuticos, que contienen información sobre las indicaciones, uso, dosificación, administración, terapia combinada, las contraindicaciones y/o las advertencias en referencia al uso de dichos productos terapéuticos.
- 20 El término "quiral" se refiere a moléculas que tienen la propiedad de no superposición al compañero de imagen especular, mientras que el término "aquiral" se refiere a moléculas que pueden superponerse sobre sus compañeros de imagen especular.
- El término "estereoisómeros" se refiere a compuestos que tienen una constitución química idéntica, pero se diferencian con respecto a la disposición de los átomos o grupos en el espacio.
 - "Diastereómero" se refiere a un estereoisómero con dos o más centros de quiralidad y cuyas moléculas no son imágenes especulares entre sí. Los diastereómeros tienen propiedades físicas diferentes, por ejemplo, puntos de fusión, puntos de ebullición, propiedades espectrales y reactividades. Las mezclas de diastereómeros pueden separarse mediante procedimientos analíticos de alta resolución, tales como electroforesis y cromatografía.
 - "Enantiómeros" se refiere a estereoisómeros de un compuesto que no son imágenes especulares superponibles entre sí.
- 35 Las convenciones y definiciones estereoquímicas usadas en el presente documento siguen generalmente a S. P. Parker, Ed., McGraw-Hill Dictionary of Chemical Terms (1984) McGraw-Hill Book Company, Nueva York; y Eliel, E. y Wilen, S., Stereochemistry of Organic Compounds (1994) John Wiley & Sons, Inc., Nueva York, Muchos de los compuestos orgánicos existen en formas ópticamente activas, es decir, tienen la capacidad de rotar el plano de luz polarizada. En la descripción de un compuesto ópticamente activo, los prefijos D y L o R y S, se usan para indicar la 40 configuración absoluta de la molécula en torno a su centro o centros quirales. Los prefijos d y 1 o (+) y (-) se emplean para designar el sentido de rotación del plano de luz polarizada por el compuesto, significando (-) o 1 que el compuesto es levógiro. Un compuesto con el prefijo (+) o d es dextrógiro. Para una estructura química dada, estos estereoisómeros son idénticos salvo por que son imágenes especulares entre sí. Un estereoisómero específico puede denominarse también enantiómero y una mezcla de dichos isómeros se denomina con frecuencia una mezcla enantiomérica. Una mezcla 50:50 de enantiómeros se denomina mezcla racémica o racemato, que puede aparecer 45 cuando no ha habido estereoselección ni estereoespecificidad en un proceso o reacción química. Las expresiones "mezcla racémica" y "racemato" se refieren a una mezcla equimolar de dos especies enantioméricas, desprovista de
- La expresión "grupo protector" se refiere a un sustituyente que se emplea habitualmente para bloquear o proteger una funcionalidad particular mientras que reaccionan otros grupos funcionales en el compuesto. Por ejemplo, un "grupo protector de amino" es un sustituyente fijado a un grupo amino que bloquea o protege la funcionalidad amino en el compuesto. Los grupos protectores de amino adecuados incluyen, pero sin limitación, acetilo, trifluoroacetilo, t-butoxicarbonilo (BOC), benciloxicarbonilo (CBZ) y 9-fluorenilmetilenoxicarbonilo (Fmoc). Para una descripción general de grupos protectores y su uso, véanse T. W. Greene, Protective Groups in Organic Synthesis, John Wiley & Sons, Nueva York, 1991, o una edición posterior.
- El término "aproximadamente", como se usa en el presente documento, se refiere al intervalo de error habitual para el valor correspondiente, fácilmente conocido por los expertos en este campo técnico. La referencia a "aproximadamente" un valor o parámetro en el presente documento incluye (y describe) realizaciones que se refieren a dicho valor o parámetro en sí.
- Como se usa en el presente documento y en las reivindicaciones adjuntas, las formas en singular "un", "una/o", y "el/la", incluyen referencias en plural a menos que el contexto dicte claramente lo contrario. Por ejemplo, en referencia a un "anticuerpo" es una referencia a de uno a muchos anticuerpos, tales como cantidades molares, e incluye equivalentes de las mismas conocidas por los expertos en la materia y así sucesivamente.

III. COMPOSICIONES Y MÉTODOS

5

10

CONJUGADOS ANTICUERPO-ANTIBIÓTICO (AAC)

Los compuestos AAC de la invención incluyen aquellos con actividad antibacteriana, eficaz contra varios patógenos

Gram positivos, Gram negativos, humanos y veterinarios, incluyendo los estafilococos. En una realización a modo de ejemplo, los compuestos AAC incluyen un anticuerpo modificado por ingeniería con cisteína conjugado, es decir, fijado covalentemente por un enlazador, a un resto antibiótico de tipo rifamicina. La actividad biológica del resto antibiótico de tipo rifamicina se modula por conjugación con un anticuerpo. Los conjugados anticuerpo-antibiótico (AAC) de la invención suministran de manera selectiva una dosis eficaz de un agente antibacteriano a un sitio de infección de modo que se puede lograr mayor selectividad, es decir, una dosis eficaz más baja, mientras se aumenta el índice terapéutico ("ventana terapéutica").

La invención proporciona una nueva terapia antibacteriana que tiene como finalidad evitar la fuga de antibióticos al 15 actuar de forma selectiva en poblaciones de bacterias que evaden la terapia antibiótica convencional. La novedosa terapia antibacteriana se logra con un Conjugado Anticuerpo Antibiótico (AAC) en el que un anticuerpo específico para los componentes de la pared celular en S. aureus (incluyendo MRSA) está químicamente enlazado a un antibiótico potente (un derivado de rifamicina). El antibiótico se combina con el anticuerpo a través de un enlazador 20 peptídico escindible por proteasas diseñado para ser escindido por catepsina B, una proteasa lisosómica que se encuentra en la mayoría de los tipos de células de mamíferos (Dubowchik et al (2002) Bioconj. Chem. 13:855-869). El AAC actúa como un profármaco en el sentido de que el antibiótico está inactivo (debido al gran tamaño del anticuerpo) hasta que el enlazador se escinde. Debido a que las células hospedadoras captan una proporción significativa de S. aureus encontrado en una infección, principalmente neutrófilos y macrófagos, en algún momento 25 durante el curso de la infección en el hospedador, y a que el tiempo pasado dentro de las células hospedadoras proporciona una oportunidad significativa para que la bacteria evada la actividad antibiótica. los AAC de la invención están diseñados para unirse a S. aureus y liberar el antibiótico dentro del fagolisosoma después de que las células hospedadoras capten las bacterias. Por este mecanismo, los AAC pueden concentrar el antibiótico activo específicamente en un lugar donde S. aureus está escasamente tratado con antibióticos convencionales. Si bien la 30 invención no está limitada o definida por un mecanismo de acción particular. los AAC meioran la actividad antibiótica a través de tres posibles mecanismos: (1) El AAC suministra antibióticos dentro de las células de mamíferos que captan las bacterias, aumentando así la potencia de los antibióticos que se difunden de forma escasa en los fagolisosomas donde están secuestradas las bacterias. (2) los AAC opsonizan las bacterias, aumentando así la captación de bacterias libres por las células fagocíticas, y liberan el antibiótico localmente para destruir las bacterias mientras están secuestradas en el fagolisosoma. (3) los AAC mejoran la semivida de los antibióticos in vivo 35 (farmacocinética mejorada) al enlazar el antibiótico a un anticuerpo. La farmacocinética mejorada de AAC permite el suministro de antibióticos suficiente en regiones donde está concentrado S. aureusmientras limita la dosis total de antibiótico que se necesita administrar por vía sistémica. Esta propiedad debería permitir la terapia a largo plazo con AAC para actuar de forma selectiva contra la infección persistente con efectos secundarios mínimos de los 40 antibióticos.

La presente solicitud describe la generación de nuevos agentes terapéuticos de anticuerpos anti-WTA conjugados y su uso en el tratamiento de infecciones con bacterias Gram positivas (Gm+) incluyendo infecciones por S. aureus. Estos anticuerpos son capaces de actuar de forma selectiva en poblaciones de bacterias Gm+ que evaden la terapia antibiótica convencional.

Un compuesto conjugado anticuerpo-antibiótico de la invención comprende un anticuerpo anti-ácidos teicoicos de pared beta (WTA beta) fijado covalentemente por un enlazador peptídico a un antibiótico de tipo rifamicina.

50 En un ejemplo, el conjugado anticuerpo-antibiótico tiene la fórmula:

Ac-(L-abx)_p

en donde:

55

45

Ac es el anticuerpo anti-ácidos teicoicos de pared;

L es el enlazador peptídico que tiene la fórmula:

60 -Str-Pep-Y-

> donde Str es una unidad extensora; Pep es un péptido de dos a doce restos de aminoácidos e Y es una unidad espaciadora;

abx es el antibiótico de tipo rifamicina; y

65 p es un número entero de 1 a 8. El número de restos antibióticos que pueden conjugarse mediante un resto reactivo del enlazador a una molécula de anticuerpo puede estar limitado por el número de restos de cisteína libres, que se introducen por los métodos descritos en el presente documento. Los AAC a modo de ejemplo de Fórmula I, por lo tanto, comprenden anticuerpos que tienen 1, 2, 3 o 4 aminoácidos de cisteína modificados por ingeniería (Lyon, R. et al (2012) Methods in Enzym. 502:123-138).

ANTICUERPOS ANTITEICOICOS DE PARED (WTA)

- En el presente documento se divulgan determinados Ac anti-WTA y anticuerpos anti-WTA conjugados que se unen a WTA expresados en varias bacterias Gm+, incluyendo *Staphylococcus aureus*. Los anticuerpos anti-WTA pueden seleccionarse y producirse mediante los métodos enseñados en el documento US 8283294; Meijer PJ et al (2006) J Mol Biol. 358(3):764-72; Lantto J, et al (2011) J Virol. 85(4):1820-33, y en el Ejemplo 21 a continuación. La invención proporciona composiciones de estos Ac anti-WTA.
- La pared celular de las bacterias Gram positivas comprende una capa gruesa de vainas de peptidoglicano (PGN) múltiple que no solo estabilizan la membrana celular sino que también proporcionan muchos sitios a los que se podrían fijar otras moléculas (Figura 3). Una clase importante de estas glicoproteínas de la superficie celular son los ácidos teicoicos ("TA, por sus siglas en inglés"), que son moléculas ricas en fosfato que se encuentran en muchas proteínas de unión a glicanos (GPB, por sus siglas en inglés). Los TA entran en dos tipos: (1) Los ácidos lipoteicoicos ("LTA"), que están anclados a la membrana plasmática y se extienden desde la superficie celular hasta la capa de peptidoglicano; y (2) los TA de pared (WTA), que están fijados covalentemente al peptidoglicano y se extienden a través y más allá de la pared celular (Figura 3). El WTA puede representar hasta el 60 % de la masa total de la pared celular en GPB. Como resultado, presenta un antígeno de superficie celular altamente expresado.
- Las estructuras químicas de los WTA varían entre los organismos. En S. aureus, WTA está covalentemente enlazado al 6-OH del ácido N-acetil-murámico (MurNAc) a través de un disacárido compuesto de N-acetilglucosamina (GlcNAc)-1-P y N-acetil-manosamina (ManNAc), que está seguido por aproximadamente dos o tres unidades de glicerol fosfato (Figura 4). El polímero WTA real se compone entonces de aproximadamente 11-40 unidades de repetición de ribitol fosfato (Rbo-P). La síntesis gradual de WTA se inicia primero por la enzima llamada TagO y las cepas de S. aureus que carecen del gen TagO (por eliminación del gen) no producen ningún WTA. Las unidades de repetición pueden adaptarse adicionalmente con D-alanina (D-Ala) en C2-OH y/o con N-acetilglucosamina (GlcNAc) en la posición C4-OH a través de enlaces glucosídicos α-(alfa) ο β-(beta). Dependiendo de la cepa de S. aureus o de la fase de crecimiento de la bacteria, los enlaces glucosídicos podrían ser α -, β -, o una mezcla de los dos anómeros. Estas modificaciones de los azúcares con GlcNAc se adaptan mediante dos glicosiltransferasas (Gtfs) específicas derivadas de S. aureus: Gtf TarM media enlaces α-glicosídicos, mientras que Gtf TarS media enlaces β-(beta) glicosídicos.
- Dada la evidencia significativa de que las reservas intracelulares de MRSA están protegidas de los antibióticos, las nuevas composiciones terapéuticas de la invención se desarrollaron para prevenir este método de evasión de antibióticos mediante el uso de un anticuerpo específico de S. *aureus* para unir un antibiótico a la bacteria, de modo que cuando la célula hospedadora engulle o internaliza la bacteria *in vivo*, lleva el antibiótico al interior de la célula hospedadora.
- En un aspecto, la invención proporciona anticuerpos anti-WTA que son anti-WTAa o anti-WTAβ. En otro aspecto, la invención proporciona Ac anti-Staphylococcus aureus. Los Ac a modo de ejemplo se clonaron a partir de linfocitos B de pacientes infectados con S. *aureus* (como se enseña en el Ejemplo 21). En una realización, los Ac anti-WTA y anti-Staphylococcus aureus son anticuerpos monoclonales humanos. La invención abarca Ac quiméricos y Ac humanizados que comprenden las CDR de los Ac de WTA actuales.
- Para uso terapéutico, los Ac de WTA de la invención para la conjugación con antibióticos para generar AAC, pueden ser de cualquier isotipo excepto IgM. En una realización, los Ac de WTA son del isotipo IgG humano. En realizaciones más específicas, los Ac de WTA son IgG1 humana.
- Las Figuras 6A y 6B enumeran los Ac que son anti-WTAa o anti-WTA β. A lo largo de la memoria descriptiva y las figuras, los Ac designados por un número de 4 dígitos (por ejemplo, 4497) también pueden denominarse con una "S" anterior, por ejemplo, S4497; ambos nombres se refieren al mismo anticuerpo que es la secuencia no modificada de tipo silvestre (WT) del anticuerpo. Las variantes del anticuerpo se indican mediante una "v" después del número de anticuerpo, por ejemplo, 4497.v8. A menos que se especifique (por ejemplo, por un número de variante), las secuencias de aminoácidos que se muestran son las secuencias originales, no modificadas/no alteradas. Estos Ac pueden alterarse en uno o más restos, por ejemplo para mejorar la pK, estabilidad, expresión, capacidad de fabricación (por ejemplo, como se describe en los Ejemplos a continuación), mientras se mantiene sustancialmente aproximadamente la misma o mejor afinidad de unión al antígeno en comparación con el anticuerpo de tipo silvestre, no modificado. La invención abarca las variantes de los presentes anticuerpos de WTA que tienen sustituciones conservativas de aminoácidos. A continuación, a menos que se especifique de otra manera, la numeración de CDR está de acuerdo con Kabat y la numeración de dominio Constante está de acuerdo con la numeración EU.

La Figura 13A y la Figura 13B proporcionan la alineación de la secuencia de aminoácidos de las regiones Variables de cadena Ligera (VL) y la región Variable de cadena Pesada (VH), respectivamente de cuatro anticuerpos humanos anti-WTA alfa. Las secuencias CDR, CDR L1, L2, L3 y CDR H1, H2, H3 de acuerdo con la numeración de Kabat, están subrayadas.

5

<u>Tablas 6A:</u> Secuencias CDR de cadena Ligera del anti-WTAα.

Anticuerpo	CDR L1	CDR L2	CDR L3
4461	KSSQSVLSRANNNYYVA (SEQ ID NO: 1)	WASTREF (SEQ ID NO: 2)	QQYYTSRRT (SEQ ID NO: 3)
4624	RSNQNLLSSSNNNYLA (SEQ ID NO: 7)	WASTRES (SEQ ID NO: 8)	QQYYANPRT (SEQ ID NO: 9)
4399	KSNQNVLASSNDKNYLA (SEQ ID NO: 13)	WASIRES (SEQ ID NO: 14)	QQYYTNPRT (SEQ ID NO: 15)
6267	KSSQNVLYSSNNKNYLA (SEQ ID NO: 19)	WASTRES (SEQ ID NO: 20)	QQYYTSPPYT (SEQ ID NO: 21)

Tablas 6B: Secuencias CDR de cadena Pesada del anti-WTAα.

Anticuerpo	CDR H1	CDR H2	CDR H3
4461	DYYMH (SEQ ID NO: 4)	WINPKSGGTNYAQRFQG (SEQ ID NO: 5)	DCGSGGLRDF (SEQ ID NO: 6)
4624	DYYIH (SEQ ID NO: 10)	WINPNTGGTYYAQKFRD (SEQ ID NO: 11)	DCGRGGLRDI (SEQ ID NO: 12)
4399	DYYIH (SEQ ID NO: 16)	WINPNTGGTNYAQKFQG (SEQ ID NO: 17)	DCGNAGLRDI (SEQ ID NO: 18)
6267	SYWIG (SEQ ID NO: 22)	IIHPGDSKTRYSPSFQG (SEQ ID NO: 23)	LYCSGGSCYSDR AFSSLGAGGYYY YGMGV (SEQ ID NO: 24)

10

Las secuencias de cada par de VL y VH son las siguientes:

Región Variable de la Cadena Ligera de 4461

15 DIQMTQSPDSLAVSLGERATINC<u>KSSQSVLSRANNNYYVA</u>WYQHKPGQPPKLLIY<u>WASTREF</u>GVPDRFSGSGSG T DFTLTINSLQAEDVAVYYCQQYYTSRRTFGQGTKVEIK (SEQ ID NO: 25)

Región Variable de Cadena Pesada de 4461

20 QVQLVQSGAEVRKPGASVKVSCKASGYSFT<u>DYYMHW</u>VRQAPGQGLEWMG<u>WINPKSGGTNYAQRFQG</u>RVTMT GDTSISAAYMDLASLTSDDTAVYYCVK<u>DCGSGGLRDF</u>WGQGTTVTVSS (SEQ ID NO: 26)

Región Variable de la Cadena Ligera de 4624

25 DIQMTQSPDSLSVSLGERATINC<u>RSNQNLLSSSNNNYLA</u>WYQQKPGQPLKLLIY<u>WASTRES</u>GVPDRFSGSGSGT DF TLTISSLQAEDVAVYYC<u>QQYYANPRTFGQGTKVEIK</u> (SEQ ID NO: 27)

Región Variable de Cadena Pesada de 4624

30 QVQLQQSRVEVKRPGTSVKVSCKTSGYTFS<u>DYYIH</u>WVRLAPGQGLELMG<u>WINPNTGGTYYAQKFRD</u>RVTMTRD T SIATAYLEMSSLTSDDTAVYYCA<u>KDCGRGGLRDI</u>WGPGTMVTVSS (SEQ ID NO: 28)

Región Variable de la Cadena Ligera de 4399

35 EIVLTQSPDSLAVSLGERATINC<u>KSNQNVLASSNDKNYLA</u>WFQHKPGQPLKLUY<u>WASIRES</u>GVPDRFSGSGSGTD F TLTISSLRAEDVAVYYC<u>QQYYTNPRT</u>FGQGTKVEFN (SEQ ID NO: 29)

Región Variable de Cadena Pesada de 4399

5

30

35

40

45

50

55

60

65

EVQLVQSGAEVKKPGTSVKVSCKASGYTFT<u>DYYIH</u>WVRLAPGQGLELMG<u>WINPNTGGTNYAQKFQ</u>GRVTMTRD TSIATAYMELSSLTSDDTAVYYCAKDCGNAGLRDIWGQGTTVTVSS (SEQ ID NO: 30)

Región Variable de la Cadena Ligera de 6267

DIQLTQSPDSLAVSLGERATINC<u>KSSQNVLYSSNNKNYLA</u>WYQQKPGQPPKLUY<u>WASTRES</u>GVPDRFSGSGSGT 10 D FTLTISSLQAEDVAVYYC<u>QQYYTSPPYT</u>FGQGTKLEIE (SEQ ID NO: 31)

Región Variable de la Cadena Pesada de 6267

EVQLVQSGAEVKKPGESLKISCKGSGYSFT<u>SYWIG</u>WVRQMPGKGLEWMG<u>IIHPGDSKTRYSPSFQG</u>QVTISADK SISTAYLQWNSLKASDTAMYYCAR<u>LYCSGGSCYSDRAFSSLGAGGYYYYGMGV</u>WGQGTTVTVSS (SEQ ID NO: 32).

Se proporcionan ejemplos de un anticuerpo monoclonal aislado que se une al ácido teicoico de pared (WTA) que comprende una cadena ligera y una cadena H, comprendiendo, la cadena L, CDR L1, L2, L3 y comprendiendo la cadena H, CDR H1, H2, H3 en donde la CDR L1, L2, L3 y H1, H2, H3 comprenden las secuencias de aminoácidos de las CDR de cada uno de los Ac 4461 (SEQ ID NO: 1-6), 4624 (SEQ ID NO: 7-12), 4399 (SEQ ID NO: 13-18) y 6267 (SEQ ID NO: 19-24) respectivamente, como se muestra en la Tabla 6A y 6B.

En otros ejemplos, el Ac monoclonal aislado que se une a WTA comprende una región variable de cadena H (VH) y una región variable de cadena L (VL), en donde la VH comprende al menos un 95 % de identidad de secuencia a lo largo de la secuencia de la región VH de cada uno de los anticuerpos 4461, 4624, 4399 y 6267, respectivamente. En otro aspecto específico más, la identidad de secuencia es del 96 %, 97 %, 98 %, 99 % o 100 %.

También se describen Ac anti-WTA beta que comprenden las secuencias CDR de la cadena L y H como se muestra en la Figura 14. En una realización, los Ac monoclonales anti-WTA beta aislados comprenden la CDR L1, L2, L3 y H1, H2, H3 seleccionadas del grupo que consiste en las CDR de cada uno de los 13 Ac en la Figura 14. En otra realización, la invención proporciona unos Ac anti-WTA beta aislados que comprenden al menos un 95 % de identidad de secuencia a lo largo de los dominios de la región V de cada uno de los 13 anticuerpos. En otro aspecto específico más, la identidad de secuencia es del 96 %, 97 %, 98 %, 99 % o 100 %.

De los 13 Ac anti-WTA beta, 6078 y 4497 se modificaron para crear variantes i) que tienen una Cys modificada por ingeniería en una o ambas cadenas L y H para la conjugación a los productos intermedios enlazador-antibiótico; y ii) en donde el primer resto, en la cadena H, Q se altera a E (v2) o los dos primeros restos QM se cambian a El o EV (v3 y v4).

Las Figuras 15A-1 y 15A-2 proporcionan la secuencia de aminoácidos de la cadena L de longitud completa del Ac anti-WTA beta 6078 (sin modificar) y sus variantes, v2, v3, v4. Las variantes de la cadena L que contienen una Cys modificada por ingeniería se indican mediante la C en el cuadro negro al final de la región constante (en el resto EU n.º 205 en este caso). La designación variante, por ejemplo, v2LC-Cys significa la variante 2 que contiene una Cys modificada por ingeniería en la cadena L. HCLC-Cys significa que las cadenas H y L del anticuerpo contienen un Cys diseñado. Las Figuras 15B-1 a 15B-4 muestran una alineación de la cadena H de longitud completa del Ac anti-WTA beta 6078 (sin modificar) y sus variantes, v2, v3, v4 que tienen cambios en el primer o los 2 primeros restos de la cadena H. Las variantes de la cadena H que contienen una Cys modificada por ingeniería se indican mediante la C en el cuadro negro al final de la región constante (en el resto EU n.º 118).

Región Variable de Cadena Ligera (VL) de 6078

DIVMTQSPSILSASVGDRVTITCRASQTISGWLAWYQQKPAEAPKLLIYKASTLESGVPSRFSGSGSGTEFTLTISS LQPDDFGIYYCQQYKSYSFNFGQGTKVEIK (SEQ ID NO: 111)

Región Variable de Cadena Pesada (VH) de 6078

 $XX_1QLVQSGAEVKKPGASVKVSCEASGYTLTSYDINWVRQATGQGPEWMGWMNANSGNTGYAQKFQGRVTLT$ GDTSISTAYMELSSLRSEDTAVYYCARSSILVRGALGRYFDLWGRGTLVTVSS (SEQ ID NO: 112) en donde X es Q o E; y X_1 es M, I o V.

Cadena ligera de 6078

DIVMTQSPSILSASVGDRVTITCRASQTISGWLAWYQQKPAEAPKLLIYKASTLESGVPSRFSGSGSGTEFTLTISS LQPDDFGIYYCQQYKSYSFNFGQGTKVEIKRTVAAPSVFIFPPSDEQLKSGTASVVCLLNNFYPREAKVQWKVDN ALQSGNSQESVTEQDSKDSTYSLSSTLTLSKADYEKHKVYACEVTHQGLSSPVTKSFNRGEC (SEQ ID NO: 113)

Cadena Ligera modificada por ingeniería con Cisteína de 6078

DIVMTQSPSILSASVGDRVTITCRASQTISGWLAWYQQKPAEAPKLLIYKASTLESGVPSRFSGSGSGTEFTLTISS LQPDDFGIYYCQQYKSYSFNFGQGTKVEIKRTVAAPSVFIFPPSDEQLKSGTASVVCLLNNFYPREAKVQWKVDN ALQSGNSQESVTEQDSKDSTYSLSSTLTLSKADYEKHKVYACEVTHQGLSSPCTKSFNRGEC (SEQ ID NO: 115)

Cadena Pesada de Longitud Completa de 6078 WT (de tipo silvestre)

10 QMQLVQSGAEVKKPGASVKVSCEASGYTLTSYDINWVRQATGQGPEWMGWMNANSGNTGYAQKFQGRVTLT GDTSISTAYMELSSLRSEDTAVYYCARSSILVRGALGRYFDLWGRGTLVTVSSASTKGPSVFPLAPSSKSTSGGT AALGCLVKDYFPEPVTVSWNSGALTSGVHTFPAVLQSSGLYSLSSVVTVPSSSLGTQTYICNVNHKPSNTKVDKK VEPKSCDKTHTCPPCPAPELLGGPSVFLFPPKPKDTLMISRTPEVTCVVVDVSHEDPEVKFNWYVDGVEVHNAKT KPREEQYNSTYRVVSVLTVLHQDWLNGKEYKCKVSNKALPAPIEKTISKAKGQPREPQVYTLPPSREEMTKNQVS LTCLVKGFYPSDIAVEWESNGQPENNYKTTPPVLDSDGSFFLYSKLTVDKSRWQQGNVFSCSVMHEALHNHYTQ KSLSLSPG (SEQ ID NO: 114)

Cadena Pesada de Longitud Completa de variantes de 6078 (v2, v3 o v4)

20 EXQLVQSGAEVKKPGASVKVSCEASGYTLTSYDINWVRQATGQGPEWMGWMNANSGNTGYAQKFQGRVTLTG DTSISTAYMELSSLRSEDTAVYYCARSSILVRGALGRYFDLWGRGTLVTVSSASTKGPSVFPLAPSSKSTSGGTAA LGCLVKDYFPEPVTVSWNSGALTSGVHTFPAVLQSSGLYSLSSVVTVPSSSLGTQTYICNVNHKPSNTKVDKKVE PKSCDKTHTCPPCPAPELLGGPSVFLFPPKPKDTLMISRTPEVTCVVVDVSHEDPEVKFNWYVDGVEVHNAKTKP REEQYNSTYRVVSVLTVLHQDWLNGKEYKCKVSNKALPAPIEKTISKAKGQPREPQVYTLPPSREEMTKNQVSLT CLVKGFYPSDIAVEWESNGQPENNYKTTPPVLDSDGSFFLYSKLTVDKSRWQQGNVFSCSVMHEALHNHYTQK SLSLSPG (SEQ ID NO: 116) en donde X puede ser M, I o V.

Cadena Pesada modificada por ingeniería con Cys de variantes de 6078 (v2, v3 o v4)

30 EXQLVQSGAEVKKPGASVKVSCEASGYTLTSYDINWVRQATGQGPEWMGWMNANSGNTGYAQKFQGRVTLTG
DTSISTAYMELSSLRSEDTAVYYCARSSILVRGALGRYFDLWGRGTLVTVSSCSTKGPSVFPLAPSSKSTSGGTAA
LGCLVKDYFPEPVTVSWNSGALTSGVHTFPAVLQSSGLYSLSSVVTVPSSSLGTQTYICNVNHKPSNTKVDKKVE
PKSCDKTHTCPPCPAPELLGGPSVFLFPPKPKDTLMISRTPEVTCVVVDVSHEDPEVKFNWYVDGVEVHNAKTKP
REEQYNSTYRVVSVLTVLHQDWLNGKEYKCKVSNKALPAPIEKTISKAKGQPREPQVYTLPPSREEMTKNQVSLT
CLVKGFY

PSDIAVEWESNGQPENNYKTTPPVLDSDGSFFLYSKLTVDKSRWQQGNVFSCSVMHEALHNHYTQKSLSLS PG (SEQ ID NO: 117)

40 en donde X es M, I o V.

45

5

También se describe un anticuerpo anti-WTA beta aislado que comprende una cadena pesada y una ligera, en donde la cadena pesada comprende una VH que tiene al menos un 95 % de identidad de secuencia con la SEQ ID NO: 112. En una realización adicional, este anticuerpo comprende además, una VL que tiene al menos un 95 % de identidad de secuencia con la SEQ ID NO: 111. En un ejemplo, el anticuerpo anti-WTA beta comprende una cadena ligera y una cadena pesada, en donde la cadena L comprende una VL de SEQ ID NO: 111 y la cadena H comprende una VH de SEQ ID NO: 112. En un ejemplo aún más específico, el anticuerpo anti-WTA beta aislado comprende una cadena L de SEQ ID NO: 113 y una cadena H de SEQ ID NO: 114.

- Las variantes de cadena H y L de anti-WTA beta modificadas por ingeniería con Cys de 6078 pueden emparejarse en cualquiera de las siguientes combinaciones para formar Ac completos para conjugarse con productos intermedios enlazador-Abx para generar los AAC anti-WTA de la invención. La cadena L no modificada (SEQ ID NO: 113) se puede emparejar con una variante de cadena H modificada por ingeniería con Cys de SEQ ID NO: 117; la variante puede ser una en donde X es M, I o V. La cadena L modificada por ingeniería con Cys de SEQ ID NO: 115 se puede emparejar con: la cadena H de SEQ ID NO: 114; una variante de cadena H de SEQ ID NO: 116; o una variante de cadena H modificada por ingeniería con Cys de SEQ ID NO: 117 (en esta versión, tanto las cadenas H como L están modificadas por ingeniería con Cys). En un ejemplo particular, el anticuerpo anti-WTA beta y el AAC anti-WTA beta de la invención comprenden una cadena L de SEQ ID NO: 115 y cadena H de SEQ ID NO: 116.
- Las Figuras 16A-1 y 16A-2 proporcionan la cadena L de longitud completa de del Ac anti-WTA beta 4497 (sin modificar) y sus variantes v8. Las variantes de la cadena H que contienen una Cys modificada por ingeniería se indican mediante la C en el cuadro negro al final de la región constante (en el resto EU n.º 205). Las Figuras 16B-1, 16B-2, 16B-3 muestran una alineación de la cadena H de longitud completa del Ac anti-WTA beta 4497 (sin modificar) y su variante v8 con D alterada a E en la posición 96 de CDR H3, con o sin la Cys modificada por ingeniería. Las variantes de la cadena H que contienen una Cys modificada por ingeniería se indican mediante la C en el cuadro negro al final de la región constante (en el resto EU n.º 118 en este caso). La CDR H3 no modificada es

ES 2 793 174 T3

GDGGLDD (SEQ ID NO: 104); CDR H3 de 4497v8 es GEGGLDD (SEQ ID NO: 118).

Región Variable de la Cadena Ligera de 4497

5 DIQLTQSPDSLAVSLGERATINCKSSQSIFRTSRNKNLLNWYQQRPGQPPRLLIHWASTRKSGVPDRFSGSGFGT DF TLTITSLQAEDVAIYYCQQYFSPPYTFGQGTKLEIK (SEQ ID NO: 119)

Región Variable de Cadena Pesada de 4497

10 EVQLVESGGGLVQPGGSLRLSCSASGFSFNSFWMHWVRQVPGKGLVWISFTNNEGTTTAYADSVRGRFIISRDN A KNTLYLEMNNLRGEDTAVYYCARGDGGLDDWGQGTLVTVSS (SEQ ID NO: 120)

Región variable de Cadena Pesada de 4497.v8

15 EVQLVESGGGLVQPGGSLRLSCSASGFSFNSFWMHWVRQVPGKGLVWISFTNNEGTTTAYADSVRGRFIISRDN AKNTLYLEMNNLRGEDTAVYYCARG**E**GGLDDWGQGTLVTVSS (SEQ ID NO: 156)

Cadena ligera de 4497

20 DIQLTQSPDSLAVSLGERATINCKSSQSIFRTSRNKNLLNWYQQRPGQPPRLLIHWASTRKSGVPDRFSGSGFGT DFTLTITSLQAEDVAIYYCQQYFSPPYTFGQGTKLEIKRTVAAPSVFIFPPSDEQLKSGTASVVCLLNNFYPREAKV QWKVDNALQSGNSQESVTEQDSKDSTYSLSSTLTLSKADYEKHKVYACEVTHQGLSSPVTKSFNRGEC (SEQ ID NO: 121)

25 Cadena Pesada de 4497.v8

30

40

EVQLVESGGGLVQPGGSLRLSCSASGFSFNSFWMHWVRQVPGKGLVWISFTNNEGTTTAYADSVRGRFIISRDN AKNTLYLEMNNLRGEDTAVYYCARGEGGLDDWGQGTLVTVSSASTKGPSVFPLAPSSKSTSGGTAALGCLVKDY FPEPVTVSWNSGALTSGVHTFPAVLQSSGLYSLSSVVTVPSSSLGTQTYICNVNHKPSNTKVDKKVEPKSCDKTH TCPPCPAPELLGGPSVFLFPPKPKDTLMISRTPEVTCVVVDVSHEDPEVKFNWYVDGVEVHNAKTKPREEQYNST YRVVSVLTVLHQDWLNGKEYKCKVSNKALPAPIEKTISKAKGQPREPQVYTLPPSREEMTKNQVSLTCLVKGFYP SDIAVEWESNGQPENNYKTTPPVLDSDGSFFLYSKLTVDKSRWQQGNVFSCSVMHEALHNHYTQKSLSLSPG (SEQ ID NO: 122)

35 Cadena Ligera de 4497-Cys

DIQLTQSPDSLAVSLGERATINCKSSQSIFRTSRNKNLLNWYQQRPGQPPRLLIHWASTRKSGVPDRFSGSGFGT DFTLTITSLQAEDVAIYYCQQYFSPPYTFGQGTKLEIKRTVAAPSVFIFPPSDEQLKSGTASVVCLLNNFYPREAKV QWKVDNALQSGNSQESVTEQDSKDSTYSLSSTLTLSKADYEKHKVYACEVTHQGLSSPVTKSFNRGEC (SEQ ID NO: 123)

Cadena Pesada de 4497.v8

EVQLVESGGGLVQPGGSLRLSCSASGFSFNSFWMHWVRQVPGKGLVWISFTNNEGTTTAYADSVRGRFIISRDN

45 AKNTLYLEMNNLRGEDTAVYYCARG**E**GGLDDWGQGTLVTVSSASTKGPSVFPLAPSSKSTSGGTAALGCLVKDY
FPEPVTVSWNSGALTSGVHTFPAVLQSSGLYSLSSVVTVPSSSLGTQTYICNVNHKPSNTKVDKKVEPKSCDKTH
TCPPCPAPELLGGPSVFLFPPKPKDTLMISRTPEVTCVVVDVSHEDPEVKFNWYVDGVEVHNAKTKPREEQYNST
YRVVSVLTVLHQDWLNGKEYKCKVSNKALPAPIEKTISKAKGQPREPQVYTLPPSREEMTKNQVSLTCLVKGFYP
SDIAVEWESNGQPENNYKTTPPVLDSDGSFFLYSKLTVDKSRWQQGNVFSCSVMHEALHNHYTQKSLSLSPG

50 (SEQ ID NO: 157; la misma que SEQ ID NO: 122).

Cadena Pesada de 4497.v8-Cys

- EVQLVESGGGLVQPGGSLRLSCSASGFSFNSFWMHWVRQVPGKGLVWISFTNNEGTTTAYADSVRGRFIISRDN
 55 AKNTLYLEMNNLRGEDTAVYYCARG**E**GGLDDWGQGTLVTVSSCSTKGPSVFPLAPSSKSTSGGTAALGCLVKDY
 FPEPVTVSWNSGALTSGVHTFPAVLQSSGLYSLSSVVTVPSSSLGTQTYICNVNHKPSNTKVDKKVEPKSCDKTH
 TCPPCPAPELLGGPSVFLFPPKPKDTLMISRTPEVTCVVVDVSHEDPEVKFNWYVDGVEVHNAKTKPREEQYNST
 YRVVSV
- 60 LTVLFIQDWLGKEYKCKVSNKALPAPIEKTISKAKGQPREPQVYTLPPSREEMTKNQVSLTCLVKGFYPSDIAVEW ESNGQPENNYKTTPPVLDSDGSFFLYSKLTVDKSRWQQGNVFSCSVMHEALHNHYTQKSLSLSPG (SEQ ID NO: 124)

Otro anticuerpo anti-WTA beta aislado proporcionado por la invención comprende una cadena pesada y una ligera, en donde la cadena pesada comprende una VH que tiene al menos un 95 % de identidad de secuencia con la SEQ ID NO: 120. En una realización adicional, este anticuerpo comprende además, una VL que tiene al menos un 95 % de identidad de secuencia con la SEQ ID NO: 119. En una realización específica, el anticuerpo anti-WTA beta comprende una cadena ligera y una cadena pesada, en donde la cadena L comprende una VL de SEQ ID NO: 119 y la cadena H comprende una VH de SEQ ID NO: 120. En un ejemplo aún más específico, el anticuerpo anti-WTA beta aislado comprende una cadena L de SEQ ID NO: 121 y una cadena H de SEQ ID NO: 122.

Las variantes de cadena H y L de anti-WTA beta modificadas por ingeniería con Cys de 4497 pueden emparejarse en cualquiera de las siguientes combinaciones para formar Ac completos para conjugarse con productos intermedios enlazador-Abx para generar los AAC anti-WTA de la invención. La cadena L no modificada (SEQ ID NO: 121) se puede emparejar con una variante de cadena H modificadas por ingeniería con Cys de SEQ ID NO: 124. La cadena L modificada por ingeniería con Cys de SEQ ID NO: 123 se puede emparejar con: la variante de la cadena H de SEQ ID NO: 157; o una variante de cadena H modificada por ingeniería con Cys de SEQ ID NO: 124 (en esta versión, tanto las cadenas H como L están modificadas por ingeniería con Cys). En una realización particular, el anticuerpo anti-WTA beta y el AAC anti-WTA beta de la invención comprenden una cadena L de SEQ ID NO: 123.

10

35

40

45

50

55

60

Otro ejemplo más es un anticuerpo que se une al mismo epítopo que cada uno de los Ac anti-WTA alfa de la Figura 13A y la Figura 13B. También se proporciona un anticuerpo que se une al mismo epítopo que cada uno de los Ac anti-WTA beta de la Figura 14, Figuras 15 A y 15 B, y Figuras 16 A y 16 B.

La unión de los anticuerpos anti-WTA a WTA está influenciada por la orientación anomérica de las modificaciones de 20 los azúcares con GlcNAc en WTA. Los WTA se modifican mediante modificaciones de azúcares con Nacetilglucosamina (GlcNAc) en la posición C4-OH mediante enlaces glucosídicos α o β, por glicosiltransferasa TarM o glicosiltransferasa TarS, respectivamente. Por consiguiente, preparaciones de la pared celular a partir de cepas mutantes de glicosiltransferasa que carecen de TarM (ΔTarM), TarS (ΔTarS), o tanto TarM como TarS (ΔTarM/ΔTarS) se sometieron a análisis de inmunotransferencia con anticuerpos contra WTA. El anticuerpo WTA 25 (S7574) específico para modificaciones de α-GlcNAc en WTA no se une a la preparación de la pared celular a partir de la cepa ΔTarM. Por el contrario, un anticuerpo WTA (S4462) específico para modificaciones de β-GlcNAc en WTA no se une a la preparación de la pared celular de la cepa ΔTarS. Como cabía esperar, estos dos anticuerpos no se unen a las preparaciones de la pared celular de una cepa de eliminación que carece de ambas glicosiltransferasas (ΔTarM/ΔTarS) y tampoco la cepa que carece de cualquier WTA (ΔTagO). De acuerdo con dicho 30 análisis, los anticuerpos se han caracterizado como Acm anti-α-GlcNAc WTA, o como Acm anti-β-GlcNAc WTA como se enumeran en la Tabla en las Figuras 6A y 6B.

Los aminoácidos de cisteína se pueden modificar por ingeniería en sitios reactivos en un anticuerpo y que no formen enlaces disulfuro intracadena o intermoleculares (Junutula, et al., 2008b Nature Biotech., 26(8):925-932; Dornan et al (2009) Blood 114(13):2721-2729; documento US 7521541; documento US 7723485; documento WO2009/052249, Shen et al (2012) Nature Biotech., 30(2):184-191; Junutula et al (2008) Jour of Immun. Methods 332:41-52). Los tioles de las cisteínas modificadas por ingeniería pueden reaccionar con reactivos enlazadores o los productos intermedios enlazador-antibiótico de la presente invención que tienen grupos reactivos con tiol, electrófilos tales como maleimida o alfa-haloamidas para formar AAC con anticuerpos modificados por ingeniería con cisteína (tioMAb) y los restos antibióticos (abx). La ubicación del resto antibiótico puede así diseñarse, controlarse y conocerse. La carga antibiótica se puede controlar ya que los grupos tiol de las cisteínas modificadas por ingeniería reaccionan generalmente con reactivos enlazadores reactivos con tiol o productos intermedios enlazador-antibiótico con alto rendimiento. Modificar por ingeniería un anticuerpo anti-WTA para introducir un aminoácido cisteína por sustitución en un solo sitio en la cadena pesada o ligera proporciona dos nuevas cisteínas en el anticuerpo tetrámero simétrico. Se puede lograr una carga antibiótica cercana a 2 y una homogeneidad cercana del producto de conjugación AAC.

En determinadas realizaciones, puede ser deseable crear anticuerpos anti-WTA modificados por ingeniería con cisteína, por ejemplo, "tioMAb", donde uno o más restos de la molécula se sustituyen por restos de cisteína. En realizaciones particulares, los restos sustituidos se producen en sitios accesibles del anticuerpo. Mediante la sustitución de esos restos con cisteína, los grupos tiol reactivos se colocan, así, en sitios accesibles del anticuerpo y se pueden utilizar para conjugar el anticuerpo con otros restos, tales como restos antibióticos o restos enlazadorantibiótico, para crear un inmunoconjugado, como se describe adicionalmente en el presente documento. En determinadas realizaciones, pueden sustituirse uno cualquiera o más de los siguientes restos por cisteína, incluyendo V205 (numeración de Kabat) de la cadena ligera; A118 (numeración de EU) de la cadena pesada; y S400 (numeración de EU) de la región Fc de la cadena pesada. Se muestran mutantes a modo de ejemplo, no limitantes, de cadena pesada A118C (SEQ ID NO: 149) y de cadena ligera V205C (SEQ ID NO: 151) modificados por ingeniería con cisteína de un anticuerpo anti-WTA. Los anticuerpos anti-WTA modificadas por ingeniería con cisteína pueden generarse como se describe (Junutula, et al., 2008b Nature Biotech., 26(8):925-932; documento US 7521541; documento US-2011/0301334.

En otro ejemplo, la invención se refiere a un anticuerpo anti-WTA aislado que comprende una cadena pesada y una ligera, en donde la cadena pesada comprende una secuencia de región constante de cadena pesada de tipo silvestre o una mutante modificada por ingeniería con cisteína (TioMab) y la cadena ligera comprende una secuencia de región constante de cadena ligera de tipo silvestre o una mutante modificada por ingeniería con cisteína (TioMab). En un aspecto, la cadena pesada tiene al menos un 95 % de identidad de secuencia con:

Región constante de cadena pesada (IgG1), tipo silvestre (SEQ ID NO: 148)

ASTKGPSVFPLAPSSKSTSGGTAALGCLVKDYFPEPVTVSWNSGALTSGVHTF PAVLQSSGLYSLSSVVTVPSSSLGTQTYICNVNHKPSNTKVDKKVEPKSCDKT HTCPPCPAPELLGGPSVFLFPPKPKDTLMISRTPEVTCVVVDVSHEDPEVKFN WYVDGVEVHNAKTKPREEQYNSTYRVVSVLTVLHQDWLNGKEYKCKVSNK ALPAPIEKTISKAKGQPREPQVYTLPPSREEMTKNQVSLTCLVKGFYPSDIAVE WESNGQPENNYKTTPPVLDSDGSFFLYSKLTVDKSRWQQGNVFSCSVMHEA LHNHYTQKSLSLSPGK

5

(SEQ ID NO: 148)

10 Región constante de cadena pesada (IgG1), A118C "TioMab"

> CSTKGPSVFPLAPSSKSTSGGTAALGCLVKDYFPEPVTVSWNSGALTSGVHTF PAVLOSSGLYSLSSVVTVPSSSLGTOTYICNVNHKPSNTKVDKKVEPKSCDKT HTCPPCPAPELLGGPSVFLFPPKPKDTLMISRTPEVTCVVVDVSHEDPEVKFN WYVDGVEVHNAKTKPREEQYNSTYRVVSVLTVLHQDWLNGKEYKCKVSNK ALPAPIEKTISKAKGQPREPQVYTLPPSREEMTKNQVSLTCLVKGFYPSDIAVE WESNGQPENNYKTTPPVLDSDGSFFLYSKLTVDKSRWQQGNVFSCSVMHEA LHNHYTQKSLSLSPGK

> > (SEQ ID NO: 149)

15

y la cadena ligera tiene al menos un 95 % de identidad de secuencia con:

Región constante de cadena ligera (kappa), tipo silvestre

RTVAAPSVFIFPPSDEOLKSGTASVVCLLNNFYPREAKVOWKVDNALOSGNS QESVTEQDSKDSTYSLSSTLTLSKADYEKHKVYACEVTHQGLSSPVTKSFNR **GEC**

20

(SEQ ID NO: 150)

Región constante de cadena ligera (kappa), V205C "TioMab"

25

30

RTVAAPSVFIFPPSDEQLKSGTASVVCLLNNFYPREAKVQWKVDNALQSGNS OESVTEODSKDSTYSLSSTLTLSKADYEKHKVYACEVTHOGLSSPCTKSFNRG EC

(SEQ ID NO: 151)

Los AAC de la invención incluyen anticuerpos anti-WTA modificados por ingeniería con cisteína en los que uno o más aminoácidos de un anticuerpo anti-WTA de tipo silvestre o precursor están reemplazados con un aminoácido cisteína. Cualquier forma de anticuerpo puede modificarse por ingeniería de esta manera, es decir, mutarse. Por ejemplo, un fragmento de anticuerpo Fab precursor puede modificarse por ingeniería para formar un Fab modificado 35

por ingeniería con cisteína, denominado, en el presente documento, "TioFab". De manera análoga, un anticuerpo monoclonal precursor puede modificarse por ingeniería para formar un "TioMab". Cabe señalar que una mutación puntual produce un solo resto de cisteína modificado por ingeniería en un TioFab, mientras que una mutación puntual produce dos restos de cisteína diseñados en un tioMab, debido a la naturaleza dimérica del anticuerpo IgG. Los mutantes con restos de cisteína (Cys) reemplazados ("modificados por ingeniería") se evalúan para determinar

la reactividad de los grupos tiol de cisteínas modificadas por ingeniería recién introducidas.

40

Los anticuerpos descritos en el presente documento pueden producirse usando células hospedadoras en cultivo. Las células hospedadoras pueden transformarse con vectores (vectores de expresión o clonación) que comprenden uno o más ácidos nucleicos que codifican los anticuerpos descritos en el presente documento. Las células pueden cultivarse en condiciones adecuadas para producir los anticuerpos y los anticuerpos producidos por la célula pueden purificarse adicionalmente. Las células adecuadas para producir anticuerpos pueden incluir células procariotas, de levadura o eucariotas superiores (por ejemplo, de mamíferos). En algunas realizaciones, se usa una célula de mamífero (una célula de mamífero humano o no humano). En algunas realizaciones, se utiliza una célula de ovario de hámster chino (CHO).

Las células de mamífero se pueden cultivar y la propagación de células de mamífero en cultivo (cultivo de tejidos) se ha convertido en un procedimiento habitual. Ejemplos de líneas celulares de mamíferos hospedadoras pueden incluir, sin limitación, línea CV1 de riñón de mono transformada por SV40 (COS-7, ATCC CRL 1651); línea de riñón embrionario humano (293 o células 293 subclonadas para su crecimiento en cultivo en suspensión, Graham et al., J. Gen Virol. 36:59 (1977)); células de riñón de cría de hámster (BHK, ATCC CCL 10); células de Sertoli de ratón (TM4, Mather, Biol. Reprod. 23:243-251 (1980)); células de riñón de mono (CV1, ATCC CCL 70); células de riñón de mono verde africano (VERO-76, ATCC CRL-1587); células de carcinoma de cuello de útero humanas (HELA, ATCC, CCL 2); células de riñón canino (MDCK, ATCC CCL 34); células de hígado de rata búfalo (BRL 3A, ATCC CRL 1442); células de pulmón humano (W138, ATCC CCL 75); células de hígado humano (Hep G2, HB 8065); tumor de mama de ratón (MMT 060562, ATCC CCL51); células TRI (Mather et al., Annals N.Y. Acad. Sci. 383:44-68 (1982)); células MCR 5; células FS4; y una línea de hepatoma humano (Hep G2). Otras líneas celulares de mamíferos hospedadoras útiles incluyen líneas celulares de mieloma tales como NS0 y Sp2/0. Para una revisión de determinadas líneas celulares de mamífero hospedadoras adecuadas para la producción de anticuerpos, véanse, por ejemplo, Yazaki y Wu, Methods in Molecular Biology, Vol. 248 (B. K. C. Lo, ed., Humana Press, Totowa, NJ, 2003), páginas. 255-268.

También se pueden utilizar cultivos de células vegetales de algodón, maíz, patata, soja, petunias, tomate, lenteja de agua (Leninaceae), alfalfa (M. truncatula) y tabaco como hospedadoras.

Las células procariotas adecuadas para este propósito incluyen eubacterias, tales como organismos Gram negativos o Gram positivos, por ejemplo, Enterobacteriaceae tales como *Escherichia*, por ejemplo, *E. coli*, *Enterobacter*, *Erwinia*, *Klebsiella*, *Proteus*, *Salmonella*, por ejemplo, *Salmonella typhimurium*, *Serratia*, por ejemplo, *Serratia marcescans* y *Shigella*, así como *Bacilos* tales como *B. subtilis* y *B. licheniformis* (p.ej*B. licheniformis* 41P divulgado en DD 266.710 publicado el 12 de abril de 1989), *Pseudomonas* tales como *P. aeruginosa*, y *Streptomyces*. Un hospedador de clonación de *E. coli* preferido es *E. coli* 294 (ATCC 31.446), aunque son adecuadas otras cepas tales como *E. coli* B, *E. coli* X1776 (ATCC 31.537) y *E. coli* W3110 (ATCC 27.325). Estos ejemplos son ilustrativos y no limitantes.

Además de los procariotas, los microbios eucariotas, tales como hongos filamentosos o levaduras, son hospedadores de clonación o expresión adecuados para vectores que codifican anticuerpos. Saccharomyces cerevisiae, o levadura de panadería común, es el más utilizado habitualmente entre los microorganismos hospedadores eucariotas inferiores. Sin embargo, varios géneros, especies y cepas diferentes están comúnmente disponibles y son útiles en el presente documento, tales como Schizosaccharomyces pombe; hospedadores de Kluyveromyces tales como, por ejemplo, K. lactis, K. fragilis (ATCC 12.424), K. bulgaricus (ATCC 16.045), K. wickeramii (ATCC 24.178), K. waltii (ATCC 56.500), K. drosophilarum (ATCC 36.906), K. thermotolerans, y K. marxianus; yarrowia (Documento EP 402.226); Pichia pastoris (Documento EP 183.070); Candida; Trichoderma reesia (Documento EP 244.234); Neurospora crassa; Schwanniomyces tales como Schwanniomyces occidentalis; y hongos filamentosos tales como, por ejemplo, Neurospora, Penicillium, Tolypocladium, y hospedadores de Aspergillus tales como A. nidulans y A. niger.

RESTOS ANTIBIÓTICOS DE TIPO RIFAMICINA

10

15

20

25

30

50

55

60

65

El resto antibiótico (abx) de los conjugados anticuerpo-antibiótico (AAC) de la invención es un antibiótico de tipo rifamicina o un grupo que tiene un efecto citotóxico o citostático. Las rifamicinas son un grupo de antibióticos que la bacteria obtiene de forma natural, Nocardia mediterranei, Amycolatopsis mediterranei o artificial. Son una subclase de la familia Ansamicina más grande que inhibe la ARN polimerasa bacteriana (Fujii et al (1995) Antimicrob. Agents Chemother. 39:1489-1492; Feklistov, et al (2008) Proc Natl Acad Sci USA, 105(39): 14820-5) y tienen potencia contra bacterias gram positivas y gram negativas selectivas. Las rifamicinas son particularmente eficaces contra las micobacterias y, por lo tanto, se usan para tratar la tuberculosis, lepra e infecciones por el complejo de mycobacterium avium (MAC, por sus siglas en inglés). El grupo de tipo rifamicina incluye los fármacos "clásicos" de rifamicina, así como los derivados de la rifamicina, rifampicina (rifampicina, N.º de Reg. CA 13292-46-1), rifabutina (N.º de Reg. CA 72559-06-9; documento US 2011/0178001), rifapentina y rifalazil (N.º de Reg. CA 129791-92-0, Rothstein et al (2003) Expert Opin. Investig. Drugs 12(2):255-271; Fujii et al (1994) Antimicrob. Agents Chemother. 38:1118-1122. Muchos antibióticos de tipo rifamicina comparten la propiedad perjudicial del desarrollo de resistencia (Wichelhaus et al (2001) J. Antimicrob. Chemother. 47:153-156). Las rifamicinas se aislaron por primera vez en 1957 de un cultivo de fermentación de Streptomyces mediterranei. Se descubrieron alrededor de siete rifamicinas, denominadas Rifamicina A, B, C, D, E, S y SV (documento US 3150046). La rifamicina B fue la primera introducida comercialmente y fue útil en el tratamiento de la tuberculosis resistente a fármacos en la década de 1960. Las rifamicinas se han utilizado para el tratamiento de muchas enfermedades, siendo la más importante la tuberculosis relacionada con el VIH. Debido a la gran cantidad de análogos y derivados disponibles, las rifamicinas se han utilizado ampliamente en la eliminación de bacterias patógenas que se han vuelto resistentes a los antibióticos utilizados habitualmente. Por ejemplo, la rifampicina es conocida por su potente efecto y su capacidad para prevenir la resistencia a fármacos. Destruye rápidamente cepas de bacilos de división rápida, así como células "persistentes", que permanecen biológicamente inactivos durante largos períodos de tiempo que les permiten evadir la actividad antibiótica. Además, la rifabutina y la rifapentina se han utilizado contra la tuberculosis adquirida en pacientes con VIH

Los restos antibióticos (abx) de los conjugados anticuerpo-antibiótico de Fórmula I son restos de tipo rifamicina que tienen la estructura:

en donde:

10

20

15 las líneas discontinuas indican un enlace opcional;

R es H, alquilo C₁-C₁₂ o C(O)CH₃;

R1 es OH;

 R^2 es CH=N-(heterociclilo), en donde el heterociclilo está opcionalmente sustituido con uno o más grupos seleccionados independientemente de C(O)CH₃, alquilo C₁-C₁₂-, heteroarilo C₁-C₁₂, heterociclilo C₂-C₂₀, arilo C₆ - C₂₀ y carbociclilo C₃-C₁₂;

o R^1 y R^2 forman un heteroarilo o heterociclilo de cinco o seis miembros fusionado y formando, opcionalmente, un anillo de heteroarilo, heterociclilo, arilo, o carbociclilo de seis miembros espiro o fusionado, en donde el anillo de heteroarilo, heterociclilo, arilo, o carbociclilo de seis miembros espiro o fusionado se sustituye opcionalmente por H, F, Cl, Br, I, alquilo C_1 - C_{12} u OH; y

25 donde el enlazador peptídico L está fijado covalentemente a R².

Un ejemplo de un resto de tipo rifamicina es:

en donde R^3 se selecciona independientemente de H y alquilo C_1 - C_{12} ; R^4 se selecciona de H, F, Cl, Br, I, alquilo C_1 - C_{12} y OH;

y Z se selecciona de NH, N(alquilo C_1 - C_{12}), O y S; y donde el enlazador peptídico L está fijado covalentemente al átomo de nitrógeno de N (R^3)₂.

Un ejemplo de un resto de tipo rifampicina es:

30

en donde

 R^5 se selecciona de H y alquilo C_1 - C_{12} ; y donde el péptido enlazador L está fijado covalentemente al átomo de nitrógeno de NR^5 .

Un ejemplo de un resto de tipo rifabutina es:

10

en donde R^5 se selecciona de H y alquilo C_1 - C_{12} ; y donde el péptido enlazador L está fijado covalentemente al átomo de nitrógeno de NR^5 .

Una realización de un resto de tipo benzoxazina rifamicina es:

15

20

en donde R^5 se selecciona de H y alquilo C_1 - C_{12} ; y donde el péptido enlazador L está fijado covalentemente al átomo de nitrógeno de NR^5 .

Una realización de un resto de tipo benzoxazina rifamicina, denominado en el presente documento pipBOR, es:

$$(\mathbb{R}^3)_2 \mathbb{N}$$

en donde R^3 se selecciona independientemente de H y alquilo C_1 - C_{12} ; y donde el enlazador peptídico L está fijado covalentemente al átomo de nitrógeno de N $(R^3)_2$.

Una realización de un resto de tipo benzoxazina rifamicina, denominado en el presente documento dimetil pipBOR, es:

donde el péptido enlazador L está fijado covalentemente al átomo de nitrógeno de N (CH₃)₂.

El derivado semisintético rifamicina S, o la forma reducida de sal de sodio rifamicina SV, se puede convertir a antibióticos de tipo Rifalazil en varias etapas, donde R es H o Ac, R^3 se selecciona independientemente de H y alquilo C_1 - C_{12} ; R^4 se selecciona de H, F, Cl, Br, I, alquilo C_1 - C_{12} y OH; y Z se selecciona de NH, N(alquilo C_1 - C_{12}), O y S, como se ejemplifica en las Figuras 9-11. Se pueden preparar benzoxazina (Z = O), benztiazina (Z = S), benzdiazina (Z = NH, N(alquilo C_1 - C_{12})) rifamicinas (documento US 7271165). Los análogos de benzoxazina rifamicina (BOR), benzotiazinarifamicina (BTR) y benzdiazinarifamicina (BDR) que contienen sustituyentes se numeran de acuerdo con el esquema de numeración proporcionado en la fórmula A en la columna 28 en el documento US 7271165. Por "25-O-desacetil" rifamicina se entiende un análogo de rifamicina en el que se ha eliminado el grupo acetilo en la posición 25. Los análogos en los que esta posición se derivatiza adicionalmente se denominan "25-O-desacetil-25-(sustituyente)rifamicina", en el que la nomenclatura para el grupo derivatizador reemplaza "sustituyente" en el nombre completo del compuesto.

Los restos antibióticos de tipo rifamicina se pueden sintetizar por métodos análogos a los descritos en el documento US 4610919; documento US 4983602; documento US 5786349; documento US5981522; documento US 4859661; documento US 7271165; el documento US 2011/0178001; Seligson, et al., (2001) AntiCancer Drugs 12:305-13; Chem. Pharm. Bull., (1993) 41:148). Los restos antibióticos de tipo rifamicina pueden explorarse para detectar actividad antimicrobiana midiendo su concentración inhibidora mínima (MIC), utilizando ensayos *in vitro* con MIC patrón (Tomioka et al., (1993) Antimicrob. Agents Chemother. 37:67).

10

15

20

5

$$(R^3)_2N$$
 $(R^3)_2N$
 $(R^3)_2N$
 $(R^3)_2N$
 $(R^3)_2N$
 $(R^3)_2N$
 $(R^3)_2N$
 $(R^3)_2N$
 $(R^3)_2N$
 $(R^3)_2N$

rifamicina-S benzoxazinorifamicina

ENLAZADORES PEPTÍDICOS

10

30

35

40

45

Un "enlazador peptídico" (L) es un resto bifuncional o multifuncional que se fija covalentemente a uno o más restos antibióticos (abx) y a una unidad de anticuerpo (Ab) para formar conjugados anticuerpo-antibiótico (AAC) de Fórmula I. Los enlazadores peptídicos en los AAC son sustratos para la escisión por proteasas intracelulares, incluyendo condiciones lisosómicas. Las proteasas incluyen diferentes catepsinas y caspasas. La escisión del enlazador peptídico de un AAC dentro de una célula puede liberar el antibiótico de tipo rifamicina con efectos antibacterianos.

La cantidad de antibiótico activo liberado de la escisión de AAC se puede medir mediante el ensayo de liberación de Caspasa del Ejemplo 20.

Los conjugados anticuerpo-antibiótico (AAC) pueden prepararse convenientemente usando un reactivo enlazador o producto intermedio enlazador-antibiótico que tiene una funcionalidad reactiva para unirse al antibiótico (abx) y al anticuerpo (Ab). En una realización a modo de ejemplo, un tiol de la cisteína de un anticuerpo (Ac) modificado por ingeniería con cisteína puede formar un enlace con un grupo funcional de un reactivo enlazador, con un resto antibiótico o con un producto intermedio antibiótico-enlazador.

20 El resto enlazador peptídico de un AAC, en un aspecto, un reactivo enlazador o un producto intermedio enlazadorantibiótico tiene un sitio reactivo que tiene un grupo electrófilo que es reactivo a una cisteína nucleófila presente en
un anticuerpo. El tiol de la cisteína del anticuerpo es reactivo con un grupo electrófilo en un reactivo enlazador o
enlazador-antibiótico, formando un enlace covalente. Los grupos electrófilos útiles incluyen, pero sin limitación,
grupos maleimida y haloacetamida.
25

Los anticuerpos modificados por ingeniería con cisteína reaccionan con reactivos enlazadores o productos intermedios enlazador-antibiótico, con los grupos funcionales electrófilos tales como maleimida o α -halocarbonilo, de acuerdo con el procedimiento de conjugación de la página 766 de Klussman et al. (2004), Bioconjugate Chemistry 15(4):765-773 y de acuerdo con el protocolo del Ejemplo 19.

En otra realización, el grupo reactivo de un reactivo enlazador o producto intermedio enlazador-antibiótico contiene un grupo funcional tiol reactivo que puede formar un enlace con un tiol de la cisteína libre de un anticuerpo. Ejemplos de grupos funcionales de reacción con tiol incluyen, pero sin limitación, maleimida, α-haloacetilo, ésteres activados tales como ésteres de succinimida, ésteres de 4-nitrofenilo, ésteres de pentafluorofenilo, ésteres de tetrafluorofenilo, anhídridos, cloruros ácidos, cloruros de sulfonilo, isocianatos e isotiocianatos.

En otra realización, un reactivo enlazador o producto intermedio antibiótico-enlazador tiene un grupo funcional reactivo que tiene un grupo nucleófilo que es reactivo a un grupo electrófilo presente en un anticuerpo. Los grupos electrófilos de un anticuerpo útiles incluyen, pero sin limitación, disulfuro de piridilo, grupos carbonilo de aldehídos y cetonas. El heteroátomo de un grupo nucleófilo de un reactivo enlazador o producto intermedio antibiótico-enlazador puede reaccionar con un grupo electrófilo en un anticuerpo y formar un enlace covalente a una unidad de anticuerpo. Los grupos nucleófilos útiles en un reactivo enlazador o intermedio antibiótico-enlazador incluyen, pero sin limitación, hidrazida, oxima, amino, tiol, hidrazina, tiosemicarbazona, hidrazina carboxilato y arilhidrazida. El grupo electrófilo en un anticuerpo proporciona un sitio conveniente para la fijación a un reactivo enlazador o producto intermedio antibiótico-enlazador.

Un enlazador peptídico puede comprender uno o más componentes enlazadores. Los componentes enlazadores a modo de ejemplo incluyen una unidad peptídica, 6-maleimidocaproílo ("MC"), maleimidopropanoílo ("MP"), valinacitrulina ("val-cit" o "vc"), alanina-fenilalanina ("ala-phe") y p-aminobenciloxicarbonilo ("PAB"), N-succinimidil 4-(2-

piridiltio)pentanoato ("SPP") y 4-(N-maleimidometil) ciclohexano-1 carboxilato ("MCC"). Se conocen diferentes componentes enlazadores en la técnica, algunos de los cuales se describen a continuación.

En otra realización, el enlazador puede estar sustituido con grupos que modulan la solubilidad o la reactividad. Por ejemplo, un sustituyente cargado tal como sulfonato (-SO₃) o amonio, puede aumentar la solubilidad en agua del reactivo y facilitar la reacción de acoplamiento del reactivo enlazador con el resto anticuerpo o antibiótico, o facilitar la reacción de acoplamiento de Ac-L (producto intermedio anticuerpo-enlazador) con abx, o abx-L (producto intermedio antibiótico-enlazador) con Ac, dependiendo de la vía de síntesis empleada para preparar los AAC.

Los AAC de la invención contemplan expresamente, pero sin limitación, aquellos preparados con reactivos enlazadores: BMPEO, BMPS, EMCS, GMBS, HBVS, LC-SMCC, MBS, MPBH, SBAP, SIA, SIAB, SMCC, SMPB, SMPH, sulfo-EMCS, sulfo-GMBS, sulfo-KMUS, sulfo-MBS, sulfo-SIAB, sulfo-SMCC, sulfo-SMPB, SVSB (succinimidil-(4-vinilsulfona)benzoato) y reactivos de bismaleimida tales como DTME, BMB, BMDB, BMH, BMOE, BM(PEG)₂ y BM(PEG)₃. Los reactivos de bismaleimida permiten la fijación del grupo tiol de un anticuerpo modificado por ingeniería con cisteína a un resto antibiótico, marcador o producto intermedio enlazador que contiene tiol, de forma secuencial o convergente. Otros grupos funcionales además de maleimida, que son reactivos con un grupo tiol de un anticuerpo modificado por ingeniería con cisteína, con un resto antibiótico o con un producto intermedio enlazador-antibiótico incluyen yodoacetamida, bromoacetamida, vinil piridina, disulfuro, disulfuro de piridilo, isocianato e isotiocianato.

BM(PEG)₂

BM(PEG)₃

También se pueden obtener reactivos enlazadores útiles a través de otras fuentes comerciales, tales como Molecular Biosciences Inc. (Boulder, CO), o sintetizarse de acuerdo con los procedimientos descritos en Toki et al (2002) J. Org. Chem. 67:1866-1872; Dubowchik, et al. (1997) Tetrahedron Letters, 38:5257-60; Walker, M.A. (1995) J. Org. Chem. 60:5352-5355; Frisch et al (1996) Bioconjugate Chem. 7:180-186; documentos US 6214345; WO 02/088172; US 2003130189; US2003096743; WO 03/026577; WO 03/043583; y WO 04/032828.

En otra realización, el resto enlazador peptídico de un AAC comprende un enlazador de tipo dendrítico para la fijación covalente de más de un resto antibiótico a través de un resto enlazador multifuncional ramificado a un anticuerpo (Sun et al (2002) Bioorganic & Medicinal Chemistry Letters 12:2213-2215; Sun et al (2003) Bioorganic & Medicinal Chemistry 11:1761-1768). Los enlazadores dendríticos pueden aumentar la relación molar de antibiótico a anticuerpo, es decir la carga, que está relacionada con la potencia de los AAC. Por lo tanto, cuando un anticuerpo modificado por ingeniería con cisteína lleva únicamente un grupo tiol de la cisteína reactivo, se pueden fijar gran cantidad de restos antibióticos mediante un enlazador dendrítico.

En determinadas realizaciones de AAC de Fórmula I, el péptido enlazador tiene la fórmula:

20

25

40

45

donde Str es una unidad extensora unida covalentemente al anticuerpo anti-ácidos teicoicos de pared (WTA); Pep es un péptido de dos a doce restos de aminoácidos e Y es una unidad espaciadora fijada covalentemente al antibiótico de tipo rifamicina. Realizaciones a modo de ejemplo de tales enlazadores se describen en el documento US 7498298.

En una realización, una unidad extensora "Str" tiene la fórmula:

en donde R^6 se selecciona del grupo que consiste en -alquileno C_1 - C_{10} , -carbociclo C_3 - C_8 , -O-(alquilo C_1 - C_8), - arileno-, -alquileno-arileno C_1 - C_{10} , -arileno-alquileno C_1 - C_{10} , -alquileno C_1 - C_{10} -(carbociclo C_3 - C_8)-, -(carbociclo C_3 - C_8)-alquileno C_1 - C_{10} -, -heterociclo C_3 - C_8)-alquileno C_1 - C_{10} -

, -(CH₂CH₂O)_r- y -(CH₂CH₂O)_r-CH₂-; y r es un número entero que varía de 1 a 10.

Las unidades extensoras a modo de ejemplo se muestran a continuación (en donde la línea ondulada indica sitios de fijación covalente a un anticuerpo):

5

10

Una unidad peptídica "Pep" comprende dos o más restos de aminoácidos que se producen de forma natural, 15 incluidos los veinte aminoácidos principales, así como los aminoácidos minoritarios tales como citrulina, que son bien conocidos en el campo de la bioquímica. Los aminoácidos se distinguen por su cadena lateral. La unidad peptídica comprende así dos o más cadenas laterales de aminoácidos, incluyendo, pero sin limitación, -CH₃ (alanina), -CH₂CH₂CH₂NHC(NH)NH₂ (arginina), -CH₂C(O)NH₂ (asparagina), -CH₂CO₂H (ácido aspártico), -CH₂CH₂CH₂NHC(O)NH₂ (citrulina), -CH₂SH (cisteína), -CH₂CH₂CO₂H (ácido glutámico), -CH₂CH₂C(O)NH₂ (glutamina), -H (glicina), -CH₂(imidazolil) (histidina), -CH(CH₃)CH₂CH₃ (isoleucina), -CH₂CH(CH₃)CH₃ (leucina), -20 CH₂CH₂CH₂CH₂NH₂ (lisina), -CH₂CH₂SCH₃ (metionina), -CH₂(C₀H₅) (fenilalanina), -CH₂CH₂CH₂- (prolina), -CH₂OH $(serina), -CH(OH)CH_3 \quad (treonina), -CH_2(indol) \quad (tript\'ofano), -CH_2(p-C_6H_4OH) \quad (tirosina), -CHCH(CH_3)CH_3 \quad (valina).$ Véanse las páginas 1076-1077, "Organic Chemistry" 5ª Ed. John McMurry, Brooks/Cole pub. (2000). Los restos de aminoácidos de la unidad peptídica incluyen todos los estereoisómeros y pueden estar en las configuraciones D o L. 25 En una realización, Pep comprende de dos a doce restos de aminoácidos seleccionados independientemente de glicina, alanina, fenilalanina, lisina, arginina, valina y citrulina. En una de dichas realizaciones, la unidad de aminoácidos permite la escisión del enlazador por una proteasa, facilitando así la liberación del antibiótico del AAC tras la exposición a proteasas intracelulares, tales como enzimas lisosómicas (Doronina et al. (2003) Nat. Biotechnol. 21:778-784). Las unidades de aminoácidos a modo de ejemplo incluyen, pero sin limitación, un dipéptido, un 30 tripéptido, un tetrapéptido, un pentapéptido y un hexapéptido. Los dipéptidos a modo de ejemplo incluyen: valinacitrulina (vc o val-cit), alanina-fenilalanina (af o ala-phe); fenilalanina-lisina (fk o fen-lis); o N-metil-valina-citrulina (Meval-cit). Los tripéptidos a modo de ejemplo incluyen: glicina-valina-citrulina (glic-val-cit), valina-citrulina-fenilalanina (val-cit-phe) y glicina-glicina-glicina (gly-gly-gly). Los enlazadores peptídicos adicionales incluyen GGAFAGGG (SEQ ID NO: 126); tpm-cit; GPImeLFF (SEQ ID NO: 129); y LAFG (SEQ ID NO: 128). Los enlazadores peptídicos se 35 pueden preparar formando un enlace peptídico entre dos o más aminoácidos y/o fragmentos de péptido. Dichos enlaces peptídicos se pueden preparar, por ejemplo, de acuerdo con el método de síntesis en fase líquida (E.

Schröder y K. Lubke (1965) "The Peptides", volumen 1, páginas 76-136, Academic Press) que es bien conocido en el campo de la química de péptidos. Las unidades de aminoácidos se pueden diseñar y optimizar en su selectividad para la escisión enzimática mediante enzimas concretas, por ejemplo, una proteasa asociada a tumores, catepsina B, C y D, o una proteasa plasmina.

5

10

15

20

25

30

35

40

En una realización, la unidad espaciadora Y comprende paraaminobencilo o paraaminobenciloxicarbonilo. Una unidad espaciadora "no autoinmolativa" es aquella en donde parte o la totalidad de la unidad espaciadora permanece unida al resto antibiótico tras la escisión enzimática (por ejemplo, proteolítica) del AAC. Ejemplos de unidades espaciadoras no autoinmolativas incluyen, pero sin limitación, una unidad espaciadora de glicina y una unidad espaciadora de glicina-glicina. También se contemplan otras combinaciones de espaciadores peptídicos susceptibles de escisión enzimática específica de secuencia. Por ejemplo, la escisión enzimática de un AAC que contiene una unidad espaciadora de glicina-glicina por una proteasa asociada a células tumorales daría como resultado la liberación de un resto glicina-glicina-antibiótico del resto del AAC. En una de dichas realizaciones, el resto glicina-glicina-antibiótico se somete después a una etapa de hidrólisis separada en la célula tumoral, escindiendo así la unidad espaciadora de glicina-glicina del resto antibiótico.

Una unidad espaciadora permite la liberación del resto antibiótico sin una etapa de hidrólisis separada. Una unidad espaciadora puede ser "autoinmolativa" o "no autoinmolativa". En determinadas realizaciones, una unidad espaciadora de un enlazador comprende una unidad p-aminobencilo (PAB). En una de dichas realizaciones, se fija un alcohol p-aminobencílico a una unidad de aminoácidos a través de un enlace amida, un carbamato, metilcarbamato o carbonato entre el grupo p-aminobencilo y el resto antibiótico (Hamann et al. (2005) Expert Opin. Ther. Patents (2005) 15:1087-1103). En una realización, la unidad espaciadora es p-aminobenciloxicarbonilo (PAB).

En una realización, el antibiótico forma una amina cuaternaria, tal como el grupo dimetilaminopiperidilo, cuando se fija a la unidad espaciadora PAB del enlazador peptídico. Ejemplos de tales aminas cuaternarias son los productos intermedios enlazador-antibiótico (LA) 54, 61, 66, 67, 73, 74, 76, 78, 79, 83, 84 de la Tabla 2. El grupo amina cuaternaria puede modular la escisión del resto antibiótico para optimizar los efectos antibacterianos del AAC. En otra realización, el antibiótico está enlazado a la unidad espaciadora PABC del enlazador peptídico, formando un grupo funcional carbamato en el AAC. Tal grupo funcional carbamato también puede optimizar los efectos antibacterianos del AAC. Ejemplos de productos intermedios enlazador-antibiótico (LA) con PABC carbamato son 51, 52, 53, 55, 56, 57, 58, 62, 63, 64, 65, 72, 75, 80, 81, 87 de la Tabla 2. Otros productos intermedios enlazador-antibiótico (LA) emplean grupos amida (59, 69, 70, 71, 77, 82, 85) o fenólicos (60, 68, 86).

Otros ejemplos de espaciadores autoinmolativos incluyen, pero sin limitación, compuestos aromáticos que son electrónicamente similares al grupo PAB, tales como derivados de 2-aminoimidazol-5-metanol (documento US 7375078; Hay et al. (1999) Bioorg. Med. Chem. Lett. 9:2237) y orto- o paraaminobencilacetales. Pueden usarse espaciadores que experimentan ciclación tras la hidrólisis del enlace amida, tales como amidas de ácido 4-aminobutírico sustituido y no sustituido (Rodrigues et al (1995) Chemistry Biology 2:223), sistemas de anillo biciclo[2.2.1] y biciclo[2.2.2] apropiadamente sustituidos (Storm et al (1972) J. Amer. Chem. Soc. 94:5815) y amidas de ácido 2-aminofenilpropiónico (Amsberry, et al (1990) J. Org. Chem. 55:5867). La eliminación de fármacos que contienen aminas que están sustituidas por glicina (Kingsbury et al (1984) J. Med. Chem. 27:1447) también es un ejemplo de espaciadores autoinmolativos útiles en AAC.

PRODUCTOS INTERMEDIOS ENLAZADOR-ANTIBIÓTICO ÚTILES PARA AAC

45

50

Los productos intermedios enlazador-antibiótico (LA) de Fórmula II y la Tabla 2 se prepararon acoplando un resto antibiótico de tipo rifamicina con un reactivo enlazador peptídico, tal como se ejemplifica en las Figuras 23-25 y en los Ejemplos 1-17. Los reactivos enlazadores se prepararon por los métodos descritos en los documentos WO 2012/113847; US 7659241; US 7498298; US 20090111756; Estados Unidos 2009/0018086; US 6214345; Dubowchik et al (2002) Bioconjugate Chem. 13(4):855-869, incluyendo:

4-((S)-2-((S)-2-6-(2,5-dioxo-2,5-dihidro-1H-pirrol-1-il) hexanamido)-3-metilbutanamido)-5-ureidopentanamido) bencil 4-nitrofenil carbonato 6

55

6-(2,5-dioxo-2,5-dihidro-1H-pirrol-1-il)-N-((S)-1-((S)-1-(4-(hidroximetil)ilamino)-3-metil-1-oxobutan-2-il)hexanamida 8

fenilamino)-1-oxo-5-ureidopentan-2-

 $N-((S)-1-((S)-1-(4-(clorometil)fenilamino)-1-oxo-5-ureidopentan-2-ilamino)-3-metil-1-oxobutan-2-il) \\ -6-(2,5-dioxo-2,5-dihidro-1H-pirrol-1-il)hexanamida \\ \textbf{9}$

	<u>Tabla 2</u> Productos intermedios enlazador-antibiótico (LA)
N.º de LA	Estructura
LA-51	HO NH2
LA-52	OH O

10

5

N.º de LA	Estructura
LA-53	OH OHOWAND HOWAND HOWAND HOLD HOLD HOLD HOLD HOLD HOLD HOLD HOL
LA-54	OH NH2
LA-55	HO O HO OH H
LA-56	OH HO H

N.º de LA	Estructura
LA-57	O H O H O H O H O H O H O H O H O H O H
LA-58	H ₂ N O
LA-59	
LA-60	HN OH HO

	(sommadolon)
N.º de LA	Estructura
LA-61	OH NOH HOM IN HE NO HOM IN HE N
LA-62	N HO
LA-63	NH ₂

	(Serial addition)
N.º de LA	Estructura
LA-64	OH NHO HON HIN OH NHO HON HIN OH NHO HON HON HON HON HON HON HON HON
LA-65	_0、
	OH OH NOH NOH NOH NOH NOH NOH NOH NOH NO
LA-66	OH OH MOH MOH MOH MOH MOH MOH MOH MOH MO

	(
N.º de LA	Estructura
LA-67	OH NHOW THE
LA-68	N N N N N N N N N N N N N N N N N N N
LA-69	OH NHOW MAN AND AND AND AND AND AND AND AND AND A
LA-70	OH OH OH OH OH OHO, IN

	(continuación)
N.º de LA	Estructura
LA-71	OH NH2
LA-72	OHO
LA-73	NHOH HN H ₂ NO

NI 0 do I A	Foto leture
N.º de LA	Estructura
LA-74	N N N N N N N N N N N N N N N N N N N
LA-75	
	N N N N N N N N N N N N N N N N N N N
LA-76	OH OHO, OH
	NH NH ONH ONH ONH ONH ONH ONH ON

N.º de LA	Estructura
LA-77	OH OHO, OHO, IN OHO, I
LA-78	HN NH2
LA-79	N HO

	(continuación)
N.º de LA	Estructura
LA-83	N OH
LA-84	N HO
LA-85	OH NHOM HOME

N.º de LA	Estructura
LA-86	N HN N H
LA-87	OH NOH NOH NOH NOH NOH NOH NOH NOH NOH N
LA-88	OH OH OH OH OH OH OH OH NH OH
LA-89	OH OHO, OH NOHO, NOH NOHO, NOHO, NOH NOHO, NOH

N.º de LA	Estructura
LA-90	OH OHO, OHO, OHO, OHO, OHO, OHO, OHO, O
LA-91	OH OH OH HOM HOM HAVE A STATE OF THE STATE O
LA-92	O_NH ₂ NH OH
LA-93	H ₂ N ₂ O _H N ₁ O _H N ₂ O _H N ₃ O _H N ₄ O _H N

N.º de LA	Estructura
LA-94	O NH2 OH NHOHOH
LA-95	
LA-96	HN NH ₂
LA-97	OH OHOLOH NHO NH ONH ONH ONH ONH ONH ONH ONH ON

N.º de LA	Estructura
LA-98	
	OH O
LA-99	^ 0
	OH OH OH NOH
LA-100	
	H ₂ N ON NH HN
	NH NH
	HN O
	HO N OH NOH

N.º de LA	Estructura
LA-101	NH ₂ NH ₂ NH ₁ NH ₂ NH ₁ NH ₂ NH ₁ NH ₂ NH ₁ NH ₂ NH ₂ NH ₁ NH ₂ NH ₂ NH ₃ NH ₄
LA-102	
LA-103	H ₂ N O

	(Community)
N.º de LA	Estructura
LA-104	
LA-105	H ₂ N O HN O
LA-106	HN HO
LA-107	OH OH NOH NOH NOH NOH NOH NOH NOH NOH NO

N.º de LA	Estructura
LA-108	HN OH
LA-109	OH OHO, OHO, IN OHO, I
LA-110	MH ON NH2

N.º de LA	Estructura
LA-111	OH OH OH HOW
LA-112	HN H ₂ N O
LA-113	N N N N N N N N N N N N N N N N N N N
LA-114	N OH

N.º de LA	Estructura
LA-115	NH ON NH2
LA-116	OH OHO, OH OHO, OH OHO, OH OHO, OH OHO, O

N.º de LA	Estructura
N.º de LA LA-117	Estructura ONO HN H ₂ N H ₂ N NH ONH NH ONH ONH ONH ONH ONH ONH ONH
LA-118	HO NOH NOH NOH NOH NOH NOH NOH NOH NOH N
	H ₂ N NH

REALIZACIONES DE CONJUGADOS ANTICUERPO-ANTIBIÓTICO

El anticuerpo S4497 se enlazó a derivados de rifamicina denominados, en la Tabla 3, pipBOR y a otros a través de un enlazador peptídico escindible por proteasas. El enlazador está diseñado para ser escindido por proteasas lisosómicas, incluidas las catepsinas B, D y otras, que reconocen las unidades peptídicas, incluyendo el dipéptido Valina-Citrulina (val-cit, vc) (Dubowchik et al (2002) Bioconj. Chem. 13:855-869). La generación del producto intermedio enlazador-antibiótico que consiste en el antibiótico y el enlazador MC-vc-PAB y otros, se describe en detalle en los Ejemplos 1-17. El enlazador está diseñado de tal manera que la escisión del enlace amida en el resto PAB separa el anticuerpo del antibiótico en un estado activo.

10

El AAC denominado S4497-dimetil-pipBOR es idéntico al AAC S4497-pipBOR, excepto por el grupo amino dimetilado en el antibiótico y el grupo oxicarbonilo en el enlazador.

15

La Figura 5 muestra un posible mecanismo de activación del fármaco para conjugados anticuerpo-antibiótico (AAC). El antibiótico activo (Ab) solo se libera después de la internalización del AAC dentro de las células de mamíferos. La porción Fab del anticuerpo en AAC se une a S. aureus, mientras que la porción Fc del AAC potencia la captación de la bacteria mediante la unión mediada por el receptor Fc a las células fagocíticas, incluidos los neutrófilos y los macrófagos. Después de la internalización en el fagolisosoma, el enlazador Val-Cit se escinde por proteasas lisosómicas que liberan el antibiótico activo dentro del fagolisosoma.

20

Una realización de los compuestos de conjugado anticuerpo-antibiótico (AAC) de la invención incluye los siguientes:

Ac —Str —
$$N$$
 N N N $AA2$ $AA2$

donde AA1 y AA2 se seleccionan independientemente de una cadena lateral de aminoácidos, incluyendo H, -CH₃, -CH₂(C₆H₅), -CH₂CH₂CH₂CH₂NH₂, -CH₂CH₂CH₂NHC(NH)NH₂, -CHCH(CH₃)CH₃ y -CH₂CH₂CH₂NHC(O)NH₂; e incluyendo las fórmulas:.

$$Ac \xrightarrow{O} \begin{array}{c} O \\ O \\ N \end{array} \xrightarrow{AA1} \begin{array}{c} H \\ N \\ H \end{array} \xrightarrow{O} \begin{array}{c} O \\ N \\ AA2 \end{array} \xrightarrow{R^7} \begin{array}{c} R^7 \\ R^7 \end{array} \xrightarrow{AB1} \begin{array}{c} AB1 \\ N \\ AA2 \end{array} \xrightarrow{H} \begin{array}{c} O \\ N \\ AA2 \end{array} \xrightarrow{AA1} \begin{array}{c} AB1 \\ N \\ AA2 \end{array} \xrightarrow{AA1} \begin{array}{c} AB1 \\ N \\ AA2 \end{array} \xrightarrow{AA2} \begin{array}{c} AB1 \\ N \\ AA3 \end{array} \xrightarrow{AA1} \begin{array}{c} AB1 \\ N \\ AA3 \end{array} \xrightarrow{AA2} \begin{array}{c} AB1 \\ N \\ AA3 \end{array} \xrightarrow{AA3} \begin{array}{c} AB2 \\ N \\ AA3 \end{array} \xrightarrow{AA3} \begin{array}{c} AB3 \\ N \\ AA3 \end{array} \xrightarrow{AA3} \begin{array}{c} AB3 \\ N \\ AA3 \end{array} \xrightarrow{AA3} \begin{array}{c} AB3 \\ N \\ N \\ N \end{array} \xrightarrow{AA3} \begin{array}{c} AB3 \\ N \\ N \end{array} \xrightarrow{AA3} \begin{array}{c} AB3 \\ N \\ N \end{array} \xrightarrow{AA3} \begin{array}{c} AB3 \\ N \end{array} \xrightarrow{AA3} \begin{array}{c} AB3 \\ N \end{array} \xrightarrow{AA3$$

Un ejemplo de los compuestos conjugados anticuerpo-antibiótico de la invención incluye el siguiente:

5

en donde:

las líneas discontinuas indican un enlace opcional;

10 R es H, alquilo C₁-C₁₂ o C(O)CH₃; R¹ es OH;

R² es CH=N-(heterociclilo), en donde el heterociclilo está opcionalmente sustituido con uno o más grupos seleccionados independientemente de C(O)CH₃, alquilo C₁-C₁₂-, heteroarilo C₁-C₁₂, heterociclilo C₂-C₂₀, arilo C₆- C_{20} y carbociclilo C_3 - C_{12} ; o R^1 y R^2 forman un heteroarilo o heterociclilo de cinco o seis miembros fusionado y formando, opcionalmente,

15 un anillo de heteroarilo, heterociclilo, arilo, o carbociclilo de seis miembros espiro o fusionado, en donde el anillo de heteroarilo, heterociclilo, arilo, o carbociclilo de seis miembros espiro o fusionado se sustituye opcionalmente por H, F, Cl, Br, I, alquilo C₁-C₁₂ u OH; L es el enlazador peptídico fijado a R² o al heteroarilo o heterociclilo fusionado formado por R¹ y R²; y

Ac es el anticuerpo anti-ácidos teicoicos de pared (WTA). 20

Un ejemplo de los compuestos conjugados anticuerpo-antibiótico de la invención incluye el siguiente:

en donde R^3 se selecciona independientemente de H y alquilo C_1 - C_{12} ; n es 1 o 2; R^4 se selecciona de H, F, Cl, Br, I, alquilo C_1 - C_{12} y OH; y Z se selecciona de NH, N(alquilo C_1 - C_{12}), O y S.

Un ejemplo de los compuestos conjugados anticuerpo-antibiótico de la invención incluye el siguiente resto antibiótico de tipo rifampicina:

en donde R^5 se selecciona de H y alquilo $C_1\text{-}C_{12}$; y n es 0 o 1.

10

15

Un ejemplo de los compuestos conjugados anticuerpo-antibiótico de la invención incluye el siguiente resto antibiótico de tipo rifabutina:

en donde R⁵ se selecciona de H y alquilo C₁-C₁₂; y n es 0 o 1.

20 Una realización de los compuestos conjugados anticuerpo-antibiótico de la invención incluye el siguiente resto antibiótico de tipo rifalazil:

en donde R^{5} se selecciona independientemente de H y alquilo $C_{1}\text{-}C_{12}\!;$ y n es 0 o 1.

Una realización de los compuestos conjugados anticuerpo-antibiótico de la invención incluye el siguiente resto antibiótico de tipo pipBOR:

en donde R³ se selecciona independientemente de H y alquilo C₁-C₁₂; y n es 1 o 2.

Una realización de los compuestos conjugados anticuerpo-antibiótico de la invención incluye el siguiente:

Otras realizaciones de los compuestos conjugados anticuerpo-antibiótico de la invención incluyen los siguientes:

10

5

о у

CARGA ANTIBIÓTICA DE AAC

10

15

20

25

30

35

La carga antibiótica está representada por p, el número promedio de restos antibióticos (abx) por anticuerpo en una molécula de Fórmula I. La carga antibiótica puede variar de 1 a 20 restos antibióticos (D) por anticuerpo. El AAC de Fórmula I incluye colecciones o un conjunto de anticuerpos conjugados con una gama de restos antibióticos, de 1 a 20. El número promedio de restos antibióticos por anticuerpo en preparaciones de AAC a partir de reacciones de conjugación se puede caracterizar por medios convencionales tales como espectroscopía de masas, ensayo ELISA y HPLC. También se puede determinar la distribución cuantitativa de AAC en función de p. En algunos casos, la separación, purificación, y caracterización de AAC homogéneos donde p es un determinado valor a partir de AAC con otras cargas antibióticas se puede conseguir por medios tales como HPLC en fase inversa o electroforesis.

Para algunos conjugados anticuerpo-antibiótico, p puede estar limitado por el número de sitios de fijación en el anticuerpo. Por ejemplo, cuando la unión está en un tiol de cisteína, como en las realizaciones a modo de ejemplo anteriores, un anticuerpo puede tener solo uno o algunos grupos tiol de la cisteína, o puede tener solo uno o varios grupos tiol suficientemente reactivos a través de los cuales se puede unir un enlazador. En determinadas realizaciones, una mayor carga antibiótica, p. ej. p> 5, puede causar la agregación, insolubilidad, toxicidad o pérdida de la permeabilidad celular de determinados conjugados anticuerpo-antibiótico. En determinadas realizaciones, la carga antibiótica para un AAC de la invención varía de 1 a aproximadamente 8; de aproximadamente 2 a aproximadamente 6; de aproximadamente 2 a aproximadamente 4; o de aproximadamente 3 a aproximadamente 5; aproximadamente 4; o aproximadamente 2.

En determinadas realizaciones, se conjugan menos que el máximo teórico de restos antibióticos con un anticuerpo durante una reacción de conjugación. Un anticuerpo puede contener, por ejemplo, restos lisina que no reaccionan con el producto intermedio antibiótico-enlazador o con el reactivo enlazador, tal como se analiza a continuación. En general, los anticuerpos no contienen muchos grupos tiol de la cisteínas libres y reactivos que pueden estar enlazados a un resto antibiótico; de hecho, la mayoría de los restos tiol de las cisteínas en los anticuerpos existen como puentes disulfuro. En determinadas realizaciones, un anticuerpo puede reducirse con un agente reductor tal como ditiotreitol (DTT) o tricarboniletilfosfina (TCEP), en condiciones reductoras parciales o totales, para generar grupos tiol de cisteínas reactivos. En determinadas realizaciones, un anticuerpo se somete a condiciones de desnaturalización para revelar grupos nucleófilos reactivos tales como lisina o cisteína.

La carga (relación antibiótico/anticuerpo, "AAR") de un AAC puede controlarse de diferentes maneras, por ejemplo, (i) limitando el exceso molar del producto intermedio antibiótico-enlazador o del reactivo enlazador con respecto al anticuerpo, (ii) limitando el tiempo o la temperatura de la reacción de conjugación y (iii) limitando o reduciendo parcialmente las condiciones reductoras para la modificación del tiol de la cisteína.

Se deberá entender que cuando más de un grupo nucleófilo reacciona con un producto intermedio antibióticoenlazador o con un reactivo enlazador seguido por el reactivo del resto antibiótico, entonces el producto resultante es una mezcla de compuestos AAC con una distribución de uno o más restos antibióticos unidos a un anticuerpo. El 40 número promedio de antibióticos por anticuerpo se puede calcular a partir de la mezcla mediante un ensayo de anticuerpos ELISA doble, que es específico para el anticuerpo y específico para el antibiótico. Las moléculas AAC individuales pueden identificarse en la mezcla mediante espectroscopía de masas y separarse mediante HPLC, por ejemplo, cromatografía de interacción hidrófoba (véase, por ejemplo, McDonagh et al (2006) Prot. Engr. Design & Selection 19(7):299-307; Hamblett et al (2004) Clin. Cancer Res. 10:7063-7070; Hamblett, K.J., et al. "Effect of drug 45 loading on the pharmacology, pharmacokinetics, and toxicity of an anti-CD30 antibody-drug conjugate," Resumen N.º 624, American Association for Cancer Research, Reunión Anual de 2004, 27-31 de marzo de 2004, Proceedings of the AACR, Volumen 45, marzo de 2004; Alley, S.C., et al. "Controlling the location of drug attachment in antibodydrug conjugates," Resumen N.º 627, American Association for Cancer Research, Reunión Anual de 2004, 27-31 de marzo de 2004, Proceedings of the AACR, Volumen 45, marzo de 2004). En determinadas realizaciones, se puede 50 aislar un AAC homogéneo con un único valor de carga de la mezcla de conjugación mediante electroforesis o cromatografía. Los anticuerpos modificados por ingeniería con cisteína de la invención permiten preparaciones más homogéneas ya que el sitio reactivo en el anticuerpo se limita principalmente al tiol de la cisteína modificada por ingeniería. En una realización, el número promedio de restos antibióticos por anticuerpo está en el intervalo de aproximadamente 1 a aproximadamente 20. En algunas realizaciones, el intervalo se selecciona y controla de 55 aproximadamente 1 a 4.

MÉTODOS DE PREPARACIÓN DE CONJUGADOS ANTICUERPO-ANTIBIÓTICO

Un AAC de Fórmula I puede prepararse por varias vías empleando reacciones, condiciones y reactivos de química orgánica conocidos por los expertos en la materia, incluyendo: (1) reacción de un grupo nucleófilo de un anticuerpo con un reactivo enlazador bivalente para formar Ac-L a través de un enlace covalente, seguida de la reacción con un resto antibiótico (abx); y (2) reacción de un grupo nucleófilo de un resto antibiótico con un reactivo enlazador bivalente, para formar L-abx, a través de un enlace covalente, seguida de la reacción con un grupo nucleófilo de un anticuerpo. En el documento US 7498298 se describen métodos a modo de ejemplo para preparar un AAC de Fórmula I a través de la última vía.

Los grupos nucleófilos en anticuerpos incluyen, pero sin limitación: (i) grupos amina N-terminal, (ii) grupos amina de cadena lateral, por ejemplo lisina, (iii) grupos tiol de cadena lateral, por ejemplo cisteína y (iv) grupos amino o hidroxilo de azúcar en los que el anticuerpo está glucosilado. Los grupos amina, tiol e hidroxilo son nucleófilos y son capaces de reaccionar para formar enlaces covalentes con grupos electrófilos en restos enlazadores y reactivos enlazadores incluyendo: (i) ésteres activos tales como ésteres de NHS, esteres de HOBt, haloformiatos y haluros ácidos; (ii) haluros de alquilo y bencilo tales como haloacetamidas; (iii) aldehídos, cetonas, grupos carboxilo y maleimida. Determinados anticuerpos tienen disulfuros intercadena reducibles, es decir, puentes de cisteína. Los anticuerpos pueden hacerse reactivos para su conjugación con reactivos enlazadores mediante tratamiento con un agente reductor, tal como DTT (ditiotreitol) o tricarboniletilfosfina (TCEP), de modo que el anticuerpo se reduce total o parcialmente. Por tanto, cada puente de cisteína formará, teóricamente, dos nucleófilos de tiol reactivos. Se pueden introducir grupos nucleófilos adicionales en los anticuerpos mediante la modificación de restos de lisina, por ejemplo, haciendo reaccionar restos de lisina con 2-iminotiolano (reactivo de Traut), dando como resultado la conversión de una amina en un tiol. Los grupos tiol reactivos pueden introducirse en un anticuerpo introduciendo uno, dos, tres, cuatro o más restos de cisteína (por ejemplo, preparando anticuerpos variantes que comprenden uno o más restos de aminoácido de cisteína no nativos).

10

15

20

25

30

35

45

Los conjugados anticuerpo-antibiótico de la invención también pueden producirse por reacción entre un grupo electrófilo en un anticuerpo, tal como un grupo carbonilo aldehído o cetona, con un grupo nucleófilo en un reactivo enlazador o antibiótico. Los grupos nucleófilos útiles en un reactivo enlazador incluyen, pero sin limitación, hidrazida, oxima, amino, hidrazina, tiosemicarbazona, hidrazina carboxilato y arilhidrazida. En una realización, un anticuerpo se modifica para introducir restos electrófilos que son capaces de reaccionar con sustituyentes nucleófilos en el reactivo enlazador o antibiótico. En otra realización, los azúcares de los anticuerpos glicosilados pueden oxidarse, por ejemplo, con reactivos oxidantes de peryodato, para formar grupos aldehído o cetona que pueden reaccionar con el grupo amina de reactivos enlazadores o restos antibióticos. Los grupos de bases de Schiff, iminas, resultantes pueden formar un enlace estable, o pueden reducirse, por ejemplo, mediante reactivos de borohidruro para formar enlaces de amina estables. En una realización, la reacción de la porción de carbohidrato de un anticuerpo glicosilado con bien galactosa oxidasa o metaperyodato de sodio puede producir grupos carbonilo (aldehído y cetona) en el anticuerpo que pueden reaccionar con grupos apropiados en el antibiótico (Hermanson, Bioconjugate Techniques). En otra realización, los anticuerpos que contienen restos de serina o treonina N-terminal pueden reaccionar con metaperyodato de sodio, dando como resultado la producción de un aldehído en lugar del primer aminoácido (Geoghegan & Stroh, (1992) Bioconjugate Chem. 3:138-146; documento US 5362852). Dicho aldehído se puede hacer reaccionar con un resto antibiótico o nucleófilo enlazador.

Los grupos nucleófilos en un resto antibiótico incluyen, pero sin limitación: grupos amina, tiol, hidroxilo, hidrazida, oxima, hidrazina, tiosemicarbazona, carboxilato de hidrazina y arilhidrazida capaces de reaccionar para formar enlaces covalentes con grupos electrófilos en restos enlazadores y reactivos enlazadores que incluyen: (i) ésteres activos tales como ésteres de NHS, esteres de HOBt, haloformiatos y haluros ácidos; (ii) haluros de alquilo y bencilo tales como haloacetamidas; (iii) aldehídos, cetonas, grupos carboxilo y maleimida.

40 Los conjugados anticuerpo-antibiótico (AAC) en la Tabla 3 se prepararon mediante la conjugación de los anticuerpos anti-WTA descritos y los productos intermedios enlazador-antibiótico de la Tabla 2 y de acuerdo con los métodos descritos en el Ejemplo 24. Los AAC se probados para determinar la eficacia mediante ensayo de macrófagos *in vitro* (Ejemplo 18) modelo de riñón de ratón *in vivo* (Ejemplo 19).

Tabla 3 Conjugados anticuerpo-antibiótico (AAC)

N.º de AAC	Fórmula de AAC	N.º de LA enlazador-abx (Tabla 2)	AAR *
AAC-101	tio-trastuzumab HC A118C-MC-vc-PAB-(dimetil-pipBOR)	LA-54	1,8
AAC-102	tio-S4497-HC-A118C-MC-vc-PABC-(pipBOR)	LA-51	1,9
AAC-103	tio-S4497-HC-A114C-MC-fk-PABC-(pipBOR)	LA-52	1,0
AAC-104	tio-S4497-HC-A114C-MP-vc-PABC-(pipBOR)	LA-53	1,8
AAC-105	tio-S4497-HC-A118C-MC-vc-PAB-(dimetilpipBOR)	LA-54	1,73 1,9
AAC-106	tio-S4462-HC-A118C-MC-vc-PAB-(dimetilpipBOR)	LA-54	
AAC-107	tio-S4497-HC-A118C-MC-vc-PABC-(monometilpip, desacetilBOR)	LA-55	1,75
AAC-108	tio-S4497-HC-A118C-MC-vc-PABC-(monometilpipBOR)	LA-56	1,5

(continuación)

N.º de AAC	Fórmula de AAC	N.º de LA enlazador-abx	AAR *	
AAC-109	tio-S4497-HC-A118C-MC-vc-PABC-(pip, desacetilBOR)	(Tabla 2) LA-57	1,9	
AAC-110	tio-hu-anti gD 5B5-HC-A118C-MC-vc-PAB-(dimetilpipBOR)	LA-54	1,94	
AAC-111	tio-S4497-HC-A118C-MC-vc-PABC-(rifabutina)	LA-58	1,6	
AAC-112	tio-S4497-HC-A118C-MC-vc-PAB-(dimetil-pipBOR)	LA-54	1,65	
AAC-113	tio-S4497 HC-MC-GGAFAGGG-(pipBOR) ("péptido del núcleo" divulgado como SEQ ID NO: 126)	LA-59	1,6	
AAC-114	tio-S4462 HC-MC-GGAFAGGG-(pipBOR) ("péptido del núcleo" divulgado como SEQ ID NO: 126)	LA-59	1,8	
AAC-115	tio-Tmab LC-MC-GGAFAGGG-(pipBOR) ("péptido del núcleo" divulgado como SEQ ID NO: 126)	LA-59	1,7	
AAC-116	tio-S7578-MC-vc-PAB-(dimetil-pipBOR)	LA-54	tbd	
AAC-117	tio-S4497-HC-A118C-MC-vc-PABC-(pipBOR)	LA-51	tbd	
AAC-118	tio-S4497-HC-A118C-MC-vc-PAB-(oxiBOR)	LA-60	1,8	
AAC-119	tio-S4497-HC-A118C-MC-vc-PAB-(dimetilpip, desacetilBOR)	LA-61	1,7	
AAC-120	tio-S4497-HC-A118C-MC-vc-PABC-(piperazBTR)	LA-62	1,8	
AAC-121	tio-S4497-HC-A118C-MC-vc-PABC-(piperaz, desacetilBTR)	LA-63	1,8	
AAC-122	tio-S4497-HC-A118C-MC-vc-PAB-(dimetilpipBOR)	LA-54	1,9	
AAC-123	tio-S4497-HC-A118C-MC-vc-PAB-(dimetilpipBOR)	LA-54	1,9	
AAC-124	tio-S4497-HC-A118C-MC-vc-PABC-(piperazBTR)	LA-62	1,8	
AAC-125	tio-S4497-HC-A118C-MC-vc-PABC-(piperaz, desacetilBOR)	LA-64	0,9	
AAC-126	tio-S4497-HC-A118C-MC-vc-PABC-(piperazBOR)	LA-65	1,7	
AAC-127	tio-S4497-HC-A118C-MC-vc-PABC-PAB-(dimetilpipBOR)	LA-66	1,7	
AAC-128	tio-S4497-HC-A118C-MC-vc-PAB-(metilpiperazBOR)	LA-67	1,9	
AAC-129	tio-S6078-HC A114C-LCWT-MC-vc-PAB-(dimetilpipBOR)	LA-54	1,6	
AAC-130	tio-S4497-HC-A118C-MC-vc-PAB-(oxi, isopropilpipBOR)	LA-68	1,8	
AAC-131	tio-S4497-HC-A118C-MC-tpm-cit-PAB-(dimetilpipBOR)	LA-69	1,8	
AAC-132	tio-S4497 HC MC-GPImeLFF-(pipBOR) ("péptido del núcleo" divulgado como SEQ ID NO: 129)	LA-69	1,3	
AAC-133	tio-S4497 HC MC-GPILFF-(pipBOR) ("péptido del núcleo" LA-divulgado como SEQ ID NO: 130)		1,2	
AAC-134	tio-S4497 HC MC-val-cit-phe-(pipBOR)	LA-71	1,7	
AAC-135	tio-S4497-HC-A118C-MC-vc-PAB-(dimetilpipBOR)	LA-54	1,9	
AAC-136	tio-S4497.v1 HC WT, LC V205C-MC-vc-PAB-(dimetilpipBOR)	LA-54	2	
AAC-137	tio-S4497.v1 HC WT, LC V205C-MC-vc-PAB-(piperazBOR)	LA-65	tbd	
AAC-138	tio-S4497 HC WT v8, LC V205C-MC-vc-PAB-(dimetilpipBOR)	LA-54	1,9	
AAC-139	tio-S4497-HC-A118C-MC-vc-PAB-(dimetilpipBOR)	LA-54	1,8	

(continuación)

N.º de AAC	Fórmula de AAC	N.º de LA enlazador-abx (Tabla 2)	AAR *
AAC-140	tio-S4497 HC WT (v8), LC V205C-MC-vc-PAB-(piperazBOR)	LA-65	1,6
AAC-141	tio-S6078-HCA114C-LCWT-MC-vc-PAB-(dimetilpipBOR)	LA-54	1,6
AAC-142	tio-S4497 HC WT (v8), LC V205C-MC-vc-PAB-(dimetilpipBOR)	LA-54	1,7
AAC-143	tio-S4497 HC-MP-GGAFA-PAB-(pipBOR) ("péptido del núcleo" divulgado como SEQ ID NO: 131)	LA-87	1,55
AAC-144	tio-S4497 v1HC-MC-vc-PAB-(fenilpipBOR)	LA-72	1,7
AAC-145	tio-S4497 v1HC-MC-vc-PAB-(dimetilBTR)	LA-73	1,7
AAC-146	tio-Tmab HC A118C-MP-GGAFA-PABC-(pipBOR) ("péptido del núcleo" divulgado como SEQ ID NO: 131)	LA-87	1,3
AAC-147	tio-S4497 v1HC-MC-vc-PAB-(dimetilpipBOR)	LA-74	1,9
AAC-148	tio-S4497v1 HC-MC-vc-PABC-(pipBTR)	LA-75	1,9
AAC-149	tio-S4497v1 HC-MC-vc-PAB-(metilpiperaz, desacetilBOR)	LA-76	2
AAC-150	tio-S4497v1 HC-MC-vc-(fenilpipBOR)	LA-77	1,8
AAC-151	tio-S4497-HC-A118C-MC-vc-PAB-(3-dimetilaminopirrolBOR)	LA-78	tbd
AAC-152	tio-S4497-HC-A118C-MC-vc-PAB-(O-metil, dimetilpipBOR)	LA-79	1,7
AAC-153	tio-S4497-HC-A118C-MC-vc-PABC-(fenilpipBOR)	LA-80	tbd
AAC-154	tio-S4497v1 HC WT, LC V205C-MC-vc-PAB-(dimetilpipBOR)	LA-54	1,8
AAC-155	tio-S7578-HC WT-LC V205C-MC-vc-PAB-(dimetilpipBOR)	LA-54	1,9
AAC-156	tio-S4497v8-LC-MC-vc-PAB-(3-dimetilaminopirrolBOR)	LA-78	tbd
AAC-157	tio-S4497v8-LC-MC-vc-PABC-(desacetil, pipBTR)	LA-81	2,2
AAC-158	tio-S4497v8-LC-MC-vc-(desacetil, fenilpipBOR)	LA-82	-
AAC-159	tio-S4497v8-LC-MC-vc-PAB-(dimetilamino, metilaminoetilBTR)	LA-83	2,2
AAC-160	tio-S4497v8-LC-MC-vc-PAB-(metilpiperazBTR)	LA-84	tbd
AAC-161	tio-S4497v8-LC-MC-vc-(fenilpipBOR)	LA-85	tbd
AAC-162	tio-S4497v8-LC-MC-vc-PAB-(oxi, dimetilaminopipBOR)	LA-86	tbd
AAC-163	tio-S4497-v8-LCV205C-MC-LAFG-PAB-(dimetilamino-3- pirroloBOR) ("péptido del núcleo" divulgado como SEQ ID NO: 128)	LA-88	2,2
AAC-164	tio-S4497-v8-LCV205C-MC-vc-PABpirazolo(pipBOR)	LA-89	tbd
AAC-165	tio-S4497-v8-LCV205C-MC-vc-PAB-(monometilaminopipBOR)	LA-90	1,3
AAC-166	tio-S4497 HC WT (v8), LC V205C-MC-vc-PAB-(dimetilpipBOR)	LA-54	1,8
AAC-167	tio-S4497 HC WT (v8), LC V205C-MC-vc-PAB-(metil, etilaminopipBOR)	LA-91	2,0
AAC-168	tio-S4497 HC WT (v8), LC V205C-MC-vc-PABC- (aminometilpipBOR)	LA-92	1,6
AAC-169	tio-S4497 WT (V8), LC V205C-MC-vc-PABC-C21, C23-fenilacetal-(dimetilaminopipBOR)	LA-93	1,6
AAC-170	tio-S4497 WT (V8), LC V205C-MC-vc-PABCpip-(pipBOR)	LA-94	1,4
	I .	1	

(continuación)

N.º de AAC	Fórmula de AAC	N.º de LA enlazador-abx (Tabla 2)	AAR *
AAC-171	tio-S6078 v4 HC-Cys LC-Cys-MC-vc-PAB-(dimetilpipBOR)	LA-54	3,9
AAC-172	tio-S6078 v4 HC-CYS, LC-CYS-MC-vc-PAB-(piperazBOR)	LA-65	3,9
AAC-173	tio-S6078 v4 HC-WT, LC-Cys-MC-vc-PAB-(dimetilpipBOR)	LA-54	2,0
AAC-174	tio-S6078.v4.HC-WT, LC-CYS-MC-vc-PAB-(piperazBOR)	LA-65	1,8
AAC-175	tio-S4497 HC WT (v8), LC V205C-MP-hidrazida PP-(pipBor)	LA-95	2,0
AAC-176	tio-S4497 HC WT (v8), LC V205C-MC-vc-PABC-(azetidinilBOR)	LA-96	tbd
AAC-177	tio-S4497-v8-LCV205C-MC-vc-PABC-(etilpiperazino, desacetilBOR)	LA-97	1,6
AAC-178	tio-S4497-v8-LCV205C-MC-vc-PABC-(etilaminopiperazinoBOR)	LA-98	1,7
AAC-179	tio-S4497-v8-LCV205C-MC-vc-PABfenil-(pipBOR)	LA-99	1,9
AAC-180	tio-S4497-v8-LCV205C-MC-vc-PAB-(fluoroquinolona, oxiBOR)	LA-100	1,9
AAC-181	tio-S4497-v8-LCV205C-MC-vc-PAB-(fenoxipip, oxiBOR)	LA-101	1,6
AAC-182	tio-S6078 v4 HC-CYS, LC-CYS-MC-vc-PAB-(oxi, dimetilaminopipBOR)	LA-86	4,0
AAC-183	tio-S6078 v4 HC-CYS, LC-CYS-MC-vc-PABC-(desacetil, pipBTR)	LA-81	3,8
AAC-184	tio-S6078 v4 HC-CYS, LC-CYS-MC-vc-PAB-(oxi, isopropilpipBOR)	LA-68	tbd
AAC-185	tio-S6078 v4 HC-CYS, LC-CYS-MC-vc-PAB-(metilrifampicina)	LA-102	tbd
AAC-186	tio-S4497 HC WT (v8), LC V205C-MC-vc-PAB-(dimetilpipBOR)	LA-54	1,9
AAC-187	tio-S6078 v4 HC-CYS, LC-CYS-MC-vc-PAB-(dimetilpipBOR)	LA-54	3,8
AAC-188	tio-S6078 v4 HC-WT, LCCYS-MC-vc-PAB-(oxi, isopropilpipBOR)	LA-68	1,6
AAC-189	tio-S6078 v4 HC-WT, LC-CYS-MC-vc-PAB-(metilrifampicina)	LA-102	1,8
AAC-190	tio-S7578-HC-WT-LC-Cys-MC-vc-PAB-(dimetilpipBOR)	LA-54	1,9
AAC-191	tio-S4497-v8-LC-V205C-MC-vc-PAB- (dimetilaminoetilpiperazinoBOR)	LA-103	1,7
AAC-192	tio-S4497 HC WT (v8), LC V205C-MC-vc-PAB-(dimetilpipBOR)	LA-54	1,9
AAC-193	tio-S4497 HC v1-MP-LAFG-PABC-(piperazinoBOR) ("péptido del núcleo" divulgado como SEQ ID NO: 128)	LA-104	1,8
AAC-194	tio-S6078 v4 HC-WT, LC-CYS-MC-vc-PAB-(piperazBOR)	LA-65	1,8
AAC-195	tio-S4497-v8-LC V205C-MC-vc-C21, C23-anilinoacetal- (dimetilaminopipBOR)	LA-105	2,0
AAC-196	tio-S4497-v8-LC V205C-MC-vc-anilino-(trimetilamonio-pip, oxiBOR)	LA-106	2,1
AAC-197	tio-S4497-v8-LC V205C-MC-vc-PAB-(dimetilamonio, fluoropipBOR)	LA-107	2,0
AAC-198	tio-S4497-v8-LC V205C-MC-vc-PAB-(dimetilamonio, tiopropil, desacetil BOR)	LA-108	1,9

(continuación)

N.º de AAC	AAC Fórmula de AAC		AAR *	
AAC-199	tio-S4497-v8-LC V205C-MC-vc-PAB-(dimetilamonio, metilaminopropilBOR)	(Tabla 2) LA-109	1,8	
AAC-200	tio-S4497-v8-LC V205C-MC-vc-PAB-(dimetilpipBOR)	LA-54	1,0	
AAC-201	tio-S4497-v8-LC V205C-MC-vc-PABC-(metilaminopip, desacetil BOR)	LA-110	1,9	
AAC-202	tio-S4497-v8-LC V205C-MC-vc-PAB-(oxi, pip, desacetil BOR)	LA-111	1,9	
AAC-203	tio-S4497-v8-LC V205C-MC-vc-PAB-(metilrifampicina)	LA-102	1,8	
AAC-204	tio-S4497-v8-LC-cys-MC-vc-PAB-(dimetilamonio, tiopropil BOR)	LA-112	2,0	
AAC-205	tio-S4497-v8-LC V205C-MC-vc-PAB-(oxi, dimetilaminopipBOR)	LA-113	1,8	
AAC-206	tio-S4497-v8-LC V205C-MC-vc-PAB-(N-isobutilrifabutina)	LA-114	1,9	
AAC-207	tio-S4497-v8-LC V205C-MC-vc-PAB-(metilrifampicina)	LA-102	1,8	
AAC-208	tio-S4497-v8-LC V205C-MC-vc-PAB-(dimetilamonio, fluoropipBOR)	LA-107	1,8	
AAC-209	tio-S4497-v8-LC cys-D10-MC-vc-PAB-(dimetilpipBOR)	LA-54	1,9	
AAC-210	tio-S4497-v8-LC cys-MC-vc-PABC-(monometilpipBTR)	LA-115	1,5	
AAC-211	tio-S4497-v8-LC cys-MC-vc-PAB-(piperazinoBOR)	LA-116	tbd	
AAC-212	tio-S4497-v8-LC cys-MC-vc-PAB-(R-fluoroquinolona, oxiBOR	LA-117	tbd	
AAC-213	tio-S4497-v8-LC cys-MC-vc-PAB-(S-fluoroquinolona, oxiBOR	LA-118	tbd	
AAC-214	tio-S4497-v8-LC-cys-MC-vc-PAB-(dimetilpip, desacetilBOR)	LA-61	2,0	
AAC-215	tio-S4497 LC v8-MP-LAFG-PABC-(piperazinoBOR) ("péptido del núcleo" divulgado como SEQ ID NO: 128)	LA-104	1,6	
AAC-216	tio-S4497 HC WT (v8), LC V205C-MC-vc-PAB-(piperazBOR)	LA-65	1,9	
AAC-217	tio-S4497-v8-LCV205C-MC-vc-PAB-(monometilaminopipBOR)	LA-90	1,8	
AAC-218	tio-S4497 HC WT (v8), LC V205C-MC-vc-PAB-(dimetilpipBOR)	LA-54	1,9	
AAC-219	tio-S4497 HC WT (v8), LC V205C-MC-vc-PABC-(piperazBOR)	LA-65	1,9	
AAC-220	tio-S4497-v8-LCV205C-MC-vc-PAB-(piperazinoBOR)	LA-116	tbd	
AAC-221	tio-S4497-v8-LCV205C-MC-vc-PAB-(metilpiperaz BOR)	LA-67	tbd	
AAC-222	tio-S4497 LC v8 -MP-LAFG-PABC-(piperazinoBOR) ("péptido del núcleo" divulgado como SEQ ID NO: 128)	LA-104	tbd	

^{*} AAR = relación promedio antibiótico/anticuerpo

HC-A114C (Kabat) = HC-A118C (EU)

ANÁLISIS IN VITRO QUE DEMUESTRA QUE LOS AAC DESTRUYEN MRSA INTRACELULAR

Los experimentos in vitro confirman que el AAC libera antibiótico activo solo después de que el enlazador entre el

Tipo silvestre ("WT, por sus sigls en inglés"), anticuerpo mutante modificado por ingeniería con cisteína ("tio"), cadena ligera ("LC"), cadena pesada ("HC"), 6-maleimidocaproílo ("MC"), maleimidopropanoílo ("MP"), valinacitrulina ("val-cit" o "vc"), alanina-fenilalanina ("ala-phe"), p-aminobencilo ("PAB") y p-aminobenciloxicarbonilo ("PABC")

tbd = por determinar

anticuerpo y el antibiótico sea escindido por una enzima apropiada tal como catepsina B. MRSA se cultivó durante la noche en medios de crecimiento bacteriano normales y hasta 10 µg/ml de AAC. La incubación de MRSA con los AAC S4497-pipBOR o S4497-dimetil-pipBOR no dio como resultado la inhibición del crecimiento bacteriano a menos que los AAC se trataran previamente con catepsina B para liberar el antibiótico activo. Un ensayo *in vitro* que utiliza macrófagos peritoneales murinos confirmó que AAC libera antibiótico activo y destruye MRSA dentro de las células fagocíticas (Ejemplo 18). Un AAC que comprende el anticuerpo rF1, que se une a una familia de proteínas asociadas a la pared celular se conjugó con un derivado de rifamicina. Se trató *S. aureus* (cepa Newman) con varias dosis de rF1-AAC o con dosis equivalentes de cualquier anticuerpo solo, rifampicina sola o una mezcla de anticuerpo y rifampicina libre para permitir la unión del anticuerpo a las bacterias (opsonización) y después de 1 hora de incubación se proporcionaron las bacterias opsonizadas a los macrófagos (Figura 7A).

La figura 7A muestra un ensayo de macrófagos *in vitro* que demuestra que AAC destruye MRSA intracelular. Se incubó S. *aureus* (Newman) con el anticuerpo rF1 solo, rifampicina libre sola, una mezcla simple del anticuerpo rF1 más rifampicina libre combinados en la misma proporción de anticuerpo a antibiótico encontrada en el AAC o en el rF1-AAC durante 1 hora y se añadió a los macrófagos murinos. Los macrófagos se incubaron a 37 °C durante 2 horas para permitir la fagocitosis. Después de completar la fagocitosis, la mezcla de infección se reemplazó con medio de crecimiento normal complementado con 50 μg/ml de gentamicina para inhibir el crecimiento de bacterias extracelulares y se determinó el número total de bacterias intracelulares supervivientes 2 días después de la infección mediante siembra en placa.

20

25

10

15

Los macrófagos se infectaron durante 2 horas y la infección se eliminó y se reemplazó con medios que contenían gentamicina para destruir cualquier bacteria extracelular restante que no se hubiera captado por los macrófagos. Después de 2 días, los macrófagos se lisaron y se determinó el número total de bacterias intracelulares supervivientes sembrando en placas sobre placas de agar. El análisis reveló que el tratamiento con el AAC dio como resultado una reducción de más de 100 veces en el número de bacterias intracelulares en comparación con el tratamiento con una mezcla simple del anticuerpo rF 1 más rifampicina libre combinados en la misma proporción de anticuerpo a antibiótico que se encuentra en el AAC (Figura 7A).

MRSA es capaz de invadir varios tipos de células no fagocíticas, incluidos los osteoblastos y diferentes tipos de células epiteliales y endoteliales (Garzoni y Kelly, (2008) Trends in Microbiology). MRSA puede infectar una línea celular de osteoblastos (MG63), una línea celular epitelial de las vías respiratorias (A549) y cultivos primarios de células endoteliales de la vena umbilical humana (HUVEC). La Figura 7B muestra la destrucción intracelular de MRSA (cepa USA300) con 50 μg/ml de AAC 102 S4497-pipBOR en macrófagos, osteoblastos (MG63), células epiteliales de las vías respiratorias (A549) y células endoteliales de la vena umbilical humana (HUVEC) donde el anticuerpo S4497 no conjugado, no marcado no lo hace. Estos tipos de células probablemente expresen niveles totales más bajos de catepsina B que las células fagocíticas profesionales tales como los macrófagos, sin embargo, MRSA tratado con 50 μg/ml se destruyó eficazmente después de la internalización la totalidad de estas tres líneas celulares. La línea discontinua indica el límite de detección para el ensayo.

El análisis *in vitro* se realizó para comparar la actividad de AAC preparado con variaciones en el enlazador que une el anticuerpo al antibiótico. El AAC S4497-dimetil-pipBOR es más potente que el AAC S4497-pipBOR en el ensayo de destrucción intracelular en macrófagos. El AAC S4497-pipBOR y el AAC S4497-dimetil-pipBOR se valoraron para determinar la dosis mínima eficaz en el ensayo de destrucción intracelular en macrófagos de los presente inventores (Figura 7C). Puede ser necesario el tratamiento con al menos 2 μg/ml de AAC para lograr el aclaramiento óptimo de las bacterias intracelulares.

La Figura 7C muestra la comparación de AAC preparado con pipBOR **51** frente a dimetil-pipBOR (diMe-pipBOR) **54**. MRSA se opsonizó con el anticuerpo S4497 solo o con AAC: **102** S4497-pipBOR o **105** S4497-dimetil-pipBOR a varias concentraciones que varían de 10 μg/ml a 0,003 μg/ml. Estos datos revelaron que para ambos AAC, la destrucción óptima se produjo cuando se probaron AAC a más de 2 μg/ml, con una pérdida de actividad dependiente de la dosis que se hizo evidente a 0,4 μg/ml. El nivel general de destrucción fue significativamente superior con el AAC **105** S4497 dimetil-pipBOR. El tratamiento con dosis más altas de AAC **105** S4497-dimetil-pipBOR eliminó las bacterias intracelulares por debajo del límite de detección y se observó una destrucción de más de 300 veces usando una dosis subóptima de 0,4 μg/ml de AAC.

55

60

65

50

La Figura 7D muestra que AAC destruye las bacterias intracelulares sin dañar los macrófagos. La cepa USA300 de *S. aureus* se incubó previamente con 50 μg/ml del anticuerpo S4497 anti-*S. aureus* (anticuerpo) o con 50 μg/ml de AAC **105**tio-S4497-HC-A118C-MC-vc-PAB-dimetilpipBOR, durante 1 hora para permitir la unión del anticuerpo a la bacteria. Se añadieron bacterias opsonizadas a los macrófagos peritoneales murinos a múltiples infecciones de 10-20 bacterias por macrófago y se incubaron a 37 °C durante 2 horas para permitir la fagocitosis. Después de completar la fagocitosis, se eliminaron las bacterias libres y los macrófagos se cultivaron durante 2 días en medios de crecimiento normales complementados con 50 μg/ml de gentamicina para destruir las bacterias no internalizadas. Al final del periodo de cultivo, la supervivencia de los macrófagos se evaluó detectando la liberación de lactato deshidrogenasa citoplasmática (LDH) en el sobrenadante del cultivo. La cantidad total de LDH liberada de cada pocillo se comparó con los pocillos de control que contienen macrófagos que se lisaron mediante la adición de detergente a los pocillos. Se midió la extensión de la lisis celular de macrófagos en los pocillos tratados con

detergente, macrófagos no infectados, macrófagos infectados con USA300 opsonizados previamente con anticuerpo S4497 o macrófagos infectados con USA300 opsonizados previamente con AAC **105** tio-S4497-HC-A118C-MC-vc-PAB-dimetilpipBOR.

La Figura 7E muestra la recuperación de USA300 vivas del interior de macrófagos a partir de la lisis de células de macrófagos anterior. Los macrófagos se lisaron y las diluciones en serie del lisado celular se sembraron en placas para enumerar el número de bacterias intracelulares supervivientes.

La Figura 9 muestra un ensayo de inhibición del crecimiento que demuestra que los AAC no son tóxicos para S. aureus a menos que el enlazador se escinda por la catepsina B. A la izquierda se muestra un ensayo esquemático de liberación de catepsina (Ejemplo 20). El AAC se trata con catepsina B para liberar antibiótico libre. La cantidad total de actividad antibiótica en el AAC intacto frente al tratado con catepsina B se determina preparando diluciones en serie de la reacción resultante y determinando la dosis mínima de AAC que puede inhibir el crecimiento de S. aureus. El gráfico superior derecho muestra el ensayo de liberación de catepsina para 102 tio-S4497-HC-A118C-MC-vc-PAB-pipBOR y el gráfico inferior derecho muestra el ensayo de liberación de catepsina para 105 tio-S4497-HC-A118C-MC-vc-PAB-dimetilpipBOR.

EFICACIA DE CONJUGADOS ANTICUERPO CONJUGADO IN VIVO:

35

55

60

65

Se estableció un modelo de peritonitis *in vivo* en ratones para probar la eficacia de AAC. En este modelo, los ratones se infectan por inyección intraperitoneal (IP) de MRSA y la carga bacteriana se monitoriza 2 días después de la infección en el líquido peritoneal y el riñón. Las bacterias recogidas del peritoneo podrían encontrarse bien como bacterias libres extracelulares flotantes o internalizadas dentro de las células peritoneales, principalmente neutrófilos y macrófagos, que se reclutan en el sitio de la infección. Aunque las bacterias extracelulares identificadas en este modelo parecían ser sensibles al tratamiento con antibióticos, se demostró que las bacterias intracelulares no respondían al tratamiento con una serie de antibióticos clínicamente relevantes, incluyendo rifampicina (Sandberg et al (2009) Antimicrobial Agents Chemother) y, por lo tanto, parecían ser una excelente diana para evaluar la eficacia de los AAC de los presentes inventores.

La figura 8A muestra la eficacia *in vivo* del AAC **102** S4497-pipBOR. Modelo de infección intraperitoneal en ratones A/J. Los ratones se infectaron con 5x10⁷ UFC de MRSA por inyección intraperitoneal y se trataron con 50 mg/Kg de anticuerpo S4497 solo o con 50 mg/Kg de AAC **102** S4497-pipBOR por inyección intraperitoneal (protocolo 11-2032A). Los ratones se sacrificaron 2 días después de la infección y se evaluó la carga bacteriana total en el sobrenadante peritoneal (bacterias extracelulares), en las células peritoneales (bacterias intracelulares) o en el riñón.

Los ratones A/J se infectaron con USA300 y se les administró 50 mg/Kg bien de anticuerpo S4497 o de AAC 102 S4497-pipBOR treinta minutos después de la infección. Después de 2 días, los ratones se sacrificaron y se monitorizaron las cargas bacterianas en el lavado peritoneal y el riñón. Para distinguir entre bacterias extracelulares e intracelulares, el lavado peritoneal se centrifugó suavemente para separar el sobrenadante, que contenía bacterias 40 extracelulares, y las células peritoneales. Las células peritoneales se trataron con lisostafina para destruir cualquier bacteria extracelular contaminante y se lisaron para enumerar el número total de bacterias intracelulares en el momento de la recogida. Aunque los ratones tratados con anticuerpo solo albergaban entre 10⁵ y 10⁶ UFC de bacterias tanto intracelulares como extracelulares en el lavado peritoneal y entre 10⁴ y 10⁶ bacterias en el riñón, los ratones tratados con el AAC S4497-pipBOR AAC aclararon la infección por debajo del límite de detección. Estos datos revelaron que aunque el AAC está diseñado para liberar antibióticos activos dentro del fagolisosoma, se 45 observó un aclaramiento excelente tanto de los grupos intracelulares como extracelulares de MRSA. Debido a que las bacterias extracelulares no se destruyen directamente por el AAC, el hecho de que estas bacterias también fueran eliminadas por el tratamiento con AAC sugiere que una fracción significativa de las bacterias extracelulares es captada por las células en algún momento durante la infección, o que el AAC puede potenciar la captación de 50 bacterias extracelulares aumentando así la proporción relativa de bacterias que son intracelulares donde son eliminadas de manera eficaz por el AAC.

También se examinó la eficacia del AAC en un modelo de infección intravenosa. En este modelo, los neutrófilos circulantes captan *S. aureus* poco después de la infección, de modo que la mayoría de las bacterias que se encuentran en la sangre están asociadas con las células hospedadoras en cuestión de minutos después de la infección (Rogers, et al. (1956) J. Exp. Med. 103:713-742). Los ratones A/J se infectaron con 2x10⁶UFC de MRSA por inyección intravenosa, y después se trataron con 50 mg/Kg de AAC por inyección intravenosa 30 minutos después de la infección. En este modelo, el sitio primario de infección es el riñón, y los ratones desarrollan grandes abscesos que son detectables dos días después de la infección y no pueden aclararse hasta 30 días en ausencia de tratamiento. El tratamiento con 50 mg/Kg del AAC **102** S4497-pipBOR aclaró la infección en todos los ratones probados (Figura 8B).

La Figura 8B muestra el modelo de infección intravenosa en ratones A/J. Los ratones se infectaron con 2x10⁶ UFC por inyección intravenosa y se trataron con 50 mg/Kg de anticuerpo S4497, 50 mg/Kg de AAC **102** S4497-pipBOR o con una mezcla simple de 50 mg/Kg de anticuerpo S4497 + 0,5 mg/Kg de rifamicina libre. Los tratamientos se suministraron mediante inyección IV 30 minutos después de la infección y los rifiones se recogieron 4 días después

de la infección. La línea discontinua gris indica el límite de detección para cada órgano. Los grupos de control tratados con 50 mg/kg de anticuerpo S4497 solo, o con una mezcla simple de 50 mg/kg de anticuerpo S4497 más 0,5 mg/kg de rifamicina libre (la dosis equivalente de antibiótico presente en 50 mg/kg de AAC) no fueron eficaces.

Se comparó la eficacia de AAC preparado con restos antibióticos pipBOR y dimetil-pipBOR in vivo en el modelo de infección intravenosa en ratones A/J. El AAC 102 S4497-pipBOR (Figura 9A) o el AAC 105 S4497-dimetil-pipBOR (Figura 9B) se administraron a varias dosis que varían desde 50 mg/kg a 2 mg/kg 30 minutos después de la infección y se examinaron los riñones 4 días después de la infección para determinar la carga bacteriana total. La Figura 9A muestra la eficacia de AAC 102 pipBOR en un modelo de infección intravenosa por titulación del AAC 102 S4497-pipBOR. Se infectaron ratones A/J hembra de siete semanas de edad con 2x10⁶ UFC de MRSA (cepa USA300) por inyección intravenosa en la vena de la cola. La Figura 9B muestra la eficacia de AAC 105 dimetil-pipBOR en el modelo de infección intravenosa por titulación del AAC 105 S4497-dimetil-pipBOR. Se administraron tratamientos con anticuerpo S4497, AAC 102 o AAC 105 a las dosis indicadas 30 minutos después de la infección. Los ratones se sacrificaron 4 días después de la infección y se determinó el número total de bacterias supervivientes por ratón (2 riñones agrupados) mediante siembra en placas.

Ambos AAC fueron eficaces a la dosis más alta de 50 mg/Kg, sin embargo, el AAC **102** S4497-pipBOR solo fue parcialmente eficaz a dosis más bajas. El AAC **105** S4497-dimetil-pipBOR produjo un aclaramiento bacteriano completo a dosis superiores a 10 mg/kg. Experimentos posteriores indicaron que se requerían dosis superiores a 15 mg/kg para un aclaramiento bacteriano consistente. Las Figuras 9A y 9B muestran que AAC **105** tio-S4497-HC-A118C-MC-vc-PAB-dimetilpipBOR es más eficaz que AAC **102** tio-S4497-HC-A118C-MC-vc-PAB-pipBOR en un modelo de infección intravenosa lo que indica un efecto de la distinción estructural del carbamato (**51**) y el dimetilpiperidilo (**54**) entre **102** y **105**, respectivamente.

20

30

35

45

50

55

60

Los ratones se trataron con el AAC 30 minutos después de la infección. Para replicar mejor las condiciones que probablemente se producen en pacientes con MRSA que buscan tratamiento, se determinó si el AAC es eficaz para aclarar una infección establecida y que la vinculación del antibiótico con un anticuerpo anti-S. aureus proporciona una ventaja definitiva sobre el tratamiento con antibiótico solo. Con este fin, se comparó la eficacia de AAC con una dosis equivalente del antibiótico dimetil-pipBOR.

La Figura 9C muestra ratones CB17.SCID infectados con 2x10⁷ UFC de MRSA por inyección intravenosa (protocolo 12-2418). Un día después de la infección, los ratones se trataron con 50 mg/Kg de anticuerpo S4497, 50 mg/Kg de AAC **105** S4497 dimetil-pipBOR o con 0,5 mg/Kg de antibiótico 7 dimetil-pipBOR, la dosis equivalente de antibiótico contenida en 50 mg/Kg de AAC). Los ratones se sacrificaron 4 días después de la infección y se determinó el número total de bacterias supervivientes por ratón (2 riñones agrupados) mediante siembra en placas. El tratamiento con 50 mg/Kg de AAC S4497-dimetil-pipBOR fue claramente eficaz cuando se administró 1 día después de la infección, mientras que el tratamiento con la dosis equivalente de dimetil-pipBOR solo no logró aclarar la infección.

EL TRATAMIENTO CON UN AAC ES EFICAZ EN PRESENCIA DE ANTICUERPOS HUMANOS Y SUPERIOR AL TRATAMIENTO CON EL TRATAMIENTO DE REFERENCIA (SOC) ACTUAL CON VANCOMICINA

El anticuerpo S4497 se clonó a partir de linfocitos B derivados de pacientes infectados por *S. aureus*. Esto planteó la preocupación de que el suero humano normal, o el suero presente en pacientes infectados con MRSA, puede contener anticuerpos anti-MRSA que competirían por unirse con el AAC de los presentes inventores. Para abordar esto, se probó el suero humano derivado de donantes sanos normales y un panel de pacientes con MRSA para estimar el nivel general de anticuerpos anti-MRSA que reconocen el mismo antígeno que el AAC. Se desarrolló un ensayo basado en ELISA usando preparaciones de pared celular de MRSA. Para limitar la unión no específica de antígeno a las preparaciones de la pared celular en estos ensayos, se utilizó una cepa de MRSA que es deficiente en el gen para la proteína A. La proteína A se une a la región Fc de los anticuerpos IgG. Se examinó la unión de varias muestras de suero de tipo silvestre (WT) a MRSA que expresaban el antígeno de S4497 (Figura 10A, WT) frente a la unión a un mutante de la cepa de MRSA TarM/TarS DKO (doble nuligénica) que carece de las modificaciones de azúcares que reconoce el anticuerpo S4497. La Figura 10A muestra la prevalencia de anticuerpos anti-*S. aureus* en suero humano. Los pacientes infectados por *S. aureus* o los controles normales contienen altas cantidades de anticuerpo sérico específico de WTA con la misma especificidad que S4497 anti-WTA.

Se generó una curva patrón utilizando un anticuerpo monoclonal que se une bien al mismo antígeno reconocido por S4497. Al comparar el nivel de unión en muestras de suero con la señal obtenida del anticuerpo utilizado para generar la curva patrón, se estimó el nivel de anticuerpos anti-MRSA presentes en muestras de suero derivadas de donantes sanos normales o pacientes con MRSA, o en preparaciones de IgG total aisladas de suero normal (Figura 10A). El suero humano normal contiene 10-15 mg/ml de IgG total (Manz et al. (2005) Annu Rev. Immunol. 23:367). El análisis de la reactividad anti-MRSA en las diferentes muestras de suero reveló que hasta 300 µg/ml de estos anticuerpos son potencialmente reactivos con el mismo antígeno reconocido por S4497 y, por lo tanto, es probable que compitan por la unión con el AAC.

El anticuerpo S4497 se usó para generar AAC para determinar las propiedades incluyendo la unión muy alta en MRSA (50.000 sitios de unión estimados por bacteria). Un número suficiente de AAC puede ser capaz de unirse a

MRSA incluso en presencia de los anticuerpos competidores encontrados en el suero humano. Para probar esto directamente, se tituló el AAC S4497-dimetil-pipBOR en tampón complementado con 10 mg/ml de IgG humana (Figura 10B, +IGIV) y se midió el nivel de destrucción intracelular en el ensayo de destrucción intracelular de macrófagos.

5

10

15

La figura 10B muestra un modelo de infección *in vivo* que demuestra que AAC es eficaz en presencia de niveles fisiológicos de IgG humana. El ensayo de macrófagos *in vitro* con la cepa USA300 de MRSA muestra que AAC 105 S4497-dimetil-pipBOR es eficaz en presencia de 10 mg/ml de IgG humana. La cepa USA300 de MRSA se opsonizó con AAC solo, o con AAC diluido en 10 mg/ml de IgG humana durante 1 hora a 37 °C con agitación. Las bacterias opsonizadas se añadieron directamente a los macrófagos peritoneales murinos y se incubaron durante 2 horas para permitir la fagocitosis. Después de la infección, los cultivos de macrófagos se mantuvieron en medios completos complementados con gentamicina y se evaluó el número total de bacterias intracelulares supervivientes 2 días después de la infección. Estos datos revelaron que aunque la IgG humana inhibió la destrucción por AAC a las dosis más bajas, se logró una excelente destrucción utilizando dosis superiores a 10 µg/ml, una concentración de anticuerpos que se puede lograr fácilmente *in vivo*. La IgG sérica normal puede disminuir el efecto funcional de AAC 105. Debido a que la máxima actividad de destrucción intracelular de macrófagos de un AAC puede requerir una alta unión al antígeno y una interacción eficaz con los FcR (para la opsonofagocitosis), los anticuerpos séricos preexistentes pueden competir ambos por unirse a WTA y los complejos inmunitarios formados correspondientes compiten por unirse a los FcR en macrófagos.

20

25

Para confirmar que el AAC sería eficaz en presencia de anticuerpos humanos de competencia *in vivo*, el modelo de infección *in vivo* se modificó para generar ratones que expresen niveles normales de IgG humana en el suero. Se reconstituyeron ratones CB17:SCID, que carecen tanto de linfocitos T como de linfocitos B y, por lo tanto, no tienen anticuerpos en el suero (Bosna & Carroll, (1991) Ann Rev Immunol. 9:323), con 10 mg/ml de IgG humana por dosificación diaria de IgG humana altamente concentrada (IGIV). Los estudios preliminares confirmaron que estos ratones, denominados SCID:hulgG, tenían, de hecho, niveles sostenidos de al menos 10 mg/ml de IgG humana en el suero y que estos ratones eran igualmente susceptibles a la infección por MRSA en comparación con los controles no tratados. Los ratones SCID:hulgG se infectaron con MRSA y se trataron bien con el anticuerpo S4497 o con el AAC S4497-dimetil-pipBOR (50 mg/Kg) 1 día después de la infección. Cuatro días después de la infección se evaluó la carga bacteriana en los riñones (Fig. 10C).

30

La Figura 10C muestra los datos combinados de 3 experimentos independientes usando 2 preparaciones separadas de AAC 105 o 112 tio-S4497-HC-A118C-MC-vc-PAB-dimetil-pipBOR. Los ratones CB17.SCID se reconstituyeron con IgG humana usando una pauta posológica optimizada para producir niveles constantes de al menos 10 mg/ml de IgG humana en suero. Los ratones se trataron con anticuerpo S4497 (50 mg/Kg) o AAC S4497-dimetil-pipBOR (50 mg/Kg). Los ratones tratados con el AAC tuvieron una reducción mayor de 4 en escala logarítmica en las cargas bacterianas (prueba t de Student p = 0,0005). Las cargas bacterianas fueron en promedio más de 10.000 veces más bajas en los ratones tratados con el AAC S4497-dimetil-pipBOR en comparación con los ratones tratados con el control de anticuerpos S4497, indicando que el AAC fue claramente eficaz incluso en presencia de altos niveles de anticuerpos humanos anti-MRSA de competencia.

40

45

35

La eficacia del AAC se comparó con la del tratamiento con vancomicina, el tratamiento de referencia actual para las infecciones por MRSA. La figura 11A muestra el modelo de infección *in vivo* que demuestra que el AAC es más eficaz que el antibiótico vancomicina de tratamiento de referencia (SOC) actual en ratones que se reconstituyen con niveles normales de IgG humana. Los ratones CB17.SCID se reconstituyeron con IgG humana usando una pauta posológica optimizada para producir niveles constantes de al menos 10 mg/ml de IgG humana en suero. Los ratones se trataron con anticuerpo S4497 (50 mg/Kg), vancomicina (100 mg/Kg), AAC S4497-dimetil-pipBOR (50 mg/Kg), 112 o un AAC preparado con un anticuerpo de control de isotipo que no reconoce MRSA, AAC 110 tio-hu-anti gD 5B5-HC-A118C-MC-vc-PAB-dimetilpipBOR (50 mg/Kg). Se administró, a los ratones que recibieron AAC, una dosis única de AAC el día 1 después de la infección mediante inyección intravenosa. Se administró, a los ratones que recibieron tratamientos con vancomicina, dos veces al día inyecciones del antibiótico por inyección intraperitoneal. Todos los ratones se sacrificaron el día 4 después de la infección y se determinó el número total de bacterias supervivientes por ratón (2 riñones agrupados) mediante siembra en placas.

50 55

60

El tratamiento con vancomicina es eficaz para tratar la infección por MRSA en el modelo de infección intravenosa murina de los presentes inventores si el tratamiento se inicia 30 minutos después de la infección. La dosis dos veces al día con 100 mg/kg de vancomicina no logró aclarar la infección y solo fue capaz de reducir las cargas bacterianas en aproximadamente 50 veces, cuando se inició el tratamiento más de 1 día después de la infección (Figura 11A). Asombrosamente, el tratamiento con una dosis única del AAC S4497-dimetil-pipBOR 1 día después de la infección fue capaz de aclarar la infección en la mayoría de los ratones. Sorprendentemente, el tratamiento con AAC de control preparado con un anticuerpo IgG humano que no reconoce S. aureus (gD-AAC) tuvo cierta eficacia en este modelo. El anticuerpo gD no reconoce S. aureus a través de su sitio de unión a antígeno, sin embargo, el anticuerpo es capaz de unirse a la proteína A que se encuentra en S. aureus.

65 La M

La figura 11C muestra el modelo de infección *in vivo* que demuestra que el AAC, 129 tio-S6078-HC A114C-LCWT-MC-vc-PAB-dimetilpipBOR es más eficaz que el anticuerpo anti-WTA S4497 no marcado, de acuerdo con el mismo

régimen que la Figura 11A, en ratones que se reconstituyen con niveles normales de IgG humana. Los ratones CB17.SCID se reconstituyeron con IgG humana usando una pauta posológica optimizada para producir niveles constantes de al menos 10 mg/ml de IgG humana en suero. Los ratones se trataron con anticuerpo S4497 (50 mg/Kg) o con AAC 129 tio-S6078-HC A114C-LCWT-MC-vc-PAB-dimetilpipBOR (50 mg/Kg).

El análisis FACS mostró que la tinción con altas concentraciones del anticuerpo gD en bacterias aisladas de una infección *in vivo* produce un bajo nivel de unión a S. *aureus* respecto a la unión de anticuerpos anti-MRSA a MRSA aislado de riñones infectados (Figura 11B). Los ratones se infectaron con MRSA mediante inyección intravenosa y los riñones infectados se eliminaron 3 días después de la infección y se homogeneizaron. Los anticuerpos anti-MRSA o de control se marcaron con Alexa-488 y se analizaron en un intervalo de concentraciones entre 0,08 µg/ml y 50 µg/ml. El anticuerpo S4497 reconoce una modificación de N-acetilglucosamina que está enlazada al ácido teicoico de la pared (WTA) a través de un enlace beta-anomérico en la pared celular de *S. aureus*. El anticuerpo S7578 se une a una modificación similar de N-acetilglucosamina que se une a WTA a través de un enlace alfa-anomérico. El anticuerpo rF1 es un anticuerpo anti-MRSA de control positivo que reconoce las modificaciones de azúcares encontradas en una familia de proteínas ancladas a la pared celular que contienen repetición de SDR. El anticuerpo gD es una IgG₁ humana de control negativo que no reconoce *S. aureus*. Aunque el nivel general de unión con el anticuerpo gD es significativamente menor que el obtenido con el anticuerpo S4497 (estimado que es al menos 30 veces menor por análisis FACS, Figura 11B), la eficacia limitada observada con el gD-AAC indica que incluso la unión a bajo nivel de un AAC en MRSA *in vivo* es suficiente para producir una eficacia que parecía equivalente a la reducción en las UFC obtenidas con vancomicina.

10

15

20

25

30

35

55

60

Los datos anteriores demuestran claramente que los AAC son capaces de destruir el MRSA intracelular y que los AAC S4497-pipBOR y S4497 dimetil-pipBOR son eficaces para limitar la infección por MRSA tanto *in vitro* como *in vivo*. Los AAC de la invención actúan destruyendo las bacterias dentro de las células de mamíferos y, de este modo, proporcionan un tratamiento terapéutico único que es más eficaz para destruir las poblaciones de bacterias que son resistentes al tratamiento con vancomicina.

La Figura 20 muestra que el tratamiento previo con 50 mg/kg de anticuerpos libres no es eficaz en un modelo de infección intravenosa. Los ratones Balb/c recibieron una dosis única de vehículo control (PBS) o 50 mg/kg de anticuerpos por inyección intravenosa 30 minutos antes de la infección con 2x10⁷ UFC de USA300. Los grupos de tratamiento incluyeron un anticuerpo de control de isotipo que no se une a S. aureus (gD), un anticuerpo dirigido contra la modificación beta del ácido teicoico de la pared (4497) o un anticuerpo dirigido contra la modificación alfa del ácido teicoico de la pared (7578). Los ratones control recibieron tratamientos dos veces al día con 110 mg/kg de vancomicina mediante inyección intraperitoneal (Vanco). Todos los ratones se sacrificaron el día 4 después de la infección y se determinó el número total de bacterias supervivientes los riñones (2 riñones agrupados) mediante siembra en placas. Aunque el tratamiento previo con vancomicina aclaró la infección en todos los ratones probados, el tratamiento previo con anticuerpos dirigidos contra la pared celular de *S. aureus* no tuvo efecto sobre las cargas bacterianas.

Las Figuras 21 y 22 muestran que los AAC dirigidos contra la modificación beta del ácido teicoico de la pared o contra la modificación alfa del ácido teicoico de la pared son eficaces en un modelo de infección intravenosa que usa ratones reconstituidos con niveles normales de IgG humana. Los ratones CB17.SCID se reconstituyeron con IgG humana usando una pauta posológica optimizada para producir niveles constantes de al menos 10 mg/ml de IgG humana en suero e se infectaron con 2x10⁷ UFC de USA300 por inyección intravenosa. El tratamiento se inició 1 día después de la infección con control de solo tampón (PBS), 60 mg/Kg de AAC de WTA-beta (AAC 136) o 60 mg/Kg de AAC de WTA-alfa (AAC 155). Los ratones se sacrificaron el día 4 después de la infección y se determinó el número total de bacterias supervivientes en los riñones (2 riñones agrupados, Figura 21) y el corazón (Figura 22) mediante siembra en placas. El tratamiento con el AAC de WTA-beta dio como resultado una reducción de 100.000 veces en la carga bacteriana en el riñón en comparación con los ratones tratados con el vehículo control. El tratamiento con el AAC de WTA-alfa dio como resultado una reducción promedio de 9.000 veces en la carga bacteriana en el riñón.

Hasta la fecha, sigue siendo incierto por qué los antibióticos disponibles actualmente son a con frecuencia ineficaces para destruir las reservas intracelulares de bacterias. Los antibióticos pueden fallar porque no alcancen concentraciones suficientes dentro de las células, ya sea porque no entran al compartimento fagolisosómico donde residen las reservas intracelulares de bacterias o porque pueden estar sujetos a la actividad de las bombas de eflujo que eliminan el antibiótico de las células de los mamíferos. Los antibióticos pueden dañarse por condiciones severas que se encuentran dentro del fagolisosoma, incluido un pH bajo, agentes reductores y agentes oxidantes que se liberan específicamente para destruir la bacteria fagocitada. Alternativamente, los antibióticos pueden fallar porque las bacterias regulan los mecanismos de defensa o no se dividen dentro del fagolisosoma y, por lo tanto, se vuelven transitoriamente insensibles a los antibióticos. La importancia relativa de estos mecanismos de resistencia a los antibióticos será diferente para los diferentes patógenos y para cada antibiótico. El componente antibiótico de los AAC de los presentes inventores, pipBOR y dimetil-pipBOR son de hecho más potentes que la rifampicina para destruir el MRSA intracelular cuando se prueban como antibióticos libres. La unión de estos antibióticos a un anticuerpo proporciona un aumento real dependiente de la dosis de la eficacia que es evidente *in vivo* (Figura 9C). En este caso, es probable que la eficacia mejorada del AAC sobre el antibiótico solo se deba a una combinación de

su capacidad para opsonizar bacterias y a una farmacocinética mejorada de AAC. La mayoría de los antibióticos libres se aclaran rápidamente *in vivo* y requieren dosis repetidas con altas concentraciones de antibiótico para mantener concentraciones suficientes de antibiótico en suero. Por el contrario, los AAC tienen semividas largas en suero debido a la porción de anticuerpo de la molécula. Debido a que los AAC liberan el antibiótico solo después de unirse a *S. aureus* y ser transportados junto con la bacteria al espacio confinado del fagolisosoma, concentran pequeñas dosis de antibiótico específicamente en un nicho donde fracasan la mayoría de los antibióticos. Por lo tanto, además de actuar de forma selectiva en reservorios protegidos de bacterias intracelulares, los AAC pueden facilitar el uso de antibióticos más potentes que pueden resultar demasiado tóxicos para su uso como agente único al limitar la liberación del antibiótico donde más se necesita.

10

15

20

Las Figuras 35 y 36 muestran los resultados del Ensayo de macrófagos *in vitro* para AAC tio-S6078. Se incubó *S. aureus* (USA300 NRS384) con anticuerpo S6078 no conjugado a 50 ug/ml y AAC a 50 μg/ml, 5 μg/ml, 0,5 μg/ml o 0,05 μg/ml durante 1 hora para permitir la unión del anticuerpo a la bacteria. Las bacterias opsonizadas resultantes se proporcionaron a macrófagos murinos y se incubaron a 37 °C para permitir la fagocitosis. Después de 2 horas, la mezcla de infección se eliminó y se reemplazó con medio de crecimiento normal complementado con 50 μg/ml de gentamicina para destruir cualquier bacteria extracelular restante. El número total de bacterias intracelulares supervivientes se determinó 2 días después mediante la siembra en placa de diluciones en serie de los lisados de macrófagos en placas de Agar de Soja Tríptico. En la figura 35, el AAC tio-S6078.v4.HC-WT, LC-Cys-MC-vc-PAB-(dimetilpipBOR) fue eficaz para destruir bacterias intracelulares a dosis iguales o superiores a 0,5 μg/ml con una carga antibiótica de 2,0 (AAC-173) o 3,9 (AAC-171) de antibióticos dimetilpipBOR (LA-54) por anticuerpo tio-S6078. En la figura 36, tio-S6078.v4.HC-WT, LC-Cys-MC-vc-PAB-(piperazBOR) fue eficaz para destruir bacterias intracelulares a dosis iguales o superiores a 0,5 μg/ml con una carga antibiótica de antibióticos piperazBOR (LA-65) de 1,8 (AAC-174) o 3,9 (AAC-172) por anticuerpo tio-S6078.

Las Figuras 37 y 38 muestran resultados de la eficacia *in vivo* de AAC tio-S6078 en un modelo murino de infección intravenosa. Los ratones CB17.SCID se reconstituyeron con IgG humana usando una pauta posológica optimizada para producir niveles constantes de al menos 10 mg/ml de IgG humana en suero. Los ratones fueron infectados con USA300 y tratados con vehículo control (PBS), AAC tio-S6078.v4.HC-WT, LC-Cys-MC-vc-PAB-(dimetilpipBOR) con una carga antibiótica de 2,0 (AAC-173) o 3,9 (AAC-171) de antibióticos dimetilpipBOR (LA-54) por anticuerpo tio-S6078 (Figura 37) y tio -S6078.v4.HC-WT, LC-Cys-MC-vc-PAB-(piperazBOR) con una carga antibiótica de 1,8 (AAC-174) o 3,9 (AAC-172) de antibióticos piperazBOR (LA-65) por anticuerpo tio-S6078 (Figura 38). Los ratones recibieron una dosis única de AAC el día 1 después de la infección mediante inyección intravenosa y se sacrificaron el día 4 después de la infección. El número total de bacterias supervivientes en 2 riñones se determinó mediante siembra en placas. El tratamiento con AAC que contenían una carga antibiótica más baja redujo las cargas bacterianas en aproximadamente 1.000 veces y el tratamiento con AAC que contenían una carga antibiótica más alta redujo las cargas bacterianas en más de 10.000 veces.

ENLACES ESCINDIBLES POR ESTAFOPAINA B PARA CONJUGADOS ANTICUERPO-ANTIBIÓTICO

En el presente documento se describe un enlazador escindible por proteasa para ser escindido por estafopaína B, una endopeptidasa secretada por S. aureus. Para diseñar un enlazador escindido de menara específica por la bacteria Staphylococcus aureus, se caracterizó el sobrenadante de cultivo de S. aureus con actividad proteasa usando una biblioteca de péptidos de FRET. A partir de esta exploración, se identificó una especificidad de sustrato única. Usando este sustrato, la enzima responsable de la actividad se purificó del sobrenadante de cultivo y se identificó como estafopaína B. Basándose en esta identificación, se generó un enlazador optimizado para estafopaína B y se enlazó a piperazino-rifamicina:

Piperazino-rifamicina es un antibiótico potente de tipo rifalazil. El AAC resultante ha demostrado eficacia en modelos de infección por MRSA *in vitro* e *in vivo*, proporcionando un mecanismo novedoso para actuar de forma selectiva contra infecciones por MRSA. La estafopaína B es una cisteína proteasa secretada de la familia de papaína de las endopeptidasas (N.º de Reg. CAS 347841-89-8, Sigma-Aldrich número S3951, Filipek et al (2005) J. Biol. Chem. 280 (15): 14669-74) y ha evolucionado para tener una especificidad de sustrato exclusiva, prefiriendo cadenas laterales

aromáticas voluminosas en la posición P2. La expresión de estafopaína B está controlada por el sistema de percepción de cuórum *agr* (o regulador de genes accesorio) (Janzon, L. y S. Arvidson (1990) The EMBO journal 9 (5): 1391-1399) como parte de la cascada proteolítica estafilocócica (SCP, por sus siglas en inglés). Agr modula la expresión de proteasas secretadas y otros factores de virulencia *de S. aureus* incluyendo aureolisina, V8 y estafopaína A (Shaw, L., E. Golonka, et al. (2004) Microbiology 150(Pt 1): 217-228). La estafopaína B se ha implicado como un potente factor de virulencia debido a su capacidad para degradar el tejido conectivo del hospedador, así como para aumentar varias proteínas del sistema inmunitario (Imamura, T., S. Tanase, et al. (2005) Journal of experimental medicine 201(10): 1669-1676; Potempa, J., A. Dubin, et al. (1988) Journal of biological chemistry 263(6): 2664-2667; Ohbayashi, T., A. Irie, et al. (2011) Microbiology 157(Pt 3): 786-792; Smagur, J., K. Guzik, et al. (2009); Biological chemistry 390(4): 361-371; Smagur, J., K. Guzik, et al. (2009); Journal of innate immunity 1(2): 98-108; Kulig, P., B. A. Zabel, et al. (2007); Journal of immunology 178(6): 3713-3720). El papel de la estafopaína B como un importante factor de virulencia la convierte en una diana atractiva para la liberación de antibióticos mediada por proteasas.

15 Identificación de sustratos escindidos por proteasas de Staphylococcus aureus:

10

20

25

30

45

50

Para identificar sustratos fácilmente escindidos por endopeptidasas de S. *aureus*, se incubó sobrenadante de un cultivo durante la noche de la cepa Wood46 de S. *aureus* con una biblioteca de péptidos de FRET disponible comercialmente. La cepa Wood46 tiene un locus *agr* constitutivamente activo, por lo tanto, la cepa Wood46 muestra una expresión de proteasa aumentada en comparación con el tipo silvestre. La biblioteca de péptidos de FRET, Biblioteca de Perfiles de Endopeptidasas Rápidas o PepSets ™ REPLi (por sus siglas en inglés) (Mimotopes, Victoria, Australia), consiste en 512 pocillos con 8 péptidos fluorogénicos desactivados internamente por pocillo en un formato de placa de 96 pocillos. Los péptidos emiten fluorescencia tras la escisión, lo que permite monitorizar la actividad proteolítica en tiempo real. Cada péptido tiene un núcleo tripeptídico variable flanqueado por una serie de restos de glicina a cada lado y dos restos de lisina adicionales en el extremo C para determinar la solubilidad. El sobrenadante del cultivo Wood46 se añadió a la biblioteca y las placas se incubaron durante la noche a 37 °C. Los pocillos que mostraban un aumento de fluorescencia superior a 15 veces (12 de 512 pocillos en total) se analizaron por LC-MS (Agilent Q-TOF) para determinar los productos de escisión. Los sitios de escisión se clasificaron basándose en la frecuencia (Tabla 4). Entre los mejores resultados, se observó un patrón en la especificidad del sustrato, específicamente una preferencia por cadenas laterales hidrófobas voluminosas de Phe y Tyr en la posición P2.

<u>Tabla 4.</u> Preferencias de aminoácidos de las secuencias REPLi escindidas por proteasas secretadas por Wood46.

Abundancia en cada posición (%)

Restos	P4	P3	P2	P1	P1'	P2'
G	71,4	50,0	0,0	28,6	35,7	100,0
I/L	21,4	7,1	0,0	0,0	7,1	0,0
A/V	0,0	14,3	0,0	50,0	28,6	0,0
N/Q	7,1	7,1	0,0	0,0	7,1	0,0
S/T	0,0	14,3	0,0	14,3	0,0	0,0
F/Y	0,0	0,0	100,0	0,0	21,4	0,0
K/R	0,0	7,1	0,0	7,1	0,0	0,0

Abundancia en cada posición de restos de aminoácidos presentes en los péptidos de FRET de los pocillos que mostraron el mayor aumento en la fluorescencia. Los péptidos REPLi contienen la secuencia MCA-Gly-Gly-Xaa-Yaa-Zaa-Gly-Gly-DPA-Lys-Lys (SEQ ID NO: 132), donde Xaa, Yaa y Zaa varían. Los restos de glicina presentes en la tabla representan los restos de Gly que flanquean el núcleo variable. Mientras que los restos de Gly son los más abundantes en varias posiciones, dan poca información sobre la especificidad del sustrato. Al diseñar los enlazadores, se dio preferencia a los aminoácidos del núcleo variable. Los aminoácidos que no estaban en ninguno de los mejores resultados se omitieron de la tabla.

Diseño y conjugación de un sustrato de FRET escindido por una proteasa de MRSA in vitro:

Se diseñó y sintetizó un péptido usando los restos más frecuentes en los péptidos escindidos de la exploración REPLi usando información de especificidad para PI, P2 y P3. El péptido tenía la secuencia GGAFAGGG (SEQ ID NO: 126) con la escisión esperada entre GGAFA (SEQ ID NO: 131) y GGG. El péptido se sintetizó usando síntesis en fase sólida que incorpora colorantes fluorescentes, tetrametilrodamina (TAMRA) y fluoresceína como un par de FRET (Figura 26) con ácido maleimido-propiónico añadido al extremo N para permitir la conjugación con los restos de cisteína del anticuerpo. El mal-FRET-péptido resultante, maleimido-propiónico (MP)-Lys(TAMRA)-Gly-Gly-Ala-Phe-Ala-Gly-Gly-Lys(fluoresceína) ("péptido del núcleo" divulgado como SEQ ID NO: 125), se conjugó con el anticuerpo tioMab modificado por ingeniería con cisteína, tio-S4497. El mal-FRET-péptido también se conjugó con el tioMab trastuzumab modificado por ingeniería con cisteína anti-Her2, un control que no se une.

El conjugado de FRET tio-S4497-MP-K(Tamra)GGAFAGGGK(Fluoresceína) ("péptido del núcleo" divulgado como SEQ ID NO: 125) y el conjugado de FRET de control que no se une, tio-trastuzumab-MP-K(Tamra)GGAFAGGGK(fluoresceína) ("péptido del núcleo" divulgado como SEQ ID NO: 125), se incubaron con cultivos en fase logarítmica de Wood46 (Figura 28) y de tipo silvestre, USA300 (Figura 29), a densidades celulares de 10⁸ células/ml y 10⁷ células/ml en caldo de soja tríptico (TSB, por sus siglas en inglés). La concentración final de MP-Lys(TAMRA)-Gly-Gly-Ala-Phe-Ala-Gly-Gly-Lys (fluoresceína) ("péptido del núcleo" divulgado como SEQ ID NO: 125) para todos los pocillos fue 2 μM. La fluorescencia se monitorizó a lo largo del tiempo a 37 °C, excitación λ495nm/emisión λ518nm. Se observó un aumento en la fluorescencia con el conjugado 4497-mal-FRET-péptido tanto en Wood46 como en USA300, indicando que el péptido de FRET se escinde por una proteasa de S. aureus y que la proteasa está presente en ambas cepas. La unidad enlazadora MP-K(TAMRA)GGAFAGGGK(fluoresceína) ("péptido del núcleo" divulgado como SEQ ID NO: 125) se escinde tanto en Wood46 como en USA300 cuando se conjuga con un anticuerpo que se une a S. aureus. La validación de la escisión de este enlazador modelo en USA300 fue crítica debido a su relevancia para la cepa clínica de MRSA a la que se dirigiría un posible conjugado terapéutico anticuerpo-antibiótico (AAC). El conjugado de FRET tio-S4497-MP-K(Tamra)GGAFAGGGK (fluoresceína) ("péptido del núcleo" divulgado como SEQ ID NO: 125) muestra un aumento de fluorescencia en ambas cepas, indicando que el enlazador se escinde por una proteasa de S. aureus y que la proteasa está presente en la cepa clínicamente relevante de MRSA, USA300. La densidad celular afecta la tasa de escisión, produciéndose escisión antes en los cultivos de mayor densidad celular. El conjugado de control que no se une tio-trastuzumab-MP-K(Tamra)GGAFAGGGK(Fluoresceína) ("péptido del núcleo" divulgado como SEQ ID NO: 125) no mostró un 20 aumento de fluorescencia en ninguna condición probada.

Basándose en el sustrato escindido de los ensayos basados en células, el producto intermedio enlazador-antibiótico LA-59 (Tabla 2) se preparó y se conjugó con anticuerpos para formar una cadena pesada anti-MRSA, tio-S4497 25 (AAC-113) y tio-S4462 (AAC-114) modificados por ingeniería con cisteína y tio-trastuzumab de cadena ligera anti-HER2 (AAC-115) de la Tabla 3. El AAC enlazado a GGAFAGGG (SEQ ID NO: 126) demostró mejores tasas de escisión que el FRET-péptido cuando se incubó con sobrenadante concentrado de un cultivo Wood46 durante la noche, indicando que el enlazador-antibiótico es un mejor sustrato para la proteasa de interés desconocida. La escisión se produjo en el sitio esperado entre alanina y glicina en los AAC enlazados a GGAFAGGG ("péptido del 30 núcleo" divulgado como SEQ ID NO: 126) (AAC-113, AAC-114, AAC-115). Este enlazador-antibiótico (LA-59) no es un sistema de suministro optimizado para el antibiótico porque después de la escisión, se libera GGG-rifamicina en lugar de rifamicina libre. Si bien el potencial terapéutico de este enlazador-antibiótico puede ser incierto, su capacidad para ser escindido de manera eficaz por la proteasa lo convierte en un compuesto instrumental útil para identificar fracciones que contienen la proteasa activa de interés. El producto intermedio enlazador-antibiótico LA-59 se conjugó con la porción Fab del anticuerpo tio-S4497 (Scheer, J. M., W. Sandoval, et al. (2012). PloS one 7(12): 35 e51817). Los anticuerpos Fab modificados por ingeniería con cisteína, "tioFAB", tienen una cisteína reactiva que permite la conjugación específica de sitio de un compuesto reactivo de tiol. Se hizo reaccionar tioFAB S-4497 con un exceso molar de 3 veces de LA-59 sobre tioFAB durante 1 hora en TRIS 50 mM pH 7,5, NaCl 150 mM a temperatura ambiente. El exceso de LA-59 se separó de AAC por diafiltración en PBS. El conjugado resultante, tioFAB S4497-40 MC-GGAFAGGG-(pipBOR) ("péptido del núcleo" divulgado como SEQ ID NO: 126) (Figura 27), se usó como un compuesto instrumental para identificar fracciones activas, con análisis LC-MS que detectó la escisión del enlazador.

Optimización de los enlazadores para una escisión eficaz por estafopaína B:

10

15

60

65

El producto intermedio enlazador-antibiótico LA-59, MC-GGAFAGGG-(pipBOR) ("péptido del núcleo" divulgado como 45 SEQ ID NO: 126), tiene restos de sustrato optimizados para las posiciones PI, P2 y P3. Usando los resultados de la exploración REPLi, se diseñaron y sintetizaron dos nuevos enlazadores incorporando una preferencia de resto por P4 (Figura 30). Se sintetizaron maleimido-propiónico-Leu-Ala-Phe-Ala-Ala ("péptido del núcleo" divulgado como SEQ ID NO: 136) y maleimido-propiónico-Leu-Ala-Phe-Gly-Ala ("péptido del núcleo" divulgado como SEQ ID NO: 135) usando síntesis en fase sólida. Isoleucina y leucina fueron los restos más frecuentes en P4 en la exploración REPLi 50 (sin tener en cuenta la glicina). Solo se eligió un resto, Leucina, para limitar el número de enlazadores sintetizados. Ala y Gly se alternaron en la posición P1 para examinar el efecto sobre la escisión. También se incluyó un resto en (xantilio, añadió cloruro de QSY®7 9-[2-[[4-[[(2,5-dioxo-1-pirrolidinil)oxi]carbonil]-1-Ala Se piperidinil]sulfonil]fenil]-3,6-bis(metilfenilamino) -NHS éster, N.º de Reg. CAS 304014-12-8, Life Technologies) al extremo C de ambos enlazadores para actuar como un sustituto de antibiótico (Figura 30). La incorporación de 55 QSY®7 permitió evaluar la capacidad de escisión de estos enlazadores sin consumir antibióticos costosos y laboriosos.

Los enlazadores experimentales mal-péptido-QSY7 se conjugaron con THIOFAB S4497 para evaluar la capacidad de escisión de estos enlazadores. Las conjugaciones se realizaron como se describe anteriormente. Los conjugados resultantes THIOFAB S4497 enlazador-QSY7 se evaluaron para determinar la capacidad de escisión por estafopaína B, estafopaína A y catepsina B humana a pH 7,2 (Tabla 5). Como la estafopaína B, la estafopaína A es una cisteína proteasa secretada de S. aureus de la familia de las proteasas de papaína. Es estructuralmente similar a la estafopaína B, pero tiene una especificidad de sustrato más amplia (Filipek, R., M. Rzychon, et al. (2003). The Journal of biological chemistry 278(42): 40959-40966). La Catepsina B, una cisteína proteasa lisosómica de mamífero, también es miembro de la familia de las endopeptidasas de papaína. Se cree que escinde los enlazadores de valina-citrulina utilizados en otros enlazadores de AAC descritos en esta patente.

Tabla 5. Escisión de enlazadores optimizados por estafopaínas y catepsina B humana

<u>l abla 5.</u> Escisión de enlazadores op	timizados por est			
		Estafopaína A	Estafopaína B	Catepsina B
MP-LAFGA-QSY7 ("péptido del núcleo" divulgado como SEQ ID NO: 135) (Figura 30)	Porcentaje de escisión a pH 7,2	38	100	100
	Producto de escisión	A-QSY7	A-QSY7	A-QSY7
MP-LAFAA-QSY7 ("péptido del núcleo" divulgado como SEQ ID NO: 136) (Figura 30)	Porcentaje de escisión a pH 7,2	23	100	100
	Producto de escisión	A-QSY7	A-QSY7	A-QSY7, QSY7
MP-LAFG-PABC-(piperazinoBOR) ("péptido del núcleo" divulgado como SEQ ID NO: 128) LA-104	Porcentaje de escisión a pH 5	100	100	100
	Porcentaje de escisión a pH 7,2	46	100	64
	Producto de escisión	piperazino- rifamicina	piperazino- rifamicina	

La Tabla 5 muestra los datos de la escisión de los enlazadores optimizados conjugados con tioFAB por la estafopaína A, estafopaína B y catepsina B. El enlazador-antibiótico final, MP-LAFG-piperazino-rifamicina ("péptido del núcleo" divulgado como SEQ ID NO: 128) se escinde eficazmente por las tres proteasas. La escisión por las estafopaínas da como resultado la liberación de rifamicina libre. La escisión por catepsina B libera Phe-Gly-piperazino-rifamicina (Ejemplo 26).

10 Diseño y conjugación de un enlazador escindible por estafopaína B que libera antibiótico libre:

De los ensayos de escisión de los enlazadores experimentales probados, se seleccionó mal-LAFGA ("péptido del núcleo" divulgado como SEQ ID NO: 135) para la fijación a antibiótico. Se requirió una optimización adicional de este enlazador para lograr la liberación libre de antibióticos tras la escisión proteolítica. Para conseguir esto, se reemplazó la Ala en P1' por p-aminobencilo (PAB) o p-aminobenciloxicarbonilo (PABC). Se añadió piperazinorifamicina al extremo C de este enlazador para completar los productos intermedios enlazador-antibiótico LA-88 MC-LAFG-PAB-(dimetilamino-3-pirroloBOR) ("péptido del núcleo" divulgado como SEQ ID NO: 128) y LA-104, MP-LAFG-PABC-(piperazinoBOR) ("péptido del núcleo" divulgado como SEQ ID NO: 128). Tras la escisión después de la Gly en la posición P1, los grupos PAB y PABC están diseñados para autoinmolarse, liberando antibiótico libre. LA-88 se conjugó para formar AAC-163 tio-S4497-v8-LCV205C-MC-LAFG-PAB-(dimetilamino-3-pirroloBOR) ("péptido del núcleo" divulgado como SEQ ID NO: 128) (Tabla 3). LA-104 se conjugó para formar AAC-193, AAC-215 y AAC-222. Se realizaron ensayos de escisión de AAC 193 con estafopaína A, estafopaína B y catepsina B a pH 7,2 y pH 5. Estos valores de pH se seleccionaron para imitar el plasma (pH 7,2) o el entorno del fagolisosoma (pH 5). La estafopaína B logró una escisión del 100 % a pH 5 y 7,2. La estafopaína A mostró una escisión del 100 % a pH 5 y una escisión del 64 % a pH 7,2.

25

30

35

15

20

La sustitución de PABC por Ala en el grupo P1' cambió la ubicación en la que la catepsina B escinde el enlazador. Tras la escisión por catepsina B, se liberó Phe-Gly-PABC-(piperazinoBOR). Como tratamiento terapéutico, la posible escisión de este enlazador por catepsina B probablemente se produciría en el compartimento lisosómico de los macrófagos. En estas circunstancias, otras proteasas, incluyendo estafopaína B, pueden procesar adicionalmente FG-PABC-piperazino-rifamicina para liberar antibiótico libre.

El producto intermedio enlazador-antibiótico, LA-104 MP-LAFG-PABC-(piperazinoBOR) ("péptido del núcleo" divulgado como SEQ ID NO: 128) se conjugó con tioMAB S4497 para evaluar la eficacia *in vitro* e *in vivo*de los AAC resultantes AAC-193, AAC-215, AAC-222. También se prepararon dos conjugados de control conjugando LA-104 con tioMAB anti-Her2 y tioMAB anti-gD, ambos controles de isotipo. El conjugado tioMAB 4497 MP-LAFG-PABC-piperazino-rifamicina ("péptido del núcleo" divulgado como SEQ ID NO: 128) AAC-215, enlazado a la cadena ligera tenía una relación fármaco/anticuerpo (DAR) de 1,6, al igual que el conjugado de control tioMAB anti-gD. El conjugado tioMAB anti-Her2 mal-LAFG-PABC-piperazino-rifamicina ("péptido del núcleo" divulgado como SEQ ID NO: 128) tenía una DAR de 1,5.

El sobrenadante de cultivo de S. *aureus* se exploró usando una biblioteca de péptidos de FRET para identificar sustratos fácilmente escindidos por proteasas secretadas. Los resultados de esta exploración mostraron que la inmensa mayoría de la actividad proteasa medida puede atribuirse a una cisteína proteasa secretada *de S. aureus*, estafopaína B. Los enlazadores peptídicos diseñados para la escisión por estafopaína B se optimizaron y se identificó un sustrato escindido de manera eficaz que liberaba antibiótico libre. El enlazador resultante también se escinde por la proteasa de S. *aureus* estafopaína A y por la proteasa humana catepsina B, ambas también cisteína proteasas.

Cuando se conjuga con un anticuerpo que se une a S. *aureus*, el AAC resultante muestra eficacia tanto *in vitro* como *in vivo*. Las endopeptidasas endógenas de MRSA proporcionan un mecanismo para actuar de forma selectiva contra las infecciones por MRSA y liberar la carga útil de una manera específica de la enfermedad. La capacidad de este enlazador para ser escindido por proteasas secretadas *de S. aureus* permite actuar de forma selectiva contra MRSA presente tanto en neutrófilos humanos como extracelularmente en plasma/tejido del hospedador. Esta doble actuación de forma selectiva puede permitir la liberación de una alta concentración de antibiótico en los sitios de infección tanto intra como extracelulares.

La expresión de estafopaína A y B está regulada positivamente en los neutrófilos humanos y se cree que son factores de virulencia importantes (Burlak, C., et al. (2007) Cellular microbiology 9 (5): 1172-1190), lo que los convierte en dianas atractivas para la liberación de antibiótico mediada por proteasas. La catepsina B humana también escinde el enlazador, presentando una vía alternativa de liberación. Es probable que la eficacia observada del AAC sea el resultado de múltiples proteasas, tanto de S. aureus como del hospedador, implicadas en la liberación de antibióticos o restos antibióticos. Un enlazador estable en suero que se escinde por varias proteasas proporciona un mecanismo de liberación que puede superar las mutaciones de resistencia de la bacteria.

20

25

45

MÉTODOS DE TRATAMIENTO Y PREVENCIÓN DE INFECCIONES CON CONJUGADOS ANTICUERPO-ANTIBIÓTICO

Los AAC de la invención son útiles como agentes antimicrobianos eficaces contra varias bacterias Gram positivas humanas y veterinarias, incluyendo los estafilococos, por ejemplo *S. aureus*, *S. saprophyticus* y *S. simulans*; Listeria, por ejemplo, *Listeria monocytogenes;* Enterococos, por ejemplo *E. faecalis*; Estreptococos, por ejemplo *S. pneumoniae*; Clostridium, por ejemplo *C. difficile*.

La bacteriemia persistente puede ser el resultado de la internalización en las células hospedadoras. Si bien no se entiende por completo, los patógenos internalizados son capaces de escapar del reconocimiento inmunitario al sobrevivir dentro de las células hospedadoras. Dichos organismos incluyen S. aureus, Salmonela (por ejemplo, S. typi, S. choreraesuis y S. enteritidis), Legionella (p.ej, L. pneumophila), Listeria (p.ej, L. monocytogenes), Brucella (p.ej, B. abortus, B. melitensis, B. suis), Chlamydia (C. pneumoniea, C. trachomati), Rickettsia spp., Shigella (e.g., S. flexneri), y mycobacteria.

Después de la entrada en el torrente sanguíneo, S. aureus puede causar infección metastásica en casi cualquier órgano. Las infecciones secundarias se producen en aproximadamente un tercio de los casos antes del inicio de la terapia (Fowler et al., (2003) Arch. Intern. Med. 163: 2066-2072), e incluso en el 10 % de los pacientes después del inicio de la terapia (Khatib et al., (2006) Scand. J. Infect. Dis., 38:7-14). Las características distintivas de las infecciones son grandes reservorios de pus, destrucción de tejidos y formación de abcesos (todos los cuales contienen grandes cantidades de neutrófilos). Si bien solo aproximadamente el 5 % de los pacientes desarrollan complicaciones si la bacteriemia se extingue en 48 horas, los niveles se elevan al 40 %, si la bacteriemia persiste más de tres días.

Mientras S. aureus generalmente se considera un patógeno extracelular que secreta toxinas, existe evidencia de que puede sobrevivir dentro de las células endoteliales, queratinocitos, fibroblastos y osteoclastos (Alexander et al, (2001) Appl. Microbiol. Biotechnol. 56:361-366; Garzoni et al, (2009) Trends Microbiol. 17:59-65). Los neutrófilos y los macrófagos son componentes clave de la respuesta inmunitaria innata del hospedador a la infección bacteriana. Estas células internalizan S. aureus por fagocitosis, que se puede potenciar por anticuerpos, complemento, o lectinas del hospedador tal como la proteína de unión a manosa, que pueden unirse simultáneamente a patógenos y neutrófilos, macrófagos y otros fagocitos profesionales. Como se ha mencionado previamente, S. aureus no solo sobrevive en el entorno lisosómico, si no que, en realidad, puede explotarlo como un mecanismo para desarrollar persistencia en el hospedador.

Los conjugados anticuerpo-antibiótico (AAC) de la invención tienen ventajas terapéuticas significativas para el tratamiento de patógenos intracelulares, incluidos aquellos que residen en fagolisosomas. En una realización, el patógeno se internaliza en células leucocitarias y el componente intracelular es un fagolisosoma. En un AAC intacto, la región variable del anticuerpo se une a un antígeno de la superficie celular en la bacteria (opsonización). Sin estar limitado por ninguna teoría, en un mecanismo, por el componente de anticuerpo del AAC que se une a la superficie celular bacteriana, los fagocitos son atraídos por la bacteria. La porción Fc del anticuerpo se une a un receptor de Fc en el fagocito, facilitando la fagocitosis. Después de que el complejo AAC-bacteria sea fagocitado, al fusionarse con

el lisosoma, el enlazador de AAC se escinde por exposición a enzimas del fagolisosoma, liberando un antibiótico activo. Debido al espacio confinado y la concentración local de Abx relativamente alta (aproximadamente 10⁴ por bacteria), el resultado es que el fagolisosoma ya no es respalda la supervivencia del patógeno intracelular (Figura 5). Debido a que el AAC es esencialmente un profármaco inactivo, el índice terapéutico del antibiótico puede extenderse con respecto a la forma libre (no conjugada). El anticuerpo proporciona una actuación selectiva específica del patógeno, mientras que el enlazador escindible se escinde en condiciones específicas de la ubicación intracelular del patógeno. El efecto puede ser tanto directamente sobre el patógeno opsonizado como sobre otros patógenos que se localizan conjuntamente en el fagolisosoma. En un aspecto específico, el patógeno es *S. aureus*.

La tolerancia a los antibióticos es la capacidad de un patógeno causante de enfermedad para resistir la destrucción por antibióticos y otros agentes antimicrobianos y es mecánicamente diferente de la resistencia a múltiples fármacos (Lewis K (2007). "Persister cells, dormancy and infectious disease". Nature Reviews Microbiology 5 (1): 48-56. doi:10.1038/nrmicro1557). En cambio, esta forma de tolerancia está causada por una pequeña subpoblación de células microbianas llamadas persistentes (Bigger JW (14 de octubre de 1944). "Treatment of staphylococcal infections with penicillin by intermittent sterilization". Lancet 244 (6320): 497-500). Estas células no son resistentes a múltiples fármacos en el sentido clásico, sino que, en cambio, son células latentes que son tolerantes al tratamiento con antibióticos que pueden destruir a sus hermanos genéticamente idénticos. Esta tolerancia a los antibióticos está inducida por un estado fisiológico de división no extremadamente lento. Cuando el tratamiento antimicrobiano no puede erradicar estas células persistentes, se convierten en un reservorio de infecciones crónicas recurrentes. Los conjugados anticuerpo-antibiótico de la invención poseen una propiedad exclusiva para destruir estas células persistentes y suprimir la aparición de poblaciones bacterianas tolerantes a múltiples fármacos.

En otra realización, los AAC de la invención pueden usarse para tratar la infección independientemente del compartimento intracelular en el que sobrevive el patógeno.

25

30

35

40

45

50

En otra realización, los AAC también podrían usarse para actuar de forma selectiva contra las bacterias en forma de plancton o biopelícula (ejemplo: *S. aureus, K. pneumonia, E. coli, A. baumannii, P. aeruginosa* y *Enterobacteriaceae*) por opsonización mediada por anticuerpos, conduciendo a la internalización por fagocitos profesionales. Cuando el fagosoma se fusiona con un lisosoma, se liberarán concentraciones suficientemente altas de antibiótico libre del AAC en el ambiente ácido o proteolítico del fagolisosoma para destruir el patógeno fagocitado.

Los métodos para tratar la infección con conjugados anticuerpo-antibiótico (AAC) de la invención incluyen tratar infecciones pulmonares bacterianas, tales como la neumonía o infecciones de tuberculosis por S. aureus. infecciones oculares bacterianas, tal como el tracoma y la conjuntivitis, infecciones de corazón, cerebrales o cutáneas, infecciones del tracto gastrointestinal, tales como la diarrea de los viajeros, osteomielitis, colitis ulcerosa, síndrome del intestino irritable (SII), Enfermedad de Crohn y EII (enfermedad inflamatoria intestinal) en general, meningitis bacteriana y abscesos en cualquier órgano, tal como músculo, hígado, meninges o pulmón. Las infecciones bacterianas pueden estar en otras partes del cuerpo como el tracto urinario, el torrente sanguíneo, una herida o un sitio de inserción de catéter. Los AAC de la invención son útiles para infecciones difíciles de tratar que implican biopelículas, implantes o sitios santuarios (por ejemplo, osteomielitis e infecciones de prótesis articulares) e infecciones de alta mortalidad como neumonía y bacteremia adquirida en el hospital. Los grupos de pacientes vulnerables que pueden tratarse para prevenir la infección por Staphylococcus aureus incluyen pacientes con hemodiálisis, pacientes inmunocomprometidos, pacientes en unidades de cuidados intensivos y determinados pacientes quirúrgicos. En otro aspecto, la invención proporciona un método para destruir, tratar o prevenir una infección microbiana en un animal, preferentemente un mamífero y lo más preferentemente, un ser humano, que incluye administrar al animal un AAC o formulación farmacéutica de un AAC de la invención. La invención presenta además el tratamiento o la prevención de enfermedades asociadas con o que de manera oportunista son el resultado de tales infecciones microbianas. Dichos métodos de tratamiento o prevención pueden incluir la administración oral, tópica, intravenosa, intramuscular o subcutánea de una composición de la invención. Por ejemplo, antes de la cirugía o la inserción de un catéter IV, en cuidados de UCI, en medicina de trasplante, con o después de la quimioterapia contra el cáncer u otras actividades que conlleven un alto riesgo de infección, los AAC de la invención puede administrarse para prevenir la aparición o propagación de la infección.

La infección bacteriana puede estar causada por una bacteria con una forma activa e inactiva, y el AAC se administra en una cantidad y durante un tiempo suficiente para tratar tanto a la forma activa como la inactiva, latente de la infección bacteriana, cuya duración es más larga de lo necesario para tratar la forma activa de la infección bacteriana.

El análisis de varias bacterias Gram+ encontró WTA beta expresada en todos los *S. aureus*, incluidas las cepas MRSA y MSSA, así como cepas de estafilococos no aureus tales como *S. saprophyticus* y *S. simulans*. WTA alfa (Alfa-GLcNAc ribitol WTA) está presente en la mayoría, pero no todos los *S. aureus*, y también están presentes en *Listeria monocytogenes*. WTA no está presente en bacterias Gram. Por lo tanto, un aspecto de la invención es un método para tratar a un paciente infectado con *S. aureus* o *S. saprophyticus* o *S. simulans* mediante la administración de una cantidad terapéuticamente eficaz de un AAC anti-WTA beta de la invención. Otro aspecto de la invención es un método para tratar a un paciente infectado con *S. aureus* o *Listeria monocytogenes* mediante la administración de una cantidad terapéuticamente eficaz de un AAC anti-WTA alfa de la invención. La invención

también contempla un método para prevenir infecciones por *S. aureus* o *S. saprophyticus* o *S. simulans* mediante la administración de una cantidad terapéuticamente eficaz de un AAC anti-WTA beta de la invención en situaciones hospitalarias tales como cirugía, paciente quemado y trasplante de órganos.

El paciente que necesita tratamiento para una infección bacteriana, según lo determinado por un médico experto en la materia, puede haber sido ya diagnosticado, aunque no necesariamente, con el tipo de bacteria con la que está infectado. Debido a que un paciente con una infección bacteriana puede empeorar muy rápidamente, en cuestión de horas, al paciente ingresado en el hospital se le pueden administrar los AAC anti-WTA de la invención junto con uno o más Abx de tratamiento de referencia tal como la vancomicina. Cuando los resultados de diagnóstico estén 10 disponibles e indiquen la presencia de, por ejemplo, S. aureus en la infección, el paciente puede continuar con el tratamiento con el AAC anti-WTA. Por lo tanto, en una realización del método de tratamiento de una infección bacteriana o específicamente una infección por S. aureus, al paciente se le administra una cantidad terapéuticamente eficaz de un AAC anti-WTA beta. En los métodos de tratamiento o prevención de la presente invención, un AAC de la invención puede administrarse como el único agente terapéutico o en combinación con 15 otros agentes tales como los descritos a continuación. Los AAC de la invención muestran superioridad a la vancomicina en el tratamiento de MRSA en modelos preclínicos. La comparación de AAC con SOC se puede medir, por ejemplo, mediante una tasa de reducción de la mortalidad. Se evaluaría la capacidad de respuesta del paciente al tratamiento con AAC mediante varios factores medibles. Ejemplos de signos y síntomas que los médicos podrían usar para evaluar la mejora en sus pacientes incluyen los siguientes: normalización del recuento de glóbulos blancos 20 si está elevado en el momento del diagnóstico, normalización de la temperatura corporal si está elevada (fiebre) al momento del diagnóstico, aclaramiento de hemocultivos, mejora visual en la herida, incluido menos eritema y drenaje de pus, reducción en los requisitos de respirador, tales como requerir menos oxígeno o una tasa reducida de ventilación en un paciente que está ventilado, salir completamente del respirador si el paciente está ventilado en el momento del diagnóstico, uso de menos medicamentos para mantener una presión sanguínea estable si estos 25 medicamentos fueran necesarios al momento del diagnóstico, normalización de anormalidades de laboratorio que sugieren fallo del órgano terminal, tal como creatinina elevada o pruebas de función hepática si eran anormales en el momento del diagnóstico, y mejoría en las imágenes radiológicas (por ejemplo, radiografía de tórax que previamente sugirió una neumonía que mostraba resolución). En un paciente en la UCI, estos factores podrían medirse al menos diariamente. La fiebre se monitoriza de cerca, al igual que el recuento de glóbulos blancos, incluidos los recuentos 30 absolutos de neutrófilos, así como la evidencia de que se ha resuelto un "desplazamiento a la izquierda" (aparición de blastos que indican una mayor producción de neutrófilos en respuesta a una infección activa).

En el contexto de los presentes métodos de tratamiento de la invención, un paciente con una infección bacteriana se considera tratado si hay una mejora significativa medible según lo evaluado por el médico experto en la materia, en al menos dos o más de los factores anteriores en comparación con los valores, signos o síntomas antes o al inicio del tratamiento o al momento del diagnóstico. En algunas realizaciones, hay una mejora medible en 3, 4, 5, 6 o más de los factores anteriormente mencionados. En algunas realizaciones, la mejora en los factores medidos es de al menos un 50 %, 60 %, 70 %, 80 %, 90 %, 95 % o 100 % en comparación con los valores antes del tratamiento. Generalmente, un paciente puede considerarse completamente tratado de la infección bacteriana (por ejemplo, infección por *S. aureus*) si las mejoras medibles del paciente incluyen lo siguiente: i) repetir cultivos de sangre o tejidos (generalmente varios) que no producen la bacteria que se identificó originalmente; ii) la fiebre está normalizada; iii) los WBC (glóbulos blancos) están normalizado; y iv) la evidencia de fallo del órgano terminal (pulmones, hígado, riñones, colapso vascular) se ha resuelto total o parcialmente debido a las comorbilidades preexistentes que tenía el paciente.

Dosificación

35

40

45

50

55

60

65

En cualquiera de los aspectos anteriores, en el tratamiento de un paciente infectado, la dosis de un AAC es normalmente de aproximadamente 0,001 a 1000 mg/kg/día. En una realización, el paciente con una infección bacteriana se trata a una dosis de AAC en el intervalo de aproximadamente 1 mg/kg a aproximadamente 100 mg/kg, generalmente de aproximadamente 5 mg/kg a aproximadamente 90 mg/kg, más específicamente de 10 mg/kg a 50 mg/kg. El AAC se puede administrar diariamente (por ejemplo, una dosis única de 5 a 50 mg/kg/día) o con menos frecuencia (por ejemplo, una dosis única de 5, 12,5 o 25 mg/kg/semana). Una dosis puede dividirse en 2 días, por ejemplo, 25 mg/kg en un día y 25 mg/kg al día siguiente. Al paciente se le puede administrar una dosis una vez cada 3 días (q3D), una vez por semana a cada dos semanas (qOW), por una duración de 1-8 semanas. En una realización, al paciente se le administra un AAC de la invención por vía intravenosa una vez por semana durante 2-6 semanas con tratamiento de referencia (SOC) para tratar la infección bacteriana, tal como la infección por estafilococo A. La duración del tratamiento dependería de la afección del paciente o la extensión de la infección, por ejemplo, una duración de 2 semanas para bacteriemia no complicada, o 6 semanas para bacteriemia con endocarditis.

En una realización, se administra un AAC a una dosis inicial de 2,5 a 100 mg/kg durante uno a siete días consecutivos, seguido de una dosis de mantenimiento de 0,005 a 10 mg/kg una vez cada uno a siete días durante un mes.

Vía de administración

Para tratar las infecciones bacterianas, los AAC de la invención pueden administrarse a cualquiera de las dosificaciones anteriores por vía intravenosa (iv) o subcutánea. En una realización, el AAC de WTA se administra por vía intravenosa. En una realización específica, el AAC de WTA administrado por vía i.v. es un AAC de WTA-beta, más específicamente, en donde el anticuerpo de WTA-beta es uno seleccionado del grupo de Ac con secuencias de aminoácidos como se describe en la Figura 14, Figuras 15A, Figura 15B, Figura 16A y Figura 16B.

Terapia de combinación

15

55

65

10 Un AAC puede administrarse junto con uno o más agentes adicionales, por ejemplo, segundos agentes terapéuticos o profilácticos según corresponda según lo determine el médico que trata al paciente.

En una realización, el segundo antibiótico administrado en combinación con el compuesto conjugado anticuerpoantibiótico de la invención se selecciona de las clases estructurales: (i) aminoglucósidos; (ii) betalactámicos; (iii) macrólidos/péptidos cíclicos; (iv) tetraciclinas; (v) fluoroquinolinas/fluoroquinolonas; (vi) y oxazolidinonas. Véanse: Shaw, K. y Barbachyn, M. (2011) Ann. N.Y. Acad. Sci. 1241:48-70; Sutcliffe, J. (2011) Ann. N.Y. Acad. Sci. 1241:122-152.

En una realización, el segundo antibiótico administrado en combinación con el compuesto conjugado anticuerpoantibiótico de la invención se selecciona de clindamicina, novobiocina, retapamulina, daptomicina, GSK-2140944, CG-400549, sitafloxacino, teicoplanina, triclosán, naftiridona, radezolida, doxorrubicina, ampicilina, vancomicina, imipenem, doripenem, gemcitabina, dalbavancina y azitromicina.

Ejemplos adicionales de estos agentes terapéuticos o profilácticos adicionales son agentes antiinflamatorios (por 25 ejemplo, medicamentos antiinflamatorios no esteroideos (AINE); por ejemplo, detoprofeno, diclofenaco, diflunisal, etodolaco, fenoprofeno, flurbiprofeno, ibuprofeno, indometacina, ketoprofeno, meclofenamato, ácido mefenámico, meloxicam, nabumeona, naproxeno sódico, oxaprozina, piroxicam, sulindaco, tolmetina, celecoxib, rofecoxib, aspirina, salicilato de colina, salsalato y salicilato de sodio y magnesio) y esteroides (por ejemplo, cortisona, dexametasona, hidrocortisona, metilprednisolona, prednisolona, triamcinolona)), agentes antibacterianos 30 (por ejemplo, azitromicina, claritromicina, eritromicina, gatifloxacino, levofloxacino, amoxicilina, metronidazol, penicilina G, penicilina V, meticilina, oxacilina, cloxacilina, dicloxacilina, nafcilina, ampicilina, carbenicilina, ticarcilina, mezlocilina, piperacilina, azlocilina, temocilina, cefalotina, cefapirina, cefradina, cefaloridina, cefazolina, cefamandol, cefuroxima, cefalexina, cefprozilo, cefaclor, loracarbef, cefoxitina, cefmatozol, cefotaxima, ceftizoxima, ceftriaxona, cefoperazona, ceftazidima, cefixima, cefpodoxima, ceftibuteno, cefdinir, cefpiroma, cefepima, BAL5788, BAL9141, imipenem, ertapenem, meropenem, astreonam, clavulanato, sulbactam, tazobactam, estreptomicina, neomicina, 35 kanamicina, paromicina, gentamicina, tobramicina, amikacina, netilmicina, espectinomicina, sisomicina, dibecalina, isepamicina, tetraciclina, clortetraciclina, desmeclociclina, minociclina, oxitetraciclina, metaciclina, doxiciclina, telitromicina, ABT-773, lincomicina, clindamicina, vancomicina, oritavancina, dalbavancina, teicoplanina, quinupristina y dalfopristina, sulfanilamida, ácido paraaminobenzoico, sulfadiazina, sulfisoxazol, sulfametoxazol, 40 sulfatalidina, linezolida, ácido nalidíxico, ácido oxolínico, norfloxacino, perfloxacina, enoxacino, ofloxacino, temafloxacino, lomefloxacino, fleroxacino, grepafloxacino, esparfloxacino, trovafloxacino, ciprofloxacino, clinafloxacino, moxifloxacino, gemifloxacino, sitafloxacino, daptomicina, garenoxacina, ramoplanina, faropenem, polimixina, tigeciclina, AZD2563 o trimetoprima), anticuerpos antibacterianos, incluidos anticuerpos contra el mismo o diferente antígeno del Ag dirigido de AAC, inhibidores de la agregación plaquetaria (por ejemplo, abciximab, 45 aspirina, cilostazol, clopidogrel, dipiridamol, eptifibatida, ticlopidina o tirofibán), anticoagulantes (por ejemplo, dalteparina, danaparoide, enoxaparina, heparina, tinzaparina o warfarina), antipiréticos (por ejemplo, paracetamol) o agentes hipolipemiantes (por ejemplo, colestiramina, colestipol, ácido nicotínico, gemfibrozilo, probucol, ezetimiba, o estatinas tales como atorvastatina, rosuvastatina, lovastatina simvastatina, pravastatina, cerivastatina y fluvastatina). En una realización, el AAC de la invención se administra en combinación con el tratamiento de referencia (SOC) 50 para S. aureus (incluyendo cepas resistentes a meticilina y sensibles a meticilina). El MSSA habitualmente se trata con nafcilina u oxacilina y el MRSA generalmente se trata con vancomicina o cefazolina.

Estos agentes adicionales pueden administrarse dentro de los 14 días, 7 días, 1 día, 12 horas, o 1 hora de administración de un AAC, o de manera simultánea con el mismo. Los agentes terapéuticos adicionales pueden estar presentes en las mismas o diferentes composiciones farmacéuticas que un AAC. Cuando están presente en diferentes composiciones farmacéuticas, pueden usarse diferentes vías de administración. Por ejemplo, un AAC puede administrarse por vía intravenosa o subcutánea, mientras que un segundo agente puede administrarse por vía oral.

60 FORMULACIONES FARMACÉUTICAS

La presente invención también proporciona composiciones farmacéuticas que contienen el AAC y métodos para tratar una infección bacteriana usando las composiciones farmacéuticas que contienen AAC. Dichas composiciones pueden comprender además excipientes adecuados, tales como excipientes (vehículos) farmacéuticamente aceptables, incluidos tampones, ácidos, bases, azúcares, diluyentes, sustancias de deslizamiento, conservantes y similares, que son bien conocidos en la técnica y se describen en el presente documento. Los presentes métodos y

composiciones se pueden usar solos o en combinación con otros métodos y/o agentes convencionales para tratar enfermedades infecciosas. En un aspecto, la invención proporciona además formulaciones farmacéuticas que comprenden al menos un anticuerpo de la invención y/o al menos un conjugado anticuerpo-antibiótico (AAC) del mismo. En algunas realizaciones, una formulación farmacéutica comprende 1) un anticuerpo de la invención y/o un AAC del mismo, y 2) un vehículo farmacéuticamente aceptable. En algunas realizaciones, una formulación farmacéutica comprende 1) un anticuerpo de la invención y/o un AAC del mismo, y opcionalmente, 2) al menos un agente terapéutico adicional.

Las formulaciones farmacéuticas que comprenden un anticuerpo o AAC de la invención se preparan para almacenamiento mezclando el anticuerpo o AAC que tiene el grado deseado de pureza con vehículos, excipientes o estabilizadores fisiológicamente aceptables opcionales ("Remington's Pharmaceutical Sciences" 16ª edición, Osol, A. Ed. (1980)) en forma de soluciones acuosas o liofilizadas u otras formulaciones secas. Los vehículos, excipientes y/o estabilizantes aceptables no son tóxicos para los receptores a las dosis y concentraciones empleadas e incluyen tampones tales como fosfato, citrato, histidina y otros ácidos orgánicos; antioxidantes, incluyendo ácido ascórbico y metionina; conservantes (tales como cloruro de octadecildimetilbencilamonio; cloruro de hexametonio; cloruro de benzalconio, cloruro de bencetonio); fenol, alcohol butílico o bencílico; alquil parabenos, tales como metil o propil parabeno; catecol; resorcinol; ciclohexanol; 3-pentanol; y m-cresol); polipéptidos de bajo peso molecular (menos de aproximadamente 10 restos); proteínas, tales como seroalbúmina, gelatina o inmunoglobulinas; polímeros hidrófilos tales como polivinilpirrolidona; aminoácidos tales como glicina, glutamina, asparagina, histidina, arginina o lisina; monosacáridos, disacáridos y otros hidratos de carbono incluyendo glucosa, manosa o dextrinas; agentes quelantes tales como EDTA; azúcares tales como sacarosa, manitol, trehalosa o sorbitol; contraiones formadores de sales tales como sodio; complejos metálicos (por ejemplo complejos de Zn-proteína); y/o tensioactivos no iónicos, tales como TWEEN™, PLURONICS™ o polietilenglicol (PEG). Las formulaciones farmacéuticas que se van a usar para la administración in vivo son, generalmente, estériles, esto se lleva a cabo fácilmente mediante filtración a través de membranas de filtración estériles.

10

15

20

25

30

55

Los principios activos pueden inmovilizarse en microcápsulas preparadas, por ejemplo, por técnicas de coacervación o por polimerización interfacial, por ejemplo, microcápsulas de hidroximetilcelulosa o gelatina y microcápsulas de poli-(metilmetacrilato), respectivamente, en sistemas de suministro de fármacos coloidales (por ejemplo, liposomas, microesferas de albúmina, microemulsiones, nanopartículas y nanocápsulas) o en macroemulsiones. Tales técnicas se desvelan en Remington's Pharmaceutical Sciences 16ª edición, Osol, A. Ed. (1980).

Se pueden preparar preparaciones de liberación sostenida. Los ejemplos adecuados de preparaciones de liberación sostenida incluyen matrices semipermeables de polímeros hidrófobos sólidos que contienen el anticuerpo o AAC de la invención, cuyas matrices están en forma de artículos con forma, por ejemplo, películas o microcápsulas. 35 Ejemplos de matrices de liberación sostenida incluyen poliésteres, hidrogeles (por ejemplo, poli(2-hidroxietil-metacrilato) o poli(vinilalcohol)), polilactidas (patente de EE.UU. n.º 3.773.919), copolímeros de ácido L-glutámico y y-etil-L-glutamato, etilvinilacetato no degradable, copolímeros de ácido láctico-ácido glicólico degradables, tales como las LUPRON DEPOT™ (microesferas inyectables compuestas por un copolímero de ácido láctico-ácido 40 glicólico y acetato de leuprolida) y poli-ácido D-(-)-3-hidroxibutírico. Mientras que los polímeros tales como etilvinilacetato y ácido láctico-ácido glicólico permiten la liberación de moléculas durante más de 100 días, determinados hidrogeles liberan proteínas durante periodos de tiempo más cortos. Cuando los anticuerpos encapsulados o AAC permanecen en el cuerpo durante mucho tiempo, pueden desnaturalizarse o agregarse como resultado de la exposición a la humedad a 37 °C, dando como resultado una pérdida de actividad biológica y 45 posibles cambios en la inmunogenicidad. Se pueden crear estrategias racionales para la estabilización según el mecanismo implicado. Por ejemplo, si se descubre que el mecanismo de agregación es formación de enlaces S-S intermoleculares a través del intercambio tio-disulfuro, la estabilización se puede lograr modificando restos sulfhidrilo, liofilizando a partir de soluciones ácidas, controlando el contenido de humedad, usando aditivos apropiados y desarrollando composiciones de matrices de polímeros específicas. 50

Se puede formular un anticuerpo en cualquier forma adecuada para la administración a una célula/tejido diana. Por ejemplo, los anticuerpos pueden formularse como liposomas, una pequeña vesícula compuesta por varios tipos de lípidos, fosfolípidos y/o tensioactivos que son útiles para suministrar un fármaco a un mamífero. Los componentes del liposoma habitualmente están dispuestos en una formación de bicapa, similar a la disposición lipídica de las membranas biológicas. Los liposomas que contienen el anticuerpo se preparan por métodos conocidos en la técnica, tal como se describe en Epstein et al., (1985) Proc. Natl. Acad. Sci. USA 82:3688; Hwang et al., (1980) Proc. Natl Acad. Sci. USA 77:4030; documento US 4485045; documento US 4544545; documento WO 97/38731; documento US 5013556.

Se pueden generar liposomas particularmente útiles mediante el método de evaporación de fase inversa con una composición lipídica que comprende fosfatidicolina, colesterol y fosfatidiletanolamina derivatizada con PEG (PEG-PE). Los liposomas se extruyen a través de filtros de tamaño de poro definido para producir liposomas con el diámetro deseado. Pueden conjugarse fragmentos Fab' del anticuerpo de la presente invención con los liposomas como se describe en Martin et al., (1982) J. Biol. Chem. 257:286-288) a través de una reacción de intercambio de disulfuro. Un agente quimioterapéutico está opcionalmente contenido dentro del liposoma (Gabizon et al., (1989) J. National Cancer Inst. 81(19):1484).

MÉTODOS Y COMPOSICIONES PARA DIAGNÓSTICOS Y DETECCIÓN

20

25

30

35

40

45

50

55

60

65

En determinadas realizaciones, cualquiera de los anticuerpos proporcionados en el presente documento es útil para detectar la presencia de MRSA en una muestra biológica. El término "detectar", como se usa en el presente documento, abarca la detección cuantitativa o cualitativa. Una "muestra biológica" comprende, por ejemplo, sangre, suero, plasma, tejido, esputo, aspirado, hisopo, etc.

En una realización, se proporciona un anticuerpo anti-WTA para su uso en un método de diagnóstico o detección.

En un aspecto adicional, se proporciona un método para detectar la presencia de WTA en una muestra biológica. En determinadas realizaciones, el método comprende poner en contacto la muestra biológica con un anticuerpo anti-WTA como se describe en el presente documento en condiciones permisivas para la unión del anticuerpo anti-WTA a WTA, y detectar si se forma un complejo entre el anticuerpo anti-WTA y WTA en la muestra biológica. Dicho método puede ser un método *in vitro* o *in vivo*. En una realización, se usa un anticuerpo anti-MRSA para seleccionar sujetos elegibles para la terapia con un anticuerpo anti-MRSA, por ejemplo, donde MRSA es un biomarcador para la selección de pacientes.

En una realización a modo de ejemplo, se usa un anticuerpo anti-WTA *in vivo* para detectar, por ejemplo, por obtención de imágenes *in vivo*, una infección por MRSA positiva en un sujeto, por ejemplo, para fines de diagnóstico, pronóstico o tratamiento de estadificación de una infección, para determinar el curso apropiado de la terapia, o monitorizar la respuesta de la infección a la terapia. Un método conocido en la técnica para la detección *in vivo* es la tomografía por emisión de inmunopositrones (inmuno-PET), como se describe, por ejemplo, en van Dongen et al., (2007) The Oncologist 12:1379-1389 y Verel et al., (2003) J. Nucl. Med. 44:1271-1281. En dichas realizaciones, se proporciona un método para detectar una infección por estafilococos positiva en un sujeto, comprendiendo, el método, administrar un anticuerpo anti-estafiloco marcado a un sujeto que tiene o se sospecha que tiene una infección por estafilococo positiva, y detectar el anticuerpo antiestafilococo marcado en el sujeto, en donde la detección del anticuerpo antiestafilococo marcado indica una infección por estafilococo positiva en el sujeto. En determinadas de estas realizaciones, el anticuerpo antiestafilococo marcado comprende un anticuerpo antiestafilococo conjugado con un emisor de positrones, tal como ⁶⁸Ga, ¹⁸F, ⁶⁴Cu, ⁸⁶Y, ⁷⁶Br, ⁸⁹Zr e ¹²⁴I. En una realización particular, el emisor de positrones es ⁸⁹Zr.

En realizaciones adicionales, un método de diagnóstico o detección comprende poner en contacto un primer anticuerpo antiestafilococo inmovilizado en un sustrato con una muestra biológica para analizar la presencia de estafilococos, exponiendo el sustrato a un segundo anticuerpo antiestafilococo y detectando si el segundo anticuerpo antiestafilococo está unido a un complejo entre el primer anticuerpo antiestafilococo y estafilococos en la muestra biológica. Un sustrato puede ser cualquier medio de soporte, por ejemplo, vidrio, metal, cerámica, perlas poliméricas, portaobjetos, chips y otros sustratos. En determinadas realizaciones, una muestra biológica comprende una célula o un tejido (p.ej., material de biopsia, incluyendo tejido colorrectal canceroso o potencialmente canceroso, del endometrio, pancreático u ovárico). En determinadas realizaciones, el primer o segundo anticuerpo antiestafilococo es cualquiera de los anticuerpos descritos en el presente documento. En dichas realizaciones, el segundo anticuerpo anti-WTA puede ser los anticuerpos anti-WTA S4497, S4462, S6978, S4487, o anticuerpos derivados de ellos como se describe en el presente documento.

Los trastornos a modo de ejemplo que pueden diagnosticarse o detectarse de acuerdo con cualquiera de las realizaciones anteriores incluyen infección positiva por MRSA, utilizando pruebas como la inmunohistoquímica (IHC, por sus siglas en inglés) o hibridación in situ (ISH, por sus siglas en inglés). En algunas realizaciones, una infección por estafilococo positiva es una infección que expresa estafilococos de acuerdo con un ensayo de PCR de transcriptasa inversa (RT-PCR) que detecta el ARNm de estafilococos. En algunas realizaciones, la RT-PCR es RT-PCR cuantitativa (Francois P y Schrenzel J (2008). "Rapid Diagnosis and Typing of Staphylococcus aureus". Staphylococcus: Molecular Genetics. Caister Academic Press; Mackay IM, ed. (2007)) y PCR en tiempo real ("Real-Time PCR in Microbiology: From Diagnosis to Characterization. Caister Academic Press).

En determinadas realizaciones, se proporcionan anticuerpos anti-ácido teicoico de pared (WTA) marcados. Los marcadores incluyen, pero sin limitación, marcadores o restos que se detectan directamente (tal como marcadores fluorescentes, cromofóricos, de densidad de electrones, quimioluminiscentes y radiactivos), así como restos, tales como enzimas o ligandos, que se detectan indirectamente, por ejemplo, mediante una reacción enzimática o interacción molecular. Los marcadores a modo de ejemplo incluyen, pero sin limitación, los radioisótopos ³²P, ¹⁴C, ¹²⁵I, ³H e ¹³¹I, fluoróforos tales como quelatos de tierras raras o fluoresceína y sus derivados, rodamina y sus derivados, dansilo, umbeliferona, luceriferasas, por ejemplo, luciferasa de luciérnaga y luciferasa bacteriana (documento US 4737456), luciferina, 2,3-dihidroftalacinadionas, peroxidasa de rábano picante (HRP), fosfatasa alcalina, β-galactosidasa, glucoamilasa, lisozima, sacárido oxidasas, por ejemplo, glucosa oxidasa, galactosa oxidasa y glucosa-6-fosfato deshidrogenasa, oxidasas heterocíclicas como uricasa y xantina oxidasa, junto con una enzima que emplea peróxido de hidrógeno para oxidar un precursor de colorante tal como HRP, lactoperoxidasa o microperoxidasa, biotina/avidina, marcadores espín, marcadores de bacteriófagos, radicales libres estables, y similares. En otra realización, un marcador es un emisor de positrones. Los emisores de positrones incluyen, entre otros, ⁶⁸G, ¹⁸F, ⁶⁴Cu, ⁸⁶Y, ⁷⁶Br, ⁸⁹Zr e ¹²⁴I. En una realización particular, un emisor de positrones es ⁸⁹Zr.

Clínicamente, los síntomas de las infecciones por MRSA son similares a los del *Staphylococcus aureus* sensible a meticilina (MSSA) e incluyen abscesos y celulitis. Con frecuencia, los abscesos van acompañados de áreas de necrosis central. Los forúnculos (furúnculos) también son comunes, particularmente en el contexto de un brote de MRSA. Las lesiones también pueden describirse erróneamente como una picadura de araña debido al enrojecimiento general que progresa a un centro necrótico. Adicionalmente, las infecciones pueden aparecer como impétigo, foliculitis, abscesos profundos, piomiositis, osteomielitis, fascitis necrotizante, síndrome de shock tóxico estafilocócico, neumonía y sepsis. Las infecciones sistémicas graves son más habituales entre las personas con antecedentes de uso de fármacos inyectables, diabetes u otras afecciones inmunocomprometidas.

10

15

30

35

40

45

50

65

Las opciones de tratamiento convencional para las infecciones por MRSA incluyen opciones mecánicas conservadoras, tales como: (i) baños calientes y compresas, (ii) incisión y drenaje, y (iii) extracción del dispositivo extraño (por ejemplo, catéter) que causa la infección. Para infecciones más graves, especialmente aquellas que presentan celulitis, se prescriben antibióticos (Abx). Para infecciones leves a moderadas, los antibióticos incluyen trimetoprima-sulfametoxazol (TMP-SMX), clindamicina, doxiciclina, minociclina, tetraciclina, rifampina, vancomicina, linezolida. Generalmente, se produce un régimen de tratamiento durante 5-10 con reexaminación y evaluación periódica tanto durante como después del período de tratamiento.

Las opciones de tratamiento adicionales incluyen descolonización, especialmente en el entorno donde un paciente experimenta una infección recurrente o donde se encuentra en un entorno donde está en curso un brote de MRSA. La descolonización es un procedimiento en el que se elimina la flora que inhibe las narinas del paciente. Esto se realiza mediante la aplicación tópica de ungüento de mupirocina al 2 % aplicado generosamente en ambas fosas nasales durante 5-10 días y la limpieza tópica con gluconato de clorhexidina al 4 % durante 5 días.

25 ARTÍCULOS DE FABRICACIÓN

En otro aspecto de la invención, se proporciona un artículo de fabricación que contiene materiales útiles para el tratamiento, prevención y/o diagnóstico de los trastornos descritos anteriormente. El artículo de fabricación comprende un envase y una etiqueta o prospecto sobre o asociado al envase. Los envases adecuados incluyen, por ejemplo, frascos, viales, jeringuillas, bolsas de solución IV, etc. Los envases pueden formarse a partir de diversos materiales tales como vidrio o plástico. El envase contiene una composición que está sola o combinada con otra composición eficaz para tratar, prevenir y/o diagnosticar el trastorno y puede tener un puerto de acceso estéril (por eiemplo, el envase puede ser una bolsa de solución intravenosa o un vial que tiene un tapón que es perforable por una aquia de invección hipodérmica). Al menos un agente activo en la composición es un anticuerpo o inmunoconjugado de la invención. La etiqueta o prospecto indica que la composición se usa para tratar la afección de elección. Además, el artículo de fabricación puede comprender (a) un primer envase con una composición contenida en este, en donde la composición comprende un anticuerpo o inmunoconjugado de la invención; y (b) un segundo envase con una composición contenida en este, en donde la composición comprende un agente citotóxico o de otro modo terapéutico adicional. El artículo de fabricación en esta realización de la invención puede comprender adicionalmente un prospecto que indica que las composiciones pueden usarse para tratar una afección concreta. Como alternativa o adicionalmente, el artículo de fabricación puede comprender además un segundo (o tercer) envase que comprende un tampón farmacéuticamente aceptable, tal como agua bacteriostática para inyección (BWFI, por sus siglas en inglés), solución salina tamponada con fosfato, solución de Ringer y solución de dextrosa. Puede incluir además otros materiales deseables desde un punto de vista comercial y de usuario, que incluyen otros tampones, diluyentes, filtros, agujas y jeringas.

Ejemplos

Lo siguiente son ejemplos de métodos y composiciones de la invención. Se entiende que pueden ponerse en práctica varias realizaciones diferentes, dada la descripción general proporcionada anteriormente.

Ejemplo 1 MC-vc-PAB-pipBOR 51

Se hidrogenó 2-nitrobenceno-1,3-diol **1** en hidrógeno gaseoso con catalizador de paladio/carbono en disolvente de etanol para dar 2-aminobenceno-1,3-diol **2**, aislado como la sal de hidrocloruro (Figuras 23A y 23B). La monoprotección de 2 con cloruro de terc-butildimetilsililo y trietilamina en diclorometano/tetrahidrofurano dio 2-amino-3-(*terc*-butildimetilsililoxi)fenol **3**. LA rifamicina S (ChemShuttle Inc., Fremont, CA, documento US 7342011; documento US 7271165; documento US 7547692) se hizo reaccionar con **3** por condensación oxidativa con óxido de manganeso u oxígeno gaseoso en tolueno a temperatura ambiente para dar benzoxazina rifamicina protegida con TBS **4**. La reacción de **4**con piperidin-4-amina y óxido de manganeso dio piperidil benzoxazina rifamicina (pipBOR) **5**.

Se mezclaron piperidil benzoxazina rifamicina (pipBOR) **5** (0,02 mmol) y 4-((S)-2-(6-(2,5-dioxo-2,5-dihidro-1H-pirrol-1-il)hexanamido)-3-metilbutanamido)-5-ureidopentanamido)bencil 4-nitrofenil carbonato **6** (0,02 mmol) en DMF (0,4 ml) a temperatura ambiente (RT, por sus siglas en inglés). A esto se añadieron 2,5 equivalentes de N,N'-diisopropiletilamina. La solución se agitó de una a aproximadamente 12 horas y se monitorizó por LC/MS. Tras

completarse, la solución se diluyó con DMF y se inyectó en HPLC y se purificó en condiciones ácidas para dar MC-vc-PAB-pipBOR **51**. M/Z = 1498,9. Rendimiento 40 %

Ejemplo 2 MC-fk-PAB-pipBOR 52

5

10

15

Siguiendo el procedimiento del Ejemplo 1, 6-(2,5-dioxo-2,5-dihidro-1H-pirrol-1-il)-N-((S)-1-((S)-5-guanidino-1-(4-(hidroximetil)fenilamino)-1-oxopentan-2-ilamino)-1-oxo-3-fenilpropan-2-il)hexanamida **12** se convirtió en 4-((S)-2-((S)-2-(6-(2,5-dioxo-2,5-dihidro-1H-pirrol-1-il) hexanamido)-3-fenilpropanamido)-5-guanidinopentanamido)bencil 4-nitrofenil carbonato 13.

HN NH₂

OH NH OH

Se mezclaron benzoxazina rifamicina (pipBOR) **5** (0,02 mmol) y **13** (0,02 mmol) en DMF (0,4 ml) a temperatura ambiente (RT). A esto se añadieron 2,5 equivalentes de N,N'-diisopropiletilamina. La solución se agitó de una a aproximadamente 12 horas y se monitorizó por LC/MS. Tras completarse, la solución se diluyó con DMF y se inyectó en HPLC y se purificó en condiciones ácidas para dar MC-fk-PAB-pipBOR **52**. M/Z = 1545,8. Rendimiento 32 %

13

Ejemplo 3 MP-vc-PAB-pipBOR 53

Siguiendo el procedimiento del Ejemplo 1, 6-(2-(2-(2-(2-(2-(2-(3-dioxo-2,5-dihidro-1H-pirrol-1-il)etoxi)etoxi) acetamido)-N-((S)-1-((S)-1-(4-(hidroximetil)fenilamino)-1-oxo-5-ureidopentan-2-ilamino)-3-metil-1-oxobutan-2-il)hexanamida **14** se convirtió en 4-((17S, 20S)-1-(2,5-dioxo-2,5-dihidro-1H-pirrol-1-il)-17-isopropil-8,15,18-trioxo-20-(3-ureidopropil)-3,6-dioxa-9,16,19-triazahenicosanamido)bencil 4-nitrofenil carbonato **15**.

Se mezclaron piperidil benzoxazina rifamicina (pipBOR) **5** (0,02 mmol) y **15** (0,02 mmol) en DMF (0,4 ml) a temperatura ambiente (RT). A esto se añadieron 2,5 equivalentes de N,N'-diisopropiletilamina. La solución se agitó de una a aproximadamente 12 horas y se monitorizó por LC/MS. Tras completarse, la solución se diluyó con DMF y se inyectó en HPLC y se purificó en condiciones ácidas para dar MP-vc-PAB-pipBOR **53**. M/Z = 1644,8. Rendimiento 57 %

Ejemplo 4 MC-vc-PAB-dimetilpipBOR 54

10

15

20

25

30

La reacción de N,N-dimetilpiperidin-4-amina con benzoxazina rifamicina protegida con TBS 4 dio dimetilpiperidil benzoxazina rifamicina (dimetil pipBOR) 7 (Figura 24).

Alternativamente, se hidrogenó (5-fluoro-2-nitro-1,3-fenileno)bis(oxi)bis(metileno)dibenceno **9** en hidrógeno gaseoso con catalizador de paladio/carbono en disolvente de tetrahidrofurano/metanol para eliminar los grupos bencilo para dar 2-amino-5-fluorobenceno-1,3-diol **10**. Se hizo reaccionar rifamicina S o sal de sodio de Rifamicina SV disponibles comercialmente (ChemShuttle Inc., Fremont, CA) con 2-amino-5-fluorobenceno-1,3-diol **10** por condensación oxidativa en aire o cianuro férrico de potasio en acetato de etilo a 60 °C para dar fluorobenzoxazina rifamicina **11**. El desplazamiento de fluoro con N,N-dimetilpiperidin-4-amina dio dimetil pipBOR 7 (Figuras 25A y 25B).

El 6-(2,5-Dioxo-2,5-dihidro-1H-pirrol-1-il)-N-((S)-1-((S)-1-(4-(hidroximetil)fenilamino) -1-oxo-5-ureidopentan-2-ilamino)-3-metil-1-oxobutan-2-il)hexanamida **8**, preparada de acuerdo con los procedimientos en el documento WO 2012113847; documento US 7659241; documento US 7498298; documento US 20090111756; documento US 20090018086; documento US 6214345; Dubowchik et al (2002) Bioconjugate Chem. 13 (4): 855-869 (1,009 g, 1,762 mmol, 1,000, 1009 mg) se incorporó en N,N-dimetilformamida (6 ml, 77 mmol, 44, 5700 mg). A esto se le añadió una solución de cloruro de tionilo (1,1 equivalentes, 1,938 mmol, 1,100, 231 mg) en diclorometano (DCM) (1 ml, 15,44 mmol, 8,765, 1325 mg) en porciones gota a gota (1/2 se añadió durante 1 hora, se agitó una hora a temperatura ambiente (RT) y después se añadió la otra mitad durante más de otra hora). La solución permaneció de color amarillo. Se añadieron otros 0,6 equivalentes de cloruro de tionilo como una solución en 0,5 ml de DCM gota a gota, cuidadosamente. La reacción permaneció de color amarillos y se agitó sellada durante la noche a RT. La reacción se monitorizó por LC/MS al 88 % de cloruro de bencilo producto **9**. Se añadieron gota a gota otros 0,22 equivalentes de cloruro de tionilo como una solución en 0,3 ml de DCM. Cuando la reacción se acercó al 92 % de cloruro de bencilo 9, la reacción se sometió a burbujeo con N₂. La concentración se redujo de 0,3 M a 0,6 M. El producto N-((S)-1-((S)-1-(4-(clorometil)fenilamino)-1-oxo-5-ureidopentan-2-ilamino)-3-metil-1-oxobutan-2-il)-6-(2,5-dioxo-2,5-dihidro-1H-

pirrol-1-il)hexanamida **9** se almacenó en el refrigerador como una solución 0,6 M y se usó como está. M/Z 591,3, 92 % de rendimiento.

En un matraz, N-((S)-1-(4-(clorometil)fenilamino)-1-oxo-5-ureidopentan-2-ilamino)-3-metil-1-oxobutan-2-il)-6-(2,5-dioxo-2,5-dihidro-1H-pirrol-1-il)hexanamida 9, (0,9 mmol) se enfrió a 0 °C y se añadió dimetilpiperidil benzoxazina rifamicina (dimetil pipBOR) 7 (0,75 g, 0,81 mmol, 0,46, 750 mg). La mezcla se diluyó con otros 1,5 ml de DMF para alcanzar 0,3 M. Se agitó al aire durante 30 minutos. Se añadió N, N-diisopropiletilamina (3,5 mmol, 3,5 mmol, 2,0, 460 mg) y la reacción se agitó durante la noche al aire. En el transcurso de 4 días, se añadieron 4 adiciones de 0,2 equivalentes de N, N-diisopropiletilamina base mientras la reacción se agitaba al aire, hasta que la reacción pareció dejar de progresar. La reacción se diluyó con DMF y se purificó en HPLC (20-60 % ACN/FA·H2O)

en varios lotes para dar MC-vc-PAB-dimetilpipBOR **54**. M/Z = 1482.8 rendimiento: 32 %

Ejemplo 5 MC-vc-PAB-monometilpip, desacetilBOR 55

5

10

15

20

Siguiendo los procedimientos del Ejemplo 1, se hicieron reaccionar N-metilpiperidin-4-amina y desacetil benzoxazina rifamicina protegida con TBS con óxido de manganeso para dar monometilpiperidil benzoxazina rifamicina (pipBOR) **16**.

Se hicieron reaccionar 4-((S)-2-((S)-2-6-(2,5-dioxo-2,5-dihidro-1H-pirrol-1-il)hexanamido)-3-metilbutanamido)-5-ureidopentanamido)bencil 4-nitrofenil carbonato**6**y**16**para dar MC-vc-PAB-monometilpip, desacetilBOR 55 con un rendimiento del 26% (M/Z = 1456,5).

Ejemplo 6 MC-vc-PAB-monometilpipBOR 56

Siguiendo los procedimientos del Ejemplo 1, se hicieron reaccionar N-metilpiperidin-4-amina y benzoxazina rifamicina protegida con TBS 4 con óxido de manganeso para dar monometilpiperidil benzoxazina rifamicina (pipBOR) 17.

Se hicieron reaccionar 4-((S)-2-((S)-2-(6-(2,5-Dioxo-2,5-dihidro-1H-pirrol-1-il)hexanamido)-3-metilbutanamido)-5ureidopentanamido)bencil 4-nitrofenil carbonato **6** y **17** para dar MC-vc-PAB-monometilpipBOR **56** con un 25 % de rendimiento (M/Z = 1471,0).

Ejemplo 7 MC-vc-PAB-pip, desacetilBOR 57

30 Siguiendo los procedimientos del Ejemplo 1, se hicieron reaccionar piperidin-4-amina y desacetil benzoxazina rifamicina protegida con TBS 18 con óxido de manganeso para dar piperidil, desacetil benzoxazina rifamicina (pip desacetil BOR) 19.

Se hicieron reaccionar piperidil, desacetil benzoxazina rifamicina **19** (0,02 mmol) y 4-((S)-2-((S)-2-6-(2,5-dioxo-2,5-dihidro-1H-pirrol-1-il)hexanamido)-3-metilbutanamido)-5-ureidopentanamido)bencil 4-nitrofenil carbonato **6** (0,02 mmol) para dar MC-vc-PAB-pip, desacetilBOR 57. M/Z = 1456,6. Rendimiento 13 %

Ejemplo 8 MC-vc-PAB-rifabutina 58

5

10

Siguiendo los procedimientos del Ejemplo 1, se hicieron reaccionar desisobutil rifabutina $\bf 20$ (0,02 mmol) y 4-((S)-2-((S)-2-6-(2,5-dioxo-2,5-dihidro-1H-pirrol-1-il)hexanamido)-3-metilbutanamido)-5-ureidopentanamido)bencil 4-nitrofenil carbonato $\bf 6$ (0,02 mmol) para dar MC-vc-PAB-rifabutina $\bf 58$. M/Z = 1389,6. Rendimiento 21 %

15 Ejemplo 9 MC-GGAFAGGG-pipBOR ("péptido del núcleo" divulgado como SEQ ID NO: 126) 59

Siguiendo los procedimientos del Ejemplo 1, se acopló péptido maleimida **21** con piperidil benzoxazina rifamicina (pipBOR) **5** en condiciones convencionales de formación de enlaces amida para dar MC-GGAFAGGG-pipBOR ("péptido del núcleo" divulgado como SEQ ID NO: 126) **59**. M/Z = 1626,0. Rendimiento 13 %

Ejemplo 10 MC-vc-PAB-rif 60

25

En un vial pequeño, 0,05 ml de una solución 0,6 M de N-((S)-1-((S)-1-(4-(clorometil)fenilamino)-1-oxo-5-

ureidopentan-2-ilamino)-3-metil-1-oxobutan-2-il)-6-(2,5-dioxo-2,5-dihidro-1H-pirrol-1-il)hexanamida $\bf 9$, preparada por el procedimiento del Ejemplo 4 se enfrió a 0 °C y se añadió 1 equivalente de benzoxazina rifamicina $\bf 22$ y la mezcla se agitó durante 5 minutos. A esta solución a 0 °C se le añadió K_2CO_3 (15 equivalentes) y los lados del vial se lavaron con 0,05 ml de DMF. La reacción se agitó al aire a temperatura ambiente durante 1-4 horas. Cuando la totalidad de $\bf 9$ se consumió, los sólidos se filtraron y el filtrado recogido se diluyó con DMF. La purificación por HPLC dio MC-vc-PAB-rif $\bf 60$ con un rendimiento del 11 % (M/Z = 1356,9).

Ejemplo 11 MC-vc-PAB-dimetilpip, desacetilBOR 61

Siguiendo los procedimientos del Ejemplo 4, se hizo reaccionar N-((S)-1-((S)-1-(4-(clorometil)fenilamino)-1-oxo-5-ureidopentan-2-ilamino)-3-metil-1-oxobutan-2-il)-6-(2,5-dioxo-2,5-dihidro-1H-pirrol-1-il)hexanamida **9**con dimetilpiperidil, desacetil benzoxazina rifamicina (dimetil, desacetil pipBOR) **23** para dar MC-vc-PAB-dimetilpip, desacetilBOR **61**. M/Z = 1440,66

Ejemplo 12 MC-vc-PAB-piperazBTR 62

10

15

20

Siguiendo los procedimientos del Ejemplo 1, se hizo reaccionar 4-((S)-2-((S)-2-6-(2,5-dioxo-2,5-dihidro-1H-pirrol-1-il)hexanamido)-3-metilbutanamido)-5-ureidopentanamido)bencil <math>4-nitrofenil carbonato 6 con piperazino benztiazino rifamicina (piperazBTR) 24 dar MC-vc-PAB-piperazBTR 62. M/Z = 1483,7

25 <u>Ejemplo 13 MC-vc-PAB-piperaz</u>, desacetilBTR 63

103

Siguiendo los procedimientos del Ejemplo 1, se hizo reaccionar 4-((S)-2-((S)-2-6-(2,5-dioxo-2,5-dihidro-1H-pirrol-1-il)hexanamido)-3-metilbutanamido)-5-ureidopentanamido)bencil 4-nitrofenil carbonato **6** con piperazino, desacetil benztiazino rifamicina (pipBTR) **25** para dar MC-vc-PAB-piperaz, desacetilBTR **63**. M/Z = 1441,6

Ejemplo 14 MC-vc-PAB-piperaz, desacetilBOR 64

Siguiendo los procedimientos del Ejemplo 1, se hizo reaccionar 4-((S)-2-((S)-2-6-(2,5-dioxo-2,5-dihidro-1H-pirrol-1-il)hexanamido)-3-metilbutanamido)-5-ureidopentanamido)bencil 4-nitrofenil carbonato 6 con piperazilo, desacetil benzoxazina rifamicina (desacetil pipBOR) 26 para dar MC-vc-PAB-piperaz, desacetilBOR 64. M/Z = 1441,6

Ejemplo 15 MC-vc-PAB-piperazBOR 65

Siguiendo los procedimientos del Ejemplo 1, se hizo reaccionar 4-((S)-2-((S)-2-6-(2,5-dioxo-2,5-dihidro-1H-pirrol-1-il)hexanamido)-3-metilbutanamido)-5-ureidopentanamido)bencil 4-nitrofenil carbonato **6** con piperazil benzoxazina rifamicina (piperazilBOR) **27** para dar MC-vc-PAB-piperazBOR **65**. M/Z = 1482,7

Ejemplo 16 MC-vc-bisPAB-dimetilpipBOR 66

En un vial, se incorporó 4-((S)-2-((S)-2-6-(2,5-dioxo-2,5-dihidro-1H-pirrol-1-il)hexanamido)-3-metilbutanamido)-5-ureidopentanamido)bencil 4-nitrofenil carbonato **6** (1,56 g, 2,11 mmol, 100% en masa) en DMF (55 equivalentes, 116 mmol, 55,0, 8,5 g) y se agitó a TA. A esta mezcla de color amarillo turbia se añadió (4-aminofenil)metanol (PAB, 1,1 equivalentes, 2,33 mmol, 1,10, 286 mg) y 1-hidroxibenzotriazol (0,37 equivalentes, 0,782 mmol, 0,370, 106 mg) seguido de N,N'-diisopropiletilamina (1 equivalente, 2,11 mmol, 1,00, 276 mg). La reacción se agitó durante 2 horas y se monitorizó por LC/MS. Se añadieron 1 equivalente adicional de N,N'-diisopropiletilamina (Hunigs Base) y 100 mg de (4-aminofenil)metanol. La reacción se agitó durante la noche a temperatura ambiente sellada. Se añadieron aproximadamente 0,5 l de dietil éter gota a gota para precipitar el producto. El éter se decantó, el sólido se redisolvió en DMF y se purificó directamente sobre HPLC en varios lotes para dar 4-((S)-2-((S)-2-(6-(2,5-dioxo-2,5-dihidro-1H-pirrol-1-il) hexanamido)-3-metilbutanamido)-5-ureidopentanamido)bencil 4-(hidroximetil)fenilcarbamato 28 (0,435 g) con un rendimiento global aislado del 28 % (M/Z: 722,5), que tiene la estructura:

35

20

25

30

5

15

Siguiendo el procedimiento del Ejemplo 4, se hizo reaccionar 4-((S)-2-((S)-2-(6-(2,5-dioxo-2,5-dihidro-1H-pirrol-1-il)hexanamido)-3-metilbutanamido)-5-ureidopentanamido)bencil 4-(hidroximetil)fenilcarbamato **28** con cloruro de tionilo para dar 4-((S)-2-(6)-(2,5-dioxo-2,5-dihidro-1H-pirrol-1-il)hexanamido)-3-metilbutanamido)-5-ureidopentanamido)bencil 4-(clorometil)fenilcarbamato **29** con un rendimiento global aislado del 47 % (M/Z: 740,4), que tiene la estructura:

Siguiendo el procedimiento del Ejemplo 4, se hizo reaccionar 4-((S)-2-(6-(2,5-dioxo-2,5-dihidro-1H-pirrol-1-il)hexanamido)-3-metilbutanamido)-5-ureidopentanamido)bencil 4-(clorometil)fenilcarbamato **29** con dimetilpiperidil benzoxazina rifamicina (dimetil pipBOR) 7 para dar MC-vc-bisPAB-dimetilpipBOR **66** con un rendimiento del 5 % (M/Z: 1632,1)

Ejemplo 17 MC-vc-PAB-metilpiperaz BOR 67

10

15

30

- Siguiendo el procedimiento del Ejemplo 4, se hizo reaccionar N-((S)-1-((S)-1-(4-(clorometil)fenilamino)-1-oxo-5-ureidopentan-2-ilamino)-3-metil-1-oxobutan-2-il) -6-(2,5-dioxo-2,5-dihidro-1H-pirrol-1-il)hexanamida **9** con metilpiperazino benzoxazina rifamicina (metil piperazBOR) **30** para dar MC-vc-PAB-metilpiperaz BOR **67**. M/Z = 1454,68
- 25 Ejemplo 18 Los MRSA intracelulares están protegidos de los antibióticos

Este ejemplo proporciona evidencia de que MRSA puede sobrevivir intracelularmente *in vivo*. En una infección, los MRSA intracelulares están protegidos de y pueden sobrevivir al tratamiento con antibióticos (tal como la a SOC con vancomicina), permitiendo la transferencia de infección de una célula a otra.

Determinaciones de MIC para bacterias extracelulares: La MIC para las bacterias extracelulares se determinó

preparando diluciones en serie de 2 veces del antibiótico en Caldo de Soja Tríptico. Las diluciones del antibiótico se hicieron por cuadruplicado en placas de cultivo de 96 pocillos. Se tomó MRSA (cepa NRS384 de USA300) de un cultivo en crecimiento exponencial y se diluyó a 1x10⁴ UFC/ml. Las bacterias se cultivaron en presencia de antibióticos durante 18-24 horas con agitación a 37 °C y se determinó el crecimiento bacteriano leyendo la densidad óptica (DO) a 630 nM. Se determinó que la MIC era la dosis de antibiótico que inhibía el crecimiento bacteriano en > 90 %.

Determinaciones de MIC para bacterias intracelulares: La MIC intracelular se determinó en bacterias secuestradas dentro de macrófagos peritoneales de ratón. Los macrófagos se sembraron en placas de cultivo de 24 pocillos a una densidad de 4x10⁵ células/ml y se infectaron con MRSA (cepa NRS384 de USA300) en una proporción de 10-20 bacterias por macrófago. Los cultivos de macrófagos se mantuvieron en medios de crecimiento complementados con 50 μg/ml de gentamicina para inhibir el crecimiento de bacterias extracelulares y se añadieron antibióticos de prueba a los medios de crecimiento 1 día después de la infección. La supervivencia de las bacterias intracelulares se evaluó 24 horas después de la adición de los antibióticos. Los macrófagos se lisaron con Solución Salina Tamponada de Hanks complementada con albúmina de suero bovino al 0,1 % y Triton-X al 0,1 %, y las diluciones en serie del lisado se prepararon en solución Salina Tamponada con Fosfato que contenía Tween-20 al 0,05 %. El número de bacterias intracelulares supervivientes se determinó mediante siembra en placas de Agar de Soja Tríptico con sangre de oveja desfibrinada al 5 %.

10

15

60

65

20 Aislamiento de macrófagos peritoneales: Los macrófagos peritoneales se aislaron del peritoneo de ratones Balb/c de 6-8 semanas de edad (Charles River Laboratories, Hollister, CA). Para aumentar el rendimiento de los macrófagos, los ratones se trataron previamente mediante inyección intraperitoneal con 1 ml de medio de tioglicolato (Becton Dickinson). El medio de tioglicolato se preparó a una concentración de 4 % en agua, esterilizado en autoclave y envejecido durante 20 días a 6 meses antes de su uso. Los macrófagos peritoneales se recogieron 4 días después 25 del tratamiento con tioglicolato lavando la cavidad peritoneal con solución salina tamponada con fosfato fría. Los macrófagos se sembraron en placas en medio Eagle modificado de Dulbecco (DMEM) complementado con Suero Fetal De Ternera al 10 % y HEPES 10 mM, sin antibióticos, a una densidad de 4x10⁵ células/pocillo en placas de cultivo de 24 pocillos. Los macrófagos se cultivaron durante la noche para permitir la adherencia a la placa. Este ensayo también se utilizó para evaluar la destrucción intracelular en tipos de células no fagocíticas. Las líneas 30 celulares MG63 (CRL-1427) y A549 (CCL185) se obtuvieron de ATCC y se mantuvieron en medios de cultivo de tejidos RPMI 1640 complementados con Hepes 10 mM y Suero Fetal De Ternera al 10 % (RPMI-10). Las células HÚVEC se obtuvieron de Lonza y se mantuvieron en medio completo de células endoteliales EGM (Lonza, Walkersville, MD).

Infección de macrófagos con MRSA opsonizado: La cepa USA300 de MRSA (NRS384) se obtuvo del repositorio de 35 NARSA (Chantilly, Virginia). Algunos experimentos utilizaron la cepa Newman de S. aureus (ATCC25904). En todos los experimentos, las bacterias se cultivaron en Caldo De Soja Tríptico. Para evaluar la muerte intracelular con AAC, se tomó USA300 de un cultivo de crecimiento exponencial y se lavó con HB (solución salina equilibrada de Hanks complementada con HEPES 10 mM y albúmina de suero bovino al 0,1 %). El AAC o los anticuerpos se diluyeron en 40 HB y se incubaron con la bacteria durante 1 hora para permitir la unión del anticuerpo a la bacteria (opsonización), y las bacterias opsonizadas se usaron para infectar a los macrófagos en una proporción de 10-20 bacterias por macrófago (4x10⁶ bacterias en 250 µl de HB por pocillo. Los macrófagos se lavaron previamente con medio DMEM sin suero inmediatamente antes de la infección, y se infectaron por incubación a 37 °C en una incubadora de cultivo de tejidos humidificada con CO2 al 5 % para permitir la fagocitosis de la bacteria. Después de 2 horas, la mezcla de 45 infección se eliminó y se reemplazó con medio de crecimiento normal (DMEM complementado con Suero Fetal De Ternera al 10 %, HEPES 10 mM y se añadió gentamicina a 50 µg/ml para prevenir el crecimiento de bacterias extracelulares. Al final del periodo de incubación, los macrófagos se lavaron con medios sin suero y las células se lisaron en HB complementado con triton-X al 0,1 % (lisa los macrófagos sin dañar las bacterias intracelulares). En algunos experimentos, se evaluó la viabilidad de los macrófagos al final del período de cultivo mediante la detección de la liberación de lactato deshidrogenasa (LDH) citoplásmica en el sobrenadante del cultivo utilizando un kit de 50 detección de citotoxicidad LDH (Producto 11644793001, Roche Diagnostics Corp, Indianápolis, IN). Los sobrenadantes se recogieron y analizaron inmediatamente de acuerdo con las instrucciones del fabricante. Las diluciones en serie del lisado se realizaron en solución salina tamponada con fosfato complementada con Tween-20 al 0,05 % (para romper los agregados de bacterias) y se determinó el número total de bacterias intracelulares 55 supervivientes por siembra en placas en Agar Tríptico de Soja con sangre de oveja desfibrinada al 5 %.

Generación de células peritoneales infectadas con MRSA. Se infectaron ratones A/J hembra de 6-8 semanas de edad (ratones JAX [™], Jackson Laboratories) con 1x10⁸ UFC de la cepa NRS384 de USA300 por inyección peritoneal. El lavado peritoneal se cosechó 1 día después de la infección y las células peritoneales infectadas se trataron con 50μg/ml de lisostafina diluida en tampón Hepes complementado con BSA al 0,1 % (tampón HB) durante 30 minutos a 37 °C. Las células peritoneales se lavaron después 2X en tampón HB enfriado con hielo. Las células peritoneales se diluyeron a 1x10⁶ células/ml en medio de cultivo de tejidos RPMI 1640 complementado con Hepes 10 mM y Suero Fetal De Ternera al 10%, y 5 μg/ml de vancomicina. Se almacenó MRSA libre de la infección primaria durante la noche a 4 °C en Solución Salina Tamponada con Fosfato como control para bacterias extracelulares que no estaban sujetas a la destrucción por los neutrófilos.

Transferencia de infección de células peritoneales a osteoblastos: La línea celular de osteoblastos MG63 se obtuvo de ATCC (CRL-1427) y se mantuvo en medio de cultivo de tejidos RPMI 1640 complementado con Hepes 10 mM y Suero Fetal De Ternera al 10% (RPMI-10). Los osteoblastos se sembraron en placas de cultivo de tejidos de 24 pocillos y se cultivaron para obtener una capa confluente. El día del experimento, los osteoblastos se lavaron una vez en RPMI (sin complementos). Se diluyeron MRSA o células peritoneales infectadas en RPMI-10 completo y se añadió vancomicina a 5 µg/ml inmediatamente antes de la infección. Se añadieron células peritoneales a los osteoblastos a 1x10⁶ células peritoneales/ml. Se lisó una muestra de las células con 0,1 % de triton-x para determinar la concentración real de bacterias intracelulares vivas en el momento de la infección. El título real para todas las infecciones se determinó sembrando en placas diluciones en serie de la bacteria en Agar de Soja Tríptico con sangre de oveja desfibrinada al 5 %.

10

15

20

25

30

35

40

45

50

Los osteoblastos MG63 se sembraron en placas en portaobjetos de cámara de vidrio de 4 pocillos y se cultivaron en medios de cultivo de tejidos RPMI 1640 complementados con Hepes 10 mM y Suero Fetal De Ternera al 10 % (RPMI-10) hasta que formaron capas confluentes. En el día de la infección, los pocillos se lavaron con medio sin suero y se infectaron con una suspensión de células peritoneales infectadas, o con la cepa USA300 de MRSA diluida en RPMI-10 completo complementado con 5 µg/ml de vancomicina. Un día después de la infección, las células se lavaron con solución salina tamponada con fosfato (PBS) y se fijaron durante 30 minutos a temperatura ambiente en PBS con paraformaldehído al 2 %. Los pocillos se lavaron 3X en PBS y se permeabilizaron con PBS con saponina al 0,1 % durante 30 minutos a temperatura ambiente.

Inmunofluorescencia: MRSA se identificó mediante tinción con 20 μg/ml de antiestafilococo 20920 de conejo, (abcam, Cambridge, MA) seguido de anti-rodamina de conejo (Jackson ImmunoResearch, 711-026-152). Las membranas celulares de las células peritoneales se tiñeron con subunidad de biotina de la toxina beta del cólera (Invitrogen, Carlsbad, CA) seguido de estreptavidina Cy5 (BD Biosciences San José, CA). La unión de la toxina del cólera a las células peritoneales se confirmó mediante tinción conjunta con el clon M1/70 de Alexa 488 anti-CD 11b (BD biosciences). Los portaobjetos se montaron con Prolong Gold con DAPI (Invitrogen, Carlsbad CA). Los portaobjetos se vieron usando un microscopio confocal Leica SPE. Las imágenes se recopilaron como una serie de pilas Z y se compilaron para generar las imágenes de proyección máximas mostradas.

La supervivencia de S. aureus dentro de las células de mamíferos proporciona un nicho viable que permite la infección persistente en presencia terapia con antibióticos. S. aureus es capaz de infectar y sobrevivir dentro de diversos tipos de células de mamíferos, incluidos los neutrófilos, macrófagos, osteoblastos y células epiteliales (Garzoni, C. y WL Kelley (2009) Trends Microbiol 17(2): 59-65). Para probar directamente si el MRSA intracelular está protegido de los antibióticos, se comparó una serie de antibióticos clínicamente aprobados por su capacidad para destruir MRSA extracelular cultivado en medios de crecimiento bacteriano convencionales, con su capacidad de destruir MRSA intracelular que está secuestrado dentro de los macrófagos murinos (Tabla 1). Los macrófagos peritoneales murinos se seleccionaron para este análisis porque estas células representan un tipo de célula primaria genéticamente normal que es un componente natural de la respuesta inmunitaria innata a S. aureus. El análisis confirmó que estas células se infectan y cultivan fácilmente in vitro. MRSA es capaz de sobrevivir intracelularmente hasta seis días después de la infección de los macrófagos (Kubica, M., K. Guzik, et al. (2008) PLoS One 3(1): e1409). Para probar el efecto intracelular de los antibióticos, los macrófagos se infectaron con MRSA y se cultivaron en presencia de gentamicina, un antibiótico que se sabe que está inactivo dentro del fagolisosoma debido a la mala captación celular del antibiótico (Vaudaux, P. y FA Waldvogel (1979) Antimicrob Agents Chemother 16(6): 743-749). Se añadieron antibióticos de prueba a los medios de cultivo (además de gentamicina) un día después de la infección en un intervalo de dosis elegidas para incluir los niveles séricos clínicamente alcanzables (mostrados como Cmax sérica en la Tabla 1). Este análisis reveló que aunque el MRSA extracelular es altamente susceptible a la inhibición del crecimiento por dosis bajas de vancomicina, daptomicina, linezolid o rifampicina en cultivo líquido, ninguno de los cuatro antibióticos logró destruir la misma cepa de MRSA intracelular que estaba secuestrada dentro de los macrófagos. De manera destacable, incluso rifampicina, que, según se informa, es uno de los mejores antibióticos para el tratamiento de infecciones intracelulares, tales como la tuberculosis, produjo una destrucción mínima de MRSA intracelular a lo largo del tiempo y en el intervalo de dosis del experimento.

Tabla 1 Concentraciones inhibitorias mínimas (MIC) de varios antibióticos

Antibióticos (Abx)	MIC de MRSA extracelular (µg/ml)	MIC de MRSA intracelular (μg/ml)	Cmax sérica (µg/ml)
Vancomicina	1	>100	10-40
Daptomicina	4	>100	80
Linezolida	0,3	>20	10
Rifampicina	0,004	>20	20

Los datos anteriores confirmaron que las bacterias intracelulares están protegidas de los antibióticos durante el tiempo que están secuestradas dentro de las células. Sin embargo, no se cree que MRSA sea un verdadero patógeno intracelular ya que no es capaz de infectar células vecinas por transferencia directa de célula a célula, y la

mayoría de las células infectadas eventualmente lisarán y liberarán las bacterias intracelulares. Por lo tanto, seguía siendo posible que el grupo intracelular, una vez liberado, inevitablemente estuviera expuesto a antibióticos extracelulares al menos de forma transitoria, incluso si las bacterias fueron captadas inmediatamente por las células vecinas. La absorción de MRSA libre por los macrófagos requiere entre 15 y 90 minutos (datos no mostrados), lo que sugiere que si las bacterias fueron capaces resistir una breve exposición al antibiótico, podrían permanecer protegidas en el nicho intracelular moviéndose secuencialmente de una célula moribunda a una nueva hospedadora. Para determinar si una breve exposición a antibióticos era suficiente para destruir MRSA, se evaluaron la vancomicina, el tratamiento de referencia actual para las infecciones por MRSA, y la rifampicina. Se tomó MRSA de un cultivo en crecimiento activo y se diluyó a 1x10⁶ bacterias/ml en medios de crecimiento normales. Se añadieron antibióticos a dos dosis que representan entre 2x y 10x la concentración inhibitoria mínima esperada (MIC). Las muestras se eliminaron en diversos momentos entre 30 minutos y 5 horas, y el antibiótico se eliminó por centrifugación y dilución. El número total de bacterias supervivientes en el cultivo se determinó mediante la siembra placas sobre placas de agar.

10

25

30

35

40

45

50

55

60

La Figura 1 muestra la comparación del tiempo de destrucción por vancomicina (vanco) y rifampicina (Rifa) en la división activa de MRSA. MRSA se cultivó durante 5 horas en medio TSB en presencia de antibióticos. En los momentos indicados, se tomó una muestra del cultivo y el antibiótico se eliminó por centrifugación. El número total de bacterias supervivientes se determinó en cada punto temporal mediante siembra en placas. La vancomicina se probó a 2 μg/ml (cuadrado abierto) y 20 μg/ml (cuadrado cerrado). La rifampicina se probó a 0,02 μg/ml (triángulo abierto) y 0,2 μg/ml (triángulo cerrado). Estos datos (Figura 1) revelaron que, aunque ambos antibióticos fueron capaces de inhibir el crecimiento bacteriano de manera eficaz, y en 5 horas se observó una pérdida de 100 veces en bacterias viables, las bacterias se destruyeron gradualmente durante el período de observación de 5 horas y el 90 % de las bacterias permanecieron viables durante las primeras dos horas de tratamiento con antibióticos, lo que permitió un amplio tiempo para la posible captación por parte de las células hospedadoras.

Las reservas intracelulares de MRSA se analizaron para determinar la transferencia de infección a un nicho intracelular permisivo en presencia de vancomicina. *S. aureus* puede sobrevivir dentro de los osteoblastos y se han observado reservas intracelulares de *S. aureus* en pacientes con osteomielitis, una afección en la que se sabe que la infección crónica por *S. aureus* es recalcitrante al tratamiento con antibióticos (Thwaites y Gant, (2011) Nature Reviews Microbiology 9: 215-222; Ellington et al., (2006) J. Orthopedic Research 24(1): 87-93; Bosse et al., (2005) J. Bone and Joint Surgery, 87(6): 1343-1347). Se desarrolló un ensayo *in vitro* utilizando una línea celular de osteoblastos MG63 ya que se informó que esta línea celular es capaz de albergar *S. aureus* intracelular (Garzoni y Kelly, (2008) Trends in Microbiology). Este ensayo confirmó que MRSA es capaz de infectar células MG63 y que las bacterias intracelulares viables pueden recuperarse de las células MG63 infectadas hasta durante 6 días *in vitro*. Para generar un grupo de *S. aureus* intracelular, se recogieron células peritoneales de ratones que fueron infectados por inyección peritoneal de MRSA (Figura 2).

La Figura 2 muestra la transferencia de infección de células peritoneales infectadas a osteoblastos en presencia de vancomicina. Para generar un grupo de S. aureus intracelular, los ratones A/J se infectaron con MRSA y las células peritoneales infectadas se tomaron 1 día después de la infección. De manera similar, se ha informado que las células generadas albergan bacterias intracelulares viables que son capaces de transferir infecciones en un modelo de infección in vivo (Gresham et al. J Immunol 2000; 164:3713-3722). Las células peritoneales infectadas consistían en una mezcla de principalmente neutrófilos y macrófagos y aproximadamente el 10 % de las células albergaban bacterias intracelulares. Las células se trataron con lisostafina para eliminar las bacterias extracelulares y se suspendieron en medios de crecimiento complementados con 5 µg/ml de vancomicina. Una muestra de las células peritoneales utilizadas para la infección se lisó para determinar la dosis precisa de MRSA intracelular viable en el momento en que se inició la infección y también se diluyeron diferentes dosis de MRSA extracelular libre en medios con vancomicina para la comparación. Las células peritoneales (MRSA intracelular) o las bacterias libres (MRSA extracelular) se añadieron después a monocapas de osteoblastos MG63 y se cultivaron durante 4 horas (barras abiertas) o 1 día (barras cerradas). El número total de bacterias intracelulares supervivientes en cada pocillo se determinó sembrando en placas lisados celulares sobre placas de agar. Los MRSA intracelulares estaban protegidos de la vancomicina en comparación con los controles extracelulares de MRSA. Los pocillos infectados con 3x10⁴ bacterias intracelulares produjeron 8.750 bacterias intracelulares (aproximadamente 1 tercio de la dosis de infección) 1 día después de la infección, mientras que las bacterias extracelulares se destruyeron de manera eficaz como infección con una dosis similar de MRSA libre que produjo solo 375 bacterias intracelulares 1 día después de la infección.

La microscopía de inmunofluorescencia también demostró la transferencia de infección de las células peritoneales a los osteoblastos MG63. Se recogieron células peritoneales de ratones 1 día después de la infección con MRSA y se trataron con lisostafina para destruir cualquier bacteria extracelular contaminante (infección intracelular). El MRSA libre se tomó de un cultivo en crecimiento activo y se lavó con PBS (infección extracelular). El número total de bacterias viables en las muestras de infección intracelular y extracelular se confirmó mediante siembra en placas sobre placas de agar y ambas muestras se suspendieron en medios complementados con 5 µg/ml de vancomicina inmediatamente antes de la adición a capas confluentes de osteoblastos MG63 cultivados en portaobjetos de cámara. Un día después de la infección, las células MG63 se lavaron para eliminar las bacterias extracelulares, permeabilizaron y tiñeron con un anticuerpo anti-*S. aureus* para identificar MRSA intracelular y toxina del cólera que

se unió preferentemente a las membranas de las células peritoneales. Todos los núcleos celulares se tiñeron conjuntamente con DAPI para confirmar que la monocapa MG63 estaba intacta. Los portaobjetos se examinaron por microscopía confocal.

Los pocillos infectados con células peritoneales contenían una monocapa confluente de células MG63 y los macrófagos peritoneales eran claramente visibles en la parte superior de la capa MG63. Muchos de los macrófagos estaban claramente infectados con MRSA, que es visible como grupos de bacterias rojas en la imagen de un solo color o partículas blancas en la imagen superpuesta. Además de los macrófagos infectados, se observaron ejemplos claros de bacterias que estaban asociadas solamente con las células MG63. Estas células MG63 infectadas también eran visibles en pocillos que estaban infectados con el MRSA libre. La infección con MRSA libre requirió un inóculo mucho más alto para lograr un nivel similar de infección en las células MG63.

Los resultados anteriores establecieron que tanto el MRSA libre como el MRSA intracelular pueden sobrevivir e infectar células MG63 en presencia de vancomicina. Las bacterias de la infección intracelular fueron significativamente más capaces de sobrevivir al tratamiento con vancomicina que las bacterias libres en estas condiciones. La infección con 3x10⁴ UFC de bacterias intracelulares produjo 8,7x10³ UFC de bacterias intracelulares 1 día después de la infección. La infección con una dosis similar de bacterias libres produjo solamente 375 bacterias intracelulares 1 día después de la infección, indicando que las bacterias intracelulares fueron hasta 20 veces más capaces de sobrevivir que las bacterias libres. Todas las dosis de infección recuperaron más bacterias intracelulares (entre 1,5 y 6 veces) cuando los pocillos se recogieron 1 día frente a 4 horas después de la infección. Debido a que la vancomicina inhibe completamente el crecimiento cuando se añade al MRSA libre (Figura 1), estos datos sugieren que el MRSA debe haberse replicado en algún momento a pesar de la exposición constante a vancomicina en los medios de cultivo. Aunque MRSA no se replica significativamente dentro de los macrófagos murinos (nuestras observaciones no publicadas), hay evidencia considerable de que S. aureus es capaz de escapar del fagolisosoma y replicarse dentro del citoplasma de los tipos de células no fagocíticas (Jarry, T. M., G. Memmi, et al. (2008) Cell Microbiol 10(9): 1801-1814). En conjunto, las observaciones anteriores sugieren que incluso en exposición constante a la vancomicina, MRSA libre puede infectar células y MRSA intracelular puede transferirse de una célula a otra. Estas observaciones revelan un posible mecanismo para el mantenimiento e incluso la propagación de la infección que podría producirse en presencia de una terapia antibiótica constante.

Ejemplo 19 Modelos de infecciónin vivo.

15

20

25

30

35

40

65

Modelo de peritonitis. Se infectaron ratones A/J hembra de 7 semanas (Jackson Laboratories) mediante inyección peritoneal con 5x10⁷ UFC de USA300. Los ratones se sacrificaron 2 días después de la infección y el peritoneo se lavó abundantemente con 5 ml de solución salina tamponada con fosfato fría (PBS). Los riñones se homogeneizaron en 5 ml de PBS como se describe a continuación para el modelo de infección intravenosa. Los lavados peritoneales se centrifugaron durante 5 minutos a 1.000 rpm a 4 °C en una centrífuga de sobremesa. El sobrenadante se recogió como la bacteria extracelular y el sedimento celular que contenía células peritoneales se recogió como la fracción intracelular. Las células fueron tratadas con 50 µg/ml de lisostafina durante 20 minutos a 37 °C para destruir las bacterias extracelulares contaminantes. Las células peritoneales se lavaron 3X en PBS enfriado con hielo para eliminar la lisostafina antes del análisis. Para contar el número de UFC intracelulares, las células peritoneales se lisaron en HB (solución salina equilibrada de Hanks complementada con HEPES 10 mM y Albúmina De Suero Bovino al 0,1%) con Triton-X al 0,1% y se hicieron diluciones en serie del lisado en PBS con tween-20 al 0,05%.

45 Modelo de infección intravenosa: Se utilizaron ratones hembra de 7 semanas de edad para todos los experimentos in vivo v se llevaron a cabo infecciones por inyección intravenosa en la vena de la cola. Los ratones A/J (Jackson Lab) se infectaron con una dosis de 2x106 UFC. Los ratones Balb/c (Charles River Laboratories, Hollister, CA) se infectaron con una dosis de 2x10⁷ UFC. Para los estudios que examinan el papel de la competencia de IgG humana (modelo IVIG en SCID), se reconstituyeron ratones CB17.SCID (Charles River Laboratories, Hollister, CA) con inmunoglobulina GammaGard S/D IGIV (ASD Healthcare, Brooks KY) utilizando una pauta posológica optimizada 50 para alcanzar niveles séricos constantes de> 10 mg/ml de IgG humana. Se administró IGIV con una dosis intravenosa inicial de 30 mg por ratón seguida de una segunda dosis de 15 mg/ratón por inyección intraperitoneal después de 6 horas, y las dosis diarias posteriores de 15 mg por ratón por inyección intraperitoneal durante 3 días consecutivos. Los ratones se infectaron 4 horas después de la primera dosis de IGIV con 2x107 UFC de MRSA diluido en solución salina tamponada con fosfato mediante invección intravenosa. Los ratones que recibieron 55 vancomicina se trataron con inyecciones intraperitoneales dos veces al día de 100 mg/kg de vancomicina que comenzaron entre 6 y 24 horas después de la infección durante la duración del estudio. Los agentes terapéuticos experimentales (AAC, anticuerpos anti-MRSA o antibiótico dimetil-pipBOR libre) se diluyeron en solución salina tamponada con fosfato y se administraron con una inyección intravenosa única de 30 minutos a 24 horas después de la infección. Todos los ratones se sacrificaron el día 4 después de la infección, y los riñones se recogieron en 5 60 ml de solución salina tamponada con fosfato. Las muestras de tejido se homogeneizaron usando un GentleMACS Dissociator™ (Miltenyi Biotec, Auburn, CA). El número total de bacterias recuperadas por ratón (2 riñones) se determinó sembrando en placas diluciones en serie del homogeneizado de tejido en PBS, Tween al 0,05 % sobre Agar Tríptico DE Soja con sangre de oveja desfibrinada al 5 %.

Ejemplo 20 Ensayo de liberación de Catepsina/Caspasa

Para cuantificar la cantidad de antibiótico activo liberado de AAC después del tratamiento con catepsina B, los AAC se diluyeron a 200 μg/ml en tampón de catepsina (acetato de sodio 20 mM, EDTA 1 mM, L-cisteína 5 mM). Véase: página 863 de Dubowchik et al (2002) Bioconj. Chem. 13:855-869. Se añadió catepsina B (de bazo bovino, SIGMA C7800) a 10 μg/ml y las muestras se incubaron durante 1 hora a 37 °C. Como control, se incubaron AAC en tampón solo. La reacción se detuvo mediante la adición de 10 volúmenes de medios de crecimiento bacteriano, Caldo De Soja Tríptico a pH 7,4 (TSB). Para estimar la liberación total de antibiótico activo, se hicieron diluciones en serie de la mezcla de reacción por cuadruplicado en TSB en placas de 96 pocillos y se añadió la cepa USA300 de *S. aureus* a cada pocillo a una densidad final de 2x10³ UFC/ml. Los cultivos se incubaron durante la noche a 3 °C con agitación y se midió el crecimiento bacteriano leyendo la absorbancia a 630 nM usando un lector de placas.

Ejemplo 21 Producción de anticuerpos anti-WTA

Generación de anticuerpos, exploración y selección

15

10

35

40

50

Abreviaturas: MRSA (*S. aureus* resistente a meticilina); MSSA (*S. aureus* sensible a meticilina); VISA (*S. aureus* resistente a productos intermedios de vancomicina); LTA (ácido lipoteicoico); TSB (caldo de soja tríptico); CWP (preparación de pared celular).

20 Los anticuerpos IgG humanos se clonaron a partir de linfocitos B periféricas de pacientes posteriormente a la infección por S. aureus utilizando la tecnología Symplex™ (Symphogen, Lyngby, Dinamarca) que conserva el emparejamiento afín de cadenas pesadas y ligeras de anticuerpos, como se describe en el documento US 8.283.294: "Method for cloning cognate antibodies"; Meijer PJ et al. Journal of Molecular Biology 358:764-772 (2006); y Lantto J et al. J Virol. 85(4):1820-33 (febrero de 2011); Se usaron células plasmáticas y de memoria como fuente genética para los repertorios de IgG recombinantes de longitud completa. Los clones de anticuerpos individuales se 25 expresaron mediante transfección de células de mamífero como se describe en Meijer PJ, et al. Methods in Molecular Biology 525: 261-277, xiv. (2009). Los sobrenadantes que contenían anticuerpos IgG1 de longitud completa se recogieron después de siete días y se usaron para explorar la unión al antígeno mediante ELISA indirecto en la exploración primaria. Se generó una biblioteca de AcM que muestran una unión ELISA positiva a las 30 preparaciones de la pared celular de las cepas de S. aureus cepa USA300 o Wood46. Posteriormente se produjeron anticuerpos en transfecciones transitorias de 200 ml y se purificaron con cromatografía con proteína A (MabSelect SuRe, GE Life Sciences, Piscataway, NJ) para pruebas adicionales. Para la producción de anticuerpos a mayor escala, se produjeron anticuerpos en células CHO. Los vectores que codifican VL y VH se transfectaron en células CHO y la IgG se purificó a partir de medios de cultivo celular mediante cromatografía de afinidad con proteína A.

Tabla 7: Lista de antígenos utilizados para aislar los Ac

Ag	Descripción	Vendedor/fuente	Recubrimiento						
WTA	Ácido teicoico de pared (WTA) de estafilococo A. N.º de Cat. R84500 (2 mg/vial), N.º de lote 5E14909.	Meridian Life Sciences	2 μg/ml						
PGN	Peptidoglicano de <i>Staphylococcus aureus</i> ; N.º de Cat. 77140, N.º de lote 1396845	Sigma	2 μg/ml						
CW n.º 1	CW de USA300, RPMI, agotamiento de hierro. Fase estacionaria	Genentech, 100x							
CW n.º 3	CW de USA300, TSB. Fase estacionaria	Genentech, 500X							
CW n.º 4	CW de Wood46, TSB. Fase estacionaria	Genentech, 500X							
Siempre se mezclaron CW n.º 1 y CW n.º 3 para hacer el recubrimiento ELISA:									

La Figura 6 resume la exploración primaria de los anticuerpos mediante ELISA. Todos (excepto 4569) se aislaron cuando se exploraron con la mezcla de preparación de la pared celular (CWP por sus siglas en inglés) de USA300 (agotamiento de hierro:TSB en una relación de 96:4). Todos los Ac de GlcNAc beta (excepto 6259), SDR y PGN (4479) también fueron positivos para PGN y WTA en la exploración primaria. Todos los GlcNAc alfa se encontraron exclusivamente mediante exploración para la unión con la mezcla de CW de USA300. El 4569 (específico de LTA) se encontró mediante exploración en CWP de Wood46.

45 Selección de Acm anti-WTA de la biblioteca usando citometría de flujo ex vivo

Se consultó cada AcM dentro de esta biblioteca por tres criterios de selección: (1) intensidad relativa de unión de AcM a la superficie de MRSA, como una indicación de alta expresión del antígeno afín correspondiente que favorecería un alto suministro de antibióticos; (2) consistencia de la unión de AcM a MRSA aislado de una variedad diversa de tejidos infectados, como una indicación de la expresión estable del antígeno afín en la superficie de MRSA *in vivo* durante las infecciones; y (3) capacidad de unión de AcM a un panel de cepas clínicas de S. *aureus*,

como una indicación de conservación de la expresión del antígeno de superficie afín. Con este fin, se usó citometría de flujo para probar todos estos sobrenadantes de cultivo de AcM preseleccionados en la biblioteca para determinar la reactividad con S. *aureus* de varios tejidos infectados y de diferentes cepas S. *aureus*.

Todos los AcM en la biblioteca se analizaron para determinar su capacidad para unirse a MRSA de riñones, bazos, hígados y pulmones infectados de ratones infectados con MRSA USA300; y dentro de corazones o riñones de conejos que se infectaron con USA300 COL en un modelo de endocarditis de conejo. La capacidad de un anticuerpo para reconocer S. aureus de varios tejidos infectados aumenta la probabilidad de que el anticuerpo terapéutico sea activo en una amplia variedad de infecciones clínicas diferentes con S. aureus. Las bacterias se analizaron 10 inmediatamente después de la recogida de los órganos, es decir, sin subcultivo, para prevenir cambios fenotípicos causados por condiciones de cultivo in vitro. Los presentes inventores habían observado previamente que varios antígenos de superficie de S. aureus, aunque se expresaban durante el cultivo in vitro, perdían su expresión en tejidos infectados. Es poco probable que los anticuerpos dirigidos contra tales antígenos sean útiles para tratar infecciones. Durante el análisis de esta biblioteca de AcM en varios tejidos infectados, esta observación se confirmó 15 para un número significativo de anticuerpos, que mostró una unión significativa a bacterias S. aureus de cultivo, pero ausencia de unión a bacterias de todos los tejidos infectados probados. Algunos anticuerpos se unen a las bacterias de algunos tejidos infectados, pero no todos. Por lo tanto, en la presente invención, los presentes inventores seleccionaron los anticuerpos que pudieron reconocer las bacterias de todas las condiciones de infección probadas. Los parámetros que se evaluaron fueron (1) intensidad de fluorescencia relativa, como medida para la abundancia 20 de antígeno; (2) número de órganos que se tiñeron positivamente, como medida para la estabilidad de la expresión de antígeno; y (3) capacidad de unión de AcM a un panel de cepas clínicas de S. aureus como una indicación de conservación de la expresión del antígeno de superficie afín. La intensidad de fluorescencia de los anticuerpos de prueba se determinó con respecto a un anticuerpo de control de isotipo dirigido contra un antígeno no relevante, por ejemplo, AcM IgG1 anti-gD:5237 de herpes virus (referenciado a continuación). Los AcM contra WTA-beta no solo 25 mostraron la mayor abundancia de antígeno, sino que también mostraron una unión muy consistente a MRSA de todos los tejidos infectados probados y especificados anteriormente.

Adicionalmente, se probó la capacidad de estos AcM para unirse a las siguientes cepas de S. *aureus*, que se cultivaron *in vitro* en TSB: USA300 (MRSA), USA400 (MRSA), COL (MRSA), MRSA252 (MRSA), Wood46 (MSSA), Rosenbach (MSSA), Newman (MSSA) y Mu50 (VISA). Se descubrió que los AcM anti-WTA beta pero no los AcM anti-WTA alfa son reactivos con todas estas cepas. El análisis de la unión a diferentes cepas indicó que WTA beta está más conservado que WTA alfa y, por lo tanto, es más adecuado para AAC.

Ejemplo 22 Caracterización de anticuerpos con especificidad contra los ácidos teicoicos de pared en S. aureus.

i) Confirmación de la especificidad de Ac a WTA

30

35

40

45

50

Se generaron preparaciones de pared celular (CWP) de una cepa de S. *aureus* de tipo silvestre (WT) y una cepa S. *aureus* mutante que carece de *WTA* (ΔTagO; cepa nula para WTA) incubando 40 mg de cepas de S. *aureus* sedimentadas con 1 ml de Tris-HCl 10 mM (pH 7,4) complementado con rafinosa al 30 %, 100 μg/ml de lisostafina (Cell Sciences, Canton, MA) y cóctel inhibidor de proteasas sin EDTA (Roche, Pleasanton, CA), durante 30 min a 37 °C. Los lisados se centrifugaron a 11.600 x g durante 5 minutos y se recogieron los sobrenadantes que contenían componentes de la pared celular. Para el análisis por inmunotransferencia, las proteínas se separaron en un gel de Tris-glicina al 4-12 % y se transfirieron a una membrana de nitrocelulosa (Invitrogen, Carlsbad, CA), seguido de la transferencia con anticuerpos de prueba indicados contra WTA o con anticuerpos de control contra PGN y LTA.

La inmunotransferencia muestra que los anticuerpos contra WTA se unen a las preparaciones de la pared celular de S. aureus de tipo silvestre pero no a las preparaciones de la pared celular de la cepa Δ TagO que carece de WTA. Los anticuerpos de control contra peptidoglicano (anti-PGN) y ácido lipoteicoico (anti-LTA) se unen bien a ambas preparaciones de la pared celular. Estos datos indican la especificidad de los anticuerpos de prueba contra WTA.

ii) Citometría de flujo para determinar el grado de unión de AcM a la superficie de MRSA

La expresión del antígeno de superficie en bacterias enteras de tejidos infectados se analizó mediante citometría de flujo usando el siguiente protocolo. Para la tinción de anticuerpos de bacterias de tejidos de ratones infectados, se infectaron ratones hembra C57B1/6 de 6-8 semanas de edad (Charles River, Wilmington, MA) por vía intravenosa con 10⁸ UFC de USA300 cultivada en fase logarítmica en PBS. Los órganos de los ratones se recogieron dos días después de la infección. La endocarditis infecciosa de conejo (IE, por sus siglas en inglés) se estableció como se describe anteriormente en Tattevin P. et al. Antimicrobial agents and chemotherapy 54: 610-613 (2010). Los conejos se inyectaron por vía intravenosa con 5x10⁷ UFC de la cepa COL de MRSA cultivada en fase estacionaria y se recogieron las vegetaciones del corazón dieciocho horas más tarde. El tratamiento con 30 mg/kg de vancomicina se administró por vía intravenosa dos veces al día, 18 h después de la infección con 7x10⁷ UFC en fase estacionaria

Para lisar células de ratón o conejo, los tejidos se homogeneizaron en tubos M (Miltenyi, Auburn, CA) usando un disociador de células gentleMACS (Miltenyi), seguido de incubación durante 10 minutos a temperatura ambiente en PBS que contiene Triton-X100 (Thermo) al 0,1 %, 10 µg/ml de DNAsal (Roche) y cóctel de inhibidor de proteasas

Complete Mini (Roche). Las suspensiones se pasaron a través de un filtro de 40 micras (BD) y se lavaron con HBSS sin rojo fenol complementado con BSA sin IgG al 0,1 % (Sigma) y Hepes 10 mM, pH 7,4 (tampón HB). Las suspensiones bacterianas se incubaron después con 300 µg/ml de IgG de conejo (Sigma) en tampón HB durante 1 ha temperatura ambiente (RT) para bloquear la unión inespecífica de IgG. Las bacterias se tiñeron con 2 μg/ml de anticuerpos primarios, incluyendo rF1 o AcM anti-qD:5237 de herpes virus con IgG1 de control de isotipo (Nakamura GR et al., J Virol 67: 6179-6191 (1993)) y a continuación, con anticuerpos secundarios fluorescentes anti-IgG humana (Jackson Immunoresearch, West Grove, PA). Para permitir la diferenciación de bacterias de residuos de órganos de ratones o conejos, se realizó una doble tinción usando 20 μg/ml de AcM 702 de ratón antipeptidoglicano de S. aureus(Abcam, Cambridge, MA) y un anticuerpo secundario anti-IgG de ratón marcado con fluorocromo (Jackson Immunoresearch). Las bacterias se lavaron y analizaron por FACSCalibur (BD). Durante el análisis por citometría de flujo, las bacterias se seleccionaron para la tinción positiva con AcM 702 de gráficos de fluorescencia doble

iii) Medición de la afinidad de unión a S. aureus y densidad de antígenos en MRSA

La Tabla 8 muestra el análisis de unión en equilibrio de los anticuerpos de MRSA que se unen a la cepa Newman-ΔSPA, y la densidad de antígenos en la bacteria.

		<u>Tabla 8</u>	
Anticuerpo de MRSA	Especificidad	K _D promedio, nM (n=2)	Densidad de antígenos, Sitios promedio/ Bacteria
4497	b-WTA	2,5	50.000
4462	b-WTA	3,1	43.000
6263	b-WTA	1,4	22.000
6297	b-WTA	1,1	21.000
7578	a-WTA	0,4	16.000
rF1	SDR-glico	0,3	1600

20

40

10

15

La K_D y la densidad de antígenos se obtuvieron usando un ensayo de unión a células con radioligando en las siguientes condiciones de ensayo: DMEM + tampón de unión a suero de ratón al 2,5 %; unión de la solución durante 2 horas a temperatura ambiente (RT); y usando 400.000 bacterias/pocillo.

El Ac 6263 es similar a 6078 en que las secuencias son muy similares. Excepto por el segundo resto (R frente a G) 25 en CDR H3, todas las otras secuencias CDR de cadena L y H son idénticas.

Ejemplo 23 Modificación por ingeniería de mutantes de anticuerpos de WTA

30 En síntesis, la región VH de cada uno de los Ac anti-WTA beta se clonó y se enlazó a la región constante gamma1 de la cadena H humana y la VL se enlazó a la región constante kappa para expresar los Ac como IgG1. En algunos casos, las secuencias de tipo silvestre se alteraron en determinadas posiciones para mejorar la estabilidad de los anticuerpos como se describe a continuación. Después se generaron Ac modificados por ingeniería con cisteína (TioMab). 35

i. Enlace de regiones variables a regiones constantes

Las regiones VH de los Ac de WTA beta identificadas a partir de la biblioteca de anticuerpos humanos anterior se enlazaron a las regiones constantes y1 humanas para preparar Ac lgG1 de longitud completa. Las cadenas L eran cadenas L kappa.

ii. Generación de variantes de estabilidad

Los Ac de WTA en la Figura 14, (véanse en particular, las figuras 15A, 15B, 16A, 16B) se modificaron por ingeniería para mejorar determinadas propiedades (tales como evitar la desamidación, la isomerización del ácido aspártico, la 45 oxidación o la glicosilación ligada a N) y se probaron para determinar la retención de la unión al antígeno, así como la estabilidad química después de los reemplazos de aminoácidos. El ADN monocatenario de los clones que codifican las cadenas pesadas o ligeras se purificó a partir de partículas de fago M13KO7 cultivadas en células CJ236 de E. coli usando un kit QIAprep Spin M13 (Qiagen). Se usaron oligonucleótidos sintéticos 5' fosforilados con 50 las secuencias:

5'-CCCAGACTGCACCAGCTGGATCTCTGAATGTACTCCAGTTGC-3' (SEQ ID NO: 152)

5'-CCAGACTGCACCAGCTGCACCTCTGAATGTACTCCAGTTGC-3' (SEQ ID NO: 153)

5'CCAGGGTTCCCTGGCCCCAWTMGTCAAGTCCASCWKCACCTCTTGCACAGTAATAGACAGC-3' (SEQ ID NO: 154);

5 y

20

25

50

55

60

65

5'-CCTGGCCCCAGTCGTCAAGTCCTCCTTCACCTCTTGCACAGTAATAGACAGC-3 '(SEQ ID NO: 155) (códigos IUPAC)

para mutar los clones que codifican los anticuerpos mediante mutagénesis dirigida al sitio de oligonucleótidos como se describe mediante mutagénesis específica de sitio siguiendo la metodología descrita en Kunkel, T.A. (1985). Rapid and efficient site-specific mutagenesis without phenotypic selection. Proceedings of the National Academy of Sciences USA 82(2): 488-492. Se usó ADN mutagenizado para transformar células XL1-Blue de *E. coli* (Agilent Technologies) y se sembraron en placas sobre placas de Caldo Luria que contenían 50 μg/ml de Carbenicilina. Las colonias se recogieron individualmente y se cultivaron en medio líquido de Caldo Luria que contenía 50 μg/ml de Carbenicilina. Se secuenció el ADN Miniprep para confirmar la presencia de mutaciones.

Para el Ac 6078, el segundo aminoácido en la VH, met (met-2), es propenso a la oxidación. Por lo tanto, met-2 se mutó a lle o Val, para evitar la oxidación del resto. Debido a que la alteración de met-2 puede afectar la afinidad de unión, se probaron los mutantes para determinar la unión a CWP de estafilococos por ELISA.

Se descubrió que los motivos "DG" o "DD" de la CDR H3 eran propensos a transformarse en ácido isoaspártico. El Ac 4497 contiene DG en las posiciones 96 y 97 de CDR H3 (véase la Figura 18B) y se alteró por estabilidad. CDR H3 es generalmente crítico para la unión al antígeno, por lo que se evaluó la unión a antígeno y la estabilidad química de varios mutantes (véase la Figura 18A). El mutante D96E (v8) conserva la unión a antígeno, similar al AC 4497 de tipo silvestre (Figura 18A; Figura 18B) y es estable y no forma ácido isoaspártico.

ELISA de CWP de estafilococos

Para el análisis de mutantes del anticuerpo 6078, una preparación de pocillos de células USA300 ΔSPA de *S. aureus* (WT) tratada con lisostafina que consiste en IX10⁹ microbios/ ml se diluyeron 1/100 en carbonato de sodio 0,05 pH 9,6 y se recubrieron sobre placas ELISA de 384 pocillos (Nunc; Neptune, NJ) durante una incubación durante la noche a 4 °C. Las placas se lavaron con PBS más Tween-20 al 0,05 % y se bloquearon durante una incubación de 2 horas con PBS más albúmina de suero bovino al 0,5 % (BSA). Esta y todas las incubaciones posteriores se realizaron a temperatura ambiente con agitación suave. Las muestras de anticuerpos se diluyeron en muestra/tampón de dilución patrón (PBS, BSA al 0,5 %, Tween 20 al 0,05 %, CHAPS al 0,25 %, EDTA 5 mM, NaCl 0,35 M, 15 ppm de Proclina, pH 7,4), se añadieron a las placas lavadas y se incubaron durante 1,5 - 2 horas. Se detectaron anticuerpos anti-*S. aureus* unidos a la placa durante una incubación de 1 hora con un fragmento F(ab')2 anti- lgG (Fc) humana de cabra conjugado con peroxidasa (Jackson ImmunoResearch; West Grove, PA) diluido a 40 ng/ml en tampón de ensayo (PBS, BSA al 0,5 %, 15 ppm de Proclina, Tween 20 al 0,05%). Después de un lavado final, se añadió tetrametilbencidina (KPL, Gaithersburg, MD), el color se desarrolló durante 5-10 minutos y la reacción se detuvo con ácido fosfórico 1 M. Las placas se leyeron a 450 nm con una referencia de 620 nm utilizando un lector de microplacas.

45 iii. Generación de mutantes modificados por ingeniería con Cys (TioMab)

Los TioMab de longitud completa se produjeron mediante la introducción de una Cisteína en la cadena H (en CHI) o en la cadena L (C_K) en una posición predeterminada como se enseña anteriormente y se describe a continuación para permitir la conjugación del anticuerpo con un producto intermedio enlazador-antibiótico. Las cadenas H y L se clonan después en plásmidos separados y los plásmidos que codifican H y L se cotransfectan en células 293 donde se expresan y se ensamblan en Ac intactos. Las cadenas H y L también se pueden clonar en el mismo plásmido de expresión. Se preparan IgG1 que tienen 2 Cys modificadas por ingeniería, una en cada una de las cadenas H, o 2 Cys modificadas por ingeniería, una en cada una de las cadenas L, o se generó una combinación de cadenas 2H y 2L, cada una con Cys modificadas por ingeniería (HCLCCys) expresando la combinación deseada de cadenas mutantes cys y cadenas de tipo silvestre.

Las Figuras 15A y 15B muestran el 6078 WT y Ac mutantes con la combinación de HC Cys y LC Cys. También se probaron los mutantes de 6078 para determinar su capacidad para unirse a estafilococo A USA300 deficiente en proteína A del cultivo durante la noche. De los resultados del análisis FACS como se muestra en la Figura 19, los Ac mutantes se unieron a USA300 de manera similar que al anticuerpo 6078 WT (sin alterar); las alteraciones de los aminoácidos en los mutantes no perjudicaron la unión a estafilococo A. gD es un anticuerpo de control negativo no específico.

Ejemplo 24 Preparación de Conjugados Anticuerpo-Antibiótico anti-WTA

Los conjugados de anticuerpo anti-ácidos teicoicos de pared-antibiótico (AAC) Tabla 3 se prepararon conjugando un

anticuerpo anti-WTA con un producto intermedio enlazador-antibiótico, incluidos los de la Tabla 2. Antes de la conjugación, los anticuerpos anti-WTA se redujeron parcialmente con TCEP usando métodos convencionales de acuerdo con la metodología descrita en el documento WO 2004/010957. Los anticuerpos parcialmente reducidos se conjugaron con el producto intermedio enlazador -antibiótico utilizando métodos convencionales de acuerdo con la metodología descrita, por ejemplo, en Doronina et al. (2003) Nat. Biotechnol. 21:778-784 y en el documento US 2005/0238649 A1. Brevemente, los anticuerpos parcialmente reducidos se combinaron con el producto intermedio enlazador-antibiótico para permitir la conjugación del producto intermedio enlazador-antibiótico con restos de cisteína reducidos del anticuerpo. Las reacciones de conjugación se desactivaron y se purificaron los AAC. Se determinó la carga antibiótica (número promedio de restos antibióticos por anticuerpo) para cada AAC y estaba entre aproximadamente 1 y aproximadamente 2 para los anticuerpos anti-ácidos teicoicos de pared modificados por ingeniería con un único sitio mutante de cisteína.

10

15

20

45

50

55

60

65

Reducción/Oxidación de TioMab para Conjugación: Los anticuerpos monoclonales modificados por ingeniería con cisteína de longitud completa (ThioMabs - Junutula, et al., 2008b Nature Biotech., 26(8):925-932; Dornan et al (2009) Blood 114(13):2721-2729; documento US 7521541; documento US 7723485; documento WO2009/052249, Shen et al (2012) Nature Biotech., 30(2):184-191; Junutula et al (2008) Jour of Immun. Methods 332:41-52) expresados en células CHO se redujeron con un exceso de aproximadamente 20-40 veces de TCEP (hidrocloruro de tris(2-carboxietil)fosfina) o DTT (ditiotreitol) en Tris 50 mM pH 7,5 con EDTA 2 mM durante 3 horas a 37 °C o durante la noche a temperatura ambiente (Getz et al (1999) Anal. Biochem. Vol 273:73-80; Soltec Ventures, Beverly, MA). El TioMab reducido se diluyó y se cargó en una columna HiTrap S en acetato de sodio 10 mM, pH 5 y se eluyó con PBS que contenía cloruro de sodio 0,3M. Alternativamente, el anticuerpo se acidificó mediante la adición de 1/20° volumen de ácido acético al 10 %, diluido con succinato 10 mM pH 5, cargado en la columna y después se lavó con 10 volúmenes de columna de tampón succinato. La columna se eluyó con Tris 50 mM pH 7,5, EDTA 2 mM.

- 25 El TioMab reducido eluido se trató con un exceso molar de 15 veces de DHAA (ácido deshidroascórbico) o sulfato de cobre acuoso 200 nM (CuSO₄). La oxidación de los enlaces disulfuro intercadena se completó en aproximadamente tres horas o más. La oxidación del aire ambiental también fue eficaz. El anticuerpo reoxidado se dializó en succinato de sodio 20 mM pH 5, NaCl 150 mM, EDTA 2 mM y se almacenó congelado a -20 °C.
- 30 Conjugación de TioMab con productos intermedios enlazador-antibióticos: Los tioanticuerpos (TioMab) desbloqueados, reoxidados, se hicieron reaccionar con un exceso molar de 6-8 veces del producto intermedio enlazador-antibiótico de la Tabla 2 (de un stock de DMSO a una concentración de 20 mM) en Tris 50 mM, pH 8, hasta que la reacción se completó (16-24 horas) como se determinó por análisis LC-MS de la mezcla de reacción.
- Los conjugados anticuerpo-antibiótico (AAC) en bruto se aplicaron después a una columna de intercambio catiónico después de la dilución con succinato de sodio 20 mM, pH 5. La columna se lavó con al menos 10 volúmenes de columna de succinato de sodio 20 mM, pH 5, y el anticuerpo se eluyó con PBS. Los AAC se formularon en His/acetato 20 mM, pH 5, con sacarosa 240 mM usando columnas de filtración en gel. Los AAC se caracterizaron por espectroscopía UV para determinar la concentración de proteínas, SEC analítica (cromatografía de exclusión por tamaño) para análisis de agregación y LC-MS antes y después del tratamiento con lisina C endopeptidasa.

La cromatografía de exclusión por tamaño se realizó usando una columna Shodex KW802.5 en fosfato de potasio 0,2 M pH 6,2 con cloruro de potasio 0,25 mM e IPA al 15% a un caudal de 0,75 ml/min. El estado de agregación de AAC se determinó mediante la integración de la absorbancia de área máxima eluida a 280 nm.

El análisis LC-MS se realizó utilizando un instrumento Agilent QTOF 6520 ESI. Como ejemplo, un AAC generado utilizando esta química se trató con endoproteinasa Lys C (Promega) 1:500 p/p en Tris, pH 7,5, durante 30 min a 37 °C. Los fragmentos de escisión resultantes se cargaron en una columna 1000A, 8 um PLRP-S calentada a 80 °C y eluida con un gradiente de 30 % de B a 40 % de B en 5 minutos. Fase móvil A: H₂O con TFA al 0,05 %. Fase móvil B: acetonitrilo con TFA al 0,04 %. Caudal: 0,5 ml/min. La elución de proteínas se monitorizó mediante detección de absorbancia UV a 280 nm antes de la ionización por electropulverización y análisis de MS. Se logró, habitualmente, la resolución cromatográfica del fragmento Fc no conjugado, Fab no conjugado residual y antibiótico-Fab. Los espectros m/z obtenidos se desconvolucionaron utilizando el programa informático Mass Hunter™ (Agilent Technologies) para calcular la masa de los fragmentos de anticuerpos.

Ejemplo 25 Identificación y purificación de la estafopaína B como la proteasa responsable de la escisión

El sobrenadante de un cultivo durante la noche de Wood46 de 3 litros se concentró y se intercambió el tampón usando TFF (10 kDa) en fosfato de sodio 50 mM pH 7. La muestra se cargó en Q Sepaharose FF y las proteínas se separaron cromatográficamente usando un gradiente de NaCl 0-300 mM en fosfato de sodio 50 mM pH 7. Las fracciones activas se identificaron incubando con tioFAB S4497-MC-GGAFAGGG-(pipBOR) ("péptido del núcleo" divulgado como SEQ ID NO: 126) de la Figura 27 y evaluando la escisión del enlazador en el sitio esperado mediante análisis LC-MS. Las fracciones activas se agruparon y se complementaron con sulfato de amonio a una concentración de 2M. Las proteínas se purificaron adicionalmente por cromatografía de interacción hidrófoba en Fenil Sepharose usando un gradiente de sulfato de amonio 2-0 M en TRIS 50 mM pH 7,5. De nuevo, Las fracciones activas se identificaron utilizando el compuesto instrumental. Estas fracciones se agruparon y se purificaron

adicionalmente en Mono Q en acetato de sodio 50 mM pH 5,5 usando un gradiente de sal de NaCl 0-1M. Las fracciones activas de esta etapa de cromatografía se identificaron como antes, se agruparon y se aplicaron a cromatografía de exclusión por tamaño en PBS. SDS-PAGE identificó las fracciones activas y determinó que contenían una única proteína de interés.

5

10

15

Las fracciones activas enriquecidas de la purificación con Q Sepharose se caracterizaron para identificar la clase de proteasa responsable de la actividad. Se encontró que la proteasa estaba inhibida por N-etilmaleimida, indicando que la enzima es probablemente una cisteína proteasa. Después de revisar las cisteína proteasas secretadas conocidas de Staphylococcus aureus, se identificó estafopaína B para tener una especificidad de sustrato similar a la especificidad observada en la exploración REPLi (Kalinska, M., T. Kantyka, et al. (2012). Biochimie 94(2): 318). Se adquirió estafopaína B purificada (Sigma-Aldrich) y se incubó con tioFAB S4497-MC-GGAFAGGG-(pipBOR) ("péptido del núcleo" divulgado como SEQ ID NO: 126) de la Figura 27. Se encontró que la estafopaína B escindía el enlazador en el mismo sitio que la proteasa activa purificada del sobrenadante de Wood46. La estafopaína B y la proteasa activa purificada del sobrenadante del cultivo se incubaron con Alexa Fluor® 488 C₅ maleimida (Invitrogen. Life Technologies, Thermo Fisher Scientific Inc.) para marcar las cisteínas del sitio activo. Las muestras se procesaron en SDS-PAGE para identificar la proteasa como estafopaína B. Los geles de SDS-PAGE de las fracciones activas de la purificación SEC se analizaron junto con la estafopaína B purificada, con y sin Alexa Fluor

20 Las fracciones activas enriquecidas para la purificación con Q sepharose también se analizaron por espectrometría 25

de masa proteómica. Se ejecutaron en SDS-PAGE diez microgramos de fracciones activas B11, B12 y C02 y diez microgramos de fracciones activas, 1, 2, 3 y diez microgramos de una fracción inactiva. Las bandas se quitaron y se sometieron a digestiones nocturnas por tripsina. Las muestras digeridas se analizaron por LC-MS/MS y los resultados de los espectros de masas en tándem se enviaron para la búsqueda en la base de datos utilizando el algoritmo de búsqueda Mascot. La estafopaína B fue el mejor resultado para las cisteína proteasas presentes en las fracciones activas. La Autolisina, que también es una cisteína proteasa, también aparece como un mejor resultado, con la mayor abundancia de péptidos únicos que se producen en la fracción inactiva, el control negativo, por lo tanto, la autolisina se omitió del examen. El análisis proteómico del espectro de masas de las fracciones activas de las purificaciones con Q Sepharose muestra una gran abundancia de estafopaína B. Los datos T de la reestructuración se filtraron para determinar proteínas S. aureus y se clasificaron por número de péptidos en la fracción activa 1.

La proteasa activa se purificó de sobrenadante de cultivo de Wood46 de S. aureus. Las células se cultivaron durante 35

30

la noche a 37 °C en 3 litros de TSB. Las células se eliminaron por centrifugación a 10.000 xg durante 10 min. El sobrenadante se recogió y se hizo pasar a través de dos filtros de 0,22 um. A continuación, se concentró y el tampón se intercambió en fosfato de sodio 50 mM pH 7 usando TFF con una membrana de 10 kD. La muestra se concentró diez veces hasta un volumen de 300 ml. La muestra se cargó en Q Sepaharose FF (GE Healthcare Biosciences AB) y las proteínas se separaron cromatográficamente usando un gradiente de NaCl 0-300 mM en fosfato de sodio 50 mM pH 7. Las fracciones activas se agruparon y se complementaron con sulfato de amonio a una concentración de 2M. Las proteínas se purificaron adicionalmente por cromatografía de interacción hidrófoba en Fenil Sepharose (GE Healthcare Biosciences AB) usando un gradiente de sulfato de amonio 2-0 M en TRIS 50 mM pH 7,5. Las fracciones se agruparon y se purificaron adicionalmente en Mono Q (GE Healthcare Biosciences AB) en acetato de sodio 50 mM pH 5,5 usando un gradiente de sal de NaCl 0-1M. Las fracciones activas de esta etapa de cromatografía se identificaron como antes, se agruparon y se aplicaron a cromatografía de exclusión por tamaño (Zenix-150, Tecnologías Sepax) en PBS.

45

50

55

60

65

40

Para identificar fracciones que contienen la proteasa activa de interés de los presentes inventores, se transfirieron 100 ul de cada fracción a una placa de 96 pocillos donde se incubó con 25 µg de TIOFAB 4497 mal-GGAFAGGG-DNA31 ("péptido del núcleo" divulgado como SEQ ID NO: 126). Se analizaron las fracciones de cada etapa de cromatografía para determinar la actividad, y se usaron 100 ul independientemente de la concentración de proteína. Las muestras se incubaron durante la noche a 37 °C y posteriormente se analizaron por LC-MS para identificar las fracciones donde se había producido la escisión por la proteasa del enlazador-antibiótico. Las fracciones activas agrupadas de la cromatografía Q Sepharose FF se midieron para tener una concentración de proteína total de 14 mg/ml. Se diluyeron 200 µg del conjunto a 2 mg/ml en PBS y se incubaron con y sin N-etilmaleimida (NEM, Sigma) a una concentración final de 0,1 mM. Las muestras se incubaron a temperatura ambiente durante 1 hora. Se añadieron 25 μg de THIOFAB 4497 mal-GGGAFAGGG-DNA31 ("péptido del núcleo" divulgado como SEQ ID NO: 126) a ambas muestras y se incubaron a 37 °C durante 2 horas. A las 2 horas, las muestras se analizaron por LC-MS para identificar si se había producido la escisión por la proteasa del enlazador-antibiótico. Se incubaron aproximadamente 50 ul de las fracciones activas de SEC con 0,1 mM Alexa Fluor 488 C₅ maleimida (Invitrogen) durante 1 hora, independientemente de la concentración de proteínas para el marcado. Los ensayos de escisión con proteasas purificadas se realizaron incubando 5 µM del tioFAB conjugado con proteasa 50 nM en un volumen final de 100 µl. Los ensayos se realizaron en PBS pH 7.2, 4 mM L-Cys, EDTA 2,5 mM o citrato de sodio 100 mM pH 5, NaCl 100 mM, L-Cys 4 mM, EDTA 2,5 mM. Las muestras se incubaron durante 2 horas a 37 °C. A las 2 horas, las reacciones de escisión se desactivaron por dilución 1:1 con TFA al 1 %. Las muestras se ejecutaron posteriormente en LC-MS para determinar el porcentaje de escisión del enlazador. El porcentaje de escisión se determinó integrando los cromatogramas A280 de las especies escindidas e intactas. Los restos antibióticos o cromóforos añadidos en el extremo C de los enlazadores añaden una hidrofobicidad significativa, de modo que se resuelven en el periodo inicial tioFAB con enlazadores intactos y tioFAB con enlazadores escindidos.

Para el análisis proteómico de fracciones enriquecidas, se cargaron diez microgramos de fracciones activas enriquecidas de la purificación con Q Sepahrose® (GE Healthcare Life Sciences) en un gel Bis-Tris al 4-12 % (Life Technologies). Se quitaron carriles de gel completos y se dividieron de arriba a abajo en 11 bandas. Las bandas de gel se destiñeron con acetonitrilo al 50 %/bicarbonato de amonio 50 mM, se redujeron con ditiotreitol (concentración final 50 mM) durante 30 minutos a 50 °C, y se alquilaron con yodoacetamida (concentración final 50 mM) a temperatura ambiente en la oscuridad durante 30 minutos. Las muestras se digirieron después a 37 °C durante la noche con 0,02 μg/μl de tripsina (Promega) en bicarbonato de amonio 50 mM. Las muestras digeridas se inyectaron 10 en una columna capilar de diámetro interno de 100 µm (columna UPLC NanoAcquity, 100 µm x 100 mm, 1,7 µm, BEH130 C18, Waters Corp) y se separaron por cromatografía capilar de fase inversa en un sistema de UPLC NanoAcquity (Waters Corp). Las muestras se cargaron en ácido trifluoroacético al 0,1 % en agua y se eluyeron con un gradiente de 2-90 % de tampón B (donde el tampón A es ácido fórmico al 0,1 %/acetonitrilo al 2 %/ agua al 98 % y el tampón B es ácido fórmico al 0,1 %/agua al 2 %/acetonitrilo al 98 %) a 1,00 µl/min con un tiempo de análisis total de 45 minutos. Los péptidos se eluyeron directamente en un espectrómetro de masas LTQ-Orbitrap XL 15 (ThermoFisher) y se ionizaron usando una fuente ADVANCE (Michrom-Bruker) con un voltaje de pulverización de 1,4 kV. Los datos del espectro de masas se obtuvieron utilizando un método que comprende una exploración MS completa (375-1600 m/z) en el Orbitrap a una resolución de 60.000 M/ΔM a m/z 400 seguido de disociación inducida por colisión (CID, por sus siglas en inglés) de los 8 primeros iones más abundantes detectados en la exploración MS 20 completa en un ciclo repetido a lo largo del gradiente de LC en la trampa iónica lineal. Los resultados del espectro de masas en tándem se enviaron para la búsqueda en la base de datos utilizando el algoritmo de búsqueda Mascot® versión 2.3.02 (Matrix Sciences) contra una base de datos concatenada de diana-señuelo, Uniprot ver 2010_12, que comprende proteínas de S. aureus y contaminantes comunes de laboratorio. Se buscaron los datos con especificidad tríptica, modificaciones variables de la carbamidometilación de cisteína (+57,0215 Da) y oxidación de metionina (+15,995 Da), lo que permite 2 errores de escisión, 20 ppm de masa de iones precursores, y 25 especificación de tolerancia de masa de iones de fragmento de 0,5 Da. Las coincidencias espectrales de péptidos se filtraron usando un algoritmo discriminante lineal (LDA, por sus siglas en inglés) a una tasa de falso descubrimiento falso (FDR, por sus siglas en inglés) del 1 %.

30 Ejemplo 26 Escisión por estafopaína de péptidos de FRET y AAC tioFab

Se incubaron 5 µM de tioFAB 4497 MP-LAFGA-QSY7 ("péptido del núcleo" divulgado como SEQ ID NO: 135) y tioFAB 4497 MP-LAFAA-QSY7 ("péptido del núcleo" divulgado como SEQ ID NO: 136) (Figura 30) con 50 nM de proteasa en PBS pH 7,2, L-Cys 4 mM, EDTA 2,5 mM durante 2 horas a 37 °C. A las 2 horas, las reacciones de escisión se desactivaron por dilución 1:1 con TFA al 1 %. Las muestras se ejecutaron posteriormente en LC-MS para 35 determinar el porcentaje de escisión del enlazador. Todas las proteasas probadas escindieron los dos enlazadores, aunque en diferentes grados y ubicaciones (Tabla 4). La estafopaína A y la estafopaína B escinden los enlazadores en los mismos sitios: MP-LAFG↓A-QSY7 ("péptido del núcleo" divulgado como SEQ ID NO: 135) y MP-LAFA↓A-QSY7 ("péptido del núcleo" divulgado como SEQ ID NO: 136). La estafopaína B logra una escisión del 100 % de 40 ambos enlazadores a la concentración probada. La catepsina B también logró una escisión del 100 % para ambos enlazadores en estas condiciones, aunque los sitios de escisión fueron mixtos. La Catepsina B escindió mal-LAFGA-QSY7 ("péptido del núcleo" divulgado como SEQ ID NO: 135) exclusivamente en MP-LAFG↓A-QSY7 ("péptido del núcleo" divulgado como SEQ ID NO: 135), mientras escindió mal-LAFAA-QSY7 ("péptido del núcleo" divulgado como SEQ ID NO: 136) en MP-LAFA LA-QSY7 ("péptido del núcleo" divulgado como SEQ ID NO: 136) y MP-LAFA LAFA L-QSY7 ("péptido del núcleo" divulgado como SEQ ID NO: 136). La escisión de MP-LAFAA-QSY7 ("péptido 45 del núcleo" divulgado como SEQ ID NO: 136) por estafopaína A fue del 23 %, mientras que la escisión de m MP-LAFGA-QSY7 ("péptido del núcleo" divulgado como SEQ ID NO: 135) fue del 38 %.

Se incubaron 5 µM de AAC-193 con 50 nM de proteasa en PBS pH 7,2, L-Cys 4 mM, EDTA 2,5 mM o citrato de sodio 100 mM pH 5, NaCl 100 mM, L-Cys 4 mM, EDTA 2,5 mM durante 2 horas a 37 °C. A las 2 horas, las reacciones de escisión se desactivaron por dilución 1:1 con TFA al 1 %. Las muestras se ejecutaron posteriormente en LC-MS para determinar el porcentaje de escisión del enlazador. El enlazador-antibiótico optimizado fue escindido eficazmente por todas las proteasas probadas. Tras la escisión por estafopaína A y estafopaína B, se liberó piperazino-rifamicina libre. La estafopaína B logró una escisión del 100 % a pH 5 y 7,2. La estafopaína A mostró una escisión del 100 % a pH 5 y una escisión del 64 % a pH 7,2.

<u>Ejemplo 27</u> El conjugado anticuerpo-antibiótico, tio-S4497 LC v8-MP-LAFG-PABC-(piperazinoBOR) ("péptido del núcleo" divulgado como SEQ ID NO: 128) AAC-215, inhibe S. *aureus in vitro*:

Se suspendieron 1x10⁸ bacterias Wood46 en fase estacionaria en 10 μl de tampón HB (solución salina equilibrada de Hanks complementada con Albúmina De Suero Bovino al 0,1 %) que contenía 100 μg/ml de AAC-215, tio-S4497 LC v8-MP-LAFG-PABC-(piperazinoBOR) (péptido del núcleo "divulgado como SEQ ID NO: 128) o AAC 126, tio-S4497-HC-A118C-MC-vc-PABC-(piperaz-BOR). Este último utiliza un enlazador escindible por catepsina B de valina-citrulina (vc) para suministrar el mismo antibiótico.

Después de 1 hora, las muestras se diluyeron 10 veces mediante la adición de 90 µl de HB o 90 µl de catepsina B

(10 μg/ml de catepsina B en acetato de sodio 20 mM, EDTA 1 mM, L-Cisteína 5 mM, pH 5) y se incubaron a 37 °C durante 3 horas adicionales. La liberación del antibiótico activo se infirió determinando si la incubación de los AAC con la bacteria era capaz de inhibir el crecimiento bacteriano posterior. Las suspensiones de bacterias/AAC se detectaron directamente sobre placas de Agar de Soja Tríptico y se visualizó el crecimiento bacteriano después de la incubación durante la noche a 37 °C. El fármaco activo se libera de AAC conjugado con el producto intermedio enlazador-antibiótico, MC-LAFG-PAB-(piperazinoBOR) ("péptido del núcleo" divulgado como SEQ ID NO: 128).

Las bacterias que se incubaron sin AAC crecieron bien y no se vieron afectadas por el tratamiento con catepsina B. Las bacterias tratadas con AAC-126 que contienen el enlazador escindible por catepsina B, valina-citrulina (vc) crecieron bien después de la incubación en tampón HB solo, pero no pudieron crecer después del tratamiento con AAC-126 + Catepsina B, indicando que se requirió el tratamiento enzimático para liberar antibiótico activo. Por el contrario, las bacterias incubadas con AAC-215 que contiene el enlazador escindible por estafopaína LAFG (SEQ ID NO: 128) no pudieron crecer después de la incubación con tampón HB solo, sugiriendo que la suspensión bacteriana contenía actividad enzimática que era suficiente para liberar el antibiótico activo del AAC con enlazador escindible por estafopaína.

<u>Ejemplo 28</u> El conjugado anticuerpo-antibiótico, AAC -193, tio-S4497 HC v1-MP-LAFG-PABC-(piperazinoBOR) ("péptido del núcleo" divulgado como SEQ ID NO: 128) destruye MRSA intracelular en un ensayo de macrófagos:

20 La cepa USA300 de S. aureus se incubó con diferentes dosis (100 μg/ml, 10 μg/ml, 1 μg/ml o 0,1 μg/ml) de anticuerpo S4497 solo, tio-S4497 HC WT (v8) (SEQ ID NO: 137), AAC-192 LC V205C-MC-vc-PAB-(dimetilpipBOR) ("péptido del núcleo" divulgado como SEQ ID NO: 128) o AAC-193 tio-S4497 HC v1-MP-LAFG-PABC-(piperazinoBOR) para permitir la unión del AAC a la bacteria (Figura 31). S4497 HC WT (v8) 446aa

EVQ LVE SGG GLV QPG GSL RLS CSA SGF SFN SFW MHW VRQ VPG KGL VWI SFT NNE GTT TAY ADS VRG RFI ISR DNA KNT LYL EMN NLR GED TAV YYC ARG DGG LDD WGQ GTL VTV SSA STK GPS VFP LAP SSK STS GGT AAL GCL VKD YFP EPV TVS WNS GAL TSG VHT FPA VLQ SSG LYS LSS VVT VPS SSL GTQ TYI CNV NHK PSN TKV DKK VEP KSC DKT HTC PPC PAP ELL GGP SVF LFP PKP KDT LMI SRT PEV TCV VVD VSH EDP EVK FNW YVD GVE VHN AKT KPR EEQ YNS TYR VVS VLT VLH QDW LNG KEY KCK VSN KAL PAP IEK TIS KAK GQP REP QVY TLP PSR EEM TKN QVS LTC LVK GFY PSD IAV EWE SNG QPE NNY KTT PPV LDS DGS FFL YSK LTV DKS RWQ QGN

VFS CSV MHE ALH NHY TQK SLS LSP GK

10

15

25

30

35

(SEQ ID NO: 137)

Después de 1 hora de incubación, las bacterias opsonizadas se proporcionaron a macrófagos murinos y se incubaron a 37 °C durante 2 horas para permitir la fagocitosis. Después de completar la fagocitosis, la mezcla de infección se reemplazó con medio de crecimiento normal complementado con 50 µg/ml de gentamicina para destruir cualquier bacteria extracelular restante y se determinó el número total de bacterias intracelulares supervivientes 2 días después sembrando en placa diluciones en serie de los lisados de macrófagos sobre placas de Agar de Soja Tríptico (Figura 31). El AAC escindible por estafopaína fue capaz de destruir las USA300 intracelular con una potencia similar en comparación con el AAC escindible por catepsina B. La línea discontinua gris indica el límite de detección para el ensayo (10 UFC/pocillo).

Ejemplo 29 Los AAC actúan de forma selectiva en la destrucción por antibióticos de S. *aureus* a través de la unión específica a antígeno del anticuerpo:

40 Se eligió la cepa Wood46 de S. aureus porque no expresa proteína A, una molécula que se une a la región Fc de los anticuerpos IqG. La cepa Wood46 de S. aureus se incubó con 10 µq/ml o 0,5 µq/ml de anticuerpo S4497, AAC de control de isotipo que contiene un enlazador escindible por catepsina B, AAC-101 tio-trastuzumab HC A118C-MCvc-PAB-(dimetil-pipBOR), AAC-192 tio-S4497 HC WT (v8), LC V205C-MC-vc-PAB-(dimetilpipBOR), AAC de control de isotipo que contiene un enlazador escindible por estafopaína, tio-trastuzumab HC A118C-MP-LAFG-PABC-(piperazinoBOR) ("péptido del núcleo" divulgado como SEQ ID NO: 128) o AAC-193 tio-S4497 HC v1-MP-LAFG-45 PABC-(piperazinoBOR) ("péptido del núcleo" divulgado como SEQ ID NO: 128) durante 1 hora para permitir la unión de los AAC a las bacterias (Figura 32). Para limitar la unión no específica de los AAC, las bacterias opsonizadas se centrifugaron, se lavaron una vez y se resuspendieron en tampón antes de que se proporcionaran a los macrófagos murinos. Después de completar la fagocitosis, la mezcla de infección se reemplazó con medio de crecimiento normal complementado con 50 µg/ml de gentamicina para destruir cualquier bacteria extracelular restante y se determinó el 50 número total de bacterias intracelulares supervivientes 2 días después sembrando en placa diluciones en serie de los lisados de macrófagos sobre placas de Agar de Soja Tríptico (Figura 32). El AAC que contiene un enlazador escindible por estafopaína, AAC-193, fue capaz de destruir todas las bacterias intracelulares detectables, mientras que el AAC de control de isotipo no mostró actividad. El ensayo de macrófagos demuestra que los AAC escindibles 55 por estafopaína pueden destruir las bacterias intracelulares. El conjugado anticuerpo-antibiótico, AAC-125 tio-S4497 LC v8-MP-LAFG-PA-BC-(piperazinoBOR) ("péptido del núcleo" divulgado como SEQ ID NO: 128) es eficaz en un modelo de infección por MRSA in vivo:

10

15

45

65

Los ratones CB17.SCID se reconstituyeron con IgG humana usando una pauta posológica optimizada para producir niveles constantes de al menos 10 mg/ml de IgG humana en suero. Los ratones fueron tratados con anticuerpo 4497(50 mg/kg), AAC-215 con enlazador escindible por estafopaína (50 mg/kg) o un control de isotipo, AAC anti-gD que contiene un enlazador escindible por estafopaína (50 mg/kg). Los ratones recibieron una dosis única de AAC-215 el día 1 después de la infección por inyección intravenosa. Todos los ratones se sacrificaron el día 4 después de la infección y se determinó el número total de bacterias supervivientes en 2 riñones (Figura 33) o en corazón (Figura 34) mediante siembra en placas. El tratamiento con AAC-215 que contiene un enlazador escindible por estafopaína redujo las cargas bacterianas por debajo del límite de detección en 6 de los 8 ratones analizados, mientras que el AAC de control de isotipo mostró actividad limitada. La línea discontinua indica el límite de detección para el ensayo (333 UFC/ratón).

Ejemplo 30 Crecimiento de S. aureus y perfil de actividad de proteasas:

La cepa Wood46 de *Staphylococcus aureus* (ATCC10832) se cultivó durante la noche a 37 °C en caldo de soja tríptico (TSB) con agitación. Los cultivos se centrifugaron a 10.000 xg durante 10 min. El sobrenadante se recogió y se hizo pasar a través de dos filtros de 0,22 um.

20 Perfil de actividad de proteasas de S. aureus: Se concentraron 150 ml de sobrenadante de cultivo y se intercambió el tampón en solución salina tamponada con fosfato (PBS) usando TFF (Millipore Pellicon XL Cassette Biomax 10kDa) hasta un volumen final de 38 ml con una concentración final de proteína total de 1 mg/ml. El ensayo de actividad de proteasas del sobrenadante de Wood46 se realizó utilizando la Biblioteca de Perfiles de Endopeptidasas Rápidas o REPLi (Mimotopes, Victoria, Australia). La biblioteca consta de 3375 péptidos 25 fluorogénicos desactivados internamente en un formato de 96 pocillos dispuestos en 512 grupos. Los péptidos de la biblioteca contienen la secuencia MCA-Gly-Gly-Aaa-Yaa-Zaa-Gly-Gly-DPA-Lys-Lys (SEQ ID NO: 132) donde MCA corresponde al ácido 7-metoxicumarina-4-acético (donante fluorescente) y DPA corresponde al ácido N^b-(2,4dinitrofenil)-L-2,3-diaminopropiónico (aceptor de fluorescencia). Los pocillos que contenían 5 nmoles de péptidos de FRET se solubilizaron en 5 ul de acetonitrilo al 50 % (Sigma). Se añadieron 50 µl (microlitros) del sobrenadante de Wood46 concentrado y 50 ul de PBS a cada pocillo. Las placas se incubaron a 37 °C y se tomaron medidas de 30 fluorescencia a los 0, 30, 60, 140 y 170 minutos. Los datos de fluorescencia se obtuvieron en un Tecan Saphire², excitación λ320nm/emisión λ400nm. El factor de cambio de la intensidad de fluorescencia del criterio de valoración se calculó como F_{final}/F_{inicial}.

Los sitios de escisión del sustrato se determinaron por LC-MS realizada con un Agilent Q-TOF usando una fuente ESI. Se inyectaron 10 ul de cada pocillo y se separaron por cromatografía de fase inversa en una columna Waters Xbridge OST C18 2,5um (4,6 x 50 mm) usando un sistema Agilent 1260 HPLC. Las muestras se eluyeron con un gradiente de 2-90 % de tampón B (donde el tampón A es ácido trifluoroacético al 0,05 %/ agua al 99,95% y el tampón B es ácido trifluoroacético al 0,04 %/acetonitrilo al 99,96%) a 500 µl/min con un tiempo de análisis total de 20 minutos. Los péptidos se eluyeron directamente en un espectrómetro de masas Q-TOF. Los productos de escisión se asignaron basándose en la comparación de los pesos moleculares observados con las masas calculadas correspondientes a la escisión en cada sitio posible.

Ejemplo 31 Síntesis del enlazador peptídico de FRET con maleimida:

El péptido de FRET con maleimida, (MP-Lys(TAMRA)-Gly-Gly-Ala-Phe-Ala-Gly-Gly-Gly-Lys(fluoresceína) ("péptido del núcleo" divulgado como SEQ ID NO: 125) de la Figura 26 se sintetizó mediante química en fase sólida de Fmoc convencional usando un sintetizador de péptidos PS3 (Protein Technologies, Inc.). Se usaron 0,1 mmol de resina Fmoc-Lys(Boc)-Rink amida (Novabiochem) para generar una carboxamida C-terminal. Se añadió Fmoc-Lys(Mtt)-OH (Novabiochem) en el primer resto N-terminal para permitir una determinación química adicional de la cadena lateral 50 después de la eliminación del grupo Mtt. Un aceptor de fluorescencia, 5(6)-carboxitetrametilrrodamina o TAMRA (Novabiochem), se unió a esta amina de cadena lateral en la resina después de que el grupo Mtt se eliminara por tres lavados consecutivos de 30 minutos de TFA al 1 % en diclorometano con triisopropilsilano (TIS) al 3 %. La reacción se dejó proceder durante 20 horas. Después de esta etapa, el grupo Fmoc terminal se elimina con piperidina al 20% en DMF y se acopla con ácido maleimido-propiónico (Bachem AG) mediante HBTU. Los péptidos 55 intermedios marcados con TAMRA se separaron de la resina con ácido trifluoroacético (TFA)/TIS/agua 95:2,5:2,5) (v/v/v) durante 2 horas a temperatura ambiente con agitación suave. La solución de escisión se filtró y se evaporó en una corriente de nitrógeno para eliminar el TFA. Los intermedios en bruto disueltos en una mezcla de agua y acetonitrilo se sometieron a purificación adicional por HPLC de fase inversa con una columna Júpiter de 5 µl C4 (5 60 μm, 10 mm x 250 mm) de Phenomenex. Después de la liofilización, los intermedios purificados se hicieron reaccionar con 10 equivalentes de NHS-fluoresceína (Thermo Scientific) en solución salina tamponada con fosfato 50/50 (PBS)/dimetilformamida (DMF) (v/v) durante 20 horas para marcar la amina libre en la lisina C-terminal. El péptido de FRET se purificó y liofilizó como se describe anteriormente. Todas las mezclas de reacción y productos finales se analizaron y confirmaron por LC-MS.

Síntesis en fase sólida de enlazadores: Todos los enlazadores descritos se sintetizaron usando química en fase

sólida de Fmoc convencional en un sintetizador de péptidos PS3 (Protein Technologies, Inc.). Se utilizó 0,1 mM de resina Fmoc-aminoácido-Wang (Novabiochem) para todos los enlazadores para generar un carboxilo C-terminal. Los enlazadores se purificaron como se describe anteriormente. La unión de QSY7 amina (Invitrogen) se realizó haciendo reaccionar los enlazadores purificados con un exceso molar de 1,1 veces de QSY7 amina, un exceso molar de 1,1 veces de HATU y un exceso molar de 2,2 veces de DIEA en DMF durante la noche a temperatura ambiente. Las especies de enlazador-QSY7 se purificaron como se describe anteriormente. Todas las mezclas de reacción y productos finales se analizaron y confirmaron por LC-MS.

Ejemplo 32 Ensayos de escisión FRET basados en células:

10

15

Los cultivos de Wood46 y USA300 se inocularon con una dilución 1:200 de cultivos durante la noche (0,1 ml en 20 ml) en TSB y se incubaron a 37 °C con agitación. Las cepas se cultivaron hasta la fase exponencial de crecimiento y se sembraron en placas a densidades celulares de 10^8 células/ml y 10^7 células/ml en caldo de soja tríptico (TSB). Los conjugados de tioMAB péptido de FRET se añadieron a los pocillos a una concentración final de péptido de FRET de 2 μ M. Las placas se incubaron a 37 °C y la fluorescencia se controló a lo largo del tiempo, excitación λ 495nm/emisión λ 518nm, durante 210 minutos.

Escisión de tioFAB péptido de FRET y tioFAB mal-GGAFAGGG-DNA31 ("péptido del núcleo" divulgado como SEQ ID NO: 126) por sobrenadante activo concentrado: tioFAB S4497 conjugado con MP-Lys(TAMRA)-Gly-Gly-Ala-Phe-Ala-Gly-Gly-Gly-Lys(fluoresceína) ("péptido del núcleo" divulgado como SEQ ID NO: 125) o LA-59 MP-Gly-Gly-Ala-Phe-Ala-Gly-Gly-(pipBOR) ("péptido del núcleo" divulgado como SEQ ID NO: 126) se incubaron con sobrenadante de Wood46 concentrado que se había procesado como se describe anteriormente. TioFAB S4497 y el sobrenadante se mezclaron 1: 1 sobre una base de miligramos (25 μg de tioFAB S4497 con 25 μg de sobrenadante proteico) en PBS. Las muestras se incubaron durante 2 horas a 37 °C. A las 2 horas, la reacción se desactivó diluyendo 1:1 con TFA al 0,1 %. Las muestras se analizaron por LC-MS para determinar la cantidad de escisión y los productos de escisión.

Aunque la invención anterior se ha descrito con cierto nivel de detalle a modo de ilustración y ejemplo a efectos de claridad de comprensión, no debe interpretarse que las descripciones y ejemplos limitan el ámbito de la invención.

30

LISTADO DE SECUENCIAS

```
<110> GENENTECH, INC.
```

35 <120> ANTICUERPOS Y CONJUGADOS ANTI TEICÓICOS DE PARED

<130> P4960R2-WO

<140>

40 <141>

<150> 14/284.609

<151> 22/05/2014

45 <150> 61/829.461

<151> 31/05/2013

<160> 180

50 <170> PatentIn versión 3.5

<210> 1

<211> 17

<212> PRT

55 <213> Secuencia artificial

<220>

<221> fuente

<223> /nota= "Descripción de la secuencia artificial: Péptido sintético"

60

<400> 1

```
Lys Ser Ser Gln Ser Val Leu Ser Arg Ala Asn Asn Asn Tyr Tyr Val
                                     5
                                                               10
                                                                                         15
               Ala
        <210> 2
        <211> 7
 5
        <212> PRT
        <213> Secuencia artificial
        <220>
        <221> fuente
10
        <223> /nota= "Descripción de la secuencia artificial: Péptido sintético"
        <400> 2
                                   Trp Ala Ser Thr Arg Glu Phe
                                                         5
                                   1
15
        <210> 3
        <211>9
        <212> PRT
        <213> Secuencia artificial
20
        <220>
        <221> fuente
        <223> /nota= "Descripción de la secuencia artificial: Péptido sintético"
25
        <400> 3
                               Gln Gln Tyr Tyr Thr Ser Arg Arg Thr
30
        <210> 4
        <211> 5
        <212> PRT
        <213> Secuencia artificial
        <220>
35
        <221> fuente
        <223> /nota= "Descripción de la secuencia artificial: Péptido sintético"
        <400> 4
40
                                        Asp Tyr Tyr Met His
                                                              5
        <210> 5
        <211> 17
45
        <212> PRT
        <213> Secuencia artificial
        <220>
        <221> fuente
        <223> /nota= "Descripción de la secuencia artificial: Péptido sintético"
50
        <400> 5
```

```
Trp Ile Asn Pro Lys Ser Gly Gly Thr Asn Tyr Ala Gln Arg Phe Gln
            1
            Gly
        <210>6
        <211> 10
5
        <212> PRT
        <213> Secuencia artificial
        <220>
        <221> fuente
10
        <223> /nota= "Descripción de la secuencia artificial: Péptido sintético"
        <400> 6
                       Asp Cys Gly Ser Gly Gly Leu Arg Asp Phe
                                            5
                                                                      10
15
        <210> 7
        <211> 16
        <212> PRT
        <213> Secuencia artificial
20
        <220>
        <221> fuente
        <223> /nota= "Descripción de la secuencia artificial: Péptido sintético"
25
           Arg Ser Asn Gln Asn Leu Leu Ser Ser Ser Asn Asn Asn Tyr Leu Ala
                                5
                                                                                    15
        <210>8
        <211> 7
30
        <212> PRT
        <213> Secuencia artificial
        <220>
35
        <221> fuente
        <223> /nota= "Descripción de la secuencia artificial: Péptido sintético"
        <400> 8
                                  Trp Ala Ser Thr Arg Glu Ser
                                  1
                                                       5
40
        <210>9
        <211>9
        <212> PRT
45
        <213> Secuencia artificial
        <220>
        <221> fuente
        <223> /nota= "Descripción de la secuencia artificial: Péptido sintético"
50
        <400> 9
                                Gln Gln Tyr Tyr Ala Asn Pro Arg Thr
                                                     5
```

```
<210> 10
        <211>5
        <212> PRT
        <213> Secuencia artificial
 5
        <220>
        <221> fuente
        <223> /nota= "Descripción de la secuencia artificial: Péptido sintético"
10
        <400> 10
                                         Asp Tyr Tyr Ile His
                                                               5
        <210> 11
15
        <211> 17
        <212> PRT
        <213> Secuencia artificial
        <220>
20
        <221> fuente
        <223> /nota= "Descripción de la secuencia artificial: Péptido sintético"
              Trp Ile Asn Pro Asn Thr Gly Gly Thr Tyr Tyr Ala Gln Lys Phe Arg
              1
                                   5
                                                              10
                                                                                        15
              Asp
25
        <210> 12
        <211> 10
        <212> PRT
30
        <213> Secuencia artificial
        <220>
        <221> fuente
        <223> /nota= "Descripción de la secuencia artificial: Péptido sintético"
35
        <400> 12
                            Asp Cys Gly Arg Gly Gly Leu Arg Asp Ile
                                                                            10
40
        <210> 13
        <211> 17
        <212> PRT
        <213> Secuencia artificial
        <220>
45
        <221> fuente
        <223> /nota= "Descripción de la secuencia artificial: Péptido sintético"
        <400> 13
50
              Lys Ser Asn Gln Asn Val Leu Ala Ser Ser Asn Asp Lys Asn Tyr Leu
                                                              10
                                                                                        15
              Ala
```

```
<210> 14
        <211>7
        <212> PRT
        <213> Secuencia artificial
 5
        <220>
        <221> fuente
        <223> /nota= "Descripción de la secuencia artificial: Péptido sintético"
10
        <400> 14
                                    Trp Ala Ser Ile Arg Glu Ser
                                                         5
        <210> 15
15
        <211>9
        <212> PRT
        <213> Secuencia artificial
        <220>
20
        <221> fuente
        <223> /nota= "Descripción de la secuencia artificial: Péptido sintético"
        <400> 15
                             Gln Gln Tyr Tyr Thr Asn Pro Arg Thr
                                                  5
25
        <210> 16
        <211>5
        <212> PRT
30
        <213> Secuencia artificial
        <220>
        <221> fuente
        <223> /nota= "Descripción de la secuencia artificial: Péptido sintético"
35
        <400> 16
                                        Asp Tyr Tyr Ile His
                                                             5
40
        <210> 17
        <211> 17
        <212> PRT
        <213> Secuencia artificial
45
        <220>
        <221> fuente
        <223> /nota= "Descripción de la secuencia artificial: Péptido sintético"
        <400> 17
50
              Trp Ile Asn Pro Asn Thr Gly Gly Thr Asn Tyr Ala Gln Lys Phe Gln
                                                               10
              Gly
        <210> 18
        <211> 10
55
        <212> PRT
```

```
<213> Secuencia artificial
        <220>
        <221> fuente
 5
        <223> /nota= "Descripción de la secuencia artificial: Péptido sintético"
        <400> 18
                            Asp Cys Gly Asn Ala Gly Leu Arg Asp Ile
                                                                             10
                                                  5
10
        <210> 19
        <211> 17
        <212> PRT
        <213> Secuencia artificial
15
        <220>
        <221> fuente
        <223> /nota= "Descripción de la secuencia artificial: Péptido sintético"
20
        <400> 19
              Lys Ser Ser Gln Asn Val Leu Tyr Ser Ser Asn Asn Lys Asn Tyr Leu
                                                              10
                                                                                         15
              Ala
        <210> 20
25
        <211> 7
        <212> PRT
        <213> Secuencia artificial
        <220>
30
        <221> fuente
        <223> /nota= "Descripción de la secuencia artificial: Péptido sintético"
        <400> 20
                                   Trp Ala Ser Thr Arg Glu Ser
                                                        5
35
        <210> 21
        <211> 10
        <212> PRT
        <213> Secuencia artificial
40
        <220>
        <221> fuente
        <223> /nota= "Descripción de la secuencia artificial: Péptido sintético"
45
        <400> 21
                         Gln Gln Tyr Tyr Thr Ser Pro Pro Tyr Thr
                                              5
                                                                         10
50
        <210> 22
        <211> 5
        <212> PRT
        <213> Secuencia artificial
55
        <220>
```

```
<221> fuente
        <223> /nota= "Descripción de la secuencia artificial: Péptido sintético"
        <400> 22
 5
                                      Ser Tyr Trp Ile Gly
                                                           5
        <210> 23
        <211> 17
        <212> PRT
10
        <213> Secuencia artificial
        <220>
        <221> fuente
15
        <223> /nota= "Descripción de la secuencia artificial: Péptido sintético"
        <400> 23
              Ile Ile His Pro Gly Asp Ser Lys Thr Arg Tyr Ser Pro Ser Phe Gln
                                   5
                                                             10
             Gly
20
        <210> 24
        <211> 29
        <212> PRT
        <213> Secuencia artificial
25
        <220>
        <221> fuente
        <223> /nota= "Descripción de la secuencia artificial: Péptido sintético"
        <400> 24
30
             Leu Tyr Cys Ser Gly Gly Ser Cys Tyr Ser Asp Arg Ala Phe Ser Ser
                                                             10
             Leu Gly Ala Gly Gly Tyr Tyr Tyr Tyr Gly Met Gly Val
        <210> 25
35
        <211> 113
        <212> PRT
        <213> Secuencia artificial
        <220>
40
        <221> fuente
        <223> /nota= "Descripción de la secuencia artificial: Polipéptido sintético"
        <400> 25
```

Asp Ile Gln Met Thr Gln Ser Pro Asp Ser Leu Ala Val Ser Leu Gly 5 10 Glu Arg Ala Thr Ile Asn Cys Lys Ser Ser Gln Ser Val Leu Ser Arg 20 25 30 Ala Asn Asn Asn Tyr Tyr Val Ala Trp Tyr Gln His Lys Pro Gly Gln 40 45 Pro Pro Lys Leu Leu Ile Tyr Trp Ala Ser Thr Arg Glu Phe Gly Val 50 55 60 Pro Asp Arg Phe Ser Gly Ser Gly Ser Gly Thr Asp Phe Thr Leu Thr 65 70 75 80 Ile Asn Ser Leu Gln Ala Glu Asp Val Ala Val Tyr Tyr Cys Gln Gln Tyr Tyr Thr Ser Arg Arg Thr Phe Gly Gln Gly Thr Lys Val Glu Ile Lys

•

<210> 26 5 <211> 119

<212> PRT

<213> Secuencia artificial

<220>

10 <221> fuente

<223> /nota= "Descripción de la secuencia artificial: Polipéptido sintético"

<400> 26

Gln Val Gln Leu Val Gln Ser Gly Ala Glu Val Arg Lys Pro Gly Ala 1 5 10 15

Ser Val Lys Val Ser Cys Lys Ala Ser Gly Tyr Ser Phe Thr Asp Tyr 20 25 30

Tyr Met His Trp Val Arg Gln Ala Pro Gly Gln Gly Leu Glu Trp Met 35 40 45

Gly Trp Ile Asn Pro Lys Ser Gly Gly Thr Asn Tyr Ala Gln Arg Phe 50 55 60

Gln Gly Arg Val Thr Met Thr Gly Asp Thr Ser Ile Ser Ala Ala Tyr 65 70 75 80

Met Asp Leu Ala Ser Leu Thr Ser Asp Asp Thr Ala Val Tyr Tyr Cys 85 90 95

Val Lys Asp Cys Gly Ser Gly Gly Leu Arg Asp Phe Trp Gly Gln Gly
100 105 110

Thr Thr Val Thr Val Ser Ser 115

<210> 27

<211> 112

5 <212> PRT

<213> Secuencia artificial

<220>

<221> fuente

10 <223> /nota= "Descripción de la secuencia artificial: Polipéptido sintético"

<400> 27

	Asp 1	Ile	Gln	Met	Thr 5	Gln	Ser	Pro	Asp	Ser 10	Leu	Ser	Val	Ser	Leu 15	Gly
	Glu	Arg	Ala	Thr 20	Ile	Asn	Cys	Arg	Ser 25	Asn	Gln	Asn	Leu	Leu 30	Ser	Ser
	Ser	Asn	Asn 35	Asn	Tyr	Leu	Ala	Trp 40	Tyr	Gln	Gln	Lys	Pro 45	Gly	Gln	Pro
	Leu	Lys 50	Leu	Leu	Ile	Tyr	Trp 55	Ala	Ser	Thr	Arg	Glu 60	Ser	Gly	Val	Pro
	Asp 65	Arg	Phe	Ser	Gly	Ser 70	Gly	Ser	Gly	Thr	Asp 75	Phe	Thr	Leu	Thr	Ile 80
	Ser	Ser	Leu	Gln	Ala 85	Glu	Asp	Val	Ala	Val 90	Tyr	Tyr	Cys	Gln	Gln 95	Tyr
	Tyr	Ala	Asn	Pro 100	Arg	Thr	Phe	Gly	Gln 105	Gly	Thr	Lys	Val	Glu 110	Ile	Lys
<210> 28 <211> 119 <212> PRT <213> Secuencia artificial																
<220> <221> fuente <223> /nota= "Descripción de la secuencia artificial: Polipéptido sintético"																
<400>	28															
	Gl: 1	n Va	l Gl	n Lei	ı Glı 5	n Gli	n Sei	r Arq	y Vai	l Gl: 10	u Val	l Ly:	s Ar	g Pr	0 Gl; 15	y Thr
	Se:	r Va	l Ly:	s Vai	l Se	r Cya	в Lya	s Thi	r Sei 25	r Gl	у Туз	r Thi	r Pho	e Se:	r As	p Tyr
	Тy	r Il	е Ні: 35	s Tr	o Vai	l Arq	j Lei	u Ala 40	a Pro	o Gl	y Gl	n Gly	y Le: 45	u Gl	u Le	u Met
	G1	y Tr _] 50	p Ile	e Ası	n Pro	o Ası	n Th: 55	r Gly	y Gl	y Th:	г Туі	r Ty:	c Ala	a Gl	n Ly	s Phe
	A rc 65	g As _l	p Ar	g Val	l Th	r Me t	t Th	r Arq	g Ası	o Th	r Sei 75	r Ile	e Ala	a Th:	r Ala	a Tyr 80

Leu Glu Met Ser Ser Leu Thr Ser Asp Asp Thr Ala Val Tyr Tyr Cys

90

```
Ala Lys Asp Cys Gly Arg Gly Gly Leu Arg Asp Ile Trp Gly Pro Gly
                          100
                                                 105
                                                                        110
            Thr Met Val Thr Val Ser Ser
                     115
       <210> 29
       <211> 113
       <212> PRT
 5
       <213> Secuencia artificial
       <220>
       <221> fuente
10
       <223> /nota= "Descripción de la secuencia artificial: Polipéptido sintético"
       <400> 29
             Glu Ile Val Leu Thr Gln Ser Pro Asp Ser Leu Ala Val Ser Leu Gly
                                5
                                                       10
             Glu Arg Ala Thr Ile Asn Cys Lys Ser Asn Gln Asn Val Leu Ala Ser
             Ser Asn Asp Lys Asn Tyr Leu Ala Trp Phe Gln His Lys Pro Gly Gln
                                              40
             Pro Leu Lys Leu Leu Ile Tyr Trp Ala Ser Ile Arg Glu Ser Gly Val
                  50
             Pro Asp Arg Phe Ser Gly Ser Gly Ser Gly Thr Asp Phe Thr Leu Thr
                                     70
             Ile Ser Ser Leu Arg Ala Glu Asp Val Ala Val Tyr Tyr Cys Gln Gln
                                85
                                                       90
             Tyr Tyr Thr Asn Pro Arg Thr Phe Gly Gln Gly Thr Lys Val Glu Phe
                           100
                                                  105
                                                                         110
             Asn
15
       <210> 30
       <211> 119
       <212> PRT
       <213> Secuencia artificial
20
       <221> fuente
       <223> /nota= "Descripción de la secuencia artificial: Polipéptido sintético"
25
       <400> 30
```

	Glu 1	Val	Gln	Leu	Val 5	Gln	Ser	Gly	Ala	Glu 10	Val	Lys	Lys	Pro	Gly 15	Thr
	Ser	Val	Lys	Val 20	Ser	Cys	Lys	Ala	Ser 25	Gly	Tyr	Thr	Phe	Thr 30	Asp	Tyr
	Tyr	Ile	His 35	Trp	Val	Arg	Leu	Ala 40	Pro	Gly	Gln	Gly	Leu 45	Glu	Leu	Met
	Gly	Trp 50	Ile	Asn	Pro	Asn	Thr 55	Gly	Gly	Thr	Asn	Tyr 60	Ala	Gln	Lys	Phe
	Gln 65	Gly	Arg	Val	Thr	Met 70	Thr	Arg	Asp	Thr	Ser 75	Ile	Ala	Thr	Ala	Tyr 80
	Met	Glu	Leu	Ser	Ser 85	Leu	Thr	Ser	Asp	Asp 90	Thr	Ala	Val	Tyr	Tyr 95	Cys
	Ala	Lys	Asp	Cys 100	Gly	Asn	Ala	Gly	Leu 105	Arg	Asp	Ile	Trp	Gly 110	Gln	Gly
	Thr	Thr	Val 115	Thr	Val	Ser	Ser									
<210> 31 <211> 114 <212> PRT <213> Secuencia artificial																
<220> <221> fuente <223> /nota= "Descripción de la secuencia artificial: Polipéptido sintético"																
<400>	31															
	Asp 1	Ile	Gln	Leu	Thr 5	Gln	Ser	Pro	Asp	Ser 10	Leu	Ala	Val	Ser	Leu 15	Gly
	Glu	Arg	Ala	Thr 20	Ile	Asn	Cys	Lys	Ser 25	Ser	Gln	Asn	Val	Leu 30	Tyr	Ser
	Ser	Asn	Asn 35	Lys	Asn	Tyr	Leu	Ala 40	Trp	Tyr	Gln	Gln	Lys 45	Pro	Gly	Gln
	Pro	Pro 50	Lys	Leu	Leu	Ile	Tyr 55	Trp	Ala	Ser	Thr	Arg 60	Glu	Ser	Gly	Val

Pro Asp Arg Phe Ser Gly Ser Gly Ser Gly Thr Asp Phe Thr Leu Thr 70 75 Ile Ser Ser Leu Gln Ala Glu Asp Val Ala Val Tyr Tyr Cys Gln Gln 85 90 95 Tyr Tyr Thr Ser Pro Pro Tyr Thr Phe Gly Gln Gly Thr Lys Leu Glu 105 110 Ile Glu <210> 32 <211> 138 <212> PRT <213> Secuencia artificial <220> <221> fuente <223> /nota= "Descripción de la secuencia artificial: Polipéptido sintético" <400> 32 Glu Val Gln Leu Val Gln Ser Gly Ala Glu Val Lys Lys Pro Gly Glu Ser Leu Lys Ile Ser Cys Lys Gly Ser Gly Tyr Ser Phe Thr Ser Tyr 25 Trp Ile Gly Trp Val Arg Gln Met Pro Gly Lys Gly Leu Glu Trp Met Gly Ile Ile His Pro Gly Asp Ser Lys Thr Arg Tyr Ser Pro Ser Phe Gln Gly Gln Val Thr Ile Ser Ala Asp Lys Ser Ile Ser Thr Ala Tyr 70 75 Leu Gln Trp Asn Ser Leu Lys Ala Ser Asp Thr Ala Met Tyr Tyr Cys Ala Arg Leu Tyr Cys Ser Gly Gly Ser Cys Tyr Ser Asp Arg Ala Phe 105 Ser Ser Leu Gly Ala Gly Gly Tyr Tyr Tyr Tyr Gly Met Gly Val Trp 120 Gly Gln Gly Thr Thr Val Thr Val Ser Ser

130

5

10

```
<210> 33
        <211> 11
        <212> PRT
        <213> Secuencia artificial
 5
        <220>
         <221> fuente
         <223> /nota= "Descripción de la secuencia artificial: Péptido sintético"
10
        <400> 33
                          Arg Ala Ser Gln Thr Ile Ser Gly Trp Leu Ala
                                                                            10
         <210> 34
15
         <211> 7
         <212> PRT
         <213> Secuencia artificial
         <220>
20
         <221> fuente
         <223> /nota= "Descripción de la secuencia artificial: Péptido sintético"
         <400> 34
                                       Lys Ala Ser Thr Leu Glu Ser
                                                             5
25
         <210> 35
         <211> 9
         <212> PRT
30
         <213> Secuencia artificial
         <220>
         <221> fuente
         <223> /nota= "Descripción de la secuencia artificial: Péptido sintético"
35
         <400> 35
                                 Gln Gln Tyr Lys Ser Tyr Ser Phe Asn
                                                       5
40
        <210> 36
        <211> 5
         <212> PRT
         <213> Secuencia artificial
45
        <220>
         <221> fuente
         <223> /nota= "Descripción de la secuencia artificial: Péptido sintético"
         <400> 36
50
                                          Ser Tyr Asp Ile Asn
                                                                5
        <210> 37
        <211> 17
55
        <212> PRT
         <213> Secuencia artificial
         <220>
         <221> fuente
```

```
<223> /nota= "Descripción de la secuencia artificial: Péptido sintético"
        <400> 37
               Trp Met Asn Ala Asn Ser Gly Asn Thr Gly Tyr Ala Gln Lys Phe Gln
               1
                                                                10
               Gly
 5
        <210> 38
        <211> 15
        <212> PRT
10
        <213> Secuencia artificial
        <220>
        <221> fuente
        <223> /nota= "Descripción de la secuencia artificial: Péptido sintético"
15
        <400> 38
                 Ser Ser Ile Leu Val Arg Gly Ala Leu Gly Arg Tyr Phe Asp Leu
                                                                 10
20
        <210> 39
        <211> 11
        <212> PRT
        <213> Secuencia artificial
25
        <220>
        <221> fuente
        <223> /nota= "Descripción de la secuencia artificial: Péptido sintético"
        <400>39
30
                         Arg Ala Ser Gln Thr Ile Ser Gly Trp Leu Ala
                                              5
                                                                         10
        <210> 40
        <211> 7
35
        <212> PRT
        <213> Secuencia artificial
        <220>
        <221> fuente
40
        <223> /nota= "Descripción de la secuencia artificial: Péptido sintético"
        <400> 40
                                     Lys Ala Ser Thr Leu Glu Ser
                                      1
                                                           5
45
        <210>41
        <211>9
        <212> PRT
        <213> Secuencia artificial
50
        <220>
        <221> fuente
        <223> /nota= "Descripción de la secuencia artificial: Péptido sintético"
        <400>41
55
```

Gln Gln Tyr Lys Ser Tyr Ser Phe Asn

```
<210> 42
5
        <211> 5
        <212> PRT
        <213> Secuencia artificial
        <220>
10
        <221> fuente
        <223> /nota= "Descripción de la secuencia artificial: Péptido sintético"
        <400> 42
                                           Ser Tyr Asp Ile Asn
                                                                5
15
        <210> 43
        <211> 17
        <212> PRT
20
        <213> Secuencia artificial
        <220>
        <221> fuente
        <223> /nota= "Descripción de la secuencia artificial: Péptido sintético"
25
        <400> 43
               Trp Met Asn Ala Asn Ser Gly Asn Thr Gly Tyr Ala Gln Lys Phe Gln
                                                              10
              Gly
30
        <210> 44
        <211> 15
        <212> PRT
        <213> Secuencia artificial
35
        <220>
        <221> fuente
        <223> /nota= "Descripción de la secuencia artificial: Péptido sintético"
        <400> 44
40
                  Ser Ser Ile Leu Val Arg Gly Ala Leu Gly Arg Tyr Phe Asp Leu
                                       5
                                                                                            15
        <210> 45
        <211> 12
45
        <212> PRT
        <213> Secuencia artificial
        <220>
        <221> fuente
50
        <223> /nota= "Descripción de la secuencia artificial: Péptido sintético"
        <400> 45
                     Arg Ala Ser Gln Phe Val Ser Arg Thr Ser Leu Ala
                                                                     10
                                           5
```

```
<210>46
        <211> 7
        <212> PRT
 5
        <213> Secuencia artificial
        <220>
        <221> fuente
        <223> /nota= "Descripción de la secuencia artificial: Péptido sintético"
10
        <400>46
                                  Glu Thr Ser Ser Arg Ala Thr
15
        <210> 47
        <211>9
        <212> PRT
        <213> Secuencia artificial
        <220>
20
        <221> fuente
        <223> /nota= "Descripción de la secuencia artificial: Péptido sintético"
        <400> 47
25
                                 His Lys Tyr Gly Ser Gly Pro Arg Thr
        <210>48
        <211> 5
30
        <212> PRT
         <213> Secuencia artificial
        <220>
        <221> fuente
35
        <223> /nota= "Descripción de la secuencia artificial: Péptido sintético"
        <400>48
                                      Asn Tyr Asp Phe Ile
                                                           5
40
        <210>49
        <211> 17
        <212> PRT
         <213> Secuencia artificial
45
        <220>
        <223> /nota= "Descripción de la secuencia artificial: Péptido sintético"
50
               Trp Met Asn Pro Asn Ser Tyr Asn Thr Gly Tyr Gly Gln Lys Phe Gln
               1
                                    5
                                                               10
              Gly
        <210> 50
        <211> 10
55
        <212> PRT
```

```
<213> Secuencia artificial
        <220>
        <221> fuente
 5
        <223> /nota= "Descripción de la secuencia artificial: Péptido sintético"
        <400> 50
                       Ala Val Arg Gly Gln Leu Leu Ser Glu Tyr
                                              5
                                                                         10
10
        <210> 51
        <211> 12
        <212> PRT
        <213> Secuencia artificial
15
        <220>
        <221> fuente
        <223> /nota= "Descripción de la secuencia artificial: Péptido sintético"
        <400> 51
20
                        Arg Ala Ser Gln Ser Val Ser Ser Ser Tyr Leu Ala
                                              5
                                                                         10
        <210> 52
25
        <211>7
        <212> PRT
        <213> Secuencia artificial
        <220>
30
        <221> fuente
        <223> /nota= "Descripción de la secuencia artificial: Péptido sintético"
        <400> 52
                                     Asp Ala Ser Ser Arg Ala Thr
                                                           5
35
        <210> 53
        <211>9
        <212> PRT
40
        <213> Secuencia artificial
        <220>
        <221> fuente
        <223> /nota= "Descripción de la secuencia artificial: Péptido sintético"
45
        <400> 53
                               Gln Lys Tyr Gly Ser Thr Pro Arg Pro
                                                     5
50
        <210> 54
        <211> 5
        <212> PRT
         <213> Secuencia artificial
55
        <220>
        <221> fuente
        <223> /nota= "Descripción de la secuencia artificial: Péptido sintético"
        <400> 54
```

Ser Tyr Asp Ile Asn 1 5

```
<210> 55
5
        <211> 17
        <212> PRT
        <213> Secuencia artificial
        <220>
        <221> fuente
10
        <223> /nota= "Descripción de la secuencia artificial: Péptido sintético"
        <400> 55
              Trp Met Asn Pro Asn Ser Gly Asn Thr Asn Tyr Ala Gln Arg Phe Gln
                                                              10
              Gly
15
        <210> 56
        <211> 17
        <212> PRT
20
        <213> Secuencia artificial
        <220>
        <221> fuente
        <223> /nota= "Descripción de la secuencia artificial: Péptido sintético"
25
        <400> 56
               Glu Arg Trp Ser Lys Asp Thr Gly His Tyr Tyr Tyr Tyr Gly Met Asp
                                     5
                                                               10
               Val
30
        <210> 57
        <211> 11
        <212> PRT
        <213> Secuencia artificial
35
        <220>
        <221> fuente
        <223> /nota= "Descripción de la secuencia artificial: Péptido sintético"
        <400> 57
40
                          Arg Ala Ser Leu Asp Ile Thr Asn His Leu Ala
                           1
                                                5
                                                                          10
        <210> 58
        <211> 7
        <212> PRT
45
        <213> Secuencia artificial
        <220>
        <221> fuente
50
        <223> /nota= "Descripción de la secuencia artificial: Péptido sintético"
        <400> 58
```

```
Glu Ala Ser Ile Leu Gln Ser
                                                         5
        <210> 59
        <211>9
 5
        <212> PRT
        <213> Secuencia artificial
        <220>
        <221> fuente
10
        <223> /nota= "Descripción de la secuencia artificial: Péptido sintético"
        <400> 59
                              Glu Lys Cys Asn Ser Thr Pro Arg Thr
15
        <210> 60
        <211>5
        <212> PRT
        <213> Secuencia artificial
20
        <220>
        <221> fuente
        <223> /nota= "Descripción de la secuencia artificial: Péptido sintético"
25
        <400> 60
                                           Asn Tyr Asp Ile Asn
                                                                 5
        <210> 61
        <211> 17
30
        <212> PRT
        <213> Secuencia artificial
        <220>
35
        <221> fuente
        <223> /nota= "Descripción de la secuencia artificial: Péptido sintético"
        <400> 61
              Trp Met Asn Pro Ser Ser Gly Arg Thr Gly Tyr Ala Pro Lys Phe Arg
                                   5
                                                              10
              1
                                                                                         15
              Gly
40
        <210> 62
        <211> 18
        <212> PRT
45
        <213> Secuencia artificial
        <220>
        <221> fuente
        <223> /nota= "Descripción de la secuencia artificial: Péptido sintético"
50
        <400> 62
```

```
Gly Gly Gly Tyr Tyr Asp Ser Ser Gly Asn Tyr His Ile Ser Gly Leu
                                                             10
                                                                                       15
              Asp Val
        <210> 63
        <211> 12
 5
        <212> PRT
        <213> Secuencia artificial
        <220>
        <221> fuente
10
        <223> /nota= "Descripción de la secuencia artificial: Péptido sintético"
        <400>63
                       Arg Ala Ser Gln Ser Val Gly Ala Ile Tyr Leu Ala
                                                                       10
15
        <210> 64
        <211> 7
        <212> PRT
        <213> Secuencia artificial
20
        <220>
        <221> fuente
        <223> /nota= "Descripción de la secuencia artificial: Péptido sintético"
25
        <400> 64
                                    Gly Val Ser Asn Arg Ala Thr
                                                          5
        <210>65
30
        <211> 10
        <212> PRT
        <213> Secuencia artificial
        <220>
35
        <221> fuente
        <223> /nota= "Descripción de la secuencia artificial: Péptido sintético"
        <400>65
                         Gln Leu Tyr Thr Ser Ser Arg Ala Leu Thr
                                              5
                                                                        10
40
        <210>66
        <211>5
        <212> PRT
45
        <213> Secuencia artificial
        <220>
        <221> fuente
        <223> /nota= "Descripción de la secuencia artificial: Péptido sintético"
50
        <400>66
                                     Ala Tyr Ala Met Asn
```

```
<210> 67
        <211> 17
        <212> PRT
 5
        <213> Secuencia artificial
        <220>
        <221> fuente
        <223> /nota= "Descripción de la secuencia artificial: Péptido sintético"
10
        <400> 67
              Ser Ile Thr Lys Asn Ser Asp Ser Leu Tyr Tyr Ala Asp Ser Val Lys
              1
                                    5
                                                              10
              Gly
15
        <210> 68
        <211> 10
        <212> PRT
        <213> Secuencia artificial
20
        <220>
        <221> fuente
        <223> /nota= "Descripción de la secuencia artificial: Péptido sintético"
        <400> 68
25
                            Leu Ala Ala Arg Ile Met Ala Thr Asp Tyr
                                                  5
                             1
                                                                             10
        <210> 69
        <211> 11
30
        <212> PRT
        <213> Secuencia artificial
        <220>
        <221> fuente
35
        <223> /nota= "Descripción de la secuencia artificial: Péptido sintético"
        <400> 69
                         Arg Ala Ser Gln Gly Ile Arg Asn Gly Leu Gly
                                               5
                                                                          10
40
        <210> 70
        <211> 7
        <212> PRT
        <213> Secuencia artificial
45
        <220>
        <221> fuente
        <223> /nota= "Descripción de la secuencia artificial: Péptido sintético"
50
        <400> 70
                                    Pro Ala Ser Thr Leu Glu Ser
                                                          5
        <210> 71
55
        <211>9
```

```
<212> PRT
        <213> Secuencia artificial
        <220>
 5
        <221> fuente
        <223> /nota= "Descripción de la secuencia artificial: Péptido sintético"
        <400> 71
                            Leu Gln Asp His Asn Tyr Pro Pro Thr
10
        <210> 72
        <211> 5
        <212> PRT
15
        <213> Secuencia artificial
        <220>
        <221> fuente
        <223> /nota= "Descripción de la secuencia artificial: Péptido sintético"
20
                                         Tyr Tyr Ser Met Ile
                                          1
                                                               5
25
        <210> 73
        <211> 17
        <212> PRT
        <213> Secuencia artificial
30
        <220>
        <221> fuente
        <223> /nota= "Descripción de la secuencia artificial: Péptido sintético"
        <400> 73
35
              Ser Ile Asp Ser Ser Ser Arg Tyr Leu Tyr Tyr Ala Asp Ser Val Lys
                                    5
              1
                                                              10
                                                                                         15
              Gly
        <210> 74
        <211> 18
40
        <212> PRT
        <213> Secuencia artificial
        <220>
45
        <221> fuente
        <223> /nota= "Descripción de la secuencia artificial: Péptido sintético"
        <400> 74
              Asp Gly Asp Asp Ile Leu Ser Val Tyr Arg Gly Ser Gly Arg Pro Phe
                                    5
                                                               10
              Asp Tyr
50
        <210> 75
        <211> 11
```

```
<212> PRT
        <213> Secuencia artificial
        <220>
 5
        <221> fuente
        <223> /nota= "Descripción de la secuencia artificial: Péptido sintético"
        <400> 75
                             Arg Ala Ser Gln Gly Ile Arg Asn Gly Leu Gly
                                                   5
10
        <210> 76
        <211> 7
        <212> PRT
15
        <213> Secuencia artificial
        <220>
        <221> fuente
        <223> /nota= "Descripción de la secuencia artificial: Péptido sintético"
20
        <400> 76
                                      Pro Ala Ser Thr Leu Glu Ser
        <210> 77
25
        <211>9
        <212> PRT
         <213> Secuencia artificial
30
        <220>
        <221> fuente
        <223> /nota= "Descripción de la secuencia artificial: Péptido sintético"
        <400> 77
35
                           Leu Gln Asp His Asn Tyr Pro Pro Ser
                           1
                                                 5
        <210> 78
        <211> 5
        <212> PRT
40
         <213> Secuencia artificial
        <220>
        <221> fuente
        <223> /nota= "Descripción de la secuencia artificial: Péptido sintético"
45
        <400> 78
                                        Tyr Tyr Ser Met Ile
50
        <210> 79
        <211> 17
         <212> PRT
        <213> Secuencia artificial
55
        <220>
        <221> fuente
        <223> /nota= "Descripción de la secuencia artificial: Péptido sintético"
```

```
<400> 79
               Ser Ile Asp Ser Ser Ser Arg Tyr Arg Tyr Tyr Thr Asp Ser Val Lys
                                                              10
               Gly
5
        <210>80
        <211> 18
        <212> PRT
        <213> Secuencia artificial
10
        <220>
        <221> fuente
        <223> /nota= "Descripción de la secuencia artificial: Péptido sintético"
15
        <400>80
              Asp Gly Asp Asp Ile Leu Ser Val Tyr Gln Gly Ser Gly Arg Pro Phe
                                   5
              Asp Tyr
        <210>81
20
        <211> 11
        <212> PRT
        <213> Secuencia artificial
        <220>
        <221> fuente
25
        <223> /nota= "Descripción de la secuencia artificial: Péptido sintético"
        <400> 81
                          Arg Ala Ser Gln Ser Val Arg Thr Asn Val Ala
30
        <210> 82
        <211> 7
        <212> PRT
35
        <213> Secuencia artificial
        <220>
        <221> fuente
        <223> /nota= "Descripción de la secuencia artificial: Péptido sintético"
40
        <400> 82
                                     Gly Ala Ser Thr Arg Ala Ser
                                                          5
45
        <210>83
        <211>9
        <212> PRT
        <213> Secuencia artificial
50
        <220>
        <221> fuente
        <223> /nota= "Descripción de la secuencia artificial: Péptido sintético"
```

<400>83 Leu Gln Tyr Asn Thr Trp Pro Arg Thr 5 <210> 84 5 <211> 5 <212> PRT <213> Secuencia artificial 10 <220> <221> fuente <223> /nota= "Descripción de la secuencia artificial: Péptido sintético" <400> 84 15 Thr Asn Asp Met Ser 5 <210> 85 <211> 17 20 <212> PRT <213> Secuencia artificial <220> <221> fuente <223> /nota= "Descripción de la secuencia artificial: Péptido sintético" 25 <400> 85 Thr Ile Ile Gly Ile Asp Asp Thr Thr His Tyr Ala Asp Ser Val Arg 10 15 Gly 30 <210>86 <211> 7 <212> PRT <213> Secuencia artificial 35 <220> <221> fuente <223> /nota= "Descripción de la secuencia artificial: Péptido sintético" <400>86 40 Asn Ser Gly Ile Tyr Ser Phe <210> 87 <211> 11 45 <212> PRT <213> Secuencia artificial <220> 50 <221> fuente <223> /nota= "Descripción de la secuencia artificial: Péptido sintético" <400> 87

Arg Ala Ser Gln Asp Ile Gly Ser Ser Leu Ala

<210>88 <211> 7 5 <212> PRT <213> Secuencia artificial <220> <221> fuente 10 <223> /nota= "Descripción de la secuencia artificial: Péptido sintético" <400>88 Ala Thr Ser Thr Leu Gln Ser 1 5 15 <210>89 <211>9 <212> PRT <213> Secuencia artificial 20 <220> <221> fuente <223> /nota= "Descripción de la secuencia artificial: Péptido sintético" 25 <400>89 Gln Gln Leu Asn Asn Tyr Val His Ser 5 <210> 90 30 <211> 5 <212> PRT <213> Secuencia artificial <220> 35 <221> fuente <223> /nota= "Descripción de la secuencia artificial: Péptido sintético" <400>90 Asp Tyr Ala Met Gly 40 <210>91 <211> 17 <212> PRT 45 <213> Secuencia artificial <220> <221> fuente <223> /nota= "Descripción de la secuencia artificial: Péptido sintético" 50 <400> 91 Val Val Thr Gly His Ser Tyr Arg Thr His Tyr Ala Asp Ser Val Lys 5

Gly

```
<210>92
        <211> 12
        <212> PRT
 5
        <213> Secuencia artificial
        <220>
        <221> fuente
        <223> /nota= "Descripción de la secuencia artificial: Péptido sintético"
10
        <400> 92
                         Arg Ile Trp Ser Tyr Gly Asp Asp Ser Phe Asp Val
        <210>93
15
        <211> 11
        <212> PRT
        <213> Secuencia artificial
20
        <220>
        <221> fuente
        <223> /nota= "Descripción de la secuencia artificial: Péptido sintético"
        <400> 93
25
                            Arg Ala Ser Gln Ser Ile Gly Asp Arg Leu Ala
        <210> 94
        <211> 7
30
        <212> PRT
        <213> Secuencia artificial
        <220>
        <221> fuente
35
        <223> /nota= "Descripción de la secuencia artificial: Péptido sintético"
        <400> 94
                                     Trp Ala Ser Asn Leu Glu Gly
                                                          5
40
        <210> 95
        <211> 8
        <212> PRT
        <213> Secuencia artificial
45
        <220>
        <221> fuente
        <223> /nota= "Descripción de la secuencia artificial: Péptido sintético"
        <400> 95
50
                                 Gln Gln Tyr Lys Ser Gln Trp Ser
                                                       5
        <210>96
55
        <211>5
        <212> PRT
        <213> Secuencia artificial
         <220>
```

```
<221> fuente
        <223> /nota= "Descripción de la secuencia artificial: Péptido sintético"
        <400> 96
 5
                                         Ser Tyr Ala Met Asn
                                                               5
        <210> 97
        <211> 16
10
        <212> PRT
        <213> Secuencia artificial
        <220>
        <221> fuente
15
        <223> /nota= "Descripción de la secuencia artificial: Péptido sintético"
        <400> 97
               Tyr Ile Ser Ser Ile Glu Thr Ile Tyr Tyr Ala Asp Ser Val Lys Gly
                                     5
                                                               10
                                                                                          15
20
        <210> 98
        <211> 13
        <212> PRT
        <213> Secuencia artificial
25
        <220>
        <221> fuente
        <223> /nota= "Descripción de la secuencia artificial: Péptido sintético"
30
        <400> 98
                      Asp Arg Leu Val Asp Val Pro Leu Ser Ser Pro Asn Ser
                                           5
                                                                      10
        <210>99
        <211> 17
35
        <212> PRT
        <213> Secuencia artificial
        <220>
        <221> fuente
40
        <223> /nota= "Descripción de la secuencia artificial: Péptido sintético"
        <400>99
               Lys Ser Ser Gln Ser Ile Phe Arg Thr Ser Arg Asn Lys Asn Leu Leu
               1
                                    5
                                                               10
                                                                                          15
               Asn
45
        <210> 100
        <211> 7
        <212> PRT
50
        <213> Secuencia artificial
        <220>
        <221> fuente
        <223> /nota= "Descripción de la secuencia artificial: Péptido sintético"
55
        <400> 100
```

Trp Ala Ser Thr Arg Lys Ser

```
5
        <210> 101
 5
        <211>9
        <212> PRT
        <213> Secuencia artificial
        <220>
10
        <221> fuente
        <223> /nota= "Descripción de la secuencia artificial: Péptido sintético"
        <400> 101
                                Gln Gln Tyr Phe Ser Pro Pro Tyr Thr
                                                      5
15
        <210> 102
        <211> 5
        <212> PRT
20
        <213> Secuencia artificial
        <220>
        <221> fuente
        <223> /nota= "Descripción de la secuencia artificial: Péptido sintético"
25
        <400> 102
                                           Ser Phe Trp Met His
                                                                 5
                                           1
30
        <210> 103
        <211> 17
        <212> PRT
        <213> Secuencia artificial
35
        <221> fuente
        <223> /nota= "Descripción de la secuencia artificial: Péptido sintético"
        <400> 103
40
              Phe Thr Asn Asn Glu Gly Thr Thr Thr Ala Tyr Ala Asp Ser Val Arg
              1
                                    5
                                                               10
                                                                                          15
              Gly
        <210> 104
        <211> 7
        <212> PRT
45
        <213> Secuencia artificial
        <220>
        <221> fuente
50
        <223> /nota= "Descripción de la secuencia artificial: Péptido sintético"
        <400> 104
                                  Gly Asp Gly Gly Leu Asp Asp
```

```
<210> 105
        <211> 11
        <212> PRT
 5
         <213> Secuencia artificial
        <220>
         <221> fuente
         <223> /nota= "Descripción de la secuencia artificial: Péptido sintético"
10
         <400> 105
                           Arg Ala Ser Gln Phe Thr Asn His Tyr Leu Asn
                                                 5
15
        <210> 106
         <211> 7
         <212> PRT
         <213> Secuencia artificial
        <220>
20
         <221> fuente
        <223> /nota= "Descripción de la secuencia artificial: Péptido sintético"
         <400> 106
25
                                     Val Ala Ser Asn Leu Gln Ser
         <210> 107
         <211>9
30
         <212> PRT
         <213> Secuencia artificial
        <220>
         <221> fuente
35
         <223> /nota= "Descripción de la secuencia artificial: Péptido sintético"
         <400> 107
                             Gln Gln Ser Tyr Arg Thr Pro Tyr Thr
                                                   5
40
        <210> 108
         <211> 5
         <212> PRT
         <213> Secuencia artificial
45
         <220>
         <221> fuente
         <223> /nota= "Descripción de la secuencia artificial: Péptido sintético"
50
         <400> 108
                                           Ser Gly Tyr Tyr Asn
                                                                 5
         <210> 109
         <211> 16
55
         <212> PRT
         <213> Secuencia artificial
         <220>
```

```
<221> fuente
       <223> /nota= "Descripción de la secuencia artificial: Péptido sintético"
       <400> 109
 5
            Tyr Ile Leu Ser Gly Ala His Thr Asp Ile Lys Ala Ser Leu Gly Ser
       <210> 110
       <211> 11
       <212> PRT
10
       <213> Secuencia artificial
       <220>
       <221> fuente
15
       <223> /nota= "Descripción de la secuencia artificial: Péptido sintético"
                       Ser Gly Val Tyr Ser Lys Tyr Ser Leu Asp Val
                                          5
20
       <210> 111
       <211> 107
       <212> PRT
       <213> Secuencia artificial
25
       <220>
       <221> fuente
       <223> /nota= "Descripción de la secuencia artificial: Polipéptido sintético"
30
             Asp Ile Val Met Thr Gln Ser Pro Ser Ile Leu Ser Ala Ser Val Gly
                                5
             Asp Arg Val Thr Ile Thr Cys Arg Ala Ser Gln Thr Ile Ser Gly Trp
                                                   25
             Leu Ala Trp Tyr Gln Gln Lys Pro Ala Glu Ala Pro Lys Leu Leu Ile
                                               40
              Tyr Lys Ala Ser Thr Leu Glu Ser Gly Val Pro Ser Arg Phe Ser Gly
                  50
            Ser Gly Ser Gly Thr Glu Phe Thr Leu Thr Ile Ser Ser Leu Gln Pro
            65
                                   70
                                                           75
            Asp Asp Phe Gly Ile Tyr Tyr Cys Gln Gln Tyr Lys Ser Tyr Ser Phe
                               85
                                                      90
            Asn Phe Gly Gln Gly Thr Lys Val Glu Ile Lys
                          100
                                                 105
35
       <210> 112
       <211> 124
       <212> PRT
```

```
<213> Secuencia artificial
       <220>
       <221> fuente
 5
       <223> /nota= "Descripción de la secuencia artificial: Polipéptido sintético"
       <220>
       <221> VARIANTE
       <222> 1
       <223> Xaa = Gln o Glu
10
       <220>
       <221> VARIANTE
       <222> 2
       <223> Xaa = Met o Ile o Val
15
       <400> 112
             Xaa Xaa Gln Leu Val Gln Ser Gly Ala Glu Val Lys Lys Pro Gly Ala
             Ser Val Lys Val Ser Cys Glu Ala Ser Gly Tyr Thr Leu Thr Ser Tyr
             Asp Ile Asn Trp Val Arg Gln Ala Thr Gly Gln Gly Pro Glu Trp Met
             Gly Trp Met Asn Ala Asn Ser Gly Asn Thr Gly Tyr Ala Gln Lys Phe
                                         55
                                                                 60
             Gln Gly Arg Val Thr Leu Thr Gly Asp Thr Ser Ile Ser Thr Ala Tyr
                                     70
             Met Glu Leu Ser Ser Leu Arg Ser Glu Asp Thr Ala Val Tyr Tyr Cys
                                                       90
                                                                               95
                                85
             Ala Arg Ser Ser Ile Leu Val Arg Gly Ala Leu Gly Arg Tyr Phe Asp
                                                  105
             Leu Trp Gly Arg Gly Thr Leu Val Thr Val Ser Ser
20
       <210> 113
       <211> 214
       <212> PRT
       <213> Secuencia artificial
25
       <220>
       <221> fuente
       <223> /nota= "Descripción de la secuencia artificial: Polipéptido sintético"
```

<400> 113

Asp Ile Val Met Thr Gln Ser Pro Ser Ile Leu Ser Ala Ser Val Gly 5 10 Asp Arg Val Thr Ile Thr Cys Arg Ala Ser Gln Thr Ile Ser Gly Trp Leu Ala Trp Tyr Gln Gln Lys Pro Ala Glu Ala Pro Lys Leu Leu Ile 40 Tyr Lys Ala Ser Thr Leu Glu Ser Gly Val Pro Ser Arg Phe Ser Gly Ser Gly Ser Gly Thr Glu Phe Thr Leu Thr Ile Ser Ser Leu Gln Pro Asp Asp Phe Gly Ile Tyr Tyr Cys Gln Gln Tyr Lys Ser Tyr Ser Phe 85 90 Asn Phe Gly Gln Gly Thr Lys Val Glu Ile Lys Arg Thr Val Ala Ala 100 105 110 Pro Ser Val Phe Ile Phe Pro Pro Ser Asp Glu Gln Leu Lys Ser Gly Thr Ala Ser Val Val Cys Leu Leu Asn Asn Phe Tyr Pro Arg Glu Ala Lys Val Gln Trp Lys Val Asp Asn Ala Leu Gln Ser Gly Asn Ser Gln 145 Glu Ser Val Thr Glu Gln Asp Ser Lys Asp Ser Thr Tyr Ser Leu Ser 165 170 Ser Thr Leu Thr Leu Ser Lys Ala Asp Tyr Glu Lys His Lys Val Tyr 180 185 190 Ala Cys Glu Val Thr His Gln Gly Leu Ser Ser Pro Val Thr Lys Ser 200 195 205

<210> 114

<211> 453

<212> PRT

<213> Secuencia artificial

210

Phe Asn Arg Gly Glu Cys

<220>

5

<221> fuente

<223> /nota= "Descripción de la secuencia artificial: Polipéptido sintético"

<400> 114

- Gln Met Gln Leu Val Gln Ser Gly Ala Glu Val Lys Lys Pro Gly Ala 1 5 10 15
- Ser Val Lys Val Ser Cys Glu Ala Ser Gly Tyr Thr Leu Thr Ser Tyr 20 25 30
- Asp Ile Asn Trp Val Arg Gln Ala Thr Gly Gln Gly Pro Glu Trp Met 35 40 45
- Gly Trp Met Asn Ala Asn Ser Gly Asn Thr Gly Tyr Ala Gln Lys Phe 50 55 60
- Gln Gly Arg Val Thr Leu Thr Gly Asp Thr Ser Ile Ser Thr Ala Tyr 65 70 75 80
- Met Glu Leu Ser Ser Leu Arg Ser Glu Asp Thr Ala Val Tyr Tyr Cys 85 90 95
- Ala Arg Ser Ser Ile Leu Val Arg Gly Ala Leu Gly Arg Tyr Phe Asp 100 105 110
- Leu Trp Gly Arg Gly Thr Leu Val Thr Val Ser Ser Ala Ser Thr Lys 115 120 125
- Gly Pro Ser Val Phe Pro Leu Ala Pro Ser Ser Lys Ser Thr Ser Gly 130 135 140
- Gly Thr Ala Ala Leu Gly Cys Leu Val Lys Asp Tyr Phe Pro Glu Pro 145 150 155 160
- Val Thr Val Ser Trp Asn Ser Gly Ala Leu Thr Ser Gly Val His Thr 165 170 175
- Phe Pro Ala Val Leu Gln Ser Ser Gly Leu Tyr Ser Leu Ser Ser Val 180 185 190
- Val Thr Val Pro Ser Ser Ser Leu Gly Thr Gln Thr Tyr Ile Cys Asn 195 200 205
- Val Asn His Lys Pro Ser Asn Thr Lys Val Asp Lys Lys Val Glu Pro 210 215 220
- Lys Ser Cys Asp Lys Thr His Thr Cys Pro Pro Cys Pro Ala Pro Glu

	225					230					235					240
	Leu	Leu	Gly	Gly	Pro 245	Ser	Val	Phe	Leu	Phe 250	Pro	Pro	Lys	Pro	Lys 255	Asp
	Thr	Leu	Met	Ile 260	Ser	Arg	Thr	Pro	Glu 265	Val	Thr	Cys	Val	Val 270	Val	Asp
	Val	Ser	His 275	Glu	Asp	Pro	Glu	Val 280	Lys	Phe	Asn	Trp	Tyr 285	Val	Asp	Gly
	Val	Glu 290	Val	His	Asn	Ala	Lys 295	Thr	Lys	Pro	Arg	Glu 300	Glu	Gln	Tyr	Asn
	Ser 305	Thr	Tyr	Arg	Val	Val 310	Ser	Val	Leu	Thr	Val 315	Leu	His	Gln	Asp	Trp 320
	Leu	Asn	Gly	Lys	Glu 325	Tyr	Lys	Сув	Lys	Val 330	Ser	Asn	Lys	Ala	Leu 335	Pro
	Ala	Pro	Ile	Glu 340	Lys	Thr	Ile	Ser	Lys 345	Ala	Lys	Gly	Gln	Pro 350	Arg	Glu
	Pro	Gln	Val 355	Tyr	Thr	Leu	Pro	Pro 360	Ser	Arg	Glu	Glu	Met 365	Thr	Lys	Asn
	Gln	Val 370	Ser	Leu	Thr	Cys	Leu 375	Val	Lys	Gly	Phe	Tyr 380	Pro	Ser	Asp	Ile
	Ala 385		Glu	Trp		Ser 390		Gly	Gln	Pro	Glu 395		Asn	Tyr	Lys	Thr 400
	Thr	Pro	Pro	Val	Leu 405	Asp	Ser	Asp	Gly	Ser 410	Phe	Phe	Leu	Tyr	Ser 415	Lys
	Leu	Thr	Val	Asp 420	Lys	Ser	Arg	Trp	Gln 425	Gln	Gly	Asn	Val	Phe 430	Ser	Суѕ
	Ser	Val	Met 435	His	Glu	Ala	Leu	His 440	Asn	His	Tyr	Thr	Gln 445	Lys	Ser	Leu
	Ser	Leu 450	Ser	Pro	Gly											
<210>	115															

<211> 214 <212> PRT

<213> Secuencia artificial

<220>

5

<221> fuente

<223> /nota= "Descripción de la secuencia artificial: Polipéptido sintético"

<400> 115

Asp Ile Val Met Thr Gln Ser Pro Ser Ile Leu Ser Ala Ser Val Gly
1 5 10 15

Asp Arg Val Thr Ile Thr Cys Arg Ala Ser Gln Thr Ile Ser Gly Trp
20 25 30

Leu Ala Trp Tyr Gln Gln Lys Pro Ala Glu Ala Pro Lys Leu Leu Ile 35 40 45

Tyr Lys Ala Ser Thr Leu Glu Ser Gly Val Pro Ser Arg Phe Ser Gly 50 55 60

Ser Gly Ser Gly Thr Glu Phe Thr Leu Thr Ile Ser Ser Leu Gln Pro 65 70 75 80

Asp Asp Phe Gly Ile Tyr Tyr Cys Gln Gln Tyr Lys Ser Tyr Ser Phe 85 90 95

Asn Phe Gly Gln Gly Thr Lys Val Glu Ile Lys Arg Thr Val Ala Ala 100 105 110

Pro Ser Val Phe Ile Phe Pro Pro Ser Asp Glu Gln Leu Lys Ser Gly 115 120 125

Thr Ala Ser Val Val Cys Leu Leu Asn Asn Phe Tyr Pro Arg Glu Ala 130 135 140

Lys Val Gln Trp Lys Val Asp Asn Ala Leu Gln Ser Gly Asn Ser Gln 145 150 155 160

Glu Ser Val Thr Glu Gln Asp Ser Lys Asp Ser Thr Tyr Ser Leu Ser 165 170 175

Ser Thr Leu Thr Leu Ser Lys Ala Asp Tyr Glu Lys His Lys Val Tyr 180 185 190

Ala Cys Glu Val Thr His Gln Gly Leu Ser Ser Pro Cys Thr Lys Ser 195 200 205

Phe Asn Arg Gly Glu Cys 210 <210> 116 <211> 453 <212> PRT

```
5
      <213> Secuencia artificial
      <220>
      <221> fuente
      <223> /nota= "Descripción de la secuencia artificial: Polipéptido sintético"
10
      <220>
      <221> VARIANTE
      <222> 2
      <223> Xaa = Met o Ile o Val
15
      <400> 116
             Glu Xaa Gln Leu Val Gln Ser Gly Ala Glu Val Lys Lys Pro Gly Ala
                                                  10
             Ser Val Lys Val Ser Cys Glu Ala Ser Gly Tyr Thr Leu Thr Ser Tyr
                         20
             Asp Ile Asn Trp Val Arg Gln Ala Thr Gly Gln Gly Pro Glu Trp Met
                     35
                                         40
             Gly Trp Met Asn Ala Asn Ser Gly Asn Thr Gly Tyr Ala Gln Lys Phe
                                      55
                                                          60
             Gln Gly Arg Val Thr Leu Thr Gly Asp Thr Ser Ile Ser Thr Ala Tyr
                                 70
                                                      75
                                                                           80
             Met Glu Leu Ser Ser Leu Arg Ser Glu Asp Thr Ala Val Tyr Tyr Cys
                                                                       95
                             85
                                                  90
             Ala Arg Ser Ser Ile Leu Val Arg Gly Ala Leu Gly Arg Tyr Phe Asp
                                              105
                                                                   110
             Leu Trp Gly Arg Gly Thr Leu Val Thr Val Ser Ser Ala Ser Thr Lys
                     115
                                          120
                                                               125
             Gly Pro Ser Val Phe Pro Leu Ala Pro Ser Ser Lys Ser Thr Ser Gly
                                      135
                                                          140
             Gly Thr Ala Ala Leu Gly Cys Leu Val Lys Asp Tyr Phe Pro Glu Pro
                                 150
                                                      155
             Val Thr Val Ser Trp Asn Ser Gly Ala Leu Thr Ser Gly Val His Thr
                                                  170
                             165
             Phe Pro Ala Val Leu Gln Ser Ser Gly Leu Tyr Ser Leu Ser Ser Val
                         180
                                              185
                                                                   190
             Val Thr Val Pro Ser Ser Leu Gly Thr Gln Thr Tyr Ile Cys Asn
                     195
                                          200
                                                               205
             Val Asn His Lys Pro Ser Asn Thr Lys Val Asp Lys Lys Val Glu Pro
                                      215
                                                          220
             Lys Ser Cys Asp Lys Thr His Thr Cys Pro Pro Cys Pro Ala Pro Glu
                                 230
                                                      235
             Leu Leu Gly Gly Pro Ser Val Phe Leu Phe Pro Pro Lys Pro Lys Asp
                             245
                                                  250
                                                                      255
             Thr Leu Met Ile Ser Arg Thr Pro Glu Val Thr Cys Val Val Val Asp
                                              265
                                                                   270
             Val Ser His Glu Asp Pro Glu Val Lys Phe Asn Trp Tyr Val Asp Gly
                                                               285
             Val Glu Val His Asn Ala Lys Thr Lys Pro Arg Glu Glu Gln Tyr Asn
                                      295
                                                           300
             Ser Thr Tyr Arg Val Val Ser Val Leu Thr Val Leu His Gln Asp Trp
                                  310
                                                       315
             Leu Asn Gly Lys Glu Tyr Lys Cys Lys Val Ser Asn Lys Ala Leu Pro
                             325
                                                  330
             Ala Pro Ile Glu Lys Thr Ile Ser Lys Ala Lys Gly Gln Pro Arg Glu
                                              345
                         340
                                                                   350
             Pro Gln Val Tyr Thr Leu Pro Pro Ser Arg Glu Glu Met Thr Lys Asn
```

```
Gln Val Ser Leu Thr Cys Leu Val Lys Gly Phe Tyr Pro Ser Asp Ile
                           375
                                                  380
     Ala Val Glu Trp Glu Ser Asn Gly Gln Pro Glu Asn Asn Tyr Lys Thr
                          390
                                                395
     Thr Pro Pro Val Leu Asp Ser Asp Gly Ser Phe Phe Leu Tyr Ser Lys
                     405
                                            410
     Leu Thr Val Asp Lys Ser Arg Trp Gln Gln Gly Asn Val Phe Ser Cys
                  420
                                       425
     Ser Val Met His Glu Ala Leu His Asn His Tyr Thr Gln Lys Ser Leu
             435
                                   440
     Ser Leu Ser Pro Gly
         450
<210> 117
<211> 453
<212> PRT
<213> Secuencia artificial
<220>
<221> fuente
<223> /nota= "Descripción de la secuencia artificial: Polipéptido sintético"
<221> VARIANTE
<222> 2
<223> Xaa = Met o Ile o Val
<400> 117
     Glu Xaa Gln Leu Val Gln Ser Gly Ala Glu Val Lys Lys Pro Gly Ala
                      5
                                           10
      Ser Val Lys Val Ser Cys Glu Ala Ser Gly Tyr Thr Leu Thr Ser Tyr
                  20
                                       25
      Asp Ile Asn Trp Val Arg Gln Ala Thr Gly Gln Gly Pro Glu Trp Met
                                   40
      Gly Trp Met Asn Ala Asn Ser Gly Asn Thr Gly Tyr Ala Gln Lys Phe
                              55
                                                   60
     Gln Gly Arg Val Thr Leu Thr Gly Asp Thr Ser Ile Ser Thr Ala Tyr
                                               75
     Met Glu Leu Ser Ser Leu Arg Ser Glu Asp Thr Ala Val Tyr Tyr Cys
                     85
                                          90
      Ala Arg Ser Ser Ile Leu Val Arg Gly Ala Leu Gly Arg Tyr Phe Asp
                  100
                                      105
                                                            110
      Leu Trp Gly Arg Gly Thr Leu Val Thr Val Ser Ser Cys Ser Thr Lys
                                  120
                                                       125
      Gly Pro Ser Val Phe Pro Leu Ala Pro Ser Ser Lys Ser Thr Ser Gly
```

5

10

15

135 140 Gly Thr Ala Ala Leu Gly Cys Leu Val Lys Asp Tyr Phe Pro Glu Pro 150 155 Val Thr Val Ser Trp Asn Ser Gly Ala Leu Thr Ser Gly Val His Thr 165 170 Phe Pro Ala Val Leu Gln Ser Ser Gly Leu Tyr Ser Leu Ser Ser Val 180 185 190 Val Thr Val Pro Ser Ser Ser Leu Gly Thr Gln Thr Tyr Ile Cys Asn 200 195 205 Val Asn His Lys Pro Ser Asn Thr Lys Val Asp Lys Lys Val Glu Pro 215 220 Lys Ser Cys Asp Lys Thr His Thr Cys Pro Pro Cys Pro Ala Pro Glu 230 235 Leu Leu Gly Gly Pro Ser Val Phe Leu Phe Pro Pro Lys Pro Lys Asp 250

Thr Leu Met Ile Ser Arg Thr Pro Glu Val Thr Cys Val Val Val Asp

265

270

```
Val Ser His Glu Asp Pro Glu Val Lys Phe Asn Trp Tyr Val Asp Gly
                    275
                                           280
                                                                 285
           Val Glu Val His Asn Ala Lys Thr Lys Pro Arg Glu Glu Gln Tyr Asn
                                      295
                                                            300
           Ser Thr Tyr Arg Val Val Ser Val Leu Thr Val Leu His Gln Asp Trp
           305
                                  310
                                                                              320
                                                        315
           Leu Asn Gly Lys Glu Tyr Lys Cys Lys Val Ser Asn Lys Ala Leu Pro
                             325
                                                   330
           Ala Pro Ile Glu Lys Thr Ile Ser Lys Ala Lys Gly Gln Pro Arg Glu
                                               345
                         340
                                                                     350
           Pro Gln Val Tyr Thr Leu Pro Pro Ser Arg Glu Glu Met Thr Lys Asn
                                           360
                                                                 365
           Gln Val Ser Leu Thr Cys Leu Val Lys Gly Phe Tyr Pro Ser Asp Ile
                370
                                      375
                                                            380
           Ala Val Glu Trp Glu Ser Asn Gly Gln Pro Glu Asn Asn Tyr Lys Thr
                                  390
                                                        395
                                                                              400
           Thr Pro Pro Val Leu Asp Ser Asp Gly Ser Phe Phe Leu Tyr Ser Lys
                             405
                                                    410
                                                                          415
           Leu Thr Val Asp Lys Ser Arg Trp Gln Gln Gly Asn Val Phe Ser Cys
                         420
                                               425
           Ser Val Met His Glu Ala Leu His Asn His Tyr Thr Gln Lys Ser Leu
                    435
                                           440
                                                                 445
           Ser Leu Ser Pro Gly
                450
       <210> 118
       <211> 7
       <212> PRT
5
       <213> Secuencia artificial
       <220>
       <221> fuente
10
       <223> /nota= "Descripción de la secuencia artificial: Péptido sintético"
       <400> 118
                               Gly Glu Gly Gly Leu Asp Asp
15
       <210> 119
       <211> 113
       <212> PRT
       <213> Secuencia artificial
20
       <220>
       <221> fuente
       <223> /nota= "Descripción de la secuencia artificial: Polipéptido sintético"
25
       <400> 119
            Asp Ile Gln Leu Thr Gln Ser Pro Asp Ser Leu Ala Val Ser Leu Gly
                                                    10
            Glu Arg Ala Thr Ile Asn Cys Lys Ser Ser Gln Ser Ile Phe Arg Thr
                                               25
            Ser Arg Asn Lys Asn Leu Leu Asn Trp Tyr Gln Gln Arg Pro Gly Gln
```

				35					40					45			
		Pro	Pro 50	Arg	Leu	Leu	ı Ile	His 55	Trp	Ala	Ser	Thr	Arg 60	Lys	Ser	Gly	Val
		Pro 65	Asp	Arg	Phe	Ser	Gly 70	Ser	Gly	Phe	Gly	Thr 75	Asp	Phe	Thr	Leu	Thr 80
		Ile	Thr	Ser	Leu	Gln 85	ı Ala	Glu	Asp	Val	Ala 90	Ile	Tyr	Tyr	Cys	Gln 95	Glr
		Tyr	Phe	Ser	Pro 100		Tyr	Thr	Phe	Gly 105		Gly	Thr	Lys	Leu 110		Ile
		Lys															
5	<210> 1 <211> 1 <212> F <213> S	116 PRT	ncia a	rtificia	ıl												
10	<220> <221> f <223> /		"Desc	ripció	n de l	a sec	uencia	a artifi	cial: P	Polipép	otido s	intétio	co"				
	<400> 1	120															
		Glu 1	Val	Gln	Leu	Val 5	Glu	Ser	Gly	Gly	Gly 10	Leu	Val	Gln	Pro	Gly 15	Gly
		Ser	Leu	Arg	Leu 20	Ser	Cys	Ser	Ala	Ser 25	Gly	Phe	Ser	Phe	Asn 30	Ser	Phe
		Trp	Met	His 35	Trp	Val	Arg	Gln	Val 40	Pro	Gly	Lys	Gly	Leu 45	Val	Trp	Ile
		Ser	Phe 50	Thr	Asn	Asn	Glu	Gly 55	Thr	Thr	Thr	Ala	Tyr 60	Ala	Asp	Ser	Val
		Arg 65	Gly	Arg	Phe	Ile	Ile 70	Ser	Arg	Asp	Asn	Al a 75	Lys	Asn	Thr	Leu	Tyr 80
		Leu	Glu	Met	Asn	Asn 85	Leu	Arg	Gly	Glu	Asp 90	Thr	Ala	Val	Tyr	Tyr 95	Cys
		Ala	Arg	Gly	Asp 100	Gly	Gly	Leu	Asp	Asp 105	Trp	Gly	Gln	Gly	Thr 110	Leu	Val

15

Thr Val Ser Ser

<210> 121 <211> 220 <212> PRT <213> Secuencia artificial 5 <220> <221> fuente <223> /nota= "Descripción de la secuencia artificial: Polipéptido sintético" 10 <400> 121 Asp Ile Gln Leu Thr Gln Ser Pro Asp Ser Leu Ala Val Ser Leu Gly 5 10 Glu Arg Ala Thr Ile Asn Cys Lys Ser Ser Gln Ser Ile Phe Arg Thr Ser Arg Asn Lys Asn Leu Leu Asn Trp Tyr Gln Gln Arg Pro Gly Gln Pro Pro Arg Leu Leu Ile His Trp Ala Ser Thr Arg Lys Ser Gly Val 55 Pro Asp Arg Phe Ser Gly Ser Gly Phe Gly Thr Asp Phe Thr Leu Thr Ile Thr Ser Leu Gln Ala Glu Asp Val Ala Ile Tyr Tyr Cys Gln Gln 85 Tyr Phe Ser Pro Pro Tyr Thr Phe Gly Gln Gly Thr Lys Leu Glu Ile 100 105 Lys Arg Thr Val Ala Ala Pro Ser Val Phe Ile Phe Pro Pro Ser Asp 115 120 125 Glu Gln Leu Lys Ser Gly Thr Ala Ser Val Val Cys Leu Leu Asn Asn Phe Tyr Pro Arg Glu Ala Lys Val Gln Trp Lys Val Asp Asn Ala Leu 155 Gln Ser Gly Asn Ser Gln Glu Ser Val Thr Glu Gln Asp Ser Lys Asp 165 Ser Thr Tyr Ser Leu Ser Ser Thr Leu Thr Leu Ser Lys Ala Asp Tyr 180 185 Glu Lys His Lys Val Tyr Ala Cys Glu Val Thr His Gln Gly Leu Ser 200 195 205

Ser Pro Val Thr Lys Ser Phe Asn Arg Gly Glu Cys

215

	fuent		arinai	án da	ام ممم	uonoid	o ortific	sial: D	alinánt	ido oir	atático.	,,				
<223>	· /nota · 122	- Des	вспрск	on de	ia Sec	uencia	a arund	Jai. F	nihehi	liuo sii	itetico					
	Glu 1	Val	Gln	Leu	Val 5	Glu	Ser	Gly	Gly	Gly 10	Leu	Val	Gln	Pro	Gly 15	G:
	Ser	Leu	Arg	Leu 20	Ser	Cys	Ser	Ala	Ser 25	Gly	Phe	Ser	Phe	Asn 30	Ser	P
	Trp	Met	His 35	Trp	Val	Arg	Gln	Val 40	Pro	Gly	Lys	Gly	Leu 45	Val	Trp	I
	Ser	Phe 50	Thr	Asn	Asn	Glu	Gly 55	Thr	Thr	Thr	Ala	Tyr 60	Ala	Asp	Ser	V
	Arg 65	Gly	Arg	Phe	Ile	Ile 70	Ser	Arg	Asp	Asn	Ala 75	Lys	Asn	Thr	Leu	T;
	Leu	Glu	Met	Asn	Asn 85	Leu	Arg	Gly	Glu	Asp 90	Thr	Ala	Val	Tyr	Tyr 95	C
	Ala	Arg	Gly	Glu 100	Gly	Gly	Leu	Asp	Asp 105	Trp	Gly	Gln	Gly	Thr 110	Leu	V
	Thr	Val	Ser 115	Ser	Ala	Ser	Thr	Lys 120	Gly	Pro	Ser	Val	Phe 125	Pro	Leu	A
	Pro	Ser 130	Ser	Lys	Ser	Thr	Ser 135	Gly	Gly	Thr	Ala	Ala 140	Leu	Gly	Cys	L
	Val 145	Lys	Asp	Tyr	Phe	Pro 150	Glu	Pro	Val	Thr	Val 155	Ser	Trp	Asn	Ser	G 1
	Ala	Leu	Thr	Ser	Gly 165	Val	His	Thr	Phe	Pro 170	Ala	Val	Leu	Gln	Ser 175	s
	Gly	Leu	Tvr	Ser	Leu	Ser	Ser	Val	Val	Thr	Val	Pro	Ser	Ser	Sor	т.

			180					185					190		
Gly	Thr	Gln 195	Thr	Tyr	Ile	Cys	Asn 200	Val	Asn	His	Lys	Pro 205	Ser	Asn	Thr
Lys	Val 210	Asp	Lys	Lys	Val	Glu 215	Pro	Lys	Ser	Cys	Asp 220	Lys	Thr	His	Thr
Cys 225	Pro	Pro	Cys	Pro	Ala 230	Pro	Glu	Leu	Leu	Gly 235	Gly	Pro	Ser	Val	Phe 240
Leu	Phe	Pro	Pro	Lys 245	Pro	Lys	Asp	Thr	Leu 250	Met	Ile	Ser	Arg	Thr 255	Pro
Glu	Val	Thr	Cys 260	Val	Val	Val	Asp	Val 265	Ser	His	Glu	Asp	Pro 270	Glu	Val
Lys	Phe	Asn 275	Trp	Tyr	Val	Asp	Gly 280	Val	Glu	Val	His	Asn 285	Ala	Lys	Thr
Lys	Pro 290	Arg	Glu	Glu	Gln	Tyr 295	Asn	Ser	Thr	Tyr	A rg 300	Val	Val	Ser	Val
Leu 305	Thr	Val	Leu	His	Gln 310	Asp	Trp	Leu	Asn	Gly 315	Lys	Glu	Tyr	Lys	Cys 320
Lys	Val	Ser	Asn	Lys 325	Ala	Leu	Pro	Ala	Pro 330	Ile	Glu	Lys	Thr	11e 335	Ser
Lys	Ala	Lys	Gly 340	Gln	Pro	Arg	Glu	Pro 345	Gln	Val	Tyr	Thr	Leu 350	Pro	Pro
Ser	Arg	Glu 355	Glu	Met	Thr	Lys	Asn 360	Gln	Val	Ser	Leu	Thr 365	Cys	Leu	Val
Lys	Gly 370	Phe	Tyr	Pro	Ser	Asp 375	Ile	Ala	Val	Glu	Trp 380	Glu	Ser	Asn	Gly
Gln 385	Pro	Glu	Asn	Asn	Tyr 390	Lys	Thr	Thr	Pro	Pro 395	Val	Leu	Asp	Ser	Asp 400
Gly	Ser	Phe	Phe	Leu 405	Tyr	Ser	Lys	Leu	Thr 410	Val	Asp	Lys	Ser	Arg 415	Trp
Gln	Gln	Gly	Asn 420	Val	Phe	Ser	Cys	Ser 425	Val	Met	His	Glu	Ala 430	Leu	His

Asn His Tyr Thr Gln Lys Ser Leu Ser Leu Ser Pro Gly 435 440 445

5	<210> 1 <211> 2 <212> F <213> S	220 PRT	ncia a	artificia	al												
10	<220> <221> fi <223> /i			cripció	ón de	la sec	uenci	a artifi	cial: F	Polipé	otido s	sintétio	co"				
	<400> 1	23															
		Asp 1	Ile	Gln	Leu	Thr 5	Gln	Ser	Pro	Asp	Ser 10	Leu	Ala	Val	Ser	Leu 15	Gly
		Glu	Arg	Ala	Thr 20	Ile	Asn	Суз	Lys	Ser 25	Ser	Gln	Ser	Ile	Phe 30	Arg	Thr
		Ser	Arg	Asn 35	Lys	Asn	Leu	Leu	Asn 40	Trp	Tyr	Gln	Gln	Arg 45	Pro	Gly	Gln
		Pro	Pro 50	Arg	Leu	Leu	Ile	His 55	Trp	Ala	Ser	Thr	Arg 60	Lys	Ser	Gly	Val
		Pro 65	Asp	Arg	Phe	Ser	Gly 70	Ser	Gly	Phe	Gly	Thr 75	Asp	Phe	Thr	Leu	Thr 80
		Ile	Thr	Ser	Leu	Gln 85	Ala	Glu	Asp	Val	Ala 90	Ile	Tyr	Tyr	Cys	Gln 95	Gln
		Tyr	Phe	Ser	Pro 100	Pro	Tyr	Thr	Phe	Gly 105	Gln	Gly	Thr	Lys	Leu 110	Glu	Ile
		Lys	Arg	Thr 115	Val	Ala	Ala	Pro	Ser 120	Val	Phe	Ile	Phe	Pro 125	Pro	Ser	Asp
		Glu	Gln 130	Leu	Lys	Ser	Gly	Thr 135	Ala	Ser	Val	Val	Cys 140	Leu	Leu	Asn	Asn
		Phe 145	Tyr	Pro	Arg	Glu	Ala 150	Lys	Val	Gln	Trp	Lys 155	Val	Asp	Asn	Ala	Le u 160
		Gln	Ser	Gly	Asn	Ser 165	Gln	Glu	Ser	Val	Thr 170	Glu	Gln	Asp	Ser	Lys 175	Asp
		Ser	Thr	Tyr	Ser 180	Leu	Ser	Ser	Thr	Leu 185	Thr	Leu	Ser	Lys	Ala 190	Asp	Tyr

Glu Lys His Lys Val Tyr Ala Cys Glu Val Thr His Gln Gly Leu Ser 195 200 205

Ser Pro Val Thr Lys Ser Phe Asn Arg Gly Glu Cys 210 215

<210> 124

<211> 444

5 <212> PRT

<213> Secuencia artificial

<220>

<221> fuente

10 <223> /nota= "Descripción de la secuencia artificial: Polipéptido sintético"

<400> 124

Glu Val Gln Leu Val Glu Ser Gly Gly Gly Leu Val Gln Pro Gly Gly 1 5 10 15

Ser Leu Arg Leu Ser Cys Ser Ala Ser Gly Phe Ser Phe Asn Ser Phe 20 25 30

Trp Met His Trp Val Arg Gln Val Pro Gly Lys Gly Leu Val Trp Ile 35 40 45

Ser Phe Thr Asn Asn Glu Gly Thr Thr Thr Ala Tyr Ala Asp Ser Val 50 55 60

Arg Gly Arg Phe Ile Ile Ser Arg Asp Asn Ala Lys Asn Thr Leu Tyr 65 70 75 80

Leu Glu Met Asn Asn Leu Arg Gly Glu Asp Thr Ala Val Tyr Tyr Cys 85 90 95

Ala Arg Gly Glu Gly Gly Leu Asp Asp Trp Gly Gln Gly Thr Leu Val 100 105 110

Thr Val Ser Ser Cys Ser Thr Lys Gly Pro Ser Val Phe Pro Leu Ala 115 120 125

Pro Ser Ser Lys Ser Thr Ser Gly Gly Thr Ala Ala Leu Gly Cys Leu 130 135 140

Val Lys Asp Tyr Phe Pro Glu Pro Val Thr Val Ser Trp Asn Ser Gly 145 150 155 160

Ala Leu Thr Ser Gly Val His Thr Phe Pro Ala Val Leu Gln Ser Ser 165 170 175

Gly	Leu	Tyr	Ser 180	Leu	Ser	Ser	Val	Val 185	Thr	Val	Pro	Ser	Ser 190	Ser	Leu
Gly	Thr	Gln 195	Thr	Tyr	Ile	Cys	Asn 200	Val	Asn	His	Lys	Pro 205	Ser	Asn	Thr
Lys	Val 210	Asp	Lys	Lys	Val	Glu 215	Pro	Lys	Ser	Сув	Asp 220	Lys	Thr	His	Thr
Cys 225	Pro	Pro	Cys	Pro	Ala 230	Pro	Glu	Leu	Leu	Gly 235	Gly	Pro	Ser	Val	Phe 240
Leu	Phe	Pro	Pro	Lys 245	Pro	Lys	Asp	Thr	Leu 250	Met	Ile	Ser	Arg	Thr 255	Pro
Glu	Val	Thr	Cys 260	Val	Val	Val	Asp	Val 265	Ser	His	Glu	Asp	Pro 270	Glu	Val
Lys	Phe	As n 275	Trp	Tyr	Val	Asp	Gly 280	Val	Glu	Val	His	As n 285	Ala	Lys	Thr
Lys	Pro 290	Arg	Glu	Glu	Gln	Tyr 295	Asn	Ser	Thr	Tyr	Arg 300	Val	Val	Ser	Val
Leu 305	Thr	Val	Leu	His	Gln 310	Asp	Trp	Leu	Gly	Lys 315	Glu	Tyr	Lys	Cys	Lys 320
Val	Ser	Asn	Lys	Ala 325	Leu	Pro	Ala	Pro	11e 330	Glu	Lys	Thr	Ile	Ser 335	Lys
Ala	Lys	Gly	Gln 340	Pro	Arg	Glu	Pro	Gln 3 4 5	Val	Tyr	Thr	Leu	Pro 350	Pro	Ser
Arg	Glu	Glu 355	Met	Thr	Lys	Asn	Gln 360	Val	Ser	Leu	Thr	Cys 365	Leu	Val	Lys
Gly	Phe 370	Tyr	Pro	Ser	Asp	Ile 375	Ala	Val	Glu	Trp	Glu 380	Ser	Asn	Gly	Gln
Pro 385	Glu	Asn	Asn	Tyr	Lys 390	Thr	Thr	Pro	Pro	Val 395	Leu	Asp	Ser	Asp	Gly 400
Ser	Phe	Phe	Leu	Tyr 405	Ser	Lys	Leu	Thr	Val 410	Asp	Lys	Ser	Arg	Trp 415	Gln
Gln	Gly	Asn	Val 420	Phe	Ser	Сув	Ser	Val 425	Met	His	Glu	Ala	Leu 430	His	Asn

His Tyr Thr Gln Lys Ser Leu Ser Leu Ser Pro Gly 435

```
<210> 125
        <211> 10
5
        <212> PRT
        <213> Secuencia artificial
        <220>
        <221> fuente
10
        <223> /nota= "Descripción de la secuencia artificial: Péptido sintético"
        <220>
        <221> MOD RES
        <222> (1)..(1)
15
        <223> Lys(TAMRA)
        <220>
        <221> MOD RES
        <222> (10)..(10)
20
        <223> Lys(fluoresceína)
        <400> 125
                           Lys Gly Gly Ala Phe Ala Gly Gly Lys
                                                5
                                                                          10
25
        <210> 126
        <211> 8
        <212> PRT
        <213> Secuencia artificial
30
        <220>
        <221> fuente
        <223> /nota= "Descripción de la secuencia artificial: Péptido sintético"
35
        <400> 126
                                Gly Gly Ala Phe Ala Gly Gly Gly
                                                     5
        <210> 127
40
        <211> 448
        <212> PRT
        <213> Secuencia artificial
        <220>
45
        <221> fuente
        <223> /nota= "Descripción de la secuencia artificial: Polipéptido sintético"
        <400> 127
             Gln Met Gln Leu Gln Glu Ser Gly Pro Gly Leu Val Lys Pro Ser Glu
                                  5
                                                            10
                                                                                      15
             Thr Leu Ser Leu Ser Cys Ser Val Ser Gly Ala Ser Ala Ser Ser Gly
                             20
                                                       25
                                                                                 30
```

- Tyr Tyr Asn Trp Val Arg Gln Thr Pro Gly Gly Gly Leu Glu Trp Ile 35 40 45
- Ala Tyr Ile Leu Ser Gly Ala His Thr Asp Ile Lys Ala Ser Leu Gly 50 55 60
- Ser Arg Val Ala Val Ser Val Asp Thr Ser Lys Asn Gln Val Thr Leu 65 70 75 80
- Arg Leu Ser Ser Val Thr Ala Ala Asp Thr Ala Thr Tyr Tyr Cys Ala 85 90 95
- Arg Ser Gly Val Tyr Ser Lys Tyr Ser Leu Asp Val Trp Gly Gln Gly
 100 105 110
- Thr Thr Val Thr Val Ser Ser Ala Ser Thr Lys Gly Pro Ser Val Phe 115 120 125
- Pro Leu Ala Pro Ser Ser Lys Ser Thr Ser Gly Gly Thr Ala Ala Leu 130 135 140
- Gly Cys Leu Val Lys Asp Tyr Phe Pro Glu Pro Val Thr Val Ser Trp 145 150 155 160
- Asn Ser Gly Ala Leu Thr Ser Gly Val His Thr Phe Pro Ala Val Leu 165 170 175
- Gln Ser Ser Gly Leu Tyr Ser Leu Ser Ser Val Val Thr Val Pro Ser 180 185 190
- Ser Ser Leu Gly Thr Gln Thr Tyr Ile Cys Asn Val Asn His Lys Pro 195 200 205
- Ser Asn Thr Lys Val Asp Lys Lys Val Glu Pro Lys Ser Cys Asp Lys 210 215 220
- Thr His Thr Cys Pro Pro Cys Pro Ala Pro Glu Leu Leu Gly Gly Pro 225 230 235 240
- Ser Val Phe Leu Phe Pro Pro Lys Pro Lys Asp Thr Leu Met Ile Ser 245 250 255
- Arg Thr Pro Glu Val Thr Cys Val Val Val Asp Val Ser His Glu Asp 260 265 270
- Pro Glu Val Lys Phe Asn Trp Tyr Val Asp Gly Val Glu Val His Asn

				275					280					285			
		Ala	Lys 290	Thr	Lys	Pro	Arg	Glu 295	Glu	Gln	Tyr	Asn	Ser 300	Thr	Tyr	Arg	Val
		Val 305	Ser	Val	Leu	Thr	Val 310	Leu	His	Gln	Asp	Trp 315	Leu	Asn	Gly	Lys	Glu 320
			_	_	_				_		_			_			
		Tyr	Lys	Cys	Lys	325	Ser	Asn	Lys	ALa	330	Pro	ALa	Pro	Ile	335	Lys
		Thr	Ile	Ser	Lys 340	Ala	Lys	Gly	Gln	Pro 345	Arg	Glu	Pro	Gln	Val 350	Tyr	Thr
		Leu	Pro	Pro 355	Ser	Arg	Glu	Glu	Met 360	Thr	Lys	Asn	Gln	Val 365	Ser	Leu	Thr
		Cys	Leu 370	Val	Lys	Gly	Phe	Tyr 375	Pro	Ser	Asp	Ile	Ala 380	Val	Glu	Trp	Glu
		Ser 385	Asn	Gly	Gln	Pro	Glu 390	Asn	Asn	Tyr	Lys	Thr 395	Thr	Pro	Pro	Val	Leu 400
		Asp	Ser	Asp	Gly	Ser 405	Phe	Phe	Leu	Tyr	Ser 410	Lys	Leu	Thr	Val	Asp 415	Lys
		Ser	Arg	Trp	Gln 420	Gln	Gly	Asn	Val	Phe 425	Ser	Cys	Ser	Val	Met 430	His	Glu
		Ala	Leu	His 435	Asn	His	Tyr	Thr	Gln 440	Lys	Ser	Leu	Ser	Leu 445	Ser	Pro	Gly
	<210>	128															
5	<211> <212>																
3	<213>		encia a	artificia	al												
10	<220> <221> <223>			cripcio	ón de	la sec	cuenci	a artif	icial: F	Péptid	o sint	ético"					
	<400>	128															
								Leu <i>l</i> L	Ala	Phe	Gly						
15	<210>	120															
	<211> <212>	6 PRT															
20	<213>	Secue	ncia a	artificia	al												
20	<220>																
	<221> <223>			cripcio	ón de	la sec	uenci	a artif	icial: F	Péptid	o sint	ético"					

```
<220>
        <221> MOD_RES
        <222> (3)..(3)
 5
        <223> Ile(me)
        <400> 129
                                       Gly Pro Ile Leu Phe Phe
                                                             5
10
        <210> 130
        <211>6
        <212> PRT
        <213> Secuencia artificial
15
        <220>
        <221> fuente
        <223> /nota= "Descripción de la secuencia artificial: Péptido sintético"
20
        <400> 130
                                         Gly Pro Ile Leu Phe Phe
                                         1
                                                               5
        <210> 131
25
        <211>5
        <212> PRT
        <213> Secuencia artificial
        <220>
        <221> fuente
30
        <223> /nota= "Descripción de la secuencia artificial: Péptido sintético"
        <400> 131
                                         Gly Gly Ala Phe Ala
                                                               5
35
        <210> 132
        <211> 11
        <212> PRT
40
        <213> Secuencia artificial
        <220>
        <221> fuente
        <223> /nota= "Descripción de la secuencia artificial: Péptido sintético"
45
        <220>
        <221> MOD RES
        <222> (4)..(6)
        <223> Cualquier aminoácido
50
        <220>
        <221> MOD RES
        <222> (9)..(9)
<223> DPA
55
        <400> 132
                        Gly Gly Kaa Xaa Xaa Gly Gly Xaa Lys Lys
60
        <210> 133
```

		> PRT		artific	ial												
5		> fuen		scripc	ión de	la sed	cuenci	a artifi	icial: F	olipép	otido si	intético	o"				
10	<400	> 133															
10		Glu 1	Val	Gln	Leu	Val 5	Gln	Ser	Gly	Gly	Asp 10	Leu	Val	Gln	Pro	Gly 15	Gly
		Ser	Leu	Arg	Leu 20	Ser	Cys	Ala	Ala	Ser 25	Gly	Phe	Thr	Phe	Ser 30	Asp	Tyr
		Ala	Met	Gly 35	Trp	Val	Arg	Gln	Ala 40	Pro	Gly	Lys	Gly	Leu 45	Glu	Trp	Leu
		Ser	Val 50	Val	Thr	Gly	His	Ser 55	Tyr	Arg	Thr	His	Tyr 60	Ala	Asp	Ser	Val
		Lys 65	Gly	Arg	Phe	Ile	Ile 70	Ser	Arg	Asp	Asn	Ser 75	Lys	Asn	Thr	Leu	Phe 80
		Leu	Gln	Met	Asn	Ser 85	Leu	Arg	Ala	Glu	Asp 90	Thr	Ala	Val	Tyr	Tyr 95	Cys
		Ala	Lys	Arg	Ile 100	Trp	Ser	Tyr	Gly	Asp 105	Asp	Ser	Phe	Asp	Val 110	Trp	Gly
		Gln	Gly	Thr 115	Thr	Val	Thr	Val	Ser 120	Ser	Ala	Ser	Thr	Lys 125	Gly	Pro	Ser
		Val	Phe 130	Pro	Leu	Ala	Pro	Ser 135	Ser	Lys	Ser	Thr	Ser 140	Gly	Gly	Thr	Ala
		Ala 145	Leu	Gly	Cys	Leu	Val 150	Lys	Asp	Tyr	Phe	Pro 155	Glu	Pro	Val	Thr	Val 160
		Ser	Trp	Asn	Ser	Gly 165		Leu	Thr	Ser	Gly 170	Val	His	Thr	Phe	Pro 175	Ala

Val	Leu	Gln	Ser 180	Ser	Gly	Leu	Tyr	Ser 185	Leu	Ser	Ser	Val	Val 190	Thr	Val
Pro	Ser	Ser 195	Ser	Leu	Gly	Thr	Gln 200	Thr	Tyr	Ile	Cys	Asn 205	Val	Asn	His
Lys	Pro 210	Ser	Asn	Thr	Lys	Val 215	Asp	Lys	Lys	Val	Glu 220	Pro	Lys	Ser	Cys
Asp 225	Lys	Thr	His	Thr	Cys 230	Pro	Pro	Cys	Pro	Ala 235	Pro	Glu	Leu	Leu	Gly 240
Gly	Pro	Ser	Val	Phe 245	Leu	Phe	Pro	Pro	Lys 250	Pro	Lys	Asp	Thr	Leu 255	Met
Ile	Ser	Arg	Thr 260	Pro	Gl u	Val	Thr	Cys 265	Val	Val	Val	Asp	Val 270	Ser	His
Glu	Asp	Pro 275	Glu	Val	Lys	Phe	Asn 280	Trp	Tyr	Val	Asp	Gly 285	Val	Glu	Val
His	Asn 290	Ala	Lys	Thr	Lys	Pro 295	Arg	Glu	Glu	Gln	Tyr 300	Asn	Ser	Thr	Tyr
Arg 305	Val	Val	Ser	Val	Leu 310	Thr	Val	Leu	His	Gln 315	Asp	Trp	Leu	Asn	Gly 320
Lys	Glu	Tyr	Lys	Cys 325	Lys	Val	Ser	Asn	Lys 330	Ala	Leu	Pro	Ala	Pro 335	Ile
Glu	Lys	Thr	Ile 340	Ser	Lys	Ala	Lys	Gly 345	Gln	Pro	Arg	Glu	Pro 350	Gln	Val
Tyr	Thr	Leu 355	Pro	Pro	Ser	Arg	Glu 360	Glu	Met	Thr	Lys	Asn 365	Gln	Val	Ser
Leu	Thr 370	Cys	Leu	Val	Lys	Gly 375	Phe	Tyr	Pro	Ser	Asp 380	Ile	Ala	Val	Glu
Trp 385	Glu	Ser	Asn	Gly	Gln 390	Pro	Glu	Asn	Asn	Tyr 395	Lys	Thr	Thr	Pro	Pro 400
Val	Leu	Asp	Ser	Asp 405	Gly	Ser	Phe	Phe	Leu 410	Tyr	Ser	Lys	Leu	Thr 415	Val
Asp	Lys	Ser	Arg 420	Trp	Gln	Gln	Gly	Asn 425	Val	Phe	Ser	Cys	Ser 430	Val	Met

His Glu Ala Leu His Asn His Tyr Thr Gln Lys Ser Leu Ser Leu Ser 435 440 445

Pro Gly 450 <210> 134 <211> 450 5 <212> PRT <213> Secuencia artificial <220> <221> fuente 10 <223> /nota= "Descripción de la secuencia artificial: Polipéptido sintético" <400> 134 Glu Val Gln Leu Val Gln Ser Gly Gly Gly Val Val Gln Pro Gly Gly 5 10 Ser Leu Arg Leu Ser Cys Ala Ala Ser Gly Phe Thr Phe Ser Ser Tyr Ala Met Asn Trp Val Arg Gln Ala Pro Gly Lys Gly Leu Glu Trp Val Ser Tyr Ile Ser Ser Ile Glu Thr Ile Tyr Tyr Ala Asp Ser Val Lys Gly Arg Phe Thr Ile Ser Arg Asp Asn Ala Lys Asn Ser Leu Tyr Leu Gln Met Asn Ser Leu Arg Asp Glu Asp Thr Ala Val Tyr Tyr Cys Ala Arg Asp Arg Leu Val Asp Val Pro Leu Ser Ser Pro Asn Ser Trp Gly 100 105 110 Gln Gly Thr Leu Val Thr Val Ser Ser Ala Ser Thr Lys Gly Pro Ser 120 115 125 Val Phe Pro Leu Ala Pro Ser Ser Lys Ser Thr Ser Gly Gly Thr Ala 130 135 Ala Leu Gly Cys Leu Val Lys Asp Tyr Phe Pro Glu Pro Val Thr Val 145 Ser Trp Asn Ser Gly Ala Leu Thr Ser Gly Val His Thr Phe Pro Ala

170

Val	Leu	Gln	Ser 180	Ser	Gly	Leu	Tyr	Ser 185	Leu	Ser	Ser	Val	Val 190	Thr	Val
Pro	Ser	Ser 195	Ser	Leu	Gly	Thr	Gln 200	Thr	Tyr	Ile	Cys	Asn 205	Val	Asn	His
Lys	Pro 210	Ser	Asn	Thr	Lys	Val 215	Asp	Lys	Lys	Val	Glu 220	Pro	Lys	Ser	Суз
Asp 225	Lys	Thr	His	Thr	Cys 230	Pro	Pro	Cys	Pro	Ala 235	Pro	Gl u	Leu	Leu	Gly 240
Gly	Pro	Ser	Val	Phe 245	Leu	Phe	Pro	Pro	Lys 250	Pro	Lys	Asp	Thr	Leu 255	Met
Ile	Ser	Arg	Thr 260	Pro	Glu	Val	Thr	Cys 265	Val	Val	Val	Asp	Val 270	Ser	His
Glu	Asp	Pro 275	Glu	Val	Lys	Phe	Asn 280	Trp	Tyr	Val	Asp	Gly 285	Val	Glu	Val
His	Asn 290	Ala	Lys	Thr	Lys	Pro 295	Arg	Glu	Glu	Gln	Tyr 300	Asn	Ser	Thr	Tyr
Arg 305	Val	Val	Ser	Val	Leu 310	Thr	Val	Leu	His	Gln 315	Asp	Trp	Leu	Asn	Gly 320
Lys	Glu	Tyr	Lys	Cys 325	Lys	Val	Ser	Asn	Lys 330	Ala	Leu	Pro	Ala	Pro 335	Ile
Glu	Lys	Thr	Ile 340	Ser	Lys	Ala	Lys	Gly 345	Gln	Pro	Arg	Glu	Pro 350	Gln	Val
_		355	Pro				360				_	365			
Leu	Thr 370	Cys	Leu	Val	Lys	Gly 375	Phe	Tyr	Pro	Ser	Asp 380	Ile	Ala	Val	Glu
Trp 385	Glu	Ser	Asn	Gly	Gln 390	Pro	Glu	Asn	Asn	Tyr 395	Lys	Thr	Thr	Pro	Pro 400
Val	Leu	Asp	Ser	Asp 405	Gly	Ser	Phe	Phe	Leu 410	Tyr	Ser	Lys	Leu	Thr 415	Val
Asp	Lvs	Ser	Ara	Trp	Gln	Gln	Glv	Asn	Val	Phe	Ser	Cvs	Ser	Val	Met

420 425 430 His Glu Ala Leu His Asn His Tyr Thr Gln Lys Ser Leu Ser Leu Ser 435 440 445 Pro Gly 450 <210> 135 <211> 5 <212> PRT 5 <213> Secuencia artificial <220> <221> fuente <223> /nota= "Descripción de la secuencia artificial: Péptido sintético" 10 <400> 135 Leu Ala Phe Gly Ala 5 15 <210> 136 <211> 5 <212> PRT <213> Secuencia artificial 20 <220> <221> fuente <223> /nota= "Descripción de la secuencia artificial: Péptido sintético" 25 <400> 136 Leu Ala Phe Ala Ala 5 <210> 137 <211> 446 30 <212> PRT <213> Secuencia artificial <220> 35 <221> fuente <223> /nota= "Descripción de la secuencia artificial: Polipéptido sintético" <400> 137 Glu Val Gln Leu Val Glu Ser Gly Gly Gly Leu Val Gln Pro Gly Gly 5 Ser Leu Arg Leu Ser Cys Ser Ala Ser Gly Phe Ser Phe Asn Ser Phe 20 Trp Met His Trp Val Arg Gln Val Pro Gly Lys Gly Leu Val Trp Ile 35 40 45

Ser Phe Thr Asn Asn Glu Gly Thr Thr Thr Ala Tyr Ala Asp Ser Val 55 Arg Gly Arg Phe Ile Ile Ser Arg Asp Asn Ala Lys Asn Thr Leu Tyr Leu Glu Met Asn Asn Leu Arg Gly Glu Asp Thr Ala Val Tyr Tyr Cys Ala Arg Gly Asp Gly Gly Leu Asp Asp Trp Gly Gln Gly Thr Leu Val 105 Thr Val Ser Ser Ala Ser Thr Lys Gly Pro Ser Val Phe Pro Leu Ala 120 Pro Ser Ser Lys Ser Thr Ser Gly Gly Thr Ala Ala Leu Gly Cys Leu Val Lys Asp Tyr Phe Pro Glu Pro Val Thr Val Ser Trp Asn Ser Gly 145 150 155 Ala Leu Thr Ser Gly Val His Thr Phe Pro Ala Val Leu Gln Ser Ser Gly Leu Tyr Ser Leu Ser Ser Val Val Thr Val Pro Ser Ser Ser Leu Gly Thr Gln Thr Tyr Ile Cys Asn Val Asn His Lys Pro Ser Asn Thr 195 200 205 Lys Val Asp Lys Lys Val Glu Pro Lys Ser Cys Asp Lys Thr His Thr Cys Pro Pro Cys Pro Ala Pro Glu Leu Leu Gly Gly Pro Ser Val Phe Leu Phe Pro Pro Lys Pro Lys Asp Thr Leu Met Ile Ser Arg Thr Pro Glu Val Thr Cys Val Val Val Asp Val Ser His Glu Asp Pro Glu Val 260 Lys Phe Asn Trp Tyr Val Asp Gly Val Glu Val His Asn Ala Lys Thr Lys Pro Arg Glu Glu Gln Tyr Asn Ser Thr Tyr Arg Val Val Ser Val 295 300

	u T	hr T	Val	Leu	His	Gln 310	Asp	Trp	Leu	Asn	Gly 315	Lys	Glu	Tyr	Lys	Cys 320	
Ly	rs V	al S	Ser	Asn	Lys 325	Ala	Leu	Pro	Ala	Pro 330	Ile	Gl u	Lys	Thr	Ile 335	Ser	•
Ly	s A	la 1	Lys	Gly 340	Gln	Pro	Arg	Glu	Pro 345	Gln	Val	Tyr	Thr	Leu 350	Pro	Pro	•
Se	er A		G1u 355	Glu	Met	Thr	Lys	Asn 360	Gln	Val	Ser	Leu	Thr 365	Cys	Leu	Val	
Ly		ly 1 70	Phe	Tyr	Pro	Ser	Asp 375	Ile	Ala	Val	Glu	Trp 380	Glu	Ser	Asn	Gly	•
G3 38		ro (31u	Asn	Asn	Tyr 390	Lys	Thr	Thr	Pro	Pro 395	Val	Leu	Asp	Ser	Asp 400	
G]	.у Ѕ∘	er 1	Phe	Phe	Leu 405	Tyr	Ser	Lys	Leu	Thr 410	Val	Asp	Lys	Ser	Arg 415	Trp)
G)	n G	ln (Зlу	Asn 420	Val	Phe	Ser	Cys	Ser 425	Val	Met	His	Glu	Ala 430	Leu	His	ì
As	n H		Fyr 435	Thr	Gln	Lys	Ser	Leu 440	Ser	Leu	Ser	Pro	Gly 445	Lys			
<210> 138 <211> 445 <212> PR ⁻ <213> Sec	-	a ar	tificia	al													
<220> <221> fuer <223> /not		esci	ripcić	on de	la sec	cuenci	a artif	icial: I	Polipé	ptido	sintéti	co"					
<400> 138																	
Glu 1	Val	. G:	ln 1	Leu	Val 5	Glu	Ser	Gly	Gly	Gl ₃	, Le	ı Va	1 G	ln P		31y .5	Gly
Ser	Let	ı Aı	-	Leu 20	Ser	Cys	Ser	Ala	Ser 25	: Gly	7 Phe	e Se	r Pl	_	sn S	er	Phe
Trp	Met	: Н: 35		Frp	Val	Arg	Gln	Val 40	Pro	Gly	y Lys	s Gl	у Le 45		al T	rp!	Ile
Ser	Phe 50	e Tl	nr 1	Asn	Asn	Glu	Gly 55	Thr	Thr	Thi	r Ala	а Ту 60		La A	sp S	er	Val

5

10

	Arg 55	Gly	Arg	Phe	Ile	Ile 70	Ser	Arg	Asp	Asn	Ala 75	Lys	Asn	Thr	Leu	Tyr 80
1	Leu	Glu	Met	Asn	Asn 85	Leu	Arg	Gly	Glu	Asp 90	Thr	Ala	Val	Tyr	Tyr 95	Cys
7	Ala	Arg	Gly	Asp 100	Gly	Gly	Leu	Asp	Asp 105	Trp	Gly	Gln	Gly	Thr 110	Leu	Val
7	Thr	Val	Ser 115	Ser	Ala	Ser	Thr	Lys 120	Gly	Pro	Ser	Val	Phe 125	Pro	Leu	Ala
E	Pro	Ser 130	Ser	Lys	Ser	Thr	Ser 135	Gly	Gly	Thr	Ala	Ala 140	Leu	Gly	Cys	Leu
	/al	Lys	Asp	Tyr	Phe	Pro 150	Glu	Pro	Val	Thr	Val 155	Ser	Trp	Asn	Ser	Gly 160
Z	Ala	Leu	Thr	Ser	Gly 165	Val	His	Thr	Phe	Pro 170	Ala	Val	Leu	Gln	Ser 175	Ser
C	3ly	Leu	Tyr	Ser 180	Leu	Ser	Ser	Val	Val 185	Thr	Val	Pro	Ser	Ser 190	Ser	Leu
C	Sly	Thr	Gln 195	Thr	Tyr	Ile	Cys	Asn 200	Val	Asn	His	Lys	Pro 205	Ser	Asn	Thr
I	_ys	Val 210	Asp	Lys	Lys	Val	Glu 215	Pro	Lys	Ser	Суз	Asp 220	Lys	Thr	His	Thr
2	225					230					235	Gly				240
					245					250		Ile			255	
				260					265			Glu		270		
			275					280				His	285		_	
1	ys	Pro 290	Arg	Glu	Glu	Gln	Tyr 295	Asn	Ser	Thr	Tyr	Arg 300	Val	Val	Ser	Val
Ι	Leu	Thr	Val	Leu	His	Gln	Asp	Trp	Leu	Asn	Gly	Lys	Glu	Tyr	Lys	Cys

	Lys	Val	Ser	Asn	Lys 325	Ala	Leu	Pro	Ala	Pro 330	Ile	Glu	Lys	Thr	Ile 335	Sei	:
	Lys	Ala	Lys	Gly 340	Gln	Pro	Arg	Glu	Pro 345	Gln	Val	Tyr	Thr	Leu 350	Pro	Pro)
	Ser	Arg	Glu 355	Glu	Met	Thr	Lys	A sn 360	Gln	Val	Ser	Leu	Thr 365	Cys	Leu	Va!	L
	Lys	Gly 370	Phe	Tyr	Pro	Ser	Asp 375	Ile	Ala	Val	Glu	Trp 380	Glu	Ser	Asn	Gly	7
	Gln 385	Pro	Glu	Asn	Asn	Tyr 390	Lys	Thr	Thr	Pro	Pro 395	Val	Leu	Asp	Ser	As 400	
	Gly	Ser	Phe	Phe	Leu 405	Tyr	Ser	Lys	Leu	Thr 410	Val	Asp	Lys	Ser	Arg 415	Tr	Þ
	Gln	Gln	Gly	Asn 420	Val	Phe	Ser	Cys	Ser 425	Val	Met	His	Glu	Ala 430	Leu	His	5
	Asn	His	Tyr 435	Thr	Gln	Lys	Ser	Leu 440	Ser	Leu	Ser	Pro	Gly 445				
<210><211><211><212><213>	453 PRT	encia	artifici	al													
<220> <221> fuente <223> /nota= "Descripción de la secuencia artificial: Polipéptido sintético"																	
<400>	139																
	Glu 1	. Met	: Glr	. Le	1 Va :	L Glı	n Se:	r Gl	y Al	a Gl 10	u Va	.1 Ly	s Ly	s Pi	co G. 1		Ala
	Ser	Val	. Lys	val 20	. Sei	с Суя	s Gl	u Al	a Se 25	r Gl	у Ту	r Th	r Le	u Tl		er '	Tyr
	Asp	Ile	Asn 35	Trp	Va.	L Arq	g Gl:	n Al 40	a Th	r Gl	y Gl	n Gl	y Pr 45		Lu T	rp l	Met
	Gly	Trp 50	Met	. Asr	n Ala	a Ası	n Se: 55	r Gl	y As	n Th	r Gl	у Ту 60		.a G1	ln L	ys 1	?he
	Gln	Gly	Arg	va]	Th	. Le	ı Th	r Gl	y As	p Th	r Se	r Il	e Se	er Tl	nr A	la '	Fyr

65					70					75					80
Met	Glu	Leu	Ser	Ser 85	Leu	Arg	Ser	Glu	Asp 90	Thr	Ala	Val	Tyr	Tyr 95	Cys
Ala	Arg	Ser	Ser 100	Ile	Leu	Val	Arg	Gly 105	Ala	Leu	Gly	Arg	Tyr 110	Phe	Asp
Leu	Trp	Gly 115	Arg	Gly	Thr	Leu	Val 120	Thr	Val	Ser	Ser	Cys 125	Ser	Thr	Lys
Gly	Pro 130	Ser	Val	Phe	Pro	Leu 135	Ala	Pro	Ser	Ser	Lys 140	Ser	Thr	Ser	Gly
Gly 145	Thr	Ala	Ala	Leu	Gly 150	Cys	Leu	Val	Lys	Asp 155	Tyr	Phe	Pro	Glu	Pro 160
Val	Thr	Val	Ser	Trp 165	Asn	Ser	Gly	Ala	Leu 170	Thr	Ser	Gly	Val	His 175	Thr
Phe	Pro	Ala	Val 180	Leu	Gln	Ser	Ser	Gly 185	Leu	Tyr	Ser	Leu	Ser 190	Ser	Val
Val	Thr	Val 195	Pro	Ser	Ser	Ser	Leu 200	Gly	Thr	Gln	Thr	Tyr 205	Ile	Cys	Asn
Val	Asn 210	His	Lys	Pro	Ser	Asn 215	Thr	Lys	Val	Asp	Lys 220	Lys	Val	Glu	Pro
Lys 225	Ser	Cys	Asp	Lys	Thr 230	His	Thr	Cys	Pro	Pro 235	Cys	Pro	Ala	Pro	Glu 240
Leu	Leu	Gly	Gly	Pro 245	Ser	Val	Phe	Leu	Phe 250	Pro	Pro	Lys	Pro	Lys 255	Asp
Thr	Leu	Met	Ile 260	Ser	Arg	Thr	Pro	Glu 265	Val	Thr	Cys	Val	Val 270	Val	Asp
Val	Ser	His 275	Glu	Asp	Pro	Glu	Val 280	Lys	Phe	Asn	Trp	Tyr 285	Val	Asp	Gly
Val	Glu 290	Val	His	Asn	Ala	Lys 295	Thr	Lys	Pro	Arg	Glu 300	Glu	Gln	Tyr	Asn
Ser 305	Thr	Tyr	Arg	Val	Val 310	Ser	Val	Leu	Thr	Val 315	Leu	His	Gln	Asp	Trp 320

Leu	Asn	Gly	Lys	Glu 325	Tyr	Lys	Суз	Lys	Val 330	Ser	Asn	Lys	Ala	Leu 335	Pro
Ala	. Pro	Ile	Glu 340	Lys	Thr	Ile	Ser	Lys 345	Ala	Lys	Gly	Gln	Pro 350	Arg	Glu
Pro	Gln	Val 355	Tyr	Thr	Leu	Pro	Pro 360	Ser	Arg	Glu	Glu	Met 365	Thr	Lys	Asn
Glr	Val 370	Ser	Leu	Thr	Cys	Leu 375	Val	Lys	Gly	Phe	Tyr 380	Pro	Ser	Asp	Ile
Ala 385	. Val	Glu	Trp	Glu	Ser 390	Asn	Gly	Gln	Pro	Glu 395	Asn	Asn	Tyr	Lys	Thr 400
Thr	Pro	Pro	Val	Leu 405	Asp	Ser	Asp	Gly	Ser 410	Phe	Phe	Leu	Tyr	Ser 415	Lys
Leu	Thr	Val	Asp 420	Lys	Ser	Arg	Trp	Gln 425	Gln	Gly	Asn	Val	Phe 430	Ser	Cys
Ser	· Val	Met 435	His	Glu	Ala	Leu	His 440	Asn	His	Tyr	Thr	Gln 445	Lys	Ser	Leu
Ser	Leu 450	Ser	Pro	Gly											
<220> <221> fuent <223> /nota		crincić	án de l	a seci	ıencia	artific	ial· Po	linénti	do sin	tético"					
<400> 140	200	опрок	,,, do ,	u 0000	ioriola	ar arro	iui. 1 0	прорш	uo om	101100					
Glu 1	Met	Gln	Leu	Val 5	Gln	Ser	Gly	Ala	Glu 10	Val	Lys	Lys	Pro	Gly 15	Ala
Ser	Val	Lys	Val 20	Ser	Cys	Glu	Ala	Ser 25	Gly	Tyr	Thr	Leu	Thr 30	Ser	Tyr
Asp) Ile	Asn 35	Trp	Val	Arg	Gln	Ala 40	Thr	Gly	Gln	Gly	Pro 45	Glu	Trp	Met
Gly	Trp 50	Met	Asn	Ala	Asn	Ser 55	Gly	Asn	Thr	Gly	Tyr 60	Ala	Gln	Lys	Phe

Gln Gly Arg Val Thr Leu Thr Gly Asp Thr Ser Ile Ser Thr Ala Tyr Met Glu Leu Ser Ser Leu Arg Ser Glu Asp Thr Ala Val Tyr Tyr Cys Ala Arg Ser Ser Ile Leu Val Arg Gly Ala Leu Gly Arg Tyr Phe Asp 105 Leu Trp Gly Arg Gly Thr Leu Val Thr Val Ser Ser Ala Ser Thr Lys 120 Gly Pro Ser Val Phe Pro Leu Ala Pro Ser Ser Lys Ser Thr Ser Gly Gly Thr Ala Ala Leu Gly Cys Leu Val Lys Asp Tyr Phe Pro Glu Pro 150 Val Thr Val Ser Trp Asn Ser Gly Ala Leu Thr Ser Gly Val His Thr 170 175 165 Phe Pro Ala Val Leu Gln Ser Ser Gly Leu Tyr Ser Leu Ser Ser Val 185 Val Thr Val Pro Ser Ser Ser Leu Gly Thr Gln Thr Tyr Ile Cys Asn Val Asn His Lys Pro Ser Asn Thr Lys Val Asp Lys Lys Val Glu Pro 210 215 220 Lys Ser Cys Asp Lys Thr His Thr Cys Pro Pro Cys Pro Ala Pro Glu Leu Leu Gly Gly Pro Ser Val Phe Leu Phe Pro Pro Lys Pro Lys Asp Thr Leu Met Ile Ser Arg Thr Pro Glu Val Thr Cys Val Val Val Asp 260 265 270 Val Ser His Glu Asp Pro Glu Val Lys Phe Asn Trp Tyr Val Asp Gly 275 280 285 Val Glu Val His Asn Ala Lys Thr Lys Pro Arg Glu Glu Gln Tyr Asn Ser Thr Tyr Arg Val Val Ser Val Leu Thr Val Leu His Gln Asp Trp 305 310 315 320

	Le	u A	sn	Gly	Lys	Glu 325	Tyr	Lys	Cys	Lys	Val 330	Ser	Asn	Lys	Ala	Leu 335	Pro
	Al	a Pi	ro	Ile	Glu 340	Lys	Thr	Ile	Ser	Lys 345	Ala	Lys	Gly	Gln	Pro 350		Glu
	Pr	o G	ln	Val 355	Tyr	Thr	Leu	Pro	Pro 360		Arg	Glu	Glu	Met 365	Thr	Lys	Asn
	G1:		al 70	Ser	Leu	Thr	Cys	Leu 375	Val	Lys	Gly	Phe	Tyr 380	Pro	Ser	Asp	Ile
	A1 38		al	Glu	Trp	Glu	Ser 390	Asn	Gly	Gln	Pro	Glu 395	Asn	Asn	Tyr	Lys	Thr 400
	Th	r Pi	ro	Pro	Val	Leu 405	Asp	Ser	Asp	Gly	Ser 410	Phe	Phe	Leu	Tyr	Ser 415	Lys
	Le	u Tl	nr	Val	Asp 420	Lys	Ser	Arg	Trp	Gln 425	Gln	Gly	Asn	Val	Phe 430	Ser	Cys
	Se	r Va	a 1	Met 435	His	Glu	Ala	Leu	His 440	Asn	His	Tyr	Thr	Gln 445	Lys	Ser	Leu
	Se		∋u 50	Ser	Pro	Gly											
<21°	0> 141 1> 453 2> PR 3> Sec	Г	cia a	artificia	al												
	1> fuei		Des	cripci	ón de	la sec	uencia	a artific	cial: Po	olipép	tido sir	ntético	"				
<400)> 141																
	Glu 1	Ile	G	ln I	eu V		3ln S	Ger (Sly <i>2</i>		3lu V LO	al I	ys I	Lys E		31y <i>1</i> 15	Ala
	Ser	Val	. L		7al S	Ger (Cys G	Slu A		Ser (25	Gly T	yr T	hr I	_	hr s	Ser :	Tyr
	Asp	Ile	• A		rp V	al A	Arg G		Ala T	Thr (Gly (3ln G		°ro 0	3lu '	[rp]	4et
	Gly	Trp 50	M	et A	sn A	ala <i>F</i>		er (Sly <i>2</i>	Asn 1	Thr G		yr <i>F</i> 50	Ala G	3ln 1	Lys 1	Phe

Gln 65	Gly	Arg	Val	Thr	Leu 70	Thr	Gly	Asp	Thr	Ser 75	Ile	Ser	Thr	Ala	Tyr 80
Met	Glu	Leu	Ser	Ser 85	Leu	Arg	Ser	Glu	Asp 90	Thr	Ala	Val	Tyr	Tyr 95	Cys
Ala	Arg	Ser	Ser 100	Ile	Leu	Val	Arg	Gly 105	Ala	Leu	Gly	Arg	Tyr 110	Phe	Asp
Leu	Trp	Gly 115	Arg	Gly	Thr	Leu	Val 120	Thr	Val	Ser	Ser	Cys 125	Ser	Thr	Lys
Gly	Pro 130	Ser	Val	Phe	Pro	Le u 135	Ala	Pro	Ser	Ser	Lys 140	Ser	Thr	Ser	Gly
Gly 145	Thr	Ala	Ala	Leu	Gly 150	Суѕ	Leu	Val	Lys	Asp 155	Tyr	Phe	Pro	Glu	Pro 160
Val	Thr	Val	Ser	Trp 165	Asn	Ser	Gly	Ala	Leu 170	Thr	Ser	Gly	Val	His 175	Thr
Phe	Pro	Ala	Val 180	Leu	Gln	Ser	Ser	Gly 185	Leu	Tyr	Ser	Leu	Ser 190	Ser	Val
Val	Thr	Val 195	Pro	Ser	Ser	Ser	Leu 200	Gly	Thr	Gln	Thr	Tyr 205	Ile	Cys	Asn
Val	Asn 210	His	Lys	Pro	Ser	Asn 215	Thr	Lys	Val	Asp	Lys 220	Lys	Val	Glu	Pro
Lys 225	Ser	Cys	Asp	Lys	Thr 230	His	Thr	Cys	Pro	Pro 235	Cys	Pro	Ala	Pro	Glu 240
Leu	Leu	Gly	Gly	Pro 245	Ser	Val	Phe	Leu	Phe 250	Pro	Pro	Lys	Pro	Lys 255	Asp
Thr	Leu	Met	Ile 260	Ser	Arg	Thr	Pro	Glu 265	Val	Thr	Cys	Val	Val 270	Val	Asp
Val	Ser	His 275	Glu	Asp	Pro	Glu	Val 280	Lys	Phe	Asn	Trp	Tyr 285	Val	Asp	Gly
Val	Glu 290	Val	His	Asn	Ala	Lys 295	Thr	Lys	Pro	Arg	Glu 300	Glu	Gln	Tyr	Asn
Ser 305	Thr	Tyr	Arg	Val	Val 310	Ser	Val	Leu	Thr	Val 315	Leu	His	Gln	Asp	Trp 320

	Le	eu	Asn	Gly	Lys	Glu 325	_	· Ly	в Суа	s Lys	330	. Ser	Asn	Lys	Ala	Leu 335	Pro
	A]	La	Pro	Ile	Glu 340	_	Thr	: Ile	e Sei	r Lys 345		Lys	Gly	Gln	Pro 350	Arg	Glu
	Pr	co.	Gln	Val 355	_	Thr	Leu	ı Pro	360		r Arg	, Glu	Glu	Met 365		Lys	Asn
	G1		Val 370	Ser	Leu	Thr	: Cys	37.		L Lys	3 Gly	Phe	Tyr 380		Ser	Asp	Ile
	A1 38		Val	Glu	Trp	Glu	390		n Gly	y Glr	n Pro	Glu 395	Asn	Asn	Tyr	Lys	Thr 400
	Tì	ır	Pro	Pro	Val	Leu 405		Se:	r Ası	o Gly	7 Ser 410	Phe	Phe	Leu	Tyr	Ser 415	Lys
	L€	èu	Thr	Val	Asp 420		Ser	Ar	g Tr	Glr 425		Gly	Asn	Val	Phe 430	Ser	Cys
	Se	er	Val	Met 435	His	Glu	ı Ala	ı Leı	u His 440		n His	Tyr	Thr	Gln 445	_	Ser	Leu
	Se	er	Leu 450	Ser	Pro	Gly	•										
<211:	> 142 > 453 > PRT > Sec		cia aı	tificia	I												
	> fuen		'Desc	ripció	n de l	a sec	uencia	a artif	icial: F	Polipér	otido si	intético) "				
<400	> 142																
	Glu 1	Il	e G	ln L	eu V		Gln :	Ser	Gly	Ala	Glu 10	Val	Lys	Lys	Pro	Gly 15	Ala
	Ser	Va	l Ly	_	al S 0	Ser (Cys (Glu	Ala	Ser 25	Gly	Tyr	Thr	Leu	Thr 30	Ser	Tyr
	Asp	11	e A:		rp V	al i	Arg (Gln	Ala 40	Thr	Gly	Gln	Gly	Pro 45	Glu	Trp	Met
	Gly	Tr 50		et A	sn A	ala i		Ser 55	Gly	Asn	Thr	Gly	Tyr 60	Ala	Gln	Lys	Phe

Gln 65	Gly	Arg	Val	Thr	Leu 70	Thr	Gly	Asp	Thr	Ser 75	Ile	Ser	Thr	Ala	Tyr 80
Met	Glu	Leu	Ser	Ser 85	Leu	Arg	Ser	Glu	Asp 90	Thr	Ala	Val	Tyr	Tyr 95	Cys
Ala	Arg	Ser	Ser 100	Ile	Leu	Val	Arg	Gly 105	Ala	Leu	Gly	Arg	Tyr 110	Phe	Asp
Leu	Trp	Gly 115	Arg	Gly	Thr	Leu	Val 120	Thr	Val	Ser	Ser	Ala 125	Ser	Thr	Lys
Gly	Pro 130	Ser	Val	Phe	Pro	Leu 135	Ala	Pro	Ser	Ser	Lys 140	Ser	Thr	Ser	Gly
Gly 145	Thr	Ala	Ala	Leu	Gl y 150	Cys	Leu	Val	Lys	Asp 155	Tyr	Phe	Pro	Glu	Pro 160
Val	Thr	Val	Ser	Trp 165	Asn	Ser	Gly	Ala	Leu 170	Thr	Ser	Gly	Val	His 175	Thr
Phe	Pro	Ala	Val 180	Leu	Gln	Ser	Ser	Gly 185	Leu	Tyr	Ser	Leu	Ser 190	Ser	Val
Val	Thr	Val 195	Pro	Ser	Ser	Ser	Leu 200	Gly	Thr	Gln	Thr	Tyr 205	Ile	Cys	Asn
Val	A sn 210	His	Lys	Pro	Ser	Asn 215	Thr	Lys	Val	Asp	Lys 220	Lys	Val	Gl u	Pro
Lys 225	Ser	Cys	Asp	Lys	Thr 230	His	Thr	Cys	Pro	Pro 235	Cys	Pro	Ala	Pro	Glu 240
Leu	Leu	Gly	Gly	Pro 245	Ser	Val	Phe	Leu	Phe 250	Pro	Pro	Lys	Pro	Lys 255	Asp
Thr	Leu	Met	Ile 260	Ser	Arg	Thr	Pro	Glu 265	Val	Thr	Cys	Val	Val 270	Val	Asp
Val	Ser	His 275	Glu	Asp	Pro	Glu	Val 280	Lys	Phe	Asn	Trp	Tyr 285	Val	Asp	Gly
Val	Glu 290	Val	His	Asn	Ala	Lys 295	Thr	Lys	Pro	Arg	Glu 300	Glu	Gln	Tyr	Asn
Ser	Thr	Tyr	Arg	Val	Val	Ser	Val	Leu	Thr	Val	Leu	His	Gln	Asp	Trp

305		310	315	320
Leu Asn (Gly Lys Glu 325	Tyr Lys Cys	Lys Val Ser Asn 330	Lys Ala Leu Pro 335
Ala Pro	Ile Glu Lys 3 4 0	Thr Ile Ser	Lys Ala Lys Gly 345	Gln Pro Arg Glu 350
	Val Tyr Thr 355	Leu Pro Pro 360	Ser Arg Glu Glu	Met Thr Lys Asn 365
Gln Val : 370	Ser Leu Thr	Cys Leu Val 375	Lys Gly Phe Tyr 380	Pro Ser Asp Ile
Ala Val (385	Glu Trp Glu	Ser Asn Gly 390	Gln Pro Glu Asn 395	Asn Tyr Lys Thr 400
Thr Pro 1	Pro Val Leu 405	Asp Ser Asp	Gly Ser Phe Phe 410	Leu Tyr Ser Lys 415
Leu Thr	Val Asp Lys 420	Ser Arg Trp	Gln Gln Gly Asn 425	Val Phe Ser Cys 430
	Met His Glu 435	Ala Leu His 440	Asn His Tyr Thr	Gln Lys Ser Leu 445
Ser Leu : 450	Ser Pro Gly			
<210> 143 <211> 453 <212> PRT <213> Secuencia a	artificial			
<220> <221> fuente		cuencia artificial:	Polipéptido sintético"	
<400> 143	·		. ,	
Glu Va 1	l Gln Leu Va 5	al Gln Ser G	ly Ala Glu Val Ly 10	s Lys Pro Gly Ala 15
Ser Va	l Lys Val Se 20	er Cys Glu A	la Ser Gly Tyr Th 25	r Leu Thr Ser Tyr 30
Asp Il	e Asn Trp Va 35	al Arg Gln A		y Pro Glu Trp Met 45
Gly Tr	p Met Asn Al	la Asn Ser G	ly Asn Thr Gly Ty	r Ala Gln Lys Phe

	50					55					60				
Gln 65	Gly	Arg	Val	Thr	Leu 70	Thr	Gly	Asp	Thr	Ser 75	Ile	Ser	Thr	Ala	Tyr 80
Met	Glu	Leu	Ser	Ser 85	Leu	Arg	Ser	Glu	Asp 90	Thr	Ala	Val	Tyr	Tyr 95	Суѕ
Ala	Arg	Ser	Ser 100	Ile	Leu	Val	Arg	Gly 105	Ala	Leu	Gly	Arg	Tyr 110	Phe	Asp
Leu	Trp	Gly 115	Arg	Gly	Thr	Leu	Val 120	Thr	Val	Ser	Ser	Cys 125	Ser	Thr	Lys
Gly	Pro 130	Ser	Val	Phe	Pro	Leu 135	Ala	Pro	Ser	Ser	Lys 140	Ser	Thr	Ser	Gly
Gly 145	Thr	Ala	Ala	Leu	Gly 150	Cys	Leu	Val	Lys	Asp 155	Tyr	Phe	Pro	Glu	Pro 160
Val	Thr	Val	Ser	Trp 165	Asn	Ser	Gly	Ala	Leu 170	Thr	Ser	Gly	Val	His 175	Thr
Phe	Pro	Ala	Val 180	Leu	Gln	Ser	Ser	Gly 185	Leu	Tyr	Ser	Leu	Ser 190	Ser	Val
Val	Thr	Val 195	Pro	Ser	Ser	Ser	Leu 200	Gly	Thr	Gln	Thr	Tyr 205	Ile	Cys	Asn
Val	Asn 210	His	Lys	Pro	Ser	As n 215	Thr	Lys	Val	Asp	Lys 220	Lys	Val	Glu	Pro
Lys 225	Ser	Cys	Asp	Lys	Thr 230	His	Thr	Cys	Pro	Pro 235	Cys	Pro	Ala	Pro	Glu 240
Leu	Leu	Gly	Gly	Pro 245	Ser	Val	Phe	Leu	Phe 250	Pro	Pro	Lys	Pro	Lys 255	Asp
Thr	Leu	Met	11e 260	Ser	Arg	Thr	Pro	Glu 265	Val	Thr	Cys	Val	Val 270	Val	Asp
Val	Ser	His 275	Glu	Asp	Pro	Glu	Val 280	Lys	Phe	Asn	Trp	Tyr 285	Val	Asp	Gly
Val	Glu 290	Val	His	Asn	Ala	Lys 295	Thr	Lys	Pro	Arg	Glu 300	Glu	Gln	Tyr	Asn

Ser Thr Tyr Arg Val Val Ser Val Leu Thr Val Leu His Gln Asp Trp

•	303					310					313					320
1	Leu	Asn	Gly	Lys	Glu 325	Tyr	Lys	Суз	Lys	Val 330	Ser	Asn	Lys	Ala	Leu 335	Pro
1	Ala	Pro	Ile	Glu 340	Lys	Thr	Ile	Ser	Lys 345	Ala	Lys	Gly	Gln	Pro 350	Arg	Glu
I	Pro	Gln	Val 355	Tyr	Thr	Leu	Pro	Pro 360	Ser	Arg	Glu	Glu	Met 365	Thr	Lys	Asn
(Gln	Val 370	Ser	Leu	Thr	Cys	Leu 375	Val	Lys	Gly	Phe	Tyr 380	Pro	Ser	Asp	Ile
	Ala 385	Val	Glu	Trp	Glu	Ser 390	Asn	Gly	Gln	Pro	Glu 395	Asn	Asn	Tyr	Lys	Thr 400
:	Thr	Pro	Pro	Val	Leu 405	Asp	Ser	Asp	Gly	Ser 410	Phe	Phe	Leu	Tyr	Ser 415	Lys
1	Leu	Thr	Val	Asp 420	Lys	Ser	Arg	Trp	Gln 425	Gln	Gly	Asn	Val	Phe 430	Ser	Cys
S	Ser	Val	Met 435	His	Glu	Ala	Leu	His 440	Asn	His	Tyr	Thr	Gln 445	Lys	Ser	Leu
S	Ser	Leu 450	Ser	Pro	Gly											
<210> <211> <212> <213>	453 PRT		artific	cial												
<220> <221> <223>	fuen		escripo	ción de	e la se	cuenci	ia artif	īcial: F	Polipép	otido s	intétic	o"				
<400>	144															
	G 1	lu V	al Gl	ln Le	u Va 5	l Gl	n Sei	r Gly	Ala	Glu 10	Val	Lys	Lys	Pro	Gly 15	Ala
	s	er V	al Ly	ys Va 20		r Cy	s Glı	ı Ala	Ser 25	Gly	Tyr	Thr	Leu	Thr 30	Ser	Tyr
	A	sp I	le As 35		p Va	l Ar	g Glı	n Ala 40	. Thr	Gly	Gln	Gly	Pro 45	Glu	Trp	Met

Gly	Trp 50	Met	Asn	Ala	Asn	Ser 55	Gly	Asn	Thr	Gly	Tyr 60	Ala	Gln	Lys	Phe
Gln 65	Gly	Arg	Val	Thr	Leu 70	Thr	Gly	Asp	Thr	Ser 75	Ile	Ser	Thr	Ala	Tyr 80
Met	Glu	Leu	Ser	Ser 85	Leu	Arg	Ser	Glu	Asp 90	Thr	Ala	Val	Tyr	Tyr 95	Cys
Ala	Arg	Ser	Ser 100	Ile	Leu	Val	Arg	Gly 105	Ala	Leu	Gly	Arg	Tyr 110	Phe	Asp
Leu	Trp	Gly 115	Arg	Gly	Thr	Leu	Val 120	Thr	Val	Ser	Ser	Ala 125	Ser	Thr	Lys
Gly	Pro 130	Ser	Val	Phe	Pro	Leu 135	Ala	Pro	Ser	Ser	Lys 140	Ser	Thr	Ser	Gly
Gly 145	Thr	Ala	Ala	Leu	Gly 150	Cys	Leu	Val	Lys	Asp 155	Tyr	Phe	Pro	Glu	Pro 160
Val	Thr	Val	Ser	Trp 165	Asn	Ser	Gly	Ala	Leu 170	Thr	Ser	Gly	Val	His 175	Thr
Phe	Pro	Ala	Val 180	Leu	Gln	Ser	Ser	Gly 185	Leu	Tyr	Ser	Leu	Ser 190	Ser	Val
Val	Thr	Val 195	Pro	Ser	Ser	Ser	Leu 200	Gly	Thr	Gln	Thr	Tyr 205	Ile	Cys	Asn
Val	Asn 210	His	Lys	Pro	Ser	Asn 215	Thr	Lys	Val	Asp	Lys 220	Lys	Val	Glu	Pro
Lys 225	Ser	Суз	Asp	Lys	Thr 230	His	Thr	Cys	Pro	Pro 235	Суѕ	Pro	Ala	Pro	Glu 240
Leu	Leu	Gly	Gly	Pro 245	Ser	Val	Phe	Leu	Phe 250	Pro	Pro	Lys	Pro	Lys 255	Asp
Thr	Leu	Met	Ile 260	Ser	Arg	Thr	Pro	Glu 265	Val	Thr	Сув	Val	Val 270	Val	Asp
Val	Ser	His 275	Glu	Asp	Pro	Glu	Val 280	Lys	Phe	Asn	Trp	Tyr 285	Val	Asp	Gly
Val	Glu 290	Val	His	Asn	Ala	Lys 295	Thr	Lys	Pro	Arg	Glu 300	Glu	Gln	Tyr	Asn

Se: 30!	r Thr	Tyr	Arg	Val	Val 310	Ser	Val	Leu	Thr	Val 315	Leu	His	Gln	Asp	Trp 320
Le	ı Asn	Gly	Lys	Glu 325	Tyr	Lys	Cys	Lys	V al 330	Ser	Asn	Lys	Ala	Leu 335	Pro
Ala	a Pro	Ile	Glu 340	Lys	Thr	Ile	Ser	Lys 345	Ala	Lys	Gly	Gln	Pro 350	Arg	Glu
Pro	o Gln	V al 355	Tyr	Thr	Leu	Pro	Pro 360	Ser	Arg	Glu	Glu	Met 365	Thr	Lys	Asn
Glı	n Val 370	Ser	Leu	Thr	Суз	Leu 375	Val	Lys	Gly	Phe	Tyr 380	Pro	Ser	Asp	Ile
A 1a	a Val	Glu	Trp	Glu	Ser 390	Asn	Gly	Gln	Pro	Glu 395	Asn	Asn	Tyr	Lys	Thr 400
Th	r Pro	Pro	Val	Leu 405	Asp	Ser	Asp	Gly	Ser 410	Phe	Phe	Leu	Tyr	Ser 415	Lys
Le	ı Thr	Val	Asp 420	Lys	Ser	Arg	Trp	Gln 425	Gln	Gly	Asn	Val	Phe 430	Ser	Cys
Se	r Val	Met 435	His	Glu	Ala	Leu	His 440	Asn	His	Tyr	Thr	Gln 445	Lys	Ser	Leu
Se	r Leu 450	Ser	Pro	Gly											
<210> 14 <211> 22 <212> PF <213> Se	0 RT	a artific	cial												
<220> <221> fue <223> /no		escripo	ción de	e la se	cuenci	a artif	icial: F	Polipép	otido s	intétic	0"				
<400> 14	5														
	Asp II	le Gl	n Le	u Th 5	r Glı	n Sei	r Pro	Asp	Ser 10	Leu	Ala	Val	Ser	Leu 15	Gly
(Glu A	rg Al	a Th 20		e Ası	а Суя	s Lys	Ser 25	Ser	Gln	Ser	Ile	Phe 30	Arg	Thr
:	Ser A	rg As 35		s As	n Lei	ı Leı	ı Asr 40	ı Trp	Tyr	Gln	Gln	Arg 45	Pro	Gly	Gln

	Pro	Pro 50	Arg	Leu	Leu	Ile	His 55	Trp	Ala	Ser	Thr	Arg 60	Lys	Ser	Gly	y Val
	Pro 65	Asp	Arg	Phe	Ser	Gly 70	Ser	Gly	Phe	Gly	Thr 75	Asp	Phe	Thr	Leu	Thr
	Ile	Thr	Ser	Leu	Gln 85	Ala	Glu	Asp	Val	Ala 90	Ile	Tyr	Tyr	Cys	G1r 95	n Gln
	Tyr	Phe	Ser	Pro 100	Pro	Tyr	Thr	Phe	Gly 105	Gln	Gly	Thr	Lys	Leu 110		ı Ile
	Lys	Arg	Thr 115	Val	Ala	Ala	Pro	Ser 120	Val	Phe	Ile	Phe	Pro 125		Ser	Asp
	Glu	Gln 130	Leu	Lys	Ser	Gly	Thr 135	Ala	Ser	Val	Val	Cys 140	Leu	Leu	Asr	n Asn
	Phe 145	Tyr	Pro	Arg	Glu	A la 150	Lys	Val	Gln	Trp	Lys 155	Val	Asp	Asn	Ala	160
	Gln	Ser	Gly	Asn	Ser 165	Gln	Glu	Ser	Val	Thr 170	Glu	Gln	Asp	Ser	Lys 175	a Asp
	Ser	Thr	Tyr	Ser 180	Leu	Ser	Ser	Thr	Leu 185	Thr	Leu	Ser	Lys	Ala 190		Tyr
	Glu	Lys	His 195	Lys	Val	Tyr	Ala	Cys 200	Glu	Val	Thr	His	Gln 205	_	Leu	ı Ser
	Ser	Pro 210	Cys	Thr	Lys	Ser	Phe 215	Asn	Arg	Gly	Glu	Cys 220				
<210><211><211><212><213>	445 PRT	encia a	artificia	al												
<220> <221> <223>			cripció	on de l	a secı	uencia	artific	ial: Po	olipépt	ido sir	ntético	"				
<400>	146															
	Glu 1	Val	Gln	Leu	Val 5	Glu	Ser	Gly	Gly	Gly 10	Leu	Val	Gln		Gly 15	Gly
	Ser	Leu	Arg	Leu 20	Ser	Cys	Ser	Ala	Ser 25	Gly	Phe	Ser	Phe	Asn 30	Ser	Phe

Trp	Met	His 35	Trp	Val	Arg	Gln	Val 40	Pro	Gly	Lys	Gly	Leu 45	Val	Trp	Ile
Ser	Phe 50	Thr	Asn	Asn	Glu	Gly 55	Thr	Thr	Thr	Ala	Tyr 60	Ala	Asp	Ser	Val
Arg 65	Gly	Arg	Phe	Ile	Ile 70	Ser	Arg	Asp	Asn	Ala 75	Lys	Asn	Thr	Leu	Tyr 80
Leu	Glu	Met	Asn	Asn 85	Leu	Arg	Gly	Glu	Asp 90	Thr	Ala	Val	Tyr	Tyr 95	Cys
Ala	Arg	Gly	Asp 100	Gly	Gly	Leu	Asp	Asp 105	Trp	Gly	Gln	Gly	Thr 110	Leu	Val
Thr	Val	Ser 115	Ser	Ala	Ser	Thr	Lys 120	Gly	Pro	Ser	Val	Phe 125	Pro	Leu	Ala
Pro	Ser 130	Ser	Lys	Ser	Thr	Ser 135	Gly	Gly	Thr	Ala	Ala 140	Leu	Gly	Cys	Leu
Val 145	Lys	Asp	Tyr	Phe	Pro 150	Glu	Pro	Val	Thr	Val 155	Ser	Trp	Asn	Ser	Gly 160
Ala	Leu	Thr	Ser	Gly 165	Val	His	Thr	Phe	Pro 170	Ala	Val	Leu	Gln	Ser 175	Ser
Gly	Leu	Tyr	Ser 180	Leu	Ser	Ser	Val	Val 185	Thr	Val	Pro	Ser	Ser 190	Ser	Leu
Gly	Thr	Gln 195	Thr	Tyr	Ile	Cys	Asn 200	Val	Asn	His	Lys	Pro 205	Ser	Asn	Thr
Lys	Val 210	Asp	Lys	Lys	Val	Glu 215	Pro	Lys	Ser	Сув	Asp 220	Lys	Thr	His	Thr
Cys 225	Pro	Pro	Cys	Pro	Ala 230	Pro	Glu	Leu	Leu	Gly 235	Gly	Pro	Ser	Val	Phe 240
Leu	Phe	Pro	Pro	Lys 245	Pro	Lys	Asp	Thr	Leu 250	Met	Ile	Ser	Arg	Thr 255	Pro
Glu	Val	Thr	Cys 260	Val	Val	Val	Asp	Val 265	Ser	His	Glu	Asp	Pro 270	Glu	Val
Lys	Phe	Asn 275	Trp	Tyr	Val	Asp	Gly 280	Val	Glu	Val	His	Asn 285	Ala	Lys	Thr

1	_	Pro 290	Arg	Glu	Glu	Gln	Туг 295	Asn	Ser	Thr	Tyr	Arg 300	Val	Val	Ser	Val
	Leu 305	Thr	Val	Leu	His	Gln 310	Asp	Trp	Leu	Asn	Gly 315	Lys	Glu	Tyr	Lys	Cys 320
I	ŗÀs	Val	Ser	Asn	Lys 325	Ala	Leu	Pro	Ala	Pro 330	Ile	Glu	Lys	Thr	Ile 335	Ser
1	Lys	Ala	Lys	Gly 340	Gln	Pro	Arg	Glu	Pro 345	Gln	Val	Tyr	Thr	Leu 350	Pro	Pro
٤	Ser	Arg	Glu 355	Glu	Met	Thr	Lys	A sn 360	Gln	Val	Ser	Leu	Thr 365	Cys	Leu	Val
I	_	Gl y 370	Phe	Tyr	Pro	Ser	Asp 375	Ile	Ala	Val	Glu	Trp 380	Glu	Ser	Asn	Gly
	31n 385	Pro	Glu	Asn	Asn	Tyr 390	Lys	Thr	Thr	Pro	Pro 395	Val	Leu	Asp	Ser	Asp 400
C	3ly	Ser	Phe	Phe	Leu 405	Tyr	Ser	Lys	Leu	Thr 410	Val	Asp	Lys	Ser	Arg 415	Trp
(3ln	Gln	Gly	Asn 420	Val	Phe	Ser	Cys	Ser 425	Val	Met	His	Glu	Ala 430	Leu	His
I	Asn	His	Tyr 435	Thr	Gln	Lys	Ser	Leu 440	Ser	Leu	Ser	Pro	Gly 445			
<210><211><211><212><213>	• 445 • PRT	-	a artifi	cial												
<220> <221> <223>	• fuen		escrip	ción d	e la se	ecuenc	cia arti	ficial:	Polipé	ptido :	sintéti	co"				
<400>	147															
	Glu 1	val	L Glr	ı Leı	1 Val	L Glı	ı Sei	r Gly	y Gl	7 Gly 10	y Le	u Va	l Gl	n Pro	Gly 15	, Gly
	Ser	Leu	ı Arç	g Let 20	ı Sei	r Cys	s Sei	r Ala	a Sei 25	r Gly	y Ph	e Se:	r Phe	e Ası 30	n Sei	Phe
	Trp	Met	His 35	s Tr	Val	L Arq	g Glı	n Vai	l Pro	o Gly	у Lу	s Gl	y Le	u Vai	L Tr) Ile

Ser	Phe 50	Thr	Asn	Asn	Glu	Gly 55	Thr	Thr	Thr	Ala	Tyr 60	Ala	Asp	Ser	Val
Arg 65	Gly	Arg	Phe	Ile	Ile 70	Ser	Arg	Asp	Asn	Ala 75	Lys	Asn	Thr	Leu	Tyr 80
Leu	Glu	Met	Asn	Asn 85	Leu	Arg	Gly	Glu	Asp 90	Thr	Ala	Val	Tyr	Tyr 95	Cys
Ala	Arg	Gly	Glu 100	Gly	Gly	Leu	Asp	Asp 105	Trp	Gly	Gln	Gly	Thr 110	Leu	Val
Thr	Val	Ser 115	Ser	Cys	Ser	Thr	Lys 120	Gly	Pro	Ser	Val	Phe 125	Pro	Leu	Ala
Pro	Ser 130	Ser	Lys	Ser	Thr	Ser 135	Gly	Gly	Thr	Ala	Ala 140	Leu	Gly	Сув	Leu
Val 145	Lys	Asp	Tyr	Phe	Pro 150	Glu	Pro	Val	Thr	Val 155	Ser	Trp	Asn	Ser	Gly 160
Ala	Leu	Thr	Ser	Gly 165	Val	His	Thr	Phe	Pro 170	Ala	Val	Leu	Gln	Ser 175	Ser
Gly	Leu	Tyr	Ser 180	Leu	Ser	Ser	Val	Val 185	Thr	Val	Pro	Ser	Ser 190	Ser	Leu
Gly	Thr	Gln 195	Thr	Tyr	Ile	Cys	Asn 200	Val	Asn	His	Lys	Pro 205	Ser	Asn	Thr
Lys	Val 210	Asp	Lys	Lys	Val	Glu 215	Pro	Lys	Ser	Cys	Asp 220	Lys	Thr	His	Thr
Cys 225	Pro	Pro	Cys	Pro	Ala 230	Pro	Glu	Leu	Leu	Gly 235	Gly	Pro	Ser	Val	Phe 240
Leu	Phe	Pro	Pro	Lys 245	Pro	Lys	Asp	Thr	Le u 250	Met	Ile	Ser	Arg	Thr 255	Pro
Glu	Val	Thr	Cys 260	Val	Val	Val	Asp	Val 265	Ser	His	Glu	Asp	Pro 270	Glu	Val
Lys	Phe	Asn 275	Trp	Tyr	Val	Asp	Gly 280	Val	Glu	Val	His	A sn 285	Ala	Lys	Thr
Lys	Pro	Arg	Glu	Glu	Gln	Tyr	Asn	Ser	Thr	Tyr	Arg	Val	Val	Ser	Val

		290					295					300					
	Leu 305	Thr	Val	Leu	His	Gln 310	Asp	Trp	Leu	Asn	Gly 315	Lys	Glu	Tyr	Lys	Cys 320	
	Lys	Val	Ser	Asn	Lys 325	Ala	Leu	Pro	Ala	Pro 330	Ile	Glu	Lys	Thr	Ile 335	Ser	
	Lys	Ala	Lys	Gly 340	Gln	Pro	Arg	Glu	Pro 345	Gln	Val	Tyr	Thr	Leu 350	Pro	Pro	
	Ser	Arg	Glu 355	Glu	Met	Thr	Lys	Asn 360	Gln	Val	Ser	Leu	Thr 365	Cys	Leu	Val	
	Lys	Gly 370	Phe	Tyr	Pro	Ser	Asp 375	Ile	Ala	Val	Glu	Trp 380	Glu	Ser	Asn	Gly	
	Gln 385	Pro	Glu	Asn	Asn	Tyr 390	Lys	Thr	Thr	Pro	Pro 395	Val	Leu	Asp	Ser	Asp 400	
	Gly	Ser	Phe	Phe	Leu 405	Tyr	Ser	Lys	Leu	Thr 410	Val	Asp	Lys	Ser	Arg 415	Trp	
	Gln	Gln	Gly	Asn 420	Val	Phe	Ser	Cys	Ser 425	Val	Met	His	Glu	Ala 430	Leu	His	
	Asn	His	Tyr 435	Thr	Gln	Lys	Ser	Leu 440	Ser	Leu	Ser	Pro	Gly 445				
:210> :211> :212> :213>	330 PRT	o sapi	ens														
:400>	148																
	Al 1	a Se	r Th	r Ly	s Gl 5	y Pr	o Se	er Va	ıl Ph	ne Pr 10		eu Al	a Pr	o Se	er Se	er Ly	s
	Se	r Th	r Se	r Gl 20	_	y Th	ır Al	a Al	.a Le 25		.у Су	s Le	u Va	ıl Ly 30		р Ту	r
	Ph	e Pr	o Gl 35		o Va	l Th	ır Va	ıl Se 40		p As	ın Se	r Gl	y Al 45		eu Th	ır Se	r
	Gl	y Va 50		s Th	r Ph	e Pr	o Al 55		ıl Le	eu Gl	.n Se	r Se 60		y L∈	eu Ty	r Se	r
	Le 65		r Se	r Va	l Va	1 Th		al Pr	o Se	er Se	er Se		u Gl	y Th	ır Gl	n Th. 80	

Tyr	Ile	Cys	Asn	Val 85	Asn	His	Lys	Pro	Ser 90	Asn	Thr	Lys	Val	Asp 95	Lys
Lys	Val	Glu	Pro 100	Lys	Ser	Cys	Asp	Lys 105	Thr	His	Thr	Cys	Pro 110	Pro	Cys
Pro	Ala	Pro 115	Glu	Leu	Leu	Gly	Gly 120	Pro	Ser	Val	Phe	Leu 125	Phe	Pro	Pro
Lys	Pro 130	Lys	Asp	Thr	Leu	Met 135	Ile	Ser	Arg	Thr	Pro 140	Glu	Val	Thr	Cys
Val 145	Val	Val	Asp	Val	Ser 150	His	Glu	Asp	Pro	Glu 155	Val	Lys	Phe	Asn	Trp 160
Tyr	Val	Asp	G1y	Val 165	Glu	Val	His	Asn	Ala 170	Lys	Thr	Lys	Pro	Arg 175	Glu
Glu	Gln	Tyr	Asn 180	Ser	Thr	Tyr	Arg	Val 185	Val	Ser	Val	Leu	Thr 190	Val	Leu
His	Gln	Asp 195	Trp	Leu	Asn	Gly	Lys 200	Glu	Tyr	Lys	Cys	Lys 205	Val	Ser	Asn
Lys	Ala 210	Leu	Pro	Ala	Pro	Ile 215	Glu	Lys	Thr	Ile	Ser 220	Lys	Ala	Lys	Gly
Gln 225	Pro	Arg	Glu	Pro	Gln 230	Val	Tyr	Thr	Leu	Pro 235	Pro	Ser	Arg	Glu	Glu 240
Met	Thr	Lys	Asn	Gln 245	Val	Ser	Leu	Thr	Cys 250	Leu	Val	Lys	Gly	Phe 255	Tyr
Pro	Ser	Asp	11e 260	Ala	Val	Glu	Trp	Glu 265	Ser	Asn	Gly	Gln	Pro 270	Glu	Asn
Asn	Tyr	Lys 275	Thr	Thr	Pro	Pro	Val 280	Leu	Asp	Ser	Asp	Gly 285	Ser	Phe	Phe
Leu	Tyr 290	Ser	Lys	Leu	Thr	Val 295	Asp	Lys	Ser	Arg	Trp 300	Gln	Gln	Gly	Asn
Val 305	Phe	Ser	Cys	Ser	Val 310	Met	His	Glu	Ala	Leu 315	His	Asn	His	Tyr	Thr 320
Gln	Lys	Ser	Leu	Ser	Leu	Ser	Pro	Gly	Lys						

5	<210> <211> 3 <212> <213>	330 PRT	sapie	ns													
	<400>	149															
		Cys 1	Ser	Thr	Lys	Gly 5	Pro	Ser	Val	Phe	Pro 10	Leu	Ala	Pro	Ser	Ser 15	Ly
		Ser	Thr	Ser	Gly 20	Gly	Thr	Ala	Ala	Leu 25	Gly	Cys	Leu	Val	Lys 30	Asp	Тy
		Phe	Pro	G1u 35	Pro	Val	Thr	Val	Ser 40	Trp	Asn	Ser	Gly	Ala 45	Leu	Thr	Se
		Gly	Val 50	His	Thr	Phe	Pro	Ala 55	Val	Leu	Gln	Ser	Ser 60	Gly	Leu	Tyr	Se
		Leu 65	Ser	Ser	Val	Val	Thr 70	Val	Pro	Ser	Ser	Ser 75	Leu	Gly	Thr	Gln	Th:
		Tyr	Ile	Cys	Asn	Val 85	Asn	His	Lys	Pro	Ser 90	Asn	Thr	Lys	Val	Asp 95	Ly
		Lys	Val	Glu	Pro 100	Lys	Ser	Cys	Asp	Lys 105	Thr	His	Thr	Cys	Pro 110	Pro	Су
		Pro	Ala	Pro 115	Glu	Leu	Leu	Gly	Gly 120	Pro	Ser	Val	Phe	Leu 125	Phe	Pro	Pr
		Lys	Pro 130	Lys	Asp	Thr	Leu	Met 135	Ile	Ser	Arg	Thr	Pro 140	Glu	Val	Thr	Су
		Val 145	Val	Val	Asp	Val	Ser 150	His	Glu	Asp	Pro	Glu 155	Val	Lys	Phe	Asn	Tr _]
		Tyr	Val	Asp	Gly	Val 165	Glu	Val	His	Asn	Ala 170	Lys	Thr	Lys	Pro	Arg 175	Glı
		Glu	Gln	Tyr	Asn 180	Ser	Thr	Tyr	Arg	Val 185	Val	Ser	Val	Leu	Thr 190	Val	Le
		His	Gln	As p 195	Trp	Leu	Asn	Gly	Lys 200	Glu	Tyr	Lys	Cys	Lys 205	Val	Ser	Ası

Lys Ala Leu Pro Ala Pro Ile Glu Lys Thr Ile Ser Lys Ala Lys Gly 210 215 220

Glr 225	Pro	Arg	Glu	Pro	Gln 230	Val	Tyr	Thr	Leu	Pro 235	Pro	Ser	Arg	Glu	Glu 240
Met	Thr	Lys	Asn	Gln 245	Val	Ser	Leu	Thr	Cys 250	Leu	Val	Lys	Gly	Phe 255	Tyr
Pro	Ser	Asp	Ile 260	Ala	Val	Glu	Trp	Glu 265	Ser	Asn	Gly	Gln	Pro 270	Glu	Asn
Asr	Tyr	Lys 275	Thr	Thr	Pro	Pro	Val 280	Leu	Asp	Ser	Asp	Gly 285	Ser	Phe	Phe
Leı	Tyr 290	Ser	Lys	Leu	Thr	Val 295	Asp	Lys	Ser	Arg	Trp 300	Gln	Gln	Gly	Asn
Va] 305	Phe	Ser	Cys	Ser	Val 310	Met	His	Glu	Ala	Leu 315	His	Asn	His	Tyr	Thr 320
Glr	Lys	Ser	Leu	Ser 325	Leu	Ser	Pro	Gly	Lys 330						
<210> 15 <211> 10 <212> PF	7														
<213> Ho	mo sap	iens													
<213> Ho	•	iens													
<400> 15	•		Ala	Ala 5	Pro	Ser	Val	Phe	Ile 10	Phe	Pro	Pro	Ser	Asp 15	Glu
<400> 15 Arc 1)	Val		5					10					15	
<400> 15 Arg 1 Glr	Thr	Val Lys	Ser 20	5 Gly	Thr	Ala	Ser	Val 25	10 Val	Cys	Leu	Leu	Asn 30	15 Asn	Phe
<400> 15 Arc 1 Glr	Thr	Val Lys Arg 35	Ser 20 Glu	5 Gly Ala	Thr Lys	Ala Val	Ser Gln 40	Val 25 Trp	10 Val Lys	Cys Val	Leu Asp	Leu Asn 45	Asn 30 Ala	15 Asn Leu	Phe Gln
<400> 15 Arc 1 Glr Tyr	Thr Leu Pro	Val Lys Arg 35	Ser 20 Glu Ser	5 Gly Ala Gln	Thr Lys Glu	Ala Val Ser 55	Ser Gln 40 Val	Val 25 Trp Thr	10 Val Lys Glu	Cys Val Gln	Leu Asp Asp	Leu Asn 45 Ser	Asn 30 Ala Lys	Asn Leu Asp	Phe Gln Ser
<400> 15 Arg 1 Glr Tyr Ser Thi 65	Thr Leu Pro	Val Lys Arg 35 Asn	Ser 20 Glu Ser Leu	5 Gly Ala Gln Ser	Thr Lys Glu Ser 70	Ala Val Ser 55	Ser Gln 40 Val	Val 25 Trp Thr	10 Val Lys Glu Leu	Cys Val Gln Ser 75	Leu Asp Asp 60	Leu Asn 45 Ser	Asn 30 Ala Lys Asp	Asn Leu Asp	Phe Gln Ser Glu 80

```
<210> 151
       <211> 107
       <212> PRT
       <213> Homo sapiens
 5
       <400> 151
          Arg Thr Val Ala Ala Pro Ser Val Phe Ile Phe Pro Pro Ser Asp Glu
                             5
                                                    10
                                                                            15
          Gln Leu Lys Ser Gly Thr Ala Ser Val Val Cys Leu Leu Asn Asn Phe
                        20
                                                25
                                                                       30
          Tyr Pro Arg Glu Ala Lys Val Gln Trp Lys Val Asp Asn Ala Leu Gln
                    35
                                           40
                                                                   45
           Ser Gly Asn Ser Gln Glu Ser Val Thr Glu Gln Asp Ser Lys Asp Ser
               50
          Thr Tyr Ser Leu Ser Ser Thr Leu Thr Leu Ser Lys Ala Asp Tyr Glu
                                                                                80
           65
                                  70
                                                         75
          Lys His Lys Val Tyr Ala Cys Glu Val Thr His Gln Gly Leu Ser Ser
                             85
                                                     90
          Pro Cys Thr Lys Ser Phe Asn Arg Gly Glu Cys
                        100
                                                105
10
       <210> 152
       <211> 42
       <212> ADN
       <213> Secuencia artificial
15
       <220>
       <221> fuente
       <223> /nota= "Descripción de la secuencia artificial: Oligonucleótido sintético"
20
                                                                                          42
      cccagactgc accagctgga tctctgaatg tactccagtt gc
       <210> 153
       <211>41
25
       <212> ADN
       <213> Secuencia artificial
       <220>
       <221> fuente
       <223> /nota= "Descripción de la secuencia artificial: Oligonucleótido sintético"
30
       <400> 153
                                                                                          41
       ccagactgca ccagctgcac ctctgaatgt actccagttg c
35
       <210> 154
       <211> 61
```

```
<212> ADN
       <213> Secuencia artificial
       <220>
 5
       <221> fuente
       <223> /nota= "Descripción de la secuencia artificial: Oligonucleótido sintético"
      ccagggttcc ctggccccaw tmgtcaagtc cascwkcacc tcttgcacag taatagacag
                                                                                            60
                                                                                            61
10
       <210> 155
       <211> 52
       <212> ADN
15
       <213> Secuencia artificial
       <220>
       <221> fuente
       <223> /nota= "Descripción de la secuencia artificial: Oligonucleótido sintético"
20
       <400> 155
      cctggcccca gtcgtcaagt cctccttcac ctcttgcaca gtaatagaca gc
                                                                                            52
25
       <210> 156
       <211> 116
       <212> PRT
       <213> Secuencia artificial
30
       <220>
       <221> fuente
       <223> /nota= "Descripción de la secuencia artificial: Polipéptido sintético"
35
            Glu Val Gln Leu Val Glu Ser Gly Gly Gly Leu Val Gln Pro Gly Gly
                               5
                                                       10
                                                                               15
            Ser Leu Arg Leu Ser Cys Ser Ala Ser Gly Phe Ser Phe Asn Ser Phe
                          20
            Trp Met His Trp Val Arg Gln Val Pro Gly Lys Gly Leu Val Trp Ile
                     35
            Ser Phe Thr Asn Asn Glu Gly Thr Thr Thr Ala Tyr Ala Asp Ser Val
                 50
                                        55
            Arg Gly Arg Phe Ile Ile Ser Arg Asp Asn Ala Lys Asn Thr Leu Tyr
                                    70
            65
                                                                                   80
            Leu Glu Met Asn Asn Leu Arg Gly Glu Asp Thr Ala Val Tyr Tyr Cys
```

Ala Arg Gly Glu Gly Gly Leu Asp Asp Trp Gly Gln Gly Thr Leu Val

```
Thr Val Ser Ser
              115
<210> 157
<211> 445
<212> PRT
<213> Secuencia artificial
<220>
<221> fuente
<223> /nota= "Descripción de la secuencia artificial: Polipéptido sintético"
<400> 157
      Glu Val Gln Leu Val Glu Ser Gly Gly Gly Leu Val Gln Pro Gly Gly
      Ser Leu Arg Leu Ser Cys Ser Ala Ser Gly Phe Ser Phe Asn Ser Phe
      Trp Met His Trp Val Arg Gln Val Pro Gly Lys Gly Leu Val Trp Ile
                                    40
      Ser Phe Thr Asn Asn Glu Gly Thr Thr Thr Ala Tyr Ala Asp Ser Val
      Arg Gly Arg Phe Ile Ile Ser Arg Asp Asn Ala Lys Asn Thr Leu Tyr
      Leu Glu Met Asn Asn Leu Arg Gly Glu Asp Thr Ala Val Tyr Tyr Cys
      Ala Arg Gly Glu Gly Gly Leu Asp Asp Trp Gly Gln Gly Thr Leu Val
                                        105
      Thr Val Ser Ser Ala Ser Thr Lys Gly Pro Ser Val Phe Pro Leu Ala
              115
                                    120
                                                         125
      Pro Ser Ser Lys Ser Thr Ser Gly Gly Thr Ala Ala Leu Gly Cys Leu
      Val Lys Asp Tyr Phe Pro Glu Pro Val Thr Val Ser Trp Asn Ser Gly
      145
                           150
                                                155
      Ala Leu Thr Ser Gly Val His Thr Phe Pro Ala Val Leu Gln Ser Ser
                       165
                                            170
```

5

Gly	Leu	Tyr	Ser 180	Leu	Ser	Ser	Val	Val 185	Thr	Val	Pro	Ser	Ser 190	Ser	Leu
Gly	Thr	Gln 195	Thr	Tyr	Ile	Cys	Asn 200	Val	Asn	His	Lys	Pro 205	Ser	Asn	Thr
Lys	Val 210	Asp	Lys	Lys	Val	Glu 215	Pro	Lys	Ser	Cys	Asp 220	Lys	Thr	His	Thr
Cys 225	Pro	Pro	Cys	Pro	Ala 230	Pro	Glu	Leu	Leu	Gly 235	Gly	Pro	Ser	Val	Phe 240
Leu	Phe	Pro	Pro	Lys 245	Pro	Lys	Asp	Thr	Leu 250	Met	Ile	Ser	Arg	Thr 255	Pro
Glu	Val	Thr	C ys 260	Val	Val	Val	Asp	Val 265	Ser	His	Glu	Asp	Pro 270	Glu	Val
Lys	Phe	As n 275	Trp	Tyr	Val	Asp	Gly 280	Val	Glu	Val	His	Asn 285	Ala	Lys	Thr
Lys	Pro 290	Arg	Glu	Glu	Gln	Tyr 295	Asn	Ser	Thr	Tyr	Arg 300	Val	Val	Ser	Val
Leu 305	Thr	Val	Leu	His	Gln 310	Asp	Trp	Leu	Asn	Gly 315	Lys	Glu	Tyr	Lys	Cys 320
Lys	Val	Ser	Asn	Lys 325	Ala	Leu	Pro	Ala	Pro 330	Ile	Glu	Lys	Thr	Ile 335	Ser
Lys	Ala	Lys	Gly 340	Gln	Pro	Arg	Glu	Pro 345	Gln	Val	Tyr	Thr	Leu 350	Pro	Pro
Ser	Arg	Glu 355	Glu	Met	Thr	Lys	Asn 360	Gln	Val	Ser	Leu	Thr 365	Cys	Leu	Val
Lys	Gly 370	Phe	Tyr	Pro	Ser	Asp 375	Ile	Ala	Val	Glu	Trp 380	Glu	Ser	Asn	Gly
Gln 385	Pro	Glu	Asn	Asn	Tyr 390	Lys	Thr	Thr	Pro	Pro 395	Val	Leu	Asp	Ser	Asp 400
Gly	Ser	Phe	Phe	Leu 405	Tyr	Ser	Lys	Leu	Thr 410	Val	Asp	Lys	Ser	Arg 415	Trp
Gln	Gln	Glv	Asn	Va1	Phe	Ser	Cvs	Ser	Val	Met	His	Glu	Ala	T. 11	His

420	425	430

Asn His Tyr Thr Gln Lys Ser Leu Ser Leu Ser Pro Gly 435 440 445

<210> 158 <211> 214

5 <212> PRT

<213> Secuencia artificial

<220>

<221> fuente

10 <223> /nota= "Descripción de la secuencia artificial: Polipéptido sintético"

<400> 158

Asp 1	Ile	Gln	Leu	Thr 5	Gln	Ser	Pro	Ser	Ile 10	Leu	Ser	Ala	Ser	Val 15	Gly
Asp	Arg	Val	Thr 20	Ile	Thr	Cys	Arg	Ala 25	Ser	Gln	Thr	Ile	Ser 30	Gly	Trp
Leu	Ala	Trp 35	Tyr	Gln	Gln	Lys	Pro 40	Ala	Glu	Ala	Pro	Lys 45	Leu	Leu	Il∈
Tyr	Lys 50	Ala	Ser	Thr	Leu	Glu 55	Ser	Gly	Val	Pro	Ser 60	Arg	Phe	Ser	Gly
Ser 65	Gly	Ser	Gly	Thr	Glu 70	Phe	Thr	Leu	Thr	Ile 75	Ser	Ser	Leu	Gln	Pro 80
Asp	Asp	Phe	Gly	Ile 85	Tyr	Tyr	Cys	Gln	Gln 90	Tyr	Lys	Ser	Tyr	Ser 95	Phe
Asn	Phe	Gly	Gln 100	Gly	Thr	Lys	Val	Glu 105		Lys	Arg	Thr	Val 110	Ala	Ala
Pro	Ser	Val 115	Phe	Ile	Phe	Pro	Pro 120	Ser	Asp	Glu	Gln	Leu 125	_	Ser	Gly
Thr	Ala 130	Ser	Val	Val	Cys	Leu 135	Leu	Asn	Asn	Phe	Tyr 140	Pro	Arg	Glu	Ala
Lys 145	Val	Gln	Trp	Lys	Val 150	Asp	Asn	Ala	Leu	Gln 155		Gly	Asn	Ser	Gln 160
Glu	Ser	Val	Thr	Glu 165	Gln	Asp	Ser	Lys	Asp 170	Ser	Thr	Tyr	Ser	Leu 175	Ser
Ser	Thr	Leu	Thr	Leu	Ser	Lys	Ala	Asp	Tyr	Glu	Lys	His	Lys	Val	Tyr
			180					185					190		
Ala	Cys	Glu 195	Val	Thr	His	Gln	Gly 200	Leu	Ser	Ser	Pro	Val 205	Thr	Lys	Ser
Phe	Asn 210	Arg	Gly	Glu	Cys										

<210> 159 <211> 215 <212> PRT

	<213>	Secue	ncia a	rtificia	ıl												
5	<220> <221> <223>			cripció	on de l	a sec	uencia	a artifi	cial: F	olipé	otido s	sintétio	co"				
	<400>	159															
		Glu 1	Ile	Val	Leu	Thr 5	Gln	Ser	Pro	Gly	Thr 10	Leu	Ser	Leu	Ser	Pro 15	Gly
		Glu	Arg	Ala	Thr 20	Leu	Ser	Cys	Arg	Ala 25	Ser	Gln	Phe	Val	Ser 30	Arg	Thr
		Ser	Leu	Ala 35	Trp	Phe	Gln	Gln	Lys 40	Pro	Gly	Gln	Pro	Pro 45	Arg	Leu	Leu
		Ile	Tyr 50	Glu	Thr	Ser	Ser	Arg 55	Ala	Thr	Gly	Ile	Pro 60	Asp	Arg	Phe	Ser
		Gly 65	Ser	Gly	Ser	Gly	Thr 70	Asp	Phe	Thr	Leu	Thr 75	Ile	Ser	Arg	Leu	Glu 80
		Pro	Glu	Asp	Phe	Ala 85	Met	Tyr	Tyr	Cys	His 90	Lys	Tyr	Gly	Ser	Gly 95	Pro
		Arg	Thr	Phe	Gly 100	Gln	Gly	Thr	Lys	Val 105	Glu	Val	Lys	Arg	Thr 110	Val	Ala
		Ala	Pro	Ser 115	Val	Phe	Ile	Phe	Pro 120	Pro	Ser	Asp	Glu	Gln 125	Leu	Lys	Ser
		Gly	Thr 130	Ala	Ser	Val	Val	Cys 135	Leu	Leu	Asn	Asn	Phe 140	Tyr	Pro	Arg	Glu
		Ala 145	Lys	Val	Gln	Trp	Lys 150	Val	Asp	Asn	Ala	Leu 155	Gln	Ser	Gly	Asn	Ser 160
		Gln	Glu	Ser	Val	Thr	Glu	Gln	Asp	Ser	Lys	Asp	Ser	Thr	Tyr	Ser	Leu
						165					170					175	i
		Ser	Ser	Thr	Leu 180	Thr	Leu	Ser	Lys	Ala 185	Asp	Tyr	Glu	Lys	His 190	_	Val
		Tyr	Ala	Cys 195	Glu	Val	Thr	His	Gln 200	Gly	Leu	Ser	Ser	Pro 205		Thr	Lys

Ser Phe Asn Arg Gly Glu Cys 210 215

5	<210><211><211><212><213>	215 PRT	encia	artifici	al												
10	<220> <221> <223>	• fuent		scripci	ón de	la sec	uencia	a artifi	cial: P	olipép	tido si	ntético) "				
10	<400>	160															
		Glu 1	Thr	Thr	Leu	Thr 5	Gln	Ser	Pro	Gly	Thr 10	Leu	Ser	Leu	Ser	Pro 15	Gly
		Glu	Arg	Ala	Thr 20	Leu	Ser	Cys	Arg	Ala 25	Ser	Gln	Ser	Val	Ser 30	Ser	Ser
		Tyr	Leu	Ala 35	Trp	Tyr	Gln	Gln	Lys 40	Pro	Gly	Gln	Ala	Pro 45	Lys	Val	Leu
		Ile	Tyr 50	Asp	Ala	Ser	Ser	Arg 55	Ala	Thr	Gly	Ile	Pro 60	Asp	Arg	Phe	Ser
		Gly 65	Ser	Gly	Ser	Gly	Thr 70	Asp	Phe	Thr	Leu	Thr 75	Ile	Ser	Arg	Leu	Glu 80
		Pro	Glu	Asp	Phe	Ala 85	Val	Tyr	Tyr	Cys	Gln 90	Lys	Tyr	Gly	Ser	Thr 95	Pro
		Arg	Pro	Phe	Gly 100	Gln	Gly	Thr	Lys	Val 105	Glu	Ile	Lys	Arg	Thr 110	Val	Ala
		Ala	Pro	Ser 115	Val	Phe	Ile	Phe	Pro 120	Pro	Ser	Asp	Glu	Gln 125	Leu	Lys	Ser
		Gly	Thr 130	Ala	Ser	Val	Val	Cys 135	Leu	Leu	Asn	Asn	Phe 140	Tyr	Pro	Arg	Glu

Ala Lys Val Gln Trp Lys Val Asp Asn Ala Leu Gln Ser Gly Asn Ser

145					150			-		155					160
Gln	Glu s	Ser \		Thr 165	Glu	Gln	Asp	Ser	Lys 170	Asp	Ser	Thr	Tyr	Ser 175	Leu
Ser	Ser :		Leu ' 180	Thr	Leu	Ser	Lys	Ala 185	Asp	Tyr	Glu	Lys	His 190	Lys	Val
Tyr	Ala (Cys (Glu '	Val	Thr	His	Gln 200	Gly	Leu	Ser	Ser	Pro 205	Val	Thr	Lys
Ser	Phe 2 210	Asn A	Arg	Gly	Glu	Cys 215									
<210> 161 <211> 214 <212> PRT <213> Secu	encia a	artificia	ıl												
<220> <221> fuent <223> /nota		cripcić	n de l	a sec	uencia	a artifi	cial: P	olipép	tido si	ntético)"				
<400> 161															
As _j 1	p Val	Val	Met	Thr 5	Gln	Ser	Ser	Ser	Ser 10	Leu	Ser	Ala	Ser	Val 15	Gly
As	p Arg	Val	Thr 20	Ile	Thr	Cys	Arg	Ala 25	Ser	Leu	Asp	Ile	Thr 30	Asn	His
Le	u Ala	Trp 35	Tyr	Gln	Gln	Lys	Pro 40	Gly	Glu	Leu	Pro	Lys 45	Leu	Leu	Ile
Ту	r Glu 50	Ala	Ser	Ile	Leu	Gln 55	Ser	Gly	Val	Pro	Ser 60	Arg	Phe	Ser	Gly
Se: 65	r Gly	Ser	Gly	Thr	Asp 70	Phe	Thr	Leu	Thr	Ile 75	Ser	Ser	Leu	Gln	Pro 80
Glı	u Asp	Val	Ala	Thr 85	Tyr	Tyr	Cys	Glu	Lys 90	Cys	Asn	Ser	Thr	Pro 95	Arg
Th:	r Phe	Gly	Gln 100	Gly	Thr	Lys	Val	Glu 105	Ile	Lys	Arg	Thr	Val 110	Ala	Ala
Pr	o Ser	Val 115		Ile	Phe	Pro	Pro 120		Asp	Glu	Gln	Leu 125	Lys	Ser	Gly
	_														

5

10

Thr Ala Ser Val Val Cys Leu Leu Asn Asn Phe Tyr Pro Arg Glu Ala

		130					135					140				
	Lys 145	Val	Gln	Trp	Lys	Val 150	Asp	Asn	Ala	Leu	Gln 155	Ser	Gly	Asn	Ser	Gln 160
	Glu	Ser	Val	Thr	Glu 165	Gln	Asp	Ser	Lys	Asp 170	Ser	Thr	Tyr	Ser	Leu 175	Ser
	Ser	Thr	Leu	Thr 180	Leu	Ser	Lys	Ala	Asp 185	Tyr	Glu	Lys	His	Lys 190	Val	Tyr
	Ala	Cys	Glu 195	Val	Thr	His	Gln	Gly 200	Leu	Ser	Ser	Pro	Val 205	Thr	Lys	Ser
	Phe	Asn 210	Arg	Gly	Glu	Суѕ										
<210><211><211><212><213>	216 PRT	encia a	artificia	al												
<220> <221> <223>	fuente		cripcio	ón de	la sec	uenci	a artif	icial: F	Polipér	otido s	sintétic	o"				
<400>	162															
	Glu 1	ı Ile	val	Met	Thr 5	Gln	Ser	Pro	Gly	Thr 10	Leu	Ser	Leu	Ser	Pro 15	Gly
	Glu	Arg	Ala	Thr 20	Leu	Ser	Cys	Arg	Ala 25	Ser	Gln	Ser	Val	Gly 30	Ala	Ile
	Tyr	Leu	Ala 35	_	_			Glu 40		_	Arg			Thr	Leu	Leu
	Phe	Tyr 50	Gly	Val	Ser	Asn	Arg 55	Ala	Thr	Gly	Ile	Pro 60	Asp	Arg	Phe	Ser
	Cys 65	Ser	Gly	Ser	Gly	Thr 70	Asp	Phe	Thr	Leu	Thr 75	Ile	Ser	Arg	Leu	G1u 80
	Pro	Glu	Asp	Phe	Ala 85	Val	Tyr	Tyr	Cys	Gln 90	Leu	Tyr	Thr	Ser	Ser 95	Arg
	Ala	Leu	Thr	Phe 100		Gly	Gly	Thr	Lys 105		Glu	Ile	Lys	Arg 110	Thr	Val
	Ala	Ala	Pro	Ser	Val	Phe	Ile	Phe	Pro	Pro	Ser	Asp	Glu	Gln	Leu	Lys

			115					120					125				
	Ser	Gly 130	Thr	Ala	Ser	Val	Val 135	Cys	Leu	Leu	Asn	Asn 140	Phe	Tyr	Pro	Arg	
	Glu 145	Ala	Lys	Val	Gln	Trp 150	Lys	Val	Asp	Asn	Ala 155	Leu	Gln	Ser	Gly	Asn 160	
	Ser	Gln	Glu	Ser	Val 165	Thr	Glu	Gln	Asp	Ser 170	Lys	Asp	Ser	Thr	Tyr 175	Ser	
	Leu	Ser	Ser	Thr 180	Leu	Thr	Leu	Ser	Lys 185	Ala	Asp	Tyr	Glu	Lys 190	His	Lys	
	Val	Tyr	Ala 195	Cys	Glu	Val	Thr	His 200	Gln	Gly	Leu	Ser	Ser 205	Pro	Val	Thr	
	Lys	Ser 210	Phe	Asn	Arg	Gly	Glu 215	Cys									
<210> 1 <211> 2 <212> F <213> 3	214 PRT	ncia a	rtificia	I													
<220> <221> fuente <223> /nota= "Descripción de la secuencia artificial: Polipéptido sintético"																	

5

10

<400> 163

	Glı 1	ı Ile	e Val	L Leu	Thr 5	Gln	Ser	Pro	Ser	Ser 10	Leu	Ser	Ala	Ser	Val 15	Gly
	Ası	o Arq	y Val	L Thr 20	: Ile	Thr	Cys	Arg	Ala 25	Ser	Gln	Gly	Ile	Arg 30	Asn	Gly
	Le	ı Gly	Trp 35	э Туг	Gln	Gln	Thr	Pro 40	Gly	Lys	Ala	Pro	Lys 45	Leu	Leu	Ile
	Туз	r Pro	Ala	a Ser	Thr	Leu	Glu 55	. Ser	Gly	Val	Pro	Ser 60	Arg	Phe	Ser	Gly
	Sei 65	r Gly	y Sei	Asp	Arg	Asp 70	Phe	Thr	Leu	Thr	Ile 75	Thr	Ser	Leu	Gln	Pro 80
	Glı	ı Ası	p Phe	e Ala	Thr 85	Туг	Tyr	: Cys	Leu	Gln 90	Asp	His	Asn	Tyr	Pro 95	Pro
	Thi	r Phe	∋ Gly	7 Glr	ı Gly	Thr	Lys	. Val	Glu	Ile	Lys	Arg	Thr	Val	Ala	Ala
				100					105					110		
	Pro	Ser	Val 115	Phe	Ile	Phe	Pro	Pro 120	Ser	Asp	Glu	Gln	Leu 125	Lys	Ser	Gly
	Thr	Ala 130	Ser	Val	Val	Cys	Leu 135	Leu	Asn	Asn	Phe	Tyr 140	Pro	Arg	Glu	Ala
	Lys 145	Val	Gln	Trp	Lys	Val 150	Asp	Asn	Ala	Leu	Gln 155	Ser	Gly	Asn	Ser	Gln 160
	Glu	Ser	Val	Thr	Glu 165	Gln	Asp	Ser	Lys	Asp 170	Ser	Thr	Tyr	Ser	Leu 175	Ser
	Ser	Thr	Leu	Thr 180	Leu	Ser	Lys	Ala	Asp 185	Tyr	Glu	Lys	His	Lys 190	Val	Tyr
	Ala	Cys	Glu 195	Val	Thr	His	Gln	Gly 200	Leu	Ser	Ser	Pro	Val 205	Thr	Lys	Ser
	Phe	Asn 210	Arg	Gly	Glu	Cys										
<210> <211> :	214															

<221> fuente

<220>

<213> Secuencia artificial

5

<223> /nota= "Descripción de la secuencia artificial: Polipéptido sintético" <400> 164 Asp Ile Gln Met Thr Gln Ser Pro Ser Ser Leu Ser Ala Ser Val Gly 10 Asp Arg Val Thr Ile Thr Cys Arg Ala Ser Gln Gly Ile Arg Asn Gly Leu Gly Trp Tyr Gln Gln Ile Pro Gly Lys Ala Pro Lys Leu Leu Ile Tyr Pro Ala Ser Thr Leu Glu Ser Gly Val Pro Ser Arg Phe Ser Gly Ser Gly Ser Asp Arg Asp Phe Thr Leu Thr Ile Thr Ser Leu Gln Pro Glu Asp Phe Ala Thr Tyr Tyr Cys Leu Gln Asp His Asn Tyr Pro Pro 85 90 95 Ser Phe Ser Gln Gly Thr Lys Val Glu Ile Lys Arg Thr Val Ala Ala 100 105

Pro Ser Val Phe Ile Phe Pro Pro Ser Asp Glu Gln Leu Lys Ser Gly

Thr Ala Ser Val Val Cys Leu Leu Asn Asn Phe Tyr Pro Arg Glu Ala 135

Lys Val Gln Trp Lys Val Asp Asn Ala Leu Gln Ser Gly Asn Ser Gln 145

Glu Ser Val Thr Glu Gln Asp Ser Lys Asp Ser Thr Tyr Ser Leu Ser 170

Ser Thr Leu Thr Leu Ser Lys Ala Asp Tyr Glu Lys His Lys Val Tyr 185

Ala Cys Glu Val Thr His Gln Gly Leu Ser Ser Pro Val Thr Lys Ser 200

Phe Asn Arg Gly Glu Cys 210

<210> 165

5

<211> 214

10

<212> PRT

<213> Secuencia artificial

<220> <221> fuente <223> /nota= "Descripción de la secuencia artificial: Polipéptido sintético" 5 <400> 165 Asp Ile Gln Met Thr Gln Ser Pro Ala Thr Leu Ser Val Ser Pro Gly Glu Thr Val Thr Leu Ser Cys Arg Ala Ser Gln Ser Val Arg Thr Asn 25 Val Ala Trp Tyr Arg His Lys Ala Gly Gln Ala Pro Met Ile Leu Val Ser Gly Ala Ser Thr Arg Ala Ser Gly Ala Pro Ala Arg Phe Ser Gly 55 Ser Gly Tyr Gly Thr Glu Phe Thr Leu Thr Ile Thr Ser Leu Gln Ser 65 70 75 80 Glu Asp Phe Ala Val Tyr Tyr Cys Leu Gln Tyr Asn Thr Trp Pro Arg 85 Thr Phe Gly Gln Gly Thr Lys Val Glu Val Lys Arg Thr Val Ala Ala 100 105 Pro Ser Val Phe Ile Phe Pro Pro Ser Asp Glu Gln Leu Lys Ser Gly Thr Ala Ser Val Val Cys Leu Leu Asn Asn Phe Tyr Pro Arg Glu Ala Lys Val Gln Trp Lys Val Asp Asn Ala Leu Gln Ser Gly Asn Ser Gln 150 Glu Ser Val Thr Glu Gln Asp Ser Lys Asp Ser Thr Tyr Ser Leu Ser Ser Thr Leu Thr Leu Ser Lys Ala Asp Tyr Glu Lys His Lys Val Tyr 180 Ala Cys Glu Val Thr His Gln Gly Leu Ser Ser Pro Val Thr Lys Ser 195 200 205 Phe Asn Arg Gly Glu Cys

10

<210> 166 <211> 214 <212> PRT

	<213> Se	ecuen	cia ar	tificial													
5	<220> <221> fue <223> /ne		'Desci	ripció	n de l	a seci	uencia	a artif	icial: I	Polipé	ptido	sinté	tico"				
	<400> 16	6															
		As _j	p Val	L Val	L Met	Thr 5	Gln	Ser	Pro	Ser	Phe 10	Leu	Ser	Ala	Ser	Val 15	G17
		As	p Arq	y Val	L Thi 20	c Leu	ı Thr	: Cys	Arg	Ala 25	Ser	Gln	Asp	Ile	Gly 30	Ser	Sei
		Le	u Ala	a Trg 35	э Туг	Gln	ı Gln	Arg	Pro 40	Gly	Lys	Ala	Pro	Asn 45	Leu	Leu	Ile
		ту	r Ala	a Thi	s Sei	. Thr	Leu	ı Gln	Ser	Gly	Val	Pro	Ser	Arg	Phe	Ser	Gl
			50					55					60				
		Ser 65	Gly	Phe	Gly	Thr	Glu 70	Phe	Thr	Leu	Thr	Ile 75	Ser	Thr	Leu	Gln	Pro 80
		Glu	Asp	Phe	Ala	Thr 85	Tyr	Tyr	Cys	Gln	Gln 90	Leu	Asn	Asn	Tyr	Val 95	Hi
		Ser	Phe	Gly	Pro 100	Gly	Thr	Lys	Leu	Glu 105	Ile	Lys	Arg	Thr	Val 110	Ala	Ala
		Pro	Ser	Val 115	Phe	Ile	Phe	Pro	Pro 120	Ser	Asp	Glu	Gln	Leu 125	Lys	Ser	Gly
		Thr	Ala 130	Ser	Val	Val		Leu 135		Asn	Asn		Tyr 140	Pro	Arg	Glu	Ala
		Lys 145	Val	Gln	Trp	Lys	Val 150	Asp	Asn	Ala	Leu	Gln 155	Ser	Gly	Asn	Ser	Gl: 160
		Glu	Ser	Val	Thr	Glu 165	Gln	Asp	Ser	Lys	Asp 170	Ser	Thr	Tyr	Ser	Leu 175	Se
		Ser	Thr	Leu	Thr 180	Leu	Ser	Lys	Ala	Asp 185	Tyr	Glu	Lys	His	Lys 190	Val	Ту
		Ala	Cys	Glu 195	Val	Thr	His	Gln	Gly 200	Leu	Ser	Ser	Pro	Val 205	Thr	Lys	Se
10		Phe	Asn 210	Arg	Gly	Glu	Cys										

<210> 167 <211> 213

		2> PR 3> Sec		ia artifi	icial												
5)> 1> fue 3> /no		escrip	ción c	le la s	ecuen	cia art	ificial:	Polipé	eptido	sintéti	co"				
	<400	0> 167	7														
		Glu 1	Thr	Thr	Leu	Thr 5	Gln	Ser	Pro	Ser	Thr 10	Leu	Ser	Ala	Ser	Val 15	Gly
		Asp	Arg	Val	Thr 20	Ile	Thr	Cys	Arg	Ala 25	Ser	Gln	Ser	Ile	Gly 30	Asp	Arg
		Leu	Ala	Trp	Tyr	Gln	Gln	Lys	Pro	Gly	Lys	Ala	Pro	Lys	Val	Leu	Ile

			35					40					45			
	Tyr	Trp 50	Ala	Ser	Asn	Leu	Glu 55	Gly	Gly	Val	Pro	Ser 60	Arg	Phe	Ser	Gly
	Thr 65	Gly	Ser	Gly	Thr	Glu 70	Phe	Ala	Leu	Thr	Ile 75	Ser	Gly	Leu	Gln	Pro
	Asp	Asp	Leu	Ala	Thr 85	Tyr	Tyr	Cys	Gln	Gln 90	Tyr	Lys	Ser	Gln	Trp 95	Ser
	Phe	Gly	Gln	Gly 100	Thr	Lys	Val	Glu	Ile 105	Lys	Arg	Thr	Val	Ala 110	Ala	Pro
	Ser	Val	Phe 115	Ile	Phe	Pro	Pro	Ser 120	Asp	Glu	Gln	Leu	Lys 125	Ser	Gly	Thr
	Ala	Ser 130	Val	Val	Cys	Leu	Le u 135	Asn	Asn	Phe	Tyr	Pro 140	Arg	Glu	Ala	Lys
	Val 145	Gln	Trp	Lys	Val	Asp 150	Asn	Ala	Leu	Gln	Ser 155	Gly	Asn	Ser	Gln	Glu 160
	Ser	Val	Thr	Glu	Gln 165	Asp	Ser	Lys	Asp	Ser 170	Thr	Tyr	Ser	Leu	Ser 175	Ser
	Thr	Leu	Thr	Leu 180	Ser	Lys	Ala	Asp	Tyr 185	Glu	Lys	His	Lys	Val 190	Tyr	Ala
	Cys	Glu	Val 195	Thr	His	Gln	Gly	Leu 200	Ser	Ser	Pro	Val	Thr 205	Lys	Ser	Phe
	Asn	Arg 210	Gly	Glu	Cys											
<210> 16 <211> 27 <212> P <213> So	14 RT	cia ar	tificial													
<220> <221> fu <223> /n		'Descr	ripción	ı de la	secue	encia :	artificia	al: Pol	ipéptio	do sin	tético'					
<400> 16	68															
	Asp 1	Ile	Gln	Leu	Thr 5	Gln	Ser	Pro	Ser	Ser 10	Leu	Ser .	Ala		Val (15	Gly

5

10

Asp Arg Val Thr Ile Thr Cys Arg Ala Ser Gln Phe Thr Asn His Tyr

				20					25					30		
	Leu	Asn	Trp 35	Tyr	Gln	His	Lys	Pro 40	Gly	Arg	Ala	Pro	Lys 45	Leu	Met	Ile
	Ser	Val 50	Ala	Ser	Asn	Leu	Gln 55	Ser	Gly	Val	Pro	Ser 60	Arg	Phe	Thr	Gly
	Ser 65	Glu	Ser	Gly	Thr	Asp 70	Phe	Thr	Leu	Thr	Ile 75	Ser	Gly	Leu	Gln	Pro 80
	Glu	Asp	Phe	Ala	Thr 85	Tyr	Tyr	Cys	Gln	Gln 90	Ser	Tyr	Arg	Thr	Pro 95	Tyr
	Thr	Phe	Gly	Gln 100	Gly	Ser	Arg	Leu	Glu 105	Met	Lys	Arg	Thr	Val 110	Ala	Ala
	Pro	Ser	Val 115	Phe	Ile	Phe	Pro	Pro 120	Ser	Asp	Glu	Gln	Leu 125	Lys	Ser	Gly
	Thr	Ala 130	Ser	Val	Val	Cys	Leu 135	Leu	Asn	Asn	Phe	Tyr 140	Pro	Arg	Glu	Ala
	Lys 145	Val	Gln	Trp	Lys	Val 150	Asp	Asn	Ala	Leu	Gln 155	Ser	Gly	Asn	Ser	Gln 160
	Glu	Ser	Val	Thr	Glu 165	Gln	Asp	Ser	Lys	Asp 170	Ser	Thr	Tyr	Ser	Leu 175	Ser
	Ser	Thr	Leu	Thr 180	Leu	Ser	Lys	Ala	Asp 185	Tyr	Glu	Lys	His	Lys 190	Val	Tyr
	Ala	Cys	Glu 195	Val	Thr	His	Gln	Gly 200	Leu	Ser	Ser	Pro	Val 205	Thr	Lys	Ser
	Phe	Asn 210	Arg	Gly	Glu	Cys										
<210> 7 <211> 4 <212> F <213> 5	453 PRT	encia a	artificia	al												
<220> <221> f <223> /			cripció	ón de	la sec	uenci	a artifi	icial: F	Polipé	otido s	sintétio	co"				
<400>	169															

Gln Val Gln Leu Gln Gln Ser Gly Ala Glu Val Lys Lys Pro Gly Ala

5

1				5					10					15	
Ser	Val	Lys	Val 20	Ser	Cys	Glu	Ala	Ser 25	Gly	Tyr	Thr	Leu	Thr 30	Ser	Tyr
Asp	Ile	Asn 35	Trp	Val	Arg	Gln	Ala 40	Thr	Gly	Gln	Gly	Pro 45	Glu	Trp	Met
Gly	Trp 50	Met	Asn	Ala	Asn	Ser 55	Gly	Asn	Thr	Gly	Tyr 60	Ala	Gln	Lys	Phe
Gln 65	Gly	Arg	Val	Thr	Leu 70	Thr	Gly	Asp	Thr	Ser 75	Ile	Ser	Thr	Ala	Tyr 80
Met	Glu	Leu	Ser	Ser 85	Leu	Arg	Ser	Glu	Asp 90	Thr	Ala	Val	Tyr	Tyr 95	Cys
Ala	Gly	Ser	Ser 100	Ile	Leu	Val	Arg	Gly 105	Ala	Leu	Gly	Arg	Tyr 110	Phe	Asp
Leu	Trp	Gly 115	Arg	Gly	Thr	Leu	Val 120	Thr	Val	Ser	Ser	Ala 125	Ser	Thr	Lys
Gly	Pro 130	Ser	Val	Phe	Pro	Leu 135	Ala	Pro	Ser	Ser	Lys 140	Ser	Thr	Ser	Gly
Gly 145	Thr	Ala	Ala	Leu	Gly 150	Cys	Leu	Val	Lys	Asp 155	Tyr	Phe	Pro	Glu	Pro 160
Val	Thr	Val	Ser	Trp 165	Asn	Ser	Gly	Ala	Leu 170	Thr	Ser	Gly	Val	His 175	Thr
Phe	Pro	Ala	Val 180	Leu	Gln	Ser	Ser	Gly 185	Leu	Tyr	Ser	Leu	Ser 190	Ser	Val
Val	Thr	Val 195	Pro	Ser	Ser	Ser	Leu 200	Gly	Thr	Gln	Thr	Tyr 205	Ile	Cys	Asn
Val	Asn 210	His	Lys	Pro	Ser	Asn 215	Thr	Lys	Val	Asp	Lys 220	Lys	Val	Glu	Pro
Lys 225	Ser	Суз	Asp	Lys	Thr 230	His	Thr	Сув	Pro	Pro 235	Суѕ	Pro	Ala	Pro	Glu 240
Leu	Leu	Gly	Gly	Pro 245	Ser	Val	Phe	Leu	Phe 250	Pro	Pro	Lys	Pro	Lys 255	Asp

T	hr'	Leu	Met	Ile 260	Ser	Arg	Thr	Pro	Glu 265	Val	Thr	Суѕ	Val	Val 270	Val	Asp
v	al	Ser	His 275	Glu	Asp	Pro	Glu	Val 280	Lys	Phe	Asn	Trp	Tyr 285	Val	Asp	Gly
v	al	Glu 290	Val	His	Asn	Ala	Lys 295	Thr	Lys	Pro	Arg	Glu 300	Glu	Gln	Tyr	Asn
	er 105	Thr	Tyr	Arg	Val	Val 310	Ser	Val	Leu	Thr	Val 315	Leu	His	Gln	Asp	Trp 320
I	eu	Asn	Gly	Lys	Glu 325	Tyr	Lys	Cys	Lys	Val 330	Ser	Asn	Lys	Ala	Leu 335	Pro
A	la	Pro	Ile	Glu 340	Lys	Thr	Ile	Ser	Lys 345	Ala	Lys	Gly	Gln	Pro 350	Arg	Glu
P	ro	Gln	Val 355	Tyr	Thr	Leu	Pro	Pro 360	Ser	Arg	Glu	Glu	Met 365	Thr	Lys	Asn
G	ln	Val 370	Ser	Leu	Thr	Суз	Leu 375	Val	Lys	Gly	Phe	Tyr 380	Pro	Ser	Asp	Ile
	la 885	Val	Glu	Trp	Glu	Ser 390	Asn	Gly	Gln	Pro	Glu 395	Asn	Asn	Tyr	Lys	Thr 400
Т	'hr	Pro	Pro	Val	Leu 405	Asp	Ser	Asp	Gly	Ser 410	Phe	Phe	Leu	Tyr	Ser 415	Lys
L	eu	Thr	Val	Asp 420	Lys	Ser	Arg	Trp	Gln 42 5	Gln	Gly	Asn	Val	Phe 430	Ser	Cys
S	er	Val	Met 435	His	Glu	Ala	Leu	His 440	Asn	His	Tyr	Thr	Gln 44 5	Lys	Ser	Leu
S	er	Leu 450	Ser	Pro	Gly											
<210> 17 <211> 44 <212> PF <213> Se	I8 RT	encia a	artificia	al												
	:20> :21> fuente :23> /nota= "Descripción de la secuencia artificial: Polipéptido sintético"															

5

10

<400> 170

Glu 1	Val	Gln	Leu	Val 5	Gln	Ser	Gly	Ala	Glu 10	Val	Val	Lys	Pro	Gly 15	Ala
Ser	Leu	Lys	Val 20	Ser	Cys	Lys	Ala	Ser 25	Gly	Tyr	Ile	Ile	Ile 30	Asn	Tyr
Asp	Phe	Ile 35	Trp	Val	Arg	Gln	Ala 40	Thr	Gly	Gln	Gly	Pro 45	Glu	Trp	Met
Gly	Trp 50	Met	Asn	Pro	Asn	Ser 55	Tyr	Asn	Thr	Gly	Tyr 60	Gly	Gln	Lys	Phe
Gln 65	Gly	Arg	Val	Thr	Met 70	Thr	Trp	Asp	Ser	Ser 75	Met	Ser	Thr	Ala	Tyr 80
Met	Glu	Leu	Ser	Ser 85	Leu	Thr	Ser	Ala	Asp 90	Thr	Ala	Val	Tyr	Tyr 95	Cys
Ala	Arg	Ala	Val 100	Arg	Gly	Gln	Leu	Leu 105	Ser	Glu	Tyr	Trp	Gly 110	Gln	Gly
Thr	Leu	Val 115	Thr	Val	Ser	Ser	Ala 120	Ser	Thr	Lys	Gly	Pro 125	Ser	Val	Phe
Pro	Le u 130	Ala	Pro	Ser	Ser	Lys 135	Ser	Thr	Ser	Gly	Gly 140	Thr	Ala	Ala	Leu
Gly 145	Cys	Leu	Val	Lys	Asp 150	Tyr	Phe	Pro	Glu	Pro 155	Val	Thr	Val	Ser	Trp 160
Asn	Ser	Gly	Ala	Leu 165	Thr	Ser	Gly	Val	His 170	Thr	Phe	Pro	Ala	Val 175	Leu
Gln	Ser	Ser	Gly 180	Leu	Tyr	Ser	Leu	Ser 185	Ser	Val	Val	Thr	Val 190	Pro	Ser
Ser	Ser	Leu 195	Gly	Thr	Gln	Thr	Tyr 200	Ile	Суз	Asn	Val	Asn 205	His	Lys	Pro
Ser	Asn 210	Thr	Lys	Val	Asp	Lys 215	Lys	Val	Glu	Pro	Lys 220	Ser	Cys	Asp	Lys
Thr 225	His	Thr	Суз	Pro	Pro 230	Сув	Pro	Ala	Pro	Glu 235	Leu	Leu	Gly	Gly	Pro 240
Ser	Val	Phe	Leu	Phe 245	Pro	Pro	Lys	Pro	Lys 250	Asp	Thr	Leu	Met	Ile 255	Ser

Arg Thr Pro Glu Val Thr Cys Val Val Val Asp Val Ser His Glu Asp

Pro Glu Val Lys Phe Asn Trp Tyr Val Asp Gly Val Glu Val His Asn

				275					280					285			
		Ala	Lys 290	Thr	Lys	Pro	Arg	Glu 295	Glu	Gln	Tyr	Asn	Ser 300	Thr	Tyr	Arg	Val
		Val 305	Ser	Val	Leu	Thr	Val 310	Leu	His	Gln	Asp	Trp 315	Leu	Asn	Gly	Lys	Glu 320
		Tyr	Lys	Cys	Lys	Val 325	Ser	Asn	Lys	Ala	Leu 330	Pro	Ala	Pro	Ile	Glu 335	Lys
		Thr	Ile	Ser	Lys 340	Ala	Lys	Gly	Gln	Pro 345	Arg	Glu	Pro	Gln	Val 350	Tyr	Thr
		Leu	Pro	Pro 355	Ser	Arg	Glu	Glu	Met 360	Thr	Lys	Asn	Gln	Val 365	Ser	Leu	Thr
		Cys	Leu 370	Val	Lys	Gly	Phe	Tyr 375	Pro	Ser	Asp	Ile	Ala 380	Val	Glu	Trp	Glu
		Ser 385	Asn	Gly	Gln	Pro	Glu 390	Asn	Asn	Tyr	Lys	Thr 395	Thr	Pro	Pro	Val	Leu 400
		Asp	Ser	Asp	Gly	Ser 405	Phe	Phe	Leu	Tyr	Ser 410	Lys	Leu	Thr	Val	Asp 415	Lys
		Ser	Arg	Trp	Gln 420	Gln	Gly	Asn	Val	Phe 425	Ser	Cys	Ser	Val	Met 430	His	Glu
		Ala	Leu	His 435	Asn	His	Tyr	Thr	Gln 440	Lys	Ser	Leu	Ser	Leu 445	Ser	Pro	Gly
5	<210> 1 <211> 4 <212> F <213> S	I55 PRT	ncia a	rtificia	I												
10	<220> <221> f <223> /		"Desc	ripció	n de la	a secu	uencia	artific	cial: P	olipép	tido s	intétic	o"				
	<400> 1	71															
		Gln 1	Val	Gln	Leu	Gln 5	Gln	Ser	Gly	Ala	Glu 10	ı Va	l Ly	s Ly	's Pi	ro G. 1.	l y A la 5

Ser	Val	Lys	Val 20	Ser	Cys	Arg	Ala	Ser 25	Gly	Tyr	Thr	Phe	Thr 30	Ser	Tyr
Asp	Ile	Asn 35	Trp	Val	Arg	Gln	Ala 40	Pro	Gly	Gln	Gly	Leu 45	Glu	Trp	Met
Gly	Trp 50	Met	Asn	Pro	Asn	Ser 55	Gly	Asn	Thr	Asn	Tyr 60	Ala	Gln	Arg	Phe
Gln 65	Gly	Arg	Leu	Thr	Met 70	Thr	Lys	Asn	Thr	Ser 75	Ile	Asn	Thr	Ala	Tyr 80
Met	Glu	Leu	Ser	Ser 85	Leu	Arg	Ser	Glu	Asp 90	Thr	Ala	Val	Tyr	Tyr 95	Cys
Ala	Thr	Glu	Arg 100	Trp	Ser	Lys	Asp	Thr 105	Gly	His	Tyr	Tyr	Tyr 110	Tyr	Gly
Met	Asp	Val 115	Trp	Gly	Gln	Gly	Thr 120	Thr	Val	Thr	Val	Ser 125	Ser	Ala	Ser
Thr	Lys 130	Gly	Pro	Ser	Val	Phe 135	Pro	Leu	Ala	Pro	Ser 140	Ser	Lys	Ser	Thr
Ser 145	Gly	Gly	Thr	Ala	Ala 150	Leu	Gly	Cys	Leu	Val 155	Lys	Asp	Tyr	Phe	Pro 160
Glu	Pro	Val	Thr	Val 165	Ser	Trp	Asn	Ser	Gly 170	Ala	Leu	Thr	Ser	Gly 175	Val
His	Thr	Phe	Pro 180	Ala	Val	Leu	Gln	Ser 185	Ser	Gly	Leu	Tyr	Ser 190	Leu	Ser
Ser	Val	Val 195	Thr	Val	Pro	Ser	Ser 200	Ser	Leu	Gly	Thr	Gln 205	Thr	Tyr	Ile
Cys	Asn 210	Val	Asn	His	Lys	Pro 215	Ser	Asn	Thr	Lys	Val 220	Asp	Lys	Lys	Val
Glu 225	Pro	Lys	Ser	Сув	Asp 230	Lys	Thr	His	Thr	Cys 235	Pro	Pro	Сув	Pro	Ala 240
Pro	Glu	Leu	Leu	Gly 245	Gly	Pro	Ser	Val	Phe 250	Leu	Phe	Pro	Pro	Lys 255	Pro
Lys	Asp	Thr	Leu 260	Met	Ile	Ser	Arg	Thr 265	Pro	Glu	Val	Thr	Cys 270	Val	Val

Val Asp Val Ser His Glu Asp Pro Glu Val Lys Phe Asn Trp Tyr Val 275 Asp Gly Val Glu Val His Asn Ala Lys Thr Lys Pro Arg Glu Glu Gln 295 Tyr Asn Ser Thr Tyr Arg Val Val Ser Val Leu Thr Val Leu His Gln 310 315 Asp Trp Leu Asn Gly Lys Glu Tyr Lys Cys Lys Val Ser Asn Lys Ala 325 330 Leu Pro Ala Pro Ile Glu Lys Thr Ile Ser Lys Ala Lys Gly Gln Pro Arg Glu Pro Gln Val Tyr Thr Leu Pro Pro Ser Arg Glu Glu Met Thr 360 Lys Asn Gln Val Ser Leu Thr Cys Leu Val Lys Gly Phe Tyr Pro Ser 375 Asp Ile Ala Val Glu Trp Glu Ser Asn Gly Gln Pro Glu Asn Asn Tyr Lys Thr Thr Pro Pro Val Leu Asp Ser Asp Gly Ser Phe Phe Leu Tyr 410 Ser Lys Leu Thr Val Asp Lys Ser Arg Trp Gln Gln Gly Asn Val Phe 425 Ser Cys Ser Val Met His Glu Ala Leu His Asn His Tyr Thr Gln Lys 440 Ser Leu Ser Leu Ser Pro Gly 450 455 <210> 172 <211> 456 <212> PRT <213> Secuencia artificial <220> <223> /nota= "Descripción de la secuencia artificial: Polipéptido sintético" Gln Val Gln Leu Gln Gln Ser Gly Ala Glu Val Lys Arg Pro Gly Ala

10

15

5

5

Ser	Val	Lys	Val 20	Ser	Cys	Glu	Ala	Ser 25	Gly	Tyr	Thr	Val	Ser 30	Asn	Tyr
Asp	Ile	Asn 35	Trp	Val	Arg	Gln	Ala 40	Thr	G1y	Gln	G1y	Leu 45	Glu	Trp	Met
Gly	Trp 50	Met	Asn	Pro	Ser	Ser 55	Gly	Arg	Thr	Gly	Tyr 60	Ala	Pro	Lys	Phe
Arg 65	Gly	Arg	Val	Thr	Met 70	Thr	Arg	Ser	Thr	Ser 75	Ile	Ser	Thr	Ala	Tyr 80
Met	Glu	Leu	Ser	Ser 85	Leu	Thr	Ser	Glu	Asp 90	Thr	Ala	Val	Tyr	Tyr 95	Сув
Ala	Arg	Gly	Gly 100	Gly	Tyr	Tyr	Asp	Ser 105	Ser	Gly	Asn	Tyr	His 110	Ile	Ser
Gly	Leu	Asp 115	Val	Trp	Gly	Gln	Gly 120	Thr	Thr	Val	Thr	Val 125	Ser	Ser	Ala
Ser	Thr 130	Lys	Gly	Pro	Ser	Val 135	Phe	Pro	Leu	Ala	Pro 140	Ser	Ser	Lys	Ser
Thr 145	Ser	Gly	Gly	Thr	Ala 150	Ala	Leu	Gly	Cys	Leu 155	Val	Lys	Asp	Tyr	Phe 160
Pro	Glu	Pro	Val	Thr 165	Val	Ser	Trp	Asn	Ser 170	Gly	Ala	Leu	Thr	Ser 175	Gly
Val	His	Thr	Phe 180	Pro	Ala	Val	Leu	Gln 185	Ser	Ser	Gly	Leu	Tyr 190	Ser	Leu
Ser	Ser	Val 195	Val	Thr	Val	Pro	Ser 200	Ser	Ser	Leu	Gly	Thr 205	Gln	Thr	Tyr
Ile	Cys 210	Asn	Val	Asn	His	Lys 215	Pro	Ser	Asn	Thr	Lys 220	Val	Asp	Lys	Lys
Val 225	Glu	Pro	Lys	Ser	Cys 230	Asp	Lys	Thr	His	Thr 235	Cys	Pro	Pro	Cys	Pro 240
Ala	Pro	Glu	Leu	Leu 245	Gly	Gly	Pro	Ser	Val 250	Phe	Leu	Phe	Pro	Pro 255	Lys
Pro	Lys	Asp	Thr	Leu	Met	Ile	Ser	Arg	Thr	Pro	Glu	Val	Thr	Cys	Val

			260					265					270		
Val	Val	Asp 275	Val	Ser	His	Glu	Asp 280	Pro	Glu	Val	Lys	Phe 285	Asn	Trp	Tyr
Val	Asp 290	Gly	Val	Glu	Val	His 295	Asn	Ala	Lys	Thr	Lys 300	Pro	Arg	Glu	Glu
Gln 305	Tyr	Asn	Ser	Thr	Tyr 310	Arg	Val	Val	Ser	Val 315	Leu	Thr	Val	Leu	His 320
Gln	Asp	Trp	Leu	Asn 325	Gly	Lys	Glu	Tyr	Lys 330	Cys	Lys	Val	Ser	As n 335	Lys
Ala	Leu	Pro	Ala 340	Pro	Ile	Glu	Lys	Thr 345	Ile	Ser	Lys	Ala	Lys 350	Gly	Gln
Pro	Arg	Glu 355	Pro	Gln	Val	Tyr	Thr 360	Leu	Pro	Pro	Ser	Arg 365	Glu	Glu	Met
Thr	Lys 370	Asn	Gln	Val	Ser	Leu 375	Thr	Cys	Leu	Val	Lys 380	Gly	Phe	Tyr	Pro
Ser 385	Asp	Ile	Ala	Val	Glu 390	Trp	Glu	Ser	Asn	Gly 395	Gln	Pro	Glu	Asn	Asn 400
Tyr	Lys	Thr	Thr	Pro 405	Pro	Val	Leu	Asp	Ser 410	Asp	Gly	Ser	Phe	Phe 415	Leu
Tyr	Ser	Lys	Leu 420	Thr	Val	Asp	Lys	Ser 425	Arg	Trp	Gln	Gln	Gly 430	Asn	Val
Phe	Ser	Cys 435	Ser	Val	Met	His	Glu 440	Ala	Leu	His	Asn	His 445	Tyr	Thr	Gln
Lys	Ser 450	Leu	Ser	Leu	Ser	Pro 455	Gly								
<210> 173 <211> 448 <212> PRT <213> Secue	ncia a	rtificial	l												
<220> <221> fuente <223> /nota=															
<400> 173															

Gln Ile Thr Leu Lys Glu Ser Gly Gly Gly Leu Ile Lys Pro Gly Gly

5

1				5					10					15	
Ser	Leu	Arg	Leu 20	Ser	Cys	Ala	Thr	Ser 25	Gly	Phe	Pro	Phe	Ser 30	Ala	Tyr
Ala	Met	Asn 35	Trp	Val	Arg	Gln	Ala 40	Pro	Gly	Arg	Gly	Leu 45	Glu	Trp	Val
Ser	Ser 50	Ile	Thr	Lys	Asn	Ser 55	Asp	Ser	Leu	Tyr	Tyr 60	Ala	Asp	Ser	Val
Lys 65	Gly	Arg	Phe	Thr	Ile 70	Ser	Arg	Asp	Asn	Ala 75	Gly	Asn	Ser	Leu	Tyr 80
Leu	Gln	Met	Asn	Ser 85	Leu	Arg	Val	Glu	Asp 90	Thr	Ala	Val	Tyr	Tyr 95	Cys
Ala	Thr	Leu	Ala 100	Ala	Arg	Ile	Met	Ala 105	Thr	Asp	Tyr	Trp	Gly 110	Gln	Gly
Thr	Leu	Val 115	Thr	Val	Ser	Ser	Ala 120	Ser	Thr	Lys	Gly	Pro 125	Ser	Val	Phe
Pro	Leu 130	Ala	Pro	Ser	Ser	Lys 135	Ser	Thr	Ser	Gly	Gly 140	Thr	Ala	Ala	Leu
Gly 145	Cys	Leu	Val	Lys	Asp 150	Tyr	Phe	Pro	Glu	Pro 155	Val	Thr	Val	Ser	Trp 160
Asn	Ser	Gly	Ala	Leu 165	Thr	Ser	Gly	Val	His 170	Thr	Phe	Pro	Ala	Val 175	Leu
Gln	Ser	Ser	Gly 180	Leu	Tyr	Ser	Leu	Ser 185	Ser	Val	Val	Thr	Val 190	Pro	Ser
Ser	Ser	Leu 195	Gly	Thr	Gln	Thr	Tyr 200	Ile	Cys	Asn	Val	Asn 205	His	Lys	Pro
Ser	Asn 210	Thr	Lys	Val	Asp	Lys 215	Lys	Val	Glu	Pro	Lys 220	Ser	Cys	Asp	Lys
Thr 225	His	Thr	Cys	Pro	Pro 230	Cys	Pro	Ala	Pro	Glu 235	Leu	Leu	Gly	Gly	Pro 240
Ser	Val	Phe	Leu	Phe 245	Pro	Pro	Lys	Pro	Lys 250	Asp	Thr	Leu	Met	Ile 255	Ser

Arg Thr Pro Glu Val Thr Cys Val Val Asp Val Ser His Glu Asp

Pro Glu Val Lys Phe Asn Trp Tyr Val Asp Gly Val Glu Val His Asn 280 Ala Lys Thr Lys Pro Arg Glu Glu Gln Tyr Asn Ser Thr Tyr Arg Val 295 Val Ser Val Leu Thr Val Leu His Gln Asp Trp Leu Asn Gly Lys Glu 310 315 Tyr Lys Cys Lys Val Ser Asn Lys Ala Leu Pro Ala Pro Ile Glu Lys 325 330 Thr Ile Ser Lys Ala Lys Gly Gln Pro Arg Glu Pro Gln Val Tyr Thr 340 345 350 Leu Pro Pro Ser Arg Glu Glu Met Thr Lys Asn Gln Val Ser Leu Thr 355 360 365 Cys Leu Val Lys Gly Phe Tyr Pro Ser Asp Ile Ala Val Glu Trp Glu 370 375 380 Ser Asn Gly Gln Pro Glu Asn Asn Tyr Lys Thr Thr Pro Pro Val Leu 385 390 395 Asp Ser Asp Gly Ser Phe Phe Leu Tyr Ser Lys Leu Thr Val Asp Lys 405 410 415 Ser Arg Trp Gln Gln Gly Asn Val Phe Ser Cys Ser Val Met His Glu 420 425 430 Ala Leu His Asn His Tyr Thr Gln Lys Ser Leu Ser Leu Ser Pro Gly 435 440 <210> 174 <211> 456 <212> PRT <213> Secuencia artificial <221> fuente <223> /nota= "Descripción de la secuencia artificial: Polipéptido sintético" <400> 174 Glu Val Gln Leu Val Gln Ser Gly Gly Gly Leu Val Lys Pro Gly Glu 10

5

Ser	Leu	Arg	Leu 20	Ser	Cys	Ala	Ala	Ser 25	Gly	Phe	Ser	Phe	Asp 30	Tyr	Tyr
Ser	Met	Ile 35	Trp	Val	Arg	Gln	Ala 40	Pro	Gly	Lys	Gly	Leu 45	Glu	Trp	Val
Ser	Ser 50	Ile	Asp	Ser	Ser	Ser 55	Arg	Tyr	Leu	Tyr	Tyr 60	Ala	Asp	Ser	Val
Lys 65	Gly	Arg	Phe	Thr	Ile 70	Ser	Arg	Asp	Asn	Ala 75	Gln	Asn	Ser	Leu	Tyr 80
Leu	Gln	Met	Ser	Gly 85	Leu	Arg	Val	Glu	Asp 90	Thr	Ala	Val	Tyr	Tyr 95	Сув
Ala	Arg	Asp	Gly 100	Asp	Asp	Ile	Leu	Ser 105	Val	Tyr	Arg	Gly	Ser 110	Gly	Arg
Pro	Phe	Asp 115	Tyr	Trp	Gly	Gln	Gly 120	Thr	Leu	Val	Thr	Val 125	Ser	Ser	Ala
Ser	Thr 130	Lys	Gly	Pro	Ser	Val 135	Phe	Pro	Leu	Ala	Pro 140	Ser	Ser	Lys	Ser
Thr 145	Ser	Gly	Gly	Thr	Ala 150	Ala	Leu	Gly	Cys	Leu 155	Val	Lys	Asp	Tyr	Phe 160
Pro	Glu	Pro	Val	Thr 165	Val	Ser	Trp	Asn	Ser 170	Gly	Ala	Leu	Thr	Ser 175	Gly
Val	His	Thr	Phe 180	Pro	Ala	Val	Leu	Gln 185	Ser	Ser	Gly	Leu	Tyr 190	Ser	Leu
Ser	Ser	Val 195	Val	Thr	Val	Pro	Ser 200	Ser	Ser	Leu	Gly	Thr 205	Gln	Thr	Tyr
Ile	Cys 210	Asn	Val	Asn	His	Lys 215	Pro	Ser	Asn	Thr	Lys 220	Val	Asp	Lys	Lys
Val 225	Glu	Pro	Lys	Ser	Cys 230	Asp	Lys	Thr	His	Thr 235	Cys	Pro	Pro	Суз	Pro 240
Ala	Pro	Glu	Leu	Leu 245	Gly	Gly	Pro	Ser	Val 250	Phe	Leu	Phe	Pro	Pro 255	Lys
Pro	Lys	Asp	Thr 260	Leu	Met	Ile	Ser	Arg 265	Thr	Pro	Glu	Val	Thr 270	Cys	Val

	Val	Val	Asp 275	Val	Ser	His	Glu	Asp 280	Pro	Glu	Val	Lys	Phe 285	Asn	Trp	Tyr
	Val	Asp 290	Gly	Val	Glu	Val	His 295	Asn	Ala	Lys	Thr	Lys 300	Pro	Arg	Glu	Glu
	Gln 305	Tyr	Asn	Ser	Thr	Tyr 310	Arg	Val	Val	Ser	Val 315	Leu	Thr	Val	Leu	His 320
	Gln	Asp	Trp	Leu	Asn 325	Gly	Lys	Glu	Tyr	Lys 330	Cys	Lys	Val	Ser	Asn 335	Lys
	Ala	Leu	Pro	Ala 340	Pro	Ile	Glu	Lys	Thr 345	Ile	Ser	Lys	Ala	Lys 350	Gly	Gln
	Pro	Arg	Glu 355	Pro	Gln	Val	Tyr	Thr 360	Leu	Pro	Pro	Ser	Arg 365	Glu	Glu	Met
	Thr	Lys 370	Asn	Gln	Val	Ser	Leu 375	Thr	Cys	Leu	Val	Lys 380	Gly	Phe	Tyr	Pro
	Ser 385	Asp	Ile	Ala	Val	Glu 390	Trp	Glu	Ser	Asn	Gly 395	Gln	Pro	Glu	Asn	Asn 400
	Tyr	Lys	Thr	Thr	Pro 405	Pro	Val	Leu	Asp	Ser 410	Asp	Gly	Ser	Phe	Phe 415	Leu
	Tyr	Ser	Lys	Leu 420	Thr	Val	Asp	Lys	Ser 425	Arg	Trp	Gln	Gln	Gly 430	Asn	Val
	Phe	Ser	Cys 435	Ser	Val	Met	His	Glu 440	Ala	Leu	His	Asn	His 445	Tyr	Thr	Gln
	Lys	Ser 450	Leu	Ser	Leu	Ser	Pro 455	Gly								
<210><211><211><212><213>	456 PRT	encia	artifici	al												
<220> <221> <223>	fuente		scripci	ón de	la sec	uencia	a artific	cial: Po	olipépt	ido sir	ntético	"				
<400>	175															
	Gln 1	Val	Gln	Leu	Gln 5	Gln	Ser	Gly	Gly	Gly 10	Leu	Val	Asn	Pro	Gly 15	Glu

Ser	Leu	Arg	Leu 20	Ser	Cys	Ala	Ala	Ser 25	Gly	Phe	Ser	Phe	Asn 30	Tyr	Tyr
Ser	Met	Ile 35	Trp	Val	Arg	Gln	Ala 40	Pro	Gly	Lys	Gly	Le u 45	Glu	Trp	Val
Ser	Ser 50	Ile	Asp	Ser	Ser	Ser 55	Arg	Tyr	Arg	Tyr	Tyr 60	Thr	Asp	Ser	Val
Lys 65	Gly	Arg	Phe	Thr	Ile 70	Ser	Arg	Asp	Asn	Ala 75	Gln	Asn	Ser	Leu	Tyr 80
Leu	Gln	Met	Ser	Ala 85	Leu	Arg	Val	Glu	Asp 90	Thr	Ala	Val	Tyr	Tyr 95	Cys
Ala	Arg	Asp	Gly 100	Asp	Asp	Ile	Leu	Ser 105	Val	Tyr	Gln	Gly	Ser 110	Gly	Arg
Pro	Phe	Asp 115	Tyr	Trp	Gly	Gln	Gly 120	Thr	Leu	Val	Thr	Val 125	Ser	Ser	Ala
Ser	Thr 130	Lys	Gly	Pro	Ser	Val 135	Phe	Pro	Leu	Ala	Pro 140	Ser	Ser	Lys	Ser
Thr 145	Ser	Gly	Gly	Thr	Al a 150	Ala	Leu	Gly	Суз	Leu 155	Val	Lys	Asp	Tyr	Phe 160
Pro	Glu	Pro	Val	Thr 165	Val	Ser	Trp	Asn	Ser 170	Gly	Ala	Leu	Thr	Ser 175	Gly
Val	His	Thr	Phe 180	Pro	Ala	Val	Leu	Gln 185	Ser	Ser	Gly	Leu	Tyr 190	Ser	Leu
Ser	Ser	Val 195	Val	Thr	Val	Pro	Ser 200	Ser	Ser	Leu	Gly	Thr 205	Gln	Thr	Tyr
Ile	Cys 210	Asn	Val	Asn	His	Lys 215	Pro	Ser	Asn	Thr	Lys 220	Val	Asp	Lys	Lys
Val 225	Glu	Pro	Lys	Ser	Cys 230	Asp	Lys	Thr	His	Thr 235	Cys	Pro	Pro	Cys	Pro 240
Ala	Pro	Glu	Leu	Leu 245	Gly	Gly	Pro	Ser	Val 250	Phe	Leu	Phe	Pro	Pro 255	Lys
Pro	Lys	Asp	Thr 260	Leu	Met	Ile	Ser	Arg 265	Thr	Pro	Glu	Val	Thr 270	Cys	Val

V	/al	Val	Asp 275	Val	Ser	His	Glu	Asp 280	Pro	Glu	Val	Lys	Phe 285	Asn	Trp	Tyr
V	/al	Asp 290	Gly	Val	Glu	Val	His 295	Asn	Ala	Lys	Thr	Lys 300	Pro	Arg	Glu	Glu
	31n 305	Tyr	Asn	Ser	Thr	Tyr 310	Arg	Val	Val	Ser	Val 315	Leu	Thr	Val	Leu	His 320
G	Sln	Asp	Trp	Leu	Asn 325	Gly	Lys	Glu	Tyr	Lys 330	Cys	Lys	Val	Ser	Asn 335	Lys
A	Ala	Leu	Pro	Ala 340	Pro	Ile	Glu	Lys	Thr 345	Ile	Ser	Lys	Ala	Lys 350	Gly	Gln
P	Pro	Arg	G1u 355	Pro	Gln	Val	Tyr	Thr 360	Leu	Pro	Pro	Ser	Arg 365	Glu	Glu	Met
I	hr	Lys 370	Asn	Gln	Val	Ser	Leu 375	Thr	Cys	Leu	Val	Lys 380	Gly	Phe	Tyr	Pro
	Ser 385	Asp	Ile	Ala	Val	Glu 390	Trp	Glu	Ser	Asn	Gly 395	Gln	Pro	Glu	Asn	Asn 400
T	'yr	Lys	Thr	Thr	Pro 405	Pro	Val	Leu	Asp	Ser 410	Asp	Gly	Ser	Phe	Phe 415	Leu
I	.yr	Ser	Lys	Leu 420	Thr	Val	Asp	Lys	Ser 425	Arg	Trp	Gln	Gln	Gly 430	Asn	Val
P	he	Ser	Cys 435	Ser	Val	Met	His	Glu 440	Ala	Leu	His	Asn	His 445	Tyr	Thr	Gln
1	Lys	Ser 450	Leu	Ser	Leu	Ser	Pro 455	Gly								
<210><211><211><212><213>	445 PR1	Γ	a artific	cial												
<220> <221> <223>	fuer		escrip	ción de	e la se	ecuenc	cia arti	ficial: l	Polipé	ptido s	sintétic	o"				
<400>	176															
	G1 1	n Va	l Gl	n Lei	ı Glr	Gln	Ser	Gly	Gly	Gly 10	Leu	Glu (Gln I		ly G .5	ly

Ser	Leu	Arg	Ile 20	Ser	Cys	Ala	Ala	Ser 25	Gly	Phe	Thr	Phe	Asn 30	Thr	Asn
Asp	Met	Ser 35	Trp	Val	Arg	Gln	Ala 40	Pro	Gly	Lys	Gly	Leu 45	Gln	Trp	Val
Ser	Thr 50	Ile	Ile	Gly	Ile	Asp 55	Asp	Thr	Thr	His	Tyr 60	Ala	Asp	Ser	Val
Arg 65	Gly	Arg	Phe	Thr	Val 70	Ser	Arg	Asp	Thr	Ser 75	Lys	Asn	Met	Val	Tyr 80
Leu	Gln	Met	Asn	Ser 85	Leu	Arg	Val	Glu	Asp 90	Thr	Ala	Leu	Tyr	Tyr 95	Сув
Val	Lys	Asn	Ser 100	Gly	Ile	Tyr	Ser	Phe 105	Trp	Gly	Gln	Gly	Thr 110	Leu	Val
Thr	Val	Ser 115	Ser	Ala	Ser	Thr	Lys 120	Gly	Pro	Ser	Val	Phe 125	Pro	Leu	Ala
Pro	Ser 130	Ser	Lys	Ser	Thr	Ser 135	Gly	Gly	Thr	Ala	Ala 140	Leu	Gly	Cys	Leu
Val 145	Lys	Asp	Tyr	Phe	Pro 150	Glu	Pro	Val	Thr	Val 155	Ser	Trp	Asn	Ser	Gly 160
Ala	Leu	Thr	Ser	Gly 165	Val	His	Thr	Phe	Pro 170	Ala	Val	Leu	Gln	Ser 175	Ser
Gly	Leu	Tyr	Ser 180	Leu	Ser	Ser	Val	Val 185	Thr	Val	Pro	Ser	Ser 190	Ser	Leu
Gly	Thr	Gln 195	Thr	Tyr	Ile	Cys	Asn 200	Val	Asn	His	Lys	Pro 205	Ser	Asn	Thr
Lys	Val 210	Asp	Lys	Lys	Val	Glu 215	Pro	Lys	Ser	Суз	Asp 220	Lys	Thr	His	Thr
Cys 225	Pro	Pro	Cys	Pro	Ala 230	Pro	Glu	Leu	Leu	Gly 235	Gly	Pro	Ser	Val	Phe 240
Leu	Phe	Pro	Pro	Lys 245	Pro	Lys	Asp	Thr	Leu 250	Met	Ile	Ser	Arg	Thr 255	Pro
G1 11	Va1	Thr	Cvs	Va1	Va1	Val	Asp	Va]	Ser	His	Glu	Asp	Pro	Glu	Va1

				260					265					270		
	Lys	Phe	Asn 275	Trp	Tyr	Val	Asp	Gly 280	Val	Glu	Val	His	Asn 285	Ala	Lys	Thr
	Lys	Pro 290	Arg	Glu	Glu	Gln	Tyr 295	Asn	Ser	Thr	Tyr	Arg 300	Val	Val	Ser	Val
	Leu 305	Thr	Val	Leu	His	Gln 310	Asp	Trp	Leu	Asn	Gly 315	Lys	Glu	Tyr	Lys	Cys 320
	Lys	Val	Ser	Asn	Lys 325	Ala	Leu	Pro	Ala	Pro 330	Ile	Glu	Lys	Thr	Ile 335	Ser
	Lys	Ala	Lys	Gly 340	Gln	Pro	Arg	Glu	Pro 345	Gln	Val	Tyr	Thr	Leu 350	Pro	Pro
	Ser	Arg	Glu 355	Glu	Met	Thr	Lys	As n 360	Gln	Val	Ser	Leu	Thr 365	Cys	Leu	Val
	Lys	Gly 370	Phe	Tyr	Pro	Ser	Asp 375	Ile	Ala	Val	Glu	Trp 380	Glu	Ser	Asn	Gly
	G1n 385	Pro	Glu	Asn	Asn	Tyr 390	Lys	Thr	Thr	Pro	Pro 395	Val	Leu	Asp	Ser	Asp 400
	Gly	Ser	Phe	Phe	Leu 405	Tyr	Ser	Lys	Leu	Thr 410	Val	Asp	Lys	Ser	Arg 415	Trp
	Gln	Gln	Gly	Asn 420	Val	Phe	Ser	Cys	Ser 425	Val	Met	His	Glu	Ala 430	Leu	His
	Asn	His	Tyr 435	Thr	Gln	Lys	Ser	Leu 440	Ser	Leu	Ser	Pro	Gly 445			
<210><211><211><212><213>	> 7 > PRT		a artific	cial												
<220 <221 <223	> fuen		escripo	ción de	e la se	cuenc	ia artifi	icial: F	Péptido	o sinté	tico"					
<400>	> 177															
					Ala 1	Arg	Gly	Asp	Gly	Gly	Leu					

<210> 178

```
<211>7
        <212> PRT
        <213> Secuencia artificial
 5
        <220>
        <221> fuente
        <223> /nota= "Descripción de la secuencia artificial: Péptido sintético"
        <400> 178
10
                                      Ala Arg Gly Asp Ala Gly Leu
        <210> 179
        <211> 7
15
        <212> PRT
        <213> Secuencia artificial
        <220>
        <221> fuente
        <223> /nota= "Descripción de la secuencia artificial: Péptido sintético"
20
        <400> 179
                                    Ala Arg Gly Glu Gly Gly Leu
25
        <210> 180
        <211> 7
        <212> PRT
        <213> Secuencia artificial
30
        <220>
        <221> fuente
        <223> /nota= "Descripción de la secuencia artificial: Péptido sintético"
35
        <400> 180
                                    Ala Arg Gly Ala Gly Gly Leu
```

REIVINDICACIONES

1. Un compuesto conjugado anticuerpo-antibiótico que comprende un anticuerpo monoclonal anti-ácidos teicoicos de pared (WTA), en donde el anticuerpo monoclonal anti-ácidos teicoicos de pared se une a *Staphylococcus aureus* y se fija covalentemente a un antibiótico de tipo rifamicina mediante un enlazador peptídico (L) escindible por endopeptidasas o cisteína proteasas de S. *aureus*, el compuesto conjugado anticuerpo-antibiótico se selecciona de las fórmulas:

10 en la que

 R^5 se selecciona independientemente de H y alquilo C_1 - C_{12} ; y n es 0 o 1; y

en la que

15

20

30

35

R³ se selecciona independientemente de H y alquilo C₁-C₁₂; y

en donde R es H, alquilo C₁-C₁2 o C(O)CH₃; L es el enlazador peptídico que tiene la fórmula:

-Str-Pep-Y-

en la que Str es una unidad extensora, Pep es un péptido de dos a doce restos de aminoácidos e Y es una unidad espaciadora;

Ac es el anticuerpo monoclonal anti-ácidos teicoicos de pared; y p es un número entero de 1 a 8;

en donde la VL del anticuerpo monoclonal anti-WTA comprende CDR L1 que comprende la secuencia de KSSQSIFRTSRNKNLLN (SEQ ID NO: 99), CDR L2 que comprende la secuencia de WASTRKS (SEQ ID NO: 100) y CDR L3 que comprende la secuencia de QQYFSPPYT (SEQ ID NO: 101); y la VH del anticuerpo monoclonal anti-WTA comprende CDR H1 que comprende la secuencia de SFWMH (SEQ ID NO: 102), CDR H2 que comprende la secuencia de FTNNEGTTTAYADSVRG (SEQ ID NO: 103) y CDR H3 que comprende la secuencia de GEGGLDD (SEQ ID NO: 118) o GDGGLDD (SEQ ID NO: 104).

2. El compuesto conjugado anticuerpo-antibiótico de la reivindicación 1, en donde el anticuerpo comprende una VL

que comprende la secuencia de aminoácidos SEQ ID NO: 119.

3. El compuesto conjugado anticuerpo-antibiótico de la reivindicación 1 o la reivindicación 2, en donde el anticuerpo comprende una VH que comprende la secuencia de aminoácidos de SEQ ID NO: 156.

5

4. El compuesto conjugado anticuerpo-antibiótico de una cualquiera de las reivindicaciones 1 a 3, en donde el anticuerpo comprende una VL y una VH, en donde la VL comprende la secuencia de SEQ ID NO: 119 y la VH comprende la secuencia SEQ ID NO: 156.

5. El compuesto conjugado anticuerpo-antibiótico de la reivindicación 1, en donde el anticuerpo comprende una cadena ligera (LC) en donde la LC comprende la secuencia de aminoácidos de SEQ ID NO: 121 y una cadena pesada (HC) en donde la HC comprende la secuencia de aminoácidos de SEQ ID NO: 146, SEQ ID NO: 147, SEQ ID NO: 157 o SEQ ID NO: 124.

- 6. El compuesto conjugado anticuerpo-antibiótico de la reivindicación 1, en donde el anticuerpo comprende una cadena ligera (LC) en donde la LC comprende la secuencia de aminoácidos de SEQ ID NO: 123 y una cadena pesada (HC) en donde la HC comprende la secuencia de aminoácidos de SEQ ID NO: 146, SEQ ID NO: 147, SEQ ID NO: 157 o SEQ ID NO: 124.
- 7. El compuesto conjugado anticuerpo-antibiótico de la reivindicación 1, en donde el anticuerpo comprende una cadena ligera (LC) en donde la LC comprende la secuencia de aminoácidos de SEQ ID NO: 145 y una cadena pesada (HC) en donde la HC comprende la secuencia de aminoácidos de SEQ ID NO: 146, SEQ ID NO: 147, SEQ ID NO: 157 o SEQ ID NO: 124.
- 8. El compuesto conjugado anticuerpo-antibiótico de la reivindicación 1 o la reivindicación 2, en donde el anticuerpo comprende una VH que comprende la secuencia de aminoácidos de SEQ ID NO: 120.
 - 9. El compuesto conjugado anticuerpo-antibiótico de una cualquiera de las reivindicaciones 1, 2 u 8, en donde el anticuerpo comprende una VL y una VH, en donde la VL comprende la secuencia de SEQ ID NO: 119 y la VH comprende la secuencia SEQ ID NO: 120.
 - 10. El compuesto conjugado anticuerpo-antibiótico de la reivindicación 1, en donde el anticuerpo comprende una cadena ligera (LC) en donde la LC comprende la secuencia de aminoácidos de SEQ ID NO: 121 y una cadena pesada (HC) en donde la HC comprende la secuencia de aminoácidos de SEQ ID NO: 146.

35

30

- 11. El compuesto conjugado anticuerpo-antibiótico de la reivindicación 1, en donde el anticuerpo comprende una cadena ligera (LC) en donde la LC comprende la secuencia de aminoácidos de SEQ ID NO: 123 y una cadena pesada (HC) en donde la HC comprende la secuencia de aminoácidos de SEQ ID NO: 147.
- 12. El compuesto conjugado anticuerpo-antibiótico de la reivindicación 1, en donde el anticuerpo comprende una cadena ligera (LC) en donde la LC comprende la secuencia de aminoácidos de SEQ ID NO: 145 y una cadena pesada (HC) en donde la HC comprende la secuencia de aminoácidos de SEQ ID NO: 157.
- 13. El compuesto conjugado anticuerpo-antibiótico de la reivindicación 1, en donde el anticuerpo comprende una cadena ligera (LC) en donde la LC comprende la secuencia de aminoácidos de SEQ ID NO: 145 y una cadena pesada (HC) en donde la HC comprende la secuencia de aminoácidos de SEQ ID NO: 147.
 - 14. El compuesto conjugado anticuerpo-antibiótico de una cualquiera de las reivindicaciones anteriores, en donde el antibiótico de tipo rifamicina comprende una amina cuaternaria fijada al enlazador peptídico.

50

- 15. El compuesto conjugado anticuerpo-antibiótico de la reivindicación 14, en donde el enlazador peptídico está fijado a una cisteína o una cisteína modificada por ingeniería del anticuerpo anti-WTA.
- 16. El compuesto conjugado anticuerpo-antibiótico de la reivindicación 1, en donde el enlazador peptídico es un enlazador escindible por estafopaína B o por estafopaína A.
 - 17. El compuesto conjugado anticuerpo-antibiótico de la reivindicación 16, en donde el enlazador peptídico es un enlazador escindible por la proteasa catepsina B humana.
- 18. El compuesto conjugado anticuerpo-antibiótico de la reivindicación 17, en donde el enlazador peptídico es un enlazador dipeptídico val-cit.
 - 19. El compuesto conjugado anticuerpo-antibiótico de una cualquiera de las reivindicaciones anteriores, en donde p es de 2 a 4.

65

20. El compuesto conjugado anticuerpo-antibiótico de la reivindicación 1, que tiene la fórmula:

21. El compuesto conjugado anticuerpo-antibiótico de una cualquiera de las reivindicaciones anteriores, en donde
 5 Str tiene la fórmula:

$$N-R^6-C(O)$$

en la que R⁶ se selecciona del grupo que consiste en alquileno C₁-C₁₀, -carbociclo C₃-C₈, -O-(alquilo C₁-C₈), -arileno-, -alquileno-arileno C₁-C₁₀, -arileno-alquileno-C₁-C₁₀, -alquileno C₁-C₁₀-(carbociclo C₃-C₈)-, -(carbociclo-C₃-C₈)- alquileno C₁-C₁₀-, -heterociclo C₃-C₈, -alquileno C₁-C₁₀-(heterociclo C₃-C₈)-, -(heterociclo C₃-C₈)-alquileno C₁-C₁₀-, - (CH₂CH₂O)_r- y -(CH₂CH₂O)_r-CH₂-; y r es un número entero que varía de 1 a 10.

- 22. El compuesto conjugado anticuerpo-antibiótico de la reivindicación 21, en donde R⁶ es -(CH₂)₅-.
- 15 23. El compuesto conjugado anticuerpo-antibiótico de una cualquiera de las reivindicaciones anteriores, en donde Pep comprende de dos a doce restos de aminoácidos seleccionados independientemente de glicina, alanina, fenilalanina, lisina, arginina, valina y citrulina.
- 24. El compuesto conjugado anticuerpo-antibiótico de la reivindicación 23, en donde Pep se selecciona de valinacitrulina (val-cit, vc), fenilalanina-lisina (fk) y valina-citrulina-fenilalanina (val-cit-phe).
 - 25. El compuesto conjugado anticuerpo-antibiótico de una cualquiera de las reivindicaciones anteriores, en donde Y comprende paraaminobencilo o paraaminobenciloxicarbonilo.
- 25 26. El compuesto conjugado anticuerpo-antibiótico de una cualquiera de las reivindicaciones anteriores, en donde L es el enlazador peptídico que tiene la fórmula:

- 30 donde AA1 y AA2 se seleccionan independientemente de una cadena lateral de aminoácidos.

 $CH_2CH_2CH_2NHC(NH)NH_2, -CHCH(CH_3)CH_3 \ y \ -CH_2CH_2CH_2NHC(O)NH_2.$

28. El compuesto conjugado anticuerpo-antibiótico de la reivindicación 26, en donde L es el enlazador peptídico que tiene la fórmula:

-Str-N-HN ONH2

29. El compuesto conjugado anticuerpo-antibiótico de la reivindicación 26, en donde L es el enlazador peptídico que tiene la fórmula:

AA1 H O AA2

30. El compuesto conjugado anticuerpo-antibiótico de la reivindicación 29, en donde L es el enlazador peptídico que tiene la fórmula:

HIN NH2

31. El compuesto conjugado anticuerpo-antibiótico de la reivindicación 26, en donde L es el enlazador peptídico que tiene la fórmula:

N AA1 H O N AA2 H

32. El compuesto conjugado anticuerpo-antibiótico de la reivindicación 31, en donde L es el enlazador peptídico que tiene la fórmula:

25

20

5

10

33. El compuesto conjugado anticuerpo-antibiótico de la reivindicación 26, en donde L es el enlazador peptídico que tiene la fórmula:

34. El compuesto conjugado anticuerpo-antibiótico de la reivindicación 33, en donde L es el enlazador peptídico que tiene la fórmula:

35. El compuesto conjugado anticuerpo-antibiótico de la reivindicación 26, en donde L es el enlazador peptídico que tiene la fórmula:

donde R⁷ se selecciona independientemente de H y alquilo C₁-C₁₂.

20 36. El compuesto conjugado anticuerpo-antibiótico de la reivindicación 26 que tiene la fórmula:

10

37. El compuesto conjugado anticuerpo-antibiótico de la reivindicación 36 que tiene la fórmula:

38. El compuesto conjugado anticuerpo-antibiótico de la reivindicación 26 que tiene la fórmula:

5

10

39. El compuesto conjugado anticuerpo-antibiótico de la reivindicación 38 que tiene la fórmula:

40. El compuesto conjugado anticuerpo-antibiótico de la reivindicación 1 que tiene la fórmula:

5

en donde Ac es un anticuerpo monoclonal anti-ácidos teicoicos de pared (WTA) que se une a *Staphylococcus aureus*, en donde la VL del anticuerpo monoclonal anti-ácidos teicoicos de pared comprende CDR L1 que comprende la secuencia de KSSQSIFRTSRNKNLLN (SEQ ID NO: 99), CDR L2 que comprende la secuencia de WASTRKS (SEQ ID NO: 100) y CDR L3 que comprende la secuencia de QQYFSPPYT (SEQ ID NO: 101); y la VH del anticuerpo monoclonal anti-WTA comprende CDR H1 que comprende la secuencia de SFWMH (SEQ ID NO: 102), CDR H2 que comprende la secuencia de FTNNEGTTTAYADSVRG (SEQ ID NO: 103) y CDR H3 que comprende la secuencia de GEGGLDD (SEQ ID NO: 118); y p es un número entero de 1 a 8.

15

10

41. Una composición farmacéutica que comprende el compuesto conjugado anticuerpo-antibiótico de una cualquiera de las reivindicaciones anteriores y un vehículo, un agente de deslizamiento, un diluyente o un excipiente farmacéuticamente aceptables.

20

42. Un proceso para preparar el compuesto conjugado anticuerpo-antibiótico de una cualquiera de las reivindicaciones 1 a 40, que comprende conjugar el antibiótico de tipo rifamicina con el anticuerpo monoclonal de WTA.

25

43. Un compuesto conjugado anticuerpo-antibiótico de una cualquiera de las reivindicaciones 1 a 40 para su uso en terapia.

44. Un compuesto conjugado anticuerpo-antibiótico de una cualquiera de las reivindicaciones 1 a 40 para su uso en un método para tratar una infección bacteriana en un paciente, en donde la infección bacteriana es una infección por *Staphylococcus aureus*.

- 45. El compuesto conjugado anticuerpo-antibiótico para su uso en el método de la reivindicación 44, en donde la carga bacteriana en el paciente se reduce por el tratamiento.
- 46. Un compuesto conjugado anticuerpo-antibiótico de una cualquiera de las reivindicaciones 1 a 40 para su uso en

un método para reducir el número de células bacterianas intracelulares de *Staphylococcus aureus* en las células hospedadoras de un paciente infectado por *Staphylococcus aureus* sin reducir el número de las células hospedadoras.

- 47. El compuesto conjugado anticuerpo-antibiótico para su uso en el método de la reivindicación 46, en donde se reduce el número de células bacterianas persistentes.
 - 48. El compuesto conjugado anticuerpo-antibiótico para su uso en el método de una cualquiera de las reivindicaciones 44 a 47, en donde el paciente es un ser humano.
 - 49. El compuesto conjugado anticuerpo-antibiótico para su uso en el método de una cualquiera de las reivindicaciones 44 a 48, que comprende además administrar un segundo agente terapéutico.
- 50. El compuesto conjugado anticuerpo-antibiótico para su uso en el método de la reivindicación 49, en donde el segundo agente terapéutico es un antibiótico.
 - 51. El compuesto conjugado anticuerpo-antibiótico para su uso en el método de la reivindicación 50, en donde el segundo agente terapéutico es un antibiótico seleccionado de la clase estructural que consiste en (i) aminoglucósidos, (ii) betalactámicos, (iii) macrólidos/péptidos cíclicos, (iv) tetraciclinas, (v) fluoroquinolinas/fluoroquinolonas y (vi) oxazolidinonas.
 - 52. El compuesto conjugado anticuerpo-antibiótico para su uso en el método de la reivindicación 50, en donde el segundo agente terapéutico es un antibiótico seleccionado del grupo que consiste en clindamicina, novobiocina, retapamulina, daptomicina, GSK-2140944 (gepotidacina) que tiene la estructura:

N N F

GSK-2140944

CG-400549 que tiene la estructura:

10

20

25

30

CG-400549

sitafloxacina, teicoplanina, triclosán, naftiridona, radezolida, doxorrubicina, ampicilina, vancomicina, imipenem, doripenem, gemcitabina, dalbavancina y azitromicina.

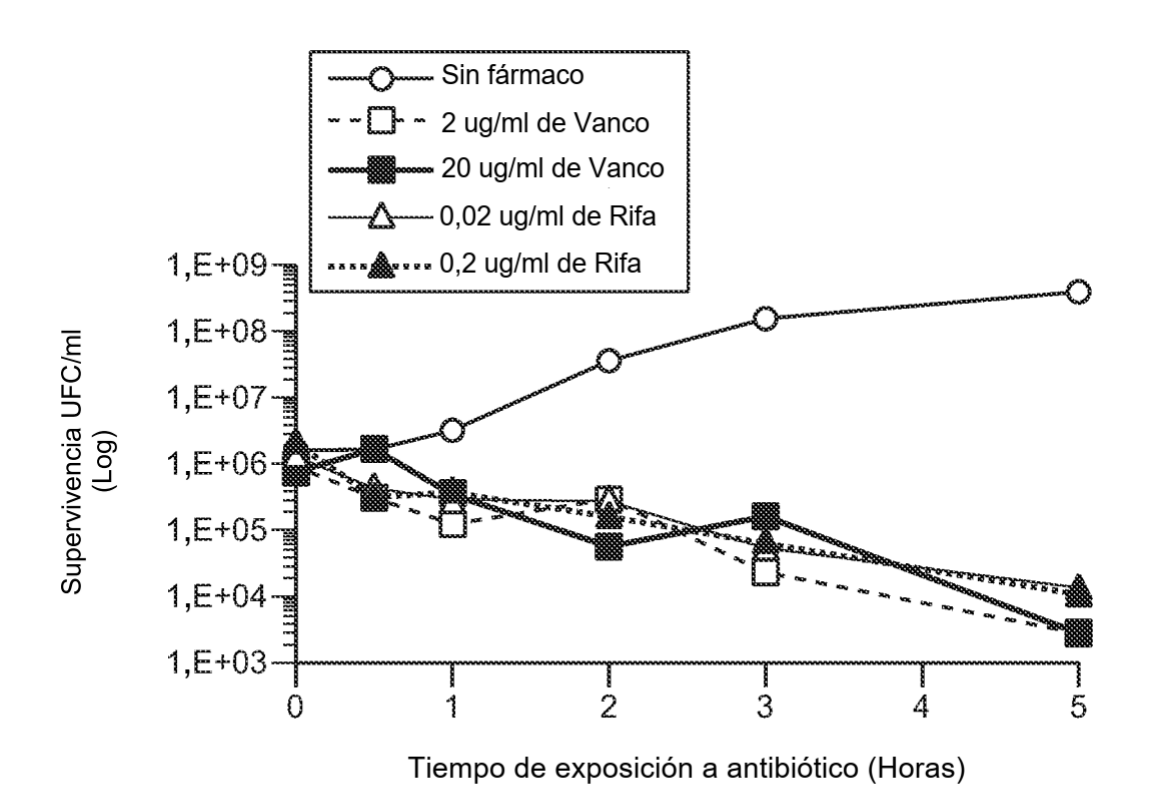
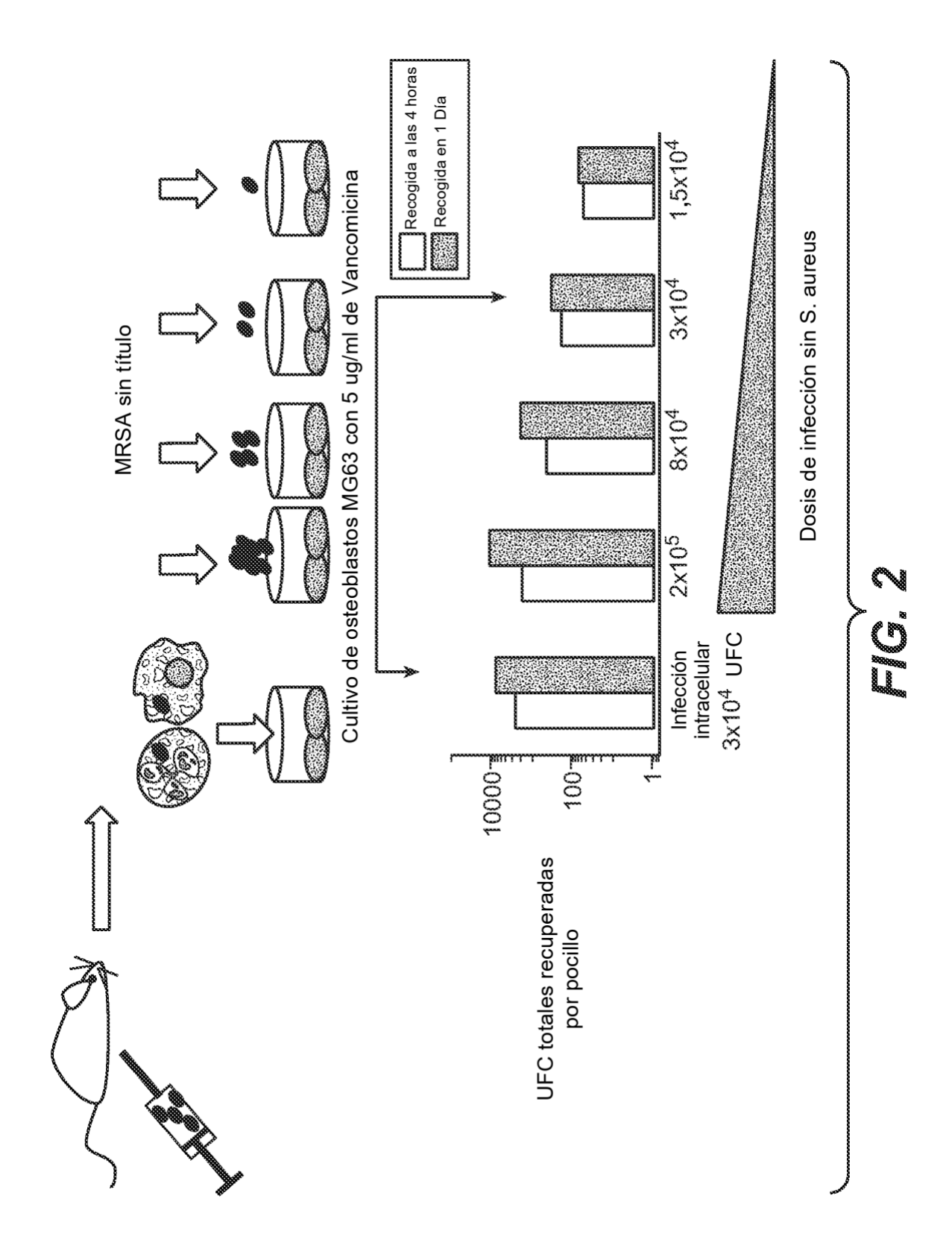
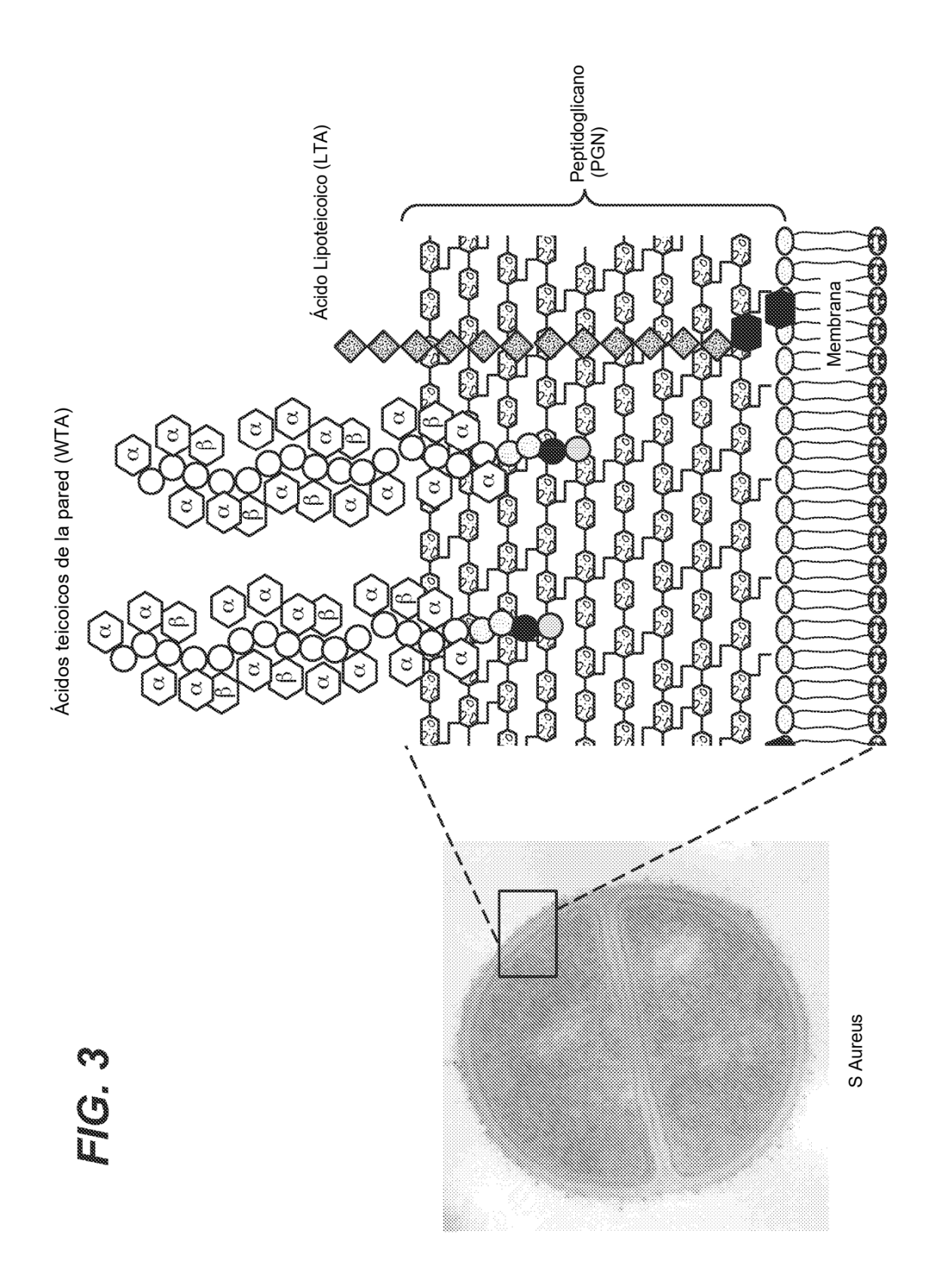
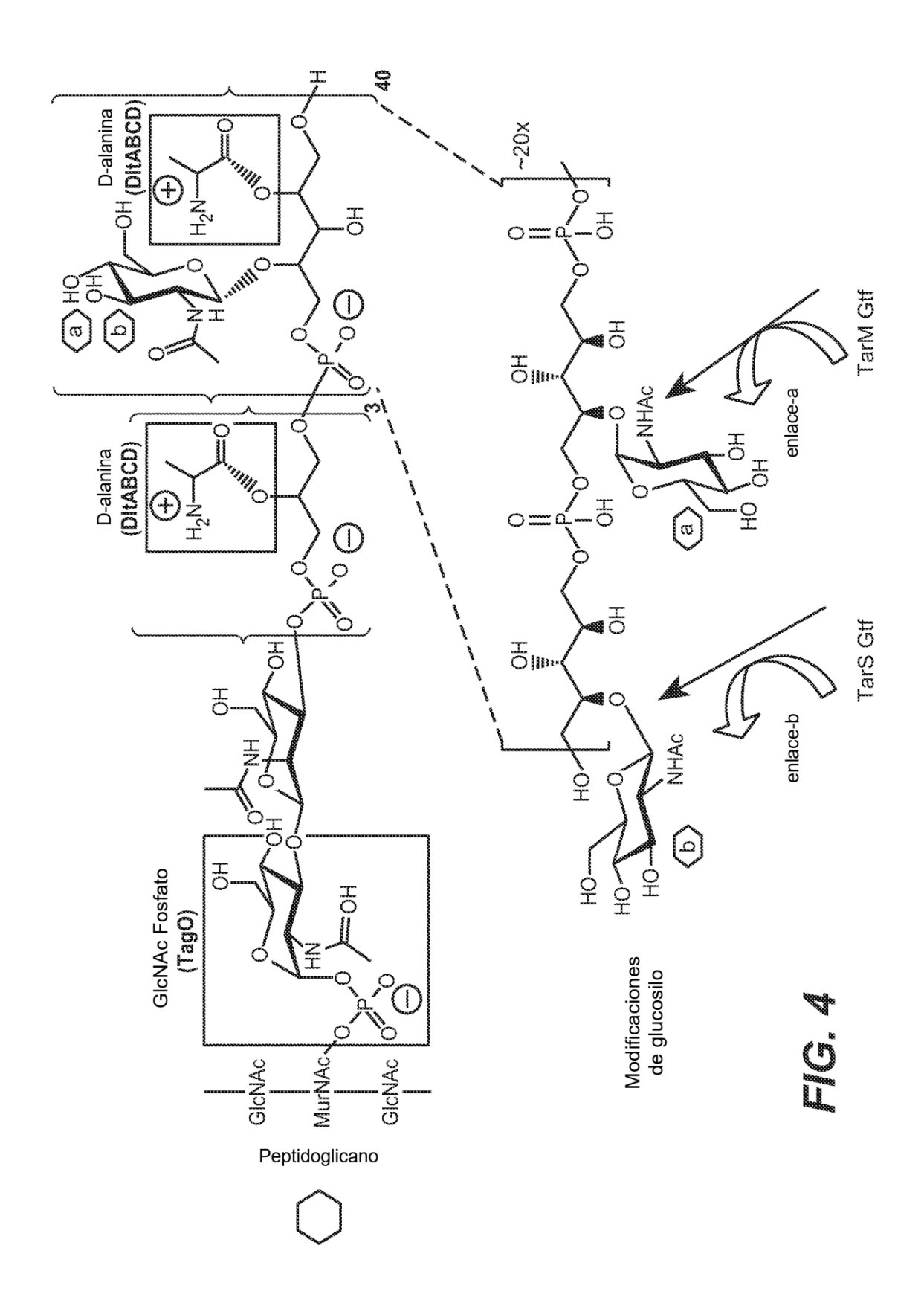


FIG. 1







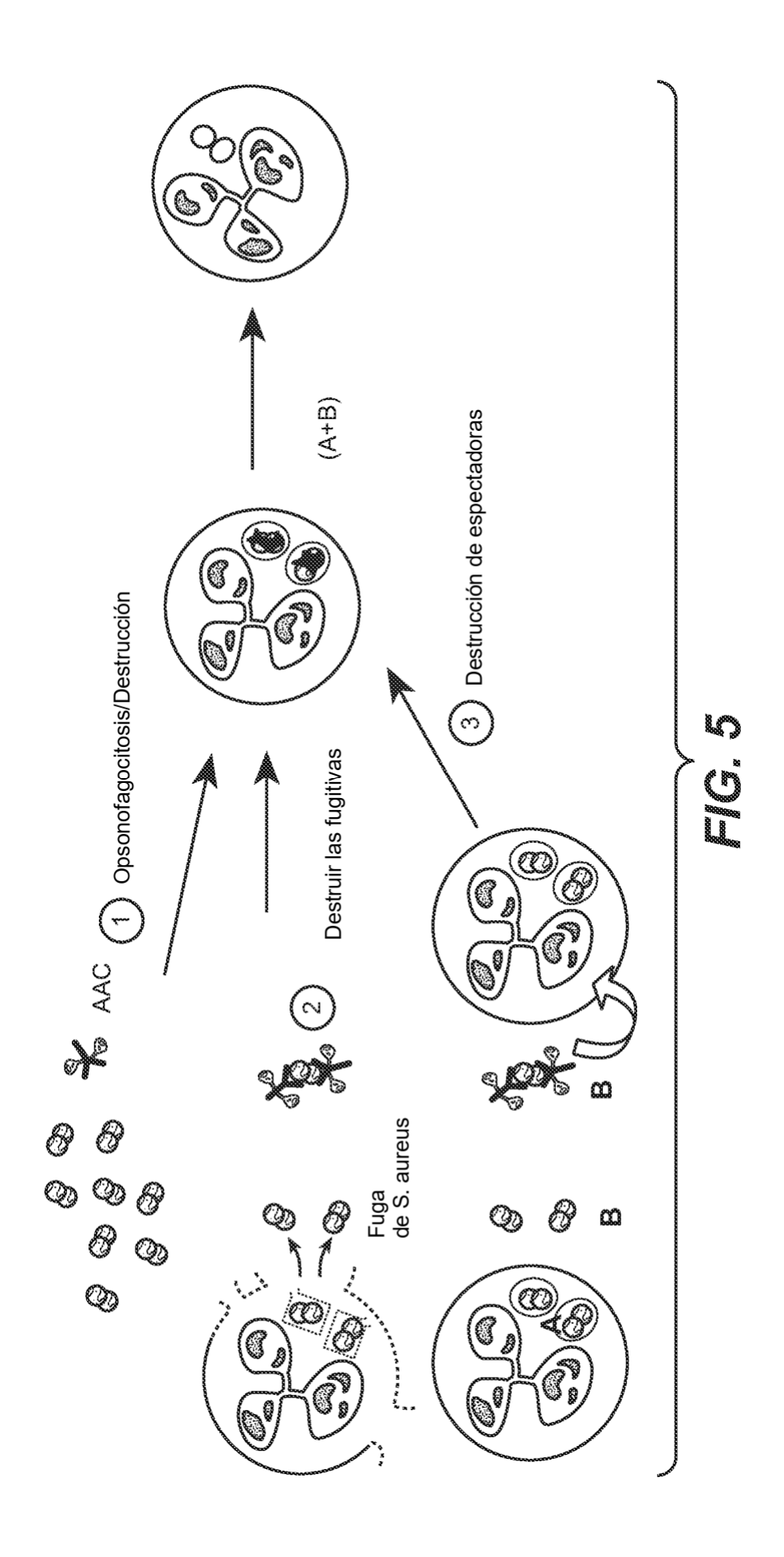


FIG. 6A

3 0 U

Anticuerpo	Antígeno	GlcNAc	KD(nM)	Densidad de antígenos. Sitios promedio Bacteria	Donante	Células fuente	Unión a los Recubrimientos en Ac de primera exploración (ELISA)
4497	WTA	beta	2,5	20	327	PB/PC	WFA; PGN; CW USA300 stat (agot. de hierro:TBS en relación 96:4)
4462	WTA	beta	3,1	43	326	sMBC	WTA; PGN; CW USA300 stat (agot. de hierro:TBS en relación 96:4)
4450	WTA	beta			326	sMBC	WTA; PGN; CW USA300 stat (agot. de hierro :TBS en relación 96:4)
4487	WTA	beta			327	PB/PC	WTA; PGN; CW USA300 stat (agot. de hierro :TBS en relación 96:4)
8/09	WTA	beta			349	sMBC	PGN+WTA (1:1); CW USA300 stat (agot. de hierro :TBS en relación 96:4)
6263	WTA	beta	1,4	22.000	350	PB/PC	PGN+WTA (1:1); CW USA300 stat (agot. de hierro :TBS en relación 96:4)
6297	WTA	beta		21.000	350	PB/PC	PGN+WTA (1:1); CW USA300 stat (agot. de hierro :TBS en relación 96:4)
6239	WTA	beta			350	PB/PC	PGN+WTA (1:1); CW USA300 stat (agot. de hierro :TBS en relación 96:4)
6292	WTA	beta			350	PB/PC	PGN+WTA (1:1); CW USA300 stat (agot. de hierro :TBS en relación 96:4)
6232	WTA	beta			350	PB/PC	PGN+WTA (1:1); CW USA300 stat (agot. de hierro :TBS en relación 96:4)
6229	WTA	beta			350	PB/PC	CW USA300 stat(agot. de hierro :TBS en relación 96:4)
6253	WTA	beta	~~~		350	PB/PC	PGN+WTA (1:1); CW USA300 stat (agot. de hierro :TBS en relación 96:4)
6265	WTA	beta			350	PB/PC	PGN+WTA (1:1); CW USA300 stat (agot. de hierro :TBS en relación 96:4)
					•••••		
			_				

WTA; PGN; CW USA300 stat (agot. de hierro :TBS en relación 96:4)	PB/PC	327				PGN	4479
CW Wood46 stat TSB	PB/PC	327			ż	LTA	4569
PGN+WTA (1:1); CW USA300 stat (agot. de hierro:TBS en relación 96:4)	SMBC	349			Ş	proteínas SDR	6060
PGN+WTA (1:1); CW USA300 stat (agot. de hierro:TBS en relación 96:4)	PB/PC	350			?	proteínas SDR	6234
WTA; PGN; CW USA300 stat (agot. de hierro :TBS en relación 96:4)	PB/PC	327			ż	proteínas SDR	4516(7577)
			1600	6,0	ż	proteínas SDR	
CW USA300 stat (agot. de hierro :TBS en relación 96:4)	PB/PC	350			alfa	WTA	6267
CW USA300 stat (agot. de hierro :TBS en relación 96:4)	sMBC	326			alfa	WTA	4399
CW USA300 stat (agot. de hierro :TBS en relación 96:4)	sMBC	326	16	0,4	alfa	WTA	4624(7578)
CW USA300 stat (agot. de hierro :TBS en relación 96:4)	SMBC	326			alfa	WTA	4461(7574)
Ann							

Ensayo de macrófagos in vitro

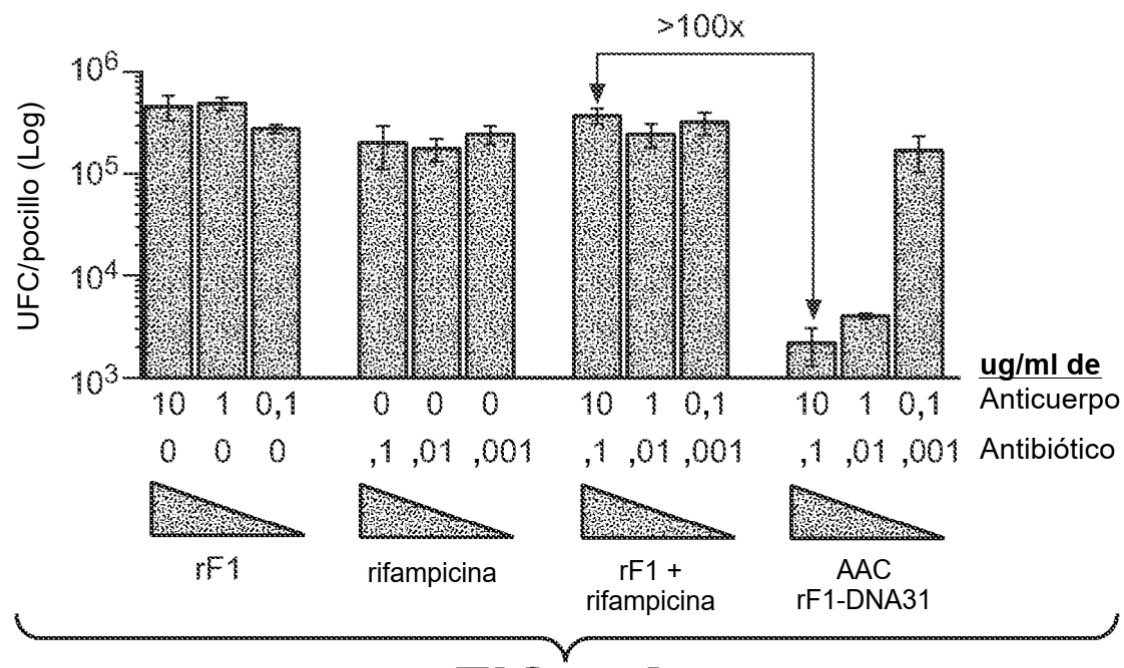


FIG. 7A

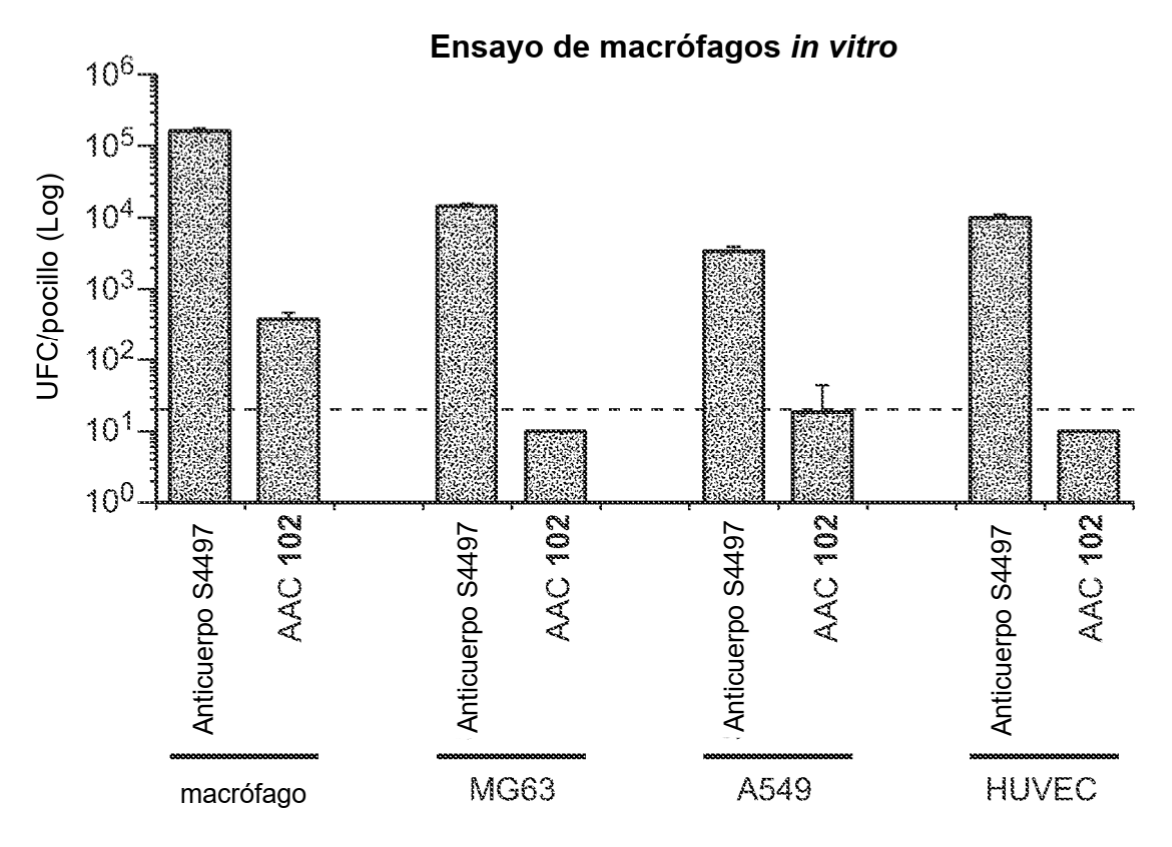
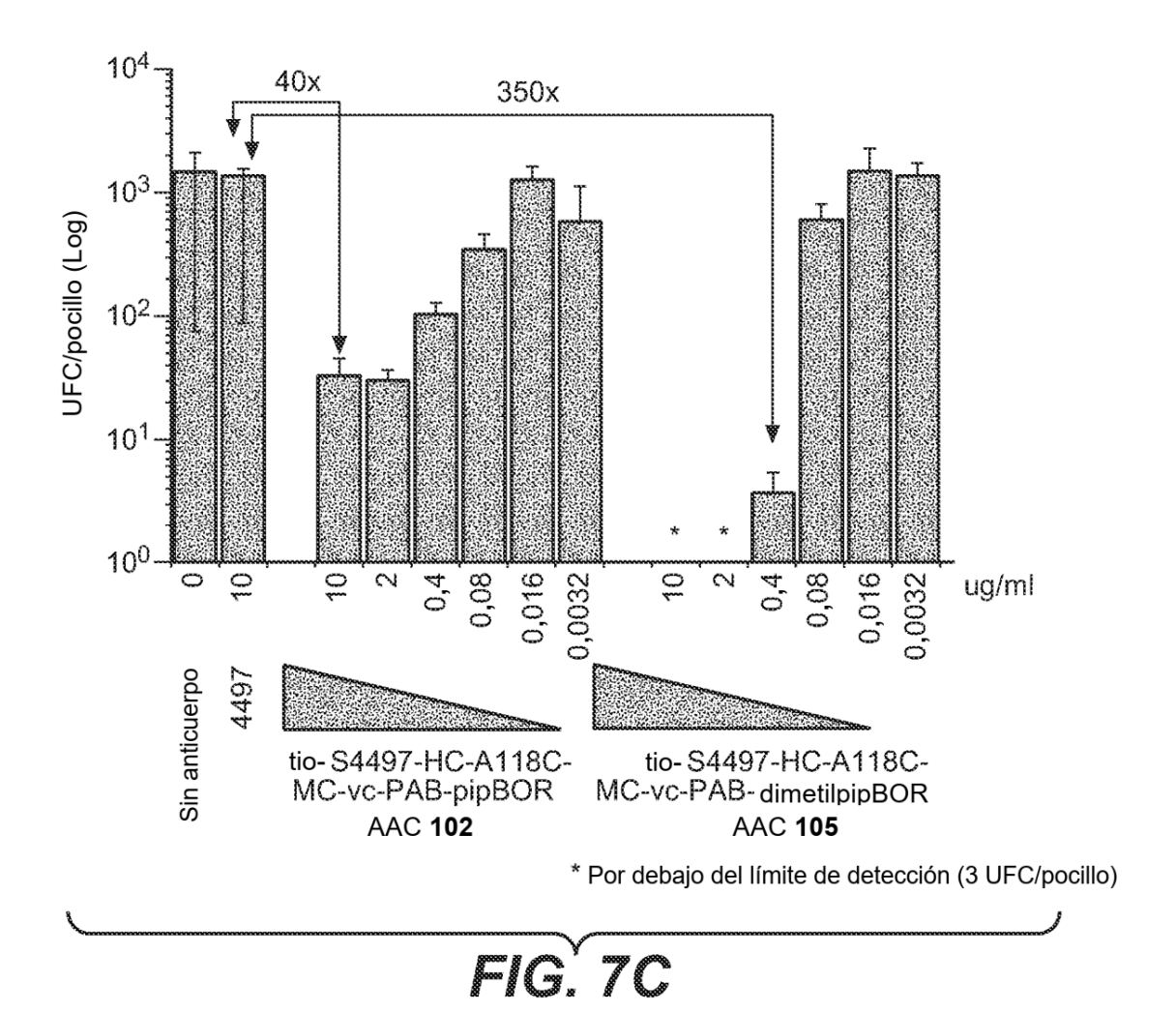


FIG. 7B



250

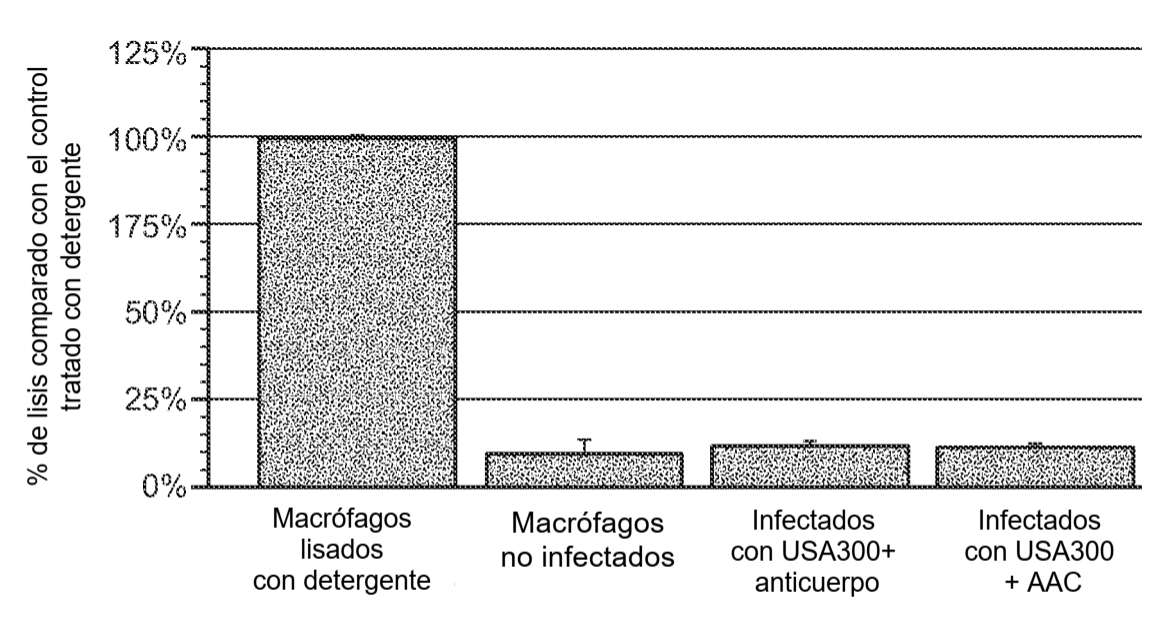
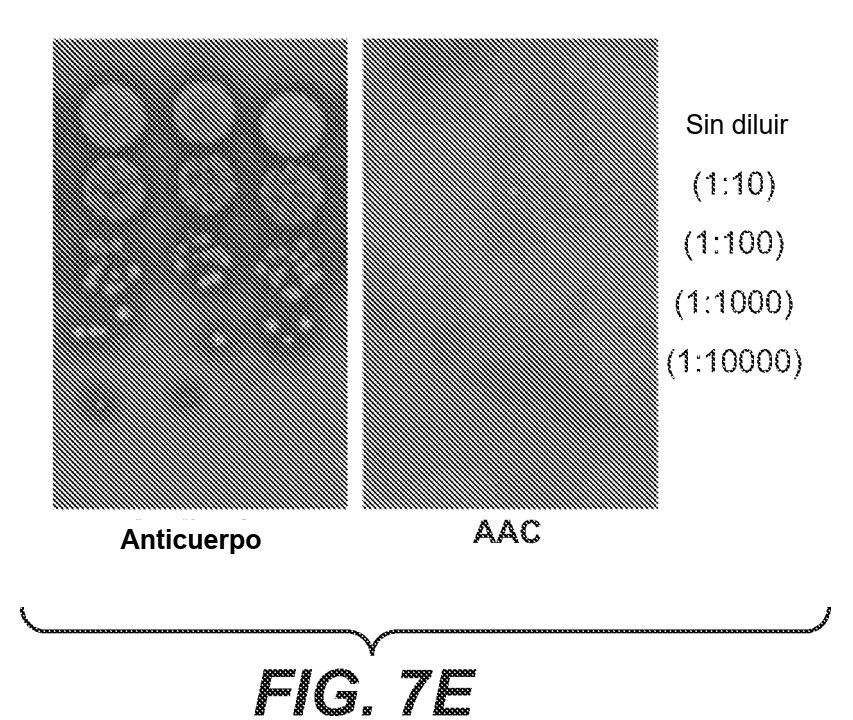
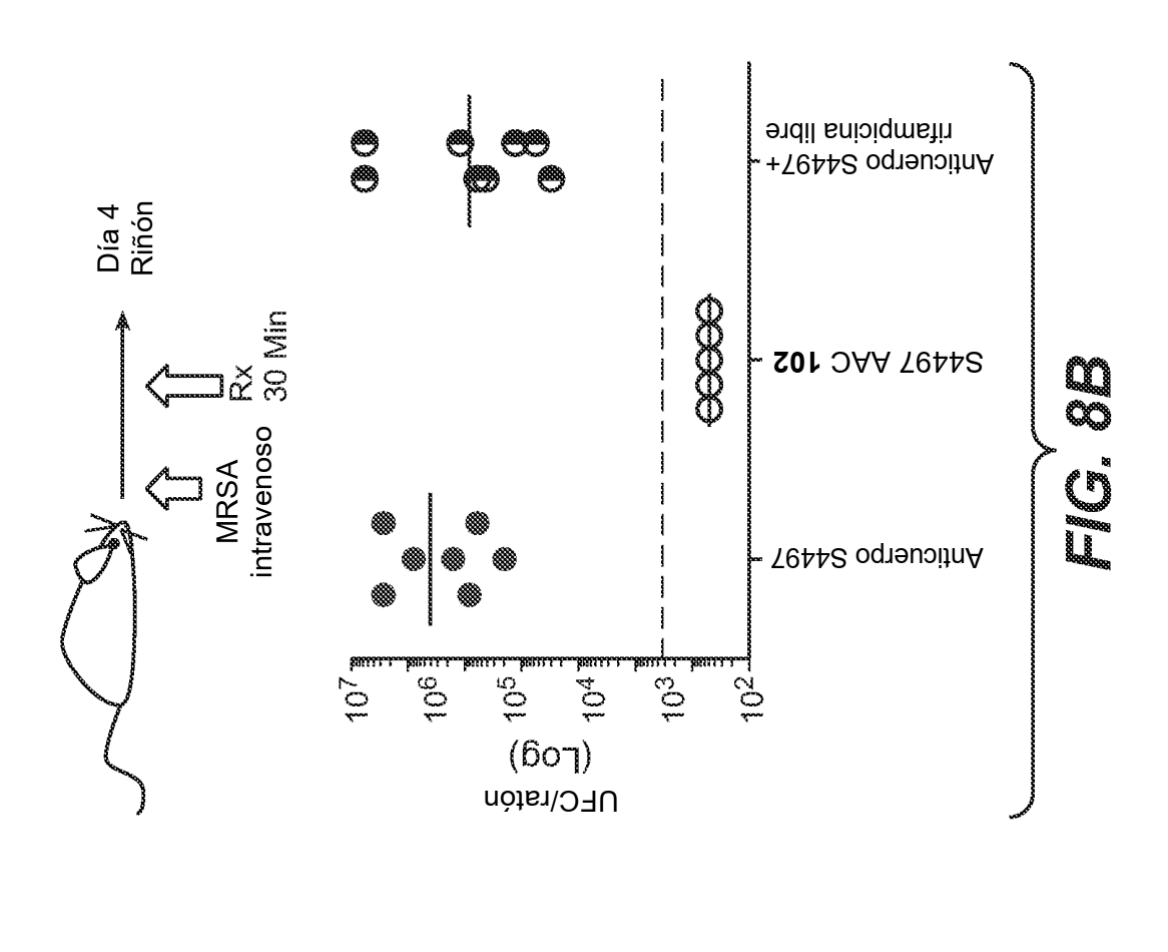


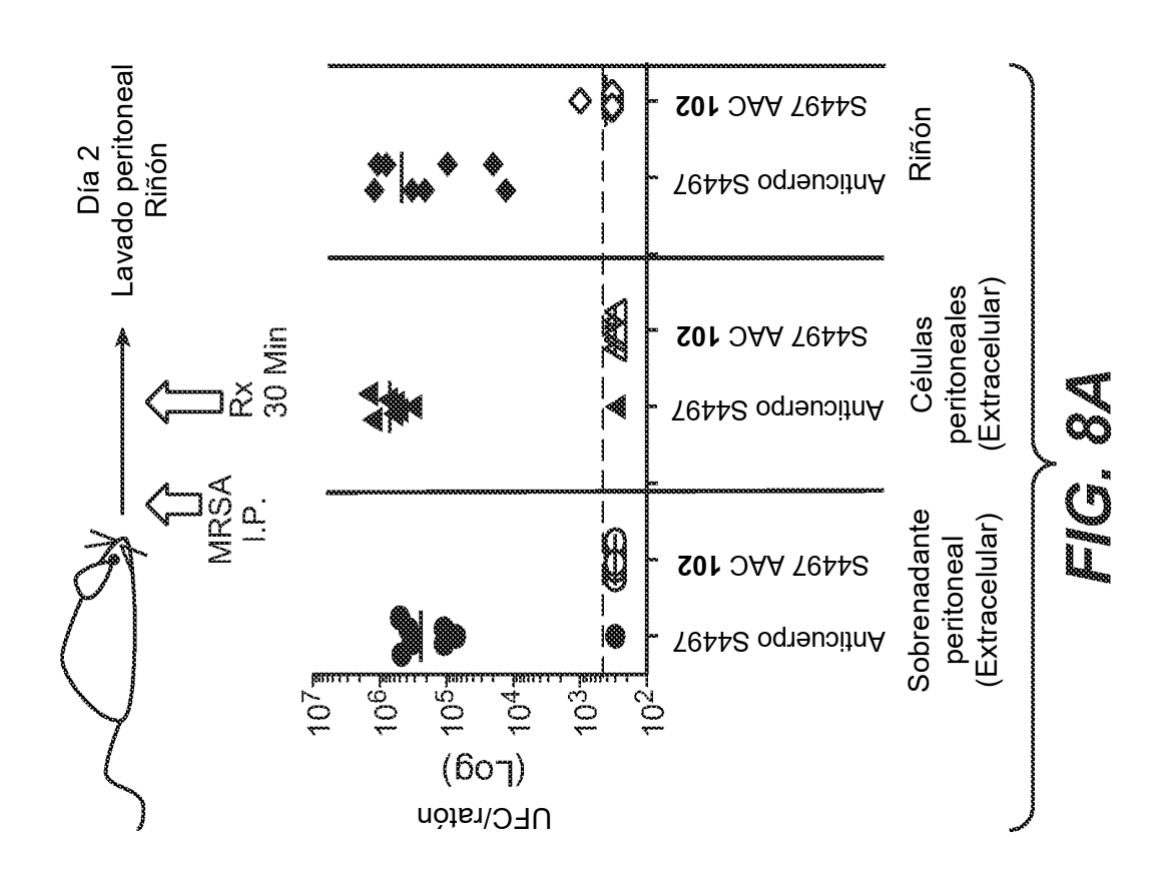
FIG. 7D

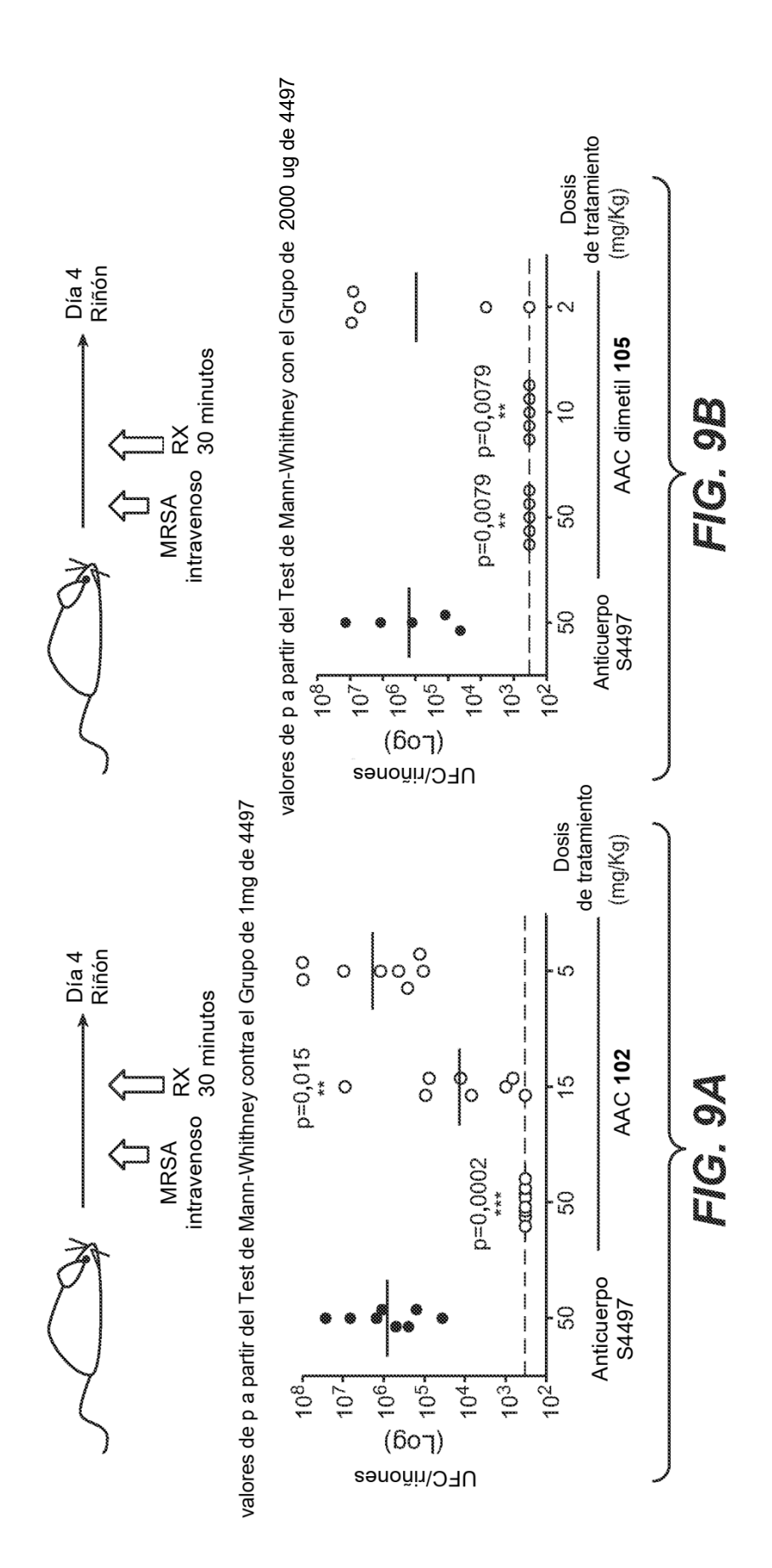
Recuperación de S. aureus vivas del interior de los Macrófagos

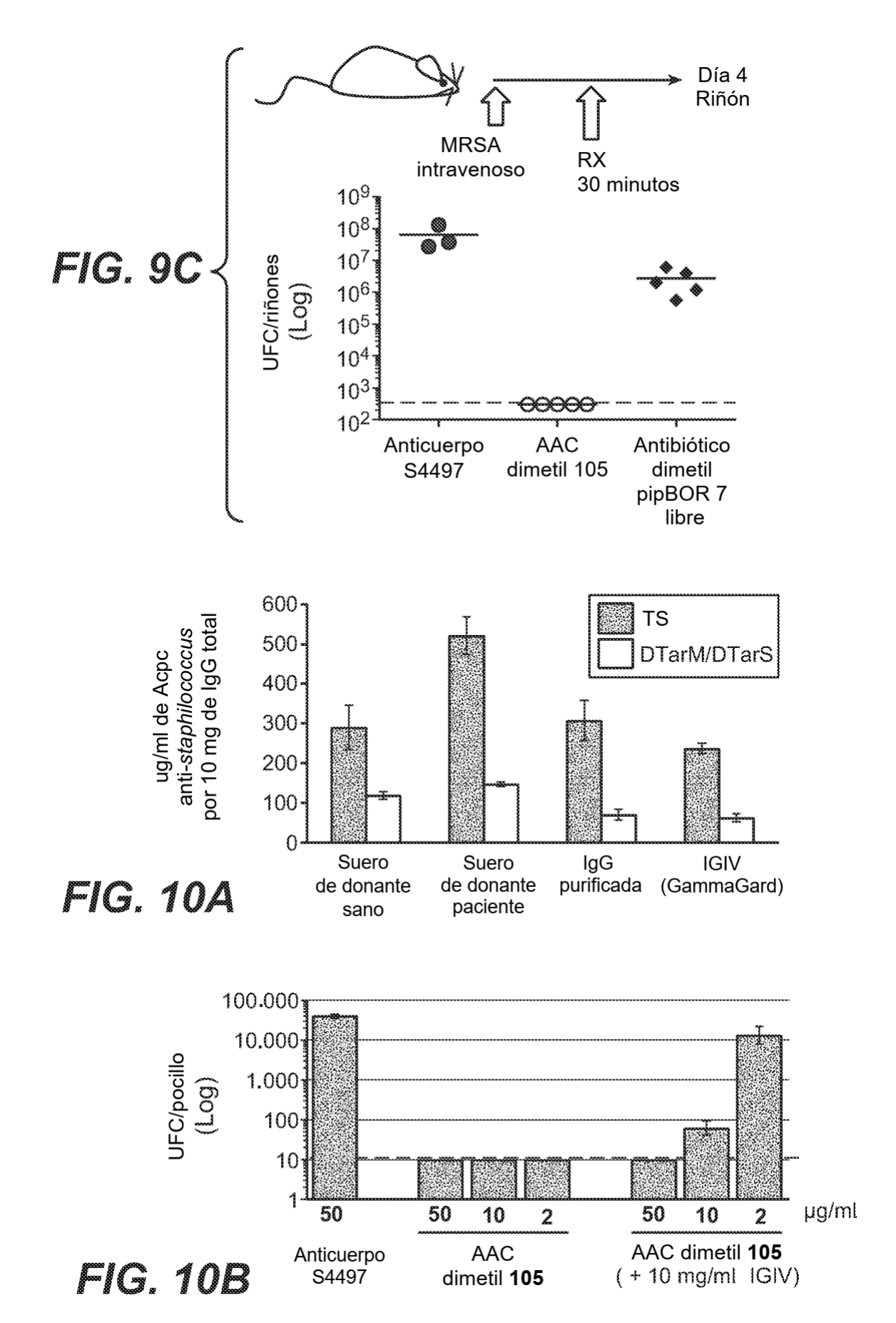


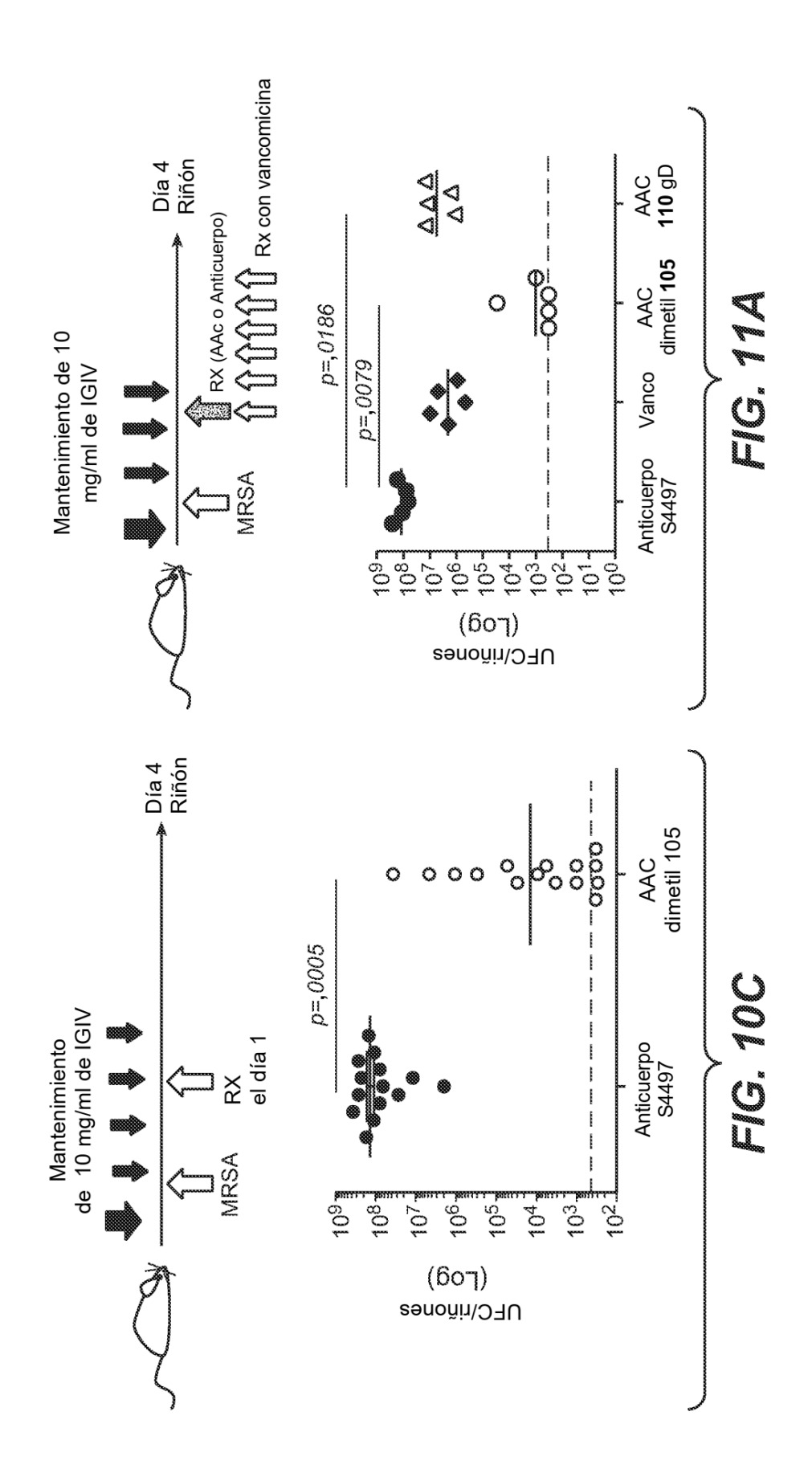
251











Unión de anticuerpos anti-staphilococcus a USA300 de los riñones (IV en el día 3)

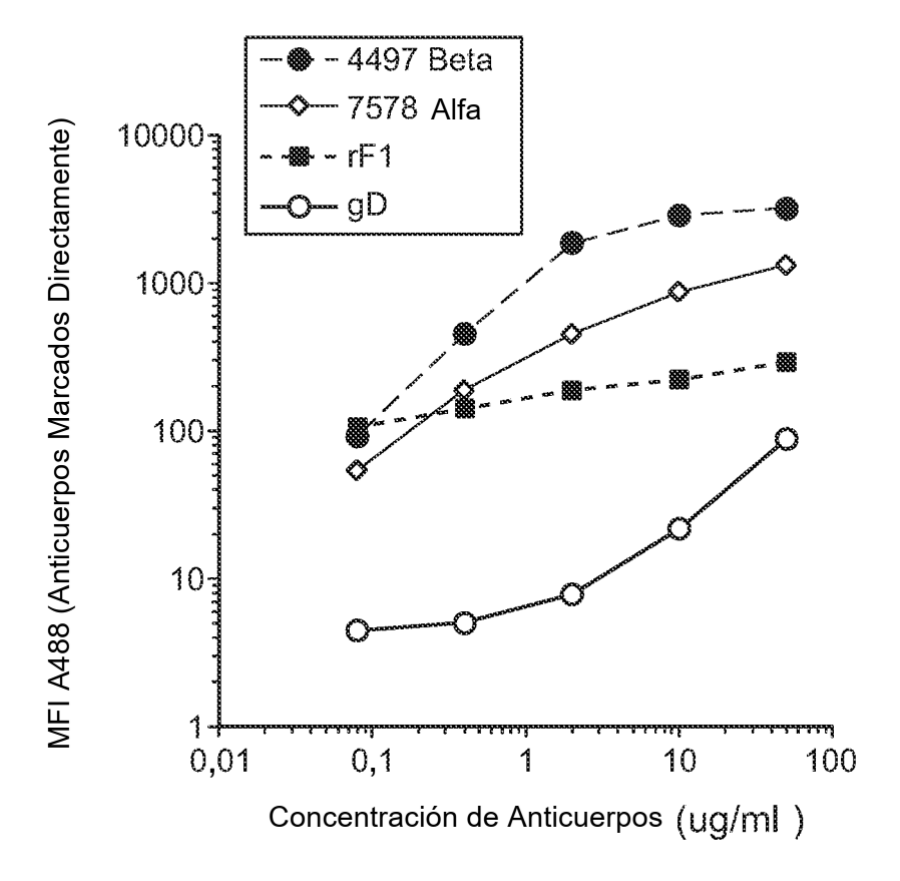
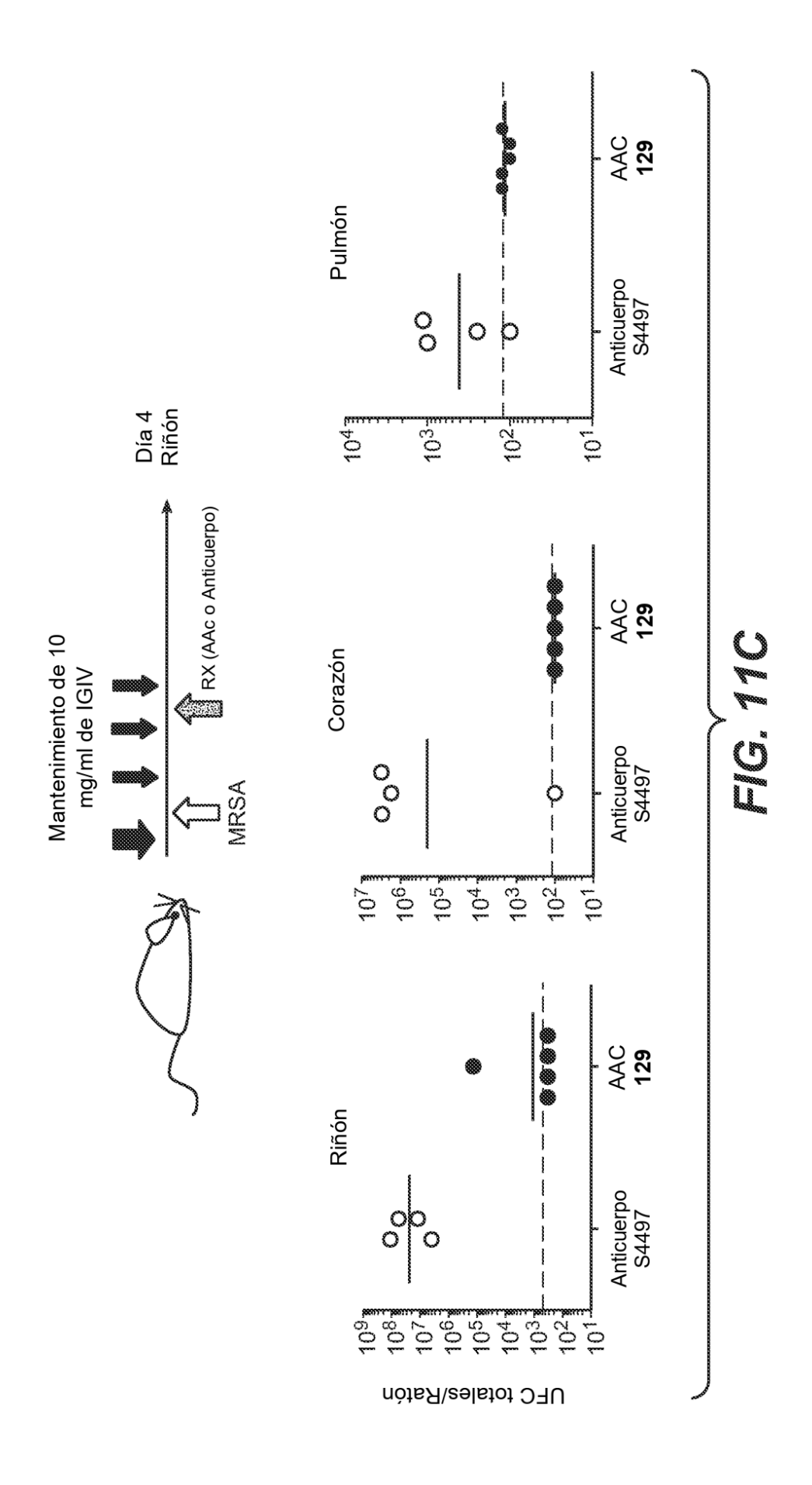
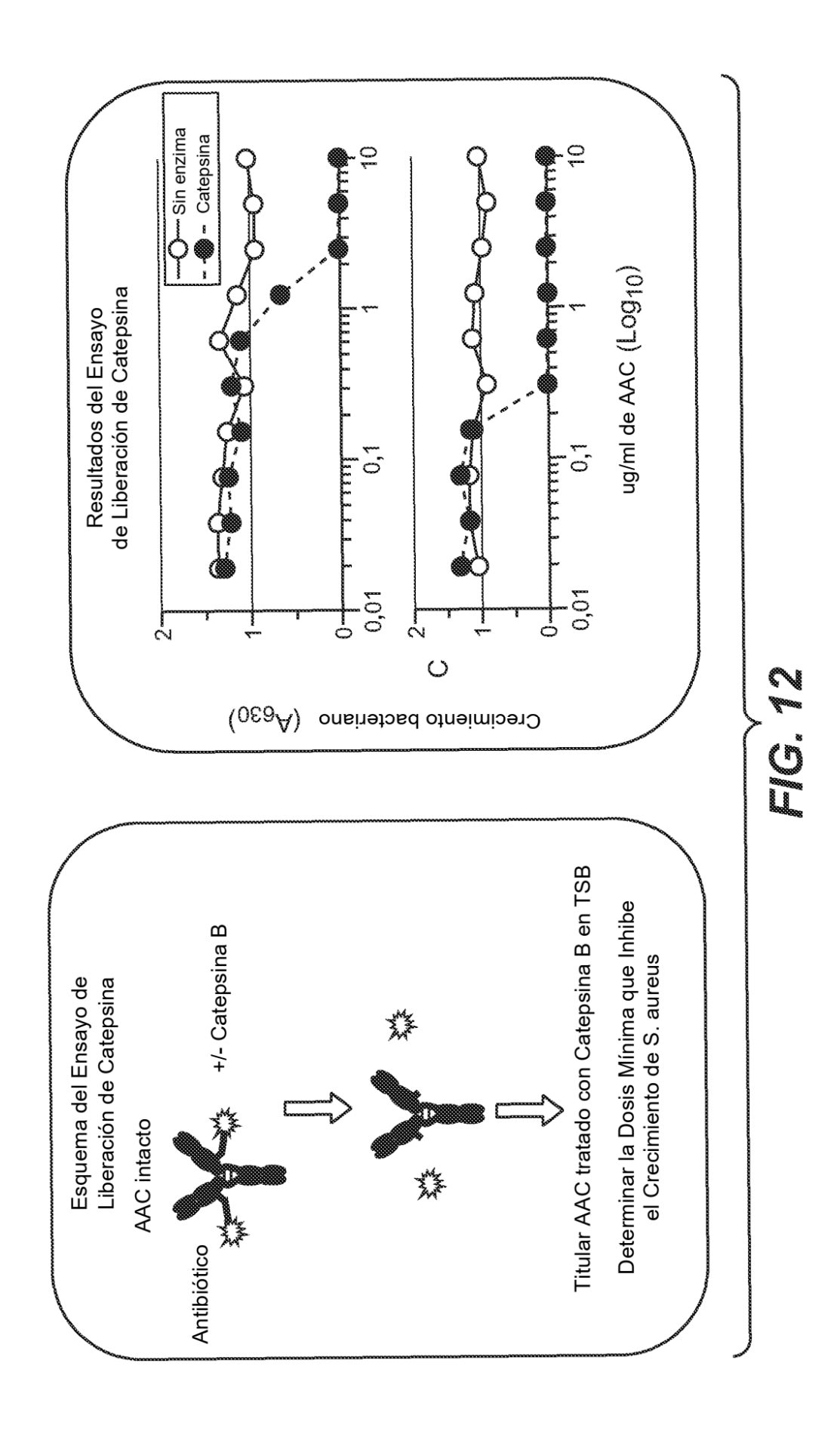


FIG. 11B





CDR L1 de contacto 29 202 58 27c 27d 27e 27f E- E- E- E-CDR L1-Chothia CDR L1-Kabat 9999 ENMME 7 106 9999 105 **Pa Pa Pa** 104 0000 103 MMMM 102 101 5 5 5 5 9 23 53 50 22 0000 66 5555 57 Ü 80 20 99 55 CDR L2-Chothia CDR L2-Kabat 96 REEN 5.4 53 pa pa pa pa contacto CDR L3 de contacto CDR L3-Chothia 52 95 CDR L3-Kabat 14 14 14 14 93 94 de CDR L2 92 လလလ 2 2 2 2 82 40 83 33 8 38 80 79 4461 4624 4399 6267 Número de Kabat Número de Kabat Número de Kabat

Las secuencias de CDR de acuerdo con la definición de Kabat están subrayadas

Región Variable de Cadena Ligera

259

9999 6 6 6 6 K S S Z 100n 100o 100p 100q 36 CDRL H1 de contacto CDRL H1-Kabat 1001 100m .. 36 16 CDRL H1-Chothia 100c 100d 100e 100f 100q 109h 100i 100j CDRL H3 de contacto CDRL H3-Chothia 98 26 99 CDRL H3-Kabat 25 65 Las secuencias de CDR de acuerdo con la definición de Kabat están subrayadas 63 62 9 53 H2-Kabat 8 77 CDRL 26 5 5 5 5 H2-Chothia 55 24 24 24 24 H2 de contacto N 06 N N6 CDRL EQ EQ EQ EQ FC) DEE 50 200 Región Variable de Cadena Pesada 49 Número de Kabat 102 103 104 105 ~11 5 5 5 5 4461 4624 4399 6267 Número de Kabat Número de Kabat Número de Kabat

260

Anticuerpo	CDR L1	CDR L2	CDR L3	CDR H1	CDR H2	CDR H3
8078	RASQTISGWLA	KASTLES	QQYKSYSFN	SYDIN	WMNANSGNTGYAQKFQG	SSILVRGALGRYFDL
	(SEQ ID NO:33)	(SEQ ID NO:34)	(SEQ ID NO:35)	(SEQ ID NO:36)	(SEQ ID NO:37)	(SEQ ID NO:38)
6263	RASQTISGWLA	KASTLES	QQYKSYSFN	SYDIN	WMNANSGNTGYAQKFQG	SSILVRGALGRYFDL
	(SEQ ID NO:39)	(SEQ ID NO:40)	(SEQ ID NO:41)	(SEQ ID NO:42)	(SEQ ID NO:43)	(SEQ ID NO:44)
4450	RASOFVSRTSLA	ETSSRAT	HKYGSGPRT	NYDFI	WMNPNSYNTGYGQKFQG	AVRGQLLSEY
	(SEQ ID NO:45)	(SEQ ID NO:46)	(SEQ ID NO:47)	(SEQ ID NO:48)	(SEQ ID NO:49)	(SEQ ID NO:50)
6297	RASQSVSSSYLA (SEQ ID NO:51)	DASSRAT (SEQ ID NO:52)	QKYGSTPRP (SEQ ID NO:53)	SYDIN (SEQ ID NO:54)	WMNPNSGNTNYAQRFQG (SEQ ID NO:55)	(SEQ ID NO:56)
6239	RASLDITNHLA	EASILQS	EKCNSTPRT	NYDIN	WMNPSSGRTGYAPKFRG	GGGYYDSSGNYHISGLDV
	(SEQ ID NO:57)	(SEQ ID NO:58)	(SEQ ID NO:59)	(SEQ ID NO:60)	(SEQ ID NO:61)	(SEQ ID NO:62)
6232	RASQSVGAIYLA	GVSNRAT	QLYTSSRALT	AYAMN	SITKNSDSLYYADSVKG	LAARIMATDY
	(SEQ ID NO:63)	(SEQ ID NO:64)	(SEQ ID NO:65)	(SEQ ID NO:66)	(SEQ ID NO:67)	(SEQ ID NO:68)
6259	RASQGIRNGLG	PASTLES	LQDHNYPPT	YYSMI	SIDSSSRYLYYADSVKG	DGDDILSVYRGSGRPFDY
	(SEQ ID NO:69)	(SEQ ID NO:70)	(SEQ ID NO:71)	(SEQ ID NO:72)	(SEQ ID NO:73)	(SEQ ID NO:74)
6292	RASQGIRNGLG	PASTLES	LQDHNYPPS	YYSMI	SIDSSSRYRYYTDSVKG	DGDDILSVYQGSGRPFDY
	(SEQ ID NO:75)	(SEQ ID NO:76)	(SEQ ID NO:77)	(SEQ ID NO:78)	(SEQ ID NO:79)	(SEQ ID NO:80)
4462	RASQSVRTNVA	GASTRAS	LQYNTWPRT	TNDMS	TIIGIDDTTHYADSVRG	NSGIYSF
	(SEQ ID NO:81)	(SEQ ID NO:82)	(SEQ ID NO:83)	(SEQ ID NO:84)	(SEQ ID NO:85)	(SEQ ID NO:86)
6265	RASQDIGSSLA	ATSTLQS	QQLNNYVHS	DYAMG	VVTGHSYRTHYADSVKG	RIWSYGDDSFDV
	(SEQ ID NO:87)	(SEQ ID NO:88)	(SEQ ID NO:89)	(SEQ ID NO:90)	(SEQ ID NO:91)	(SEQ ID NO:92)
6253	RASQSIGDRLA	WASNLEG	QQYKSQWS	SYAMN	YISSIETIYYADSVKG	DRLVDVPLSSPNS
	(SEQ ID NO:93)	(SEQ ID NO:94)	(SEQ ID NO:95)	(SEQ ID NO:96)	(SEQ ID NO:97)	(SEQ ID NO:98)
4497	KSSQSIFRTSRNKNLLN	WASTRKS	WASTRKS QQYFSPPYT	SFWMH	FTNNEGTTTAYADSVRG	GDGGLDD
	(SEQ ID NO:99)	(SEQ ID NO:100)	(SEQ ID NO:100) (SEQ ID NO:101)	(SEQ ID NO:102)	(SEQ ID NO:103)	(SEQ ID NO:104)
4487	RASQFTNHYLN	VASNLOS	QQSYRTPYT	SGYYN	YILSGAHTDIKASLGS	SGVYSKYSLDV
	(SEQ ID NO:105)	(SEQ ID NO:106)	(SEQ ID NO:107)	(SEQ ID NO:108)	(SEQ ID NO:109)	(SEQ ID NO:110)

6263 tiene las mismas secuencias de CDR que 6078

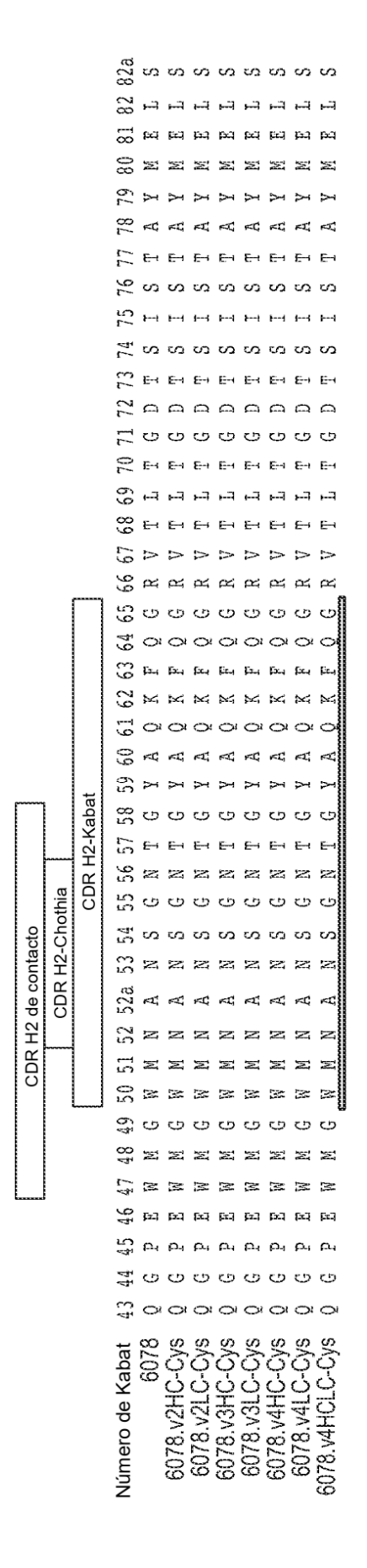
126 R K K 2 мыммымы 124 aaaaaaaa E-4 E-4 E-4 E-4 E-4 E-4 E-4 0,0,0 בי בי בי בי בי בי בי בי 9999999 122 999 2 2 2 2 2 2 2 2 2 2 2 121 တ္တလ 79 010101010101010 0101010101010 120 Región constante, numeración 119 contacto 00 00 00 00 00 00 00 Fr. Fr. Fr. 116 117 1 de н н н н CDR L1 Ξ CDR L1-Chothia CDR L1-Kabat သလလ 113 ביי ביי ביי 29 FC FC FC rect rest rest 110 D D D 109 99 05 05 05 65 197 54 54 54 64 901 23 105 1000 (000 foot Las secuencias de CDR de acuerdo con la definición de Kabat están subrayadas 62 104 D= D= D= 103 **M M M** 102 E-4 E-4 E-4 0000000 999 16 53 160 000 3 00000000 000000 35 000 2222222222 0000000000 En De De CDR L2-Chothia ARKKAKK 25 25 25 26 25 25 0 0 0 0 0 0 0 0 0 contacto 8 95 S S S CDR L3-Chothia CDR L3-Kabat CDR L3 de contacto 22 94 A A × × × × × × × × de RC RC RC \Box ~ ~ ~ ~ ~ ~ ~ ~ ~ ~ ~ ~ 35 × × × × × × × × DH DH DH 0101010101010 ======= **денене** KKKKKKKK P1 P1 P1 P1 P1 P1 P1 P1 D-1 D-1 D-0000000 aaaaaaaa Cadena Ligera 6078.v2HC-Cys 6078.v2LC-Cys 6078.v3HC-Cys 6078.v3LC-Cys 6078.v4HC-Cys 6078.v4HC-Cys 6078.v2HC-Cys 6078.v2LC-Cys 6078.v3HC-Cys 6078.v3LC-Cys 6078.v4HC-Cys 6078.v2HC-Cys 6078.v2LC-Cys 6078 6078.v4LC-Cys 3078.v4HCLC-Cys 3078.v4HCLC-Cys Número de Kabat Número de Kabat Número de Kabat

262

```
8 000000000
                                  S S S S S
2 22222
                                  8 000000000
                                  203
                                  8888888888
                                    нананана
                SO SO SO SO SO SO SO
  Day Day Day Day Day
                                    000000000
115
V
V
V
V
              00000000
                                  5 000000000
114
S S S S S
              8 вввввв
四日日日日日
              できるののののの
                                  Ч
                                  5 00000000
              20000000
                                  SHEHERERE
  E- E- E- E-
                                  16
                                  8
                DE DE DE DE DE DE DE DE
                                  83
              SEEEEE
                                  Бееееее
              ° NEEREEE
              2
                                  172
              8 ------
                                                       213
                                    222222222
              S KKKKKKKK
                                                           6078.v2HC-Cys
6078.v2LC-Cys
6078.v3HC-Cys
6078.v3LC-Cys
6078.v4HC-Cys
6078.v4HC-Cys
  6078.v3HC-Cys
6078.v3LC-Cys
6078.v4HC-Cys
6078.v4LC-Cys
6078.v4HCLC-Cys
                  6078.v2HC-Cys
6078.v2LC-Cys
                      6078.v3HC-Cys
6078.v3LC-Cys
6078.v4HC-Cys
6078.v4LC-Cys
6078.v4LC-Cys
                                      6078.v2HC-Cys
6078.v3HC-Cys
6078.v3HC-Cys
6078.v3LC-Cys
6078.v3HC-Cys
                                                6078.v4LC-Cys
                                                                       3078.v4HCLC-Cys
              Número EU
                                                   078.v4HCLC-Cys
                                                      Número EU
                                  Número EU
```

			42	9	Ð	r D	r h	rn	5 D	r D	rh	
			<⁺									
			4.		E⊣							
			39 40		QA						N.	
				O								
			7 38	æ	24		R		ez;	M M	DK.	
			'n	>	\triangle	\triangleright	>		\triangle	>	D>	
			5 36	:: 	E	æ	36	35	<u> </u>	32		8
tact		-Kabat	35	z	Z	z	N	z	z	z	Z	*
con		두 누	c,	11	F1	F1		<u></u>	F1	F1	h1	-
de		꾸	3	Ω.				Ω.	Ω			-
CDR H1 de contacto	a	CDR	سا س	S	SY	S	S	S	S	S	S	***************************************
G	othi		30 3	E1	E-1	E-4	E-4	E1	E-1	E-1	E-4	٤
L	ပု		29 3	ıi							F-7	
	CDR H1-C		28 2	E-4			E:-4		Ei	E1	E:1	
	CDR		27.2	;>(⋈	>	 ⊳-:	> ⊣	~			
			26 2		ق		9	5	5	O	CD	
	L		25 2				S			တ	S	
			4.	rati	A.	ď	N.	Ø	rt.	ď	N.	
			23	pc]	E	įΣ	рq	pa)	Ecj	E	523	
			22	ပ	ں	J	ی	ပ	ں	J	ں	
			21	လ	S	ß	ເນ	လ	S	S	Ś	
			20	\triangleright	\triangleright	\geq	\triangleright	\triangleright	\triangleright	\triangleright	\triangleright	
			19	×	×	×	×	×	×	×	M	
			18	⊳	\triangleright	Þ	\triangleright	⊱		Þ	\geq	
			17	S	S	S	S	S	S	S	Ω	
			16	rS.	K	ď	rT,	кIJ	κÜ	M	N.	
			5	9	Ü		G	9		Ċ	9	
			14	p	P.	СЧ	יכז	ρι	Ċ.	С	بح	
			33	×	×	ю	×	×	M	×	×	
			12	×	×	×	×	×	×	×	×	
			7	\triangleright	\triangleright	\triangleright	\triangle	\triangleright	\triangleright	\triangleright		
			10	Ex.)	Exc	[22]	[2:2]	(XX)	[22]	[22]	[22]	
			9	κQ	κÇ	κĽ	ro;	ĸ	≈ C	κij	ø	
			∞	O	Ð	O	Ö	O	O	O	O	
			7	S	လ	S	S	S	Ś	S	S	
			9	Õ	ŏ	Ö	O	Õ	Ŏ	Oi	Oi	
			Ŋ		Δ	>		>	\triangleright	\Rightarrow		
			4	- -4	H	,- -7	 -7	μÄ	μÄ	- ∹1	 -7	
			\sim	Õ	O		Ö					
			7	55	×	×	; ;;—;		\triangleright	>	\triangleright	
			·4	Õ			,	EQ.	[±2]	[±2]	[- -2]	
			at		S			S	S	S	S	
			Número de Kabat	6078	6078.v2HC-Cy	6078.v2LC-Cys	6078.v3HC-Cys	6078.v3LC-Cys	6078.v4HC-Cy	Q	O	-
			de F		퐀	21,0	퐀	35	₹	<u>4</u> [(ਹੁ	
			o)		8	Σ	×		χ̈	6078.v4L(₩ ₩	
			úme		607	607	607	607	607	60	78	
			ź		_						9	

Cadena Pesada



												L				딩	DR H	H3 de		contacto	o.					,													
																				CDR	RH	3-Ch	H3-Chothia	_															
																				ŭ	JR H	CDR H3-Kaba	abat					Γ									•••••	Cons.	JS.
Número de Kabat 6078		82c L			25 E				96 5		-	93	£ 8	95 S	95 cs			(,		ccs	-8	O	ਰ	100e J R	100f y	100g F	101	CVI	~	4		4004		*	e		S	1133	119 S
6078.v2HC-Cys 6078 v2l C-Cys	1 02 U		. e. e	. w w			E E-			>	りじて	rat ra	04 C	i vs v	i co co			- i> i>	i pet pe		rec; res	نم جہ ا		- PG PG	M A	Ent De			: == =	. ex e	ਾ ਦਾ ਦ	E→ E-			· > >	1 502 E/	1 502 EV	وأنأه	S
6078.v3HC-Cys	യ	- F			; 124 €							; <c< td=""><td>4 04</td><td>s co</td><td>o so</td><td></td><td></td><td></td><td></td><td></td><td>: 🙉</td><td>a:</td><td>0</td><td>: 24</td><td>- >-</td><td>1 221</td><td>9 0</td><td>a</td><td></td><td></td><td></td><td></td><td></td><td></td><td></td><td></td><td>es es</td><td></td><td>3 6/3</td></c<>	4 04	s co	o so						: 🙉	a:	0	: 24	- >-	1 221	9 0	a									es es		3 6/3
6078.v3LC-Cys	S	⊷ ⊷			es e							ec e	G4 5	S	so c						eC e	⊢ ⊐	9.	~ 0	~ •	Eta E	0 5	. ⊐ .									s s	~ C	S
6078.v4LC-Cvs	മയ	-										at eat	z 0z	മയ	മശ						c ec	a ⊨a	50	× ×	- M	- F-	2 0	-									മമ		ກະເລ
6078.v4HCLC-Cys	S	⊣			523							r <c< td=""><td>24</td><td>S</td><td>တ</td><td></td><td></td><td></td><td></td><td></td><td>es;</td><td>)</td><td>ۍ</td><td>æ</td><td>₩.</td><td>Ez.,</td><td>Ω</td><td>,⊐</td><td></td><td></td><td></td><td></td><td></td><td></td><td></td><td></td><td>လ</td><td></td><td>C/3</td></c<>	24	S	တ						es;)	ۍ	æ	₩.	Ez.,	Ω	,⊐									လ		C/3
Número EU			-					-		,	131	13.)	133	134	135.1	136 1	37	38	71 bti	1 11	14	. (7)	1.1	144	145	146	147	·	10 7	5. 7.	15.)	53.	44	12	5 157	5.00	5	9	=
8/09								-			•	Š	2 ==	S		•	•					•	9 5	1		£ 1>	<u></u>		•	-			4	-	4		Z	3 00	
6078.v2HC-Cvs	E-4	b<	0	E-	נמ	-	Ez.	L CL	rati	- C24	S	S	×	· ca	E-4	S		25	rec;		KT.			ر	-	!>	b <		- D-1	EL.	tes:	2	-	E	co.	i Dien	æ	(C)	6
6078.v2LC-Cýs	E-4											S	×	C/D	E-4						≪ď	1-2	9	J		ţ>>-	×	<u></u>				e,				Car	×	S	9
6078.v3HC-Cys	E⊶											K/Q	24	S	E∹						κď	F3	25	S	⊢⊐	!>	24	c				e.				is:	×	ĽΩ	5
6078.v3LC-Cys												Ç.	24	S	E1						est.	1-4	G	ຍ	H	>>-	\	<u>-</u>				വ				jar:	Z	C/3	ڻ
6078.v4HC-Cys												CΩ	bc;	ŝ	E1						esti.	p=21	G	<u>.</u>	H	D=	bei	r=1				ы				Ge:	æ	(V3	c)
6078.v4LC-Cys												S	×	S	E-4						≪C	ı	٣	J	ь¬	:>	×	a		딾		ė,					×	S	9
6078.v4HCLC-Cys												K/Q	M	S	E-⊀						ret!	F3	25	O	⊢⊐	>	24	\hookrightarrow				cz:				120	×	r _C O	9
Número EU	163									17.	7.173	17.6	7.5	r-		CC	70	50	-				25	20	752	CC	200					75			-		201	201	283
6078													0	9 00		•	•					•	, D		E		2 0		1	•		E			4				2 22
6078.v2HC-Cys												⊷	0	တ	ι cα								-	!>	E1	!>=	ρ.					Fi-4					×	:>	525
6078.v2LC-Cys												⊢⊐	O.	r.	5/2								>		E4	t>	а					E—i				ں	25		525
6078.v3HC-Cys												H	O'	(J)	C)3								>	:>	E-4	:>	а					E ⊢-I				ಲ	z	>	22
6078.v3LC-Cys						-						F	O.	S	C/3								-	!>	E-∹	:>	D.					E				ر ا	z	D =	See 5
6078.v4HC-Cys													0.0	တ	so i								> ;	>-	E1 F	[:=: [ω,					<u>s</u> s				<u>ں</u> ،	z :	! >= !	25 :
60/8.V4LC-Cys	nati no		E E	ر د دی	<u>ۍ</u> د	> 1:		Ge., go G⊶ G	D. C	~ .	> =		O (so c	so c			~ b	 		ທະເ	ທ ເ	> t	> :	e e	> t:	ם ר	S C	ທະ	- F	ۍ د	e⊣ e	O (> E	1-	ی د	2 2	> 1:	25 12
00/0.440000					פ	3 =						7		a	13								200	>	-4	>>	14									ر	=	.De-	25
The state of the s			***************************************	***************************************	2000000		***************************************		***************************************	***************************************						20000000		ě					***************************************	***************************************				00000000	***************************************	***************************************	***************************************			**********					and the same

252	CO	2000000000
<u> </u>	% EEEEEEE	111111111111111111111111111111111111111
(**) (**) (**) (**) (**) (**) (**) (**)	2002	NA MA
2 2 2	2	2 8 8 8
	200	SZZZZZZZZ
	282	
ည္တလတ္လလုတ္လ		2333
25 cm cm cm cm cm cm cm	© 6 6 6 6 6 6 6 6 6 6 6 6 6 6 6 7 6 7 6	***************************************
23,7	279 V V V V V V V V V V V V V V V V V V V	200000000
	00 by by by by by by by	SMMMMMMM
235 2		E A A A A A A A A A A A A A A A A A A A
234 2 11 11 11 11 11 11 11 11 11 11 11 11 11	292 NMMMMMM NMMMMMMMMMMMMMMMMMMMMMMMMMMM	
23.3.2.		MANAN
232		
	273	MANANAN M
2 6 6 6 7 8 8 8 8 8 8 8 8 8 8 8 8 8 8 8 8		\$ 11 11 11 11 11 11 11 11 11 11 11 11 11
95	= 0.0.0.0.0.0.0.0	~
800000000	23	
223	270	99999999
220000000000	20 阿拉拉阿拉阿拉阿	
800000000	268 H H H H	310 H H H H H
225	0 0 0 0 0 0 0 0 0 0 0 0	<u></u>
	2 2 2 2 2 2 2 2 2 2 2 2 2 2 2 2 2 2 2 2	8 4 4 4 4 4 4 4 4 4 4 4 4 4 4 4 4 4 4 4
		F
Z E E E E E E E	20000000	
ZZMKKKKKK KWKKKK		864444444
22	263	305 V V V V V V V
ရွိပပပပပပပ	0 0 0 0 0 0	\$ 00 00 00 00 00 00 00 00 00 00 00 00 00
8 0 0 0 0 0 0 0 0 0 0 0 0 0 0 0 0 0 0 0	7 500000000	
		63
211 MAMMAMM MAMMAMM	9 9 9 9 9 9 9 9 9 9 9 9 9 9 9 9 9 9 9	30000000
77 4 4 4 4 4 4 4	259	~ ************************************
20 pa pa pa pa pa pa pa pa 20	S being being being being	330
20 0 0 0 0 0 0 0 0 0 0 0 0 0 0 0 0 0 0	2000000000	000000000000000000000000000000000000000
	10	
M M M M M M M M	CHEHHHHH	22 00 00 00 00 00 00
N X X X X X X X X X X X X X X X X X X X	25 25 25 25 26 27 27 27 27 27 27 27 27 27 27 27 27 27	297 N N N N N N N N N N N N N N N N N N N
217	5 0 0 0 0 0 0 0 0 0	90 24 24 24 24 24 24 24 24 24 24 24 24 24
211 2 V V V V V V V V V V V V V V V V V	253	295
NAMMAMMA MAMMAMMA MAMMAMMA MAMMAMMA MAMMAM	252	9 2 2 3 3 4
60 1 1 1 1 1 1 1 1 1 1 1 1 1 1 1 1 1 1 1	22	26 Early 12
S N N N N N N N N N N N N N N N N N N N	25 5 5 5 5 5 5 5 5 5 5 5 5 5 5 5 5 5 5	292
888888888	**	291
206	25 EXXXXXXXXX	290 MMMMMMM MMMMMMM
	247	000 E-1
202 202 203 203 203 203 203 203 203 203	246 XXXXXXXXXXXXXXXXXXXXXXXXXXXXXXXXXXXX	20 20 20 20 20 20 20 20 20 20 20 20 20 2
	3 \$ \$ \$ \$ \$ \$ \$ \$ \$ \$ \$ \$ \$ \$ \$ \$ \$ \$ \$	⊇ <u>క్రొన్గోన్గోన్గోన్</u> లో
e ~ 2323233	e ~2929299	e ~ 2222223
Número EU 6078 778.v2HC-Cy 778.v3HC-Cy 778.v3HC-Cy 778.v4HC-Cy 778.v4HC-Cy 778.v4HC-Cy	TV32822	m 2228.824 35
Número EU 6078 6078.v2HC-Cys 6078.v3HC-Cys 6078.v3HC-Cys 6078.v4HC-Cys 6078.v4HC-Cys	Número EU 6078 6078.v2HC-Cys 6078.v3HC-Cys 6078.v3HC-Cys 6078.v4HC-Cys 6078.v4HC-Cys 6078.v4HC-Cys	Número EU 6078.v2HC-Cys 6078.v2LC-Cys 6078.v3HC-Cys 6078.v3HC-Cys 6078.v4HC-Cys 6078.v4HC-Cys
@ @ @ @ @ % %	\$0\$0\$0\$0	00000000000000000000000000000000000000
		(0)

6 6 6 6 6 6 6 6 6 6 6 6 6 6 6 6 6 6 6 6		
370	4	
369 3 0 0 0 0 0 0 0 0 0 0 0 0 0 0 0 0 0 0 0	4	
888911111111111111111111111111111111111	Данананан 4	
£00000000	© MAMMAMA 4	
386 36	\$6 0 0 0 0 0 0 0 0 0 0 0 0 0 0 0 0 0 0 0	
8		
ឌី	4 06 1 1 1 1 1 1 1 1 1 1 1 1 1 1 1 1 1 1	
363 3 V V V V V V V V V V V V V V V V V V	0 8 8 5 5 5 5 8 8 5 5 5 5 0	
362 20 20 20 20 20 20 20 20 20 20 20 20 20	eds. CD En En En En En En En En En En en.	44 5 5 5 5 5 5 5 5 5 5 5 5 5 5 5 5 5 5 5
SZEZZZZZ		4 4 4 4 4 4 4 4 4 4 4
SE MAMMAMM MAMMAMMAMM	200000000	# S S S S S S S S S
O) 10 EH EH EH EH EH EH EH EH 10	9999999	* 1111111111
	94 90 80 80 80 80 80 80 80 80 80 80 80 80 80	4 0 0 0 0 0 0 0 0 0 0 0 0 0 0 0 0 0 0 0
мымымы ма Эмынымы	938	4.1111111111
to be be be be be be be be	398	44 0 0 0 0 0 0 0 0 0
E RRRRRRR E RRRRRRR E RRRRRRR E RRRRRRR E RRRRRRR E RRRRRRR E RRRRRRR E RRRRRR E RRRRRR E RRRRR E RRRRR E RRRRR E RRRR E RRRRR E RRR E RRR E RRR E RRR E RRR E RR E R E	397	S K K K K K K K K K K K K K K K K K K K
ដូលសសលលលល	0. 2. 4. 4. 4. 4. 4. 4. 4. 4. 4. 4. 4. 4. 4.	数 0 0 0 0 0 0 0 0 0 0 0 0 0 0 0 0 0 0 0
	50 01 01 01 01 01 01 01 01	& \$EPFFFFFFFFFFFFFFFFFFFFFFFFFFFFFFFFFFFF
352	3 5 5 5 5 5 5 5 6 7 7 8 7 8 8 8 8 8 8 8 8 8 8 8 8 8 8 8	M K K K K K K K K K K K K K K K K K K K
Бчечччечч	393	435 H H H H H H H
S = = = = = = = = = = = = = = = = = = =	C MMMMMMMM	\$ ZZZZZZZZ
85 M M M M M M M	391 Y Y Y Y Y Y Y Y Y Y Y Y Y Y Y Y Y Y Y	433
& P P P P P P P	o zzzzzz	& 2 2 2 2
\$ 00000000	00 E E E E E E E	431
% 5 6 7 7 8 8 8 8 8 8 8 8 8 8 8 8 8 8 8 8 8		& ENDERED ENDE
ed to the test test the the test test	© 44 54 54 54 54 54 54 54	2000年年年年年年
34 24 34 34 34 34 34 34 34 34 34 34 34 34 34	\$ \$ \$ \$ \$ \$ \$ \$ \$ \$ \$ \$ \$ \$ \$ \$ \$ \$ \$	00 7 7 7
% 444444444444444444444444444444444444		427 V V V V
342	o zezzzzz	2 000000000
. 147 0 0 0 0 0 0 0 0 0 0 0 0 0 0 0 0 0 0 0	 	200000000
A MAMMAMA E	C M M M M M M M M M M M M M M M M M M M	4 2 2 2 3 3 3 3 3 3 3 3 3 3 3 3 3 3 3 3
n ञूबबबबबबब		**************************************

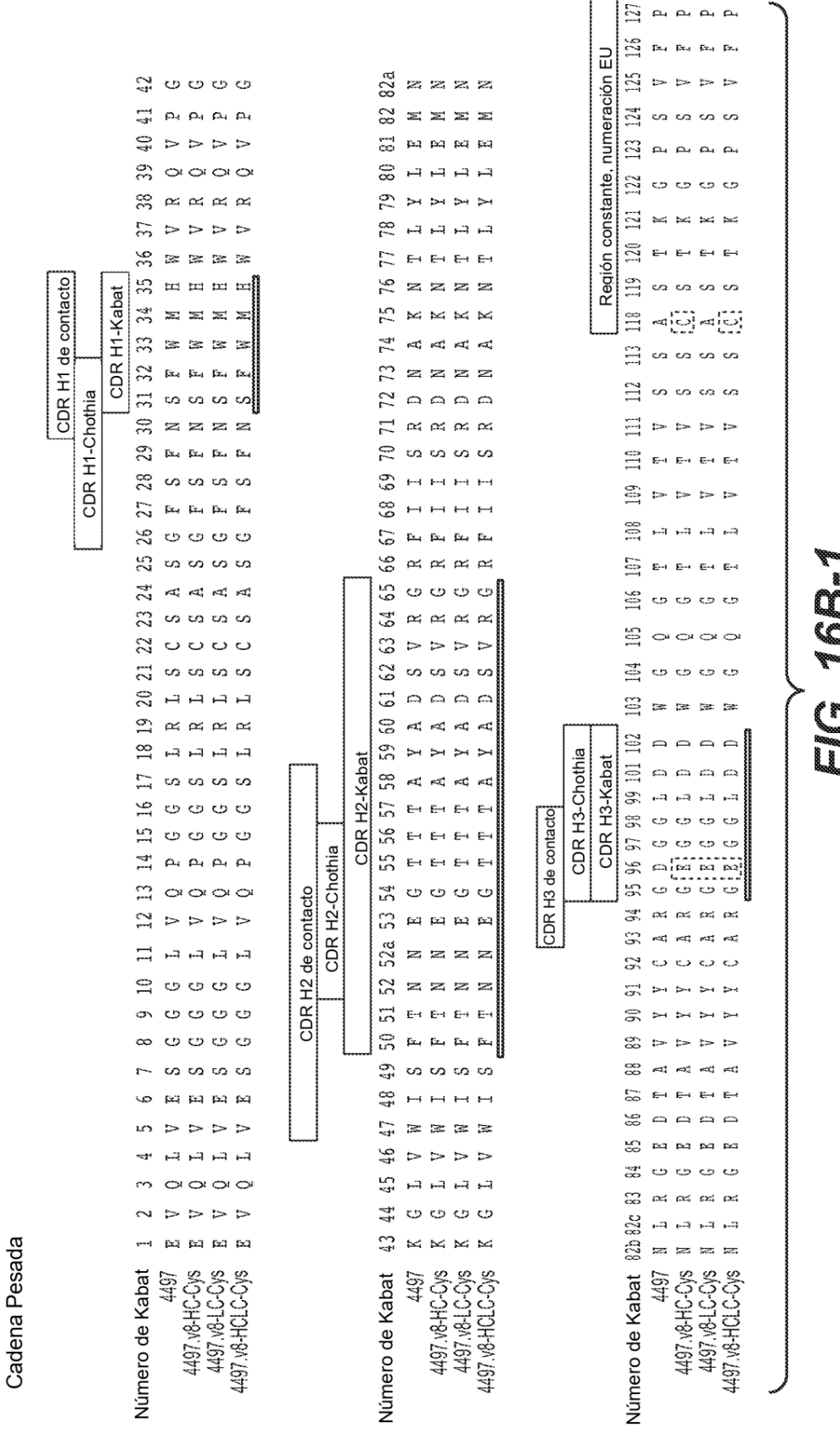
C M M M M M M M M M M M M M M M M M M M		1 422 V V V V V V V V V V V V V V V V V V V
33,7	3 379	LINNNNNNNNNNNNNNNNNNNNNNNNNNNNNNNNNNNN
336	278 278 278	420 6 6 6 6
335	22.	# 000000000
SEMESEMESE	200000000	# 000000000000000000000000000000000000
co per per per per per per co	£ 0 0 0 0 0 0 0 0 0	end Dan Dan Dan Dan Dan Dan Dan Dan Tend
	374	Taxxxxxxxxxxxxxxxxxxxxxxxxxxxxxxxxxxxx
E	C >> > > > > > > > > > > > > > > > > >	# 000000000
	C	A X X X X X X X X X X X X X X X X X X X
Número EU 6078 6078.v2HC-Cys 6078.v3HC-Cys 6078.v3HC-Cys 6078.v4HC-Cys 6078.v4HC-Cys	Número EU 6078 6078.v2HC-Cys 6078.v2LC-Cys 6078.v3HC-Cys 6078.v4HC-Cys 6078.v4HC-Cys	Número EU 6078 6078.v2HC-Cys 6078.v3HC-Cys 6078.v3HC-Cys 6078.v4HC-Cys 6078.v4HC-Cys
- 연구주주주주주주	Ē&주주주주주주	555555°°
Número EU 6078 778.v2HC-Cy 078.v2LC-Cy 078.v3LC-Cy 078.v4HC-Cy 078.v4HC-Cy 178.v4HCLC-Cy	Número EU 6076 778.v2HC-Cys 978.v2LC-Cys 778.v3LC-Cys 978.v4HC-Cys	Número EU 6078 778.v2HC-Cys 778.v2LC-Cys 778.v3HC-Cys 778.v4HC-Cys 778.v4HC-Cys
Número EU 6078 6078.v2HC-Cys 6078.v3HC-Cys 6078.v3HC-Cys 6078.v4HC-Cys 6078.v4HC-Cys	Número EU 6078 6078.v2HC-Cys 6078.v2LC-Cys 6078.v3LC-Cys 6078.v4HC-Cys 6078.v4HC-Cys	Número EU 6078 6078.v2HC-Cys 6078.v3HC-Cys 6078.v3HC-Cys 6078.v4HC-Cys 6078.v4HC-Cys
60 60 57 60	600	6077

Las secuencias de CDR de acuerdo con la definición de Kabat están subrayadas Cadena Ligera

	1		· œ							00	. 7	. 7		. 7				120	٥.	tri	ο.	٥.
acto			,	31 IS						77 78			S					3 12	1-4	1-14	1-44	141
Sont	-			2 2		88				767			E⊣					Ξ	ርጣ	ΕH	D.	ρ·ι
de contacto				-i	-	, T				75	ы	; —;	H	₩				118	Бъ	بنتآ	إندا	Ez-
Ξ			32	نہ ت	-					7	E	E⊣ŧ	E	€⊸			B	117	} 1	11	II	} 1
CDR H1			31	z 2	z	z				73	⊷∃	⊱-7		- ∓				116	F2-4	Ez.	[in.,	Çr.,
				×; ;×	: 14	×				72		£ +	E-4	E⊣			erac	115 1	Ν	£>	Δ	\triangleright
				2 2	1 22	Z				7.1	Cz.,	ĒΞ	استط	Fit			mnu					
				nt pr	i pci	æ				70		\Box					Je,	3 114		S		
	thia	at	C-3	വ വ	S	S				69	E⊣	E⊣	E⊶	£ →			star	2 113	д	ρų	e.	വ
	Cho	-Kak	27e	⊢ €	4 E-4	⊢				68	G	Ö	9	Ü			8	112	Ø	κÇ	κÇ	κĽ
	CDR L1-Chothia	CDR L1-Kabat	773	z o	: rz	~				67	[iz.,	ĒΞ	بنتا	Įž.,			Región constante, numeración	Ξ	Ø	κÇ	KÇ	A.
	K	CDF	6.3	ica fic	. Fr.	r					rn	ch	9	rb			Re	110	\triangleright	C>	Δ	\triangleright
					4 (0-0-0)	, , ,							_	_				109	₽	₽	E	₽
			27b	→ 	+ 1-4	!-!!!!				65	S	ະລ	ເນ	S				108]	<u>~</u>	œ	വ	24
			27a	y) c	S	23				64	O	ල	G	O			L	•				
			27) C	N O	O.				63	S	£Ω	S	တ				6 107		M		
			56	ນແ	ິດ	S				62	استنا	Çz.,	Ez.	Er.				106	! 1	ii	II	hI
			_	ນີດ	s cs	ಬ					œ	œ	p4	æ				105	pq	βCI	(Sel)	r:q
			24	× ×	×	\bowtie				09				Ω				104				,I
				ے د	ر د	ບ້				59	ы	Ċ,	വ	P)				103	\simeq	Ы	×	×
				2 2						58			\wedge					102	E⊣	E1	E-1	E-4
			64							6 57			9	ខ				101	5	9	9	9
			_	T E	. 44		Γ	а		55 56			S	33				100 1		Õ		
				× c				CDR L2-Chothia	CDR L2-Kabat	54.5			24	33				99 1		5		<u>ت</u>
				ing pa	1 p.3	5 -2		2-C	7-Z-	53	E-4	E⊣	E-4	€→ ₩				98		Ex.		ļīz.,
			91	ۍ ر <u>ي</u>	9 (5)	O	contacto	RL	JRL	25	رد درت	S	cs	ಜ		[97	E	E⊣	E	E⊣
			Ξ.	- i		- 7	cont	CD	ਹ	5	M	κŢ	W.	Ą	g	<u>a</u> .	٦ŧ	95 96	Α.	∴	Σ.	⊳
			7 0	S C	s co	വ	L2 de			50	×	×	3	×	CDR L3 de contacto	CDR L3-Chothia	CDR L3-Kabat	949	e.	ы	ы	p.,
			C :	> >	· >	Δ	2 L2			49	m	æ	H	m	e cc	3-C	L3-	93	S	ŝ	ಬ	S
			12	Q N	G AG	ď	CDR			400	Н	5— i	H		L3 d	JR.	DR	1 92	Ec.	Ez.	Es.,	Ex.
						 1				7	F	₊ i	F-7	 -	DR	2	O	90 91	ŏ	oi Oi	□	⊙
			10	ນແ	S	S				46	⊢ 3	}- ⊒	 -1	- 7	0			89 9		Ö		
			00 (a c	0						DC;	ದಳ	D4	ΩĆ				80	ပ	C	O	ن ت
			တင	7' 'C	4 124	<u>α</u>					Д	Ċ,	Д	e L				86 87	Y		⊱∹	:>-1
				20 C/						43			D-I					5 86	⊶	>- 1	> -	> -
										1 42			Õ					84 85	A	 ~	N.	Z.
										-			Ъ					83		٥		>
													nz;					82	Ω	a		Ω
				-1 F									o i					2		Œ		
) 						37 3			Oĭ.					9 80		A.		
																		79		ŏ «		
			abat	£ 5	ػٛػٛ	Š				bat	4497	္ဂိံ	Š,	Š				abat	4497	္ဂိ	Š	Š
			ē Ķ	Ξ,	2 C S	25				e Ka	•	웃	9-FC	$\frac{1}{2}$				e K	-	웇	278	000
			o o	7449/ 7487 v8-HC-0ve	97.79	₩-₩				ro de		97.14	97.v	85 T				o d		97.16	97.76	₩- ₩-
			Número de Kabat	AAK	4	4497.v8-HCLC-Cys				Número de Kabat		44	4497.v8-LC-Cys	497.				Número de Kabat		4497.v8-HC-Cys	7	497.
			Z			-4				ž				4				Z				4.

Número EU								128	129	~	131	132	133	134	135	135												148 149	, ,	, ,	1 152	153	154	155		C~~.	~		-		
4497 4497.v8-HC-Cys	ശശ	9 9	Pc3 Ex3	O1 O1		M M	CO CO	50 50	E-4 E-4	r<0 r<0	വ വ	D D	> >	ಲ ಲ		ᆔ	zz	2 2	Ex-1 Ex-1		타마	ജജ	ह्य ह्य	লল	bci bci	D = D	04 04	9E 8E	E> E>	00	zz	ସସ		O1 C1	വ ഗാ	00	× ×	010	Ed Ed	SO 50	
4497.v8-LC-Cys							တ	50	E1	×17	ξQ	Ď-	;>	C	⊷	H			Ex.4														p-21	Ċ,							
4497.v8-HCLC-Cys							S	C.D	E4	ra;	בט	ĥ	Þ	C	H	ᅼ			Ex.4														, ;	Ö							
Número EU	163			166 1	167	99		170		172	173	174	175	12	117	178	6	08	18	182	183	(F)	185		187	388	189 1	90 191					196	197				201 202	12 203	3 204	
4497										E-4		S	H		S																		₽.	E-4							
4497.v8-HC-Cys		<u>E</u> -4	pc]				100	<u>_</u>	C/3	E-4		S			Ç/C													<u>124</u>	Δ.	×17	ບ	t×1	٥	E-4	ja sej	Ö	 C)				
4497.v8-LC-Cys							≥ ≤			E⊶		ഹ	H		c\2																		:- -	E							
4497.v8-HCLC-Cys							Mi			E⊶		S	,⊐		S																			E1							
Número EU				208 2		210			213	214																															
4497		E-4	×		Ē7-1		04	C	(F20)	ري																															
4497.v8-HC-Cys									[SC]	C																															
4497.v8-LC-Cys							œ		1×1	C																															
4497.v8-HCLC-Cys	S						ρs	C	(Sec)	O																															
,																																									
***************************************	***************************************		-			***************************************	NACOURAL PROPERTY.				-	None and the second	*	None and a second	None and the second	-	Name of the least	and the second	1	*	GUARAGE AND AND AND AND AND AND AND AND AND AND		UNIVERSE OF THE PERSON OF THE	NAME OF TAXABLE PARTY.		NOODOODOOO								-	-			NAME OF TAXABLE PARTY.		1	
																40	8	1	>	*	<	*	<																		

FG. 184-2



05 05 05 05 ---Ex. Ex. Ex. Ex. Ext Ext Ext Ext 82 82 82 444 20 20 20 20 5555 0000 S S S S 4-11-11 9999 8 S S S ппын 439 M M M M 64 64 64 \$ E E E E ----E-4 E-4 E-4 E-4 bci bci bci bci 432 L L L L L בי בי פי פי 5555 422 V 4497.v8-HC-Cys 4497.v8-LC-Cys 4497.v8-HCLC-Cys 4497.v8-HC-Cys 4497.v8-LC-Cys Número EU 4497.v8-HCLC-Cys

408

404

402

(---) (---)

400

397

395

333

392

390 391

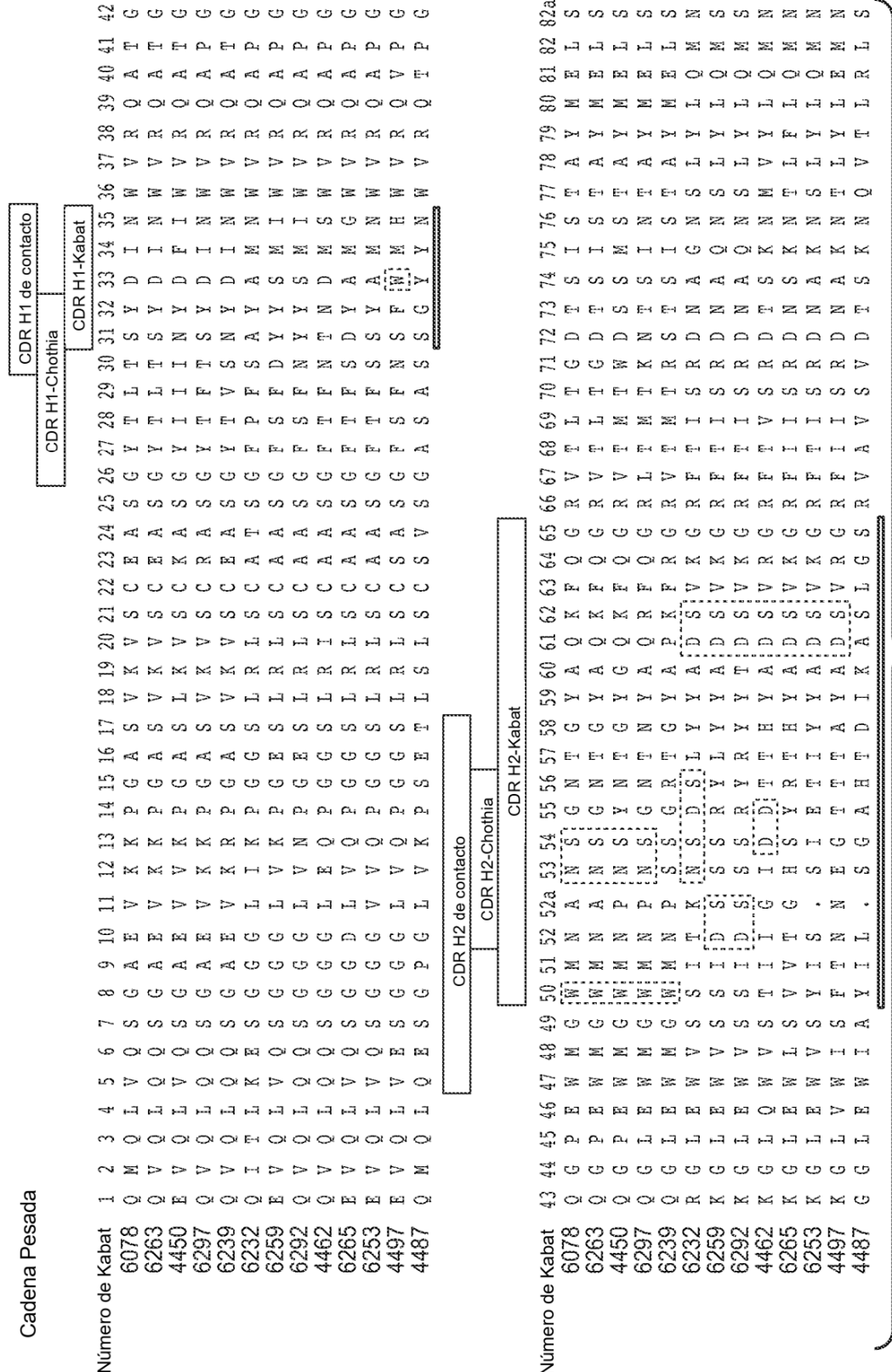
385

Número EU

(~~)													
203		လ											
207	വ	S	S	ß	വ	S	S	S	വ	S	S	S	വ
201	- -1	11	ı5	⊱- ∓I	- -⊣	r7	ئت	⊱-7	7	r7	اسخ	⊱-7	}7
200	CD	Ç	てり	C	CD	O	C	CD	CD	O	CD	C	Ö
199	CX	0	O ²	O	O	Oi.	O ₁	0	O	O	C)	0	O
86	ш	=	ш	田	ш	Ħ	ш	щ	н	ы	ш	щ	ш
6	F	Ę-,	€	e-	E⊸i	E-4	E	5-1	E⊶	₽	Ę.,	۳	E⊶
9	1	>	-	>	12	۸	<u></u>	^	12	Δ	<u>~</u>	⊳	M
95	[3:]	(5c)	(Se S	[22]	[3:2]	(×1	(Sec)	[2:3]	[3:2]	[×]	Ec.3	(2×2)	[3:3]
3	ی	ر.	د.>	رح	J	c)	c	رح	ی	ر ر	C	رح	رح
83	rcC;	×11	ro;	r <c< td=""><td>r<c< td=""><td>re:</td><td>rati</td><td>кÇ</td><td>κÇ</td><td>r.T.</td><td>rati</td><td>r<c< td=""><td>r<c< td=""></c<></td></c<></td></c<></td></c<>	r <c< td=""><td>re:</td><td>rati</td><td>кÇ</td><td>κÇ</td><td>r.T.</td><td>rati</td><td>r<c< td=""><td>r<c< td=""></c<></td></c<></td></c<>	re:	rati	кÇ	κÇ	r.T.	rati	r <c< td=""><td>r<c< td=""></c<></td></c<>	r <c< td=""></c<>
92.1	5-4	≥ -1	⊳ ⊣	⋈	5-4	⋈	⋈	⋈	5-4	⊶	⋈	⋈	5-4
191	Þ	>	: >-	>	>	⊳	⊳	>	>	!>	⊳	>	>
8	×	تحة	24	24	×	i×i	24	₩	×	<u>:×</u> ;	24	24	×
99.	ш	四	ш	=	ш	ш	ш	ш	ш	ш	ш	=	ш
Ç1													
188	25	1	×	124	24	24	⋈	×	24	×	×	×	22
00	(m)	122	5223	(xc)	tw:	i×1	(2x2)	(Caril	(x)	i×1	5x3	(xx)	(x:)
90	~ →	~	5-4	~	~	~	M	×	~	~	M	~	~ -
<u></u>		Ω	Ω	Ω		Ω	Ω	a		Ω	Ω	a	
CXD	κď	est.	ro;	≈C	κC	rest.	1	≪C	κű	es;	ro;	≪C	κC
183	24	24	b<	issi	24	M	×	×	24	×	×	izi	24
28	C/J	S	S	ŝ	c/2	S	S	S	ಬ	S	S	ŝ	S
8	ونام	ş-⊒				-3							
2													
		E-4											E1
179	H	⊷	H	Н	F	₽	H		F	, –7	H	H	F
173	E-⊀	E1	E1	E-⊣	E-∹	E1	E- -4	E⊣	E∹	E1	E-4	E-4	E-⊀
133	S	Ś	വ	S	S	ß	വ	S	S	S	വ	S	S
176	S	ťΩ	בעז	Š	S	ξΩ	C/2	တ	S	S	ເລ	တ	S
175	r3	⊱- 3	 3	r7	;:3	p-31	1	17	,	⊱ -7	- -1	ı7	F7
E	c/3	S	S	S	S	S	S	S	S	S	S	S	S
55	~	Y	ъ.	M	M	X	₩.	×	X	M	₩.	×	M
172.1	E1				Ei				E1		E-⊰		F1
71 1		5/2								-			
		01							0.1	01	02	01	01
	\Box		\hookrightarrow										
160	bei	bci	1	Þ.	kci	bci	M	Mi	kci	bc;	M	Þ.	be;
160	Ċ	S	Ś	Ś	Ś	S	S	Ś	Ś	S	S	S	ŝ
167				9	9	Ω		0	0	Ω	Ω	a	
166	C)	0	C)	0	O	O.	O.	0	C)	Ö	C)	0	O
165	D-2	ÞЭ	Er2	DZ3	p=3	ÞΩ	pc;	p=3	pag.	ÞЭ	Dr.2	DZ3	D-C
56	Ę	Ē	E	E-1	E-4	E⊣	E∹	E-4	Ę	£⊣	E	E⊸ı	E-4
163	Á	>	<u>-</u>	Λ	ň	٨	<u></u>	Λ	Á	٨	A	Δ	Á
73	S	5/2	r/2	co	S	ξΩ	ري دري	တ	S	S	r/2	co	S
Ĕ	078	6263	45	29.	33	23,	25	29,	462	26	2	49	48
Jerc	Õ	ഗ്	ৰ্	ග	ග	Ø	ഗ്	Ś	4	ഗ	ഗ്	4	4
lún													
_													

7.7	€,	ಲ	ی	ں	ಲ	ی	ی	ں	ی	:)	ی	ں	ئ	
213	pag	Dell'	E-I	5-2	psq	Cc3	E-Z	<u>12-2</u>	P-3	De3	<u></u>	E=3	PCI	
212	C.D	5.5	てラ	C.D	CD	5.5	CD	CD	C	CD	C.D	C	C	
211	cri	œ	œ	OS.	czi	œ	ps;	DE.	œ	œ	œ	æ	cri	
210		ķe;	1225	1225	0-12	225	225	22	525	225	225	22	525	
200	De-1	Ç17-1	For-4	Ec.,	Cc.,	Ç2-1	F25-4	Ex.	Ec-1	Ç2-1	Ex-4	Ec.,	Ec.,	
208	Ś	S	ca	C/3	ŝ	S	ŝ	C/C	ŝ	S	Ś	S	S	
201	bei	bei	hei	loc;	ð.	be;	lec;	is≼	b≤i	Þ¢;	issi.	b<	be;	
206	E÷-1	₽	E1	£	Æ⊣	€	E	۶	₽	₽	E	⊱⊣	₽	
203	-		-	-	-		\sim	! >>	>		\triangleright	>	-	÷
204	c.	മ	D.	C),	e,	ರ್	ы	C-4	o.	24	ы	c,	വ	
Número EU	07	6263	45	23	23	23	25	23	46	26	25	49	48	

* La posición 205 EU de cadena ligera marcada con asterisco se puede cambiar por Cys para la conjugación del



			. 112	S	ťΩ	va (on co	ນະທ	K/G	OB 6	מש בע	2 6/2	ı va			158	(See	Ç.	jar:	D# D	r [4:	i jar	De:	Ces	jas jas	Des Des
							>- \$>				:- <u>:</u> =															ໝະ
			(7)				E									55 156				[>- E					b> b>	
							> ⊳ ====									54 15				E-1 E >					> = =	E-1 E-1
			Con-													3										ρ. ρ.
			106 J G	0	Ġ	٠,		. 6	9	٠ ري		, •	. 55			152	Çaci	tec)	1203	(Cac) Ca	or peop	lac3	peop	(rec)	bel bel	[0e0] [0e0]
			195 R	œ	O	Ŏ,	<u>ن</u> د	, O	ŏ	<u>ن</u>	O C	×	, O			151	p.	£L,	t	טי נ	ų pu	Ð	Ωı	p,	בין ובין	D1 D1
			*	9	50	9		, 59	3	<u> </u>		· "	9				Exa	Cx	£x-1	Day D	d Ex-	(Z.)	[2 ₄	Ex.	Çx-ı Çx-ı	Er Er
;				34:	DE:	er (360 (360	: (38:		D# (36: 38: 	: 50	: [38	.		3 149										PH PH
			V1		Δ.	D :	> >	1 5⊶	Y	Eur 1	> .v.	-				,,										99
				Ω	Eco	Ω,	9 6	Ω		C) I	⊃;≈		-													× ×
,			i 100j	•	•			Ex.	Ex.4	•			•			,	\sim		D>	l> b	× [>		>		> >	= =
			1001	•	• ;	363	· ©	· 124	Ω·	•	•		•			145	H		⊷				П		, r	
			100h	•		ۍ :	· Ω	ρ:	es:	•	•															00
			100g F	124	-	≥ 1	-i -	. 0	C)	•	~					143	CD	(5)	CO	(D (י כי	9	Ö	5	99	50 50
	а	Ţ	=	>-1	•	~ ;	321 ·	S	ca	٠	•					142	H	ıП	⊣		→		H	⊢ ⊐		디디
	CDR H3-Chothia	H3-Kabat	100e R	œ	•	⋈ :	>- ·	. 0	Ċ	٠	٠ ٢					141	M	rξ	rest;	re pr	C PC	N	W	K	rs rs	re re
ę	3-C	43-K	100d G	C	•	⊳₁;	z 1	ο:	O ⁱ	٠,	in o					140	ect;	rest;	ra;	est es	G 🗠	rat;	rac;	r <c< td=""><td>es es</td><td>rsc; rsc;</td></c<>	es es	rsc; rsc;
ntac	RH	CDR	1 1	,		pet t	. ري	• ⊳⊣	>-1	. 1	ia o		. 🗀			139	E-⊀	E⊶	E)	E-4 €	E	E)	E-4	E-≺	E E	E-4 E-4
de contacto	2	Ö	1005	×1;	S	0	.α E	· :>	-	-[= -	, .	ഹ			13%	G	CD	O	co c	5 C5	0	C)	5		50 50
H3			100a G	9	H	E-4	<i>i</i> n ≪	: 02	(C)	- [= -		- ⊳⊲			137	9	0	S	<u>ت</u>	9 6	0	Ð	9	ල ල	9 9
CDR			19 R	ΩS	- □	e l	⊃ ×	; , -∃	- -3	- 1	ಅಶ	•	- 124			136	လ	S	ťΩ	ເລເ	3 C	i so	ഗാ	တ	ഗഗ	လလ
			99 >					,	,																	E-4 E-4
			97 98 I L					:					_ 3			~										M M
			96 s		,			:	:			;	: 1		П											(A) (A)
			55 vs					1	- 3				:		ión											ഗ ഗ
			2 rs	9	CK.	E 5	o≤ E-	, DC	e≈:	b< 1	× 0:	i ex	മെട	,	Numeración	130	Ð.	O-I	p.,	er e	. ρ.	ρ.,	£4	£.	er er	Eri Eri
			93 A	s <c;< td=""><td>r-C</td><td>~G</td><td>at 40</td><td>; rec;</td><td>rest.</td><td>Þ.</td><td>ac +ac</td><td>: 🗝</td><td>-</td><td></td><td>Nun</td><td>129</td><td>r=C;</td><td>кЦ</td><td>rT.</td><td>each ea</td><td>c ec</td><td>e e</td><td>NC.</td><td>r=C;</td><td>ৰা ৰা</td><td>raci raci</td></c;<>	r-C	~G	at 40	; rec;	rest.	Þ.	ac +ac	: 🗝	-		Nun	129	r=C;	кЦ	rT.	each ea	c ec	e e	NC.	r=C;	ৰা ৰা	raci raci
			95 2	ري	O	<u>ر</u> ،		O	رى د	<u>ن</u>		د د	0		g	128	(<u></u> -2	,	}-= }		i	}ï		()	F-1	, ₍₁
			91 Y	> ⊣	~	⋈ :	× >-	· >-	ĭ	⊳ ⊣ :	» »	-	, ».		ema					er e						בי בי
			96		⋈	⊳ :	>-1 b	, ;>-(>-1	⊳ ;	>- b-		• ⊳-		Sister									13-4	المن الكدب	الدا الدا
			3 89			> ;		· >	>	, FE-3	> b	· !>	E		le el	,,				i> :				!>	>	<pre>t> !></pre>
			87 87 88												usado											ы 8 8
			98 -													~										00
			₩ ₩												ıstar		~	≥4	×	1 24	s 22	. 🖂	×	× 1	× ×	MM
			84 S	(A)	C/J	s s	n Þ	· [>	-	> ·	~G C	. 0	≈ 5		00 (-	€⊶	Ę	ج	E→ E	- E-	£-i	E⊣	E → I	E E	€ → € →
			₩ 64	Ω:	E	ps 1	<u>-</u> → 6×	i osi	α	ns i	ns on	i pe	: ⊱-		Región constante	119	CO	S	ťΩ	K/A C	2 V2	ŀΩ	ķ	co e	ഗ ഗ	va va
			0.2c	r3	p2	,I ,		ı	F	}- - -1		9	>	l	R	118	er;	ke (C)	жC;	ret r	4 🗠	ĸC,	rati	est.	ec ec	লা লা
			82b S	S	ഗ	ഗ	ഗ ഗ	כט ג	est.	S (ν v.	2	လ			113	εΩ	ഗാ	တ	တင	2 02	က	S	SZ I	മയ	ഗോഗ
			abat 078	263	450	297	6239 6232	259	292	462	0200 6253	497	487			abat	078	263	450	297	232	259	292	462	253	4497 4487
			Número de Kabat 6078	6	4	(O)	စေ	ထ	ω,	4 (ညေထ	4	4			Número de Kabat	ထ	Ø	4	യ	တ	9	တ	40	တထ	ব ব
			о О													p 0										
			ime													mer										
			ž													Ň										

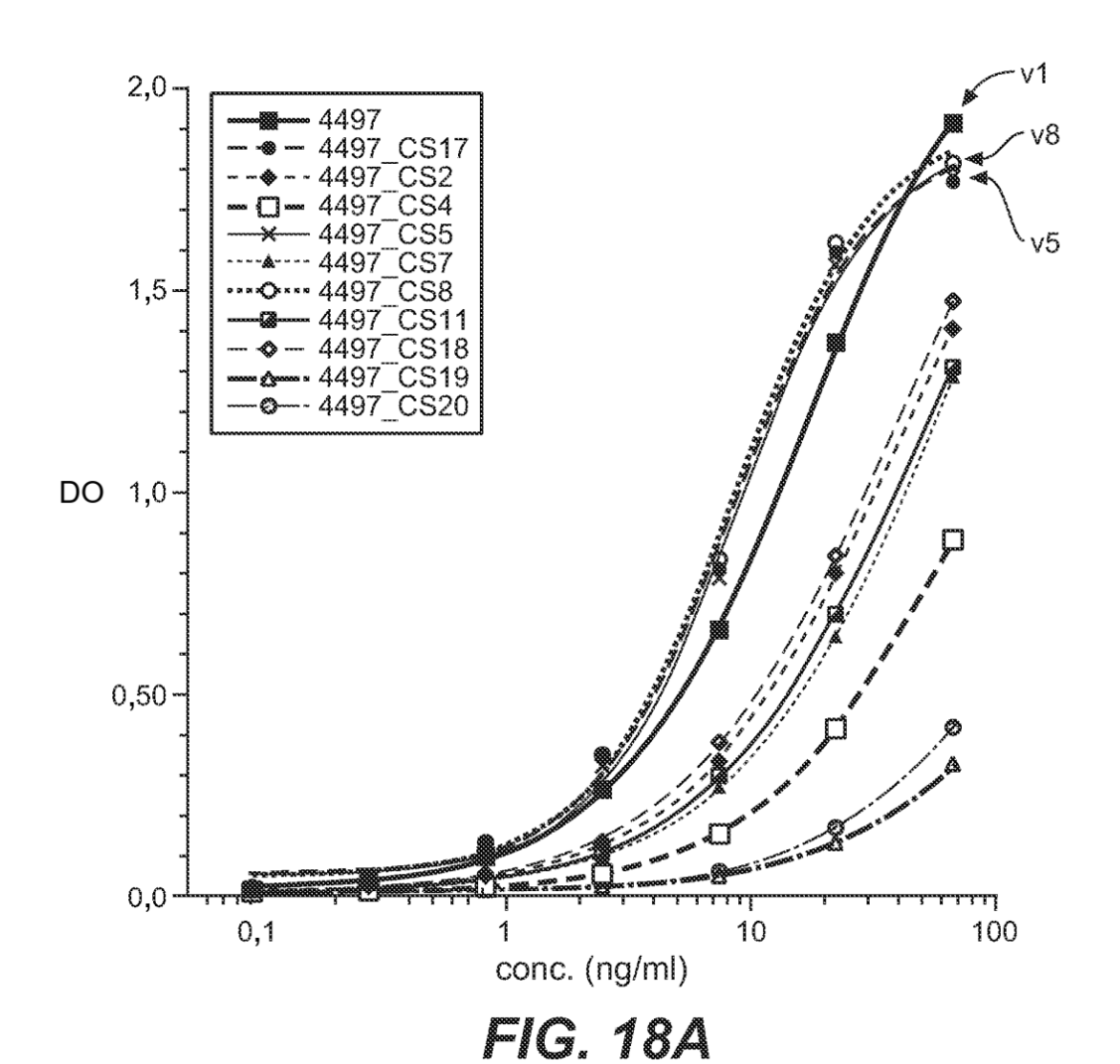
<u> </u>	4 4 4 4
90 100 100 100 100 100 100 100 100 100 1	
00 24 24 24 24 24 24 24 24 24 24 24 24 24	240 V V V V V V V V V V V V V V V V V V V
6 8 8 8 8 8 8 8 8 8 8 8 8 8 8 8 8 8 8 8	239
\$ 0000000000000	<u>2</u> 4 4 4 4 4 4 4 4 4 4 4 4 4 4 4 4 4 4 4
8 8 8 8 8 8 8 8 8 8 8 8 8 8 8 8 8 8 8	23,7
& ი ი ი ი ი ი ი ი ი ი ი ი ი .	236
<u>«</u>	233
\$ 0 0 0 0 0 0 0 0 0 0 0 0 0 0 0 0 0 0 0	23,
	रू इस स्त्रा
\$2 444444444444444444444444444444444444	~ ~ ~ ~ ~ ~ ~ ~ ~ ~ ~ ~ ~ ~ ~ ~ ~ ~ ~
200000000000000000000000000000000000000	98 444444444444444444444444444444444444
CO E E E E E E E E E E E E	573
980 0 0 0 0 0 0 0 0 0 0 0 0 0 0 0 0 0 0	223
000 00 00 00 00 00 00 00 00 00 00 00 00	227
# # # # # # # # # # # # # #	522000000000000000000000000000000000000
82 N N N N N N N N N N N N N N N N N N N	100 EM
	$^{22}_{4}$ m bit m m m m m m m m m m m m m
	223
M M M M M M M M M M M M M M M M M M M	22 2 2 2 2 2 2 2 2 2 2 2 2 2 2 2 2 2 2 2
6 деееееееее	22 0 0 0 0 0 0 0 0 0 0 0 0 0 0 0 0 0 0
\$ ⁷¹ 00000000000000	200000000000000000000000000000000000000
	239
000000000000000000000000000000000000000	
다 다 다 다 다 다 다 다 다 다 다 다 다 다 다 다 다	
CHARARARAAAA	Z M M M M M M M M M M M M M M M M M M M
	21 21 21 21 21 21 21 21 21 21 21 21 21 2
(**)	917
(2) En	
32 医耳耳耳耳耳耳耳耳耳耳	CA K K K K K K K K K K K K K K K K K K K
191	
900000000000000000000000000000000000000	
0 20 20 20 20 20 20 20 20 20 20 20 20 20	800000000000000000000000000000000000000
영 등에	25 0 0 0 0 0 0 0 0 0 0 0 0 0 0 0 0 0 0 0
56 444444444444	22 NEMERKEMEN ST.
	20 m m m m m m m m m m m m m m m m m m m
[8]	
900000000000000000000000000000000000000	7 7 7 7 7 7 7 7 7 7 7 7 7 7 7 7 7 7 7 7
	44821515815844088
Número EU 6078 6263 4450 6239 6239 6239 6259 4462 6253 4467 4497	Número EU 6078 6263 4450 6232 6232 6232 6232 6292 6292 4462 4467 4487
5 0 0 4 0 0 0 0 0 0 4 0 0 4 4	0 0 0 0 0 0 0 0 0 0 0 0 0 0 0 0 0 0 0
<u> </u>	μ
_	Z

20 0 0 0 0 0 0 0 0 0 0 0 0 0 0 0 0 0 0	
	<u></u>
1.280	
22 4 4 4 4 4 4 4 4 4 4 4 4 4 4 4 4 4 4	
The same same same same same same same sam	
CO Dea Cra Dea Dea Dea Cra Dea Dea Dea Dea Cra Dea Dea Dea	~ be
77 医医医尿尿医尿尿尿尿尿尿	316
	रत्ये तहा तहा हिन्दा
	电压压电压压压压压压压 (C)
	CON Den
2	8
25,000 20 20 20 20 20 20 20 20 20 20 20 20	
52	330
900000000000000000000000000000000000000	
8	© 6 6 6 6 6 6 6 6 6 6 6 6 6 6 6 6 6 6 6
26 0 0 0 0 0 0 0 0 0 0 0 0 0 0 0 0 0 0 0	
26 4 4 4 4 4 4 4 4 4 4 4 4 4 4 4 4 4 4 4	300000000000000000000000000000000000000
1 2 6 2 4 4 4 4 4 4 4 4 4 4 4 4 4 4 4 4 4	© 0 0 0 0 0 0 0 0 0 0 0 0 0 0 0 0 0 0 0
750000000000000000000000000000000000000	
0 5 5 6 7 8 8 8 8 8 8 8 8 8 8 8 8 8 8 8 8 8 8	
8 226	
50 par	
	% N N N N N N N N N N N N N N N N N N N
22	
	CO Det
	\$6 0 0 0 0 0 0 0 0 0 0 0 0 0 0 0 0 0 0 0
	2, En et ed en en en en en en en en en
200000000000000000000000000000000000000	<u>0</u>
© EN	2 0 0 0 0 0 0 0 0 0 0 0 0 0 0 0 0 0 0 0
<u>4</u>	<u> </u>
000 000 000	07 bd
24 4 4 4 4 4 4 4 4 4 4 4 4 4 4 4 4 4 4 4	ON EH
27 医复置医复复置置置置	00 84 84 84 84 84 84 84 84 84 84 84 84 84
2 2 0 0 0 0 0 0 0 0 0 0 0 0 0 0 0 0	in i
4 0 0 0 0 0 0 0 0 0 0 0 0 0 0 0 0 0 0 0	
(**)	
	44000000000000
no EU 6078 6263 6239 6239 6239 6259 6259 6259 4497 4487	0 EU 6078 6263 4450 6239 6239 6239 6259 6265 6265 6265 6265
Número EU 6078 6263 4450 6232 6232 6253 6253 4462 4467 4497	Número EU 6078 6267 6297 6297 6297 6295 6295 6295 6295 6295 6295 6295 6295
Μ	μ̈́
2	Z

% дааааааааааа	С аааааааааааа *
	O KKKKKKKKKKK
SO EM EM CO	
9 дааааааааааа	
2	
	LC? \$\infty\$ \(\text{Fr}_1 \) \(\text{Fr}_4 \
00000000000000000000000000000000000000	**************************************
6 MMMMMMMMMM 6	20000000000000
ON EH	<u>å</u> eeeeeeeeee
COC) अब्हा प्रकार प	
	© 5 - 4 - 4 - 4 - 4 - 4 - 4 - 4 - 4 - 4 -
100 04 04 04 04 04 04 04 04 04 04 04	
	© 0. 0. 0. 0. 0. 0. 0. 0. 0. 0. 0. 0. 0.
$\mathcal{L}_{\mathcal{L}}^{\mathcal{L}}$ on a contract of a contract of the contr	% ~ ~ ~ ~ ~ ~ ~ ~ ~ ~ ~ ~ ~ ~ ~ ~ ~ ~ ~
(C)	역성 (C) 문의 문의 (C)
335	CT) CT 문제 문제 CT?
도구 문국 문국 (건)	CO pel
\$7 PH	
\$ 0 0 0 0 0 0 0 0 0 0 0 0 0 0 0 0 0 0 0	
	\$ ZZZZZZZZZZZ
&	© 医尿尿尿尿尿尿尿尿尿尿
cal bed	
다. 	
<u>a</u>	8,0000000000000000000000000000000000000
# <pre></pre>	
# 0 0 0 0 0 0 0 0 0 0 0 0 0 0 0 0 0 0 0	ရွိသေလလလလလလလလလလ
	CO Date Date Date Date Date Date Date Date
(C) but	CO 直直直直直直直直直直直直
O	
CO	<u>~</u>
CO ped ped sed sed ped ped sed sed ped sed sed ped	E 0 20 20 20 20 20 20 20 20 20 20 20 20 2
33 33 33	
33	C 24 Pu
C) പെർവേവർവർവർവർവർ	25 E E E E E E E E E E E E E E E E E E E
932	33.
~ ~ ~ ~ ~ ~ ~ ~ ~ ~ ~ ~ ~ ~ ~ ~ ~ ~ ~ ~	
EU 178 150 150 150 160 160 161 161 161 161	22888888888888888888888888888888888888
no EU 6078 6263 6239 6239 6239 6253 6253 6253 4497 4487	io EU 6078 6263 6239 6239 6239 6259 6259 6259 4497 4487
orange 2000	Número EU 6078 6263 6293 6293 6293 6293 6293 6293 6293
N C	Ž

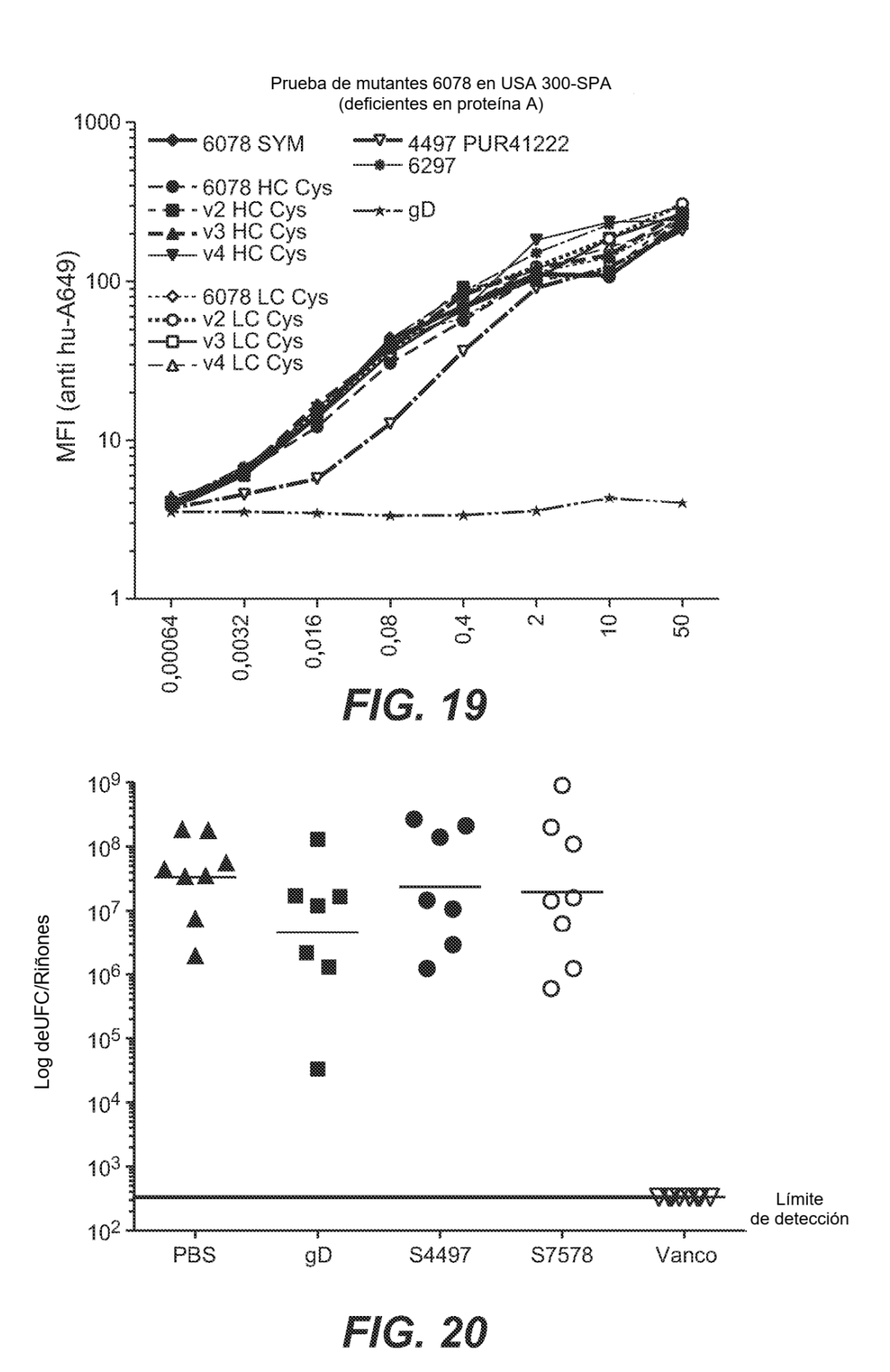
```
× × × × × × × × × × × × ×
<del>_</del>
<del>_</del>
<del>_</del>
<del>_</del>
<del>_</del>
<u>~</u> pa pa
\Sigma выпинининин
57 kg kg
  03 00 00 00 00 00 00 00 00 00 00
500000000000000
(*)
(*)
(*)
(*)
(*)
(*)
(*)
(*)
(*)
(*)
(*)
(*)
(*)
(*)
(*)
(*)
(*)
(*)
(*)
(*)
(*)
(*)
(*)
(*)
(*)
(*)
(*)
(*)
(*)
(*)
(*)
(*)
(*)
(*)
(*)
(*)
(*)
(*)
(*)
(*)
(*)
(*)
(*)
(*)
(*)
(*)
(*)
(*)
(*)
(*)
(*)
(*)
(*)
(*)
(*)
(*)
(*)
(*)
(*)
(*)
(*)
(*)
(*)
(*)
(*)
(*)
(*)
(*)
(*)
(*)
(*)
(*)
(*)
(*)
(*)
(*)
(*)
(*)
(*)
(*)
(*)
(*)
(*)
(*)
(*)
(*)
(*)
(*)
(*)
(*)
(*)
(*)
(*)
(*)
(*)
(*)
(*)
(*)
(*)
(*)
(*)
(*)
(*)
(*)
(*)
(*)
(*)
(*)
(*)
(*)
(*)
(*)
(*)
(*)
(*)
(*)
(*)
(*)
(*)
(*)
(*)
(*)
(*)
(*)
(*)
(*)
(*)
(*)
(*)
(*)
(*)
(*)
(*)
(*)
(*)
(*)
(*)
(*)
(*)
(*)
(*)
(*)
(*)
(*)
(*)
(*)
(*)
(*)
(*)
(*)
(*)
(*)
(*)
(*)
(*)
(*)
(*)
(*)
(*)
(*)
(*)
(*)
(*)
(*)
(*)
(*)
(*)
(*)
(*)
(*)
(*)
(*)
(*)
(*)
(*)
(*)
(*)
(*)
(*)
(*)
(*)
(*)
(*)
(*)
(*)
(*)

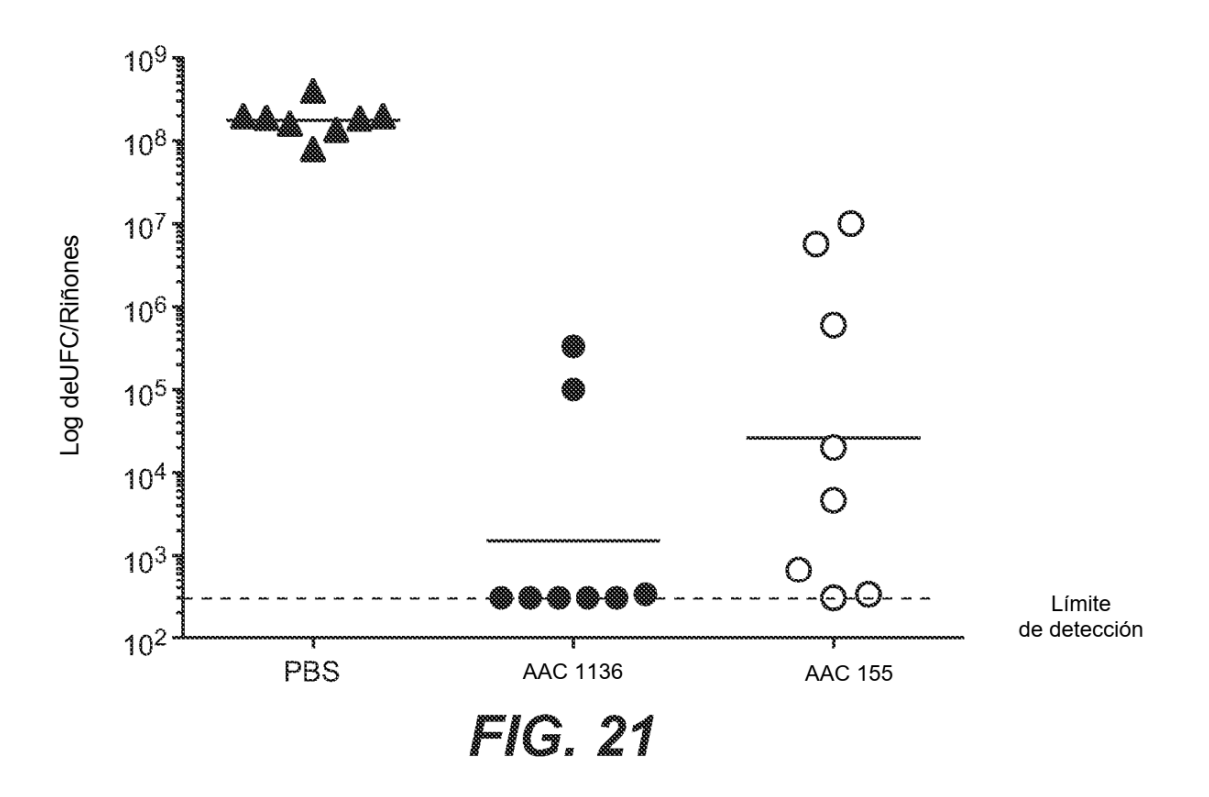
2 0 0 0 0 0 0 0 0 0 0 0 0
```

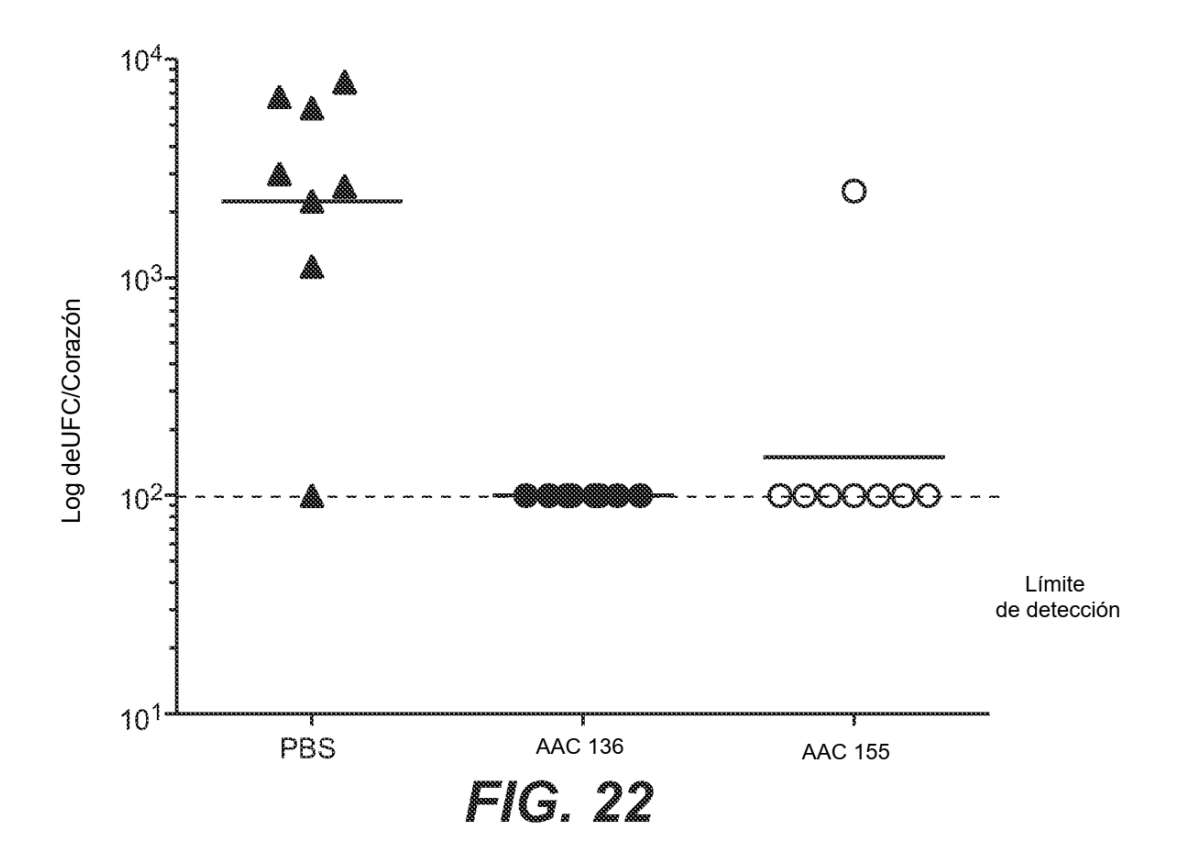


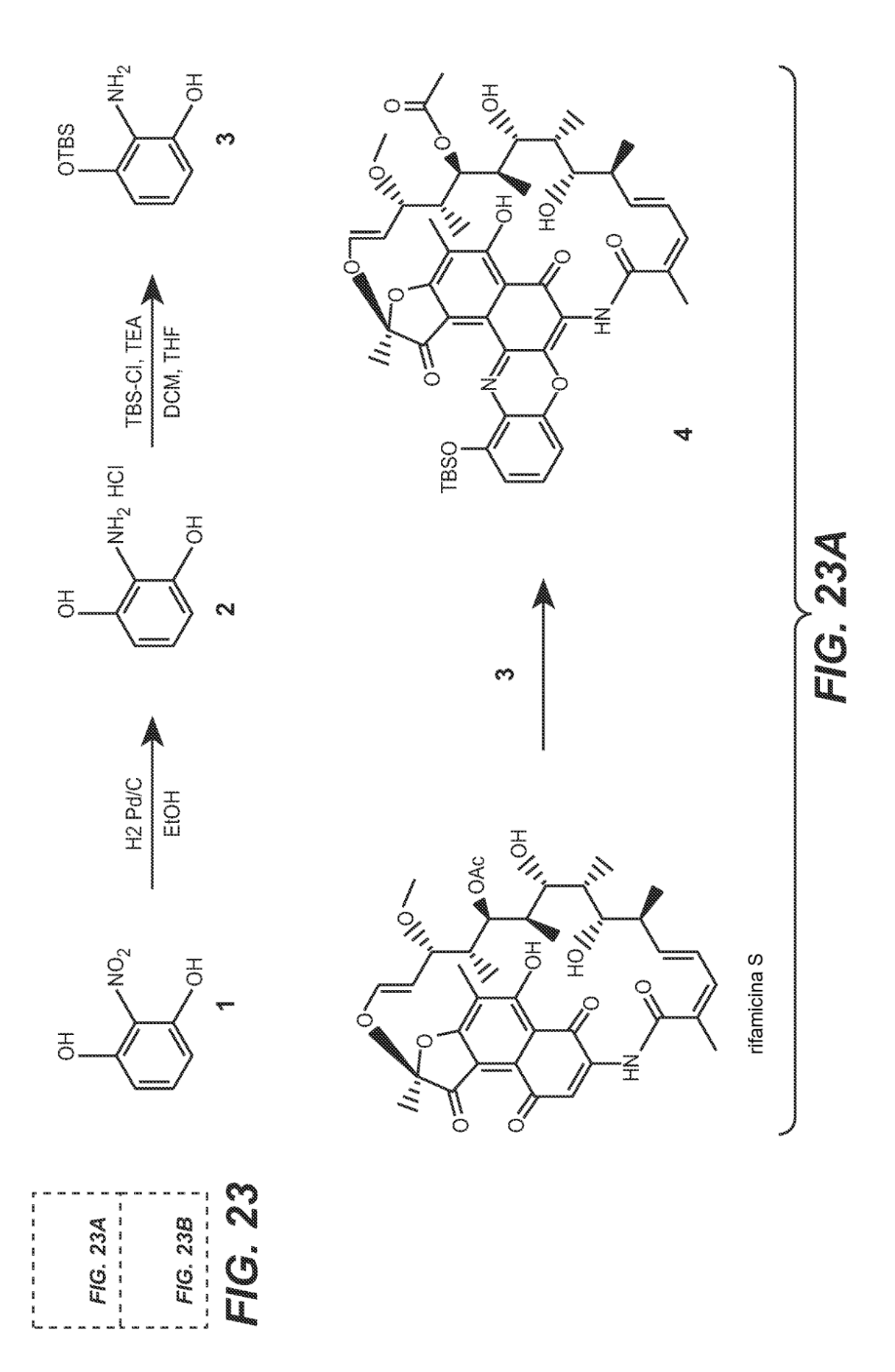
93 94 95 96 97 98 99 101 102 **ELISA** R G TS (v1) Α D G G D D +++ G D E v7 G v2 D Υ $\overline{\mathsf{D}}$ A $\overline{\mathsf{D}}$ ٧4 + v19 D Α E +/ν8 E G D +++ v20 E G Ē +/-A G ٧5 D ++ v11 Α G E + v18 G

FIG. 18B









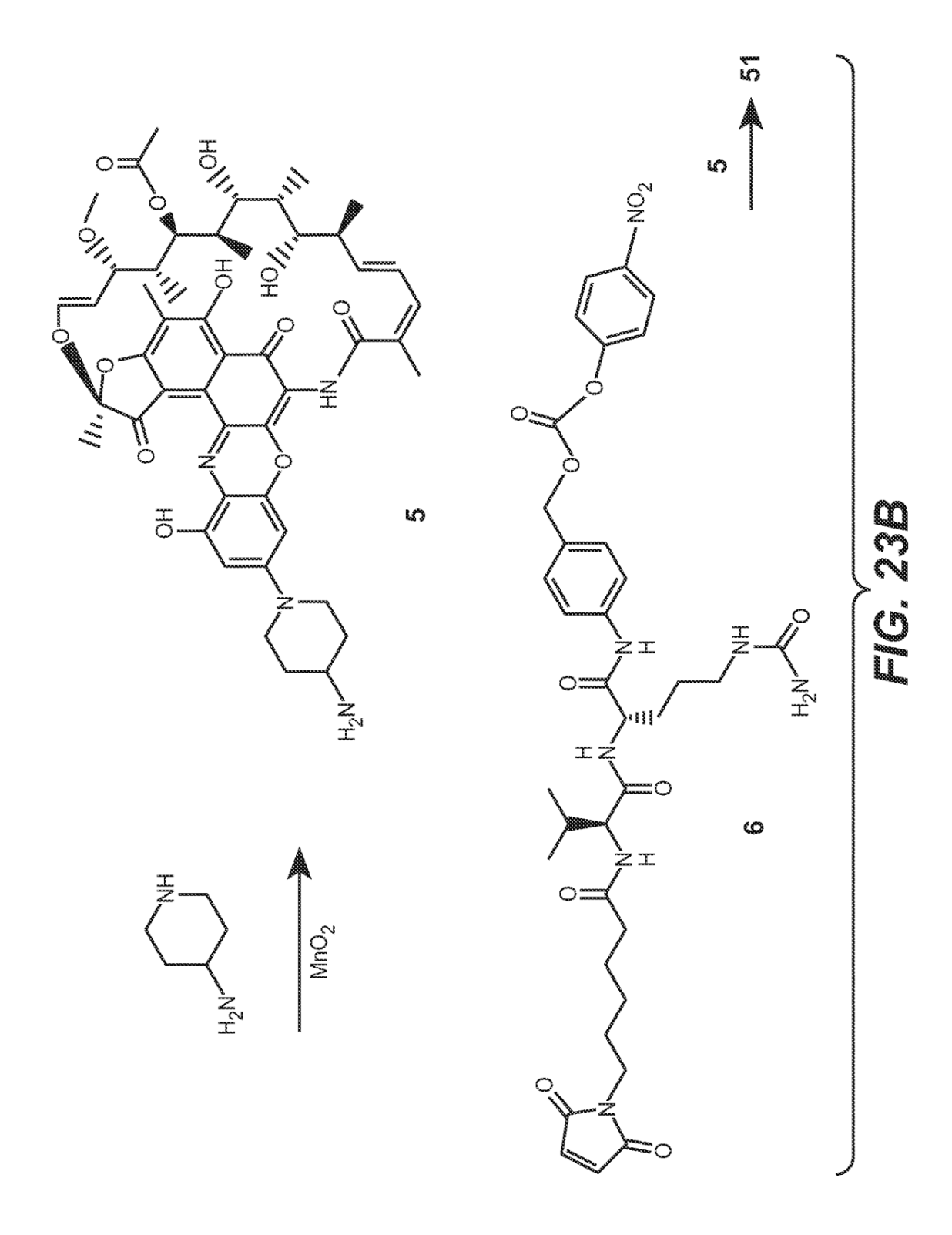
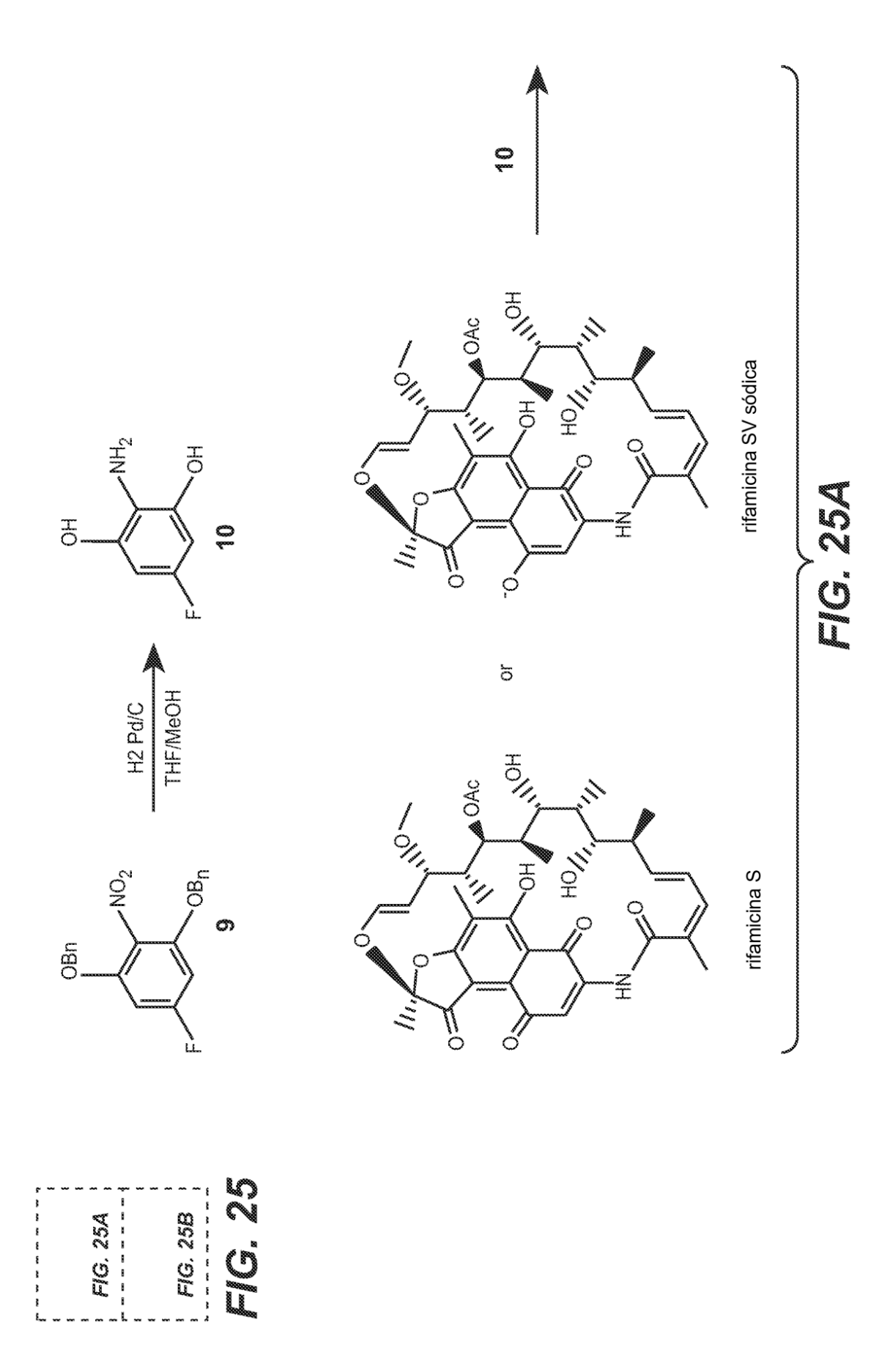
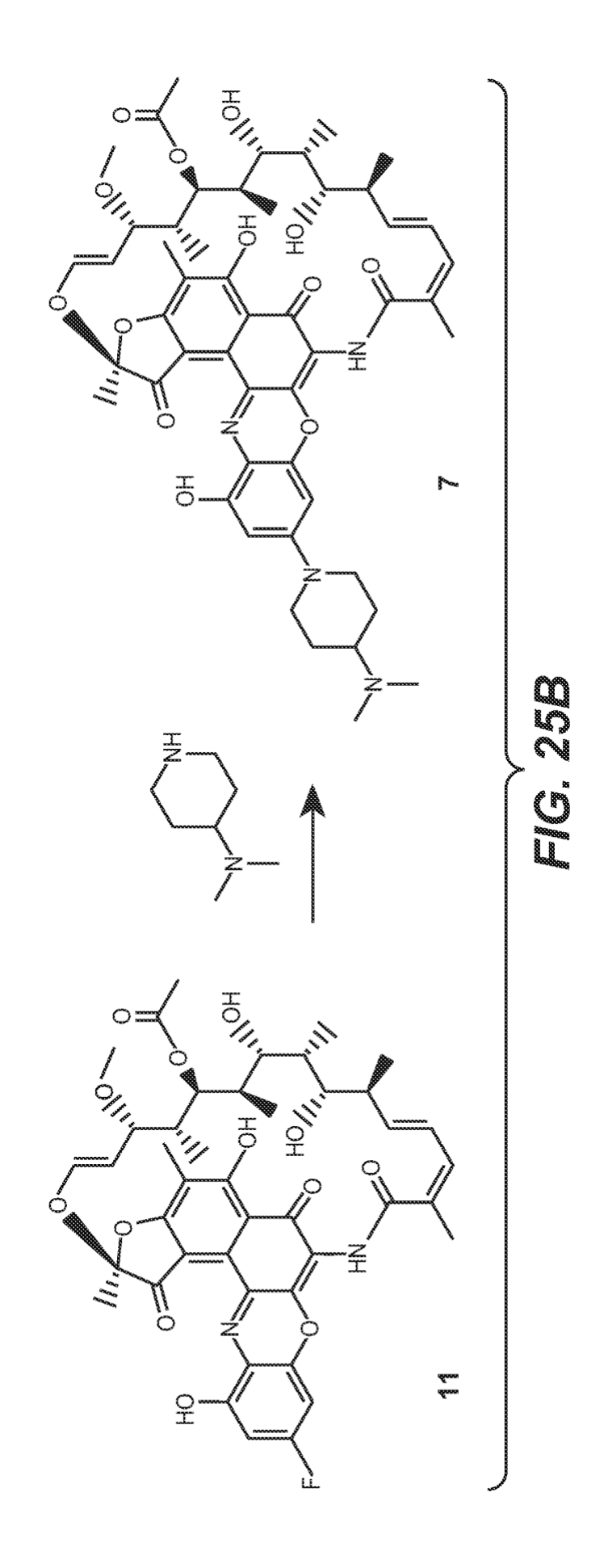
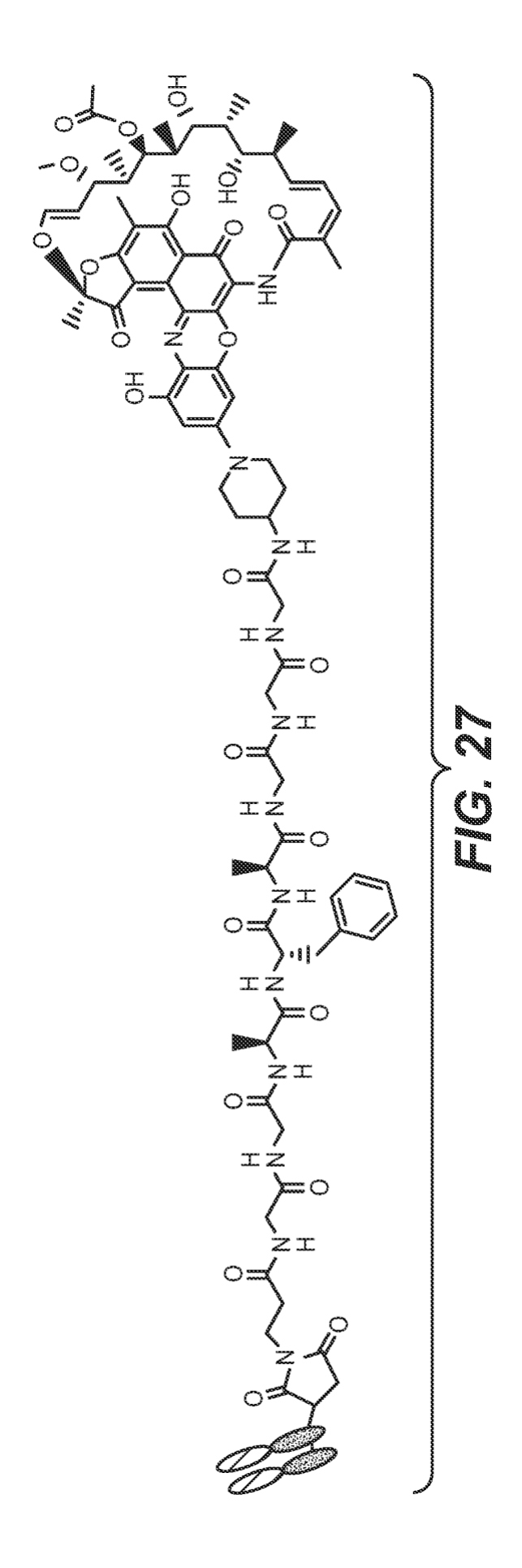


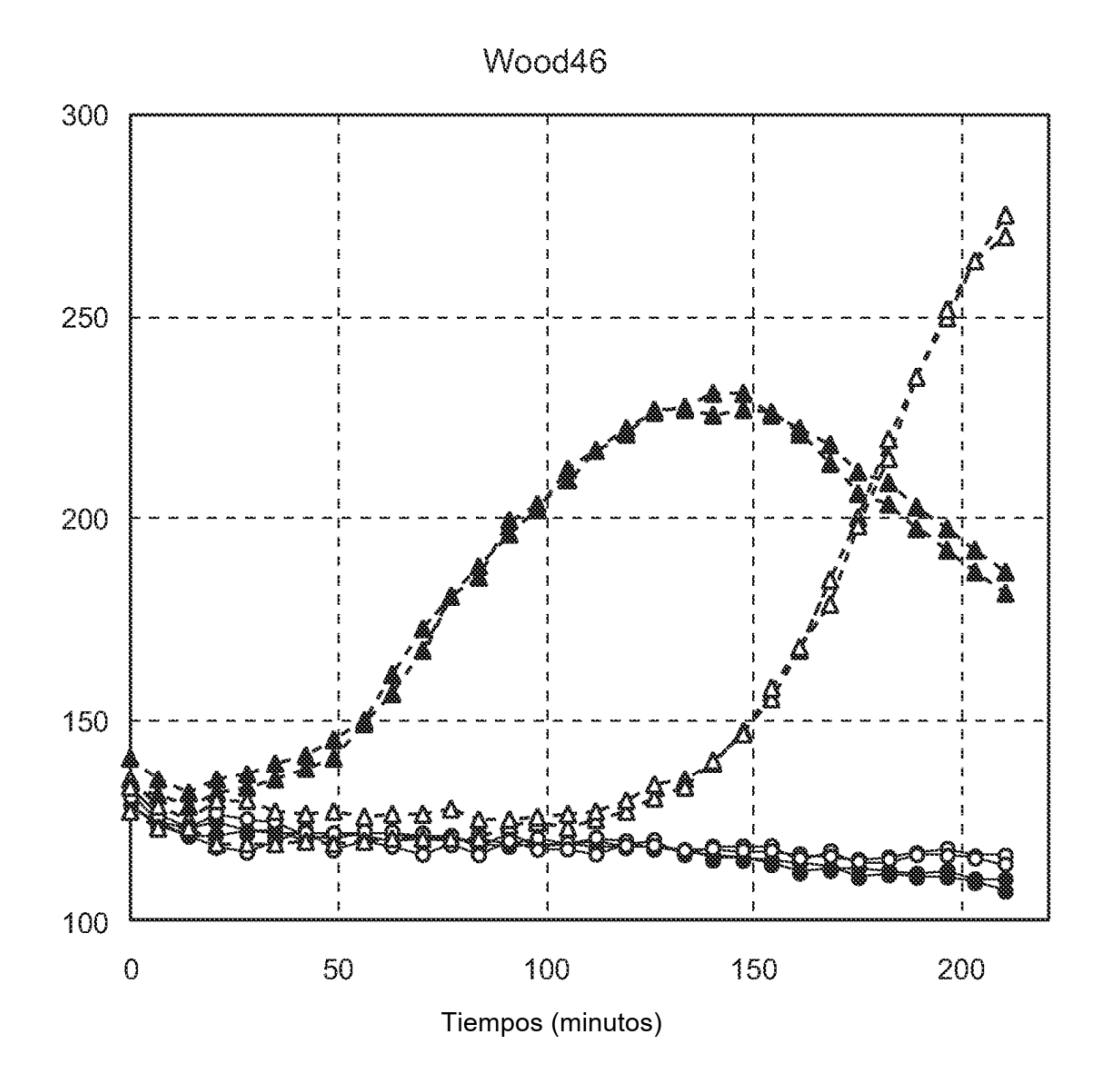
FIG. 24





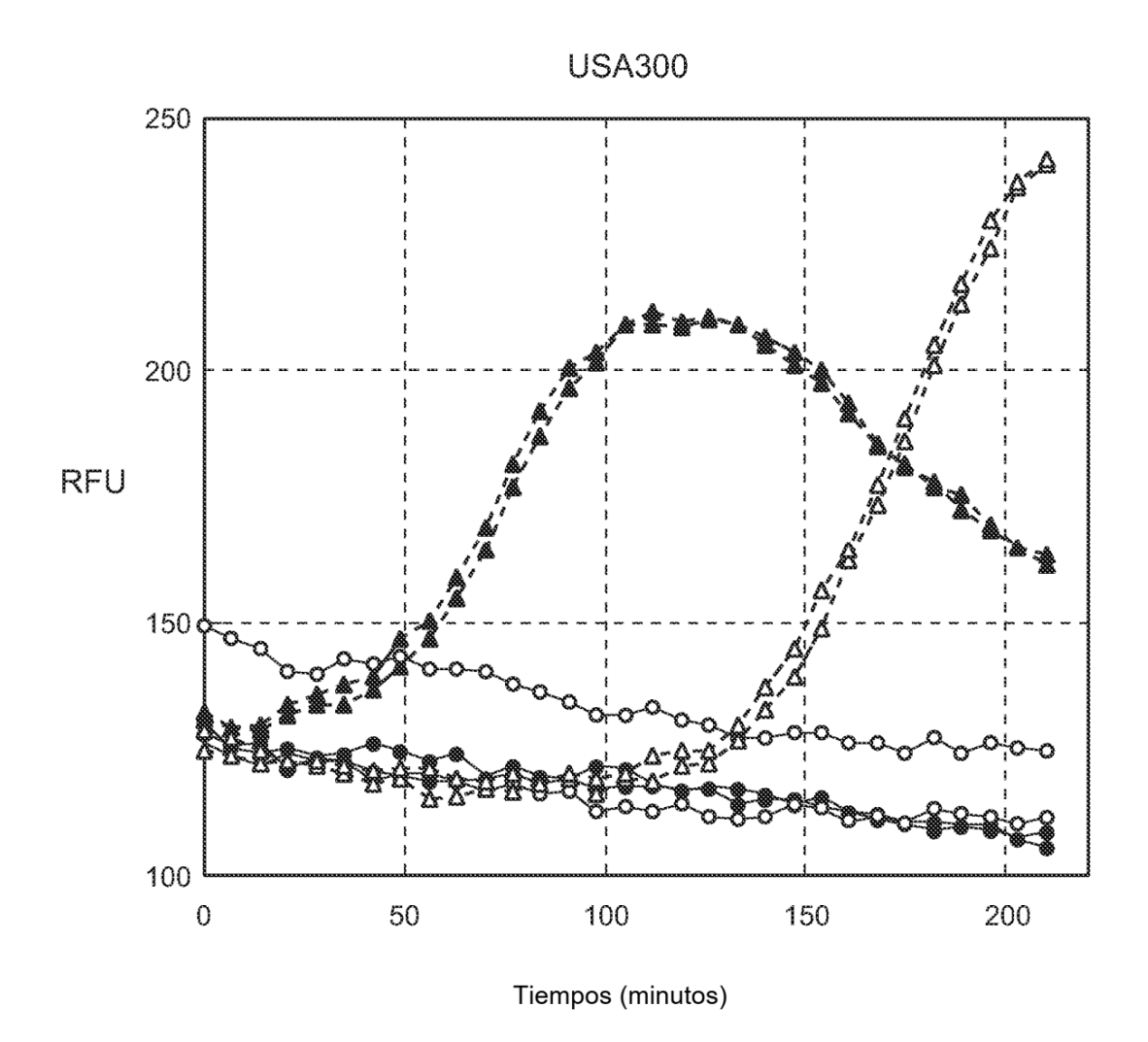
FLUORESCEINA (Sitio de escisión) Sustrato FRET para validación de la escisión, MP-K (Tamra)GGAFAGGGK(Fluoresceína Gly-Gly-Ala-Phe-Ala-Gly-Gly-Gly I TAMRA





- -- tio-S4497-MP-K(Tamra)GGAFAGGGK (Fluoresceína) péptido FRET, 108 células/ml
- --Δ--- tio-S4497-MP-K(Tamra)GGAFAGGGK (Fluoresceína) péptido FRET, 10⁷ 'células/ml

FIG. 28



- tio -trastuzumab-MP-K(Tamra)GGAFAGGGK (Fluoresceína)
 péptido FRET, 108 células/ml
- —o— tio -trastuzumab-MP-K(Tamra)GGAFAGGGK (Fluoresceína) péptido FRET, 10⁷ células/ml

FIG. 29

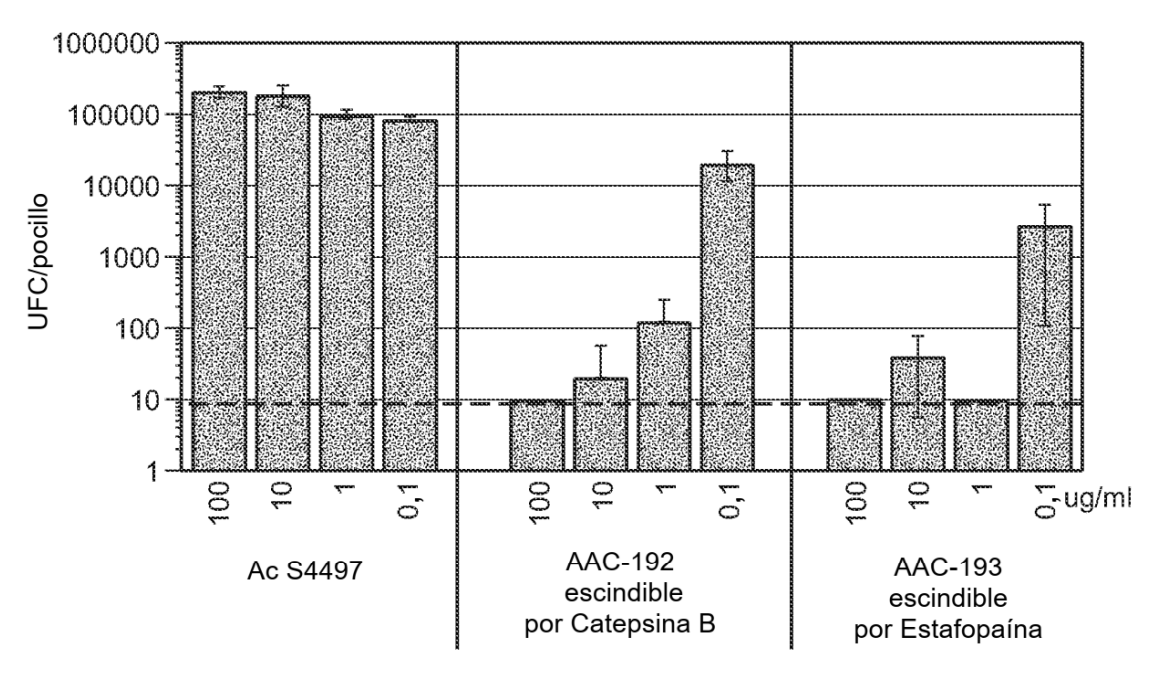


FIG. 31

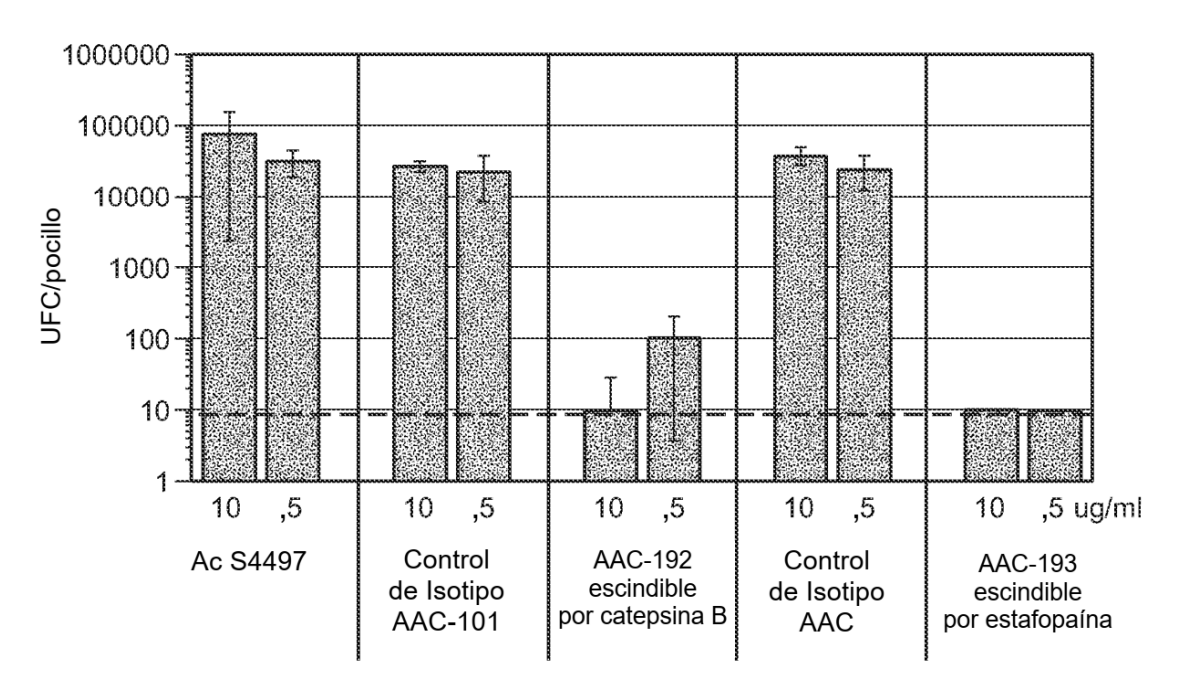


FIG. 32

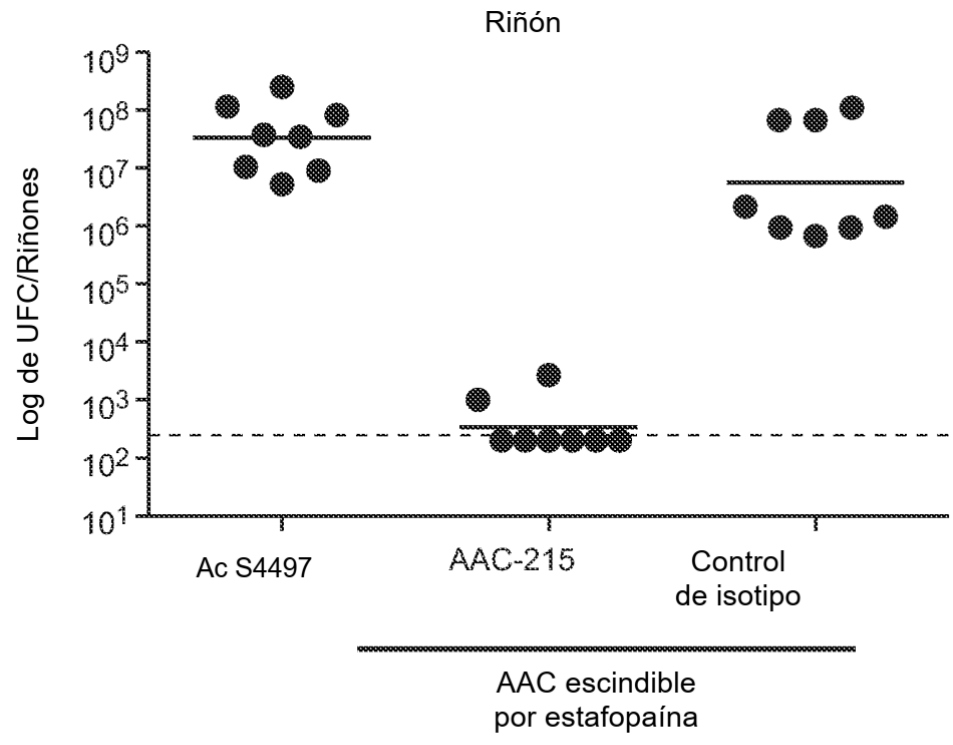
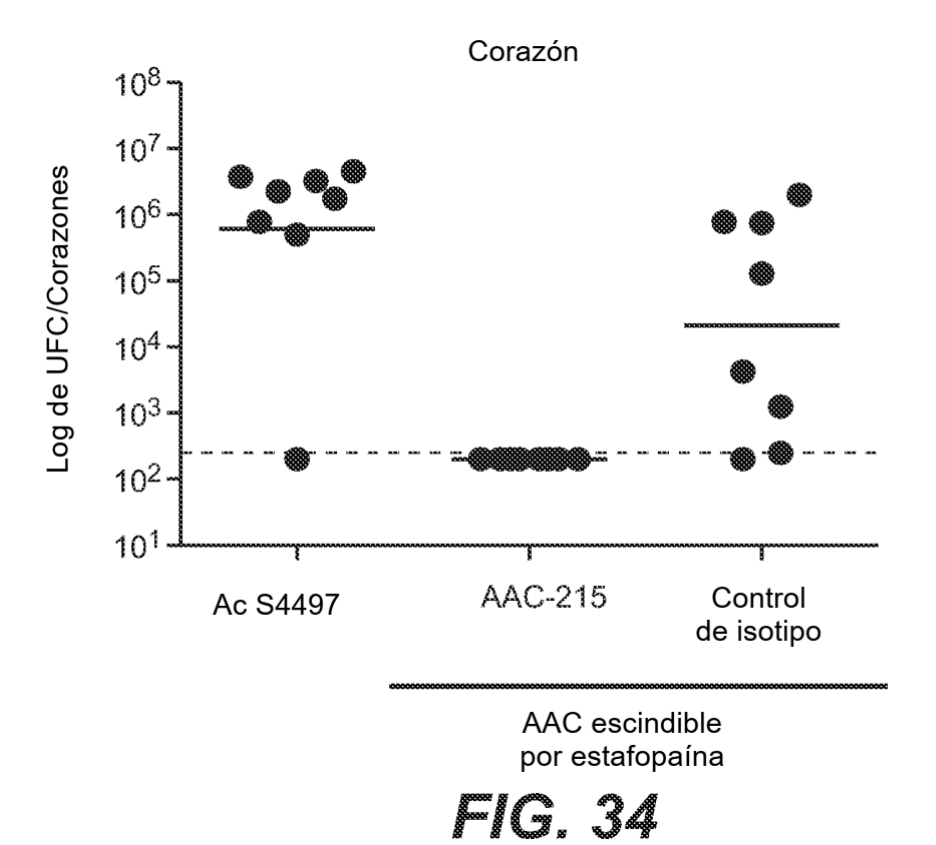


FIG. 33



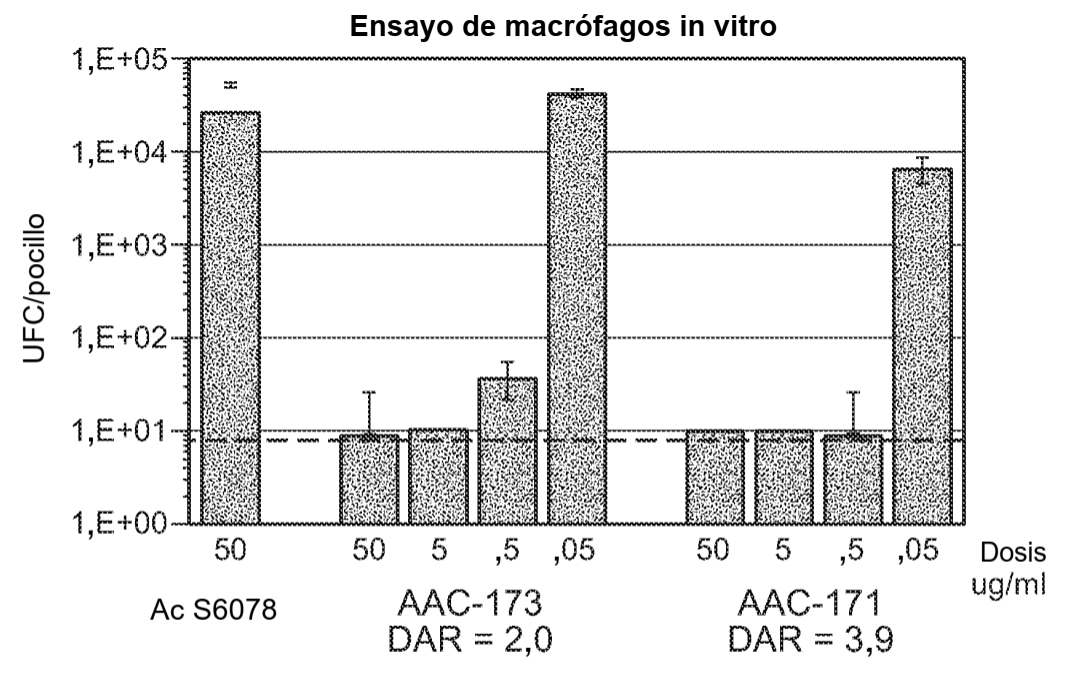


FIG. 35

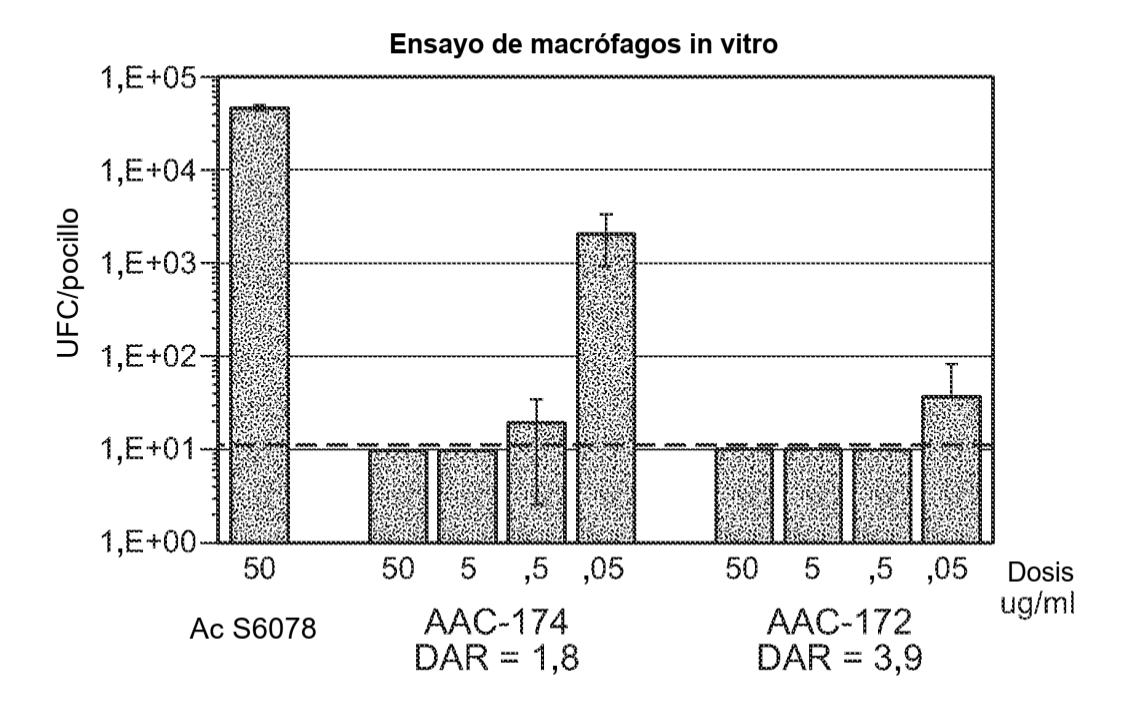


FIG. 36

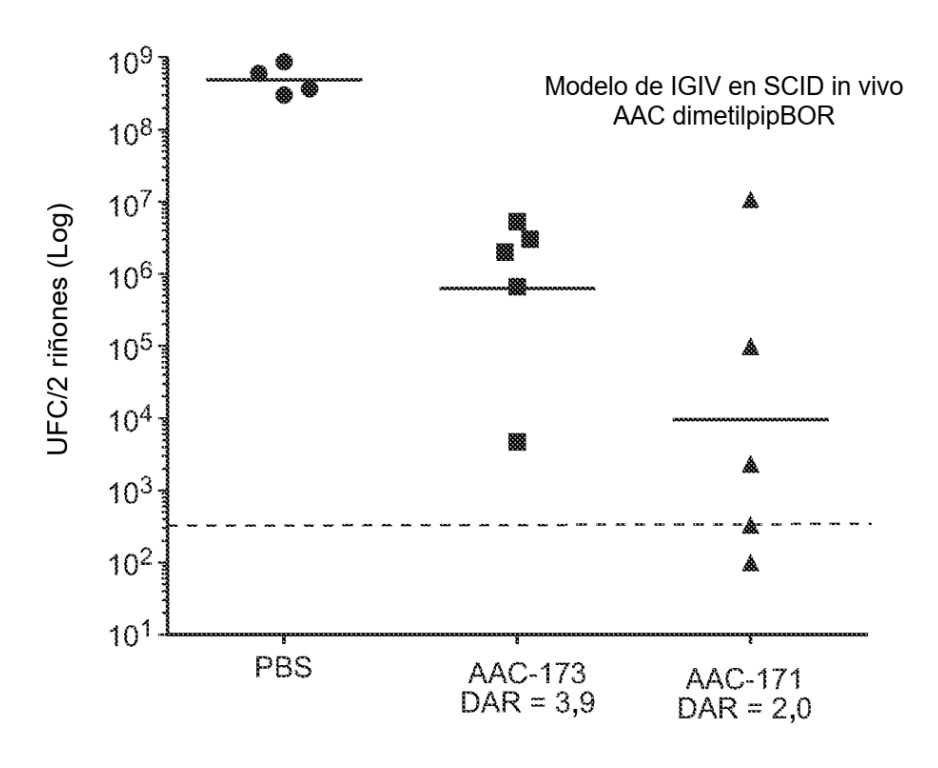


FIG. 37

